

Élaboration d'un E-learning sur les lymphomes primitivement cutanés

# THÈSE

# Présentée et publiquement soutenue devant LA FACULTÉ DES SCIENCES MÉDICALES ET PARAMÉDICALES DE MARSEILLE

Le 15 septembre 2025 Par Madame LEFEVRE Alexane

Née le 9 janvier 1998 à CARPENTRAS (084) VAUCLUSE

Pour obtenir le grade de Docteur en Médecine

D.E.S. DERMATOLOGIE ET VÉNÉRÉOLOGIE

# Membres du Jury de la Thèse :

Monsieur le Professeur DELAPORTE Emmanuel

Monsieur le Professeur BERBIS Philippe

Assesseur

Madame le Docteur HAFFNER Aurélie

Assesseur

**Directeur** 

**Monsieur le Docteur AMATORE Florent** 



Élaboration d'un E-learning sur les lymphomes primitivement cutanés

# THÈSE

# Présentée et publiquement soutenue devant LA FACULTÉ DES SCIENCES MÉDICALES ET PARAMÉDICALES DE MARSEILLE

Le 15 septembre 2025 Par Madame LEFEVRE Alexane

Née le 9 janvier 1998 à CARPENTRAS (084) VAUCLUSE

Pour obtenir le grade de Docteur en Médecine

D.E.S. DERMATOLOGIE ET VÉNÉRÉOLOGIE

# Membres du Jury de la Thèse :

Monsieur le Professeur DELAPORTE Emmanuel

Monsieur le Professeur BERBIS Philippe

Assesseur

Madame le Docteur HAFFNER Aurélie

Assesseur

**Directeur** 

**Monsieur le Docteur AMATORE Florent** 



# FACULTÉ DES SCIENCES MÉDICALES & PARAMÉDICALES

Doyen : Pr. Georges LEONETTI

Vice-Doyen aux affaires générales:Pr. Patrick DESSIVice-Doyen aux professions paramédicales:Pr. Philippe BERBISConseiller:Pr. Patrick VILLANI

#### Assesseurs:

aux études
 à la recherche
 à l'unité mixte de formation continue en santé
 pour le secteur NORD
 Groupements Hospitaliers de territoire
 Pr. Kathia CHAUMOITRE
 Pr. Jean-Louis MEGE
 Pr. Justin MICHEL
 Pr. Stéphane BERDAH
 Pr. Jean-Noël ARGENSON

> aux masters : Pr. Pascal ADALIAN

## Chargés de mission :

sciences humaines et sociales
 relations internationales
 DU/DIU
 Pr. Stéphane RANQUE
 Pr. Véronique VITTON
 DPC
 Pr. Gabrielle SARLON
 Développement DPC
 Pr. Frédéric CASTINETTI

Pr. Thomas GRAILLON

# **ÉCOLE DE MEDECINE**

Directeur : Pr. Jean-Michel VITON

#### Chargés de mission

PASS - LAS : Pr. Régis GUIEU

DFGSM : Pr. Anne-Laure PELISSIER
 DFASM : Pr. Marie-Aleth RICHARD

DFASM : Pr. Marc BARTHET
 Préparation aux ECN : Pr Aurélie DAUMAS

■ DES spécialités : Pr. Patrick DESSI

DES stages hospitaliers
 DES MG
 Pr. Benjamin BLONDEL
 Pr. Christophe BARTOLI

Démographie médicale
 Etudiant
 Dr. Noémie RESSEGUIER
 Lily BLANC-PACCHIONI



# **ÉCOLE DE MEDECINE DENTAIRE**

Directeur : Pr. Bruno FOTI

**Directeurs adjoints** : Pr. Michel RUQUET

: Pr. Anne RASKIN

Chargés de mission

Formation initiale
 Recherche
 Formation continue
 Relations internationales
 Pr. Michel RUQUET
 Pr. Anne RASKIN
 Pr. Frédéric BUKIET
 Pr. Hervé TASSERY

Internat et diplômes d'études spécialisées : Pr. Virginie MONNET-CORTI

Affaires générales : Dr. Alain TOSELLO

# **ÉCOLE DE MAIEUTIQUE**

Directrice : Madame Carole ZAKARIAN

Chargés de mission

1er cycle
 2ème cycle
 Madame Estelle BOISSIER
 Madame Cécile NINA

# **ÉCOLE DES SCIENCES DE LA RÉADAPTATION**

Directeur : Pr. Laurent BENSOUSSAN
Directrice Adjointe : Pr. Valérie AGHABABIAN

# **ÉCOLE DES SCIENCES INFIRMIERES**

Directeur : Pr. Sébastien COLSON

#### PROFESSEURS HONORAIRES

**DEJOU Jacques** MM AGOSTINI Serge

**DELPERO** Jean-Robert **ALBANESE Jacques** 

**DESSEIN Alain** ALDIGHIERI René **ALESSANDRINI Pierre DELARQUE** Alain DENIS Danièle **ALLIEZ Bernard AMBROSI Pierre DESSI Patrick** 

AQUARON Robert **DEVIN Robert** ARGEME Maxime **DEVRED** Philippe ASSADOURIAN Robert **DJIANE** Pierre **AUFFRAY Jean-Pierre** DONNET Vincent **AUTILLO-TOUATI** Amapola **DUCASSOU Jacques** AZORIN Jean-Michel **DUFOUR Michel BAILLE Daniel DUMON Henri** 

**BAILLE Yves DURAND Jean-Marc BARDOT Jacques ENJALBERT Alain** BARDOT André **ERARD Jacques BERARD** Pierre FAUGERE Gérard **BERGOIN Maurice FAVRE Roger** BERLAND Yvon FIECHI Marius

**BERNARD** Dominique FARNARIER Georges BERNARD Jean-Louis FIGARELLA Jacques

**BERNARD Pierre-Marie** FIGARELLA-BRANGER Dominique

FONTES Michel BERTRAND Edmond **BISSET Jean-Pierre** FOUREL Jean **BLANC Bernard** FRANCES Yves **BLANC Jean-Louis** FRANCOIS Georges **BOLLINI** Gérard **FUENTES Pierre BONGRAND Pierre GABRIEL Bernard** BONNEAU Henri **GALINIER Louis BONNET Jean-Louis** GALLAIS Hervé **BONNOIT** Jean **GAMERRE Marc BORY Michel GARCIN Michel BOTTA Alain GARNIER Jean-Marc** 

**BOTTA-FRIDLUND Danielle** GAUTHIER André **BOUBLI** Léon **GERARD Raymond** 

**BOURGEADE** Augustin GEROLAMI-SANTANDREA André

**BOUVENOT Gilles** GIUDICELLI Sébastien **BOUYALA Jean-Marie GOUDARD** Alain **BREMOND Georges GOUIN François BRICOT René** GRILLO Jean-Marie **BRUNET Christian GRIMAUD Jean-Charles BUREAU** Henri **GRISOLI** François CAMBOULIVES Jean **GROB Jean-Jacques** CARTOUZOU Guy **GROULIER Pierre** 

**GUYS Jean-Michel** CHABOT Jean-Michel HADIDA/SAYAG Jacqueline

CHAMLIAN Albert HARLE Jean-Robert **CHARPIN** Denis **HASSOUN Jacques** 

**CHARREL Michel HEIM Marc** CHAUVEL Patrick **HOUEL Jean** 

**CHOUX Maurice HUGUET Jean-François** CIANFARANI François JAQUET Philippe **CLAVERIE Jean-Michel** JAMMES Yves **CLEMENT Robert** JOUVE Paulette COMBALBERT André JUHAN Claude CONTE-DEVOLX Bernard JUIN Pierre **CORRIOL Jacques** KAPHAN Gérard **COULANGE Christian** KASBARIAN Michel **CURVALE** Georges KLEISBAUER Jean-Pierre

CRAVELLO Ludovic LACHARD Jean DALMAS Henri LAFFARGUE Pierre LAUGIER René

**CAU Pierre** 

# PROFESSEURS HONORAIRES MM RAQULT Did

MM LE TREUT Yves LEGRE Régis

LECHEVALLIER Eric

LEVY Samuel LOUCHET Edmond LOUIS René

LUCIANI Jean-Marie MAGALON Guy MAGNAN Jacques

MALLAN- MANCINI Josette

MALMEJAC Claude
MARANINCHI Dominique

MARIANI Paul MARTIN Claude MARTINI Louis

MATTEI Jean François MERCIER Claude MICHEL Jean

MICHOTEY Georges MIRANDA François

MONFORT Gérard MONGES André MONGIN Maurice MOULIN Guy MUNDLER Olivier NAZARIAN Serge NICOLI René NOIRCLERC Michel

OLIVE Daniel
OLMER Michel

OREHEK Jean

ORTHLIEB Jean-Daniel PANUEL Michel

PAPY Jean-Jacques
PAULIN Raymond
PELOUX Yves
PENAUD Antony
PIANA Lucien
PICAUD Robert

PIGNOL Fernand POGGI Louis POITOUT Dominique

PONCET Michel POUGET Jean PRIVAT Yvan QUILICHINI Francis

RANQUE Jacques RANQUE Philippe RAOULT Didier REBOUL Maurice RICHAUD Christian RIDINGS Bernard ROCHAT Hervé

ROHNER Jean-Jacques ROUDIER Jean ROUX Hubert ROUX Michel RUFO Marcel SAHEL José

SALAMON Georges SALDUCCI Jacques SALVADORI André SAMBUC Roland

SAN MARCO Jean-Louis

SANKALE Marc SARACCO Jacques SARLES Jacques

SARLES - PHILIP Nicole

SASTRE Bernard SCHIANO Alain SEBAHOUN Gérard SEITZ Jean-François SERMENT Gérard SIMEONI Horace SIMON Jean SOULAYROL René

TAMALET Jacques
TARANGER-CHARPIN Colette

THIRION Xavier

THOMASSIN Jean-Marc TRIGLIA Jean-Michel

UNAL Daniel
VAGUE Philippe
VAGUE/JUHAN Irène
VANUXEM Paul
VERVLOET Daniel
VIALETTES Bernard
WEILLER Pierre-Jean
ZATTARA Henri

2008		
M. le Professeur	LEVY Samuel	31/08/2011
Mme le Professeur	JUHAN-VAGUE Irène	31/08/2011
M. le Professeur	PONCET Michel	31/08/2011
M. le Professeur	KASBARIAN Michel	31/08/2011
M. le Professeur	ROBERTOUX Pierre	31/08/2011
2009		
M. le Professeur	DJIANE Pierre	31/08/2011
M. le Professeur	VERVLOET Daniel	31/08/2012
2010	MACNIANI	21/12/2014
M. le Professeur	MAGNAN Jacques	31/12/2014
2011		
M. le Professeur	DI MARINO Vincent	31/08/2015
M. le Professeur	MARTIN Pierre	31/08/2015
M. le Professeur	METRAS Dominique	31/08/2015
111110101000001		21,00,2018
2012		
M. le Professeur	AUBANIAC Jean-Manuel	31/08/2015
M. le Professeur	BOUVENOT Gilles	31/08/2015
M. le Professeur	CAMBOULIVES Jean	31/08/2015
M. le Professeur	FAVRE Roger	31/08/2015
M. le Professeur	MATTEI Jean-François	31/08/2015
M. le Professeur	OLIVER Charles	31/08/2015
M. le Professeur	VERVLOET Daniel	31/08/2015
2013		
M. le Professeur	BRANCHEREAU Alain	31/08/2016
M. le Professeur	CARAYON Pierre	31/08/2016
M. le Professeur	COZZONE Patrick	31/08/2016
M. le Professeur	DELMONT Jean	31/08/2016
M. le Professeur	HENRY Jean-François	31/08/2016
M. le Professeur	LE GUICHAOUA Marie-Roberte	31/08/2016
M. le Professeur	RUFO Marcel	31/08/2016
M. le Professeur	SEBAHOUN Gérard	31/08/2016
2014		
M. le Professeur	FUENTES Pierre	31/08/2017
M. le Professeur	GAMERRE Marc	31/08/2017
M. le Professeur	MAGALON Guy	31/08/2017
M. le Professeur	PERAGUT Jean-Claude	31/08/2017
M. le Professeur	WEILLER Pierre-Jean	31/08/2017
2015		
M. le Professeur	COULANGE Christian	31/08/2018
M. le Professeur	COURAND François	31/08/2018
M. le Professeur	FAVRE Roger	31/08/2016
M. le Professeur	MATTEI Jean-François	31/08/2016
M. le Professeur	OLIVER Charles	31/08/2016
M. le Professeur	VERVLOET Daniel	31/08/2016

2016	BONGRAND Pierre	21/09/2010
M. le Professeur M. le Professeur	BOUVENOT Gilles	31/08/2019 31/08/2017
M. le Professeur	BRUNET Christian	31/08/2017
M. le Professeur	CAU Pierre	31/08/2019
M. le Professeur	COZZONE Patrick	31/08/2017
M. le Professeur	FAVRE Roger	31/08/2017
M. le Professeur	FONTES Michel	31/08/2019
M. le Professeur	JAMMES Yves	31/08/2019
M. le Professeur	NAZARIAN Serge	31/08/2019
M. le Professeur	OLIVER Charles	31/08/2017
M. le Professeur	POITOUT Dominique	31/08/2019
M. le Professeur	SEBAHOUN Gérard	31/08/2017
M. le Professeur	VIALETTES Bernard	31/08/2019
2015		
2017 M. le Professeur	ALESSANDRINI Pierre	31/08/2020
M. le Professeur	BOUVENOT Gilles	31/08/2020
M. le Professeur	CHAUVEL Patrick	31/08/2018
M. le Professeur	COZZONE Pierre	31/08/2018
M. le Professeur	DELMONT Jean	31/08/2018
M. le Professeur	FAVRE Roger	31/08/2018
M. le Professeur	OLIVER Charles	31/08/2018
M. le Professeur	SEBBAHOUN Gérard	31/08/2018
2018		
M. le Professeur	MARANINCHI Dominique	31/08/2021
M. le Professeur	BOUVENOT Gilles	31/08/2019
M. le Professeur	COZZONE Pierre	31/08/2019
M. le Professeur	DELMONT Jean	31/08/2019
M. le Professeur	FAVRE Roger	31/08/2019
M. le Professeur M. le Professeur	OLIVER Charles	31/08/2019
M. le Professeur	RIDINGS Bernard	31/08/2021
2019		
M. le Professeur	BERLAND Yvon	31/08/2022
M. le Professeur	CHARPIN Denis	31/08/2022
M. le Professeur	CLAVERIE Jean-Michel	31/08/2022
M. le Professeur	FRANCES Yves	31/08/2022
M. le Professeur	CAU Pierre	31/08/2020
M. le Professeur	COZZONE Patrick	31/08/2020
M. le Professeur	DELMONT Jean	31/08/2020
M. le Professeur	FAVRE Roger	31/08/2020
M. le Professeur M. le Professeur	FONTES Michel	31/08/2020
M. le Professeur M. le Professeur	MAGALON Guy	31/08/2020
M. le Professeur	NAZARIAN Serge OLIVER Charles	31/08/2020 31/08/2020
M. le Professeur	WEILLER Pierre-Jean	31/08/2020
Wi. ic i folesseur	W BIEBERT Ferre Jean	31/00/2020
2020		
M. le Professeur	DELPERO Jean-Robert	31/08/2023
M. le Professeur	GRIMAUD Jean-Charles	31/08/2023
M. le Professeur	SAMBUC Roland	31/08/2023
M. le Professeur	SEITZ Jean-François	31/08/2023
M. le Professeur	BERLAND Yvon	31/08/2022
M. le Professeur	CHARPIN Denis	31/08/2022
M. le Professeur	CLAVERIE Jean-Michel	31/08/2022
M. le Professeur	FRANCES Yves	31/08/2022
M. le Professeur M. le Professeur	BONGRAND Pierre	31/08/2021
M. le Professeur M. le Professeur	COZZONE Patrick FAVRE Roger	31/08/2021 31/08/2021
M. le Professeur	FONTES Michel	31/08/2021
Direction Admin		31/00/2021

M. le Professeur	NAZARIAN Serge	31/08/2021
M. le Professeur	WEILLER Pierre-Jean	31/08/2021
2021		
M. le Professeur	BOUBLI Léon	31/08/2024
M. le Professeur	LEGRE Régis	31/08/2024
M. le Professeur	RAOULT Didier	31/08/2024
M. le Professeur	DELPERO Jean-Robert	31/08/2023
M. le Professeur	GRIMAUD Jean-Charles	31/08/2023
M. le Professeur M. le Professeur	SAMBUC Roland	31/08/2023 31/08/2023
M. le Professeur	SEITZ Jean-François BERLAND Yvon	31/08/2023
M. le Professeur	CHARPIN Denis	31/08/2022
M. le Professeur	CLAVERIE Jean-Michel	31/08/2022
M. le Professeur	FRANCES Yves	31/08/2022
M. le Professeur	BONGRAND Pierre	31/08/2022
M. le Professeur	BRUNET Christian	31/08/2022
M. le Professeur	COZZONE Patrick	31/08/2022
M. le Professeur	FAVRE Roger	31/08/2022
M. le Professeur	FONTES Michel	31/08/2022
M. le Professeur	NAZARIAN Serge	31/08/2022
M. le Professeur	OLIVER Charles	31/08/2022
2022		
Mme le Professeur	FIGARELLA-BRANGER Dominique	31/08/2025
M. le Professeur	HARLE Jean-Robert	31/08/2025
M. le Professeur	PANUEL Michel	31/08/2025
M. le Professeur	BOUBLI Léon	31/08/2024
M. le Professeur	LEGRE Régis	31/08/2024
M. le Professeur	RAOULT Didier	31/08/2024
M. le Professeur	DELPERO Jean-Robert	31/08/2023
M. le Professeur	GRIMAUD Jean-Charles	31/08/2023
M. le Professeur M. le Professeur	SAMBUC Roland	31/08/2023
M. le Professeur	SEITZ Jean-François BERLAND Yvon	31/08/2023 31/08/2023
M. le Professeur	CHARPIN Denis	31/08/2023
M. le Professeur	CLAVERIE Jean-Michel	31/08/2023
M. le Professeur	BONGRAND Pierre	31/08/2023
M. le Professeur	COZZONE Patrick	31/08/2023
M. le Professeur	FONTES Michel	31/08/2023
M. le Professeur	MARANINCHI Dominique	31/08/2023
M. le Professeur	NAZARIAN Serge	31/08/2023
M. le Professeur	DEJOU Jacques	31/08/2023
M. le Professeur	HUE Olivier	31/08/2023
2023		
M. le Professeur	AMBROSI Pierre	31/08/2026
M. le Professeur	OLIVE Daniel	31/08/2026
M. le Professeur	ROUDIER Jean	31/08/2026
Mme le Professeur	FIGARELLA-BRANGER Dominique	31/08/2025
M. le Professeur	HARLE Jean-Robert	31/08/2025
M. le Professeur M. le Professeur	PANUEL Michel	31/08/2025
M. le Professeur	BOUBLI Léon LEGRE Régis	31/08/2024 31/08/2024
M. le Professeur	RAOULT Didier	31/08/2024
M. le Professeur	BERLAND Yvon	31/08/2024
M. le Professeur	CHARPIN Denis	31/08/2024
M. le Professeur	CLAVERIE Jean-Michel	31/08/2024
M. le Professeur	BONGRAND Pierre	31/08/2024
M. le Professeur	COZZONE Patrick	31/08/2024
M. le Professeur	MARANINCHI Dominique	31/08/2024
M. le Professeur	NAZARIAN Serge	31/08/2024
Direction Adminis		

Mme le Professeur	DENIS Danièle	31/08/2027
M. le Professeur	DESSI Patrick	31/08/2027
M. le Professeur	AMBROSI Pierre	31/08/2026
M. le Professeur	OLIVE Daniel	31/08/2026
M. le Professeur	ROUDIER Jean	31/08/2026
Mme le Professeur	FIGARELLA-BRANGER Dominique	31/08/2025
M. le Professeur	HARLE Jean-Robert	31/08/2025
M. le Professeur	PANUEL Michel	31/08/2025
M. le Professeur	BERLAND Yvon	31/08/2025
M. le Professeur	CHARPIN Denis	31/08/2025
M. le Professeur	CLAVERIE Jean-Michel	31/08/2025
M. le Professeur	BONGRAND Pierre	31/08/2025
M. le Professeur	NAZARIAN Serge	31/08/2025

#### PROFESSEURS DES UNIVERSITES-PRATICIENS HOSPITALIERS

AGOSTINI FERRANDES Aubert COLLART Frédéric GUIS Sandrine

ALIMI Yves COSTELLO Régis GUYOT-CECCALDI Laurent

AMABILE Philippe COUDERC Anne-Laure GUYE Maxime
ANDRE Nicolas COURBIERE Blandine HABIB Gilbert
ARGENSON Jean-Noël CUISSET Thomas HARDWIGSEN Jean
ASTOUL Philippe CUNY Thomas HOUVENAEGHEL Gilles

ATTARIAN Shahram DA FONSECA David HRAIECH Sami AUDOIN Bertrand DAHAN-ALCARAZ Laetitia JACQUIER Alexis

AUQUIER Pascal DANIEL Laurent JOURDE-CHICHE Noémie

AVIERINOS Jean-François DARMON Patrice JOUVE Jean-Luc AZULAY Jean-Philippe DAUMAS Aurélie KAPLANSKI Gilles BARLIER-SETTI Anne DAVID Thierry KARSENTY Gilles

BARLOGIS Vincent D'ERCOLE Claude KERBAUL François (détachement)

BARTHET MarcD'JOURNO XavierKRAHN MartinBARTOLI ChristopheDEHARO Jean-ClaudeLAFFORGUE PierreBARTOLI Jean-MichelDELAPORTE EmmanuelLAGIER DavidBARTOLI MichelDEVILLIER RaynierLAGIER Jean-Christophe

**BARTOLOMEI** Fabrice **DISDIER Patrick** LAMBAUDIE Eric **BASTIDE** Cyrille DODDOLI Christophe LANCON Christophe **BAT Flora** DRANCOURT Michel LA SCOLA Bernard **DUBOURG** Grégory BELIARD-LASSERRE Sophie LAUNAY Franck **DUBUS** Jean-Christophe **BENSOUSSAN** Laurent LAVIEILLE Jean-Pierre **BERBIS** Philippe **DUFFAUD Florence** LE CORROLLER Thomas

BERBIS Julie DUFOUR Henry LE GALL Michel

BERDAH Stéphane DUSSOL Bertrand LEHUCHER-MICHEL Marie-Pascale

BEROUD Christophe EBBO Mikaël LEONE Marc
BERTRAND Baptiste ESCLASSAN Rémi LEONETTI Georges
BERTUCCI François EUSEBIO Alexandre LEPIDI Hubert
BEYER-BERJOT Laura FABRE Alexandre LOOSVELD Marie
BIRNBAUM David FAKHRY Nicolas MACE Loïc

BLAISE Didier FAURE Alice MAGNAN Pierre-Edouard BLANC Julie FELICIAN Olvier MANCINI Julien

BLANC Julie FELICIAN Olvier MANCINI Julien
BLIN Olivier FENOLLAR Florence MEGE Jean-Louis
BLONDEL Benjamin FLECHER Xavier MERROT Thierry

BOISSIER Romain FOUILLOUX Virginie METZLER/GUILLEMAIN Catherine

BONIN/GUILLAUME Sylvie FOTI Bruno MEYER/DUTOUR Anne BONELLO Laurent FOURNIER Pierre-Edouard MICCALEF/ROLL Joëlle

**BOULATE** David FRANCESCHI Frédéric MICHEL Fabrice FUENTES Stéphane **BOYER Laurent** MICHEL Gérard **BREGEON** Fabienne **GABERT** Jean MICHEL Justin **BRETELLE Florence** GABORIT Bénédicte **MICHELET Pierre BROUQUI** Philippe **GAINNIER Marc** MILH Mathieu **BRUDER Nicolas** GARCIA Stéphane (disponibilité) MILLION Matthieu

BRUE Thierry GARIBOLDI Vlad MOAL Valérie

BRUNET Philippe GAUDART Jean MONNET-CORTI Virginie
BUKIET Frédéric GAUDY-MARQUESTE Caroline MORANGE Pierre-Emmanuel

CARCOPINO-TUSOLI Xavier GERBEAUX Patrick NAUDIN Jean

GENTILE Stéphanie

CASANOVA Dominique GEROLAMI/SANTANDREA René NICOLAS DE LAMBALLERIE Xavier

CASTINETTI Frédéric GILBERT/ALESSI Marie-Christine NICOLLAS Richard CECCALDI Mathieu GIORGI Roch NGUYEN Karine CERMOLACCE Michel GIOVANNI Antoine OLLIVIER Matthieu CHAGNAUD Christophe GIRARD Nadine OUAFIK L'Houcine

CHAMBOST Hervé GIRAUD/CHABROL Brigitte OVAERT-REGGIO Caroline

CHAMPSAUR Pierre GONCALVES Anthony PADOVANI Laetitia
CHANEZ Pascal GONZALEZ Jean- Michel PAGANELLI Franck
CHARAFFE-JAUFFRET Emmanuelle GRAILLON Thomas PAPAZIAN Laurent
CHARREL Rémi GRANEL/REY Brigitte PAROLA Philippe

CHAUMOITRE Kathia GRANDVAL Philippe PELISSIER-ALICOT Anne-Laure

CHIARONI Jacques GREILLIER Laurent PELLETIER Jean
CHINOT Olivier GUEDJ Eric PERRIN Jeanne
CHOSSEGROS Cyrille GUIEU Régis PESENTI Sébastien

**BURTEY Stéphane** 

MOUTARDIER Vincent

#### PROFESSEURS DES UNIVERSITES-PRATICIENS HOSPITALIERS

PETIT Philippe RUQUET Michel TROPIANO Patrick

PHAM Thao SALAS Sébastien TSIMARATOS Michel (détachement)

PHILIP-ALLIEZ Camille SARLON-BARTOLI Gabrielle TURRINI Olivier PIERCECCHI/MARTI Marie-Dominiq SCAVARDA Didier VALERO René

PIQUET Philippe SCHLEINITZ Nicolas VAROQUAUX Arthur Damien

PIRRO Nicolas SEBAG Frédéric **VELLY Lionel** POINSO François SIELEZNEFF Igor **VEY Norbert RADULESCO Thomas** SIMON Nicolas VIDAL Vincent RANQUE Stéphane STEIN Andréas VIENS Patrice RASKIN Anne SUISSA Laurent VILLA Antoine **REGIS** Jean TABOURET Emeline VILLANI Patrick REYNAUD/GAUBERT Martine TAIEB David VITON Jean-Michel REYNAUD Rachel **TARDIEU Corinne** VITTON Véronique

RICHARD/LALLEMAND Marie-Alett TARDIVO Delphine VIEHWEGER Heide Elke (détachement)

RICHIERI Raphaëlle (disponibilité) TASSERY Hervé VIVIER Eric (disponibilité)

ROCHE Pierre-Hugues THOMAS Pascal XERRI Luc

ROCH Antoine THUNY Franck ZIELESKIEWICZ Laurent

ROCHWERGER Richard TOMASINI Pascale ROLL Patrice TOSELLO Barthélémy

ROSSI Dominique TREBUCHON-DA FONSECA Agnès

#### PROFESSEUR DES UNIVERSITES

ABOUT Imad
ADALIAN Pascal
AGHABABIAN Valérie
BELIN Pascal
CHABANNON Christian
CHABRIERE Eric
COLSON Sébastien
FERON François
LE COZ Pierre
LEVASSEUR Anthony
RANJEVA Jean-Philippe

SOBOL Hagay **PROFESSEUR CERTIFIE** 

FRAISSE-MANGIALOMINI Jeanne

#### PROFESSEUR DES UNIVERSITES ASSOCIE à MI-TEMPS

**REVIS** Joana

#### PROFESSEUR DES UNIVERSITES MEDECINE GENERALE

GENTILE Gaëtan

#### PROFESSEUR ASSOCIE DES UNIVERSITES à MI-TEMPS MEDECINE GENERALE

BARGIER Jacques JANCZEWSKI Aurélie

#### PROFESSEUR DES UNIVERSITES ASSOCIE à TEMPS PLEIN DES DISCIPLINES MEDICALES

**BOUSSUGES Alain** 

#### PROFESSEUR DES UNIVERSITES ASSOCIE A MI-TEMPS DES DISCIPLINES MEDICALES

**BOURVIS** Nadège

#### MAITRES DE CONFERENCES DES UNIVERSITES-PRATICIENS HOSPITALIERS

AHERFI Sarah (disponibilité) **GAUBERT Jacques** NINOVE Laetitia

ANGELAKIS Emmanouil (disponibilité) GAUDRY Marine NOIRRIT-ESCLASSAN Emmanuelle

ANTEZACK Angéline GELSI/BOYER Véronique **NOUGAIREDE** Antoine

**APPAY Romain** PAULMYER/LACROIX Odile **GIRAUD Thomas** 

**ARCANI Robin** GIRAUDEAU Anne PEDINI Pascal ATLAN Catherine (disponibilité) GIUSIANO COURCAMBECK Sophie PIZZO Francesca

POMMEL Ludovic BALLESTER Benoit GOROKHOVA Svetlana **BARON** Sophie GOURIET Frédérique PRECKEL Bernard-Eric GRIMALDI Stéphan PROST Solène **BEGE Thierry** 

**BELLONI** Didier **GUERIN** Carole RE Jean-Philippe GUENOUN MEYSSIGNAC Daphné RESSEGUIER Noémie **BENYAMINE** Audrey **BLANCHET** Isabelle GUIBVARC'H Maud **ROBERT Philippe** 

**BOBOT Mickael GUIVARCH** Jokthan **ROBERT Thomas HABERT Paul BOHAR Jacques ROCHE-POGGI Philippe BONINI Francesca** HAK Jean-François **ROCHIGNEUX** Philippe HAUTIER Aurélie **BOUCRAUT Joseph ROMANET Pauline** 

**BOULAMERY Audrey HEIM Xavier** SABATIER Renaud (disponibilité) **BOULLU/CIOCCA Sandrine IBRAHIM KOSTA Manal** SARI-MINODIER Irène (détachement)

BOUSSEN Salah Michel (détachement) JACQUOT Bruno **SAULTIER Paul BUFFAT** Christophe JALOUX Charlotte SAVEANU Alexandru CAMILLERI Serge JARROT Pierre-André SILVESTRI Frédéric **CAMOIN** Ariane KASPI-PEZZOLI Elise STELLMANN Jan-Patrick **CAMPANA Fabrice** KORCHIA Théo STEPHAN Grégory **CARRON Romain** L'OLLIVIER Coralie **SUCHON Pierre** CASAZZA Estelle LABIT-BOUVIER Corinne **TOSELLO Alain** 

LAFAGE/POCHITALOFF-HUVALE Marina **TROUDE Lucas CASSAGNE** Carole

**CATHERINE Jean-Hugues** LAGARDE Stanislas TROUSSE Delphine

**TUCHTAN-TORRENTS Lucile** CHAUDET Hervé LAGIER Aude (disponibilité)

**CHOPINET Sophie** LAGOUANELLE/SIMEONI Marie-Claude VELY Frédéric CHRETIEN Anne-Sophie LAMBERT Isabelle **VENTON Geoffroy** 

LENOIR Marien

ZATTARA/CANNONI Hélène LAN Romain **COZE** Carole DADOUN Frédéric (disponibilité) LAURENT Michel

DALES Jean-Philippe LEVY/MOZZICONACCI Annie **DARIEL** Anne

**DEHARO** Pierre LORENZO Diane DELLIAUX Stéphane LUCIANI Léa **DELTEIL Clémence** MAAROUF Adil DESPLAT/JEGO Sophie **MACAGNO** Nicolas **DUCONSEIL** Pauline MALISSEN Nausicaa

MAUES DE PAULA André (disponibilité) **DUFOUR Jean-Charles** 

**MEGE** Diane **ELDIN Carole** FOLETTI Jean- Marc MENSE Chloé FRANKEL Diane MENU Estelle

FROMONOT Julien MORAND-HUGUET Aurélie **GARCIAZ Sylvain** MOTTOLA GHIGO Giovanna

**GASTALDI** Marguerite **NETTER Antoine** 

MAITRES DE CONFERENCES DES UNIVERSITES

(mono-appartenants)

THOLLON Lionel ABU ZAINEH Mohammad LAVERNY Oskar BARBACARU/PERLES T. A. MARANINCHI Marie THIRION Sylvie BERLAND Caroline MERHEJ/CHAUVEAU Vicky VERNA Emeline BOYER Sylvie MEZOUAR Soraya ZAKARIAN Carole

DEGIOANNI/SALLE Anna POGGI Marjorie DESNUES Benoît RUEL Jérôme

#### MAITRE DE CONFERENCES DES UNIVERSITES DE MEDECINE GENERALE

CASANOVA Ludovic JEGO SABLIER Maëva

#### MAITRES DE CONFERENCES ASSOCIES DE MEDECINE GENERALE à MI-TEMPS

**BERNAL** Alexis

FIERLING Thomas

DE LAPEYRIERE Camille

FORTE Jenny

**GUERCIA** Olivier

**GUILLOT** Laure

MIGLIARDI Jonathan

MITILIAN Eva

THERY Didier

#### MAITRE DE CONFERENCES ASSOCIE à MI-TEMPS

**BOURRIQUEN** Maryline

LAZZAROTTO Sébastien

LUCAS Guillaume

MATHIEU Marion

MAYENS-RODRIGUES Sandrine

MELLINAS Marie

MORIN-GALFOUT Sara

ROMAN Christophe

TRINQUET Laure

VILLA Milène

#### CDI LRU TEMPS PLEIN ECOLE DES SCIENCES ET DE LA READAPTION

#### FORMATION ERGOTHERAPIE

BLANC Catheline

DESPRES Géraldine

GIRAUDIER Anaïs

PAVE Julien

#### FORMATION PODOLOGIE

**GRIFFON Patricia** 

PETITJEAN Aurélie

#### FORMATION ORTHOPTIE

MONTICOLO Chloé

#### FORMATION MASSO-KINESITHERAPIE

AUTHIER Guillaume

CAORS Béatrice

**CHAULLET Karine** 

ERCOLANO Bruno

HENRY Joannie

**HOUDANT** Benjamin

MIRAPEIX Sébastien

MULLER Philippe

ROSTAGNO Stéphan

#### CDD LRU TEMPS PLEIN ECOLE DES SCIENCES INFIRMIERES

CHAYS-AMANIA Audrey

#### CDD LRU TEMPS PLEIN ANGLAIS

GILSINN Amanda

#### ATTACHE TEMPORAIRE D'ENSEIGNEMENT ET DE RECHERCHE

PARDOUX Eric SACHAU-CARCEL Géraldine

#### CDI LRU ECOLE DE MAÏEUTIQUE

CLADY Emilie
FREMONDIERE Pierre
MATTEO Caroline
MONLEAU Sophie
MUSSARD-HASSLER Pascale

# PROFESSEURS DES UNIVERSITES et MAITRES DE CONFERENCES DES UNIVERSITES - PRATICIENS HOSPITALIERS PROFESSEURS ASSOCIES, MAITRES DE CONFERENCES DES UNIVERSITES mono-appartenants

**ANATOMIE** 4201 **ANTHROPOLOGIE** 20 CHAMPSAUR Pierre (PU-PH) ADALIAN Pascal (PR) LE CORROLLER Thomas (PU-PH) PIRRO Nicolas (PU-PH) DEGIOANNI/SALLE Anna (MCF) VERNA Emeline (MCF) GUENOUN-MEYSSIGNAC Daphné (MCU-PH) LAGIER Aude (MCU-PH) disponibilité SACHAU-CARCEL Géraldine (ATER) **BACTERIOLOGIE-VIROLOGIE**; HYGIENE HOSPITALIERE 4501 THOLLON Lionel (MCF) (60ème section) **ANATOMIE ET CYTOLOGIE PATHOLOGIQUES 4203** CHARREL Rémi (PU PH) DRANCOURT Michel (PU-PH) CHARAFE/JAUFFRET Emmanuelle (PU-PH) DUBOURG Grégory (PU-PH) **DANIEL Laurent (PU-PH)** FENOLLAR Florence (PU-PH) GARCIA Stéphane (PU-PH) disponibilité FOURNIER Pierre-Edouard (PU-PH) XERRI Luc (PU-PH) NICOLAS DE LAMBALLERIE Xavier (PU-PH) LA SCOLA Bernard (PU-PH) APPAY Romain (MCU-PH) AHERFI Sarah (MCU-PH) disponibilité ANGELAKIS Emmanouil (MCU-PH) disponibilité DALES Jean-Philippe (MCU-PH) GIUSIANO COURCAMBECK Sophie (MCU PH) BARON Sophie (MCU-PH) LABIT/BOUVIER Corinne (MCU-PH) GOURIET Frédérique (MCU-PH) MAUES DE PAULA André (MCU-PH) disponibilité LUCIANI Léa (MCU-PH) NINOVE Laetitia (MCU-PH) **ANESTHESIOLOGIE ET REANIMATION CHIRURGICALE:** NOUGAIREDE Antoine (MCU-PH) **MEDECINE URGENCE 4801** CHABRIERE Eric (PR) (64ème section) **BRUDER Nicolas (PU-PH)** LAGIER David (PU-PH) LEVASSEUR Anthony (PR) (64ème section) LEONE Marc (PU-PH) DESNUES Benoit (MCF) (65ème section) MICHEL Fabrice (PU-PH) MERHEJ/CHAUVEAU Vicky (MCF) (87ème section) VELLY Lionel (PU-PH) **BIOCHIMIE ET BIOLOGIE MOLECULAIRE 4401** ZIELESKIEWICZ Laurent (PU-PH) BOUSSEN Salah Michel (MCU-PH) détachement BARLIER/SETTI Anne (PU-PH) GABERT Jean (PU-PH) ANGLAIS 11 GUIEU Régis (PU-PH) OUAFIK L'Houcine (PU-PH) FRAISSE-MANGIALOMINI Jeanne (PRCE) BUFFAT Christophe (MCU-PH) FROMONOT Julien (MCU-PH) **BIOLOGIE ET MEDECINE DU DEVELOPPEMENT** MARLINGE Marion (MCU-PH) ET DE LA REPRODUCTION; GYNECOLOGIE MEDICALE 5405 MOTTOLA GHIGO Giovanna (MCU-PH) ROMANET Pauline (MCU-PH) METZLER/GUILLEMAIN Catherine (PU-PH) SAVEANU Alexandru (MCU-PH) PERRIN Jeanne (PU-PH) **BIOLOGIE CELLULAIRE 4403** 

ROLL Patrice (PU-PH)

FRANKEL Diane (MCU-PH)
GASTALDI Marguerite (MCU-PH)
KASPI-PEZZOLI Elise (MCU-PH)
LEVY-MOZZICONNACCI Annie (MCU-PH)

**BIOPHYSIQUE ET MEDECINE NUCLEAIRE 4301** 

**CARDIOLOGIE** 5102

GUEDJ Eric (PU-PH) GUYE Maxime (PU-PH)

TAIEB David (PU-PH)

BELIN Pascal (PR) (69ème section) RANJEVA Jean-Philippe (PR) (69ème section)

CAMMILLERI Serge (MCU-PH)

BARBACARU/PERLES Téodora Adriana (MCF) (69ème section)

AVIERINOS Jean-François (PU-PH) **BONELLO Laurent (PU PH)** 

CUISSET Thomas (PU-PH) DEHARO Jean-Claude (PU-PH)

FRANCESCHI Frédéric (PU-PH) HABIB Gilbert (PU-PH)

PAGANELLI Franck (PU-PH) THUNY Franck (PU-PH)

DEHARO Pierre (MCU PH)

#### **CHIRURGIE VISCERALE ET DIGESTIVE 5202**

## BIOSTATISTIQUES, INFORMATIQUE MEDICALE **ET TECHNOLOGIES DE COMMUNICATION 4604**

GAUDART Jean (PU-PH) GIORGI Roch (PU-PH)

CHAUDET Hervé (MCU-PH) DUFOUR Jean-Charles (MCU-PH)

MANCINI Julien (PU-PH)

ABU ZAINEH Mohammad (MCF) (5ème section)

BOYER Sylvie (MCF) (5ème section) LAVERNY Oskar (MCF)

**CHIRURGIE ORTHOPEDIQUE ET TRAUMATOLOGIQUE** 5002

BERDAH Stéphane (PU-PH)

BEYER-BERJOT Laura (PU-PH) BIRNBAUM David (PU-PH) HARDWIGSEN Jean (PU-PH) MOUTARDIER Vincent (PU-PH)

SEBAG Frédéric (PU-PH) SIELEZNEFF Igor (PU-PH) TURRINI Olivier (PU-PH)

BEGE Thierry (MCU-PH) CHOPINET Sophie (MCU-PH) DUCONSEIL Pauline (MCU-PH) GUERIN Carole (MCU PH) MEGE Diane (MCU-PH)

ARGENSON Jean-Noël (PU-PH) **BLONDEL Benjamin (PU-PH)** FLECHER Xavier (PU PH)

OLLIVIER Matthieu (PU-PH) ROCHWERGER Richard (PU-PH) TROPIANO Patrick (PU-PH)

PROST Solène (MCU-PH)

**CHIRURGIE INFANTILE 5402** 

FAURE Alice (PU PH)

JOUVE Jean-Luc (PU-PH) LAUNAY Franck (PU-PH) MERROT Thierry (PU-PH)

#### **CANCEROLOGIE**; RADIOTHERAPIE 4702

PESENTI Sébastien (PU-PH)

VIEHWEGER Heide Elke (PU-PH) détachement

BERTUCCI François (PU-PH) CHINOT Olivier (PU-PH) DUFFAUD Florence (PU-PH)

GONCALVES Anthony PU-PH) HOUVENAEGHEL Gilles (PU-PH)

LAMBAUDIE Eric (PU-PH)

PADOVANI Laetitia (PH-PH) SALAS Sébastien (PU-PH) TABOURET Emeline (PU-PH) VIENS Patrice (PU-PH)

ROCHIGNEUX Philippe (MCU-PH) SABATIER Renaud (MCU-PH) disponibilité DARIEL Anne (MCU-PH)

#### **CHIRURGIE MAXILLO-FACIALE ET STOMATOLOGIE** 5503

CHOSSEGROS Cyrille (PU-PH) GUYOT-CECCALDI Laurent (PU-PH)

FOLETTI Jean-Marc (MCU-PH)

**CHIRURGIE THORACIQUE ET CARDIOVASCULAIRE** 5103

CHIRURGIE PLASTIQUE,

RECONSTRUCTRICE ET ESTHETIQUE ; BRÛLOLOGIE 5004

BOULATE David (PU-PH)

COLLART Frédéric (PU-PH)

D'JOURNO Xavier (PU-PH)

DODDOLI Christophe (PU-PH) FOUILLOUX Virginie (PU-PH)

GARIBOLDI Vlad (PU-PH) MACE Loïc (PU-PH)

THOMAS Pascal (PU-PH)

LENOIR Marien (MCU-PH) TROUSSE Delphine (MCU-PH)

BERTRAND Baptiste (PU-PH) CASANOVA Dominique (PU-PH)

HAUTIER Aurélie (MCU-PH)

JALOUX Charlotte (MCU PH)

#### CHIRURGIE VASCULAIRE; MEDECINE VASCULAIRE 5104

ALIMI Yves (PU-PH)

AMABILE Philippe (PU-PH)

BARTOLI Michel (PU-PH)

MAGNAN Pierre-Edouard (PU-PH)

PIQUET Philippe (PU-PH)

SARLON-BARTOLI Gabrielle (PU PH)

GAUDRY Marine (MCU PH)

GASTROENTEROLOGIE; HEPATOLOGIE; ADDICTOLOGIE 5201

BARTHET Marc (PU-PH)

DAHAN-ALCARAZ Laetitia (PU-PH)

GEROLAMI-SANTANDREA René (PU-PH)

GONZALEZ Jean-Michel (PU-PH)

GRANDVAL Philippe (PU-PH)

VITTON Véronique (PU-PH)

#### HISTOLOGIE, EMBRYOLOGIE ET CYTOGENETIQUE 4202

LORENZO Diane (MCU-PH)

LEPIDI Hubert (PU-PH)

MACAGNO Nicolas (MCU-PH)

PAULMYER/LACROIX Odile (MCU-PH)

**DERMATOLOGIE - VENEREOLOGIE 5003 GENETIQUE** 4704

BERBIS Philippe (PU-PH) DELAPORTE Emmanuel (PU-PH) GAUDY/MARQUESTE Caroline (PU-PH)

RICHARD/LALLEMAND Marie-Aleth (PU-PH)

BEROUD Christophe (PU-PH) KRAHN Martin (PU-PH) NGYUEN Karine (PU-PH)

ZATTARA/CANNONI Hélène (MCU-PH)

MALISSEN Nausicaa (MCU-PH)

GOROKHOVA Svetlana (MCU-PH)

# ENDOCRINOLOGIE, DIABETE ET MALADIES METABOLIQUES;

**GYNECOLOGIE MEDICALE** 5404

**GYNECOLOGIE-OBSTETRIQUE**; **GYNECOLOGIE MEDICALE** 5403

BRUE Thierry (PU-PH) CASTINETTI Frédéric (PU-PH) CUNY Thomas (PU-PH)

AGOSTINI Aubert (PU-PH) BLANC Julie (PU-PH) BRETELLE Florence (PU-PH)

CARCOPINO-TUSOLI Xavier (PU-PH)

COURBIERE Blandine (PU-PH)

D'ERCOLE Claude (PU-PH)

**EPIDEMIOLOGIE, ECONOMIE DE LA SANTE ET PREVENTION 4601** 

AUQUIER Pascal (PU-PH) BERBIS Julie (PU-PH)

BOYER Laurent (PU-PH)

GENTILE Stéphanie (PU-PH)

NETTER Antoine (MCU-PH)

LAGOUANELLE/SIMEONI Marie-Claude (MCU-PH)

RESSEGUIER Noémie (MCU-PH)

IMMUNOLOGIE 4703 HEMATOLOGIE ; TRANSFUSION 4701

KAPLANSKI Gilles (PU-PH)

MEGE Jean-Louis (PU-PH)

VIVIER Eric (PU-PH) disponibilité

BLAISE Didier (PU-PH)

COSTELLO Régis (PU-PH)

VIVIER Eric (PU-PH) disponibilité

CHIARONI Jacques (PU-PH)

DEVILLIER Raynier (PU PH)

GILBERT/ALESSI Marie-Christine (PU-PH)

FERON François (PR) (69ème section)

LOOSVELD Marie (PU-PH)

MORANGE Pierre-Emmanuel (PU-PH)

VEY Norbert (PU-PH)

GARCIAZ Sylvain (MCU-PH)
GELSI/BOYER Véronique (MCU-PH)
IBRAHIM KOSTA Manal (MCU PH)

LAFAGE/POCHITALOFF-HUVALE Marina (MCU-PH)

PEDINI Pascal (MCU-PH) SUCHON Pierre (MCU-PH) VENTON (MCU-PH)

MALADIES INFECTIEUSES; MALADIES TROPICALES 4503

BROUQUI Philippe (PU-PH) LAGIER Jean-Christophe (PU-PH) MILLION Matthieu (PU-PH) PAROLA Philippe (PU-PH) STEIN Andréas (PU-PH)

BOUCRAUT Joseph (MCU-PH)

HEIM Xavier (MCU-PH)

CHRETIEN Anne-Sophie (MCU PH) DESPLAT/JEGO Sophie (MCU-PH)

JARROT Pierre-André (MCU PH)

ROBERT Philippe (MCU-PH)

VELY Frédéric (MCU-PH)

ELDIN Carole (MCU-PH)

POGGI Marjorie (MCF) (64ème section)

#### **MEDECINE LEGALE ET DROIT DE LA SANTE 4603**

BARTOLI Christophe (PU-PH) LEONETTI Georges (PU-PH)

PELISSIER-ALICOT Anne-Laure (PU-PH)
PIERCECCHI-MARTI Marie-Dominique (PU-PH)

**MEDECINE D'URGENCE** 4805

GERBEAUX Patrick (PU PH)

KERBAUL François (PU-PH) détachement

MICHELET Pierre (PU-PH)

DELTEIL Clémence (MCU PH)

TUCHTAN-TORRENTS Lucile (MCU-PH)

BERLAND Caroline (MCF) (1ère section)

MEDECINE INTERNE ; GERIATRIE ET BIOLOGIE DU

**VIEILLISSEMENT**; **ADDICTOLOGIE** 5301

BONIN/GUILLAUME Sylvie (PU-PH) COUDERC Anne-Laure (PU-PH)

DISDIER Patrick (PU-PH) Retraite 1/12/2024

EBBO Mikael (PU-PH)

GRANEL/REY Brigitte (PU-PH)

ROSSI Pascal (PU-PH)

SCHLEINITZ Nicolas (PU-PH)

BENYAMINE Audrey (MCU-PH)

MEDECINE PHYSIQUE ET DE READAPTATION 4905

BENSOUSSAN Laurent (PU-PH) VITON Jean-Michel (PU-PH)

**MEDECINE ET SANTE AU TRAVAIL** 4602

LEHUCHER/MICHEL Marie-Pascale (PU-PH)

VILLA Antoine (PU-PH)

SARI/MINODIER Irène (MCU-PH) disponibilité

MEDECINE GENERALE 5303 NEPHROLOGIE 5203

GENTILE Gaëtan (PR Méd. Gén. Temps plein)

BARGIER Jacques (PR associé Méd. Gén. À mi-temps) JANCZEWSKI Aurélie (PR associé Méd. Gén. À mi-temps)

CASANOVA Ludovic (MCF Méd. Gén. Temps plein) JEGO SABLIER Maëva (MCF Méd. Gén. Temps plein)

BERNAL Alexis (MCF associé Méd. Gén. À mi-temps)
DE LAPEYRIERE Camille (MCF associé Méd. Gén. À mi-temps)
FIERLING Thomas (MCF associé Méd. Gén. À mi-temps)

FORTE Jenny (MCF associé Méd. Gén. À mi-temps)
GUERCIA Olivier (MCF associé Méd. Gén. À mi-temps)
GUILLOT Laure (MCF associé Méd. Gén. À mi-temps)

MIGLIARDI Jonathan (MCF associé Méd. Gén. À mi-temps)

MITILIAN Eva (MCF associé Méd. Gén. À mi-temps)

THERY Didier (MCF associé Méd. Gén. À mi-temps)

BRUNET Philippe (PU-PH)

BURTEY Stépahne (PU-PH)
DUSSOL Bertrand (PU-PH)

JOURDE CHICHE Noémie (PU PH)

MOAL Valérie (PU-PH)

BOBOT Mickael (MCU-PH) ROBERT Thomas (MCU-PH)

#### **NEUROCHIRURGIE** 4902

DUFOUR Henry (PU-PH)
FUENTES Stéphane (PU-PH)
GRAILLON Thomas (PU PH)
REGIS Jean (PU-PH)
ROCHE Pierre-Hugues (PU-PH)
SCAVARDA Didier (PU-PH)

**NUTRITION** 4404

CARRON Romain (MCU PH)
TROUDE Lucas (MCU-PH)

BELIARD Sophie (PU-PH)
DARMON Patrice (PU-PH)
VALERO René (PU-PH)

ATLAN Catherine (MCU-PH) disponibilité

MARANINCHI Marie (MCF) (66ème section)

**NEUROLOGIE** 4901

ATTARIAN Sharham (PU PH)

AUDOIN Bertrand (PU-PH)
AZULAY Jean-Philippe (PU-PH)

CECCALDI Mathieu (PU-PH)

EUSEBIO Alexandre (PU-PH)

FELICIAN Olivier (PU-PH)

PELLETIER Jean (PU-PH)
SUISSA Laurent (PU-PH)

**ONCOLOGIE 65 (BIOLOGIE CELLULAIRE)** 

CHABANNON Christian (PR) (66ème section) SOBOL Hagay (PR) (65ème section)

MEZOUAR Soraya (65ème section)

GRIMALDI Stéphan (MCU-PH)

MAAROUF Adil (MCU-PH)

**OPHTALMOLOGIE** 5502

DAVID Thierry (PU-PH)

PEDOPSYCHIATRIE; ADDICTOLOGIE 4904

BAT Flora (PU-PH)

DA FONSECA David (PU-PH)

POINSO François (PU-PH)

OTO-RHINO-LARYNGOLOGIE 5501

BOURVIS Nadège (PR associée)

FAKHRY Nicolas (PU-PH)
GIOVANNI Antoine (PU-PH)

LAVIEILLE Jean-Pierre (PU-PH)

MICHEL Justin (PU-PH)

NICOLLAS Richard (PU-PH)

RADULESCO Thomas (PU-PH)

GUIVARCH Jokthan (MCU-PH)

PHARMACOLOGIE FONDAMENTALE PHARMACOLOGIE CLINIQUE; ADDICTOLOGIE 4803

BLIN Olivier (PU-PH) disponibilité

MICALLEF/ROLL Joëlle (PU-PH)

SIMON Nicolas (PU-PH)

**BOULAMERY Audrey (MCU-PH)** 

Direction Administrative - RH

MAJ 01.09.2023

**PARASITOLOGIE ET MYCOLOGIE 4502** 

**PHILOSPHIE 17** 

RANQUE Stéphane (PU-PH)

LE COZ Pierre (PR) (17ème section)

CASSAGNE Carole (MCU-PH) L'OLLIVIER Coralie (MCU-PH) PARDOUX Eric (ATER)

MENU Estelle (MCU-PH)

PHYSIOLOGIE 4402

**PEDIATRIE** 5401

BARTOLOMEI Fabrice (PU-PH) ANDRE Nicolas (PU-PH) BREGEON Fabienne (PU-PH) BARLOGIS Vincent (PU-PH) GABORIT Bénédicte (PU-PH) CHAMBOST Hervé (PU-PH) MEYER/DUTOUR Anne (PU-PH)

TREBUCHON/DA FONSECA Agnès (PU-PH)

BOUSSUGES Alain (PR associé à temps plein)

DUBUS Jean-Christophe (PU-PH) FABRE Alexandre (PU-PH)

GIRAUD/CHABROL Brigitte (PU-PH)

MICHEL Gérard (PU-PH)

MILH Mathieu (PU-PH)

OVAERT-REGGIO Caroline (PU-PH) REYNAUD Rachel (PU-PH) TOSELLO Barthélémy (PU-PH)

TSIMARATOS Michel (PU-PH) détachement

COZE Carole (MCU-PH)

MORAND-HUGUET Aurélie (MCU-PH)

SAULTIER Paul (MCU-PH)

BONINI Francesca (MCU-PH)

BOULLU/CIOCCA Sandrine (MCU-PH) DADOUN Frédéric (MCU-PH) (disponibilité)

DELLIAUX Stéphane (MCU-PH) LAGARDE Stanislas (MCU-PH) LAMBERT Isabelle (MCU-PH) PIZZO Francesca (MCU-PH)

RUEL Jérôme (MCF) (69ème section) THIRION Sylvie (MCF) (66ème section)

PSYCHIATRIE D'ADULTES ; ADDICTOLOGIE 4903

PNEUMOLOGIE; ADDICTOLOGIE 5101

CERMOLACCE Michel (PU-PH) LANCON Christophe (PU-PH) NAUDIN Jean (PU-PH)

RICHIERI Raphaëlle (PU-PH) disponibilité

KORCHIA Théo (MCU-PH)

ASTOUL Philippe (PU-PH) CHANEZ Pascal (PU-PH)

GREILLIER Laurent (PU PH)

REYNAUD/GAUBERT Martine (PU-PH)

TOMASINI Pascale (PU-PH)

PSYCHOLOGIE - PSYCHOLOGIE CLINIQUE, PCYCHOLOGIE SOCIALE 16

AGHABABIAN Valérie (PR)

**RHUMATOLOGIE** 5001

**RADIOLOGIE ET IMAGERIE MEDICALE 4302** 

BARTOLI Jean-Michel (PU-PH) CHAGNAUD Christophe (PU-PH) CHAUMOITRE Kathia (PU-PH) GIRARD Nadine (PU-PH)

JACQUIER Alexis (PU-PH)

PETIT Philippe (PU-PH)

VAROQUAUX Arthur Damien (PU-PH)

VIDAL Vincent (PU-PH)

HABERT Paul (MCU PH) HAK Jean-François (MCU PH)

STELLMANN Jan-Patrick (MCU-PH)

GUIS Sandrine (PU-PH) LAFFORGUE Pierre (PU-PH)

PHAM Thao (PU-PH)

THERAPEUTIQUE; MEDECINE D'URGENCE; ADDICTOLOGIE 4804

DAUMAS Aurélie (PU-PH) VILLANI Patrick (PU-PH)

ARCANI Robin (MCU-PH)

**REANIMATION MEDICALE; MEDECINE URGENCE 4802** 

GAINNIER Marc (PU-PH) HRAIECH Sami (PU-PH)

PAPAZIAN Laurent (PU-PH) ROCH Antoine (PU-PH) **UROLOGIE** 5204

BASTIDE Cyrille (PU-PH)
BOISSIER Romain (PU-PH)
KARSENTY Gilles (PU-PH)
ROSSI Dominique (PU-PH)

SCIENCES DE LA REEDUCATION ET READAPTATION 91

REVIS Joana (PAST)

AUTHIER Guillaume

BLANC Catheline CAORS Béatrice

CHAULLET Karine

ERCOLANO Bruno GRIFFON Patricia

GIRAUDIER Anaïs

GRIFFON Patricia

**HENRY** Joannie

HOUDANT Benjamin

MIRAPEIX Sébastien

MONTICOLO Chloé

MULLER Philippe PAVE Julien

PETITJEAN Aurélie

ROSTAGNO Stéphan

LAZZAROTTO Sébastien (MAST)

TRINQUET Laure (MAST)

**MAÏEUTIQUE** 90

CLADY Emilie

OL/IDT LITTIIC

FREMONDIERE Pierre MATTEO Caroline MONLEAU Sophie

MUSSARD-HASSLER Pascale

REPELLIN David

ZAKARIAN Carole (MCF)

**SCIENCES INFIRMIERES** 92

COLSON Sébastien (PR)

BOURRIQUEN Maryline (MAST) LUCAS Guillaume (MAST)

MAYEN-RODRIGUES Sandrine (MAST)

MELLINAS Marie (MAST) ROMAN Christophe (MAST) VILLA Milène (MAST) AMANIA Audrey (LRU)

SCHWINGROUBERT Jocelyn (LRU)

ODONTOLOGIE PEDIATRIQUE ET ORTHOPEDIE DENTO-FACIALE 56-01

CHIRURGIE ORALE; PARODONTOLOGIE; BIOLOGIE ORALE 57-01

LE GALL Michel (PU-PH)
PHILIP-ALLIEZ Camille (PU-PH)
TARDIEU Corinne (PU-PH)

BLANCHET Isabelle (MCU-PH)
BOHAR Jacques (MCU-PH)

CAMOIN Ariane (MCU-PH)

GAUBERT Jacques (MCU-PH)

NOIRRIT-ESCLASSAN Emmanuelle (MCU-PH)

MONNET-CORTI Virginie (PU-PH)

ANTEZACK Angéline (MCU-PH) BELLONI Didier (MCU-PH)

CAMPANA Fabrice (MCU-PH)
CATHERINE Jean-Hugues (MCU-PH)
ROCHE-POGGI Philippe (MCU-PH)

PREVENTION, EPIDEMIOLOGIE, ECONOMIE DE LA SANTE, ODONTOLOGIE

**LEGALE** 56-02

**BIOLOGIE CELLULAIRE** 65

FOTI Bruno (PU-PH)

TARDIVO Delphine (PU-PH)

LAN Romain (MCU-PH)

ABOUT Imad (PR)

#### DENTISTERIE RESTAURATRICE, ENDODONTIE, PROTHESES, FONCTION-DYSFONTION, IMAGERIE, BIOMATERIAUX 58-01

BUKIET Frédéric (PU-PH)

ESCLASSAN Rémi (PU-PH)

RASKIN Anne (PU-PH)

RUQUET Michel (PU-PH)

TASSERY Hervé (PU-PH)

TERRER Elodie (PU-PH)

BALLESTER Benoït (MCU-PH)

CASAZZA Estelle (MCU-PH)

GIRAUD Thomas (MCU-PH)

GIRAUDEAU Anne (MCU-PH)

GUIVARC'H Maud (MCU-PH)

JACQUOT Bruno (MCU-PH)

LAURENT Michel (MCU-PH)

MENSE Chloé (MCU-PH)

POMMEL Ludovic (MCU-PH)

PRECKEL Bernard-Eric (MCU-PH)

RE Jean-Philippe (MCU-PH)

SILVESTRI Frédéric (MCU-PH)

STEPHAN Grégory (MCU-PH)

TOSELLO Alain (MCU-PH)

#### REMERCIEMENTS

# À Monsieur le Professeur Emmanuel DELAPORTE, Président du jury,

Merci de me faire l'honneur de présider cette thèse. Je tiens à vous remercier pour la qualité de votre enseignement, pour votre implication dans notre formation et pour l'accompagnement dont j'ai bénéficié tout au long de mon internat. Je vous suis particulièrement reconnaissante pour le stage effectué dans votre service lors de mon troisième semestre, au cours duquel j'ai pleinement découvert la richesse de notre spécialité et ai été confortée dans mon désir d'en poursuivre l'apprentissage.

## À Monsieur le Docteur Florent AMATORE, Directeur de thèse,

Merci d'avoir accepté d'être mon directeur de thèse. Je te remercie infiniment pour ta disponibilité et pour le temps que tu as consacré à m'accompagner dans ce travail. Merci également pour ta gentillesse, ta bienveillance et ta transmission de connaissances. C'était un réel plaisir de travailler avec toi et j'espère sincèrement avoir la chance de poursuivre mon apprentissage à tes cotés.

## À Monsieur le Professeur Philippe BERBIS,

Je vous remercie d'avoir accepté de faire partie de mon jury de thèse. Je tiens à vous exprimer toute ma reconnaissance pour m'avoir transmis votre passion pour la dermatologie. Merci pour la qualité de votre enseignement, votre grande disponibilité et votre bienveillance.

#### A Madame le Docteur Aurélie HAFFNER,

Je te remercie d'avoir accepté de m'accompagner en tant que membre de mon jury de thèse. Merci pour ton aide précieuse dans la réalisation de cet e-learning et pour ton enseignement professoral au multi-têtes. Je voulais également sincèrement te remercier pour avoir égayé chaque journée de mon semestre en anapath. Merci pour ta bonne humeur, ta générosité, nos conversations en frenglish, nos afterworks, les consultations privées pour nodule de l'oreille et vaccination, et surtout pour ton incroyable gâteau au chocolat. Tu restes la meilleure même si tu m'as mis C en capacités diagnostiques.

# **TABLE DES MATIERES**

1.	INTRODUCTION	3
2.	MATERIEL ET METHODES	5
	2.1. Le e-learning : généralités	5
	2.1.1. Définition	5
	2.1.2. Histoire et origine du e-learning	
	2.1.3 Les différentes formes de e-learning	
	2.1.4 Évolution du e-learning	
	2.1.5 Avantages et inconvénients du e-learning	8
	2.1.6 L'ingénierie pédagogique	9
	2.1.7 Aspects juridiques	10
	2.2 Élaboration d'un e-learning sur les lymphomes primitivement cutanés	11
	2.2.1 Phase d'analyse	11
	2.2.1.1 Choix du sujet	11
	2.2.1.2 Public cible	
	2.2.2 Phase de design ou scénarisation pédagogique	
	2.2.2.1 Objectifs pédagogiques	
	2.2.2.2 Séquençage du e-learning	
	2.2.3 Phase de développement	
	2.2.3.1 Recueil du matériel pédagogique	
	2.2.3.2 Structure du e-learning	
	2.2.4 Phase d'implantation.	
	2.2.5 Phase d'évaluation	
	2.2.5.1 Méthode d'évaluation	
	2.2.5.2 Évaluation théorique des étudiants	
	2.2.5.3 Évaluation globale du e-learning	
3.	RESULTATS	19
	3.1. Participation	19
	3.2. Résultats de l'évaluation par QCM (pré et post test)	20
	3.3. Résultats du questionnaire de satisfaction	21
	3.3.1. Temps nécessaire à la réalisation du e-learning	21
	3.3.2. Satisfaction globale	
	3.3.3. Méthode d'évaluation et difficulté des QCM	
	3.3.4. Lieu de formation	
	3.3.5. Avantages du e learning	
	3.3.6. Inconvénients du e learning	
	3.3.7. Comparaison du e learning à un cours magistral	
	3.3.9. Remarques globales des participants	
	<u> </u>	

4.	DISCUSSION	28
5.	CONCLUSION	31
6.	BIBLIOGRAPHIE	32
7.	ANNEXES	44
7	.1. Annexe I : Support du e-learning	45
7	.2. Annexe II : Fiches synthèses	26 <sup>-</sup>
7	.3. Annexe III : Questionnaire d'évaluation (pré et post test)	269
7	.4. Annexe IV : Questionnaire de satisfaction	28

## 1. INTRODUCTION

L'internat représente une période charnière de la formation médicale, durant laquelle l'étudiant doit acquérir rapidement les connaissances théoriques et pratiques propres à sa spécialité, tout en s'adaptant à l'évolution constante des recommandations professionnelles.

Les cours magistraux dispensés en amphithéâtre par un professeur étant rares au cours du troisième cycle, l'apprentissage de l'interne repose principalement sur la pratique clinique, le compagnonnage, ainsi que la lecture de traités de spécialité, disponibles aussi bien sous format papier que numérique (e-books).

L'essor du numérique a, ces dernières années, profondément modifié l'accès à l'information, désormais instantané et omniprésent. Dans ce contexte, de nouvelles modalités pédagogiques, telles que l'enseignement en ligne (e-learning), se sont progressivement imposées.

Le e-learning, fondé sur l'utilisation d'Internet et des technologies digitales, offre une alternative flexible à l'enseignement traditionnel. Il permet aux étudiants d'accéder à des contenus pédagogiques actualisés, à tout moment et depuis n'importe quel endroit.

Cette transition vers le numérique s'est accélérée avec la pandémie de SARS-COV2, qui a démocratisé l'usage des plateformes numériques dans la formation notamment dans les études médicales. En réponse, les universités ont multiplié les ressources en ligne : cours via les Environnements Numériques de Travail (ENT), cas cliniques sur le Système Inter-universitaire Dématérialisé d'Évaluation en Santé (SIDES), et même certains Diplômes Inter-Universitaires (DIU) proposés entièrement à distance.

La dermatologie, spécialité transversale à forte composante visuelle, se prête particulièrement bien à l'enseignement par e-learning. Les pathologies cutanées complexes, telles que les lymphomes cutanés primitifs, nécessitent une familiarisation progressive avec leurs aspects cliniques et histologiques, que le format numérique peut efficacement soutenir.

L'objectif principal de ce travail était de concevoir un e-learning sur les lymphomes primitivement cutanés, destiné aux internes inscrits en Diplôme d'Études Spécialisées (DES) de Dermatologie et Vénérologie ainsi qu'en DES d'Anatomie et Cytologie

Pathologiques à l'Université d'Aix-Marseille. Les objectifs secondaires incluaient l'évaluation de l'impact de ce module sur les connaissances des étudiants, leur satisfaction, et l'acceptabilité de ce mode d'enseignement.

Ce projet s'inscrit dans la continuité d'un projet de création d'enseignement en ligne destiné aux internes et fait suite à une série de douze e-learning réalisés par d'anciens internes du service de dermatologie de l'hôpital Nord de Marseille, abordant diverses thématiques dermatologiques, telles que :

- Les hypodermites par le Docteur Combes.
- Les manifestations dermatologiques associées à la polyarthrite rhumatoïde et aux spondylarthropathies par le Docteur Devey.
- Les dermatoses granulomateuses par le Docteur Berniolles.
- Les dermatoses bulleuses par le Docteur Brue.
- Les manifestations dermatologiques associées aux pathologies digestives par le Docteur De Daruvar.
- Les manifestations dermatologiques associées aux vascularites par le Docteur Coulon.
- Les manifestations dermatologiques de la sclérodermie par le Docteur Brutsaert.
- Les manifestations dermatologiques du lupus érythémateux par le Docteur Barré.
- Les manifestations dermatologiques associées aux pathologies hépatiques et pancréatiques par le Docteur Grangeon.
- Les manifestations dermatologiques associées aux pathologies endocriniennes par le Docteur Beaufrere.
- Initiation à la dermatopathologie par le Docteur Giraudeau et le Docteur Remond.
- Les manifestations dermatologiques des syndromes paranéoplasiques par le Docteur El Kaim.

### 2. MATERIEL ET METHODES

## 2.1. Le e-learning : généralités

#### 2.1.1. Définition

Le terme e-learning se décompose en deux : « e » est l'abréviation anglaise de « electronic » et « learning » signifie apprentissage. La traduction française littérale est donc « apprentissage électronique » qui a été substituée par « apprentissage en ligne ».

Depuis sa création, il existe plusieurs définitions du e-learning. En 2015, la Haute Autorité de Santé (HAS) le définit comme : « un apprentissage ouvert, favorisant l'accessibilité du contenu, des lieux, du temps, des modes d'enseignement et des médias. C'est un apprentissage à distance favorisant l'autonomie de l'apprenant. La nécessité du tutorat fait que l'on passe d'un enseignement collectif à un enseignement individuel dont il ne faut pas négliger le temps à y consacrer ». (1)

Il s'agit d'un outil pédagogique permettant à l'apprenant de suivre sa formation en direct ou de manière différée en utilisant simplement une plateforme numérique de formation et une connexion internet. Le e-learning fait partie des « Formation Ouverte à Distance » (FOAD) et s'appuie sur deux principes : l'auto-apprentissage et la motivation de l'étudiant. Néanmoins il est nécessaire de s'assurer de la disponibilité des enseignants, pour la réalisation de cours selon ce nouveau format et de leurs réponses face aux éventuelles questions des étudiants.

#### 2.1.2. Histoire et origine du e-learning

L'enseignement à distance a débuté bien avant l'ère du numérique, en Angleterre au XIX<sup>e</sup> siècle, de manière concomitante à l'arrivée du courrier postal. Il était destiné aux citoyens britanniques qui ne pouvaient suivre des enseignements dans une université traditionnelle en raison de revenus insuffisants ou d'éloignement géographique qui avaient ainsi recours à des cours par correspondance.

Le développement de divers moyens de communication (radio, téléphone, télévision, satellites), puis dans un second temps de l'informatique, du numérique et la création d'Internet ont permis de transformer le système éducatif avec la création de programmes et de pratiques d'enseignement assisté par ordinateur (EAO).

En 1994, CAL-Campus devient la première école supérieure à proposer un cursus en ligne.

Durant les années 1990, sous l'impulsion de la Commission européenne, les systèmes éducatifs et universitaires français ont mis en œuvre différents programmes pour encourager le développement des usages du numérique à l'école et à l'université.

En 1995, en France, le Forum français de la formation ouverte et à distance (FFFOD) s'est donné pour mission d'élaborer des propositions pour une politique de développement de la formation ouverte et à distance (FOAD).

La FAOD a été officialisée en France par la circulaire du 20 juillet 2001(2), permettant le financement de programmes et l'évolution progressive des pratiques de formation.

La HAS a ensuite publié en 2015 un guide de conception de FOAD spécifiquement pour les professionnels de santé, incluant le e-learning mais aussi les formations à distance via des supports d'apprentissage papier, des médias audiovisuels ou autres supports (1).

Grace à la baisse des coûts des équipements informatiques et au développement de logiciels libres, l'e-learning s'est démocratisé. L'apprentissage virtuel s'est progressivement installé dans les universités et les grandes entreprises.

#### 2.1.3 Les différentes formes de e-learning

Plusieurs types de e-learning sont actuellement définis par le programme COMPETICE (« Outil de formation TICE par les Compétences ») (3).

- Enseignement en « <u>présentiel enrichi</u> » : enseignement classique en présentiel pendant lequel les enseignants enrichissent leur cours par la projection de ressources textuelles, graphiques, audios et vidéos au moyen d'un rétro-projecteur ou d'un vidéoprojecteur, ou encore de quizz interactifs.
- Enseignement en « <u>présentiel amélioré</u> » : enseignement classique en présentiel mais pour lequel l'étudiant a à sa disposition des documents, des iconographies ou des vidéos qu'il peut consulter avant ou après le cours.
- Enseignement en « <u>présentiel allégé</u> » : l'enseignant s'aide d'outils numériques pour former l'étudiant à distance mais le cours reste présentiel au moins 50% du temps.

- Enseignement en « <u>présentiel réduit</u> » : l'essentiel du cours se fait essentiellement sous forme de e-learning avec quelques séances de regroupement en présentiel pour expliquer, orienter et évaluer les étudiants (ce qui peut aussi se faire à distance).
- Enseignement en « <u>présentiel quasi inexistant</u> » : le cours se fait à distance avec un tutorat synchrone ou asynchrone.

Les cours en « présentiel allégé » ou « présentiel réduit » combinent des cours en présentiel et à distance et sont qualifiés de formation mixte, hybride ou multimodale, « blended learning » en anglais.

# 2.1.4 Évolution du e-learning

De nombreux concepts éducatifs numériques se sont développés à la suite de l'essor du e-learning dans les années 2000. Parmi eux, on peut citer :

- Mobile learning : permet un accès continu au processus d'apprentissage, sur son téléphone, ordinateur portable ou tablette, afin de suivre les programmes de formation partout et à toute heure, avec ou sans connexion internet.
- On the job training traduit par « formation sur le lieu de travail » : c'est l'opportunité pour un individu de pouvoir apprendre sans quitter son poste de travail.
- Embedded e-learning traduit par « formation en ligne intégrée » : utilise la mise en situation via internet et les technologies de l'information pour aider l'individu à faire face à une situation rencontrée au travail. L'exemple le plus souvent évoqué est le suivant : un professionnel se trouve dans une situation de travail critique et ne connait pas la procédure pour agir avec compétence au moment opportun. Dans cette situation, il peut se connecter à la plateforme de e-learning et consulter en ligne la procédure dédiée.
- Digital learning : ce type de formation comprend notamment un e-learning (vidéos de formation et classe virtuelle), mais également d'autres outils de formations en ligne comme des quizz et des serious games. Les serious games, ou jeux sérieux en français, peuvent se définir comme des applications informatiques dont l'objet est de combiner à la fois des aspects sérieux tels l'enseignement à des ressorts ludiques issus du jeu vidéo. Le digital learning, grâce à son caractère ludique et interactif, permet d'améliorer la qualité de l'enseignement et des procédés de mémorisation.

- Les formations informelles : ce sont des groupes d'étude et d'entraide que l'on peut trouver sur les réseaux sociaux notamment.
- Les MOOC ou Massive Open Online Courses traduit par « cours en ligne ouverts à tous » : reposent sur la mise à profit d'une plateforme internet sur laquelle on retrouve des cours sous forme de vidéos, de PowerPoint, de cours rédigés, ainsi que des exercices et des espaces d'échanges interactifs. Les étudiants peuvent participer à l'élaboration des cours. Les MOOC leur permettent d'être connectés les uns aux autres et de partager des savoirs dans un domaine précis, sur tous les supports possibles. Avec les MOOC, les apprenants ont l'opportunité d'accéder à un large catalogue de cours qui n'est d'ailleurs pas toujours disponible en présentiel. Ils profitent aussi de l'interactivité que ce système propose.

#### 2.1.5 Avantages et inconvénients du e-learning

Un e-learning, comme tout support d'apprentissage, comprend des avantages et des inconvénients.

Parmi les avantages pour les étudiants, on peut citer :

- La flexibilité et l'autonomie dans l'apprentissage : possibilité d'apprendre à son propre rythme et selon son propre emploi du temps.
- L'économie de temps au vu de l'absence de déplacement.
- Le gain économique représenté par l'absence de contrainte d'achat de manuels parfois onéreux et la réduction des coûts liés aux déplacements.
- L'intégration d'une iconographie ainsi qu'un support audio et vidéo permettant de rendre le support pédagogique plus ludique et attractif.
- L'auto-évaluation sous forme de questionnaires en ligne, permettant une meilleure mémorisation des informations et notamment des points clés.

Parmi les avantages pour les enseignants, on peut citer :

- La possibilité d'actualisation régulière du contenu du cours selon les nouveautés et avancées dans le domaine enseigné. Il s'agit d'un avantage particulièrement pertinent dans des domaines en constante évolution comme la médecine.
- La pérennité du contenu du cours et l'archivage de la formation sur une plateforme en ligne.

- Une réduction des coûts et un gain de temps, les déplacements étant limités.
- La diffusion large de l'apprentissage, le e-learning pouvant être accessible à tous sous réserve d'un support numérique.

#### Les inconvénients éventuels pour l'étudiant sont :

- Les difficultés techniques : nécessité d'apprendre à utiliser les outils pour la conception du e-learning et nécessité d'avoir accès à un ordinateur ou mobile disposant d'une connexion internet.
- L'absence d'encadrement, parfois à l'origine d'un manque de rigueur.
- Le sentiment de solitude avec manque de motivation pour travailler seul.
- L'absence d'interaction directe avec l'enseignant qui aurait pu favoriser le processus de mémorisation pour l'étudiant.

#### Les inconvénients éventuels pour l'enseignant sont :

- Les difficultés techniques : nécessité d'apprendre à utiliser les outils pour la conception du e-learning et nécessité d'avoir accès à un ordinateur ou mobile disposant d'une connexion internet.
- L'absence d'interaction directe avec l'étudiant posant des difficultés pour évaluer l'intégration des compétences ou repérer d'éventuelles difficultés.

#### 2.1.6 L'ingénierie pédagogique

L'ingénierie de formation est la démarche qui vise à produire la formation la plus adaptée possible au public cible donc aux apprenants. Elle cherche la meilleure adéquation entre les moyens déployés (activités, personne, coût) et la finalité de la formation.

Il existe deux modèles principaux en matière d'ingénierie pédagogique du e-learning (4) :

- la méthode ADDIE (Analyse Design Développement Implantation Evaluation), qui suit un processus régulier d'étapes à franchir. C'est une technique intuitive et facile à suivre pour les novices.
- la méthode SAM (Successive Approximation Model), où une phase pilote est rapidement mise en place puis remaniée au cours du temps. Elle est moins utilisée et s'adresse à des personnes qui ont davantage d'expérience dans l'enseignement.

Le modèle ADDIE comprend 5 phases :

- la phase d'analyse, qui consiste à analyser les besoins de formation (contexte, objectifs, public cible, etc.)
- la phase de design ou scénarisation pédagogique, qui consiste à définir le synopsis et le scénario pédagogique (choix des modalités, du contenu, de la durée de la formation, etc.)
- la phase de développement, qui consiste à produire les ressources nécessaires, donc les différents supports de formation (documents, éléments multimédias etc.)
- la phase d'implantation, qui consiste à mettre la formation à la disposition des apprenants, donc à mettre en ligne les modules de e-learning sur la plateforme choisie.
- la phase d'évaluation de la formation, qui contrôle si les objectifs de la formation sont atteints.

#### 2.1.7 Aspects juridiques

Les notions juridiques concernant la diffusion des informations en ligne, notamment le secret médical (5) et le droit à l'image (6), sont à connaître par le réalisateur du elearning.

Les photographies doivent être anonymisées afin de respecter le droit à l'image.

Le e-learning est protégé par les droits d'auteur au même titre que les autres créations intellectuelles selon l'article L. 112-1 du Code de la propriété intellectuelle (7).

Pour être considérée comme une création intellectuelle, une œuvre doit être originale c'est- à-dire porter l'empreinte de la personnalité de son auteur. Aucune formalité administrative de dépôt ou d'enregistrement préalable n'est nécessaire pour revendiquer la protection de l'œuvre. Cependant, en cas de litige, il est recommandé de prévoir les moyens d'établir la preuve d'une création. À cette fin, l'auteur peut, par exemple, dater la création de son œuvre et s'identifier comme auteur en déposant une « enveloppe Soleau » auprès de l'un des 19 centres de l'Institut national de la propriété intellectuelle (INPI) (8). Un auteur peut également déposer sa création auprès d'un officier ministériel (notaire ou huissier de justice) (9).

# 2.2 Élaboration d'un e-learning sur les lymphomes primitivement cutanés

Nous avons choisi de suivre le modèle ADDIE dans la conception de notre e-learning. Les cinq étapes de ce modèle seront donc détaillées ci-après.

#### 2.2.1 Phase d'analyse

#### 2.2.1.1 Choix du sujet

Ce travail s'intègre dans un ensemble de cours de dermatologie réalisés sous forme de e-learning par les anciens internes de dermatologie de l'hôpital Nord de Marseille. Il nous a semblé pertinent d'y intégrer une thématique dédiée aux lymphomes cutanés primitifs.

Les lymphomes primitivement cutanés constituent un groupe hétérogène de lymphoproliférations malignes à expression exclusivement cutanée au moment du diagnostic. Bien qu'ils soient rares et souvent méconnus, ils représentent une part non négligeable des pathologies oncologiques rencontrées en dermatologie. Leur spectre clinique est extrêmement large, allant de formes indolentes compatibles avec une espérance de vie normale, à des formes très agressives mettant en jeu le pronostic vital à court terme. Cette diversité clinique rend leur diagnostic complexe, d'autant qu'ils peuvent mimer de nombreuses dermatoses inflammatoires chroniques bénignes à l'origine d'important retard diagnostic. Les difficultés diagnostiques sont également histologiques et nécessitent de la part du pathologiste une analyse morphologique fine et une bonne maîtrise des profils immunohistochimiques. Dans ce contexte, une collaboration étroite entre dermatologues et pathologistes est indispensable afin de pouvoir correctement établir le diagnostic de lymphome, diminuer le retard diagnostic et optimiser la prise en charge des patients dans le but d'améliorer voire prolonger leur espérance de vie.

Ce travail pédagogique s'adresse donc aussi bien aux internes de dermatologie qu'aux pathologistes, les deux spécialités étant fondamentales dans le diagnostic et le prise en charge des lymphomes cutanés.

Dans le cadre de cet e-learning, nous avons décidé de poursuivre le format entièrement vidéo associé à des fiches synthèses afin de pallier l'absence de contact direct avec l'enseignant et favoriser la mémoire épisodique. Nous avons également proposé un module de cas clinique permettant ainsi à l'étudiant de mettre en application les connaissances théoriques nouvellement acquises ce qui rend également cet e-learning plus didactique.

## 2.2.1.2 Public cible

Cette formation s'adresse aux étudiants en médecine inscrits en 3<sup>ème</sup> cycle en DES de Dermatologie et Vénérologie et en DES d'Anatomie et Cytologie Pathologiques de l'Université d'Aix-Marseille inscrits pour l'année 2024-2025 soit une cible de respectivement 15 internes en dermatologie et 8 internes en anatomopathologie.

## 2.2.2 Phase de design ou scénarisation pédagogique

## 2.2.2.1 Objectifs pédagogiques

Les objectifs de cet e-learning sont :

- Acquérir les principales connaissances théoriques sur les différents lymphomes primitivement cutanés
- Savoir évoquer le diagnostic de lymphome T ou B devant des lésions cliniques compatibles
- Savoir raisonner et évoquer le diagnostic de lymphome T ou B devant l'aspect histopathologiques et immunohistochimiques
- Acquérir des notions concernant l'évolution, le pronostic, le traitement et le risque de récidive des différents lymphomes cutanés, afin de délivrer au patient une information appropriée
- Être capable de prendre correctement en charge les lymphomes primitivement cutanés indolents (diagnostic, bilan, thérapeutique, suivi)
- Savoir orienter le patient rapidement vers un centre de référence afin de ne pas entraîner de perte de chance en cas de lymphome de mauvais pronostic

À noter que nous avons choisi de nous concentrer sur les lymphomes primitivement cutanés et n'avons pas abordé tous les lymphomes pouvant présenter des manifestations cutanées.

## 2.2.2.2 Séquençage du e-learning

L'enseignement a été divisé en deux grandes parties : les lymphomes primitivement cutanés de phénotype T et les lymphomes primitivement cutanés de phénotype B. Chaque sous partie étant elle-même divisée en deux sous parties : lymphomes indolents et lymphomes agressifs. Nous avons donc quatre modules de cours auxquels nous avons ajouté un module « Généralités » qui permet de présenter le sujet tout en détaillant des points essentiels d'épidémiologie, de physiopathologie et de classification et un module « Cas cliniques » se composant de trois cas cliniques

permettant la mise en application immédiate des connaissances dans des situations plus concrètes pour permettre à l'étudiant de se projeter dans une situation clinique précise. Enfin, un module « Synthèse » réunissant les diapositives essentielles à garder en mémoire pour chaque lymphome.

Au total nous proposons donc les sept modules suivant aux apprenants :

- Généralités sur les lymphomes primitivement cutanés
- Lymphomes primitivement cutanés indolents de phénotype T
- Lymphomes primitivement cutanés agressifs de phénotype T
- Lymphomes primitivement cutanés indolents de phénotype B
- Lymphomes primitivement cutanés agressifs de phénotype B
- Cas cliniques
- Synthèse

## 2.2.3 Phase de développement

## 2.2.3.1 Recueil du matériel pédagogique

Les connaissances théoriques nécessaires pour l'élaboration de ces cours ont été recueillies à partir de grands traités de spécialité (manuels de référence en dermatologie et anatomopathologie) « Saurat » Edition 2017 (10), « Skin Lymphoma » de L. Cerroni (11) et « Les lymphomes cutanés » de M. Bagot (12) et par les cours élaborés par le Docteur Florent Amatore. Nous nous sommes également appuyés sur les recommandations de l'OMS (Organisation Mondiale de la Santé) et du GFELC (Groupe Français d'Étude des Lymphomes Cutanés). Une revue scientifique de la littérature à partir du moteur de recherche PubMed a également été réalisée (13 à 138).

Les photographies cliniques ont été fournies par le Docteur Florent Amatore (service de Dermatologie du CHU Nord à Marseille) ou sont tirées d'articles scientifiques.

Les photographies histologiques ont été fournies par le Docteur Nicolas Macagno (service d'Anatomie et Cytologie Pathologiques du CHU Timone à Marseille) ou empruntées à l'université de Leeds via leur site « Virtual Pathology at the University of Leeds » (139)

## 2.2.3.2 Structure du e-learning

## Nous retrouvons dans cet e-learning:

- Un pré-test général composé de 20 questions.
- Les sept modules de cours ont été conçus sous forme de diapositives
   « Powerpoint » à partir desquelles nous avons réalisé des vidéos explicatives.
   Un format « PDF » a également été conçu pour chaque module permettant un téléchargement facile et facilitant ainsi une éventuelle consultation ultérieure des diapositives.
- Une fiche synthèse disponible à la fin de chaque sous partie pour faciliter l'apprentissage des points clés.
- La bibliographie détaillée disponible en fin de chaque sous partie permettant de retrouver l'origine de chaque information et d'approfondir le sujet traité.
- Un post-test général contenant les mêmes questions qu'au pré-test afin d'apprécier la progression des étudiants.
- Un questionnaire de satisfaction pour évaluer le ressenti des internes sur leur apprentissage.
- Un forum était également disponible pour faciliter l'interaction avec les étudiants et répondre à leurs éventuelles questions.

## Les sections du e-learning sont les suivantes :

- QCM de pré test
- Généralités
- Lymphomes primitivement cutanés indolents de phénotype T
  - Mycosis fongoïde
  - Lymphoproliférations CD30+
    - Papulose lymphomatoïde
    - Lymphome anaplasique à grandes cellules
  - Lymphoprolifération CD4+ à petites et moyennes cellules
  - Lymphome T sous cutané type panniculite
  - Lymphoprolifération T CD8 acrale
- Lymphomes primitivement cutanés agressifs de phénotype T
  - Syndrome de Sezary
  - Lymphome T CD8+ épidermotrope agressif cytotoxique
  - Lymphome T gamma/delta

- Lymphome NOS
- Lymphomes primitivement cutanés indolents de phénotype B
  - o Lymphome primitivement cutané de la zone marginale
  - o Lymphome primitivement cutané centrofolliculaire
- Lymphomes primitivement cutanés agressifs de phénotype B
  - o Lymphome primitivement cutané à larges cellules B diffuses, type jambe
  - o Lymphome B intra vasculaire
- Cas cliniques
- Synthèse
- QCM de post test
- Questionnaire de satisfaction

L'ensemble des cours est disponible en annexe I, les fiches synthèse en annexe II, les QCM de pré et post test avec correction en annexe III et le questionnaire de satisfaction en annexe IV.

Lors de la connexion sur la plateforme AMeTICE, un message d'accueil destinés à présenter la formation aux internes inscrits pour cet e-learning était disponible sous la forme suivante :

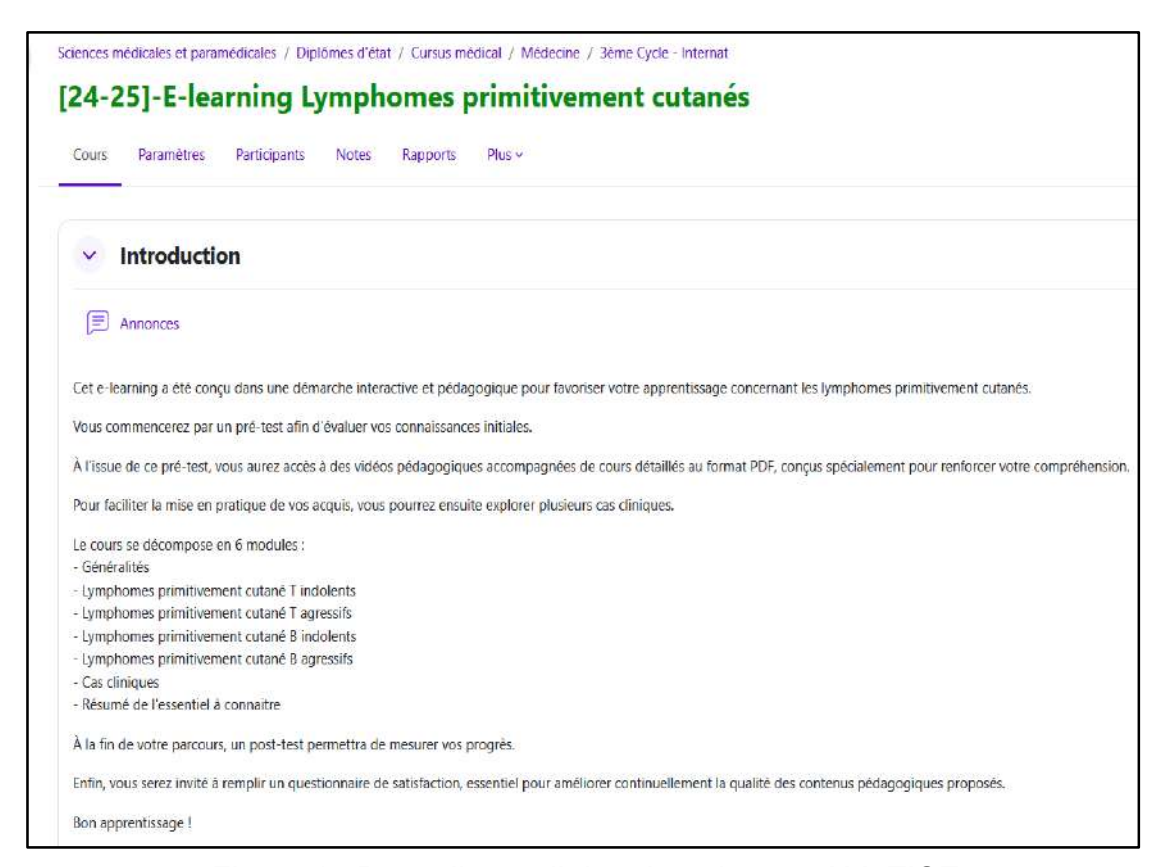


Figure 1 : Page d'accueil du e-learning sur AMeTICE

## 2.2.3.3 Enregistrement sonore

L'enregistrement sonore des vidéos a été permis grâce à l'interface du logiciel « Powerpoint ». Les vidéos ont ensuite été exportées puis montées. Nous avons réalisé cinq vidéos. Les vidéos explicatives associent des présentations visuelles avec des explications verbales détaillées afin de faciliter le processus de mémorisation. Les vidéos sont disponibles en ligne sur la plateforme AMeTICE (Aix Marseille eTice) et sont disponibles à n'importe quel moment.

## 2.2.4 Phase d'implantation

L'ensemble des cours du e-learning a été publié sur l'ENT du site d'Aix-Marseille Université (AMU) sur la plateforme AMeTICE. Elle permet aux enseignants d'y déposer des documents, de créer des cours et des modules d'évaluation sous différents formats. Cette plateforme est accessible uniquement aux étudiants inscrits à l'Université Aix-Marseille, dès lors que leur inscription à la faculté est effective. La connexion à la plateforme est protégée par un mot de passe et un identifiant, et l'étudiant ne peut avoir accès qu'aux cours auxquels l'enseignant responsable l'a inscrit.

La mise en ligne des cours s'est faite le 04 juin 2025 sur la plateforme AMeTICE et l'accès a été donné à tous les internes du DES de Dermatologie et Vénérologie d'Aix Marseille et à tous les internes du DES d'Anatomie et Cytologie Pathologiques d'Aix Marseille. Les étudiants étaient contactés par mail et via les réseaux sociaux pour les prévenir de l'accessibilité du e-learning et pour les informer qu'ils avaient trente jours pour réaliser l'enseignement et répondre au questionnaire de satisfaction, le cours restant disponible par la suite sur la plateforme sans limite de temps.

## 2.2.5 Phase d'évaluation

## 2.2.5.1 Méthode d'évaluation

Nous avons choisi pour cet e-learning d'utiliser le modèle de Kirkpatrick (140) qui est le modèle le plus connu d'analyse et d'évaluation des résultats des programmes de formation et d'éducation. Il détermine l'efficacité de la méthode d'apprentissage en fonction de quatre niveaux.

## Niveau 1: Réactions

L'objectif de ce niveau est d'évaluer le degré de satisfaction des participants à un programme de formation. Cela se fait habituellement par le biais d'un questionnaire

d'évaluation. Les questions permettent de déterminer si les participants ont trouvé les différents aspects du programme utiles pour leur travail.

## Niveau 2 : Apprentissage

On mesure à ce niveau les compétences et les connaissances acquises à la suite de l'apprentissage. L'évaluation doit idéalement être réalisée avant et après la formation (pré et post-tests). Le pré test permet d'évaluer les connaissances et compétences préalables à la formation. Le post-test est effectué à l'issue de la formation pour mesurer l'acquisition des connaissances et des compétences. Les résultats sont comparés à ceux du pré-test réalisé en début de session. Un test post-formation, à lui seul, est insuffisant pour conclure sur l'acquisition de compétences en santé. Cette évaluation peut être réalisée « à chaud », c'est-à-dire au décours immédiat de la formation, ou à distance (3 ou 6 mois).

## Niveau 3: Comportements

Cette étape permet d'évaluer des changements de comportement de l'apprenant suite à la formation, ainsi que la mise en œuvre des compétences nouvellement acquises.

## Niveau 4 : Résultats

Cette partie est le plus souvent considérée comme l'objectif principal d'une formation. Elle repose sur l'application concrète des notions du cours comme, par exemple en pratique clinique, l'impact sur la prise en charge des patients.

## 2.2.5.2 Évaluation théorique des étudiants

La méthode des pré-tests et post-tests permet au participant d'évaluer sa progression avant et après avoir pris connaissance du contenu pédagogique. Ce test est composé de vingt questions à choix multiples portant sur les différents modules abordés. Le prétest général est à effectuer avant le début de la formation. Le post-test général est à effectuer après avoir pris connaissance de l'ensemble du contenu pédagogique. Le contenu du pré-test et du post-test est identique. Une correction détaillée était disponible pour les étudiants sur la plateforme immédiatement après la validation du QCM lors de la phase de post-test. L'analyse de cette partie du e-learning correspond au niveau 2 du modèle Kirkpatrick, c'est-à-dire à l'évaluation de l'apprentissage réalisé « à chaud ». L'intégralité des QCM est disponible en annexe III.

Les niveaux 3 et 4 n'ont pas pu être évalués dans notre travail car ils nécessitent un certain recul pour apprécier la progression clinique de l'apprenant, en situation de vie réelle.

## 2.2.5.3 Évaluation globale du e-learning

Après avoir réalisé le e-learning, les étudiants devaient répondre à un questionnaire de satisfaction, afin d'évaluer la qualité du cours et de proposer des améliorations si jugées nécessaires. Il était composé de quatorze QCM et d'une question libre permettant d'effectuer des remarques sur ce cours. Cette partie du e-learning correspond au niveau 1 du modèle de Kirkpatrick, soit les réactions des participants au cours. Ce questionnaire est disponible en annexe IV.

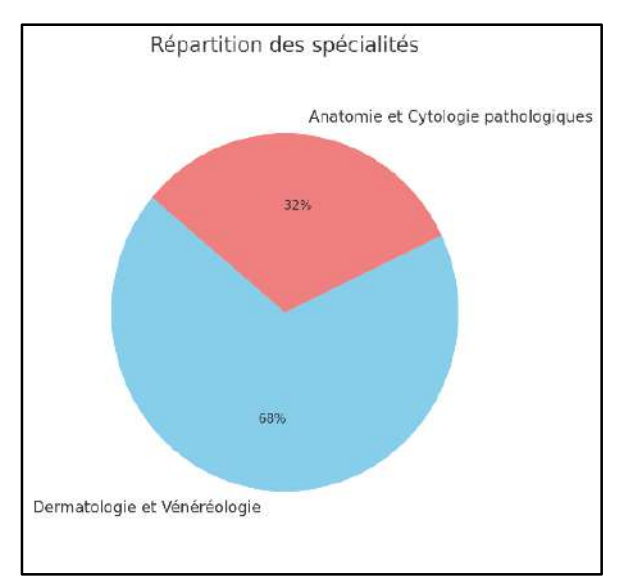
## 3. RESULTATS

## 3.1. Participation

Tous les internes inscrits en DES de Dermatologie et Vénérologie soit un total de 15 internes ont participé au e-learning avec des réponses au pré test, au post test et au questionnaire de satisfaction.

De même, 7 des 8 internes inscrits en DES d'Anatomie et Cytologie Pathologiques ont terminé l'intégralité du e-learning.

Au total, 22 étudiants ont donc participé à cet e-learning sur les lymphomes primitivement cutanés.



7ème ou 8ème

36% (8)

1er ou 2ème

23% (5)

18% (4)

5ème ou 6ème

23% (5)

Figure 2 : Répartition des spécialités des participants

Figure 3 : Semestres d'internat des participants

## Parmi ces étudiants :

- 5 étudiants étaient en 1er ou 2ème semestre
- 5 étudiants étaient en 3<sup>ème</sup> ou 4<sup>ème</sup> semestre
- 4 étudiants étaient en 5<sup>ème</sup> ou 6<sup>ème</sup> semestre
- 8 étudiants étaient en 7<sup>ème</sup> ou 8<sup>ème</sup> semestre

## 3.2. Résultats de l'évaluation par QCM (pré et post test)

Étudiant	Note Pré-	Note Post-	Différence de notes entre pré	Moyenne totale notes pré et post
	test sur 20	test sur 20	et post test	test
Dermatologie	8,75	17,4	+ 8,75	13,075
Dermatologie	6,1	10,17	+ 4,07	8,135
Dermatologie	7,9	17,25	+ 9,35	12,575
Pathologiste	5,27	17,75	+ 12,48	11,51
Pathologiste	5,55	17,27	+ 11,72	11,41
Dermatologie	4,45	18,75	+ 14,3	11,6
Pathologiste	5,27	16,1	+ 10,83	10,685
Dermatologie	8,95	14	+ 5,05	11,475
Dermatologie	8,05	16,6	+ 8,55	12,325
Dermatologie	5,9	18,17	+ 12,27	12,035
Dermatologie	3,5	16,5	+ 13	10
Dermatologie	6,1	14,52	+ 8,42	10,31
Dermatologie	7,27	19,1	+ 11,83	13,185
Dermatologie	10,15	15,83	+ 5,68	12,99
Dermatologie	4,52	10,45	+ 5,93	7,485
Pathologiste	10,15	16,35	+ 6,2	13,25
Pathologiste	5,42	17,6	+ 12,18	11,51
Dermatologie	9,72	17,5	+ 7,78	13,61
Dermatologie	4,53	17	+ 12,47	10,765
Pathologiste	10,35	17,25	+ 6,9	13,8
Pathologiste	4,25	15,63	+ 11,38	9,94
Dermatologie	8,7	19,17	+ 10,47	13,935
Moyenne globale	6,856818182	16,38	+ 9,523181818	11,61840909

Figure 4 : Tableau récapitulatif des notes des étudiants

Dans notre étude, la moyenne générale du cours s'élève à 11,61/20. Les internes de dermatologie ont obtenu la moyenne de 11,57/20 et les internes d'anatomie et cytologie pathologiques celle de 11,73/20.

La moyenne au pré-test était de 6,85/20, tandis que celle du post-test atteignait 16,38/20 avec des notes relativement comparables pour les deux groupes d'internes. Tous les étudiants ont obtenu une note supérieure à 10/20 au post-test. L'ensemble des participants a ainsi amélioré ses résultats, avec une progression moyenne de 9,5 points entre le pré-test et le post-test (+ 9,19 points pour les internes de dermatologie et + 10,24 points pour les internes pathologistes).

## 3.3. Résultats du questionnaire de satisfaction

## 3.3.1. Temps nécessaire à la réalisation du e-learning

Concernant le temps consacré à l'e-learning, 27 % des étudiants l'ont réalisé en 2 à 3 heures. La majorité, soit 41 %, ont complété le cours en 3 à 4 heures, tandis que 32 % ont nécessité plus de 4 heures. À noter qu'aucune corrélation n'a été retrouvée entre le semestre des étudiants et le temps requis pour terminer l'e-learning.

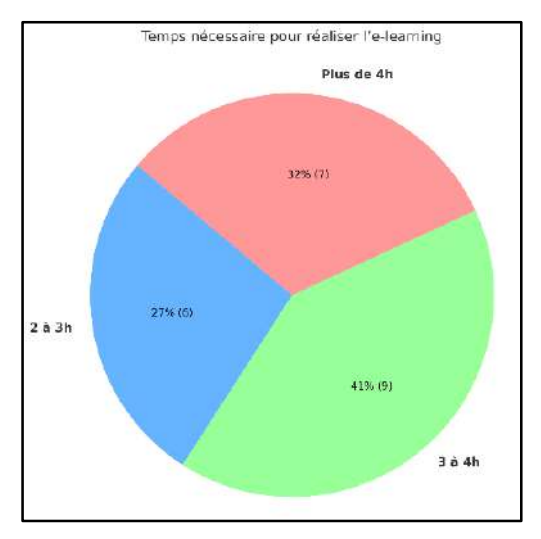


Figure 5 : Temps nécessaire à la réalisation du e-learning

## 3.3.2. Satisfaction globale

Nous avons demandé aux étudiants d'auto-évaluer leurs connaissances théoriques sur les lymphomes cutanés avant et après la réalisation de l'e-learning.

Avant le cours, la majorité d'entre eux se percevaient comme ayant un niveau médiocre (55 %) ou mauvais (27 %), soit un total de 82 % avec une faible maîtrise perçue. Seuls 18 % estimaient avoir un niveau moyen, et aucun ne s'auto-évaluait comme « bon » ou « très bon ».

À l'inverse, après avoir complété l'e-learning, la situation s'est nettement améliorée : 77 % des étudiants se considèrent désormais à un niveau bon (59 %) ou très bon (18 %). Le pourcentage d'étudiants se plaçant à un niveau moyen reste stable à 23 %, tandis qu'aucun étudiant ne se déclare désormais comme ayant un niveau médiocre ou mauvais.

Cette évolution de l'auto-perception traduit un impact positif significatif de l'e-learning sur la confiance des étudiants quant à leurs connaissances théoriques dans ce domaine.

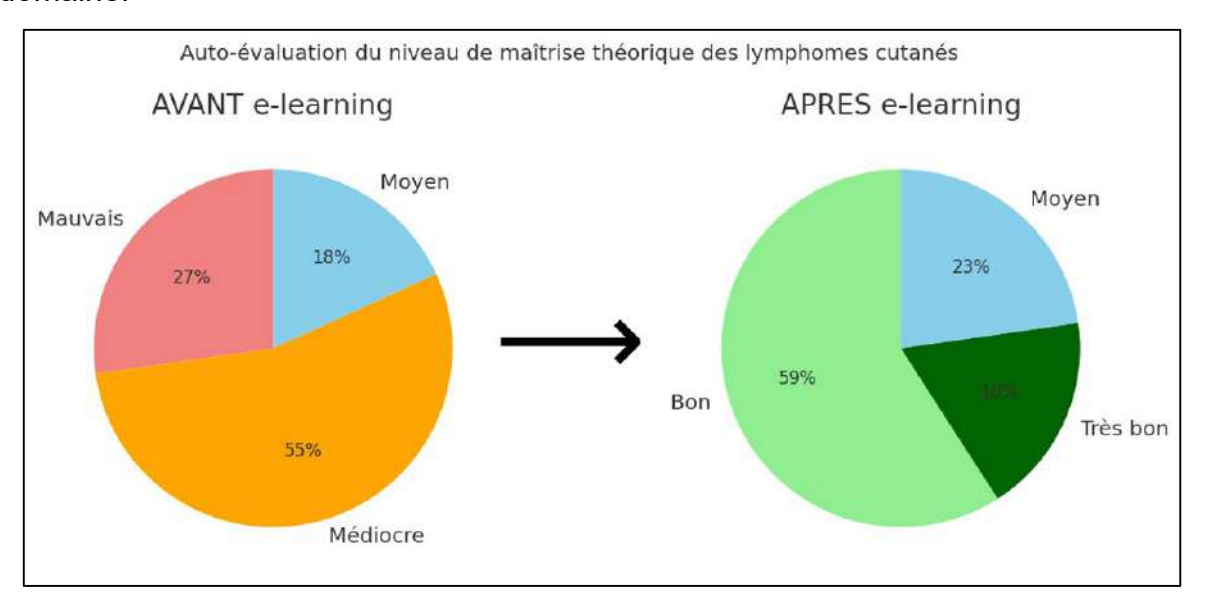


Figure 6 : auto-évaluation du niveau de maîtrise théorique des lymphomes cutanés AVANT et APRES réalisation du e-learning

Si nous nous concentrons sur la progression individuelle, dix-neuf étudiants, soit 86 %, estiment avoir « beaucoup progressé », tandis que trois étudiants (14 %) déclarent avoir « un peu progressé ». Aucun étudiant n'a indiqué ne pas avoir progressé.

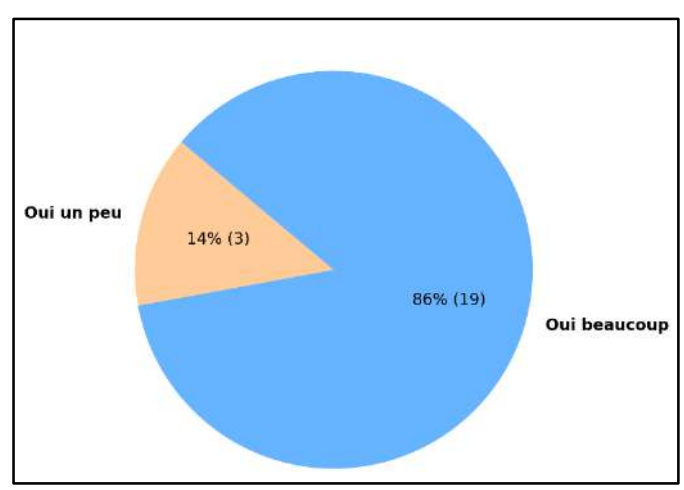


Figure 7 : Progression perçue par les étudiants après réalisation du e-learning

Enfin, la totalité des étudiants déclarent souhaiter consulter de nouveau cet e-learning à distance.

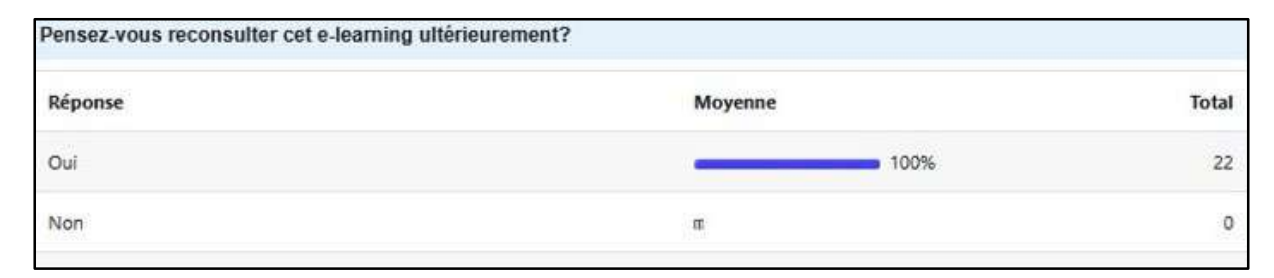


Figure 8 : Nombre d'étudiants souhaitant reconsulter le cours à distance

### 3.3.3. Méthode d'évaluation et difficulté des QCM

Aucun étudiant n'a jugé les QCM comme étant faciles. La majorité des apprenants soit 82% ont trouvé la difficulté adaptée et 18% comme difficile.

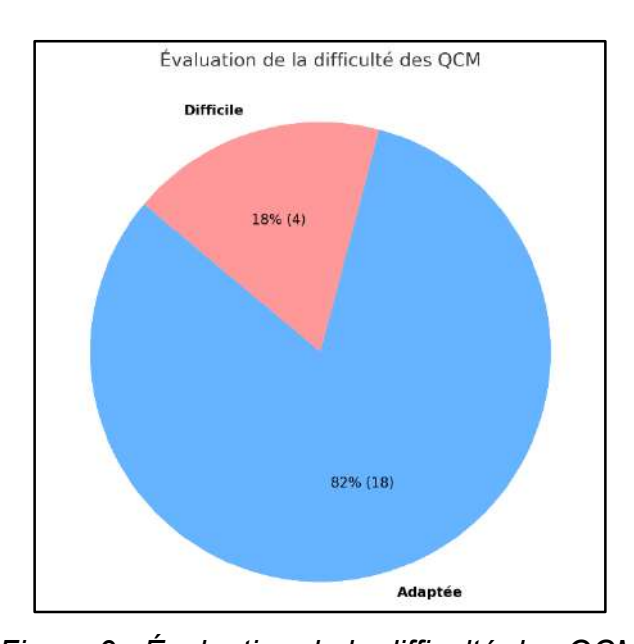


Figure 9 : Évaluation de la difficulté des QCM

## 3.3.4. Lieu de formation

La majorité des participants (64 %) ont réalisé l'e-learning à leur domicile. En seconde position, 59 % l'ont effectué depuis leur lieu de travail. Par ailleurs, 18 % des étudiants déclarent avoir suivi la formation dans les transports. À noter qu'un étudiant a même réalisé le cours depuis son lieu de vacances.

Ces résultats sont en accord avec ceux observés lors de précédents e-learning.

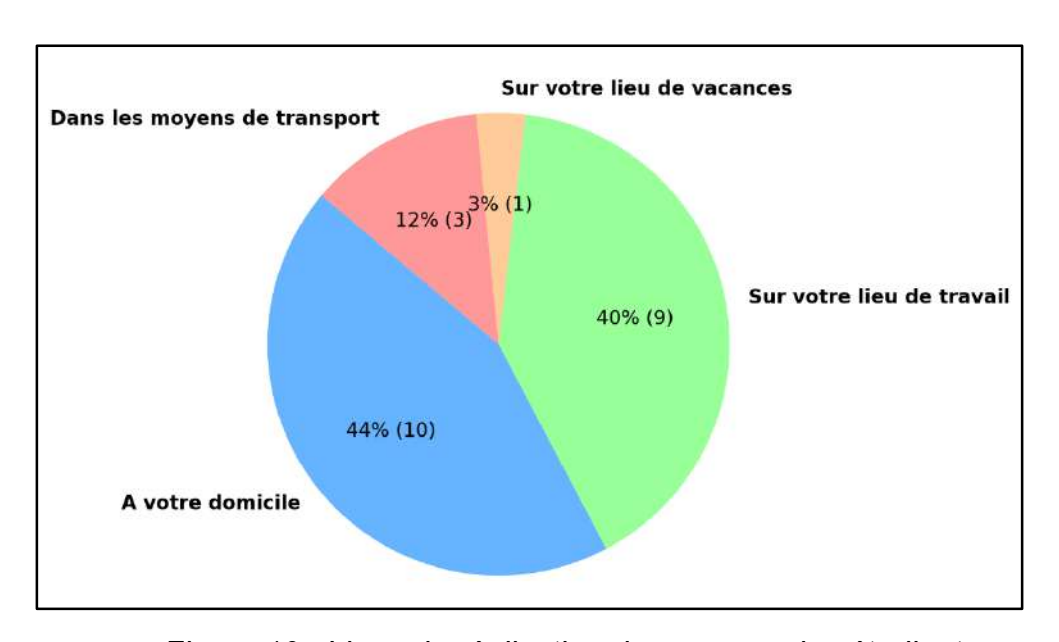


Figure 10 : Lieux de réalisation du cours par les étudiants

## 3.3.5. Avantages du e learning

Le principal avantage relevé par 21 étudiants est la possibilité de reconsulter le cours à tout moment. Vient ensuite, pour 19 des 22 participants, la flexibilité d'utilisation du e-learning, qui leur permet de suivre la formation à leur propre rythme, durant un temps d'apprentissage librement choisi. Par ailleurs, 15 étudiants soulignent l'intérêt de l'auto-évaluation par QCM, qui facilite l'identification des lacunes persistantes et des notions nécessitant un approfondissement. Enfin, 10 étudiants mentionnent le gain de temps offert par ce format, en comparaison avec un cours magistral traditionnel.

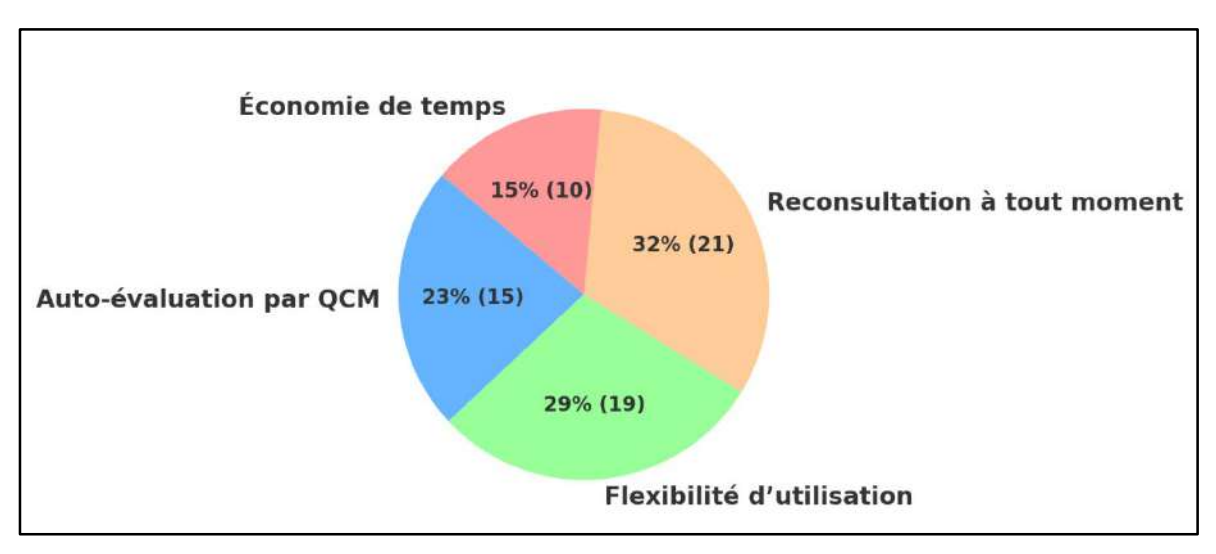


Figure 11 : Avantages du e learning selon les étudiants

## 3.3.6. Inconvénients du e learning

La majorité des étudiants (48%) n'évoque aucun obstacle à la réalisation de cette formation. 7 étudiants soit 28% rapporte l'absence de cadre éducatif traditionnel comme un frein à l'apprentissage et 6 étudiants soit 24% évoque un manque de motivation pour réaliser ce cours par eux-mêmes.

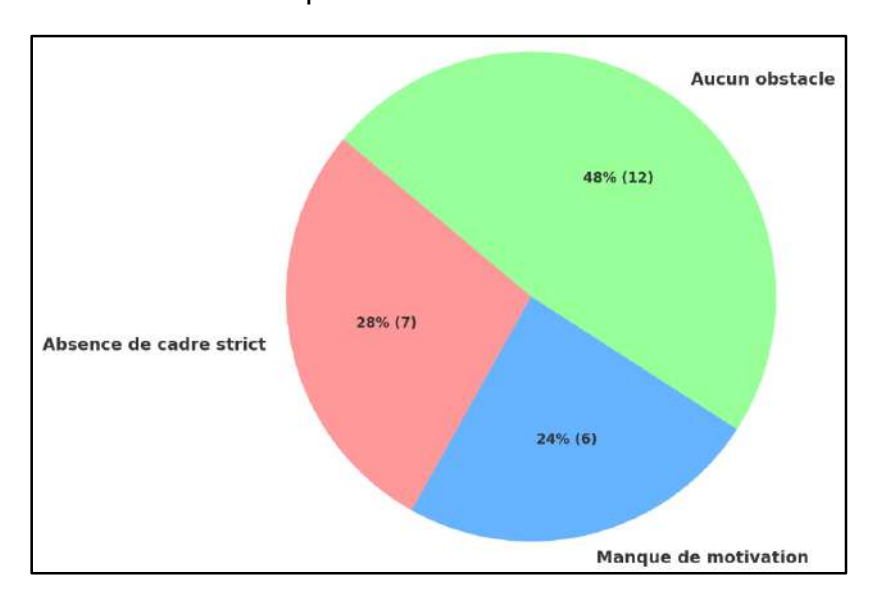


Figure 12 : Inconvénients du e learning selon les étudiants

## 3.3.7. Comparaison du e learning à un cours magistral

Malgré les inconvénients évoqués dans la partie précédente, la majorité des étudiants sont satisfaits de ce format numérique de formation. En effet, seulement un étudiant indique sa préférence pour un cours magistral en présentiel.

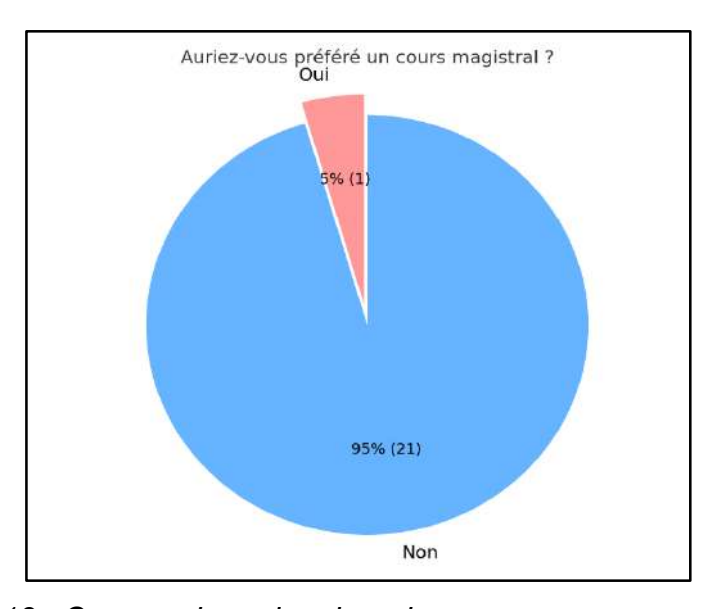


Figure 13 : Comparaison du e learning avec un cours magistral

## 3.3.8. Évaluation du diaporama sonorisé

21 étudiants soit 95% d'entre eux ont visionné les diapositives avec le support auditif. Seul un étudiant de dermatologie n'a consulté que les diapositives en format PDF non commentées.

20 étudiants rapportent un impact positif des cours sonorisés sur la compréhension et/ou la mémorisation du cours. 1 étudiant rapporte quant à lui que les commentaires sonorisés n'ont pas apporté de plus-value au cours.

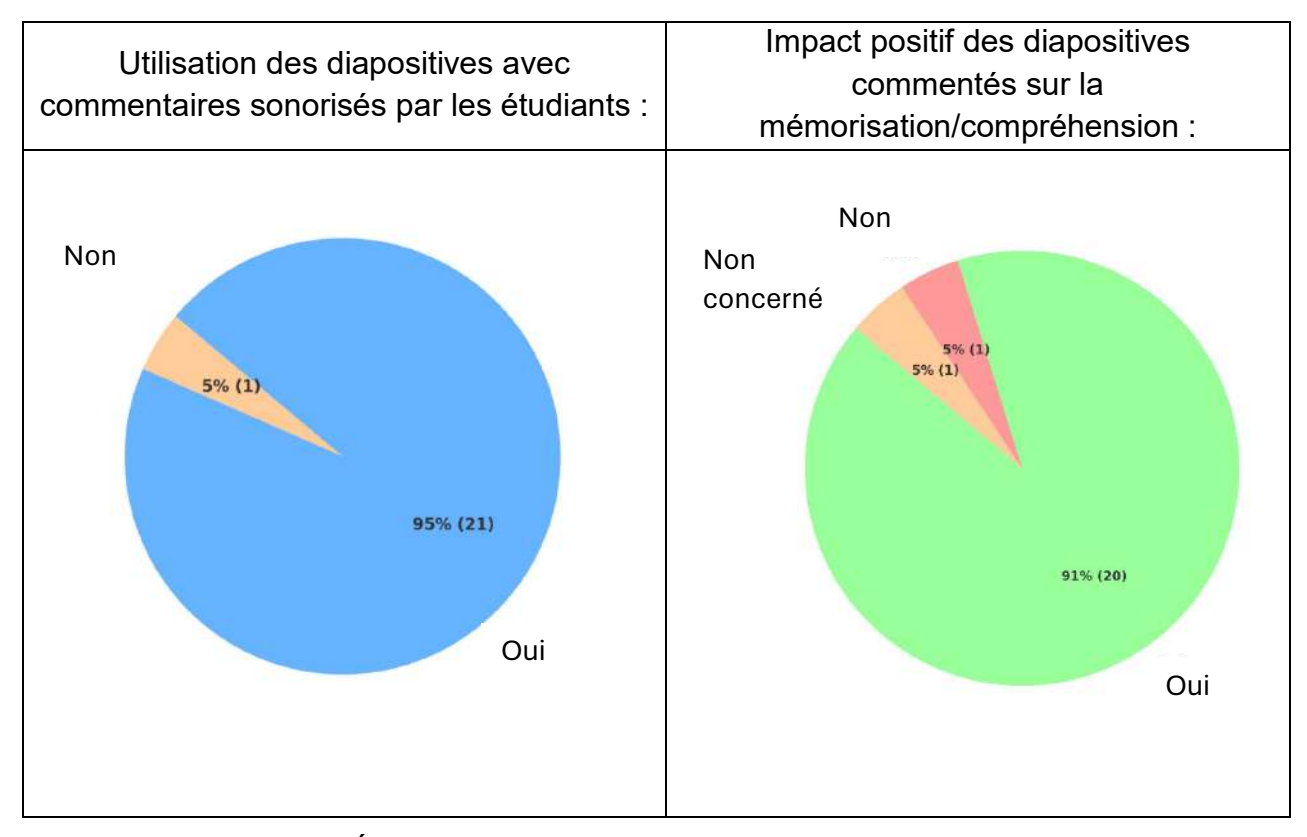


Figure 14 : Évaluation du diaporama sonorisé par les participants

## 3.3.9. Remarques globales des participants

Un grand nombre d'étudiant nous remercie pour ce travail et les remarques illustrent une globale satisfaction. Un étudiant rapporte un problème technique d'affichage du questionnaire du post test ayant perturbé sa réalisation sur le téléphone portable. Un étudiant souligne la complémentarité des deux formats de cours proposés : PDF et vidéos sonorisés. Un étudiant suggère que présenter ce cours en présentiel serait un atout pour la formation. Un étudiant évoque d'améliorer le format des cas cliniques proposés en intégrant plus de QCM dans ce module afin de tester ces connaissances.

Merci beaucoup pour cet e-learning c'était très formateur sur un sujet difficile, les vidéos sont top!

Très bel e-learning, très complet et didactique, qui permet de s'y retrouver dans ce vaste sujet très compliqué! J'y reviendrai avec plaisir

Merci pour ton travail de qualité, les vidéos sonorisées apportent une réelle plus-value au cours et les cas cliniques permettant de mettre immédiatement en pratique le cours sont également une bonne idée! J'ai cependant rencontré un problème d'affichage des deux dernières questions lors du post test (réalisé sur mon téléphone) m'empêchant de répondre correctement aux questions.

Merci beaucoup pour le e-learning, bravo c'est un super travail

Sujet compliqué et mal connu pour beaucoup d'entre nous. Cet e-learning a permis d'y voir plus clair. Le contenu est bien expliqué, structuré, et rend le sujet beaucoup plus accessible. Très bon support pour mieux retenir et comprendre les lymphomes cutanés

Très pratique d'avoir les deux formats : PDF non sonorisé, lorsque l'on a besoin de se référer à une partie précise ou qu'on veut relire un sujet en particulier, ou qu'on ne peut pas mettre de son (transport en commun, pas d'écouteur etc.). Et version sonorisée très bien pour la mémoire et les explications, permet également de rester concentrer.

E-learning très bien construit avec diapos claires et bien organisées, avec photos & coupes anapath.

Merci pour la clarté des cours, les diapositives commentées ont permis une meilleure compréhension des points clés ! Point d'amélioration : pourquoi ne pas proposer la séance de correction en présentiel, pour plus de convivialité et de motivation ? Cela permettrait aussi de poser nos éventuelles questions le jour de la séance

Cours bien hiérarchisé, pas de questions particulières! C'était parfait

Bravo pour ton travail très utile

Pas de remarque particulière, super e-learning!

Excellent e-learning, complet et à la fois synthétique. Cours très clairs et bien illustrés. Permet de bien faire le lien entre microscopie et clinique, afin de mieux aborder les cas à l'avenir.

Merci pour cet e-learning plus que complet et clair.

Les diapos sont toutes a la fois compréhensibles et synthétiques.

Le diaporama sonorisé est un énorme plus pour l'ancrage des informations : 4 mon sens c'est le compromis parfait, entre le cours magistral et le e-learning avec seulement des diapositives, qui peut poser un problème de concentration. Les fiches récapitulatives étaient un bon moyen de répéter les informations.

J'ai vraiment l'impression d'avoir énormément progressé dans la connaissance des lymphomes cutanés, qui sont une partie assez obscure de la dermatologie en termes de physiopathologie et avec beaucoup d'entités rares. Le choix du découpage entre T/B et indolent/ingressif permettait de bien comprendre les messages Clairs et importants (recherche de lymphome systémique, bilan ou non...) et il y avait toujours un lien entre théorie et pratique.

Je suis vraiment très satisfait de cet e-learning. La seule chose a améliorer aurait été de faire les cas cliniques peut être sous forme de QCM comme le pré/post test plutôt que de diapos pour pouvoir bien s'entrainer avec un déroulé du cas (car parfois réponses directement sur les diapos). A part ça rien a dire, c'était parfait.

Figure 15 : Remarques anonymisées des participants

## 4. DISCUSSION

Tous les étudiants ayant participé à cette formation par e-learning rapportent avoir progressé dans le domaine des lymphomes cutanés, ce qui est concordant avec les données de la littérature ainsi qu'avec les résultats des précédents e-learning réalisés par les internes de l'hôpital Nord.

En effet, l'efficacité des formations en ligne dans le domaine médical a été largement démontrée, en particulier lorsqu'elles sont comparées à l'absence d'intervention. Les travaux disponibles suggèrent que les programmes de e-learning dans la formation médicale améliorent à la fois les connaissances théoriques et les compétences cliniques comparativement à un groupe témoin neutre ne recevant pas d'enseignement (140, 141,142).

Cependant, la supériorité des formations par e-learning en comparaison aux cours magistraux n'est actuellement pas démontrée. L'Organisation Mondiale de la Santé (OMS) a publié en 2015 une revue systématique de la littérature incluant 49 études portant sur l'intérêt du e-learning dans la formation initiale médicale ou paramédicale (143). Parmi ces études, 33 comparaient l'acquisition des connaissances entre les formats e-learning et l'enseignement traditionnel. Un gain de connaissances statistiquement significatif en faveur du e-learning a été observé dans 11 d'entre elles (33 %). En revanche, 19 études (58 %) ne montraient pas de différence significative entre les deux modalités pédagogiques. Cette revue de la littérature illustre bien les résultats hétérogènes qui suggèrent que, bien que le e-learning puisse être aussi efficace, voire supérieur, à la formation traditionnelle dans certains contextes, l'efficacité de cette formation varie en fonction des paramètres spécifiques de l'étude et des groupes d'apprenants. Ces résultats corroborent avec ceux d'une méta analyse de 16 essais randomisés de Vaona et al (144) rapportant une équivalence en termes d'amélioration des connaissances et des compétences cliniques entre enseignement en présentiel et e-learning.

Dans notre étude, 95 % des étudiants ont exprimé une préférence pour le format elearning par rapport aux cours magistraux. L'un des avantages principaux cités par 19 des participants est la flexibilité offerte par ce mode d'apprentissage. En effet, le elearning permet aux étudiants de se former au moment et dans le lieu qui leur convient le mieux, favorisant ainsi un environnement propice à une meilleure concentration et assimilation des connaissances. À l'inverse, les cours magistraux sont dispensés à des horaires fixes, imposant un cadre temporel qui ne correspond pas nécessairement aux rythmes individuels d'apprentissage de chacun.

Néanmoins, le manque de concentration et le manque de motivation ont été rapporté comme les principaux freins par les étudiants. Pour répondre à cette problématique, nous avons pris la décision de sonoriser l'intégralité du cours dans le but de le rendre plus stimulant et didactique. Cette approche visait également à favoriser la mémorisation grâce à la sollicitation de la mémoire auditive, en complément des supports visuels. De plus, la sonorisation nous a permis d'insister à l'oral sur les notions clés, renforçant ainsi l'attention des apprenants sur les éléments fondamentaux du cours. Cette initiative s'est révélée pertinente, puisque 91 % des étudiants ont déclaré que la sonorisation avait contribué à améliorer leur compréhension et leur mémorisation du contenu. Il paraît ainsi pertinent d'envisager des approches hybrides, combinant e-learning et enseignement présentiel, communément appelées blended learning. Plusieurs études suggèrent en effet que cette combinaison pédagogique optimise l'acquisition des connaissances théoriques et des compétences cliniques, en comparaison à un format d'enseignement unique, qu'il soit exclusivement en ligne ou en présentiel (145, 146).

En dermatologie, qui est une spécialité particulièrement visuelle où l'iconographie joue un rôle central dans l'apprentissage, la formation par e-learning apparaît comme particulièrement adaptée. En effet, elle permet d'accéder à un large éventail d'images cliniques de haute qualité, facilitant ainsi la reconnaissance des lésions cutanées et l'amélioration des capacités diagnostiques en lien avec la pratique quotidienne. L'étude de Dolev et al. (147) suggère l'intérêt du e-learning dans la détection des cancers cutanés par des internes en dermatologie. Dans cette étude, deux cent cinquante-deux étudiants suivaient une formation pour améliorer leurs compétences et capacité de détection des cancers cutanés. La formation reçue était bimodale avec un stage de pratique clinique associé à une formation en ligne (eDerm). Les étudiants étaient évalués à trois reprises (avant toute formation, après la formation en ligne puis après avoir suivi les deux formations en ligne et stage clinique). Ils étaient randomisés en 2 bras, selon qu'ils recevaient la formation eDerm avant ou après le stage clinique. Le diagnostic précoce des cancers cutanés était significativement amélioré dans les deux bras (p<0.001). Le meilleur résultat était obtenu en cas de formation en ligne

réalisée après le stage clinique (p=0.005). Enfin, dans cette étude, la formation en ligne permettait une amélioration dans la détection du mélanome plus importante que le stage clinique (p<0.001).

En ce qui concerne notre e-learning, il serait intéressant d'évaluer à nouveau les étudiants, à distance de la réalisation de cette formation, pour étudier la pérennité des connaissances dans le temps et la modification éventuelle des pratiques cliniques, correspondant au niveau quatre du modèle de Kirkpatrick, que nous n'avons pu réaliser dans ce travail par manque de recul. Une formation mixte ou blended learning pourrait également être envisagée pour améliorer l'efficacité de la formation avec par exemple des séances de cours ou de cas clinique en présentiel à distance de la formation virtuelle pour favoriser l'ancrage des connaissances.

## 5. CONCLUSION

Les formations en ligne sont en plein essor. La dermatologie est une spécialité très visuelle qui se prête particulièrement bien à ce format d'enseignement.

Dans ce contexte, nous avons élaboré un e-learning sur les lymphomes primitivement cutanés destiné aux internes inscrits en DES de Dermatologie et Vénérologie et en DES d'Anatomie et Cytologie Pathologiques de l'université d'Aix-Marseille pour l'année 2024-2025.

L'objectif de notre travail était d'améliorer les connaissances sur les lymphomes primitivement cutanés qui sont des entités complexes souvent mal maîtrisées.

La formation comprend des cours sonorisés détaillés, actualisés, riches en iconographie cliniques et histologiques disponibles en format PowerPoint commenté et PDF, accompagnés de fiches récapitulatives, d'un module de cas cliniques et de QCM d'auto-évaluation corrigés. Nous avons évalué les acquis des étudiants et leur satisfaction grâce à un questionnaire. L'ensemble de cet e-learning est disponible sur la plateforme AMeTICE de l'ENT de la Faculté de Médecine d'Aix-Marseille.

Les résultats de notre étude montrent que l'ensemble des étudiants ayant suivi la formation ont estimé avoir progressé et gagné en confiance dans leurs connaissances théoriques sur les lymphomes cutanés. La progression significative entre les résultats du pré-test et du post-test vient objectiver ce ressenti. De plus, tous les étudiants ont exprimé leur intention de reconsulter la formation, et 95 % d'entre eux ont exprimé une préférence pour ce format e-learning par rapport aux cours magistraux.

L'ancrage des connaissances a été renforcé par la sonorisation des cours, sollicitant également la mémoire auditive, tandis que les fiches récapitulatives et le module de synthèse ont permis de souligner les notions clés à maîtriser.

Dans un objectif d'amélioration continue de l'offre pédagogique, il serait pertinent d'envisager une évolution vers un format hybride combinant enseignement en présentiel et formation en ligne, permettant ainsi de tirer parti des atouts de chaque modalité. Par ailleurs, afin d'évaluer la durabilité des acquis, la mise en place d'un suivi à distance à travers des QCM répétés dans le temps permettrait de mesurer le maintien des connaissances et d'ajuster au besoin les contenus pédagogiques.

## 6. BIBLIOGRAPHIE

- 1. Guide de conception de formation ouverte et à distance (FOAD) dans le monde de la santé, HAS, avril 2015, https://www.has-sante.fr/jcms/c\_2060277/fr/e-learning-un-guide-de-conception-de-formation-ouverte-et-a-distance-foad.
- 2. Circulaire DGEFP no 2001-22 du 20 juillet 2001 relative aux formations ouvertes et/ou à distance « FOAD » : définition, obligations des prestataires, imputabilité des dépenses sur l'obligation de participation des employeurs. https://travailemploi.gouv.fr/ publications/picts/bo/05092001/A0160004.htm.
- Groupe de travail réuni à l'initiative de la Direction de la Technologie (MR) piloté par Frédéric Haeuw (ALGORA). COMPETICE Outil de pilotage par les compétences des projets TICE dans l'enseignement dans l'enseignement supérieur. Sept 2001.
- 4. HAS, Évaluation et amélioration des pratiques Guide E-learning, 2015.
- 5. Code Civil. Articles 7 à 15, https://www.legifrance.gouv.fr/affichCode.do?cid Texte=LEGI TEXT000006070721
- 6. Code de la Santé Publique. Article L11, https://www.legifrance.gouv.fr/affichCodeArticle.do?idArticle=LEGIARTI000036515027&cidTexte=LEGITEXT0 00006072665&dateTexte=20180119.
- 7. Code De La Propriété Intellectuelle. Article L-111-1 à L112, https://www.legif rance.gouv.fr/AffichCodeArticle.do?idArticle=LEGIARTI000006278868&cidText e=LEGITEXT000006069414&dateTexte=20060803
- 8. https://www.inpi.fr/fr/proteger-vos-creations/lenveloppe-soleau/enveloppe-soleau.
- 9. https://www.culture.gouv.fr/Sites-thematiques/Propriete-litteraire-et-artistique/Fic hes-techniques.
- 6e édition du traité de dermatologie et infections sexuellement transmissibles, J.-H. Saurat, Elsevier, 2017, Elsevier, 2017
- 11. Skin Lymphoma de L.Cerroni, 5<sup>e</sup> edition, Wiley, 2020.
- 12. Les lymphomes cutanés de M.Bagot, Springer, 2013.
- 13. Kirkpatrick DL, Kirkpatrick JD: Evaluating training programs: the four levels. Berrett- Koehler Publishers 1998.

- 14. Alaggio R, et al. The 5th edition of the World Health Organization Classification of Haematolymphoid Tumours: Lymphoid Neoplasms. Leukemia. 2022 Jul;36(7):1720-1748. doi: 10.1038/s41375-022-01620-2. Epub 2022 Jun 22. Erratum in: Leukemia. 2023 Sep;37(9):1944-1951.
- 15. Willemze R, et al. ESMO Guidelines Committee. Primary cutaneous lymphomas: ESMO Clinical Practice Guidelines for diagnosis, treatment and follow-up. Ann Oncol. 2018 Oct 1;29(Suppl 4):iv30-iv40.
- 16. Collège CEDEF, Hématologie, 3e edition.
- 17. Immunologie fondamentale et immunopathologie, Elsevier Masson, 2018.
- 18. Current opinion in immunology, Elsevier Masson, 1996.
- 19. Medzhitov R, Janeway C Jr. Innate immunity. N Engl J Med. 2000 Aug 3;343(5): 338-44.
- 20. Toffoletti E, Haematologica. 2008 doi: 10.3324/haematol.12241. PMID: 18450740.
- 21. Front. Immunol, 2021, Sec. B Cell Biology, Volume 12 https://doi.org/10.3389/fimmu.2021.729143.
- 22. Willemze R, et al. The 2018 update of the WHO-EORTC classification for primary cutaneous lymphomas. Blood. 2019 Apr 18;133(16):1703-1714.
- 23. Goodlad JR, et al. Recent advances in cutaneous lymphoma-implications for current and future classifications. Virchows Arch. 2023 Jan;482(1):281-298.
- 24. Pulitzer M. Cutaneous T-cell Lymphoma. Clin Lab Med. 2017 Sep;37(3):527-546.
- 25. M.Beylot-Barry, Management of cutaneous T-cell lymphomas: Recommendations of the French Cutaneous Lymphoma Group, 2010 Elsevier Masson.
- 26. Oschlies I, et al. The clinico-pathological spectrum of primary cutaneous lymphoma other than mycosis fungoides/Sezary syndrome. Virchows Arch. 2020 May;476(5):683-699.
- 27. Alberti-Violetti S, Berti E. Update on primary cutaneous T-cell lymphomas rare subtypes. Dermatol Reports. 2024 May 7;16(Suppl 2):9961.
- 28. Alibert JL, Mycosis fongoïde, monographie des dermatoses ou précis théorique et pratique des maladies de la peau, Paris, Daynac, 1832, p 274.

- 29. Cai ZR, et al. Incidence Trends of Primary Cutaneous T-Cell Lymphoma in the US From 2000 to 2018: A SEER Population Data Analysis. JAMA Oncol. 2022 Nov 1;8(11):1690-1692.
- 30. Miyashiro D, Sanches JA. Mycosis fungoides and Sézary syndrome: clinical presentation, diagnosis, staging, and therapeutic management. Front Oncol. 2023 Apr 14;13:1141108.
- 31. Dobos G, et al. French Study Group on Cutaneous Lymphomas (GFELC). Epidemiological changes in cutaneous lymphomas: an analysis of 8593 patients from the French Cutaneous Lymphoma Registry. Br J Dermatol. 2021 Jun;184(6):1059-1067.
- 32. F. Amatore, Physiopathologie des lymphomes T cutanés épidermotropes (Mycosis Fongoïde et Syndrome de Sézary), Elsevier, 2022.
- 33. Van Doorn R, Oncogenomic analysis of mycosis fungoides reveals major differences with Sezary syndrome. Blood. 2009 Jan 1;113(1):127-36.
- 34. Pimpinelli N, et al. Defining early mycosis fungoides. J Am Acad Dermatol. 2005 Dec;53(6):1053-63.
- Muñoz-González H, Molina-Ruiz AM, Requena L. Clinicopathologic Variants of Mycosis Fungoides. Actas Dermosifiliogr. 2017 Apr;108(3):192-208. English, Spanish.
- 36. Miyashiro D, Sanches JA. Mycosis fungoides and Sézary syndrome: clinical presentation, diagnosis, staging, and therapeutic management. Front Oncol. 2023 Apr 14;13:1141108.
- 37. Hodak E, et al. M. New insights into folliculotropic mycosis fungoides (FMF): A single-center experience. J Am Acad Dermatol. 2016 Aug;75(2):347-55.
- 38. Van Santen S, et al. Clinical Staging and Prognostic Factors in Folliculotropic Mycosis Fungoides. JAMA Dermatol. 2016 Sep 1;152(9):992-1000.
- 39. Shah A, Safaya A. Granulomatous slack skin disease: a review, in comparison with mycosis fungoides. J Eur Acad Dermatol Venereol. 2012 Dec;26(12):1472-8.
- 40. Olsen E, et al. Revisions to the staging and classification of mycosis fungoides and Sezary syndrome: a proposal of the International Society for Cutaneous Lymphomas (ISCL) and the cutaneous lymphoma task force of the European Organization of Research and Treatment of Cancer (EORTC). Blood. 2007 Sep 15;110(6):1713-22.

- 41. Willemze R, et al. ESMO Guidelines Committee. Primary cutaneous lymphomas: ESMO Clinical Practice Guidelines for diagnosis, treatment and follow-up. Ann Oncol. 2018 Oct 1;29(Suppl 4):iv30-iv40.
- 42. Latzka J, et al. EORTC consensus recommendations for the treatment of mycosis fungoides/Sézary syndrome Update 2023. Eur J Cancer. 2023 Dec;195:113343.
- 43. Johnson WT, et al. Allogeneic hematopoietic stem cell transplantation in advanced stage mycosis fungoides and Sézary syndrome: a concise review. Chin Clin Oncol. 2019 Feb;8(1):12.
- 44. Hosing C, et al. Allogeneic stem-cell transplantation in patients with cutaneous lymphoma: updated results from a single institution. Ann Oncol. 2015 Dec;26(12):2490-5.
- 45. Willemze R, et al. CJ. WHO-EORTC classification for cutaneous lymphomas. Blood. 2005 May 15;105(10):3768-85.
- 46. Martires KJ, et al. Characterization of primary cutaneous CD8+/CD30+ lymphoproliferative disorders. Am J Dermatopathol. 2015 Nov;37(11):822-33.
- 47. Kartan S, et al. The spectrum of CD30+ T cell lymphoproliferative disorders in the skin. Chin Clin Oncol. 2019 Feb;8(1):3.
- 48. Wagner G, et al. Lymphomatoid papulosis. J Dtsch Dermatol Ges. 2020 Mar;18(3):199-205.
- 49. Nijsten T, et al. Lymphomatoid papulosis in children: a retrospective cohort study of 35 cases. Arch Dermatol. 2004 Mar;140(3):306-12.
- 50. Martinez-Cabriales SA, Walsh S, Sade S, Shear NH. Lymphomatoid papulosis: an update and review. J Eur Acad Dermatol Venereol. 2020 Jan;34(1):59-73.
- 51. Swallow MA et al Clinical and Histologic Variants of CD8+ Cutaneous T-Cell Lymphomas. Cancers (Basel). 2024 Sep 5;16(17):3087
- 52. Pujol RM, et al. Oral involvement in lymphomatoid papulosis. Report of two cases and review of the literature. Dermatology. 2005;210(1):53-7.
- 53. Deroo-Berger MC et al. Lymphomatoid papulosis: a localized form with acral pustular involvement. Dermatology. 2002;205(1):60-2.
- 54. Sureda N, et al. Bullous lymphomatoid papulosis. Clin Exp Dermatol. 2011 Oct;36(7):800-1.

- 55. Chimenti S, Fargnoli MC, Pacifico A, Peris K. Mucosal involvement in a patient with lymphomatoid papulosis. J Am Acad Dermatol. 2001 Feb;44(2 Suppl):339-41.
- 56. Di Raimondo C, et al. Primary Cutaneous CD30+ Lymphoproliferative Disorders: a Comprehensive Review. Curr Hematol Malig Rep. 2020 Aug;15(4):333-342.
- 57. Prise en charge des lymphomes T cutanés: recommandations du Groupe français d'étude des lymphomes cutanés, M. Beylot-Barry, Annales de dermatologie et de vénéréologie (2010) 137, 611—621
- 58. Martires KJ, et al. Characterization of primary cutaneous CD8+/CD30+ lymphoproliferative disorders. Am J Dermatopathol. 2015 Nov;37(11):822-33.
- 59. Kartan S, et al. The spectrum of CD30+ T cell lymphoproliferative disorders in the skin. Chin Clin Oncol. 2019 Feb;8(1):3.
- 60. Di Raimondo C, et al. Primary Cutaneous CD30+ Lymphoproliferative Disorders: a Comprehensive Review. Curr Hematol Malig Rep. 2020 Aug;15(4):333-342.
- 61. Alberti-Violetti S, et al. Clinicopathological and molecular study of primary cutaneous CD4+ small/medium-sized pleomorphic T-cell lymphoma. J Cutan Pathol. 2016 Dec;43(12):1121-1130.
- 62. Maurelli M, et al. Primary Cutaneous CD4+ Small/Medium Pleomorphic T-Cell Lymphoproliferative Disorder: A Case Series. J Cutan Med Surg. 2017 Nov/Dec;21(6):502-506.
- 63. Sarac E, Primary cutaneous CD4+ small/medium T-cell lymphoproliferative disorder: a case with multiple tumors. An Bras Dermatol. 2023 Sep-Oct;98(5):720-722.
- 64. Valentim FO, et al. Case for diagnosis. Primary cutaneous CD4+ small/medium T-cell lymphoproliferative disorder. An Bras Dermatol. 2019 Jan-Feb;94(1):99-101.
- 65. Salah E. Primary cutaneous CD4+ small/medium pleomorphic T-cell lymphoproliferative disorder: Where do we stand? A systematic review. J Dtsch Dermatol Ges. 2019 Feb;17(2):123-136.
- 66. Grogg KL, et al Primary cutaneous CD4-positive small/medium-sized pleomorphic T-cell lymphoma: a clonal T-cell lymphoproliferative disorder with indolent behavior. Mod Pathol. 2008 Jun;21(6):708-15.
- 67. Davick JJ, et al. Primary Cutaneous Small/Medium CD4+ T-CELL Lymphoproliferative Disorder Occurring in a Patient With Metastatic Melanoma. Am J Dermatopathol. 2018 Jan;40(1):60-63.

- 68. James E, et al. CD4 + primary cutaneous small/medium-sized pleomorphic T-cell lymphoma: a retrospective case series and review of literature. Leuk Lymphoma. 2015 Apr;56(4):951-7.
- 69. Williams VL, et al. Primary cutaneous small- to medium-sized CD4+ pleomorphic T-cell lymphoma: a retrospective case series and review of the provisional cutaneous lymphoma category. Am J Clin Dermatol. 2011 Dec 1;12(6):389-401.
- 70. Leeolou MC, et al. Primary cutaneous CD4+ small/medium-sized pleomorphic T-cell lymphoproliferative disorder in a young woman. Dermatol Online J. 2022 Dec 15;28(6).
- 71. Willemze R, et al. EORTC Cutaneous Lymphoma Group. Subcutaneous panniculitis-like T-cell lymphoma: definition, classification, and prognostic factors: an EORTC Cutaneous Lymphoma Group Study of 83 cases. Blood. 2008 Jan 15;111(2):838-45.
- 72. Vose J, et al/ International T-Cell Lymphoma Project. International peripheral T-cell and natural killer/T-cell lymphoma study: pathology findings and clinical outcomes. J Clin Oncol. 2008 Sep 1;26(25):4124-30.
- 73. Willemze R. Cutaneous lymphomas with a panniculitic presentation. Semin Diagn Pathol. 2017 Jan;34(1):36-43.
- 74. Lee DW, Subcutaneous panniculitis-like T-cell lymphoma: a clinical and pathologic study of 14 korean patients. Ann Dermatol. 2011 Aug;23(3):329-37.
- 75. Koh J, et al. Genetic profiles of subcutaneous panniculitis-like T-cell lymphoma and clinicopathological impact of HAVCR2 mutations. Blood Adv. 2021 Oct 26;5(20):3919-3930.
- 76. Sugeeth MT, et al. Subcutaneous panniculitis-like T-cell lymphoma. Proc (Bayl Univ Med Cent). 2017 Jan;30(1):76-77.
- 77. Kong YY, et al. Subcutaneous panniculitis-like T-cell lymphoma: a clinicopathologic, immunophenotypic, and molecular study of 22 Asian cases according to WHO-EORTC classification. Am J Surg Pathol. 2008 Oct;32(10):1495-502.
- 78. Hoque SR, et al. Subcutaneous panniculitis-like T-cell lymphoma: a clinicopathological, immunophenotypic and molecular analysis of six patients. Br J Dermatol. 2003 Mar;148(3):516-25.
- 79. Shen G, et al Subcutaneous Panniculitis-like T Cell Lymphoma Mimicking Early-Onset Nodular Panniculitis. Am J Case Rep. 2016 Jun 25;17:429-33.

- 80. Alsomali DY, et al. Diagnosis and Treatment of Subcutaneous Panniculitis-like T-cell Lymphoma: A Systematic Literature Review. Hematol Oncol Stem Cell Ther. 2023 Jan 17;16(2):110-116.
- 81. García-Herrera A, Calonje E. Cutaneous Lymphomas with Cytotoxic Phenotype. Surg Pathol Clin. 2017 Jun;10(2):409-427.
- 82. Petrella T, et al. Indolent CD8-positive lymphoid proliferation of the ear: a distinct primary cutaneous T-cell lymphoma? Am J Surg Pathol. 2007 Dec;31(12):1887-92.
- 83. Kluk J, Indolent CD8-positive lymphoid proliferation of acral sites: three further cases of a rare entity and an update on a unique patient. J Cutan Pathol. 2016 Feb;43(2):125-36.
- 84. Petrogiannis-Haliotis T, et al. Primary Cutaneous Multifocal Indolent CD8+ T-Cell Lymphoma: A Novel Primary Cutaneous CD8+ T-Cell Lymphoma. Biomedicines. 2023 Feb 20;11(2):634.
- 85. Ormerod E, Primary cutaneous acral CD8+ T-cell lymphoma of the ear: A case report. J Cutan Pathol. 2019 Oct;46(10):790-793.
- 86. Ryan AJ, Primary cutaneous peripheral T-cell lymphoma, unspecified with an indolent clinical course: a distinct peripheral T-cell lymphoma? Clin Exp Dermatol. 2010 Dec;35(8):892-6.
- 87. Sahraoui G, et al. The enigmatic ear: Unveiling a rare case of a primary cutaneous CD8+ acral T-cell lymphoproliferative disorder with a literature review. Rare Tumors. 2023 Sep 22;15:20363613231204046.
- 88. Wobser M, et al. CD68 expression is a discriminative feature of indolent cutaneous CD8-positive lymphoid proliferation and distinguishes this lymphoma subtype from other CD8-positive cutaneous lymphomas. Br J Dermatol. 2015 Jun;172(6):1573-1580.
- 89. Hathuc VM, et al. Primary Cutaneous Acral CD8+ T-Cell Lymphoma. Arch Pathol Lab Med. 2017 Nov;141(11):1469-1475.
- 90. Tjahjono LA et al. Primary Cutaneous Acral CD8+ T-Cell Lymphoma-A Single Center Review of 3 Cases and Recent Literature Review. Am J Dermatopathol. 2019 Sep;41(9):644-648.
- 91. Kohnken R, et al. Sézary Syndrome: Clinical and Biological Aspects. Curr Hematol Malig Rep. 2016 Dec;11(6):468-479.
- 92. Larocca C, Kupper T. Mycosis Fungoides and Sézary Syndrome: An Update. Hematol Oncol Clin North Am. 2019 Feb;33(1):103-120.

- 93. Cristofoletti C,et al. Sézary Syndrome, recent biomarkers and new drugs. Chin Clin Oncol. 2019 Feb;8(1):2.
- 94. A. Caudrona et al. Actualités sur le syndrome de Sezary 2011 Elsevier Masson, doi:10.1016/j.annder.2011.09.188.
- 95. Miyashiro D, Sanches JA. Mycosis fungoides and Sézary syndrome: clinical presentation, diagnosis, staging, and therapeutic management. Front Oncol. 2023 Apr 14;13:1141108
- 96. Leonine facies as a sign of leukaemia cutis, BMJ 2018; 360 doi: https://doi.org/10.1136/bmj.j5605.
- 97. Olsen E, et al. Revisions to the staging and classification of mycosis fungoides and Sezary syndrome: a proposal of the International Society for Cutaneous Lymphomas (ISCL) and the cutaneous lymphoma task force of the European Organization of Research and Treatment of Cancer (EORTC). Blood. 2007 Sep 15;110(6):1713-22.
- 98. Van der Weyden C, et al. Rare T-Cell Subtypes. Cancer Treat Res. 2019;176:195-224.
- 99. Latzka J, et al. EORTC consensus recommendations for the treatment of mycosis fungoides/Sézary syndrome Update 2023. Eur J Cancer. 2023 Dec;195:113343.
- 100. Guitart J et al. Primary cutaneous aggressive epidermotropic cytotoxic T-cell lymphomas: reappraisal of a provisional entity in the 2016 WHO classification of cutaneous lymphomas. Mod Pathol. 2017 May;30(5):761-772.
- 101. Berti E, et al. Primary cutaneous CD8-positive epidermotropic cytotoxic T cell lymphomas. A distinct clinicopathological entity with an aggressive clinical behavior. Am J Pathol. 1999 Aug;155(2):483-92.
- 102. Agnarsson BA, et al. Cutaneous T cell lymphoma with suppressor/cytotoxic (CD8) phenotype: identification of rapidly progressive and chronic subtypes. J Am Acad Dermatol. 1990 Apr;22(4):569-77.
- 103. García-Herrera A, Calonje E. Cutaneous Lymphomas with Cytotoxic Phenotype. Surg Pathol Clin. 2017 Jun;10(2):409-427.
- 104. Swallow MA et al Clinical and Histologic Variants of CD8+ Cutaneous T-Cell Lymphomas. Cancers (Basel). 2024 Sep 5;16(17):3087.
- 105. Kato K, et al. Molecular genetic and cytogenetic analysis of a primary cutaneous CD8-positive aggressive epidermotropic cytotoxic T-cell lymphoma. Int J Hematol. 2016 Feb;103(2):196-201.

- 106. Robson A, Aggressive epidermotropic cutaneous CD8+ lymphoma: a cutaneous lymphoma with distinct clinical and pathological features. Report of an EORTC Cutaneous Lymphoma Task Force Workshop. Histopathology. 2015 Oct;67(4): 425-41.
- 107. Marzano AV, Fatal CD8+ epidermotropic cytotoxic primary cutaneous T-cell lymphoma with multiorgan involvement. Dermatology. 2005;211(3):281-5.
- 108. Gormley RH, et al. Primary cutaneous aggressive epidermotropic CD8+ T-cell lymphoma. J Am Acad Dermatol. 2010 Feb;62(2):300-7.
- 109. Carlesimo M, et al. A Case of Ketron-Goodman Disease. Case Rep Dermatol. 2009 Sep 12;1(1):39-43.
- 110. Nofal A, et al. Primary cutaneous aggressive epidermotropic CD8+ T-cell lymphoma: proposed diagnostic criteria and therapeutic evaluation. J Am Acad Dermatol. 2012 Oct;67(4):748-59.
- 111. Al Aoun SM, et al. Durable remission of a patient with primary cutaneous CD8+ aggressive epidermotropic cytotoxic T-cell lymphoma. Hematol Oncol Stem Cell Ther. 2021 Mar;14(1):71-75.
- 112. Cyrenne BM, et al. Primary cutaneous aggressive epidermotropic cytotoxic CD8+ T-cell lymphoma: long-term remission after brentuximab vedotin. Int J Dermatol. 2017 Dec;56(12):1448-1450.
- 113. Bouayad N, et al. Lymphome T/NK nasal: à propos de deux cas rares [Nasal NK/T-cell lymphoma: about two rare cases]. Pan Afr Med J. 2018 Jun 19;30:141. French. doi: 10.11604/pamj.2018.30.141.7721. PMID: 30374387; PMCID: PMC6201606.
- 114. De Leval L, Gaulard P, Dogan A. A practical approach to the modern diagnosis and classification of T- and NK-cell lymphomas. Blood. 2024 Oct 31;144(18):1855-1872.
- 115. Tripodo C, et al. Gamma-delta T-cell lymphomas. Nat Rev Clin Oncol. 2009 Dec;6(12):707-17.
- 116. Foppoli M, Ferreri AJ. Gamma-delta t-cell lymphomas. Eur J Haematol. 2015 Mar;94(3):206-18.
- 117. Alberti-Violetti S, Primary Cutaneous Gamma-Delta T Cell Lymphomas: A Case Series and Overview of the Literature. Dermatopathology (Basel). 2021 Nov 17;8(4):515-524.
- 118. Koch R, et al. Cutaneous gamma/delta T-cell lymphoma. J Dtsch Dermatol Ges. 2009 Dec;7(12):1065-7.

- 119. Kerbout M, Mekouar F, Bahadi N, El Omri N, Assoufi N, El Qatni M, Mikdame M, Ghafir D. A rare pediatric case of cutaneous gamma/delta T-cell lymphoma. Ann Biol Clin (Paris). 2014 Jul-Aug;72(4):483-5.
- 120. Muhsen IN, et al. Diagnostic and Prognostic Characteristics of Primary Cutaneous Gamma Delta T-cell Lymphomas. Clin Hematol Int. 2022 Jun 22;4(1-2):1-10.
- 121. Toro JR, Gamma-delta T-cell phenotype is associated with significantly decreased survival in cutaneous T-cell lymphoma. Blood. 2003 May 1;101(9):3407-12.
- 122. García-Herrera A, Calonje E. Cutaneous Lymphomas with Cytotoxic Phenotype. Surg Pathol Clin. 2017 Jun;10(2):409-427.
- 123. Costa EPW et al. Primary cutaneous follicle center lymphoma. An Bras Dermatol. 2017 Sep-Oct;92(5):701-703.
- 124. Goyal A et al. Cutaneous B-Cell Lymphoma. Hematol Oncol Clin North Am. 2019 Feb;33(1):149-161.
- 125. Hope CB, Pincus LB. Primary cutaneous B-cell lymphomas with large cell predominance-primary cutaneous follicle center lymphoma, diffuse large B-cell lymphoma, leg type and intravascular large B-cell lymphoma. Semin Diagn Pathol. 2017 Jan;34(1):85-98.
- 126. Cerroni L, et al. Infection by Borrelia burgdorferi and cutaneous B-cell lymphoma. J Cutan Pathol. 1997 Sep;24(8):457-61.
- 127. Lauren C. Pinter-Brown et al. Diagnosis and Management of Cutaneous B-cell Lymphoma, Dermatol Clin 33 (2015) 835–84.
- 128. Vitiello P, et al. Primary Cutaneous B-Cell Lymphomas: An Update. Front Oncol. 2020 May 27;10:651.
- 129. Cortés, B., Prins, C., Lymphomes B cutanés : diagnostic et prise en charge, Rev Med Suisse, 2014/424 (Vol.10), p. 738–743. DOI: 10.53738/REVMED. 2014.10.424.0738.
- 130. Stavnezer J, Schrader CE. IgH chain class switch recombination: mechanism and regulation. J Immunol. 2014 Dec 1;193(11):5370-8.
- 131. Edinger JT, et al. Cutaneous marginal zone lymphomas have distinctive features and include 2 subsets. Am J Surg Pathol. 2010 Dec;34(12):1830-41.
- 132. Swerdlow SH. Cutaneous marginal zone lymphomas. Semin Diagn Pathol. 2017 Jan;34(1):76-84.

- 133. Kempf W, et al. Primary cutaneous marginal zone lymphoma in children: a report of 3 cases and review of the literature. Am J Dermatopathol. 2014 Aug;36(8):661-6.
- 134. Servitje O, et al. Primary cutaneous marginal zone B-cell lymphoma: response to treatment and disease-free survival in a series of 137 patients. J Am Acad Dermatol. 2013 Sep;69(3):357-65. doi: 10.1016/j.jaad.2013.04.047. Epub 2013 Jun 21. PMID: 23796549.
- 135. Amitay-Laish I, et al. Paediatric primary cutaneous marginal zone B-cell lymphoma: does it differ from its adult counterpart? Br J Dermatol. 2017 Apr;176(4):1010-1020.
- 136. Magro CM, et al Blastic marginal zone lymphoma: a clinical and pathological study of 8 cases and review of the literature. Am J Dermatopathol. 2013 May;35(3):319-26.
- 137. Senff NJ, et al. Results of bone marrow examination in 275 patients with histological features that suggest an indolent type of cutaneous B-cell lymphoma. Br J Haematol. 2008 Jul;142(1):52-6.
- 138. Muniesa C, Hernández-Machín B. Is bone marrow biopsy always indicated in patients with primary cutaneous marginal zone B-cell lymphoma? Actas Dermosifiliogr. 2013 Oct;104(8):667-71.
- 139. Virtual Pathology at the University of Leeds.
- 140. Weston CM, Sciamanna CN, Nash DB. Evaluating online continuing medical education seminars: evidence for improving clinical practices. Am J Med Qual Off J Am Coll Med Qual. 2008;23(6):475–83.
- 141. Gerbert B, Bronstone A, Maurer T, et al: The effectiveness of an Internet-based tutorial in improving primary care physicians' skin cancer triage skills. J Cancer Educ 2002; 17: 7-11.
- 142. Kim S, Willett LR, Murphy DJ, O'Rourke K, Sharma R, Shea JA. Impact of an evidencebased medicine curriculum on resident use of electronic resources: a randomized controlled study. J Gen Intern Med. 2008 (11):1804–8.
- 143. World Health Organization, Al-Shorbaji N, Artun R, Cra J, Majeed A, Wheeler E.eLearning for undergraduate health professional education. A systematic review informing a radical transformation of health workforce development. Genève: WHO; 2015.
- 144. Vaona A, Banzi R, Kwag KH, Rigon G, Cereda D, Pecoraro V, et al. E-learning for health professionals. Cochrane Database Syst Rev. 2018;1:CD011736.

- 145. Stewart A, Inglis G, Jardine L, Koorts P, Davies MW. A randomised controlled trial of blended learning to improve the newborn examination skills of medical students. ArchDis Child Fetal Neonatal Ed. 2013;98(2):F141-144.
- 146. McCutcheonK,O'HalloranP,LohanM. Online learning versus blended learning of clinical supervisee skills with pre-registration nursing students: A randomised controlled trial. Int J Nurs Stud. 2018;82:30–9.
- 147. Dolev JC, O'Sullivan P, Berger T. The eDerm online curriculum: a randomized study of effective skin cancer teaching to medical students. J Am Acad Dermatol 2011;65:e165-171.

## 7. ANNEXES

7.1.	Annexe I : Support du e-learning	45
7.2.	Annexe II : Fiches synthèses	261
7.3.	Annexe III : Questionnaire d'évaluation(pré et post test)	269
7.4.	Annexe IV : Questionnaire de satisfaction	287

## 7.1 Annexe I: Support du e-learning

# Lymphomes cutanés : Généralités

## **GENERALITES**

### **DEFINITIONS**

# Infiltrats lymphocytaires bénins

# Infiltrats lymphocytaires malins

## Infiltrats lymphocytaires de signification pronostique incertaine





Nombreuses dermatoses inflammatoires, autoimmunes, infectieuses..

- Lymphomes cutanés
- Localisation secondaire de lymphome systémique
- Etat pré lymphomateux
- Pathologies inclassables
- Evolution incertaine

## **GENERALITES**

### **DEFINITIONS**

# Infiltrats lymphocytaires bénins



Nombreuses dermatoses inflammatoires, auto-immunes, infectieuses..

# Infiltrats lymphocytaires malins



- Lymphomes cutanés
- Localisation secondaire de lymphome systémique

## Infiltrats lymphocytaires de signification pronostique incertaine



- Etat pré lymphomateux
- Pathologies inclassables
- **Evolution incertaine**

#### **GENERALITES**

#### **DEFINITIONS**

# Infiltrats lymphocytaires malins = lymphomes

### · Lymphomes:

Tumeurs malignes du système hématopoïétique développées aux dépens des lymphocytes

- lymphomes hodgkiniens: 10% des cas
- lymphomes non hodgkiniens : 90% des cas

### · Lymphomes primitivement cutanés:

Sous groupe de lymphomes non hodgkiniens qui se caractérise par une prolifération de lymphocytes monoclonaux matures dans la peau avec extension systémique secondaire possible

Localisation secondaire cutanée de lymphomes systémiques

### **GENERALITES**

## **DEFINITIONS**

# Infiltrats lymphocytaires malins = lymphomes

## · Lymphomes:

Tumeurs malignes du système hématopoiétique développées aux dépens des lymphocytes

- lymphomes hodgkiniens : 10% des cas
- lymphomes non hodgkiniens : 90% des cas

## • Lymphomes primitivement cutanés :

Sous groupe de lymphomes non hodgkiniens qui se caractérise par une prolifération de **lymphocytes monoclonaux matures dans la peau** avec extension systémique secondaire possible

· Localisation secondaire cutanée de lymphomes systémiques

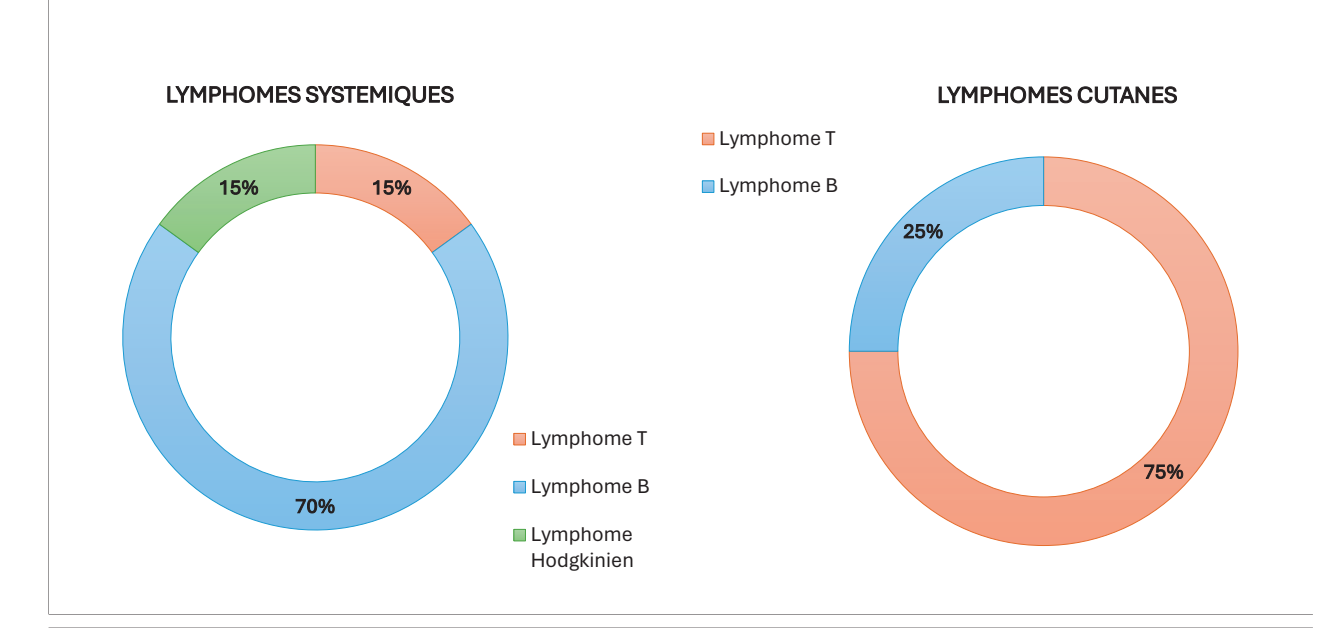
### **GENERALITES**

### **EPIDEMIOLOGIE**

- 430 000 nouveaux cas de cancer en France par an
- 650 nouveaux cas de lymphomes cutanés par an en France
- Incidence en augmentation dans le monde (1/100 000 habitants)
- · Les lymphomes cutanés représentent 0,15% des cancers en France
- Deuxième localisation la plus fréquente de lymphomes extra ganglionnaires



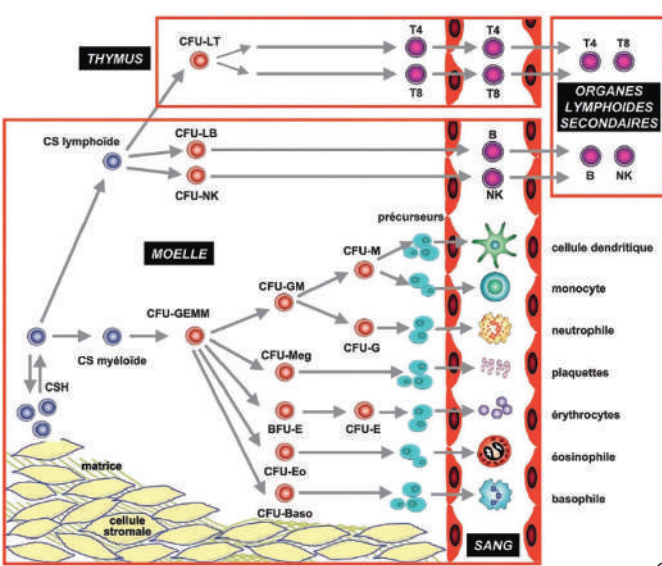
## **EPIDEMIOLOGIE**



## **GENERALITES**

## **PHYSIOLOGIE**

## **RAPPEL:**

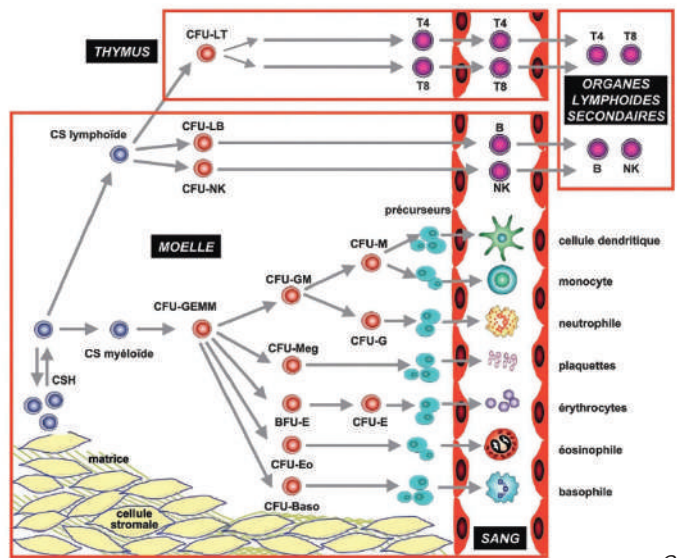


College CEDEF hématologie 3º edition

## **GENERALITES**

## **PHYSIOLOGIE**

### RAPPEL:



College CEDEF hématologie 3º edi**Ai**dn

#### **PHYSIOLOGIE**

#### LYMPHOCYTES T:

- · Origine médullaire
- · Maturation et différenciation dans le thymus
  - Maturation phénotypique
  - Réarrangement du récepteur des lymphocytes T (T cell receptor ou TCR)
- Obtention de lymphocytes T matures naïfs en capacité de reconnaitre des antigènes du non soi ou du soi modifié sans réagir avec les antigenes du soi

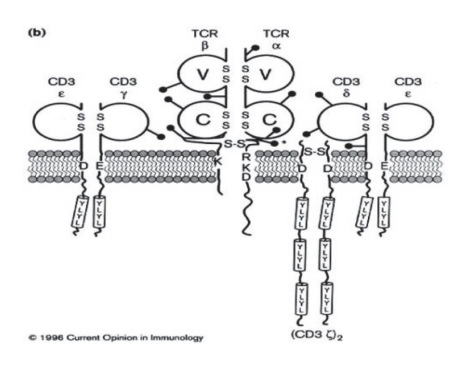
#### **GENERALITES PHYSIOLOGIE** PÉRIPHÉRIE MOELLE THYMUS médullaire **OSSEUSE** corticale LYMPHOCYTES T: DP CD3-DP CD3+ T naifs Maturation thymique LT CD4\* phénotypique CD3+ CD4+ CD8+ CD34-CD5+ CD5+ CD1a+ CD4-CD5+ CD1a CD1a+ CD4+ DN = double négatif DP = double positif CD4+CD8 Immunologie fondamentale et immunopathologie, Elsevier Masson, 2018

**GENERALITES** 

**PHYSIOLOGIE** 

#### LYMPHOCYTES T:

Récepteur des lymphocytes T (T cell receptor ou TCR)



- Hétérodimère membranaire
- 4 chaines protéiques : alpha, beta, delta, gamma
- 4 régions : la région V (variable) est à l'origine du polymorphisme des TCR et de la reconnaissance avec l'antigène
- TCR 1 : association chaine delta + gamma (5% des LT)
- > TCR 2 : association chaine alpha + beta (95% des LT)
- Association au CD3 constante : rôle de transmission du signal d'activation du TCR

#### **PHYSIOLOGIE**

#### LYMPHOCYTES T:

#### LT CD4+ (auxiliaires/helpers)

TCR 2 (alpha + beta) CD4+ CD3+

Rôle immunité adaptative par activation d'autres cellules immunitaires (action directe ou indirecte via cytokines)

LT delta/gamma: LT non conventionnels

TCR 1 (delta + gamma) CD4 et CD8 –, CD3+

#### LT CD8+ (cytotoxiques)

TCR 2 (alpha + beta) CD8+ CD3+

Rôle immunité innée et adaptative Action destructive directe

LT CD4+ et LT CD8+ mémoires

#### **GENERALITES**

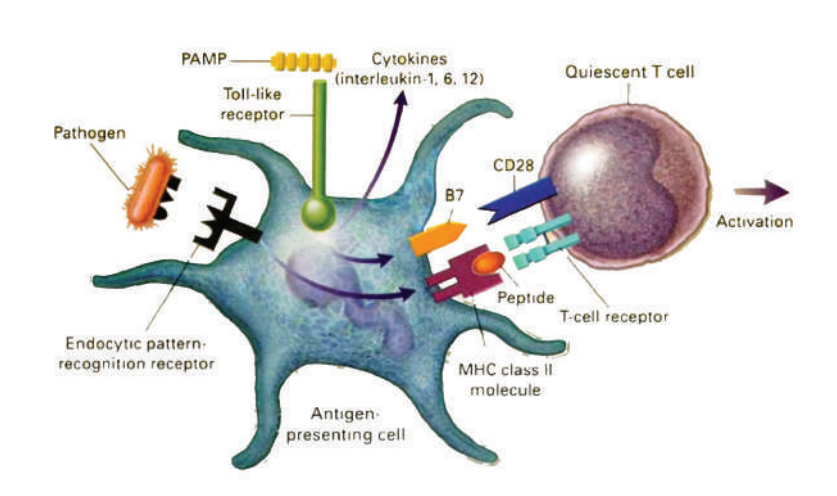
#### **PHYSIOLOGIE**

#### LYMPHOCYTES T:

**NAIFS** 



**ACTIFS** 



Medzhitov R, Janeway C Jr. Innate immunity. N Engl J Med. 2000 Aug 3;343(5):338-44. doi: 10.1056/NEJM200008033430506. PMID: 10922424.

#### **GENERALITES**

#### **PHYSIOLOGIE**

#### CLONALITE T en biologie moléculaire (PCR)

• Physiologiquement (A):

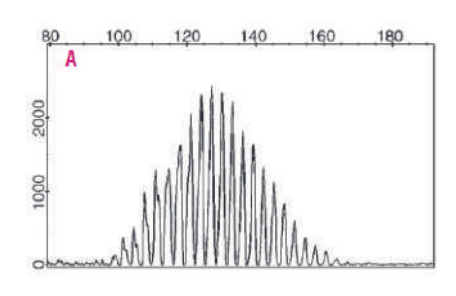
Chaque lymphocyte T possède son TCR qui est unique Multitude de lymphocytes distincts donc multitude de TCR

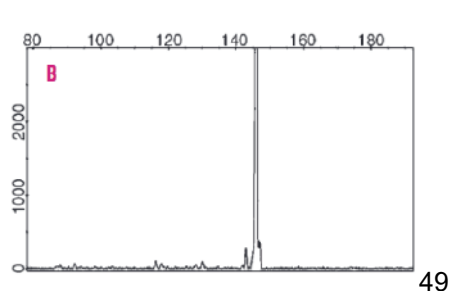
#### Polyclonalité

• Dans les lymphomes (B):

Anomalie d'un lymphocyte initial avec prolifération dérégulée de celui-ci, nombreux lymphocytes T identiques au LT original avec multitude de TCR identiques



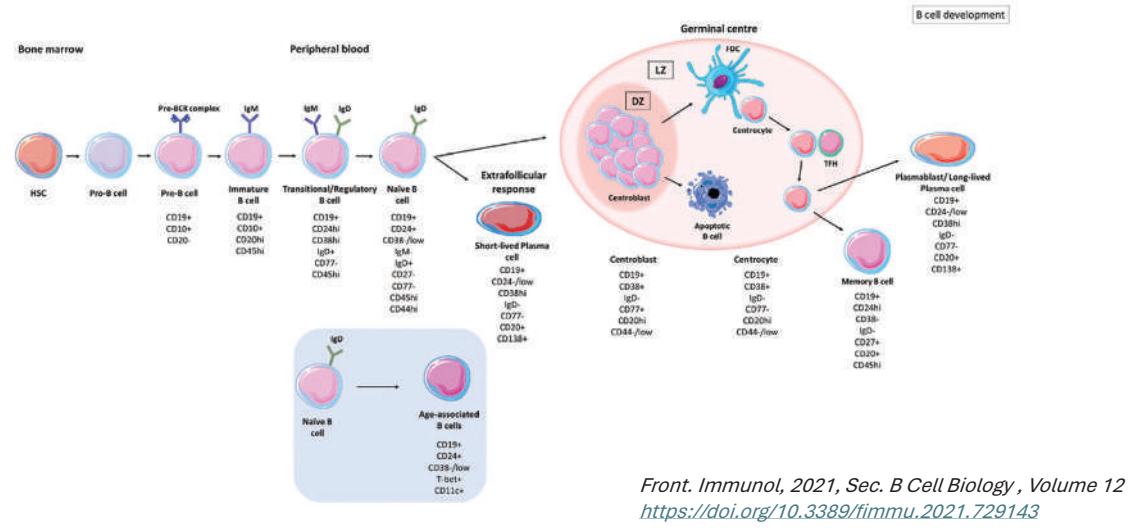




#### **GENERALITES**

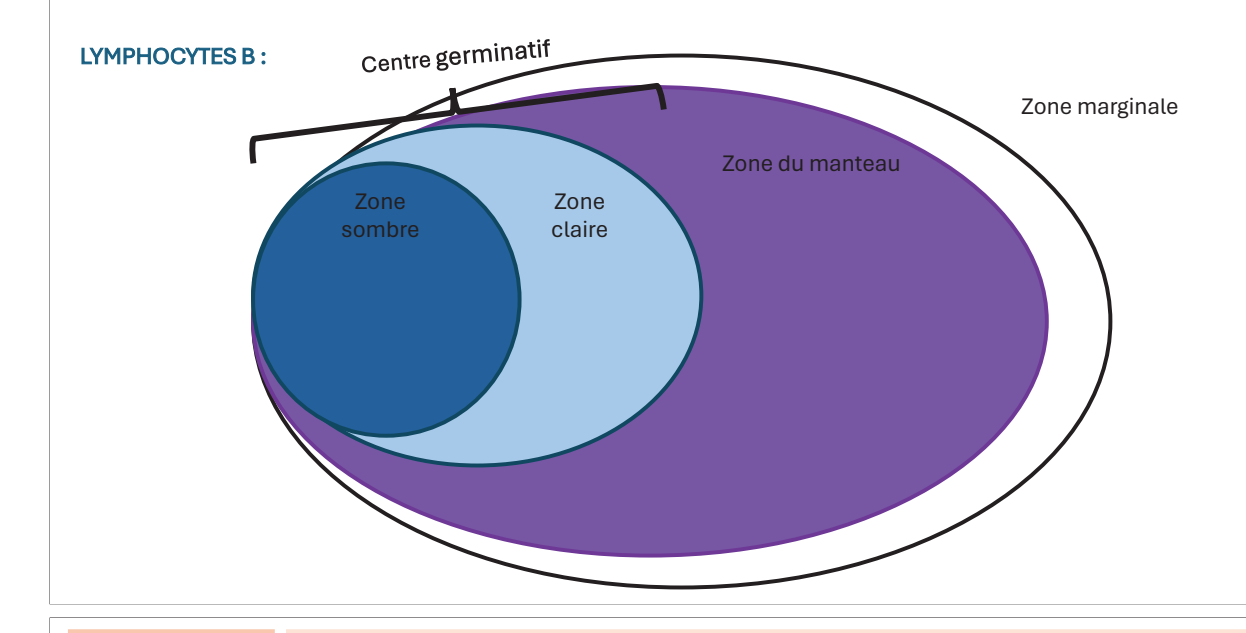
#### **PHYSIOLOGIE**

#### LYMPHOCYTES B:



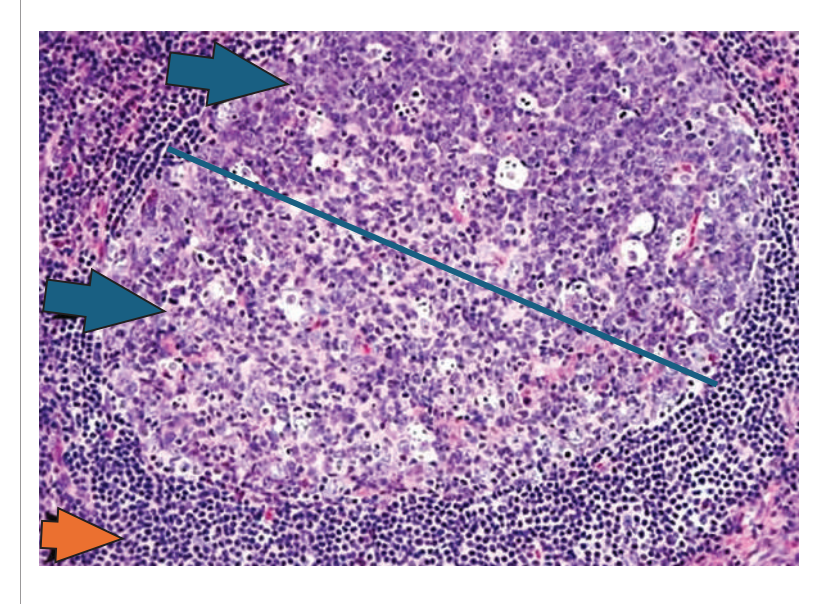
#### **GENERALITES**

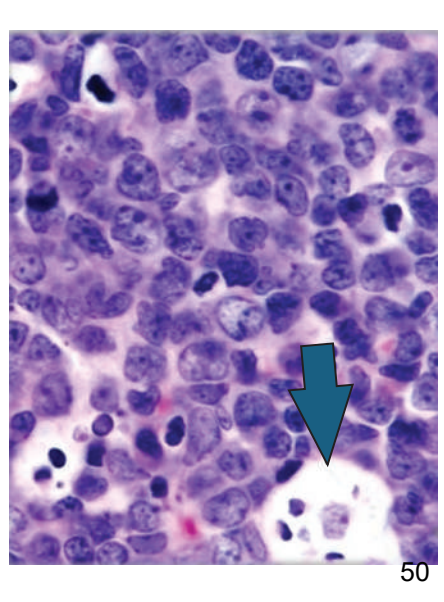
#### **PHYSIOLOGIE**

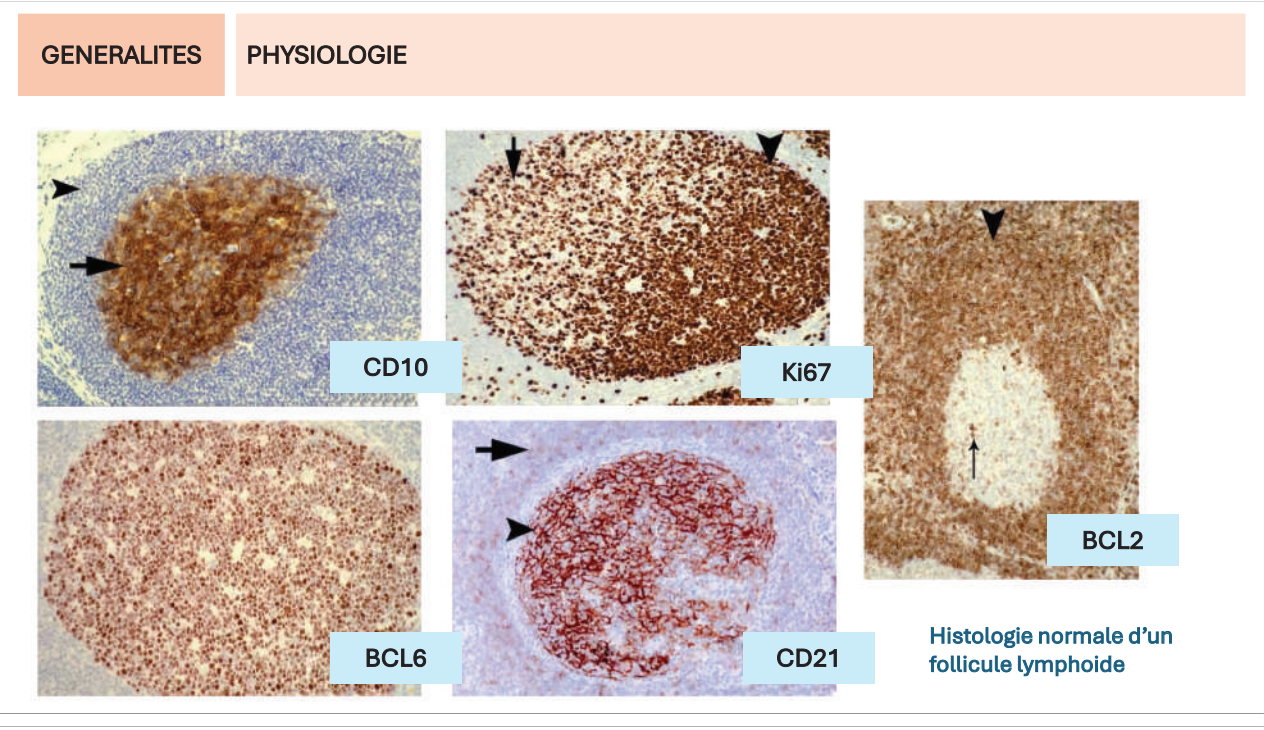


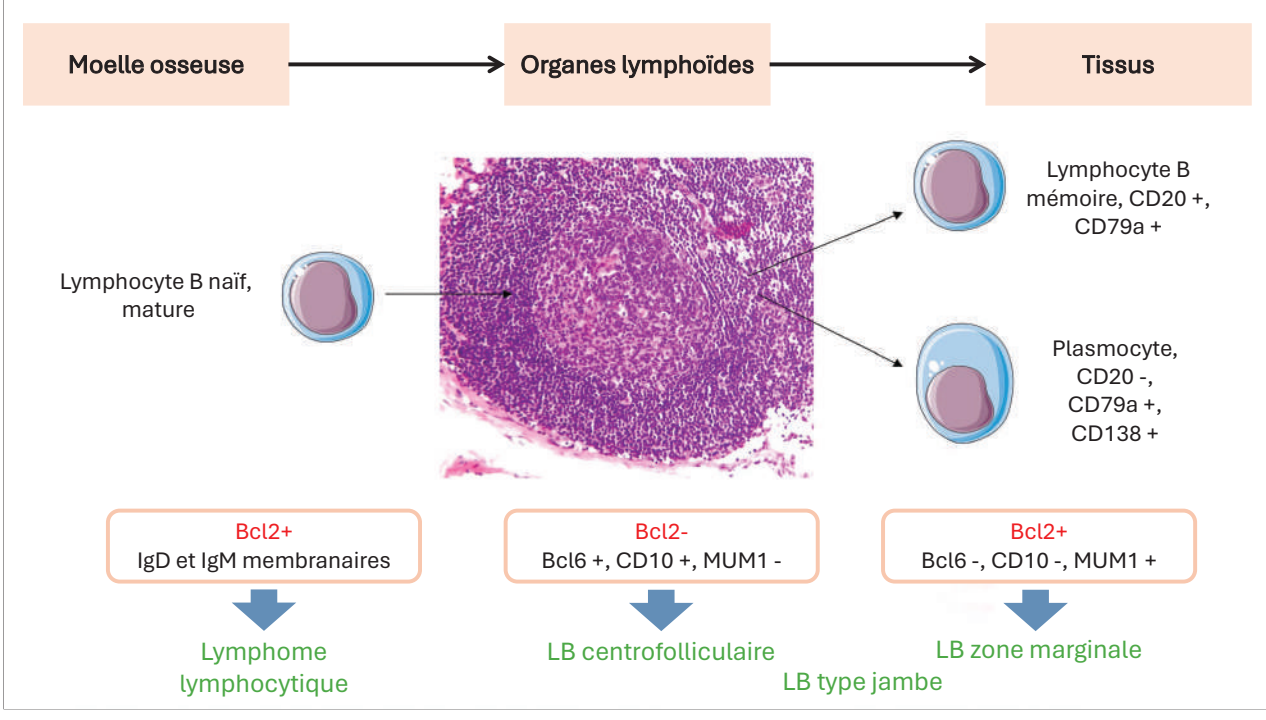
#### **GENERALITES**

#### **PHYSIOLOGIE**











RAPPEL CYTOMETRIE DE FLUX

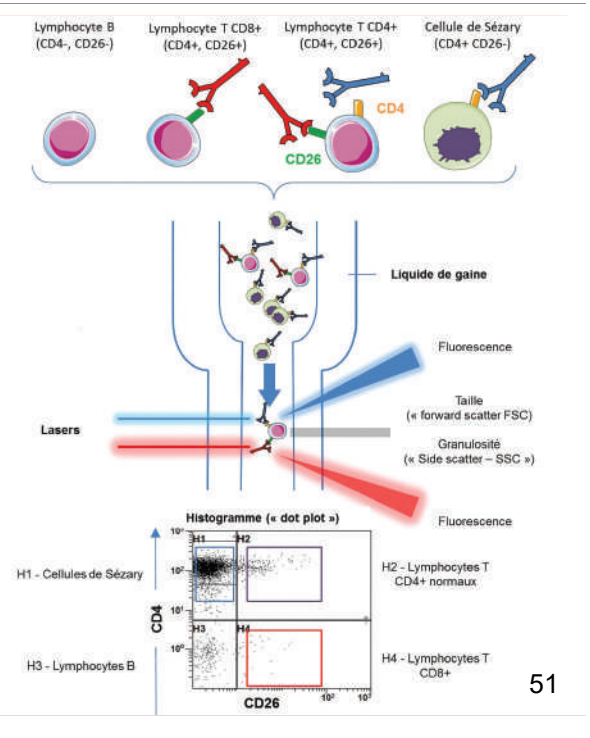
#### **IDENTIFICATION CELLULAIRE**

#### Processus d'analyse :

Les cellules en suspension sont couplées à un fluorochrome spécifique et passent sous un faisceau laser

Signal analysé en fonction de la fluorescence, de la taille, et de la granulométrie

- >isolement des lymphocytes
- >caractérisation des molécules de surface
- >interprétation



#### **PHYSIOLOGIE**

#### MARQUEURS IMMUNOHISTOCHIMIQUES

Lymphocytes T:

CD2

CD3 CD4: lymphocytes Tauxiliaires CD5 CD8: lymphocytes T cytotoxiques

CD7

LT helper (TFH): ICOS, PD1, CXCL13

CD45RO: lymphocytes T activés CD45RA: lymphocytes T naïfs

TCR  $\beta$  : LT  $\alpha/\beta$ TCR y: LT y/delta

Trou phénotypique:

Perte d'expression d'un marqueur

Lymphocytes B:

CD19 CD20 CD79A PAX5

Lymphocytes NK:

CD56

Lymphocytes activés :

CD25, CD30

Marqueurs cytotoxiques: (lymphocytes LT et NK)

Perforine, granzyme B, TiA1

Autres:

CD34: précurseurs lymphoïdes et myéloides CD68: macrophages et précurseurs myéloides

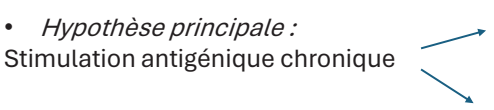
**GENERALITES** 

**PHYSIOPATHOLOGIE** 

Pourquoi dans la peau?

Hypothèse principale :

#### Non totalement élucidée Aucun facteur de risque clairement identifié



Modification du micro-environnement tumoral avec « skin homing » avec migration et rétention des LT dans la peau

Modulation de l'immunité adaptative avec augmentation des LT regulateurs, diminution de l'apoptose, prolifération cellulaire

Facteurs déclenchants non prouvés scientifiquement :

Part génétique? Agents environnementaux? latrogène? Rôle des UV? Rôle du microenvironnement tumoral?

Lien évolutif entre parapsoriasis en grande plaque et pityriasis lichénoide chronique?

#### **GENERALITES**

**CLASSIFICATION: OMS 2018** 

WHO-EORTC Classification 2018	Frequency, %*	5-y DSS, %*
CTCL		
MF	39	88
MF variants		
Folliculotropic MF	5	75
Pagetoid reticulosis	<1	100
Granulomatous slack skin	<1	100
SS	2	36
Adult T-cell leukemia/lymphoma	<1	NDA
Primary cutaneous CD30+ LPDs		
C-ALCL	8	95
LyP	12	99
Subcutaneous panniculitis-like T-cell lymphoma	1	87
Extranodal NK/T-cell lymphoma, nasal type	<1	16
Chronic active EBV infection	<1	NDA
Primary cutaneous peripheral T-cell lymphoma, rare subtypes		
Primary cutaneous γ/8 T-cell lymphoma	<1	11
CD8 <sup>+</sup> AECTCL (provisional)	<1	31
Primary cutaneous CD4+ small/medium T-cell lymphoproliferative disorder (provisional)	6	100
Primary cutaneous acral CD8+ T-cell lymphoma (provisional)	<1	100
Primary cutaneous peripheral T-cell lymphoma, NOS	2	15
CBCL		
PCMZL	9	99
PCFCL	12	95
PCDLBLC, LT	4	56
EBV+ mucocutaneous ulcer (provisional)	<1	100
Intravascular large B-cell lymphoma	<1	72

e epidermotropic CD8+ cytotoxic T-cell lymphoma; DSS, dis ian cutaneous lymphoma registries between 2002 and 2017. specific survival; NDA, no data available; NOS, not other

#### **GENERALITES**

#### **CLASSIFICATION: OMS 2018**

WHO-EORTC Classification 2018	Frequency, %*	5-y DSS, %*	
CTCL			
MF	39	88	
MF variants			
Folliculotropic MF	5	75	
Pagetoid reticulosis	<1	100	
Granulomatous slack skin	<1	100	
SS	2	36	
Adult T-cell leukemia/lymphoma	<1	NDA	
Primary cutaneous CD30+ LPDs			
C-ALCL	8	95	Lymphomes
LyP	12	99	Lymphomes
Subcutaneous panniculitis-like T-cell lymphoma	1	87	
Extranodal NK/T-cell lymphoma, nasal type	<1	16	
Chronic active EBV infection	<1	NDA	
Primary cutaneous peripheral T-cell lymphoma, rare subtypes			
Primary cutaneous y/8 T-cell lymphoma	<1	11	
CD8 <sup>+</sup> AECTCL (provisional)	<1	31	
Primary cutaneous CD4+ small/medium T-cell	6	100	
lymphoproliferative disorder (provisional)			
Primary cutaneous acral CD8+ T-cell lymphoma (provisional)	<1	100	
Primary cutaneous peripheral T-cell lymphoma, NOS	2	15	
CBCL			
PCMZL	9	99	
PCFCL	12	95	1
PCDLBLC, LT	4	56	Lymphomes
EBV+ mucocutaneous ulcer (provisional)	<1	100	
Intravascular large B-cell lymphoma	<1	72	

notropic CD8+ cytotoxic T-call lymphoma; DSS, dis cous lymphoma registries between 2002 and 2017.

Willemze R, The 2018 update of the WHO-EORTC classification for primary cutaneous lymphomas. Blood. 2019 Apr 18;133(16):1703-1714. doi: 10.1182/blood-2018-11-881268. Epub 2019 Jan 11. Erratum in: Blood. 2019 Sep 26;134(13):1112. doi: 10.1182/blood.2019002852. PMID: 30635287; PMCID: PMC6473500.

#### **GENERALITES**

#### CLASSIFICATION: OMS 2022 (5° edition)



#### Cutaneous B-cell lymphoma

#### Mature B-cell neoplasms

#### Marginal Zone Lymphoma

Primary cutaneous marginal zone lymphoma

## Cutaneous Follicle Centre Lymphoma Primary cutaneous follicle centre lymphoma

Large B-cell lymphomas Primary cutaneous diffuse large B-cell lymphoma, leg type Intravascular large B-cell lymphoma

Lymphoid proliferations and lymphomas associated with immune deficiency and dysregulation

EBV-positive mucocutaneous ulcer

modified after Alaggio R et al., The 5th edition of the World Health Organization Classification of Haematolymphoid Tumours: Lymphoid Neoplasms. Leukemia. 2022 Jul;36(7):1720-1748.

#### **Cutaneous T-cell lymphoma**



#### Mature T-cell and NK-cell neoplasms

Mature T-cell and NK-cell leukaemias Sézary syndrome

#### Primary cutaneous T-cell lymphomas

Primary cutaneous CD4-positive small or medium T-cell

# Primary cutaneous acral CD8-positive LPD Mycosis fungoides

Primary cutaneous CD30-positive T-cell LPD

Lymphomatoid papulosis Primary cutaneous anaplastic large cell lymphoma

Subcutaneous panniculitis-like T-cell lymphoma
Primary cutaneous gamma/delta T-cell lymphoma
Primary cutaneous CD8-positive aggressive
epidermotropic cytotoxic T-cell lymphoma
Primary cutaneous peripheral T-cell lymphoma, NOS

# EBV-positive T- and NK-cell lymphoid proliferations and lymphoma of childhood

Severe mosquito bite allergy

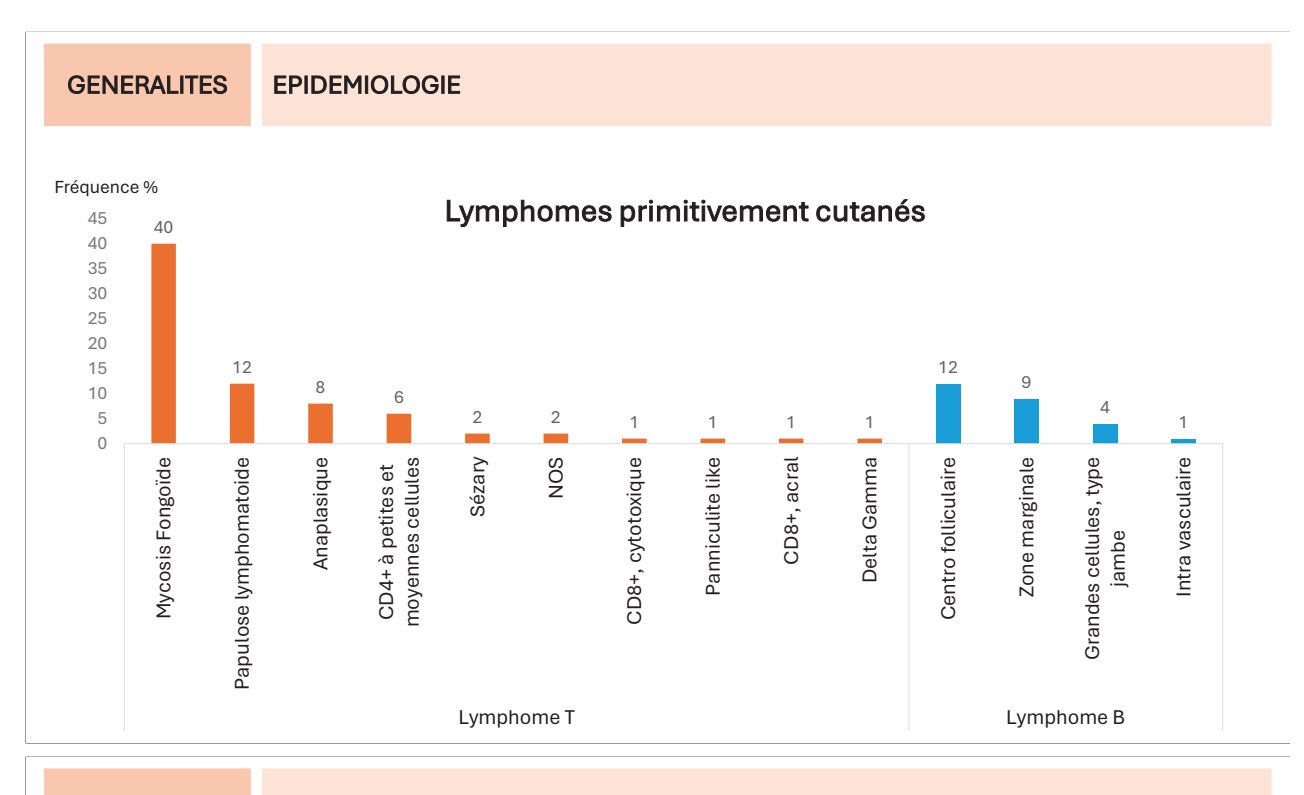
Hydroa vacciniforme lymphoproliferative disorder

Melchers S, 2024

#### **GENERALITES**

#### **CLASSIFICATION**

	INDOLENT	AGRESSIF
Lymphome T	MF stade précoce	MF stade avancé
75% des cas	Lymphoprolifération CD30 -Papulose lymphomatoide	Syndrome de Sezary
	-Lymphome anaplasique	Lymphome T γ/δ
	Lymphoprolifération CD4 à petites et moyennes cellules	Lymphome T CD8 cytotoxique
		Lymphome T NOS (inclassable)
	Lymphoprolifération CD8 acrale	
	Lymphome T sous cutané type panniculite	
Lymphome B	Lymphome B de la zone marginale	Lymphome B à grandes cellules, type jambe
25% des cas	marginato	cypo jambo
	Lymphome B centro folliculaire	Lymphome B intra-vasculaire



**GENERALITES** 

**DIAGNOSTIC** 

Association de plusieurs critères : Cliniques, histopathologiques, immunohistochimiques, moléculaires



Importance de la corrélation anatomo-clinique

#### **GENERALITES**

DIAGNOSTIC

Importance de la corrélation anatomo-clinique



Nécessite un bon d'histologie correctement rempli avec au minimum :

Type de lésion

Nombre de lésions

Localisation

Durée d'évolutivité

Antécédents hématologiques/oncologiques

Hypothèses diagnostiques

#### **OBJECTIFS**

- Etablir un diagnostic de certitude de lymphome cutané
- · Classification OMS du type de lymphome cutané
- Stadification
- · Choix thérapeutique

#### **GENERALITES**

#### **OBJECTIFS**

#### 2 écueils doivent être évités :

- Engager trop précocement un traitement inutilement agressif : Pas/peu de modification de l'évolution générale et du pronostic vital Altération notable de la qualité de vie liée aux traitements
- Être trop timoré et laisser évoluer les lésions : Nécessité d'utiliser des traitements plus lourds et toxiques

# GENERALITES PLAN DU COURS

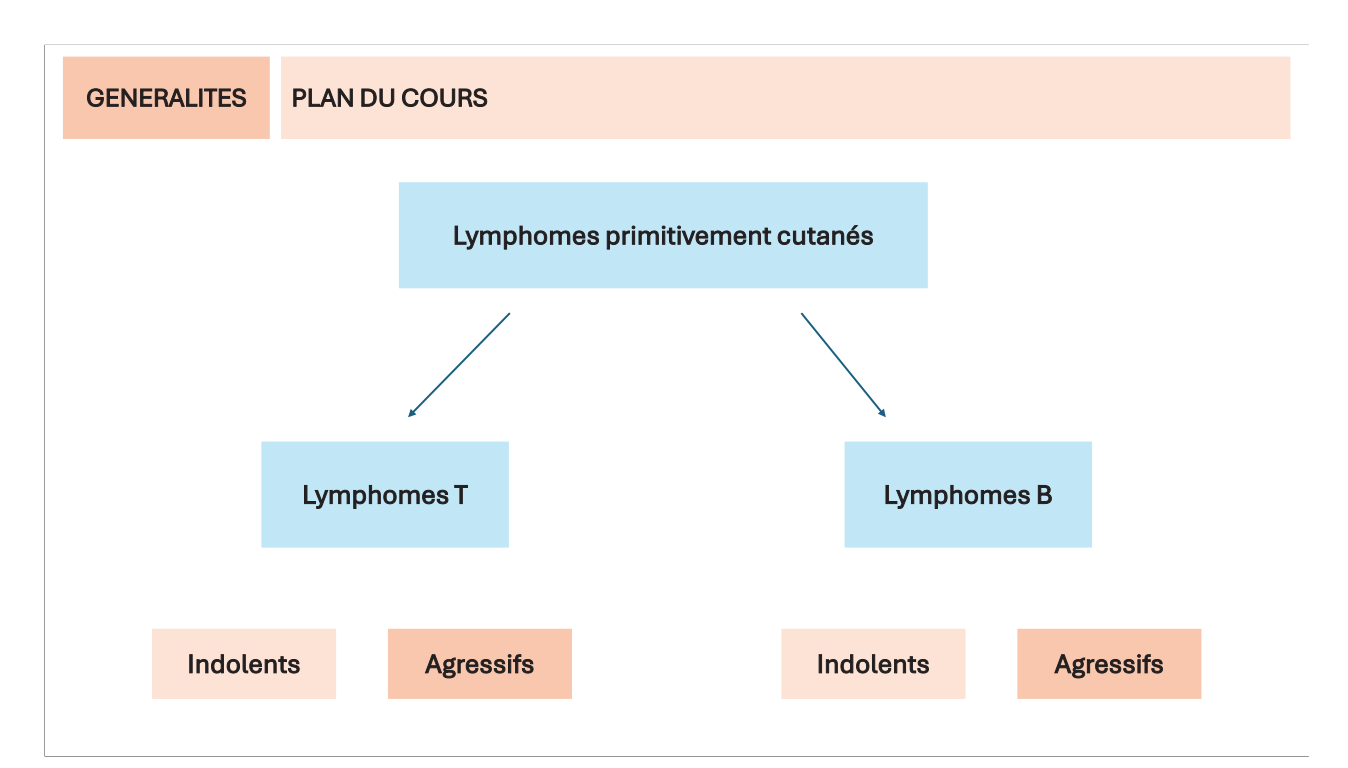
Lymphomes primitivement cutanés

mes T

Lympho

Lymphomes T

Lymphomes B



#### **GENERALITES**

#### Groupe français d'étude des lymphomes cutanés (GFELC)





31 centres en France

Equipes pluridisciplinaires : dermatologues, pathologistes, hématologues, biologistes...

- Réseau anatomo-pathologique = LYMPHOPATH
- · Réseau clinique
- Missions:

Valider et enregistrer les informations concernant les lymphomes cutanés

RCP nationale de recours : examiner les cas difficiles au plan diagnostique et/ou thérapeutique

Elaborations de référentiels nationaux, recherche, enseignement

#### **GENERALITES**

#### **BIBLIOGRAPHIE**

1/ Alaggio R, et al. The 5th edition of the World Health Organization Classification of Haematolymphoid Tumours: Lymphoid Neoplasms. Leukemia. 2022 Jul;36(7):1720-1748. doi: 10.1038/s41375-022-01620-2. Epub 2022 Jun 22. Erratum in: Leukemia. 2023 Sep;37(9):1944-1951.

2/ Willemze R, et al. ESMO Guidelines Committee. Primary cutaneous lymphomas: ESMO Clinical Practice Guidelines for diagnosis, treatment and follow-up. Ann Oncol. 2018 Oct 1;29(Suppl 4):iv30-iv40.

3/ Les lymphomes cutanés, Groupe Français d'Etude des Lymphomes Cutanés, M.Bagot, Springer, 2013

4/ 6e édition du traité de dermatologie et infections sexuellement transmissibles, J.-H. Saurat, Elsevier, 2017

5/ Collège CEDEF, Hématologie, 3e edition

6/ Immunologie fondamentale et immunopathologie, Elsevier Masson, 2018

7/ Current opinion in immunology, Elsevier Masson, 1996

8/ Medzhitov R, Janeway C Jr. Innate immunity. N Engl J Med. 2000 Aug 3;343(5):338-44.

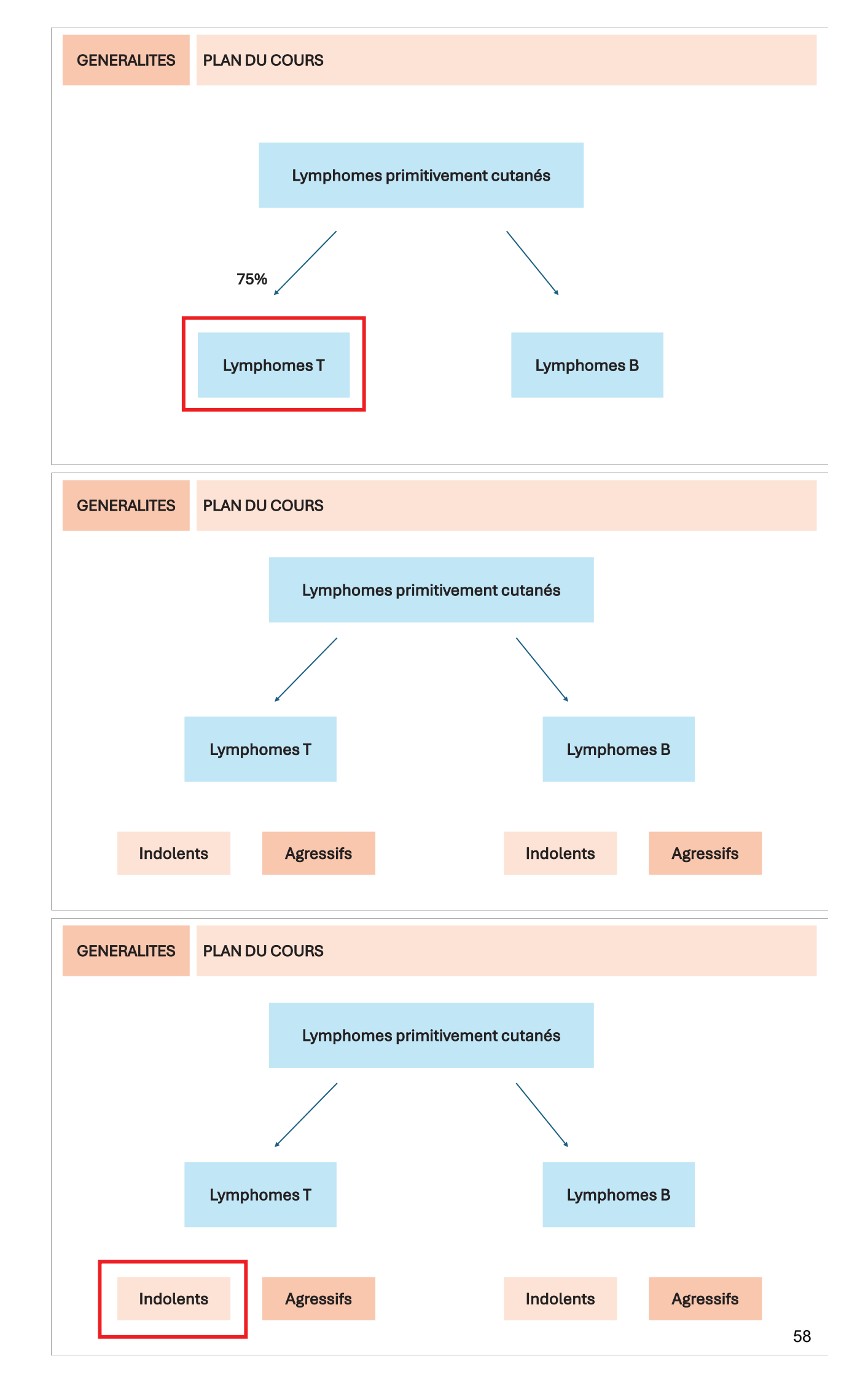
9/ Toffoletti E, Haematologica. 2008 doi: 10.3324/haematol.12241. PMID: 18450740.

#### **BIBLIOGRAPHIE**

- 10/ Front. Immunol, 2021, Sec. B Cell Biology, Volume 12 https://doi.org/10.3389/fimmu.2021.729143
- 11/ Willemze R, The 2018 update of the WHO-EORTC classification for primary cutaneous lymphomas. Blood. 2019 Apr 18;133(16):1703-1714
- 12/ Goodlad JR, et al. Recent advances in cutaneous lymphoma-implications for current and future classifications. Virchows Arch. 2023 Jan;482(1):281-298.
- 13/ Pulitzer M. Cutaneous T-cell Lymphoma. Clin Lab Med. 2017 Sep;37(3):527-546.
- 14/ M. Beylot-Barry, Management of cutaneous T-cell lymphomas: Recommendations of the French Cutaneous Lymphoma Group, 2010 Elsevier Masson
- 15/ Oschlies I, et al. The clinico-pathological spectrum of primary cutaneous lymphoma other than mycosis fungoides/Sezary syndrome. Virchows Arch. 2020 May;476(5):683-699.
- 16/ Alberti-Violetti S, Berti E. Update on primary cutaneous T-cell lymphomas rare subtypes. Dermatol Reports. 2024 May 7;16(Suppl 2):9961.

# Lymphomes cutanés T indolents

# Lymphomes primitivement cutanés Lymphomes T Lymphomes B



#### **SOMMAIRE**

- 1/ Mycosis fongoide
- 2/ Lymphoprolifération CD30+
- Papulose lymphomatoide
- Lymphome anaplasique à grandes cellules
- 3/ Lymphoprolifération CD4+ à petites et moyennes cellules
- 4/ Lymphome T sous cutané type panniculite
- 5/ Lymphoprolifération T CD8 acrale
- 6/ Syndrome de Sezary
- 7/ Lymphome T CD8+ épidermotrope agressif cytotoxique
- 8/ Lymphome T gamma/delta
- 9/ Lymphome NOS

#### **LYMPHOMET**

#### **SOMMAIRE**

- 1/ Mycosis fongoide
- 2/ Lymphoprolifération CD30+
- Papulose lymphomatoide
- Lymphome anaplasique à grandes cellules
- 3/ Lymphoprolifération CD4+ à petites et moyennes cellules
- 4/ Lymphome T sous cutané type panniculite
- 5/ Lymphoprolifération T CD8 acrale
- 6/ Syndrome de Sezary
- 7/ Lymphome T CD8+ épidermotrope agressif cytotoxique
- 8/ Lymphome T gamma/delta
- 9/ Lymphome NOS



#### **LYMPHOMET**

#### **SOMMAIRE**

#### 1/ Mycosis fongoide

- 2/ Lymphoprolifération CD30+
- Papulose lymphomatoide
- Lymphome anaplasique à grandes cellules
- 3/ Lymphoprolifération CD4+ à petites et moyennes cellules
- 4/ Lymphome T sous cutané type panniculite
- 5/ Lymphoprolifération T CD8 acrale

#### INTRODUCTION

- Prolifération de lymphocytes T (LT)
  périphériques auxillaires clonaux dans le
  derme avec épidermotropisme
- Première description en 1806 par Jean Louis Alibert, dermatologue français
- Le terme mycosis fongoide renvoie à l'aspect des nodules tumoraux, comparable à des champignons



Mycosis fongoide. Alibert JL, Monographie des dermatoses ou précis théorique et pratique des maladies de la peau, Paris, Daynac, 1832, p 274

« Nous avons vu à Paris, le nommé Lucas, âgé de cinquante-six ans. [...] Il se développe sur différentes parties du corps de petits tubercules (...) Ces tubercules ressemblaient d'une manière parfaite à des morilles ou aux champignors désignés sous le nom d'agarics ; ils se mutipilaient à un tel point que nous en comptâmes quatorze sur le visage, (...) La plupart de ces tumeurs finissaient par se crever et s'affaisser sur ellesmêmes ; elles laissaient à leur place une paou flétrie et inerte que la fille de Lucas coupait patierment avec des ciseaux. (...) Lucas fut malade cinq ans et languit sopt mois dans son lit. Il éprouvait des douleurs lancinantes dans les uicères formés son lit. Il éprouvait des douleurs lancinantes chan se suicères formés son let. Il éprouvait des douleurs lancinantes chan les diudeurs lancinantes chan les fielles formés son lit. Il éprouvait des douleurs lancinantes chan les fielles formés son lit. Il éprouvait des douleurs lancinantes dans les licères formés son lit. Il éprouvait des douleurs lancinantes dans les lancines par la décomposition des la fièvre hoctique. »

colf BIU Santé med02221x0353

**LYMPHOME T** 

#### MYCOSIS FONGOIDE (MF)

#### **EPIDEMIOLOGIE**

- Le plus fréquent des lymphomes cutanés
   Représente environ 50% des cas de lymphomes cutanés
- Prévalence: 1 cas pour 100 000 habitants en Europe
- · Incidence en augmentation
- · Terrain:

Possible à tout âge

Pic chez les adultes d'âge moyen (50-60 ans au diagnostic)

35 ans pour MF hypopigmenté

Formes pédiatriques (10% des MF)

Légère prédominance masculine (2H/1F)

**LYMPHOME T** 

#### MYCOSIS FONGOIDE (MF)

#### **PHYSIOPATHOLOGIE**

Non totalement élucidée Aucun facteur de risque clairement identifié





• *Hypothèse principale :* Stimulation antigénique chronique



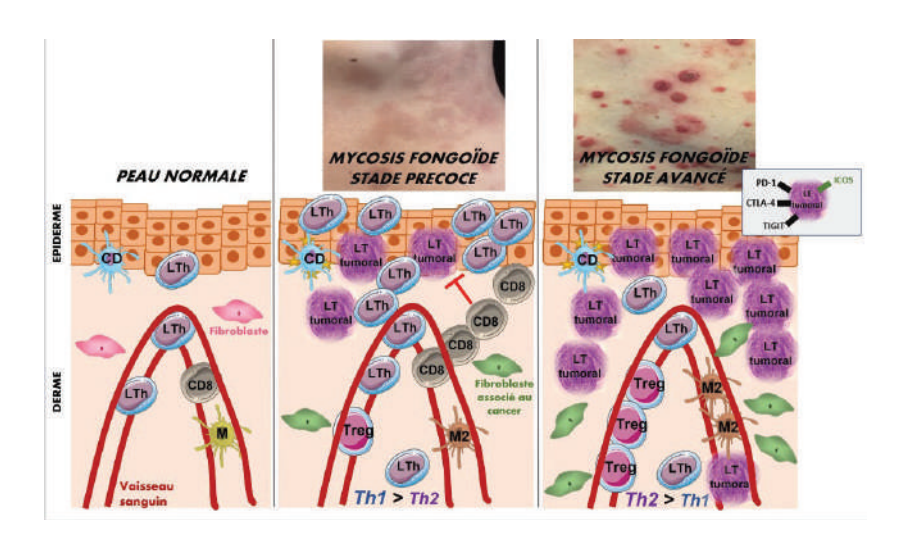
Modification du micro-environnement tumoral avec « skin homing » avec migration et rétention des LT dans la peau

Modulation de l'immunité adaptative avec augmentation des LT regulateurs, diminution de l'apoptose, prolifération cellulaire

Facteurs déclenchants non prouvés scientifiquement :
 Part génétique ? Agents environnementaux ? latrogène ?
 Rôle des UV? Rôle du microenvironnement tumoral?
 Lien évolutif entre parapsoriasis en grande plaque et pityriasis lichénoide chronique ?

#### **PHYSIOPATHOLOGIE**

 Modification du microenvironnement tumoral



Physiopathologie des lymphomes T cutanés épidermotropes (Mycosis Fongoïde et Syndrome de Sézary), F.Amatore, Elsevier, 2022

#### **LYMPHOME T**

#### MYCOSIS FONGOIDE (MF)

#### **PHYSIOPATHOLOGIE**

· Altérations génétiques

Impliquant les voies de signalisation NF-Kb, JAK-STAT, MAP kinases...

Van Doorn R, Oncogenomic analysis of mycosis fungoides reveals major differences with Sezary syndrome. Blood. 2009 Jan 1;113(1):127-36. doi: 10.1182/blood-2008-04-153031. Epub 2008 Oct 1. PMID: 18832135.

band	alteration	Start	Stop	Start	Stop	patients, %
1p36.2	Gain	RP4-539L13	RP11-196P5	11098993	12351219	45
1q21-1q22	Gain	RP4-790C17	RP11-17216	146342686	156056126	41
1q31-1q32	Gain	RP11-572A16	RP11-534L20	198714422	205087972	45
5q13	Loss	RP11-551B22	RP11-497H16	67677068	70179512	45
7p22-7p21	Gain	RP11-510K8	RP4-73389	1081263	7947777	45
7p15-7p14	Gain	RP11-99017	RP11-302L6	24659178	37825117	41
7p14-7p13	Gain	RP11-36H20	RP11-52M17	43272694	45048103	45
7q11.2	Gain	RP11-313P13	RP11-107L23	71274704	76190020	50
7q21-7q22	Gain	RP4-550A13	RP11-333G13	97314794	102514284	55
7q32-7q35	Gain	RP11-32915	RP11-298A10	130270796	143852574	55
7q36	Gain	RP11-24N19	RP4-548D19	148089302	151558264	59
8q24.2	Gain	RP11-71N3	RP11-343P9	132799581	137773461	32
8q24.3	Gain	RP5-1118A7	RP5-1056824	142790550	Telomere	36
9p21	Loss	RP11-113D19	RP11-14912	20351121	22479496	41
9p21	Loss	RP11-495L19	RP11-33KB	22579721	24877888	32
9p13-9p11.1	Loss	RP11-211N8	RP11-475124	39990599	42614658	32
9q21	Loss	RP11-490H9	RP11-336N8	78213759	80495074	32
9q21	Loss	RP11-174K23	RP11-432M2	79930787	84622895	32
9q21	Loss	RP11-439A18	RP1-292F10	84783002	86180561	32
9q22-9q31	Loss	RP11-463M14	RP11-75J9	101410218	105214273	32
13q14-13q31	Loss	RP11-168P13	RP11-46414	42301191	83766576	36
17q21	Gain	RPS-905N1	RP11-361M10	39091531	44639847	41
17q22-17q23	Gain	RP11-312B18	RP11-156L14	48664511	59626448	32
17q25	Gain	RP11-478P5	GS-362-K4	69639765	Telomere	36

#### **LYMPHOMET**

#### **MYCOSIS FONGOIDE (MF)**

#### **DIAGNOSTIC**

#### Repose sur un faisceau d'arguments

Combinaison de critères cliniques, histopathologiques, moléculaires et immunopathologiques

Délai moyen entre le diagnostic et les premiers symptômes : 2 à 4 ans

- Entité rare et parfois méconnue
- Phase initiale aspécifique avec erreurs diagnostiques possibles (eczéma, psoriasis, toxidermie...)
- > Nécessité de répéter les explorations en cas de forte suspicion diagnostique

#### **MYCOSIS FONGOIDE (MF)**

CRITERES	SCORE
A/ Clinique Plaques persistantes et/ou progressives avec : - Atteinte des zones non photo exposées	1 point si un critère additionnel
<ul> <li>Plaques de taille et de forme variable</li> <li>Poikilodermie</li> </ul>	2 points si deux critères additionnels
B/ Histopathologique Infiltrat lymphocytaire superficiel avec : - Epidermotropisme sans spongiose - Atypies lymphocytaires (grosse cellule, noyau irrégulier, hyperchromatique ou cérébriforme)	point si un critère additionnel     points si deux critères additionnels
<b>C/ Moléculaire</b> Réarrangement <b>monoclonal</b> gène TCR	0 point si absence 1 point si présence
D/ Immunopathologique - <50% des lymphocytes T CD2, CD3 et CD5 - <10% des lymphocytes T CD7	0 point si aucun critère
<ul> <li>Discordance épidermique d'expression de CD2, CD3, CD5 ou CD7 par les lymphocytes T comparativement aux lymphocytes T du derme</li> </ul>	1 point si au moins un critère

#### Diagnostic

Algorithme établi par la Société Internationale des Lymphomes Cutanés (ISCL)

Un score >4 permet un diagnostic de MF au stade précoce

#### **LYMPHOMET**

#### **MYCOSIS FONGOIDE (MF)**

#### **CLASSIFICATION**

- Mycosis fongoïde « classique »
- 3 sous types de MF sont **reconnus par l'OMS** dans la dernière classification de 2018
- MF folliculotrope
- MF pagétoide
- MF chalaziodermique
- D'autres sous types sont décrits :

Muñoz-González H, Molina-Ruiz AM, Requena L. Clinicopathologic Variants of Mycosis Fungoides. Actas Dermosifiliogr. 2017 Apr;108(3):192-208. English, Spanish. doi: 10.1016/j.ad.2016.08.009. Epub 2016 Nov 18. PMID: 27871620.

Variants cliniques Clinique distincte mais histologie similaire au MF classique	Variants clinico-pathologiques Clinique et histologie distinctes du MF classique	Variants histopathologiques Nécessitant une biopsie pour la distinction avec MF classique
Hypopigmenté, érythrodermique, ichthyosiforme, palmo-plantaire, papillomateux, papuleux, unilésionnel ou invisible	Avec kystes infundibulaires, poikilodermique, bulleux, anétodermique, hyperpigmenté, purpurique, pustuleux, verruqueux	MF pagétoide MF interstitiel MF transformé

#### **LYMPHOME T**

#### MYCOSIS FONGOIDE (MF)

# **FORME CLASSIQUE** *dite de Alibert-Bazin* **Aspects cliniques**

- Représente 80% des cas de MF
- Evolution indolente sur plusieurs décennies selon 3 stades (non systématique)





devant une présentation tumorale d'emblée sans plaque = toujours évoquer un autre type de lymphome

#### **FORME CLASSIQUE**

#### Premier stade « Patch stage »

#### Macules et plaques érythémateuses

Finement squameuses Peu infiltrées parfois non palpables De formes et tailles variables Poikilodermie possible

#### Fixes

En zones photo protégées

Réponse aux dermocorticoides mais récidive rapidement à l'arrêt

Régression spontanée transitoire possible



Collection Dr Amatore

#### **LYMPHOME T**

#### **MYCOSIS FONGOIDE (MF)**

#### **FORME CLASSIQUE**

#### Premier stade « Patch stage »



Collection Dr Amatore





Skin Lymphoma, L. Cerroni, 4<sup>e</sup> édition Wiley

#### **LYMPHOMET**

#### **MYCOSIS FONGOIDE (MF)**

#### **FORME CLASSIQUE**

#### Deuxieme stade « Plaque stage »

Infiltration des plaques avec variabilité du degré d'infiltration intra plaques et inter plaques

#### Prurit



#### **FORME CLASSIQUE**

Deuxième stade « Plaque stage »





Collection Dr Amatore

**LYMPHOMET** 

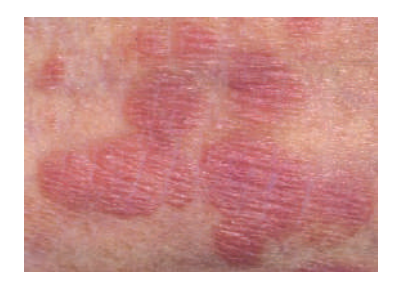
#### MYCOSIS FONGOIDE (MF)

#### **FORME CLASSIQUE**

Deuxième stade « Plaque stage »







Skin Lymphoma, L. Cerroni, 4e édition Wiley

LYMPHOMET

#### MYCOSIS FONGOIDE (MF)

#### **FORME CLASSIQUE**

Troisième stade « Tumor stage »

**Nodules** tumoraux développés sur les plaques et en peau saine

Ulcération secondaire possible



#### **FORME CLASSIQUE**

#### Troisième stade « Tumor stage »





Collection Dr Amatore

**LYMPHOMET** 

#### **MYCOSIS FONGOIDE (MF)**

#### **FORME CLASSIQUE**

Troisième stade « Tumor stage »







Skin Lymphoma, L. Cerroni, 4º édition Wiley

**LYMPHOME T** 

#### **MYCOSIS FONGOIDE (MF)**

#### FORME CLASSIQUE Aspects histopathologiques

· Infiltrat lymphocytaire avec atypies

Cellules augmentées de taille (environ taille d'un kératinocyte) Noyau irrégulier, hyperchromatique ou cérébriforme, présence d'un halo clair périnucléaire

• Epidermotropisme sans signe inflammatoire (pas de spongiose, pas d'atteinte lichénoide...)

Macules « Patch stage »

Infiltrat lymphocytaire et léger épidermotropisme Aspécifique -> Nécessité de répéter les biopsies

Plaques « Plaque stage »

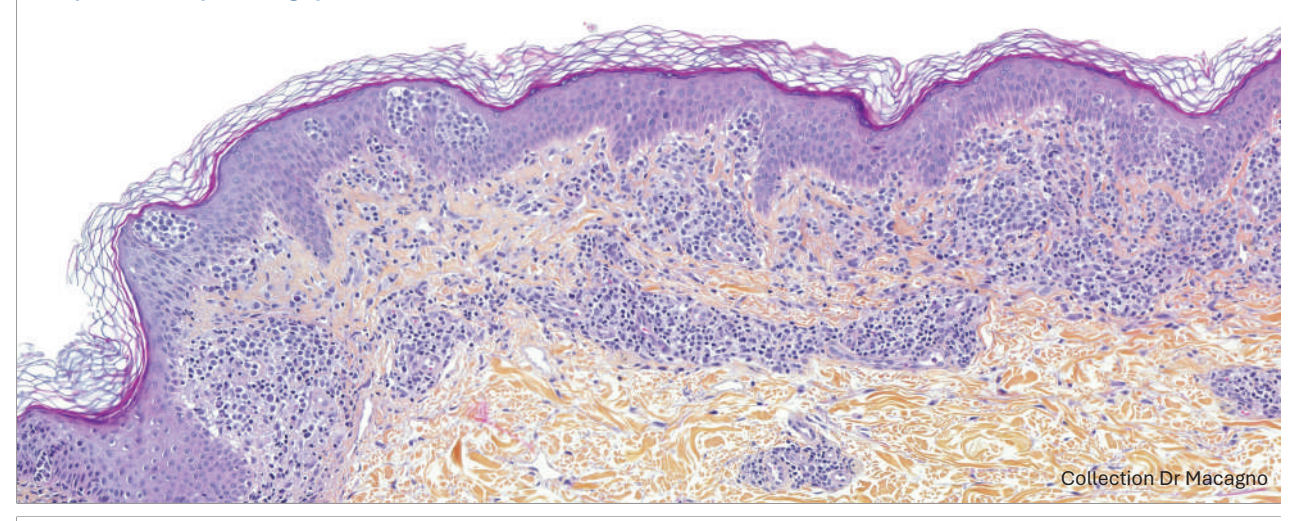
Epidermotropisme majeur avec atypies lymphocytaires, **alignement le long de la basale**Regroupement des LT formant des « **microabès de Pautrier** »
Infiltrat en bande dans le derme superficiel

Tumeurs «Tumor stage»

> Infiltration nodulaire diffuse de tout le derme +/- des tissus sous cutanés

#### **MYCOSIS FONGOIDE (MF)**

# FORME CLASSIQUE: Aspects histopathologiques



LYMPHOMET

#### **MYCOSIS FONGOIDE (MF)**

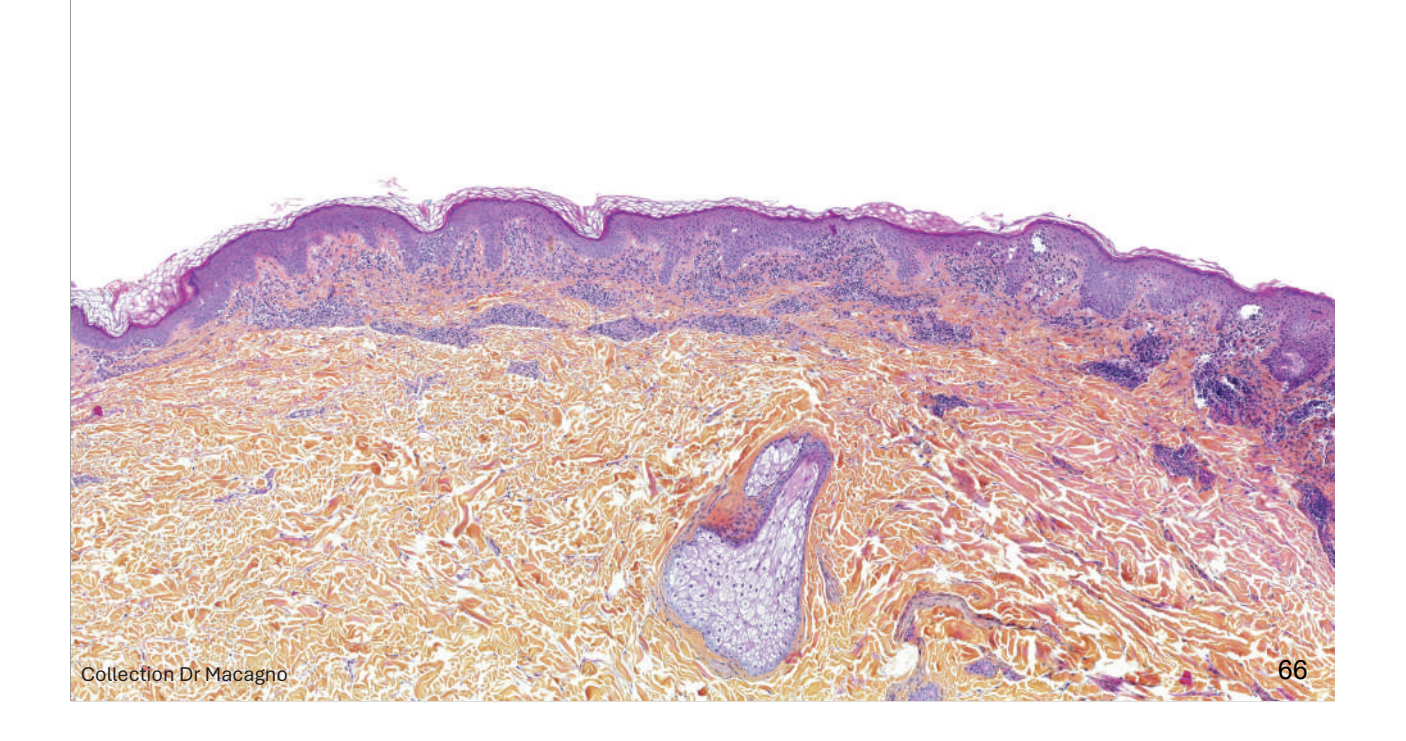
#### FORME CLASSIQUE:

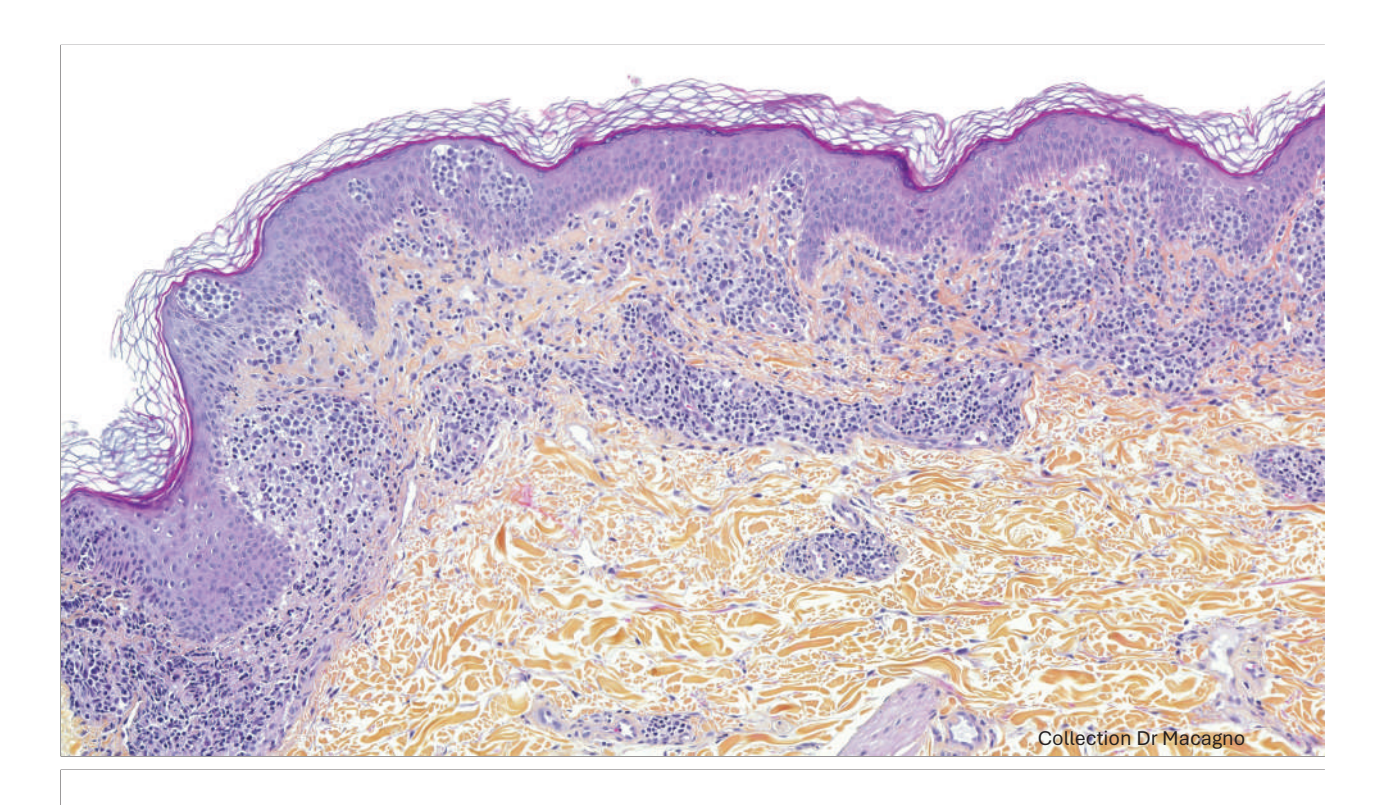
Aspects immunohistochimiques

#### Classiquement:

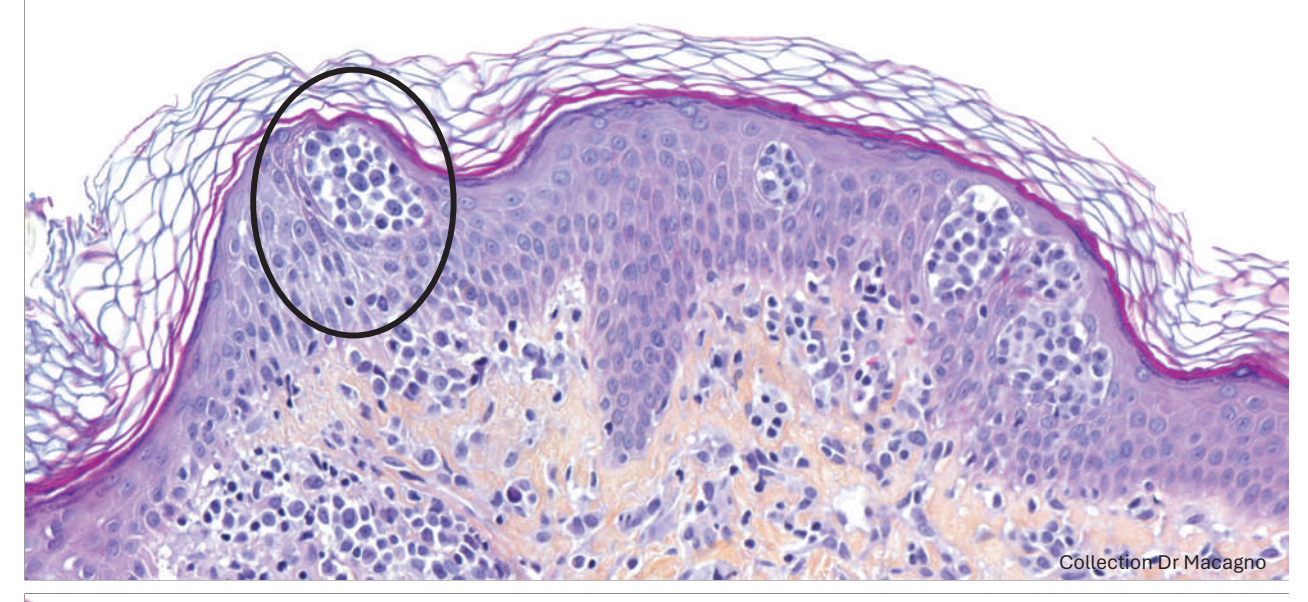
- CD2+, CD3+, **CD4+,** CD5+, CD7-, CD8-, TCRβ+
- Présence d'un trou phénotypique touchant le plus souvent CD7 mais pouvant intéresser le CD2, CD5 voire le CD4
- CD30+ ou CD30-
- PD1+/-

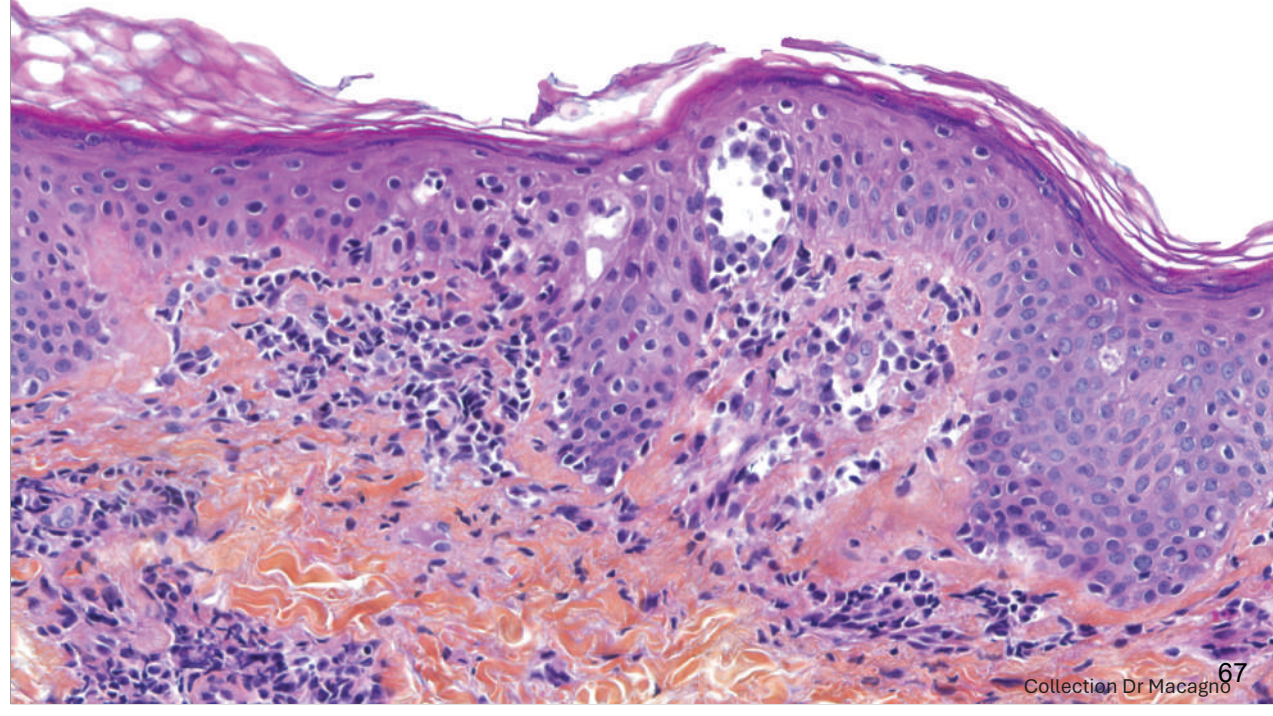
Plus rarement: CD8+ (plutôt chez enfant et adolescent)



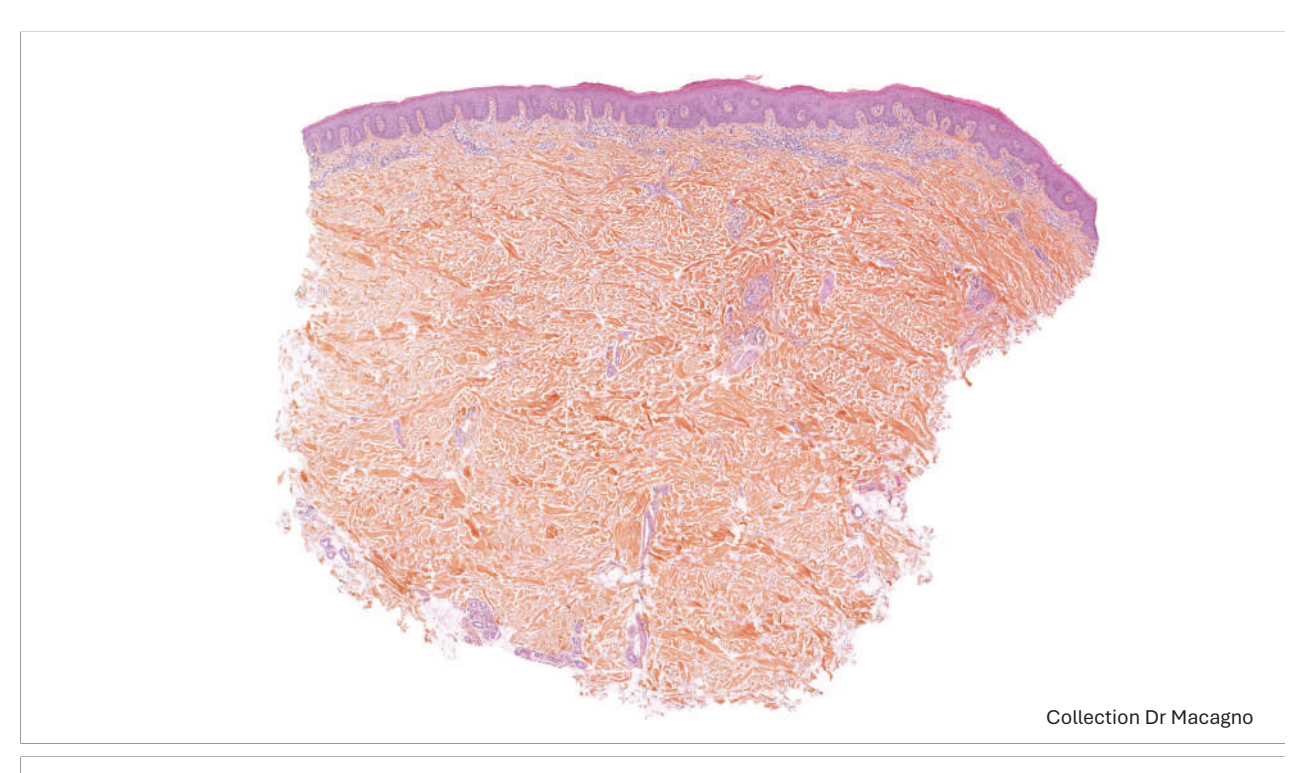


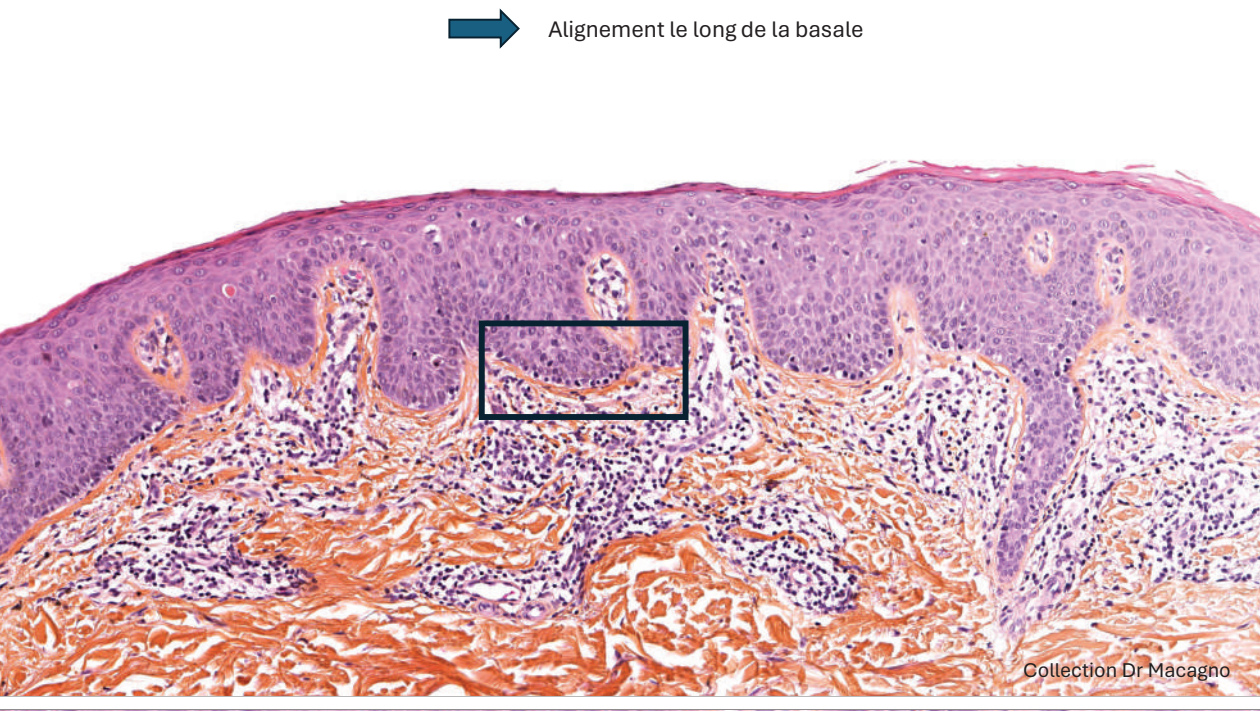
Microabcès de Pautrier

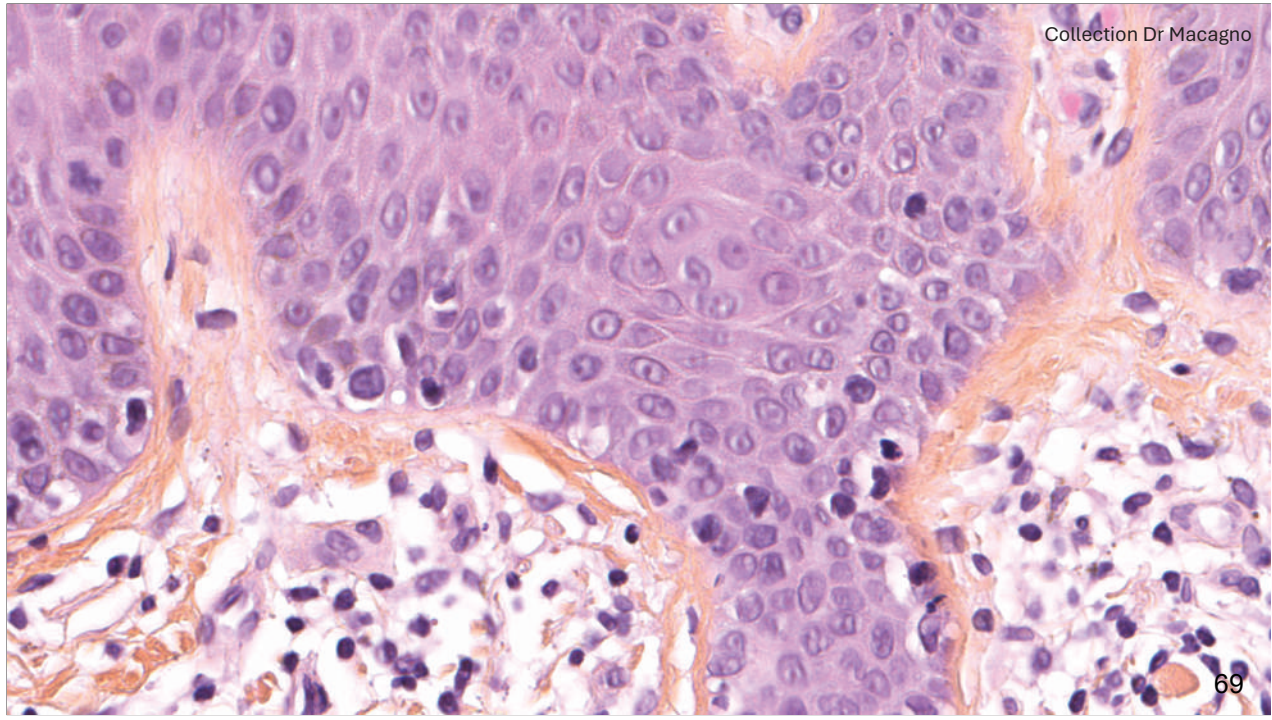


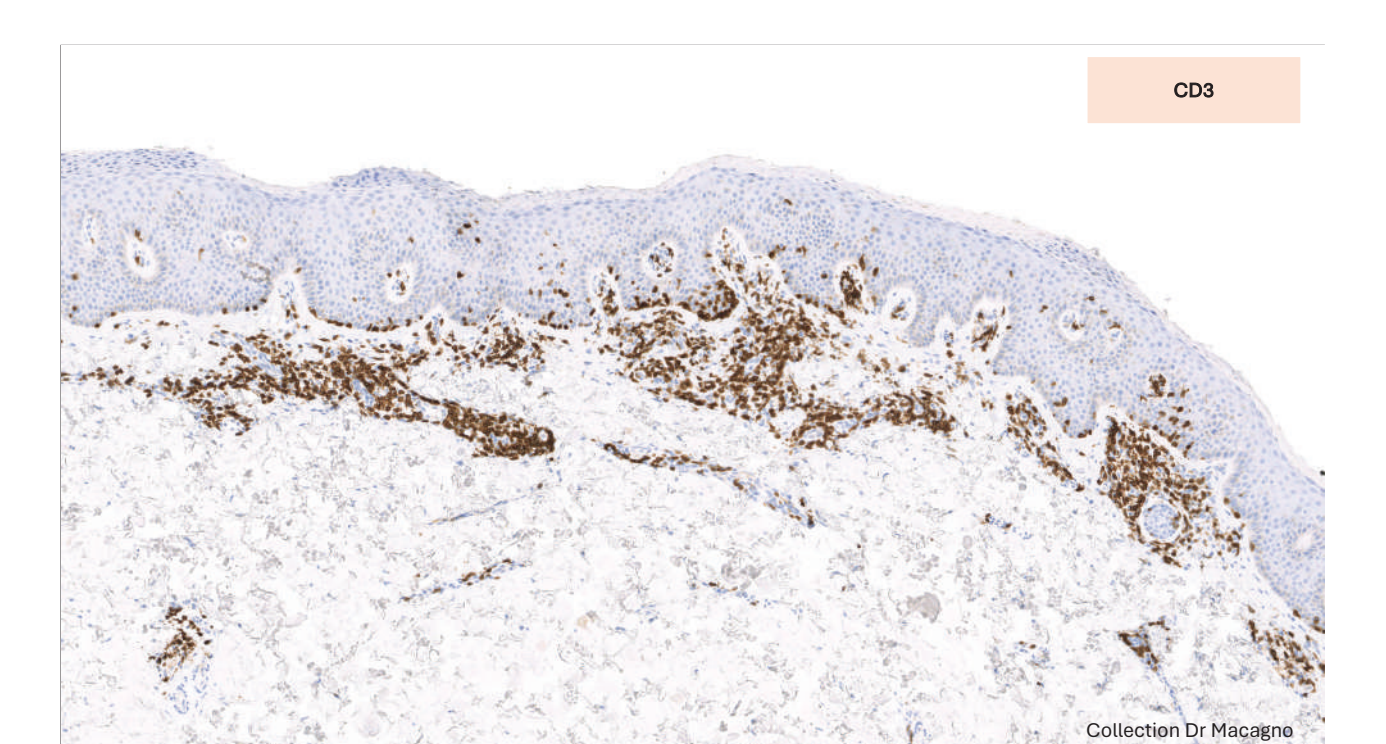












#### MYCOSIS FONGOIDE (MF)

#### **FORME CLASSIQUE:**

Aspects immunohistochimiques

#### En pratique:

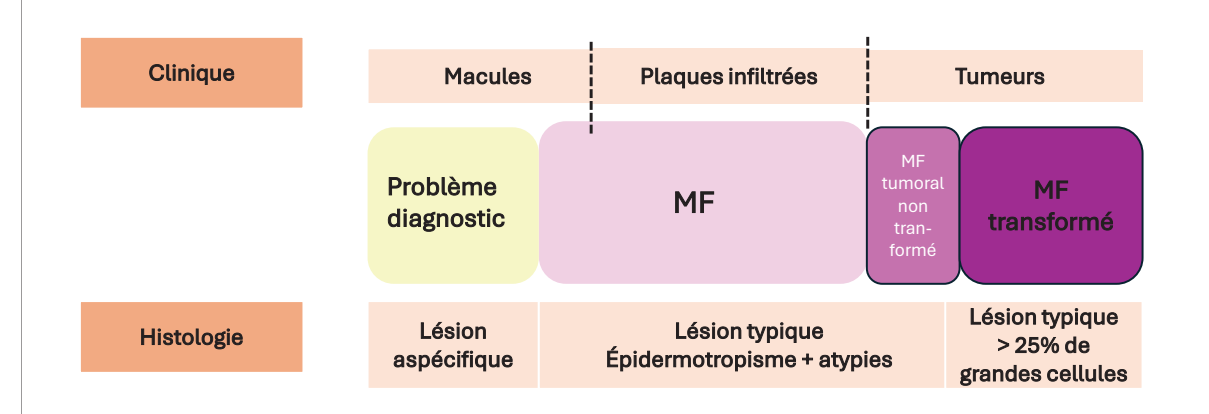
Rechercher expression du CD3, CD7, CD8, CD20 et CD30

- · Positivité du CD8 oriente plutôt vers un infiltrat réactionnel
- Positivité du CD30 doit faire évoquer en priorité un autre type de lymphome ou un MF transformé ou un infiltrat réactionnel
- Négativité du CD20 en faveur d'un lymphome T
- Perte du CD7 en faveur d'un lymphome T

#### **LYMPHOME T**

#### **MYCOSIS FONGOIDE (MF)**

Histologie est « en retard » sur la clinique -> ne pas hésiter à biopsier de nouveau



#### **MYCOSIS FONGOIDE (MF)**

# FORME CLASSIQUE: Aspects moléculaires

# Réarrangement monoclonal gène TCR

(récepteur à l'antigène des LT)

mis en évidence par PCR

Argument pour le diagnostic positif surtout si identification d'un clone identique sur différentes biopsies ou dans le sang

#### Clonalité n'est pas signe de malignité

(peut se voir dans atteinte inflammatoire) > Présence de clone n'est pas suffisant pour le diagnostic

#### Le clone peut être absent aux stades précoces

(présence aussi d'un infiltrat de LT réactionnels polyclonaux) *>Absence de clone n'élimine pas le diagnostic* 

#### **LYMPHOME T**

#### **MYCOSIS FONGOIDE (MF)**

#### **MYCOSIS FONGOIDE TRANSFORME:**

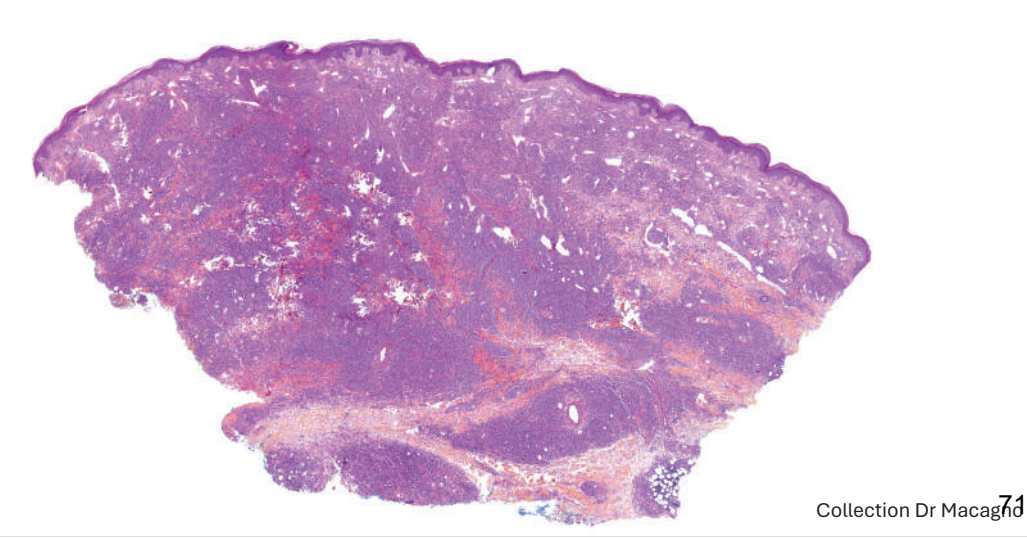
- Définition histopathologique :
   25% de grandes cellules dans l'infiltrat
   (4 fois plus large que lymphocytes normaux)
- CD30 +/-Ki67 augmenté

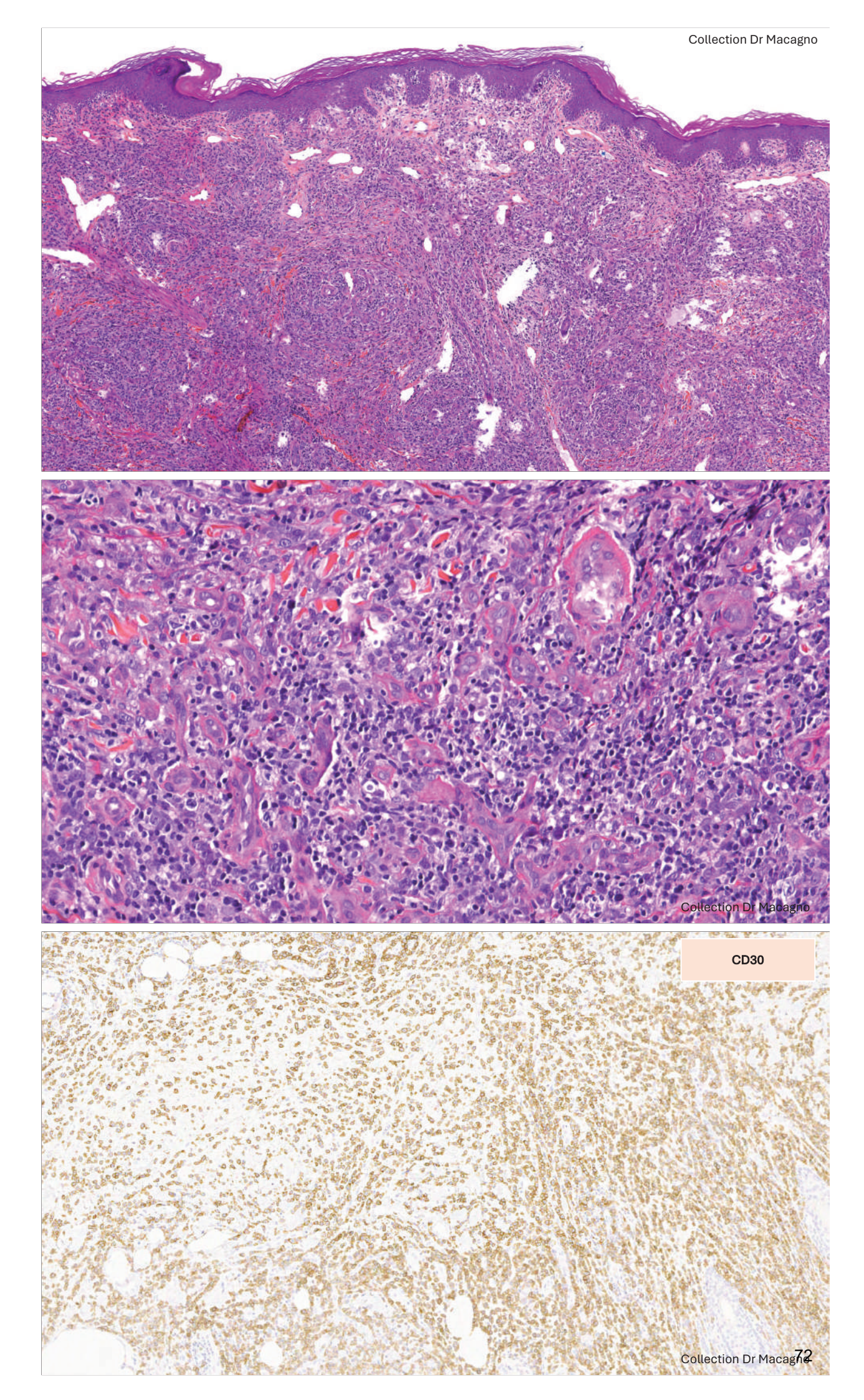
- Forme agressive qui correspond à une transformation en lymphome à grandes cellules
- Témoigne d'une **évolution péjorative** de la maladie
- Survient généralement au stade de MF tumoral (mais possible au stade de MF en plaques ou dans le MF erythrodermique)
- Diagnostic différentiel : Lymphome anaplasique CD30+
- Nécessité d'une intensification thérapeutique

#### **LYMPHOME T**

#### **MYCOSIS FONGOIDE (MF)**

#### **MYCOSIS FONGOIDE TRANSFORME:**





#### **SOUS TYPE FOLLICULOTROPE**

#### Epidémiologie:

Environ 10% des MF

#### Clinique:

Papules folliculaires +/- kératosiques Erythème/plaque péri-folliculaire Comédons, kystes

Alopécie cicatricielle

Prurit

#### Histopathologie:

Infiltrat lymphocytaire péri et intra folliculaire +/- mucinose Atteinte des canaux sudoraux (syringotropisme)

#### Pronostic et évolution :

Forme précoce indolente : idem MF classique Forme avancée plus agressive : plus difficile à traiter



Collection Dr Amatore



#### **LYMPHOMET**

#### **MYCOSIS FONGOIDE (MF)**

#### **SOUS TYPE FOLLICULOTROPE**

#### Epidémiologie:

Environ 10% des MF

#### Clinique:

Papules folliculaires +/- kératosiques Erythème/plaque péri-folliculaire Comédons, kystes Alopécie cicatricielle

Prurit

#### Histopathologie:

Infiltrat lymphocytaire péri et intra folliculaire +/- mucinose Atteinte des canaux sudoraux (syringotropisme)

#### Pronostic et évolution :

Forme précoce indolente : idem MF classique Forme avancée plus agressive : plus difficile à traiter



Collection Dr Amatore



#### **LYMPHOMET**

#### **MYCOSIS FONGOIDE (MF)**

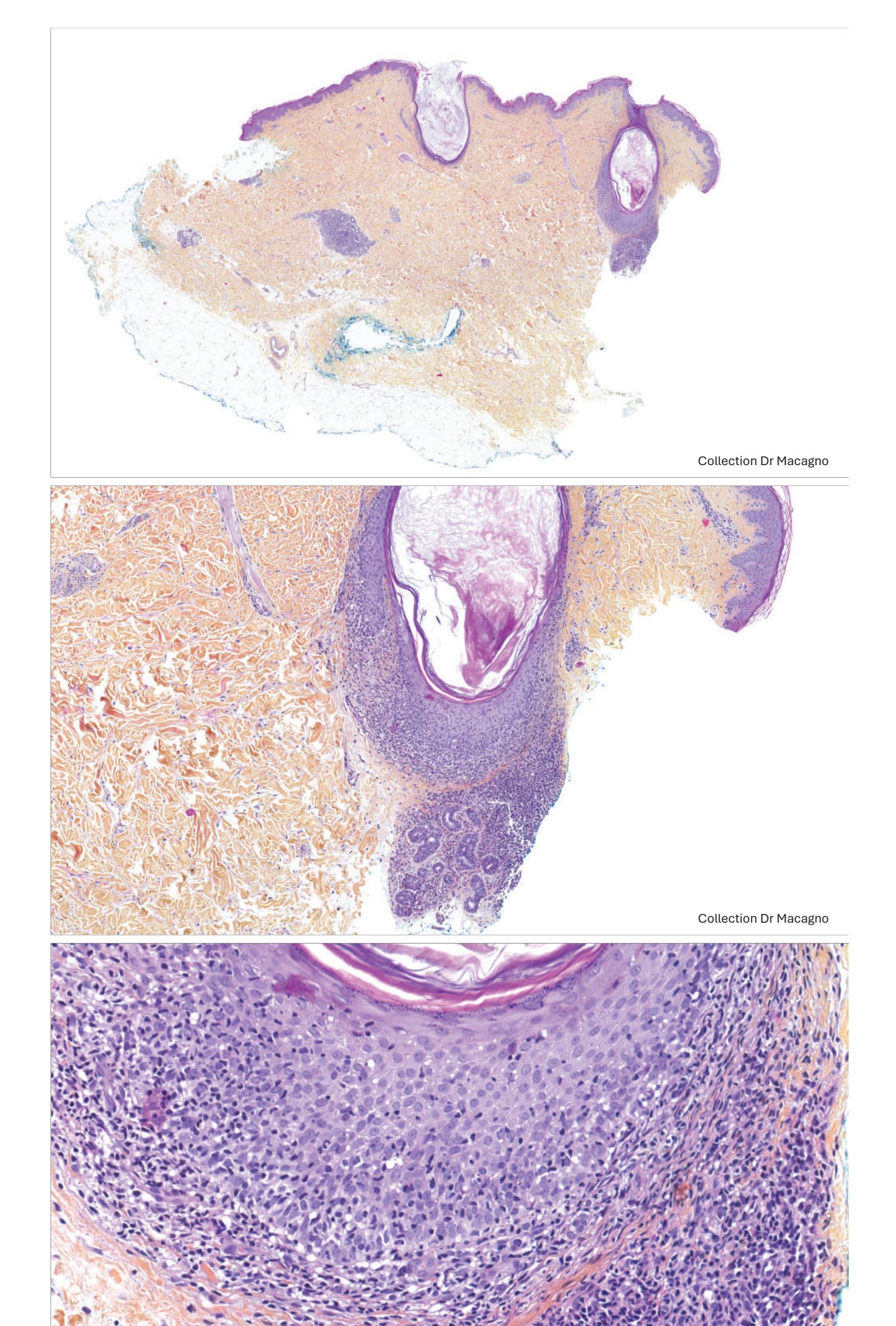
#### **SOUS TYPE FOLLICULOTROPE**



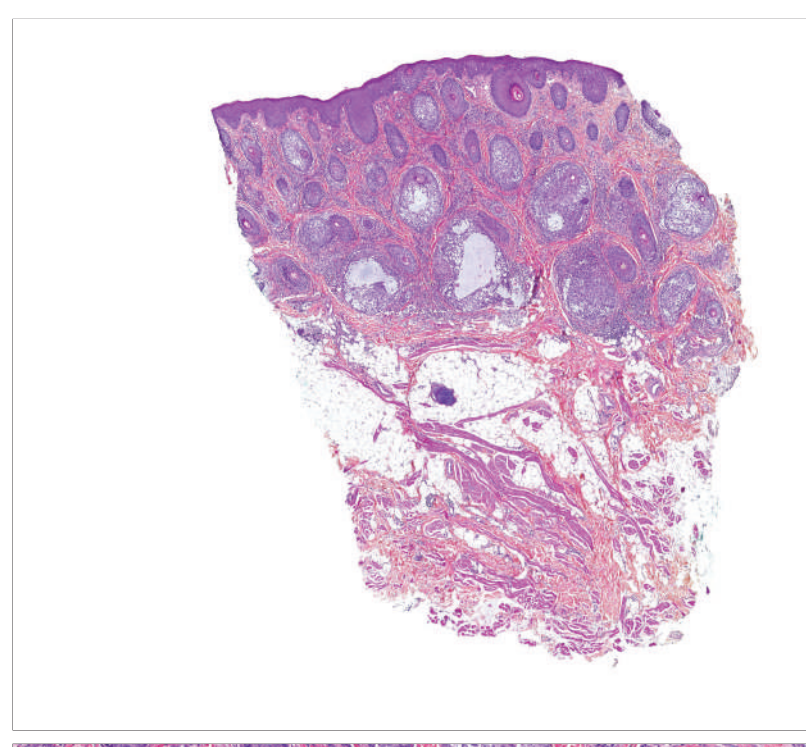




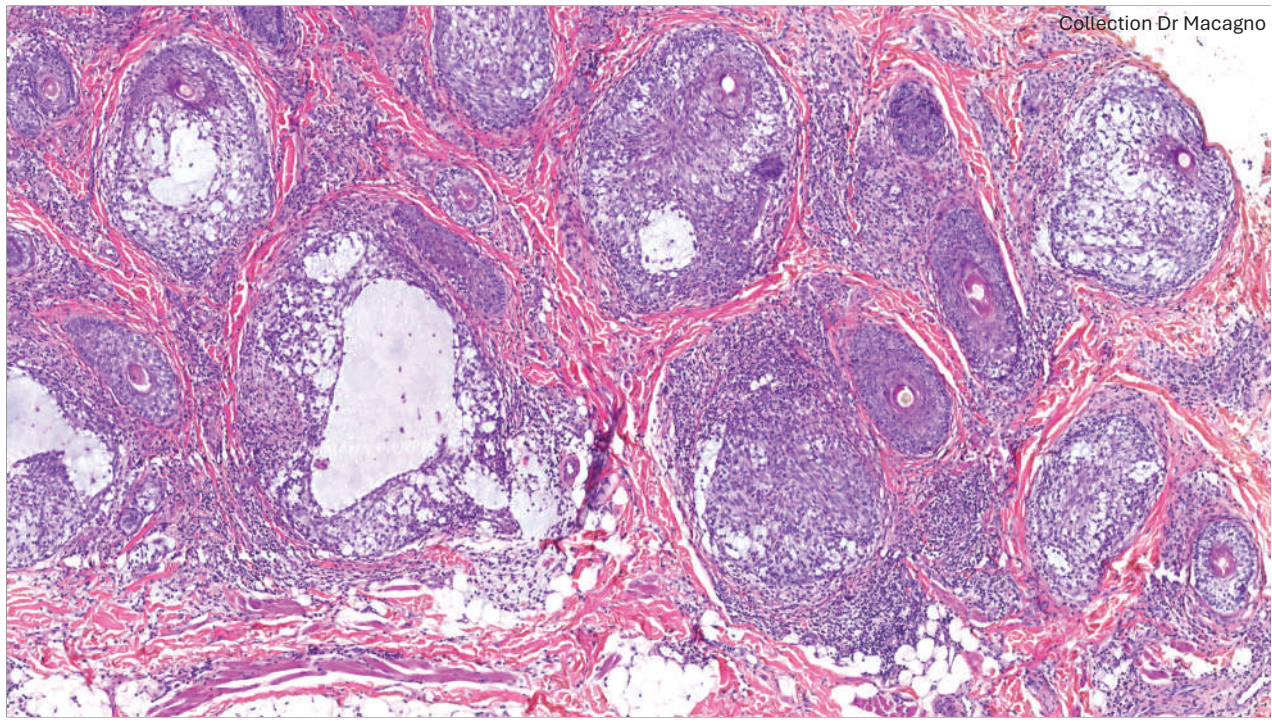
Skin Lymphoma, L. Cerroni, 4° édition Wiley

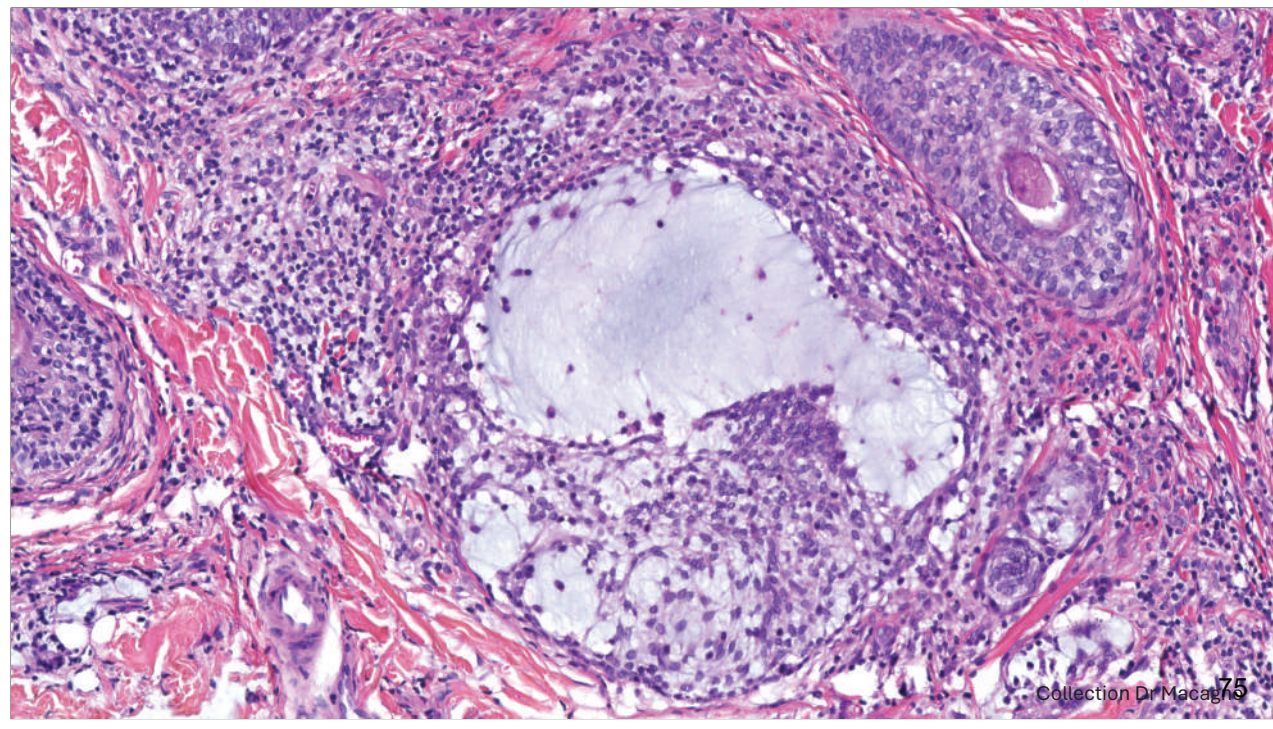


Collection Dr Macagno



Collection Dr Macagno





#### **SOUS TYPE PAGETOIDE**

= maladie de Woringer-Kolopp

Epidémiologie: Très rare

#### Clinique:

#### Plaque érythémateuse unique

Psoriasiforme ou hyperkératosique Souvent en région acrale

#### Histopathologie:

Lymphocytes pagétoides (noyau large hyperchromatique avec halo clair), acanthose avec hyperkératose parakératosique

Souvent CD8+ et CD30+

#### Pronostic et évolution:

Forme plutôt indolente de bon pronostic Possible forme disséminée aggressive : maladie de Ketron-Goodman



Muñoz-González H, Molina-Ruiz AM, Requena L. Clinicopathologic Variants of Mycosis Fungoides. Actas Dermosifiliogr. 2017 Apr;108(3):192-208. English, Spanish. doi: 10.1016/j.ad.2016.08.009. Epub 2016 Nov 18. PMID: 2787162

#### **LYMPHOME T**

#### MYCOSIS FONGOIDE (MF)

#### **SOUS TYPE PAGETOIDE**

= maladie de Woringer-Kolopp

Epidémiologie: Très rare

#### Clinique:

#### Plaque érythémateuse unique

Psoriasiforme ou hyperkératosique Souvent en région acrale

#### Histopathologie:

Lymphocytes pagétoides (noyau large hyperchromatique avec halo clair), acanthose avec hyperkératose parakératosique

Souvent CD8+ et CD30+

#### Pronostic et évolution :

Forme plutôt indolente de bon pronostic Possible forme disséminée aggressive : maladie de Ketron-Goodman



Muñoz-González H, Molina-Ruiz AM, Requena L. Clinicopathologic Variants of Mycosis Fungoides. Actas Dermosifiliogr. 2017 Apr; 108(3):192-208. English, Spanish. doi: 10.1016/j.ad.2016.08.009. Epub 2016 Nov 18. PMID: 2787162

#### **LYMPHOME T**

#### **MYCOSIS FONGOIDE (MF)**

#### **SOUS TYPE PAGETOIDE**

= maladie de Woringer-Kolopp

Epidémiologie: Très rare

#### Clinique:

#### Plaque érythémateuse unique

Psoriasiforme ou hyperkératosique Souvent en région acrale

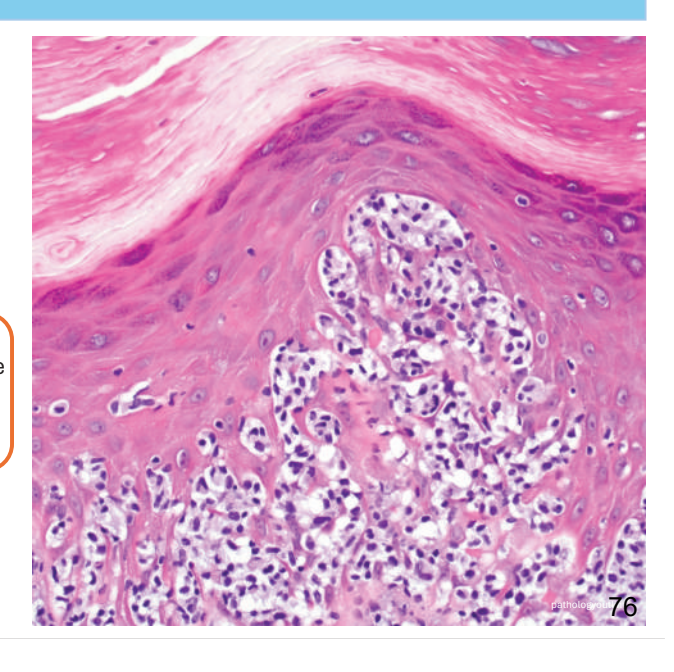
#### Histopathologie :

Lymphocytes pagétoides (noyau large hyperchromatique avec halo clair), acanthose avec hyperkératose parakératosique

Souvent CD8+ et CD30+

#### Pronostic et évolution :

Forme plutôt indolente de bon pronostic Possible forme disséminée aggressive : maladie de Ketron-Goodman



#### **MYCOSIS FONGOIDE (MF)**

#### **SOUS TYPE PAGETOIDE**

= maladie de Woringer-Kolopp

Epidémiologie: Très rare

#### Clinique:

#### Plaque érythémateuse unique

Psoriasiforme ou hyperkératosique

Souvent en région acrale

#### Histopathologie :

Lymphocytes pagétoides (noyau large hyperchromatique avec halo clair), acanthose avec hyperkératose parakératosique

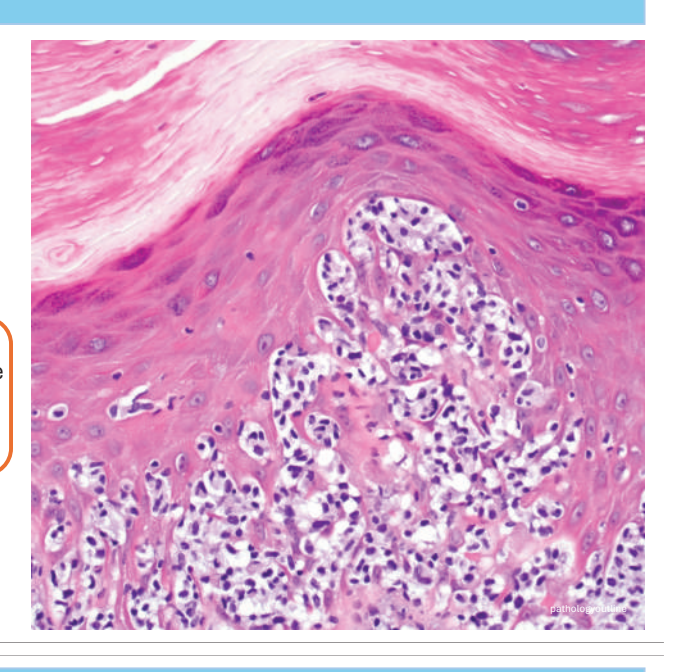
Souvent CD8+ et CD30+

#### Pronostic et évolution:

Forme plutôt indolente de bon pronostic

Possible forme disséminée aggressive : maladie de

Ketron-Goodman



#### **LYMPHOME T**

#### **MYCOSIS FONGOIDE (MF)**

#### **SOUS TYPE CHALAZIODERMIQUE**

= Granulomatous slack skin disease

Epidémiologie: Très rare

#### Clinique:

Plaques infiltrées poikilodermique

Aspect masse pendante avec laxité cutanée

Le plus souvent dans les plis Coexistence avec plaques de MF

#### Histopathologie:

Infiltrat granulomateux

Perte des fibres élastiques

#### Pronostic et évolution :

Evolution indolente mais traitement difficile Association avec autres hémopathies (lymphome de Hodgkin)



Muñoz-González H, Molina-Ruiz AM, Requena L. Clinicopathologic Variants of Mycosis Fungoides. Actas Dermosifiliogr. 2017 Apr;108(3):192-208. English, Spanish. doi: 10.1016/j.ad.2016.08.009. Epub 2016 Nov 18. PMID: 27871620.

#### **LYMPHOME T**

#### **MYCOSIS FONGOIDE (MF)**

#### **SOUS TYPE CHALAZIODERMIQUE**

= Granulomatous slack skin disease





Skin Lymphoma, L. Cerroni, 4º édition Wiley

#### **MYCOSIS FONGOIDE (MF)**

#### **SOUS TYPE CHALAZIODERMIQUE**

= Granulomatous slack skin disease

Epidémiologie: Très rare

#### Clinique:

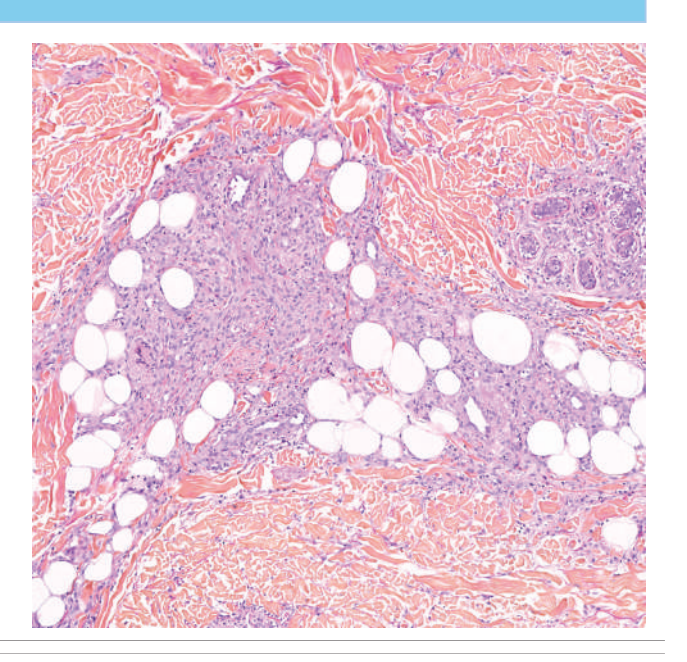
Plaques infiltrées poikilodermique Aspect masse pendante avec laxité cutanée Le plus souvent dans les plis Coexistence avec plaques de MF

#### Histopathologie:

Infiltrat granulomateux Perte des fibres élastiques

#### Pronostic et évolution:

Evolution indolente mais traitement difficile Association avec autres hémopathies (lymphome de Hodgkin)



#### **LYMPHOME T**

#### **MYCOSIS FONGOIDE (MF)**

#### **AUTRES FORMES**

#### Variants cliniques

Clinique distincte mais histologie similaire au MF classique

Hypopigmenté, érythrodermique, ichthyosiforme, palmo-plantaire, papillomateux, papuleux, unilésionnel ou invisible

#### Variants clinico-pathologiques

Clinique et histologie distinctes du MF classique

Avec kystes infundibulaires, poikilodermique, bulleux, anétodermique, hyperpigmenté, purpurique, pustuleux, verruqueux

#### Variants histopathologiques

Nécessitant une biopsie pour la distinction avec MF classique

MF pagétoide MF interstitiel MF transformé

Muñoz-González H, Molina-Ruiz AM, Requena L. Clinicopathologic Variants of Mycosis Fungoides. Actas Dermosifiliogr. 2017 Apr;108(3):192-208. English, Spanish. doi: 10.1016/j.ad.2016.08.009. Epub 2016 Nov 18. PMID: 27871620.

#### **LYMPHOME T**

#### **MYCOSIS FONGOIDE (MF)**

# AUTRES FORMES MF HYPOPIGMENTE





#### **MYCOSIS FONGOIDE (MF)**

# AUTRES FORMES MF ERYTHRODERMIQUE





Skin Lymphoma, L. Cerroni, 4º édition Wiley

#### **LYMPHOMET**

## MYCOSIS FONGOIDE (MF)

# AUTRES FORMES MF PAPULEUX





Skin Lymphoma, L. Cerroni, 4º édition Wiley

#### LYMPHOMET

#### **MYCOSIS FONGOIDE (MF)**

#### AUTRES FORMES MF POIKILODERMIQUE





# AUTRES FORMES MF ICHTYOSIFORME



Skin Lymphoma, L. Cerroni, 4e édition Wiley

**LYMPHOME T** 

#### **MYCOSIS FONGOIDE (MF)**

#### **Classification TNM**

T1	Macules, plaques ou papules < 10% de la surface corporelle	<b>1A</b> : Uniquement macule <b>1B</b> : Plaque/papule	
T2	Patches, plaques, ou papules ≥10% de la surface corporelle	2A: Uniquement macule 2B: Plaque/papule	
Т3	Au moins une lesion tumorale ≥1 cm de diametre		
T4	Confluence de l'erythème avec atteinte > 80% de la surface corporelle totale		

Olsen E, Vonderheid E, Pimpinelli N, Willemze R, Kim Y, Knobler R, Zackheim H, Duvic M, Estrach T, Lamberg S, Wood G, Dummer R, Ranki A, Burg G, Heald P, Pittelkow M, Bernengo MG, Sterry W, Laroche L, Trautinger F, Whittaker S, ISCL/EORTC. Revisions to the staging and classification of mycosis fungoides and Sezary syndrome: a proposal of the International Society for Cutaneous Lymphomas (ISCL) and the cutaneous lymphoma task force of the European Organization of Research and Treatment of Cancer (EORTC). Blood. 2007 Sep 15;110(6):1713-22. doi: 10.1182/blood-2007-03-055749. Epub 2007 May 31. Erratum in: Blood. 2008 May 1;111(9):4830. PMID: 17540844.

#### **LYMPHOME T**

#### MYCOSIS FONGOIDE (MF)

#### **Classification TNM**

Table 4. ISCL/EORTC revision to the classification of m	ycosis fungoides and Sézary syndrome
---	--------------------------------------

TNMB stages	
Skin	
T <sub>1</sub>	Limited patches," papules, and/or plaques† covering < 10% of the skin surface. May further stratify into T <sub>10</sub> (patch only) vs T <sub>1b</sub> (plaque ± patch)
T <sub>2</sub>	Patches, papules or plaques covering ≥ 10% of the skin surface. May further stratify into T <sub>28</sub> (patch only) vs T <sub>2b</sub> (plaque ± patch).
T <sub>3</sub>	One or more tumors‡ (= 1-cm diameter)
T <sub>4</sub>	Confluence of erythema covering ≥ 80% body surface area
Node	
No	No clinically abnormal peripheral lymph nodes§; biopsy not required
N <sub>4</sub>	Clinically abnormal peripheral lymph nodes; histopathology Dutch grade 1 or NCI LNo₂
N <sub>18</sub>	Clone negative#
N <sub>1b</sub>	Clone positive#
N <sub>2</sub>	Clinically abnormal peripheral lymph nodes; histopathology Dutch grade 2 or NCI LN <sub>5</sub>
New	Clone negative#
N <sub>2b</sub>	Clone positive#
N <sub>3</sub>	Clinically abnormal peripheral lymph nodes; histopathology Dutch grades 3-4 or NCI LN4; clone positive or negative
N <sub>s</sub>	Clinically abnormal peripheral lymph nodes; no histologic confirmation
Visceral	
Mo	No visceral organ involvement:
M <sub>1</sub>	Visceral involvement (must have pathology confirmation§ and organ involved should be specified)
Blood	
B0	Absence of significant blood involvement: ≤ 5% of peripheral blood lymphocytes are atypical (Sézary) cells∥
Box	Clone negative#
Bob	Clone positive#
B1	Low blood tumor burden: > 5% of peripheral blood lymphocytes are atypical (Sézary) cells but does not meet the criteria of B₂
Bin	Clone negative#
B <sub>1b</sub>	Clone positive#
82	High blood tumor burden: ≥ 1000/μL Sézary cells∥ with positive clone#

Olsen E, Vonderheid E, Pimpinelli N, Willemze R, Kim Y, Knobler R, Zackheim H, Duvic M, Estrach T, Lamberg S, Wood G, Dummer R, Ranki A, Burg G, Heald P, Pittelkow M, Bernengo MG, Sterry W, Laroche L, Trautinger F, Whittaker S; ISCL/EORTC. Revisions to the staging and classification of mycosis fungoides and Sezary syndrome: a proposal of the International Society for Cutaneous Lymphomas (ISCL) and the cutaneous lymphoma task force of the European Organization of Research and Treatment of Cancer (EORTC). Blood. 2007 Sep 15;110(6):1713-22. doi: 10.1182/blood-2007-03-055749. Epub 2007 May 31. Erratum in: Blood. 2008 May 1;111(9):1714-24.

#### **MYCOSIS FONGOIDE (MF)**

Table 4. ISCL/FORTC revision to the classification of m

#### **Classification TNM**

Il peut exister dans certains MF (surtout T4) un passage sanguin des cellules tumorales

Ces cellules ont le même phénotype sanguin que les cellules de Sezary

B0 < 250/ $\mu$ L soit <5% *MF erythrodermique* 

TNMB stages	
Skin	
T <sub>1</sub>	Limited patches," papules, and/or plaques† covering < 10% of the skin surface. May further stratify into T <sub>10</sub> (patch only) vs T <sub>tb</sub> (plaque ± patch)
T <sub>2</sub>	Patches, papules or plaques covering ≥ 10% of the skin surface. May further stratify into T <sub>28</sub> (patch only) vs T <sub>26</sub> (plaque ± patch).
T <sub>3</sub>	One or more tumors‡ (= 1-cm diameter)
T <sub>4</sub>	Confluence of erythema covering ≥ 80% body surface area
Node	
N <sub>0</sub>	No clinically abnormal peripheral lymph nodes§; biopsy not required
N <sub>1</sub>	Clinically abnormal peripheral lymph nodes; histopathology Dutch grade 1 or NCI LN <sub>e.2</sub>
N <sub>1a</sub>	Clone negative#
N <sub>1b</sub>	Clone positive#
N <sub>2</sub>	Clinically abnormal peripheral lymph nodes; histopathology Dutch grade 2 or NCI LN <sub>3</sub>
New	Clone negative#
Nab	Clone positive#
Na	Clinically abnormal peripheral lymph nodes; histopathology Dutch grades 3-4 or NCI LN <sub>4</sub> ; clone positive or negative
N <sub>a</sub>	Clinically abnormal peripheral lymph nodes; no histologic confirmation
Visceral	
Mo	No visceral organ involvement:
M <sub>1</sub>	Visceral involvement (must have pathology confirmation and organ involved should be specified)
Blood	_
B0	Absence of significant blood involvement: ≤ 5% of peripheral blood lymphocytes are atypical (Sézary) cells
Box	Clone negative#
Bob	Clone positive#
B1	Low blood tumor burden: > 5% of peripheral blood lymphocytes are atypical (Sézary) cells but does not meet the criteria of B₂
Bta	Clone negative#
B <sub>1b</sub>	Clone positive#
B2	High blood tumor burden: ≥ 1000/μL Sézary cells∥ with positive clone#

Olsen E, Vonderheid E, Pimpinelli N, Willemze R, Kim Y, Knobler R, Zackheim H, Duvic M, Estrach T, Lamberg S, Wood G, Dummer R, Ranki A, Burg G, Heald P, Pittelkow M, Bernengo MG, Sterry W, Laroche L, Trautinger F, Whittaker S; ISCL/EORTC. Revisions to the staging and classification of mycosis fungoides and Sezary syndrome: a proposal of the International Society for Cutaneous Lymphomas (ISCL) and the cutaneous lymphoma tas force of the European Organization of Research and Treatment of Cancer (EORTC). Blood. 2007 Sep 15;110(6):1713-22. doi: 10.1182/blood-2007-03-055749. Epub 2007 May 31. Erratum in: Blood. 2008 May 1;111(9):4830. PMID: 17540844.

#### **LYMPHOME T**

#### MYCOSIS FONGOIDE (MF)

#### **STADES**

Stade I : T1/T2 N0 M0 Stade II A : T1/T2 N1/N2 M0 Stade II B : T3 N0/N1/N2 M0 Stade III : T4 N0/N1/N2 M0

Stade IV: M+

Stades I et II > stades précoces Bon pronostic

Stade III et IV > stades avancés Pronostic plus réservé

# Table 7. ISCL/EORTC revision to the staging of mycosis fungoides and Sézary syndrome

, ,				
	Т	N	М	В
IA	1	0	0	0,1
IB	2	0	0	0,1
II	1,2	1,2	0	0,1
IIB	3	0-2	0	0,1
Ш	4	0-2	0	0,1
IIIA	4	0-2	0	0
IIIB	4	0-2	0	1
IVA <sub>1</sub>	1-4	0-2	0	2
IVA <sub>2</sub>	1-4	3	0	0-2
IVB	1-4	0-3	1	0-2

Olsen E, Vonderheid E, Pimpinelli N, Willemze R, Kim Y, Knobler R, Zackheim H, Duvic M, Estrach T, Lamberg S, Wood G, Dummer R, Ranki A, Burg G, Heald P, Pittelkow M, Bernengo MG, Sterry W, Laroche L, Trautinger F, Whittaker S; ISCL/EORTC. Revisions to the staging and classification of mycosis fungoides and Sezary syndrome: a proposal of the International Society for Cutaneous Lymphomas (ISCL) and the cutaneous lymphoma task force of the European Organization of Research and Treatment of Cancer (EORTC). Blood. 2007 Sep 15;110(6):1713-22. doi: 10.1182/blood-2007-03-055749. Epub 2007 May 31. Erratum in: Blood. 2008 May 1;111(9):4830. PMID: 17540844.

#### **LYMPHOME T**

#### **MYCOSIS FONGOIDE (MF)**

#### **EVOLUTION ET PRONOSTIC**

- Evolution classiquement indolente sur plusieurs décennies
- Evolution IMPOSSIBLE à prédire
- Environ 25% des patients développeront une forme avancée de la maladie (donc 75% resteront dans une forme de bon pronostic)
- Atteinte extra cutanée rare mais de mauvais pronostic
- · Possible transformation en lymphome à grandes cellules (MF transformé) de plus mauvais pronostic

#### **LYMPHOMET MYCOSIS FONGOIDE (MF) AGRESSIF INDOLENT** Lymphome T MF stade précoce MF stade avancé 75% des cas Lymphoprolifération CD30 Syndrome de Sezary -Papulose lymphomatoide -Lymphome anaplasique Lymphome T γ/δ Lymphoprolifération CD4 à Lymphome T CD8 cytotoxique petites et moyennes cellules Lymphome T NOS (inclassable) Lymphoprolifération CD8 acrale Lymphome T sous cutané type panniculite Lymphome B de la zone Lymphome B à grandes cellules, Lymphome B marginale type jambe 25% des cas Lymphome B centro folliculaire Lymphome B intra-vasculaire

LYMPHOMET

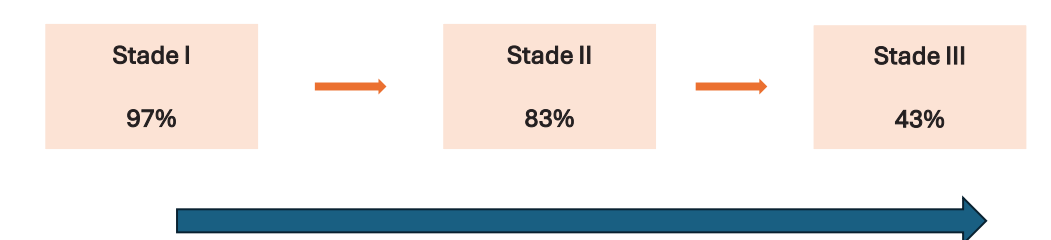
**MYCOSIS FONGOIDE (MF)** 

#### **EVOLUTION ET PRONOSTIC**



Evolution impossible à prédire

Survie à 10 ans



Transformation lymphome grandes cellules (souvent CD30+)

LYMPHOMET

**MYCOSIS FONGOIDE (MF)** 

#### **BILAN INITIAL**

Examen clinique

> Type de lésion, nombre de tumeurs, surface corporelle, aires ganglionnaires

Biopsie cutanée

Punch sur 2 lésions différentes, au centre de la lésion Examen histologique et biologie moléculaire

Biologie

Bilan standard avec LDH Si > 50% de SC : recherche de cellules de Sezary, circulantes, clonalité sanguine et immunophénotypage sanguin avec recherche de KIR3DL2

Radiologie

Stade I et II, N0: aucun bilan Si ADP suspecte, stade tumoral et MF erythrodermique: scanner TAP ou TEP-TDM

Biopsie ganglionnaire

Si ADP suspecte > 1.5cm : biopsie ganglionnaire (histologie et clonalité)

#### **TRAITEMENTS**

Attention aux sur-traitement et sous-traitement Réévaluation régulière du rapport bénéfice/risque

#### Le traitement n'est pas systématique, nécessité d'évaluation du rapport bénéfice/risque

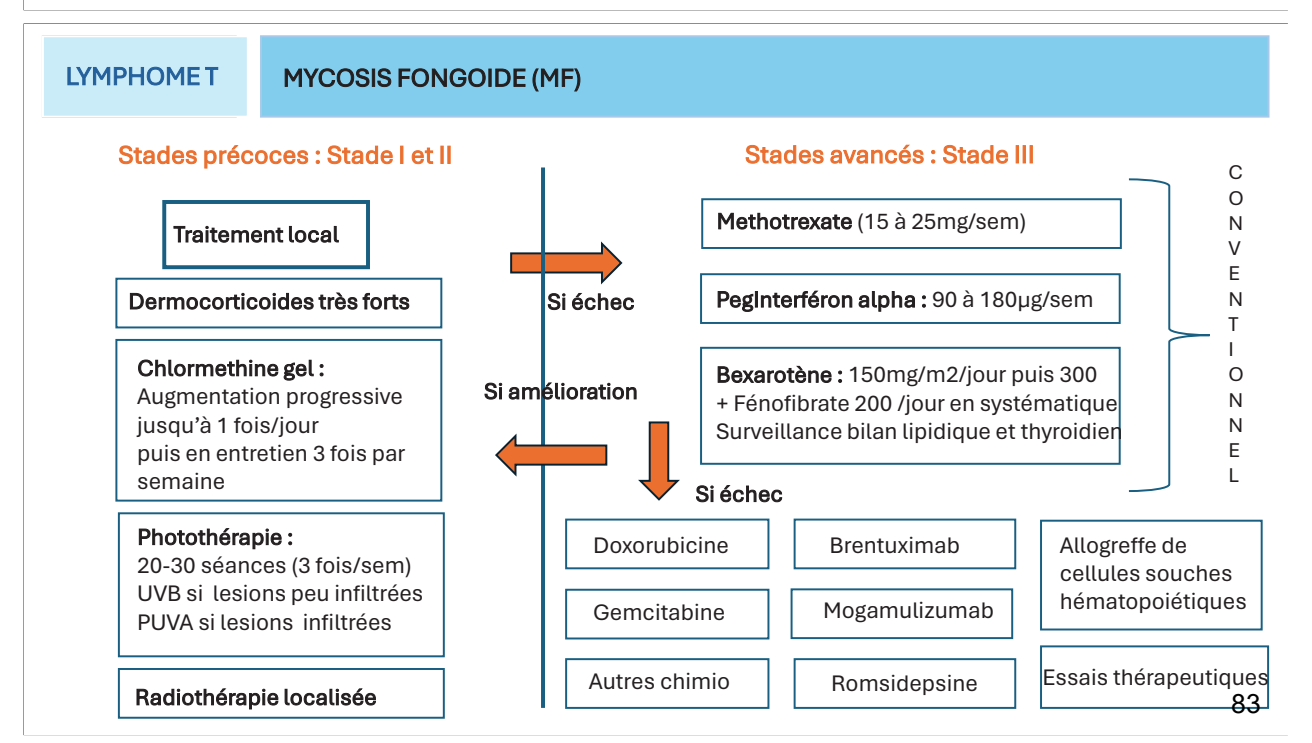
- Symptomatologie du patient, présence ou non d'une altération de sa qualité de vie
- Comorbidités, état général
- Stade de sa maladie (précoce ou avancé)

#### L'évolution vers une forme grave est imprédictible et ne dépend pas des traitements antérieurs

>Pas d'interet de traiter un patient dans le but « d'éviter le passage » à une forme plus avancée

Discuter une décroissance thérapeutique en cas de rémission voire envisager un arrêt de traitement

#### **LYMPHOME T** MYCOSIS FONGOIDE (MF) **TRAITEMENTS SYSTEMIQUES** Conventionnels: **TOPIQUES** Retinoides (Bexarotène = TARGRETIN) Dermocorticoides très forts Methotrexate Chlormethine gel (LEDAGA) PegInterféron alpha Immunothérapies: Anti-CD30: Brentuximab vedotin (ADCETRIS) Anti-CTLA4: Mogamulizumab (POTELIGEO) **AUTRES** Chimiothérapies: UVA, UVB bande étroite, Doxorubicine (CAELYX) Radiothérapie localisée, Gemcitabine Irradiation totale par faisceux d'éléctrons (TSEB) Inhibiteur des histones désacétylases : Greffe allogénique = seul traitement curatif (Romidepine = ISTODAX) en ATU

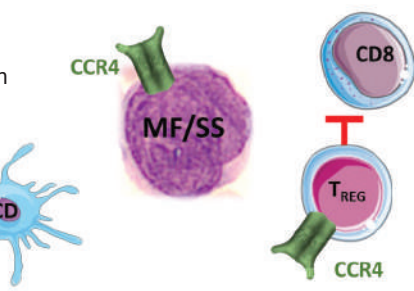


# **MYCOSIS FONGOIDE (MF)**

#### **TRAITEMENTS**

#### **FOCUS: MOGAMULIZUMAB**

- Anticorps monoclonal humanisé anti CCR4 (CC chemokine receptor 4)
- CCR4 = récepteur exprimé par les LT tumoraux et les LT régulateurs
- Responsable notamment de leur localisation dans le tissu cutané et d'un microenvironnement permissif à la prolifération tumorale



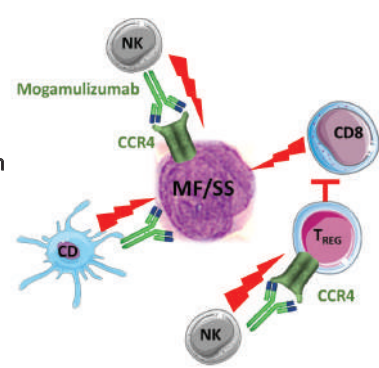
**LYMPHOME T** 

#### **MYCOSIS FONGOIDE (MF)**

#### **TRAITEMENTS**

FOCUS: MOGAMULIZUMAB

- Blocage sélectif du CCR4
- Inhibition de l'interaction du CCR4 avec les chimiokines donc diminution des LT tumoraux dans la peau
- Modification du micro-environnement tumoral favorisant une réponse immunitaire antitumorale active notamment via blocage des LT régulateurs et activation des LT cytotoxiques, NK et macrophages



**LYMPHOME T** 

# **MYCOSIS FONGOIDE (MF)**

#### **TRAITEMENTS**

#### FOCUS: MOGAMULIZUMAB

Modalités d'administration :

Perfusion de 1mg/kg par voie IV sur 60 minutes

1 fois par semaine pendant 5 semaines puis 1 fois tous les 15 jours

Prémédication par antipyrétique et antihistaminique

Bilan biologique pré-cure nécessaire

• Durée de traitement :

Si bonne réponse : Discuter espacement des doses

Si non réponse, échappement ou mauvaise tolérance :

Discuter changement thérapeutique

#### **MYCOSIS FONGOIDE (MF)**

# **TRAITEMENTS**

**FOCUS: MOGAMULIZUMAB** 

Effets auto-immuns via l'activation des LT CD8 et diminution des LTreg

Tableau 1 : Effets indésirables survenus chez les patients recevant POTELIGEO (N = 184)

Classe de systèmes d'organes (SOC)	Fréquence	Effet indésirable
Affections hématologiques et du système	Fréquent	Anémie, neutropénie, leucopénie,
lymphatique	rrequent	thrombopénie
Affections endocriniennes	Fréquent	Hypothyroïdie
	Très fréquent	Constipation, diarrhée, nausées,
Affections gastro-intestinales	rres frequent	stomatite
	Fréquent	Vomissements
Troubles généraux et anomalies au site d'administration	Très fréquent	Fatigue, œdème périphérique, pyrexie
Affections hépatobiliaires	Peu fréquent	Hépatite aiguë, hépatite
•	Très fréquent	Infections <sup>a</sup>
Infections et infestations		Infection des voies respiratoires
	Fréquent	supérieures
Lésions, intoxications et complications liées aux procédures	Très fréquent	Réaction liée à la perfusion
Investigations	Fréquent	Augmentation de l'alanine aminotransférase, augmentation de l'aspartate aminotransférase, augmentation de la phosphatase alcaline
		sanguine, diminution du taux de lymphocytes
Troubles du métabolisme et de la nutrition	Peu fréquent	Syndrome de lyse tumorale
Affections du système nerveux	Très fréquent	Céphalées
Affections de la peau et du tissu sous-cutané	Très fréquent	Éruption médicamenteuse (incluant rash cutané)

Commission européenne du médicament la Folliculite, cellulite, candidose, pneumonie, sepsis, infection cutanée, otite externe, zona, infection cutanée à staphylocoque, infection urinaire, herpès et infection à cytomégalovirus.

# **LYMPHOME T**

#### MYCOSIS FONGOIDE (MF)

#### **TRAITEMENTS**

FOCUS: MOGAMULIZUMAB et toxicité cutanée

- Survient en général après le 100e jour
- · 4 principaux patterns identifiés :
- Atteinte folliculotrope (MF-like) avec alopécie (42%)
- Papules/ plaques (32%)
- Photodermatose (26%)
- Eruption morbilliforme ou erythrodermique (26%)
- Plutôt en faveur d'une bonne réponse
- Peut nécessiter un espacement de dose voir un arret de traitement
- · Traitement avec dermocorticoides +/corticothérapie systémique +/- Methotrexate

Toxicité cutanée versus évolution de la maladie? -> corrélation anatomo-clinique

Infiltrat plutot macrophagique Pas d'épidermotropisme

Diminution du rapport CD4/CD8 Pas de trou phénotypique, pas de clone T

#### **LYMPHOME T**

#### MYCOSIS FONGOIDE (MF)

#### **TRAITEMENTS**

FOCUS: La greffe allogénique de cellules souches

- Seul traitement permettant une éventuelle guérison complète (dans 50% des cas)
- Nécessite une rémission complète du patient avant de greffer sinon inefficacité
- Option thérapeutique lourde avec risque d'effets secondaires graves (infections, GVH)
- Critères stricts d'élégibilité : < 70 ans, peu de comorbidités
- Rechute possible après guérison
  - Se discute dans les formes de mycosis fongoide sévères de mauvais pronostic  $\sum$ chez des patients sans comorbidités majeures non réfractaires aux thérapeutiques puisque rémission nécessaire en pré greffe

# **MYCOSIS FONGOIDE (MF)**

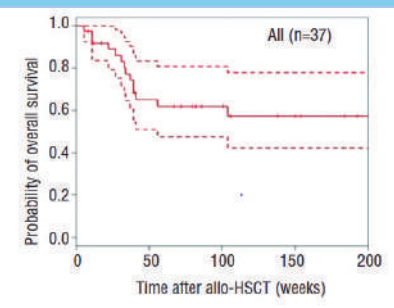
#### **TRAITEMENTS**

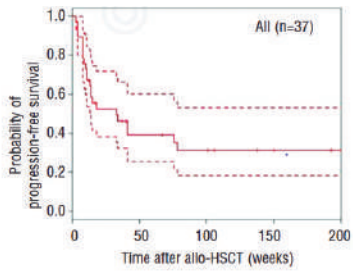
#### FOCUS: La greffe allogénique de cellules souches

Etude française multicentrique 2014 37 patients avec MF stade avancé ou Sezary ayant bénéficié d'une allogreffe de cellules souches

Survie globale > 50% à 2 ans 14 décès (38%) : 8 liés à la maladie, 6 secondaires aux complications de la greffe

Survie sans progression < 50% à 2 ans 19 patients sur 32 ont rechuté (dans la première année) Rechutes moins sevères que maladie initiale





de Masson A, Allogeneic stem cell transplantation for advanced cutaneous T-cell lymphomas: a study from the French Society of Bone Marrow Transplantation and French Study Group on Cutaneous Lymphomas. Haematologica. 2014 Mar;99(3):527-34. doi: 10.3324/haematol.2013.098145. Epub 2013 Nov 8. PMID: 24213148

**LYMPHOME T** 

#### MYCOSIS FONGOIDE (MF)

#### **SUIVI**

#### Forme indolente:

- Suivi clinique tous les 6 mois recommandé
- Rechercher signe de toxicité induite par les traitements ++
- · Réévaluation du rapport bénéfice risque

#### Forme agressive:

- Réévaluation plus précoce (tous les mois à trois mois)
- Suivi clinique et histologique > rechercher une transformation histologique
- Si point d'appel clinique : renouveler imageries
- Réévaluation du rapport bénéfice risque

**LYMPHOME T** 

# **MYCOSIS FONGOIDE (MF)**

**SYNTHESE** 

# **SYNTHESE**

# Le plus fréquent des lymphomes cutanés (50% des cas)

Rare

Age moyen 50 ans, possible à tout âge Cas pédiatriques (souvent hypopigmenté)

Diagnostic sur faisceau d'arguments

Forme classique 80% des cas Macule > plaque > tumeur Lésions fixes En zones non photo exposées Nombreux variants cliniques

MF transformé si >25% de grandes cellules

**Epidermotropisme** sans spongiose **Atypies lymphocytaires** 

Trou phénotypique Réarrangement monoclonal TCR

# Evolution imprévisible

Stades précoces de bon pronostic (75%) Pronostic plus réservé pour stade tumoral et MF transformé

Traitement selon le stade et balance bénéfice risque Possibilité de non traiter Privilégier un traitement topique si suffisant, réévaluation fréquente

#### **MYCOSIS FONGOIDE (MF)**

#### **BIBLIOGRAPHIE**

1/ Alibert JL, Mycosis fongoïde, monographie des dermatoses ou précis théorique et pratique des maladies de la peau. Paris. Davnac. 1832, p 274

2/ Willemze R, et al. The 2018 update of the WHO-EORTC classification for primary cutaneous lymphomas. Blood. 2019 Apr 18;133(16):1703-1714.

3/ Cai ZR, et al. Incidence Trends of Primary Cutaneous T-Cell Lymphoma in the US From 2000 to 2018: A SEER Population Data Analysis. JAMA Oncol. 2022 Nov 1;8(11):1690-1692.

4/ Miyashiro D, Sanches JA. Mycosis fungoides and Sézary syndrome: clinical presentation, diagnosis, staging, and therapeutic management. Front Oncol. 2023 Apr 14;13:1141108

5/ Dobos G, et al. French Study Group on Cutaneous Lymphomas (GFELC). Epidemiological changes in cutaneous lymphomas: an analysis of 8593 patients from the French Cutaneous Lymphoma Registry. Br J Dermatol. 2021 Jun;184(6):1059-1067

6/ F. Amatore, Physiopathologie des lymphomes T cutanés épidermotropes (Mycosis Fongoïde et Syndrome de Sézary), Elsevier, 2022

#### **LYMPHOME T**

#### **MYCOSIS FONGOIDE (MF)**

#### **BIBLIOGRAPHIE**

7/ Van Doorn R, Oncogenomic analysis of mycosis fungoides reveals major differences with Sezary syndrome. Blood. 2009 Jan 1;113(1):127-36.

8/ Pimpinelli N, et al. Defining early mycosis fungoides. J Am Acad Dermatol. 2005 Dec;53(6):1053-63.

9/ Muñoz-González H, Molina-Ruiz AM, Requena L. Clinicopathologic Variants of Mycosis Fungoides. Actas Dermosifiliogr. 2017 Apr;108(3):192-208. English, Spanish.

10/ Skin Lymphoma, L. Cerroni, 5e édition Wiley

11/ Miyashiro D, Sanches JA. Mycosis fungoides and Sézary syndrome: clinical presentation, diagnosis, staging, and therapeutic management. Front Oncol. 2023 Apr 14;13:1141108.

12/ Hodak E, et al. M. New insights into folliculotropic mycosis fungoides (FMF): A single-center experience. J Am Acad Dermatol. 2016 Aug;75(2):347-55.

13/ Van Santen S, et al. Clinical Staging and Prognostic Factors in Folliculotropic Mycosis Fungoides. JAMA Dermatol. 2016 Sep 1;152(9):992-1000

#### **LYMPHOME T**

#### **MYCOSIS FONGOIDE (MF)**

### **BIBLIOGRAPHIE**

14/ Shah A, Safaya A. Granulomatous slack skin disease: a review, in comparison with mycosis fungoides. J Eur Acad Dermatol Venereol. 2012 Dec;26(12):1472-8.

15/ Olsen E, et al. Revisions to the staging and classification of mycosis fungoides and Sezary syndrome: a proposal of the International Society for Cutaneous Lymphomas (ISCL) and the cutaneous lymphoma task force of the European Organization of Research and Treatment of Cancer (EORTC). Blood. 2007 Sep 15;110(6):1713-22.

15/ Willemze R, et al. ESMO Guidelines Committee. Primary cutaneous lymphomas: ESMO Clinical Practice Guidelines for diagnosis, treatment and follow-up. Ann Oncol. 2018 Oct 1;29(Suppl 4):iv30-iv40.

16/ Latzka J, et al. EORTC consensus recommendations for the treatment of mycosis fungoides/Sézary syndrome - Update 2023. Eur J Cancer. 2023 Dec;195:113343.

17/ Johnson WT, et al. Allogeneic hematopoietic stem cell transplantation in advanced stage mycosis fungoides and Sézary syndrome: a concise review. Chin Clin Oncol. 2019 Feb;8(1):12

18/ Hosing C, et al. Allogeneic stem-cell transplantation in patients with cutaneous lymphoma: updated results from a single institution. Ann Oncol. 2015 Dec;26(12):2490-5.

#### **MYCOSIS FONGOIDE (MF)**

#### **BIBLIOGRAPHIE**

19/ Prince HM, et al. Brentuximab vedotin or physician's choice in CD30-positive cutaneous T-cell lymphoma (ALCANZA): an international, open-label, randomised, phase 3, multicentre trial. Lancet. 2017 Aug 5;390(10094):555-566.

20/ Poteligeo; INN-mogamulizumab - EC Europa, commission européenne du médicament, 2012

21/ De Masson A, Allogeneic stem cell transplantation for advanced cutaneous T-cell lymphomas: a study from the French Society of Bone Marrow Transplantation and French Study Group on Cutaneous Lymphomas. Haematologica. 2014 Mar;99(3):527-34.

**LYMPHOMET** 

#### **SOMMAIRE**

1/ Mycosis fongoide

- 2/ Lymphoprolifération CD30+
- Papulose lymphomatoide
- Lymphome anaplasique à grandes cellules

3/ Lymphoprolifération CD4+ à petites et moyennes cellules

- 4/ Lymphome T sous cutané type panniculite
- 5/ Lymphoprolifération T CD8 acrale

**LYMPHOMET** 

#### LYMPHOPROLIFERATION T CD30+

Lymphoprolifération de lymphocytes T helper CD30+

Papulose lymphomatoide

Lymphome T anaplasique à grandes cellules

Formes borderlines

# Lymphoprolifération de lymphocytes T helper CD30+

Papulose lymphomatoide

Lymphome T anaplasique à grandes cellules

Formes borderlines

> Aspects histopathologiques et immunohistochimiques proches, **clinique distincte** 

**LYMPHOME T** 

LYMPHOPROLIFERATION T CD30+

# Lymphoprolifération de lymphocytes T helper CD30+

Papulose lymphomatoide

Lymphome T anaplasique à grandes cellules

Formes borderlines

> Représente 20 à 30% des lymphomes T cutanés (soit deuxième plus fréquent après le MF)

**LYMPHOMET** 

LYMPHOPROLIFERATION T CD30+

Lymphoprolifération de lymphocytes T helper CD30+

Papulose lymphomatoide

Lymphome T anaplasique à grandes cellules

Formes borderlines

#### **INTRODUCTION**

- Lymphoproliferation dermique de lymphocytes T CD30+ se traduisant par des poussées de papulo-nodules nécrotiques avec auto-regression, évoluant de manière chronique
- Première description en 1968 par Macaulay
- Terminologie anglaise: lymphomatoid papulosis

**LYMPHOME T** 

LYMPHOPROLIFERATION T CD30+: PAPULOSE LYMPHOMATOIDE

#### **EPIDEMIOLOGIE**

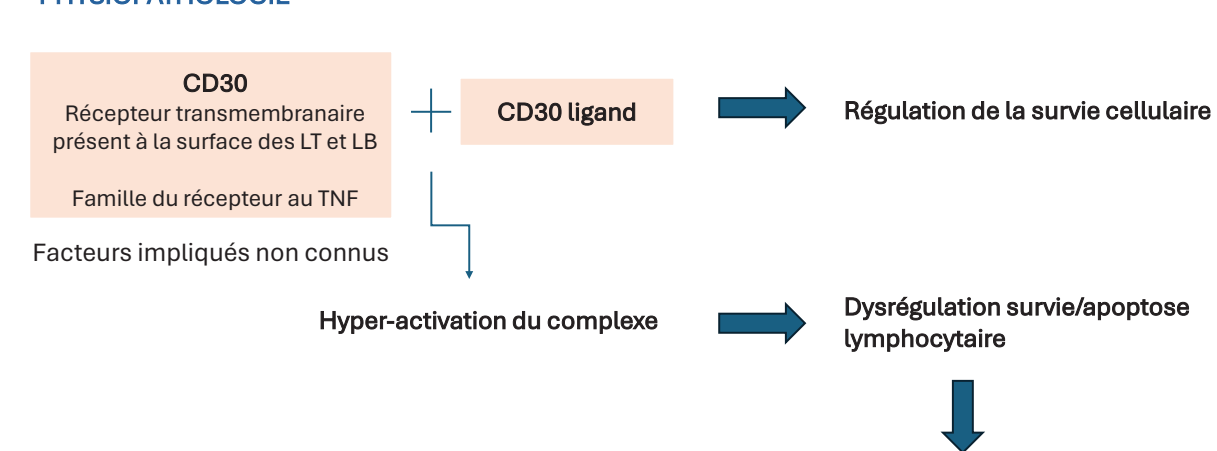
- Représente environ 12% des lymphomes cutanés
- Rare, 1 cas pour 1 000 000 aux USA
- Terrain:

Peut survenir à tout âge, pic 40 ans Légère prédominance masculine sexe ratio 1,5H/1F Cas pédiatriques décrits

**LYMPHOMET** 

LYMPHOPROLIFERATION T CD30+: PAPULOSE LYMPHOMATOIDE

# **PHYSIOPATHOLOGIE**



#### LYMPHOPROLIFERATION T CD30+: PAPULOSE LYMPHOMATOIDE

#### **PHYSIOPATHOLOGIE**

L'expression de CD30 par les LT:

- Se retrouve dans d'autres hémopathies
- Également dans des pathologies inflammatoires ou réactionnelles (toxidermies, infections) donc n'est pas un marqueur de malignité

#### Expression de CD30 +

Primary CD30-positive cutaneous lymphoproliferative disorders

Lymphomatoid papulosis

Primary cutaneous anaplastic large cell lymphoma

Cutaneous T-cell lymphoma with expression of CD30+

Mycoses fungoides with large cell transformation

Pagetoid reticulosis

Sézary syndrome with large cell transformation

Extranodal NK/T-cell lymphoma, nasal type

Peripheral T-cell lymphoma, not otherwise specified

Mature T and NK neoplasms

Angioimmunoblastic T-cell lymphoma

Systemic anaplastic large cell lymphoma

Martinez-Cabriales SA, Walsh S, Sade S, Shear NH. Lymphomatoid papulosis: an update and review. J Eur Acad Dermatol Venereol. 2020 Jan;34(1):59-73. doi: 10.1111/jdv.15931. Epub 2019 Oct 14. PMID: 31494989.

#### **LYMPHOME T**

#### LYMPHOPROLIFERATION T CD30+: PAPULOSE LYMPHOMATOIDE

Collection Dr Amatore

# CLINIQUE Forme classique

Papules rosées ou nodules

Parfois nécrotiques

Variable en nombre (1 à plusieurs centaines)

Souvent disséminées

Prédominantes sur **tronc et membres** 

Asymptomatique (50%, prurit possible)

Possible coexistence de lésions d'âge différentes (si poussées rapprochées)

**Involution spontanée systématique** en 3 à 12 semaines

Hyperpigmentation post inflammatoire, cicatrices varioliformes



#### **LYMPHOME T**

#### LYMPHOPROLIFERATION T CD30+: PAPULOSE LYMPHOMATOIDE

# CLINIQUE Forme classique



Skin Lymphoma, L. Cerroni, 4º édition Wiley



#### LYMPHOPROLIFERATION T CD30+: PAPULOSE LYMPHOMATOIDE

# CLINIQUE Formes atypiques

Forme segmentaire Forme acrale Atteinte visage Atteinte muqueuse Variant pustuleux Variant bulleux Variant folliculaire



Nijsten T, Curiel-Lewandrowski C, Kadin ME. Lymphomatoid papulosis in children: a retrospective cohort study of 35 cases. Arch Dermatol. 2004 Mar;140(3):306-12. doi: 10.1001/archderm.140.3.306. PMID: 15023774.

#### **LYMPHOME T**

#### LYMPHOPROLIFERATION T CD30+: PAPULOSE LYMPHOMATOIDE

# CLINIQUE Formes atypiques

Forme segmentaire Forme acrale Atteinte visage **Atteinte muqueuse** Variant pustuleux Variant bulleux Variant folliculaire





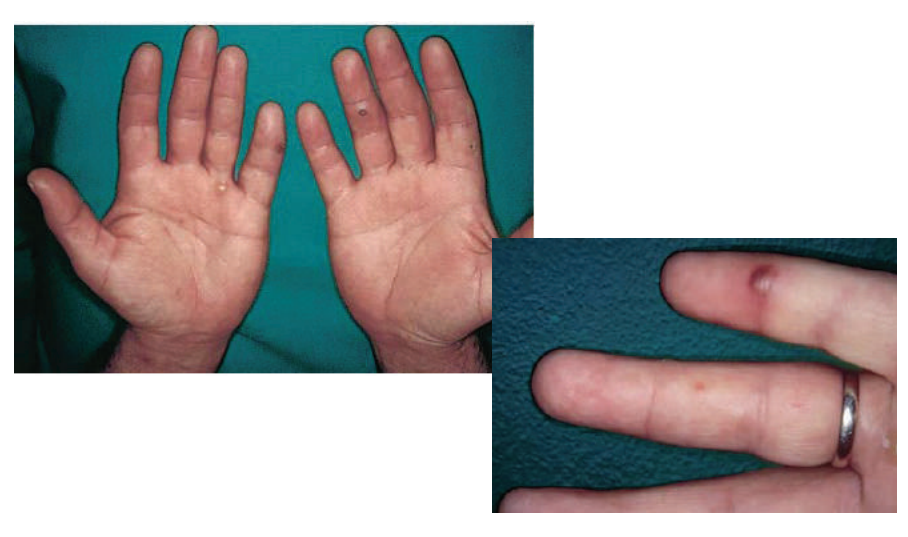
Pujol RM, Muret MP, Bergua P, Bordes R, Alomar A. Oral involvement in lymphomatoid papulosis. Report of two cases and review of the literature. Dermatology. 2005;210(1):53-7. doi: 10.1159/000081485. PMID: 15604547.

# **LYMPHOME T**

#### LYMPHOPROLIFERATION T CD30+: PAPULOSE LYMPHOMATOIDE

# CLINIQUE Formes atypiques

Forme segmentaire
Forme acrale
Atteinte visage
Atteinte muqueuse
Variant pustuleux
Variant bulleux
Variant folliculaire



#### LYMPHOPROLIFERATION T CD30+: PAPULOSE LYMPHOMATOIDE

# CLINIQUE Formes atypiques

Forme segmentaire
Forme acrale
Atteinte visage
Atteinte muqueuse
Variant pustuleux
Variant bulleux
Variant folliculaire



Sureda N, Thomas L, Bathelier E, Balme B, Depaepe L, Dalle S. Bullous lymphomatoid papulosis. Clin Exp Dermatol. 2011 Oct;36(7):800-1. doi: 10.1111/j.1365-2230.2011.04046.x. Epub 2011 May 17. PMID: 21575041.

**LYMPHOME T** 

#### LYMPHOPROLIFERATION T CD30+: PAPULOSE LYMPHOMATOIDE

#### HISTOPATHOLOGIE ET IMMUNOHISTOCHIMIE

# 6 sous types histologiques

- Aucune incidence sur le pronostic
- Présentation clinique similaire (hormis type E angioinvasion se traduisant par plus de lésions nécrotiques)

Туре	Histology	Immunophenotype
A	Wedge-shaped dermal infiltrate of large atypical lymphocytes in a mixed inflammatory background	CD4 <sup>+</sup> CD8 <sup>-</sup> CD30 <sup>+</sup>
В	Small lymphocytes with cerebriform nuclei and marked epidermotropism	CD4 <sup>+</sup> CD8 <sup>-</sup> CD30 <sup>+</sup>
C	Dermal infiltrate of large atypical lymphocytes without significant mixed inflammatory background	CD4 <sup>+</sup> CD8 <sup>-</sup> CD30 <sup>+</sup>
D	Small to medium-sized pleomorphic lymphocytes usually expressing cytotoxic markers	CD4 <sup>-</sup> CD8 <sup>+</sup> CD30 <sup>+</sup> Cytotoxic markers <sup>+</sup>
Е	Angioinvasive dermal infiltrate of atypical lymphocytes in a mixed inflammatory background	CD4 <sup>-</sup> CD8 <sup>+</sup> CD30 <sup>+</sup>
6p25.3	Biphasic pattern with small to medium-sized epidermotropic lympho- cytes with cerebriform nuclei, and a dermal infiltrate of large atypical lymphocytes	CD4 CD8 CD30+

Di Raimondo C, Parekh V, Song JY, Rosen ST, Querfeld C, Zain J, Martinez XU, Abdulla FR. Primary Cutaneous CD30+ Lymphoproliferative Disorders: a Comprehensive Review. Curr Hematol Malig Rep. 2020 Aug;15(4):333-342. doi: 10.1007/s11899-020-00583-4. PMID: 32435988.

**LYMPHOME T** 

#### LYMPHOPROLIFERATION T CD30+: PAPULOSE LYMPHOMATOIDE

#### HISTOPATHOLOGIE ET IMMUNOHISTOCHIMIE

#### Type A:

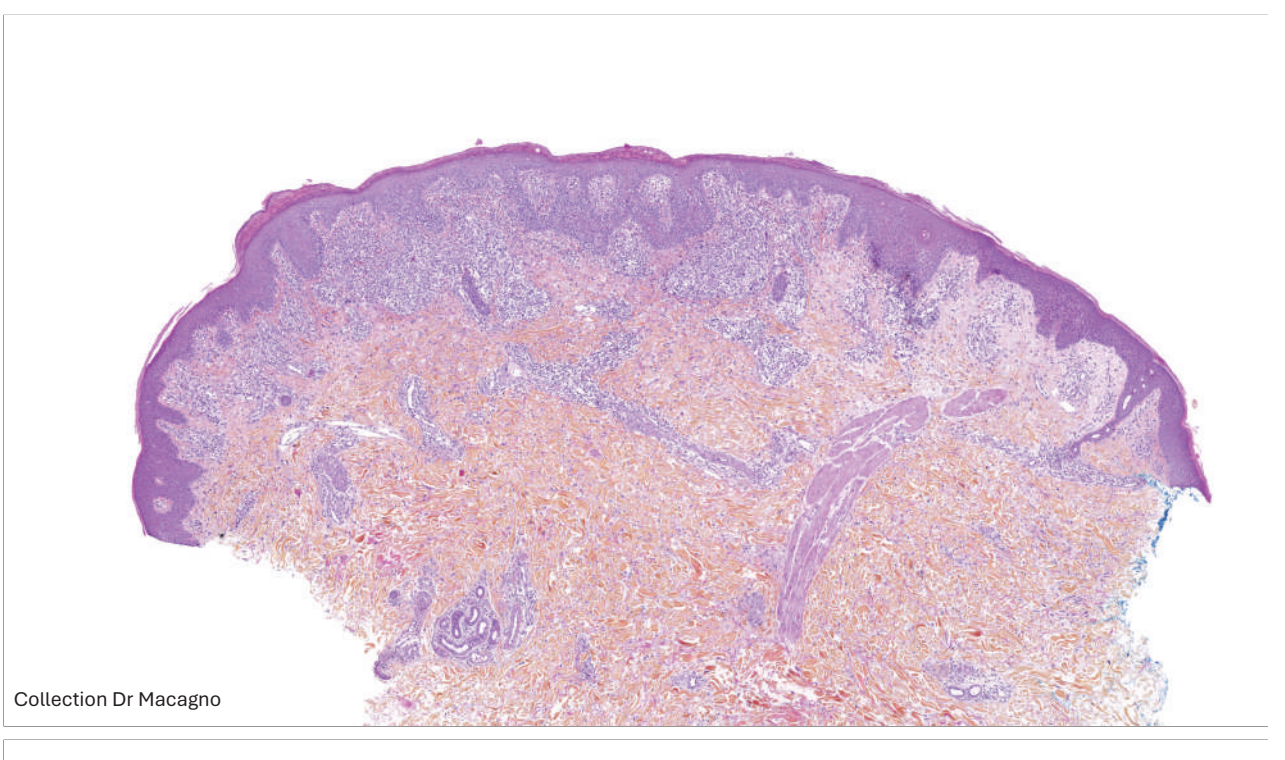
# Le plus fréquent (75% des cas)

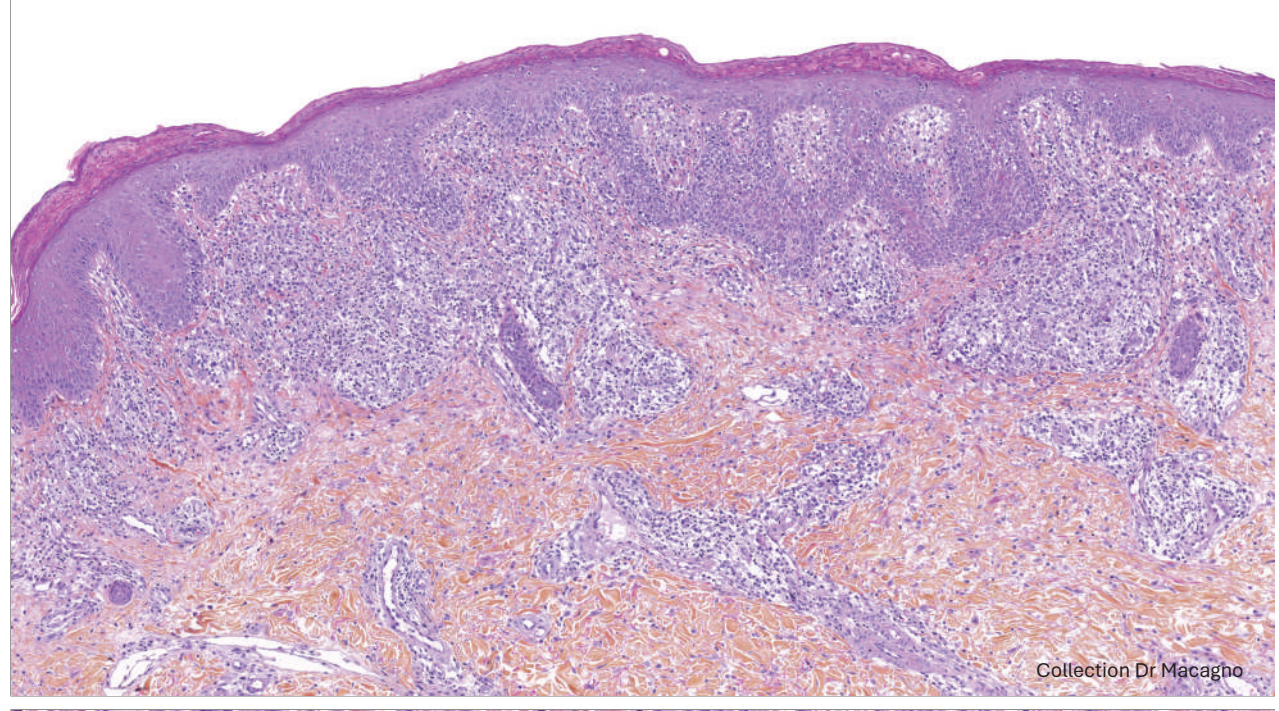
Infiltrat cunéiforme de larges lymphocytes atypiques

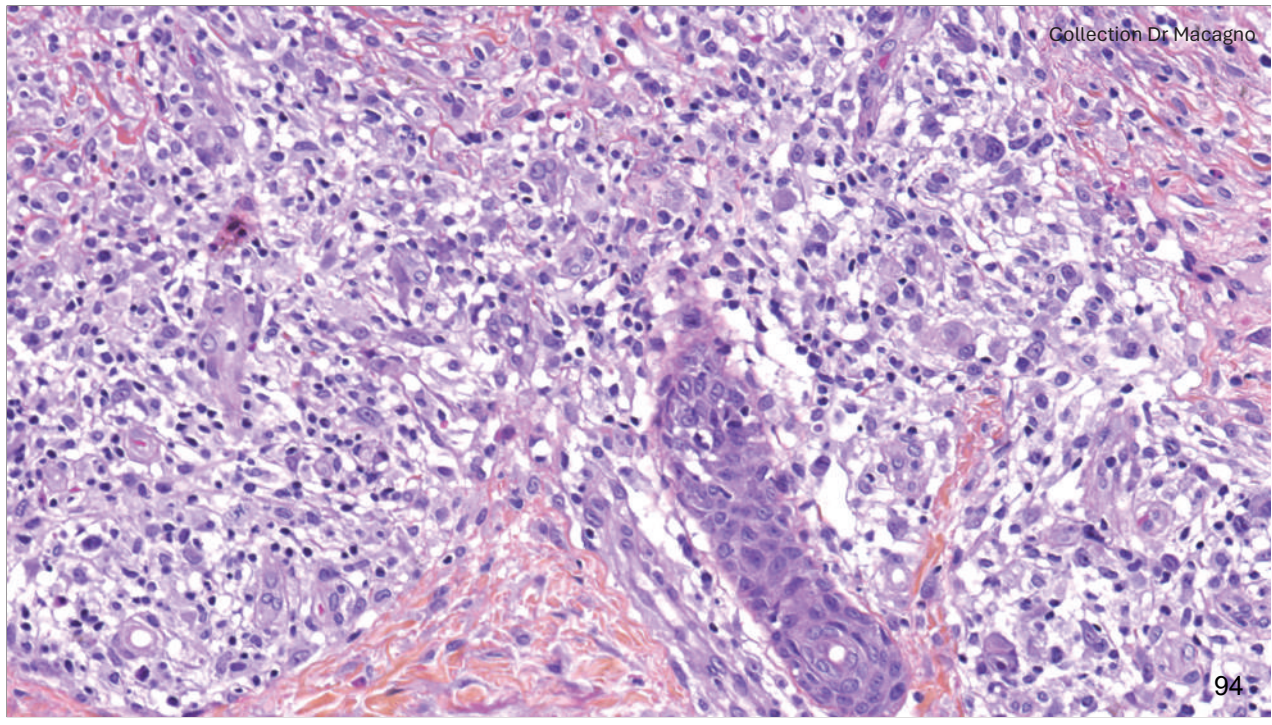
Infiltrat réactionnel associé

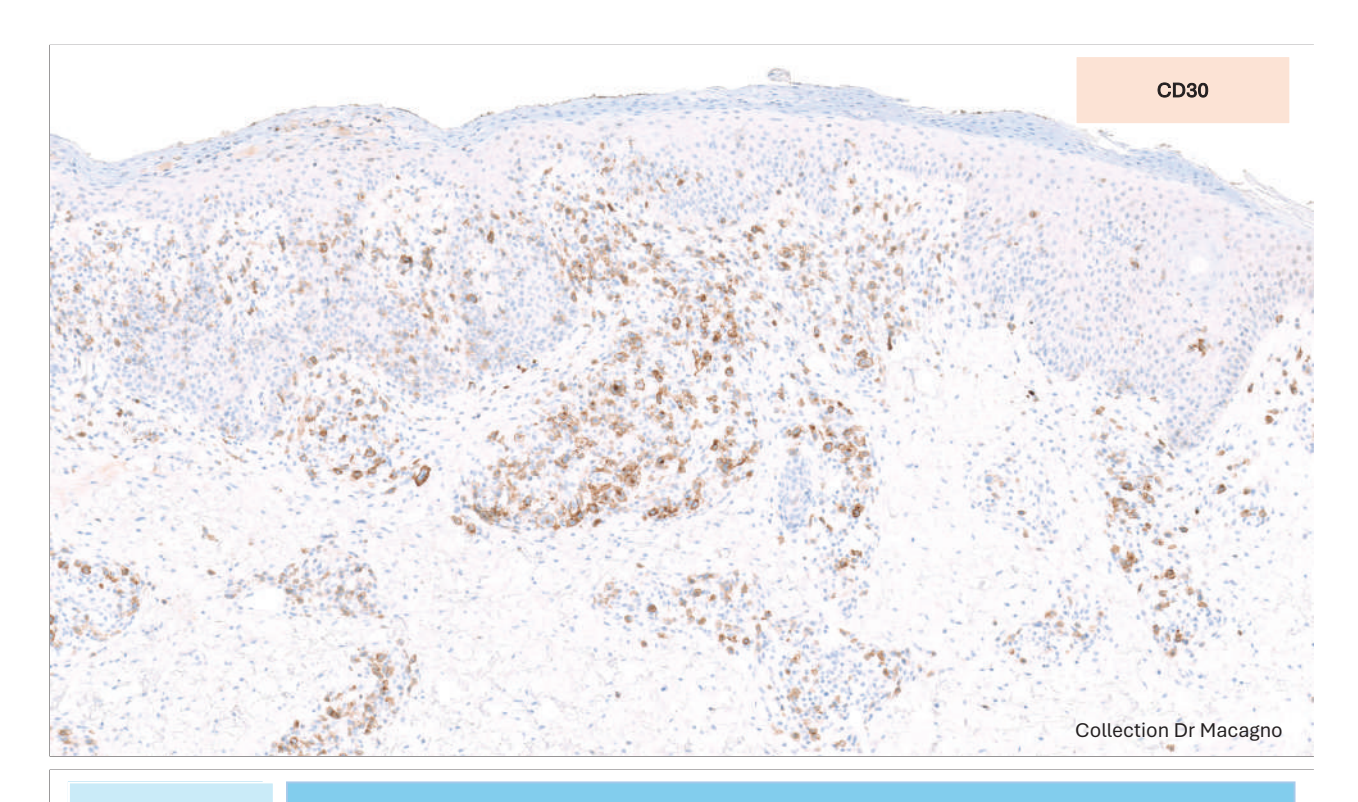
CD4+ CD30+

Type	Histology	Immunophenotype
A	Wedge-shaped dermal infiltrate of large atypical lymphocytes in a mixed inflammatory background	CD4 <sup>+</sup> CD8 <sup>-</sup> CD30 <sup>+</sup>
В	Small lymphocytes with cerebriform nuclei and marked epidermotropism	CD4* CD8 CD30*
C	Dermal infiltrate of large atypical lymphocytes without significant mixed inflammatory background	CD4+ CD8- CD30+
D	Small to medium-sized pleomorphic lymphocytes usually expressing cytotoxic markers	CD4 CD8 CD30 Cytotoxic markers
Е	Angioinvasive dermal infiltrate of atypical lymphocytes in a mixed inflammatory background	CD4 <sup>-</sup> CD8 <sup>+</sup> CD30 <sup>+</sup>
6p25.3	Biphasic pattern with small to medium-sized epidermotropic lympho- cytes with cerebriform nuclei, and a dermal infiltrate of large atypical lymphocytes	CD4 CD8 CD30+









# LYMPHOPROLIFERATION T CD30+: PAPULOSE LYMPHOMATOIDE

# HISTOPATHOLOGIE ET IMMUNOHISTOCHIMIE

# Type B:

5% des cas

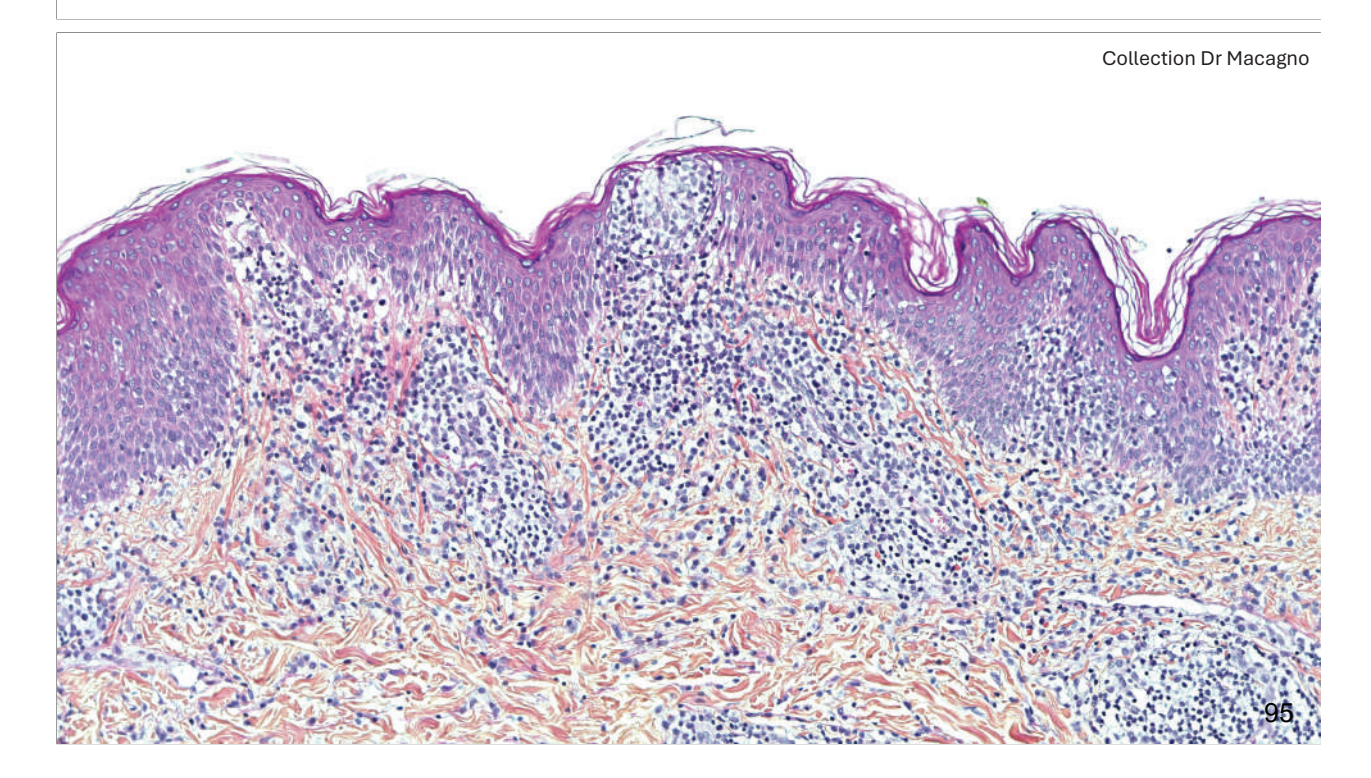
Petits lymphocytes atypiques **Epidermotropisme** 

Diagnostic différentiel du MF papuleux

CD4+ CD30+

Туре	Histology	Immunophenotype
A	Wedge-shaped dermal infiltrate of large atypical lymphocytes in a mixed inflammatory background	CD4 <sup>+</sup> CD8 <sup>-</sup> CD30 <sup>+</sup>
В	Small lymphocytes with cerebriform nuclei and marked epidermotropism	CD4 <sup>+</sup> CD8 <sup>-</sup> CD30 <sup>+</sup>
С	Dermal infiltrate of large atypical lymphocytes without significant mixed inflammatory background	CD4 <sup>+</sup> CD8 <sup>-</sup> CD30 <sup>+</sup>
D	Small to medium-sized pleomorphic lymphocytes usually expressing cytotoxic markers	CD4 <sup>-</sup> CD8 <sup>+</sup> CD30 <sup>+</sup> Cytotoxic markers
Е	Angioinvasive dermal infiltrate of atypical lymphocytes in a mixed inflammatory background	CD4 <sup>-</sup> CD8 <sup>+</sup> CD30 <sup>+</sup>
6p25.3	Biphasic pattern with small to medium-sized epidermotropic lympho- cytes with cerebriform nuclei, and a dermal infiltrate of large atypical lymphocytes	CD4 CD8 CD30+

Di Raimondo C, Parekh V, Song JY, Rosen ST, Querfeld C, Zain J, Martinez XU, Abdulla FR. Primary Cutaneous CD30+ Lymphoproliferative Disorders: a Comprehensive Review. Curr Hematol Malig Rep. 2020 Aug;15(4):333-342. doi: 10.1007/s11899-020-00583-4. PMID: 32435988.



#### HISTOPATHOLOGIE ET IMMUNOHISTOCHIMIE

# Type C:

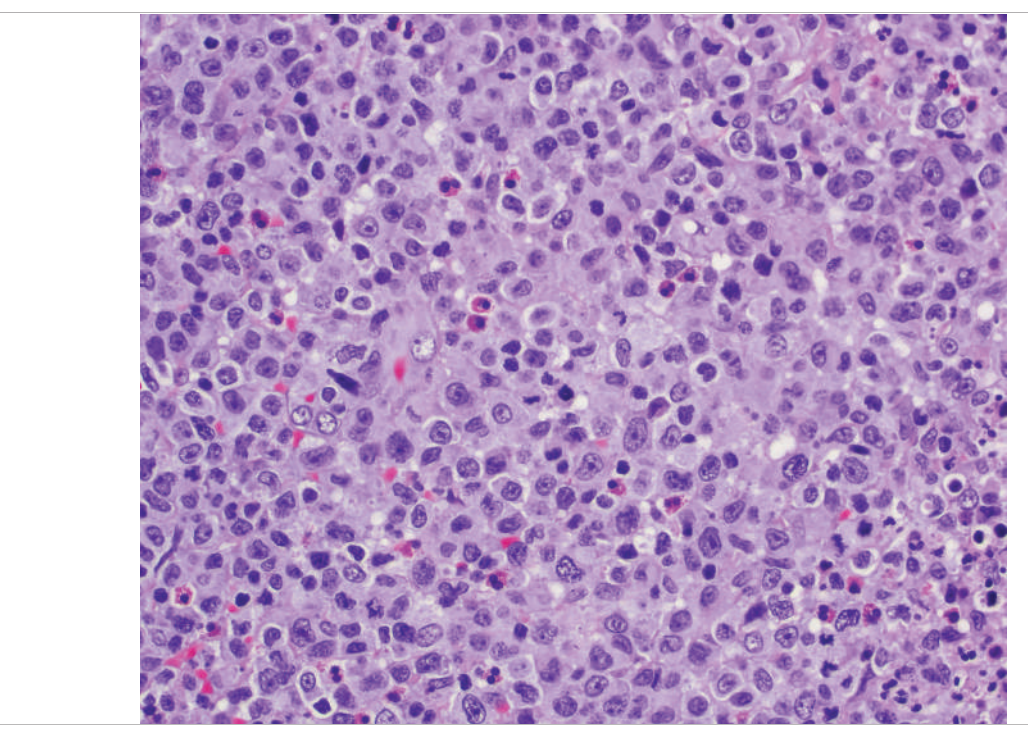
Similaire à A

Mais sans infiltrat réactionnel associé

CD4+ CD30+

Type	Histology	Immunophenotype
A	Wedge-shaped dermal infiltrate of large atypical lymphocytes in a mixed inflammatory background	CD4 <sup>+</sup> CD8 <sup>-</sup> CD30 <sup>+</sup>
В	Small lymphocytes with cerebriform nuclei and marked	CD4 <sup>+</sup> CD8 <sup>-</sup> CD30 <sup>+</sup>
С	Dermal infiltrate of large atypical lymphocytes without significant mixed inflammatory background	CD4 <sup>+</sup> CD8 <sup>-</sup> CD30 <sup>+</sup>
D	Small to medium-sized pleomorphic lymphocytes usually expressing cytotoxic markers	CD4 <sup>-</sup> CD8 <sup>+</sup> CD30 <sup>+</sup> Cytotoxic markers
Е	Angioinvasive dermal infiltrate of atypical lymphocytes in a mixed inflammatory background	CD4 <sup>-</sup> CD8 <sup>+</sup> CD30 <sup>+</sup>
6p25.3	Biphasic pattern with small to medium-sized epidermotropic lympho- cytes with cerebriform nuclei, and a dermal infiltrate of large atypical lymphocytes	CD4 CD8 CD30+

Di Raimondo C, Parekh V, Song JY, Rosen ST, Querfeld C, Zain J, Martinez XU, Abdulla FR. Primary Cutaneous CD30+ Lymphoproliferative Disorders: a Comprehensive Review. Curr Hematol Malig Rep. 2020 Aug;15(4):333-342. doi: 10.1007/s11899-020-00583-4. PMID: 32435988.



pathologyoutline

**LYMPHOME T** 

#### LYMPHOPROLIFERATION T CD30+: PAPULOSE LYMPHOMATOIDE

# HISTOPATHOLOGIE ET IMMUNOHISTOCHIMIE

# Type D:

Lymphocytes exprimant marqueurs cytotoxiques

CD8+ CD30+

Type	Histology	Immunophenotype
A	Wedge-shaped dermal infiltrate of large atypical lymphocytes in a mixed inflammatory background	CD4 <sup>+</sup> CD8 <sup>-</sup> CD30 <sup>+</sup>
В	Small lymphocytes with cerebriform nuclei and marked epidermotropism	CD4 <sup>+</sup> CD8 <sup>-</sup> CD30 <sup>+</sup>
С	Dermal infiltrate of large atypical lymphocytes without significant mixed inflammatory background	CD4 <sup>+</sup> CD8 <sup>-</sup> CD30 <sup>+</sup>
D	Small to medium-sized pleomorphic lymphocytes usually expressing cytotoxic markers	CD4 <sup>-</sup> CD8 <sup>+</sup> CD30 <sup>+</sup> Cytotoxic markers
Е	Angioinvasive dermal infiltrate of atypical lymphocytes in a mixed inflammatory background	CD4 <sup>-</sup> CD8 <sup>+</sup> CD30 <sup>+</sup>
6p25.3	Biphasic pattern with small to medium-sized epidermotropic lympho- cytes with cerebriform nuclei, and a dermal infiltrate of large atypical lymphocytes	CD4 <sup>-</sup> CD8 <sup>-</sup> CD30 <sup>+</sup>



# LYMPHOPROLIFERATION T CD30+: PAPULOSE LYMPHOMATOIDE

# HISTOPATHOLOGIE ET IMMUNOHISTOCHIMIE

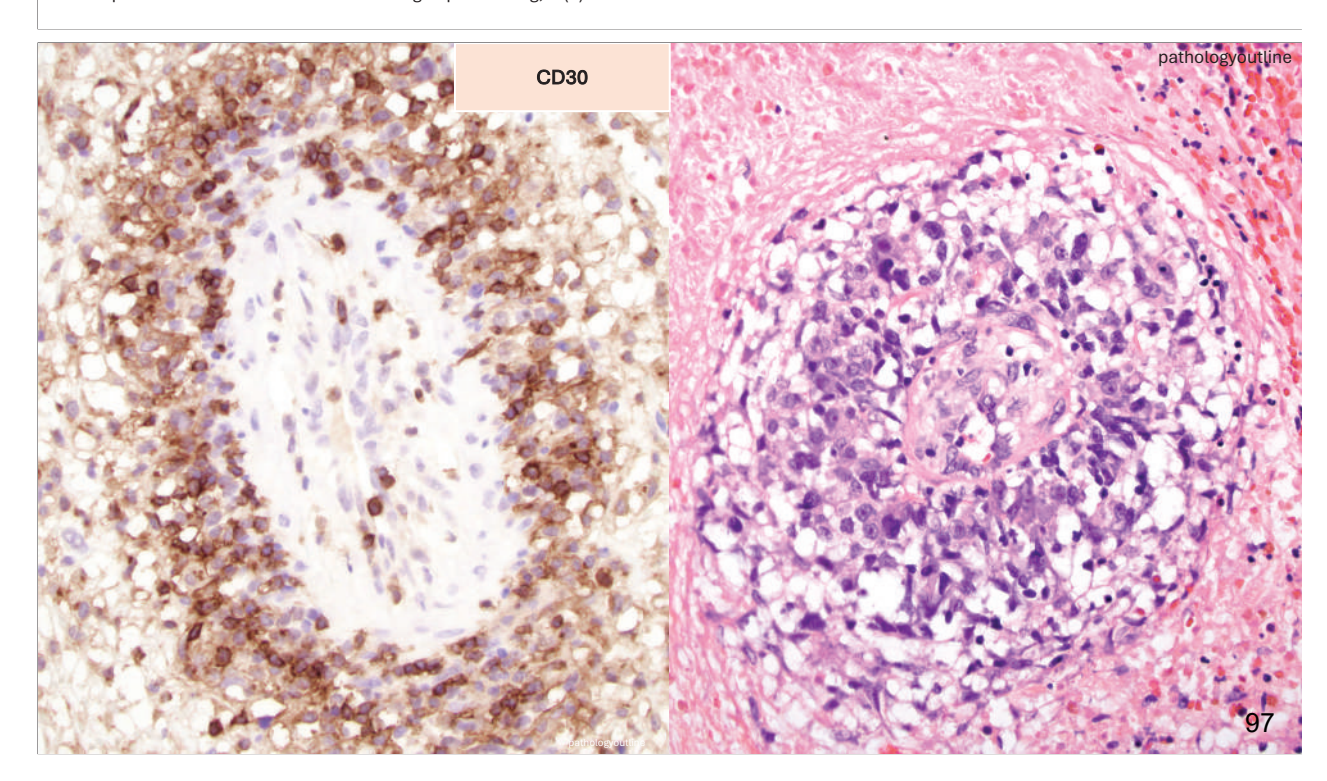
# Type E:

Présence d'une angioinvasion avec destruction vasculaire

CD8+ CD30+

Туре	Histology	Immunophenotype
A	Wedge-shaped dermal infiltrate of large atypical lymphocytes in a mixed inflammatory background	CD4 <sup>+</sup> CD8 <sup>-</sup> CD30 <sup>+</sup>
В	Small lymphocytes with cerebriform nuclei and marked epidermotropism	CD4 <sup>+</sup> CD8 <sup>-</sup> CD30 <sup>+</sup>
C	Dermal infiltrate of large atypical lymphocytes without significant mixed inflammatory background	CD4 <sup>+</sup> CD8 <sup>-</sup> CD30 <sup>+</sup>
D	Small to medium-sized pleomorphic lymphocytes usually expressing cytotoxic markers	CD4 CD8 CD30 Cytotoxic markers
Е	Angioinvasive dermal infiltrate of atypical lymphocytes in a mixed inflammatory background	CD4 <sup>-</sup> CD8 <sup>+</sup> CD30 <sup>+</sup>
6p25.3	Biphasic pattern with small to medium-sized epidermotropic lympho- cytes with cerebriform nuclei, and a dermal infiltrate of large atypical lymphocytes	CD4 CD8 CD30+

Di Raimondo C, Parekh V, Song JY, Rosen ST, Querfeld C, Zain J, Martinez XU, Abdulla FR. Primary Cutaneous CD30+ Lymphoproliferative Disorders: a Comprehensive Review. Curr Hematol Malig Rep. 2020 Aug;15(4):333-342. doi: 10.1007/s11899-020-00583-4. PMID: 32435988.



#### **MOLECULAIRE**

Réarrangement monoclonal du TCR

**LYMPHOME T** 

LYMPHOPROLIFERATION T CD30+: PAPULOSE LYMPHOMATOIDE

#### **DIAGNOSTICS DIFFERENTIELS**

- · Spectre des lymphoproliférations CD30 +
- Lymphome anaplasique cutanés primitifs (CD30+ ALK-)
- Lymphome anaplasique systémique (CD30+ ALK+ dans 80% des cas)



- MF transformé CD30+
- Infiltrat réactionnel dans le cadre d'une dermatose bénigne

#### **LYMPHOME T**

#### LYMPHOPROLIFERATION T CD30+: PAPULOSE LYMPHOMATOIDE

# **STADES**

T: atteinte cutanée

T1: lésion cutanée solitaire: T1a: lésion < 5 cm

T1b: lésion > 5 cm

T2: atteinte cutanée régionale: multiples lésions limitées à 1 ou 2 régions contiguës du corps:

T2a: surface cutanée atteinte < 15 cm

T2b: > 15 cm et < 30 cm T2c: > 30 cm

T3: atteinte cutanée généralisée T3a: multiples lésions cutanées touchant deux régions cutanées non contiguës

T3b: multiples lésions touchant plus de trois régions du corps

N: atteinte ganglionnaire:

NO: absence d'adnéopathie clinique ou d'envahissement histologique ganglionnaire

N1 : atteinte ganglionnaire périphérique dans l'aire ganglionnaire (1 adénopathie) de drainage de l'atteinte cutanée

N2: atteinte d'au moins 2 adénopathies ou d'au moins une adénopathie en dehors d'une aire ganglionnaire de drainage

N3: atteinte d'une adénopathie profonde

M0: absence d'atteinte viscérale

M1: atteinte viscérale: doit être documentée histologiquement

Par définition un lymphome cutané primitif non épidermotrope est NO, MO au diagnostic.

EORTC: European Organization for Research and Treatment of Cancer; ISCL: International society for cutaneous lymphoma; MF: syndrome de Sézary; SS: syndrome de Sézary.

#### **EVOLUTION ET PRONOSTIC**

- Evolution chronique marquée par des poussées autorégressives (100% des cas)
- · Evolution similaire chez adultes et enfants
- · Rémission spontanée possible
- Pronostic excellent = lymphoprolifération bénigne
- MAIS dans 20% des cas, association à un autre lymphome
   Mycosis fongoide et lymphome T CD30+ anaplasique à grandes cellules
   Décrit également: lymphome de Hodgkin, myélome, syndrome hyperéosinophilique...
   >Surveillance clinique régulière

## **LYMPHOME T**

#### LYMPHOPROLIFERATION T CD30+: PAPULOSE LYMPHOMATOIDE

	INDOLENT	AGRESSIF
Lymphome T	MF stade précoce	MF stade avancé
75% des cas	Lymphoprolifération CD30 -Papulose lymphomatoide	Syndrome de Sezary
	-Lymphome anaplasique	Lymphome T γ/δ
	Lymphoprolifération CD4 à petites et moyennes cellules	Lymphome T CD8 cytotoxique
	Lymphoprolifération CD8 acrale	Lymphome T NOS (inclassable)
	Lymphome T sous cutané type panniculite	
Lymphome B	Lymphome B de la zone	Lymphome B à grandes cellules,
25% des cas	marginale	type jambe
	Lymphome B centro folliculaire	Lymphome B intra-vasculaire

**LYMPHOME T** 

LYMPHOPROLIFERATION T CD30+: PAPULOSE LYMPHOMATOIDE

#### **BILAN INITIAL**

- AUCUN bilan systématique initial ou de suivi
- Suivi clinique tous les 6 mois à 1 an
- Si argument pour autre lymphome associé : Bilan biologique, radiologique et histologique nécessaire

#### **TRAITEMENTS**

#### **ABSTENTION THERAPEUTIQUE**

# Si asymptomatique Auto régression des lésions

#### **TOPIQUES**

Dermocorticoides Chlorméthine gel Corticoïdes intra-lésionnel Si lésions localisées symptomatiques
Ne réduit pas le risque de récidive

#### **SYSTEMIQUES**

Methotrexate Rétinoides Photothérapie Brentuximab vedotin (anti CD30)

Si lésions disséminées symptomatiques

Ne réduit pas le risque de second lymphome

# **LYMPHOME T**

#### PAPULOSE LYMPHOMATOIDE

**SYNTHESE** 

**12%** des lymphomes cutanés 2° lymphome le plus fréquent Rare

Age moyen 50 ans, possible à tout âge Cas pédiatriques

Diagnostic repose sur clinique + histologie + immunohistochimie + moléculaire

Papules/nodules **disséminées**Parfois nécrotiques
Coexistence lésions d'âge différent **Auto-régression** dans 100% des cas

Aucun examen biologique ou radiologique systématique

Lymphoprolifération **LT CD30+** dans le derme 6 sous types histologiques sans incidence sur pronostic et sans corrélation anatomo-clinique (sauf type E) Type A dans 75% des cas Réarrangement monoclonal TCR

Evolution chronique
Très bon pronostic
Association à autre lymphome (20%)
Surveillance clinique

- •Asymptomatique : abstention thérapeutique
- •Symptomatique et pauci-lésionnel : traitement local
- •Symptomatique et lésions disséminées : traitement systémique

Traiter ne réduit pas le risque de récidive ou de second lymphome

#### **LYMPHOME T**

#### **PAPULOSE LYMPHOMATOIDE**

### **BIBLIOGRAPHIE**

1/ Willemze R, et al. CJ. WHO-EORTC classification for cutaneous lymphomas. Blood. 2005 May 15;105(10):3768-85.

2/ Martires KJ, et al. Characterization of primary cutaneous CD8+/CD30+ lymphoproliferative disorders. Am J Dermatopathol. 2015 Nov;37(11):822-33.

3/ Kartan S, et al. The spectrum of CD30+ T cell lymphoproliferative disorders in the skin. Chin Clin Oncol. 2019 Feb:8(1):3.

4/ Wagner G, et al. Lymphomatoid papulosis. J Dtsch Dermatol Ges. 2020 Mar;18(3):199-205.

5/ Nijsten T, et al. Lymphomatoid papulosis in children: a retrospective cohort study of 35 cases. Arch Dermatol. 2004 Mar;140(3):306-12.

6/ Martinez-Cabriales SA, Walsh S, Sade S, Shear NH. Lymphomatoid papulosis: an update and review. J Eur Acad Dermatol Venereol. 2020 Jan;34(1):59-73.

7/ Skin Lymphoma, L. Cerroni, 5e édition Wiley

#### PAPULOSE LYMPHOMATOIDE

#### **BIBLIOGRAPHIE**

8/ Swallow MA, et al. Clinical and Histologic Variants of CD8+ Cutaneous T-Cell Lymphomas. Cancers (Basel). 2024 Sep 5;16(17):3087.

9/ Pujol RM, et al. Oral involvement in lymphomatoid papulosis. Report of two cases and review of the literature. Dermatology. 2005;210(1):53-7.

10/ Deroo-Berger MC et al. Lymphomatoid papulosis: a localized form with acral pustular involvement. Dermatology. 2002;205(1):60-2.

11/ Sureda N, et al. Bullous lymphomatoid papulosis. Clin Exp Dermatol. 2011 Oct;36(7):800-1.

12/ Chimenti S, Fargnoli MC, Pacifico A, Peris K. Mucosal involvement in a patient with lymphomatoid papulosis. J Am Acad Dermatol. 2001 Feb;44(2 Suppl):339-41.

13/ Di Raimondo C, et al. Primary Cutaneous CD30+ Lymphoproliferative Disorders: a Comprehensive Review. Curr Hematol Malig Rep. 2020 Aug;15(4):333-342.

14/ Prise en charge des lymphomes T cutanés : recommandations du Groupe français d'étude des lymphomes cutanés, M. Beylot-Barry, Annales de dermatologie et de vénéréologie (2010) 137, 611—621

**LYMPHOME T** 

LYMPHOPROLIFERATION T CD30+: Lymphome T anaplasique à grandes cellules

Lymphoprolifération de lymphocytes T helper CD30+

Papulose lymphomatoide

Lymphome T anaplasique à grandes cellules

Formes borderlines

**LYMPHOME T** 

LYMPHOPROLIFERATION T CD30+: Lymphome T anaplasique à grandes cellules

#### **INTRODUCTION**

- Lymphoproliferation dermique de lymphocytes T matures avec expression de CD30+ dans >75% des cellules tumorales
- Terminologie anglaise: Primary cutaneous anaplastic large cell lymphoma (C-ALCL)

#### **EPIDEMIOLOGIE**

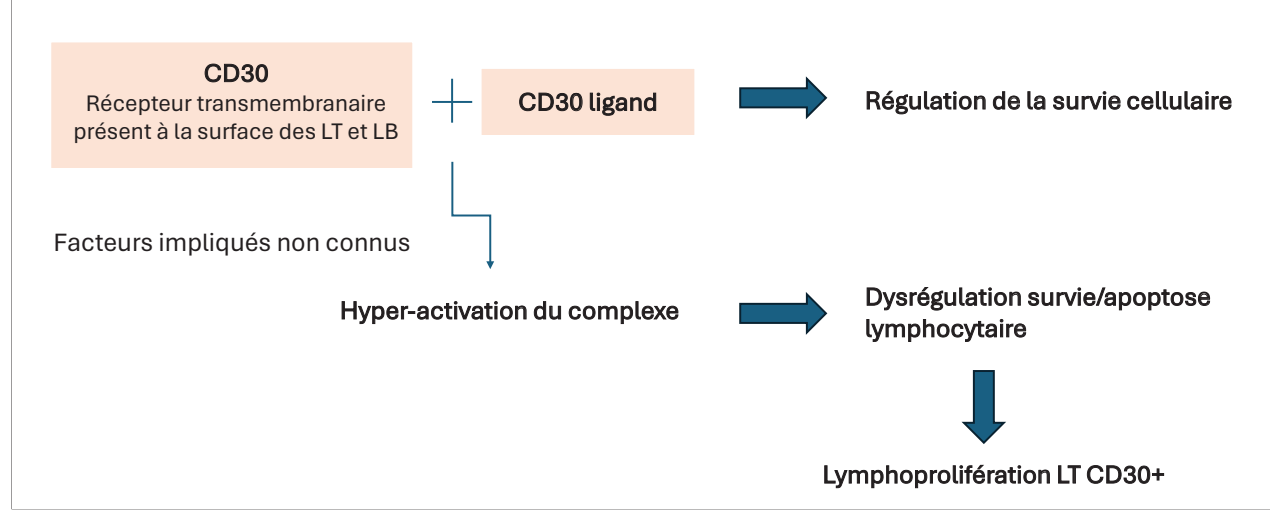
- Représente environ 8 % des lymphomes cutanés
- Rare
- · Terrain:

Peut survenir à tout âge, age moyen 50 ans Prédominance masculine sexe ratio 2H/1F Cas pédiatriques exceptionnels

**LYMPHOME T** 

LYMPHOPROLIFERATION T CD30+ Lymphome T anaplasique à grandes cellules

#### **PHYSIOPATHOLOGIE**



# **LYMPHOME T**

LYMPHOPROLIFERATION T CD30+: Lymphome T anaplasique à grandes cellules

# CLINIQUE Forme classique

**Nodule** violacé voire volumineuse tumeur Souvent **ulcéré** 

Le plus souvent unique (multifocal 20%)

Prédominance visage, cou, extrémités

Souvent asymptomatique avec état général conservé

Régression spontanée 20%

>Clinique impressionnante avec évolution rapide



# CLINIQUE Forme classique







Skin Lymphoma, L. Cerroni, 4e édition Wiley

**LYMPHOME T** 

LYMPHOPROLIFERATION T CD30+: Lymphome T anaplasique à grandes cellules

#### **HISTOPATHOLOGIE**

- · Infiltrat lymphocytaire nodulaire dense dans le derme +/- tissu sous cutané
- Cellules de grandes tailles, plémorphisme cellulaire
- Généralement pas d'épidermotropisme, souvent ulcération
- Noyaux irréguliers, nucléole éosinophile en fer à cheval Cytoplasme abondant pâle ou éosinophile
- Infiltrat réactionnel associé de lymphocytes, éosinophiles, histiocytes...

**LYMPHOME T** 

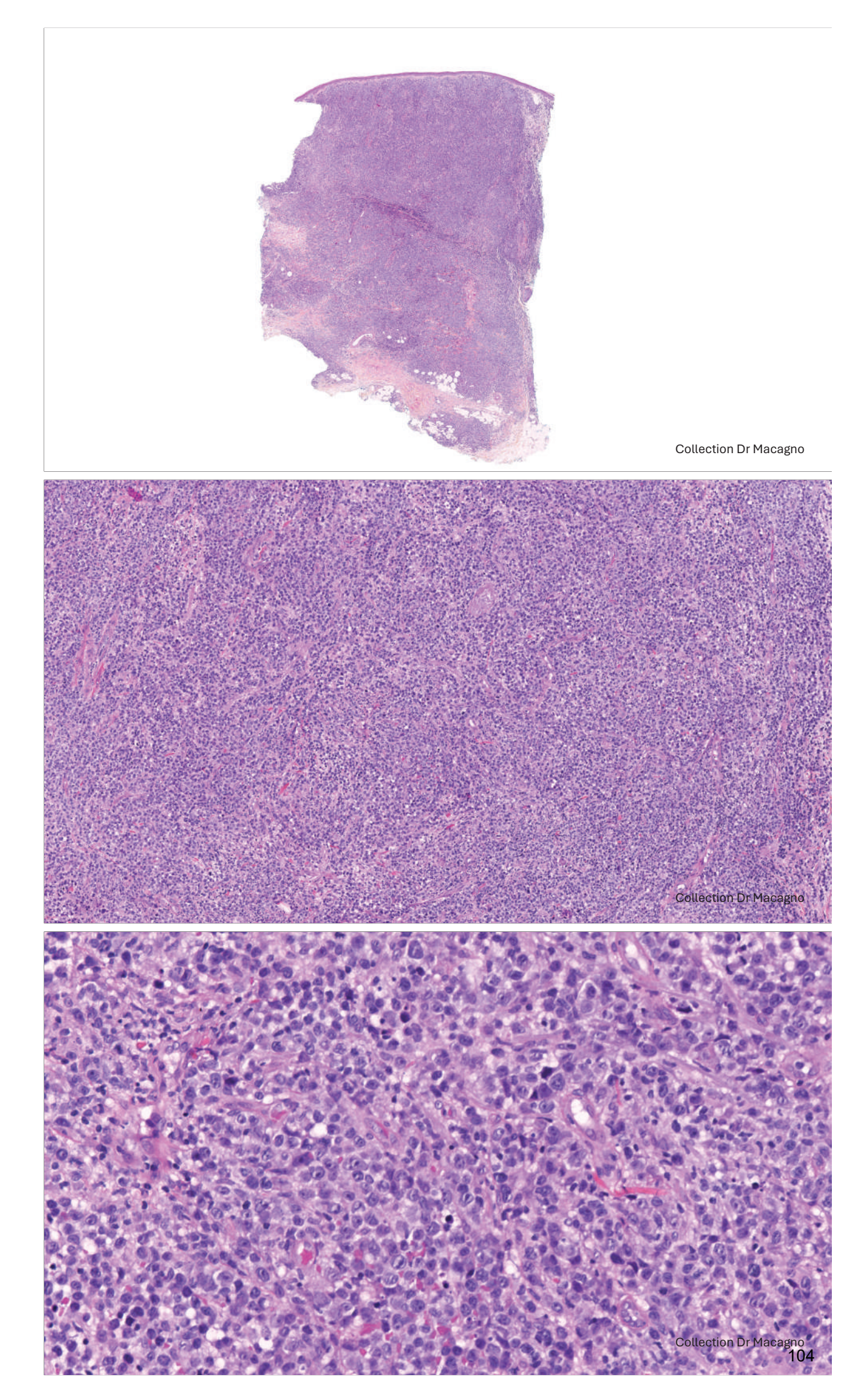
LYMPHOPROLIFERATION T CD30+: Lymphome T anaplasique à grandes cellules

#### **IMMUNOHISTOCHIMIE**

- CD3+, CD4+, CD8-
- CD30+ exprimé par >75% des cellules
- Expression de CD45RO, CD15 (40% des cas)
- Possible perte d'expression des marqueurs T (CD2, CD3, CD5)
- Possible marqueurs cytotoxiques (granzyme B, perforine..) (50%)
- · Absence d'expression ALK (anaplastic lymphoma kinase), rare cas de positivité (adolescent surtout)

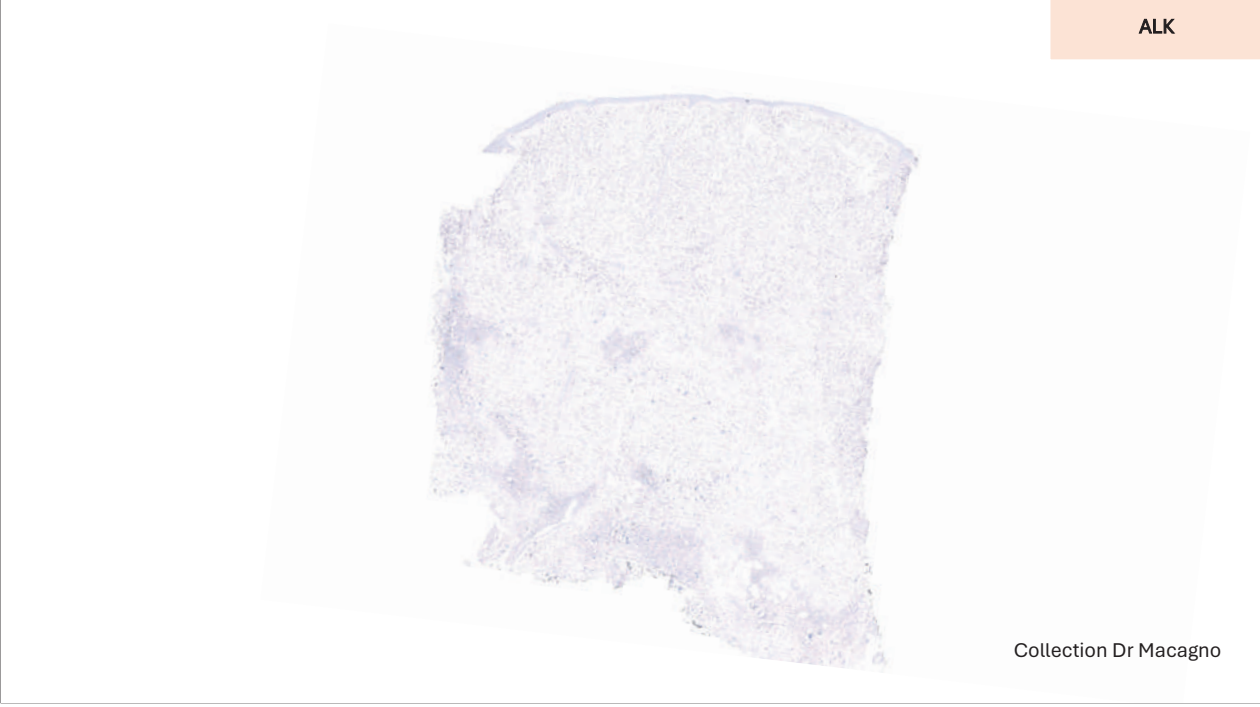


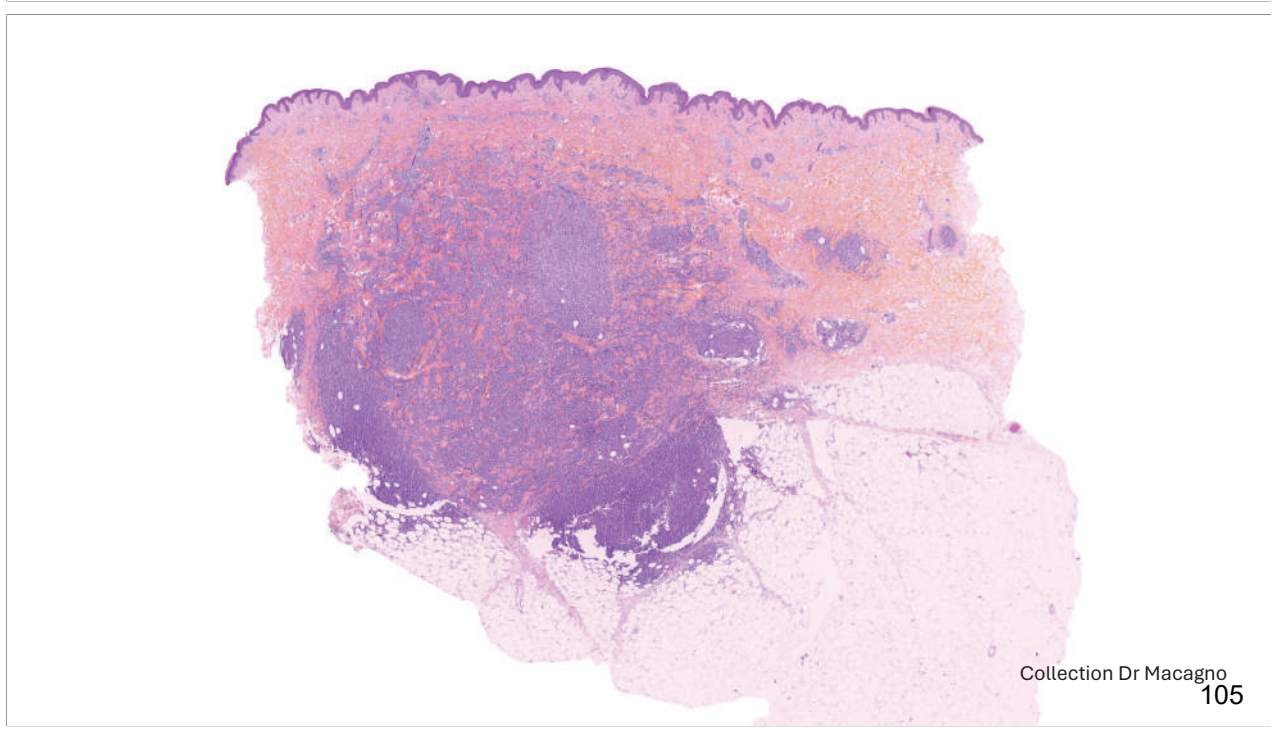
La positivité de ALK doit faire rechercher un lymphome systémique avec localisation cutanée secondaire

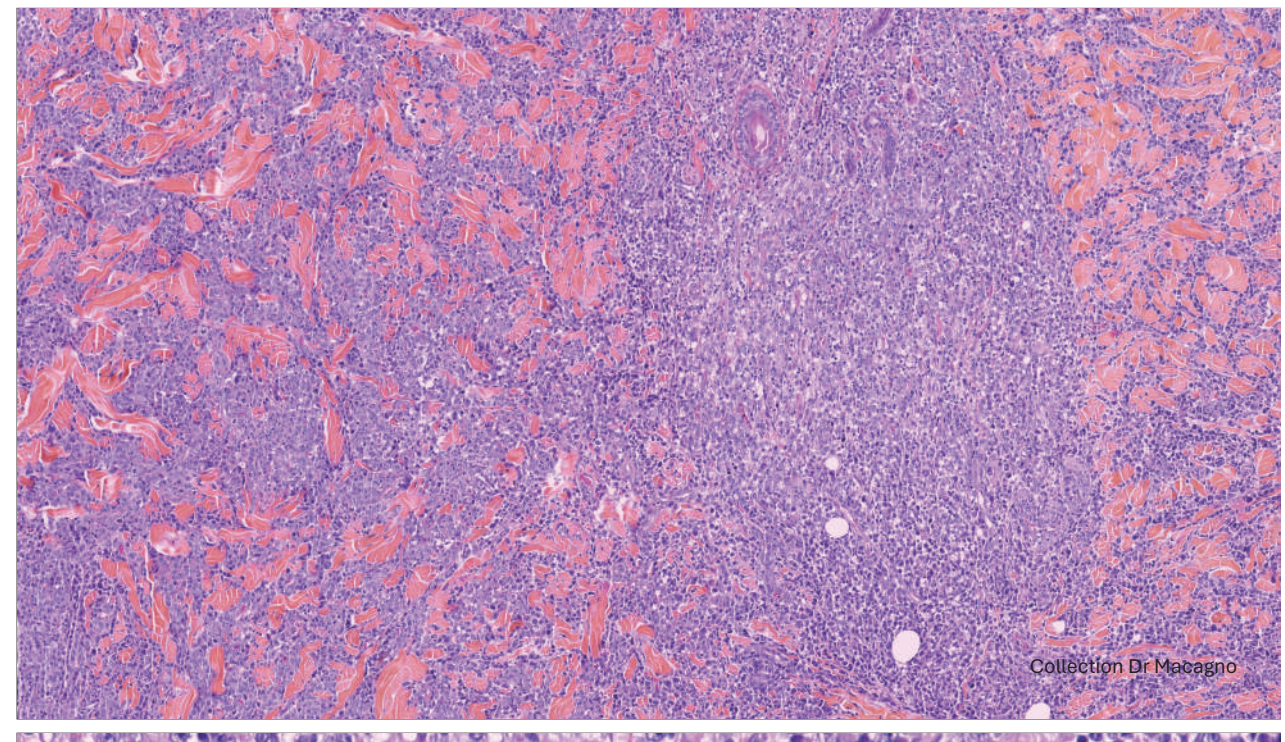


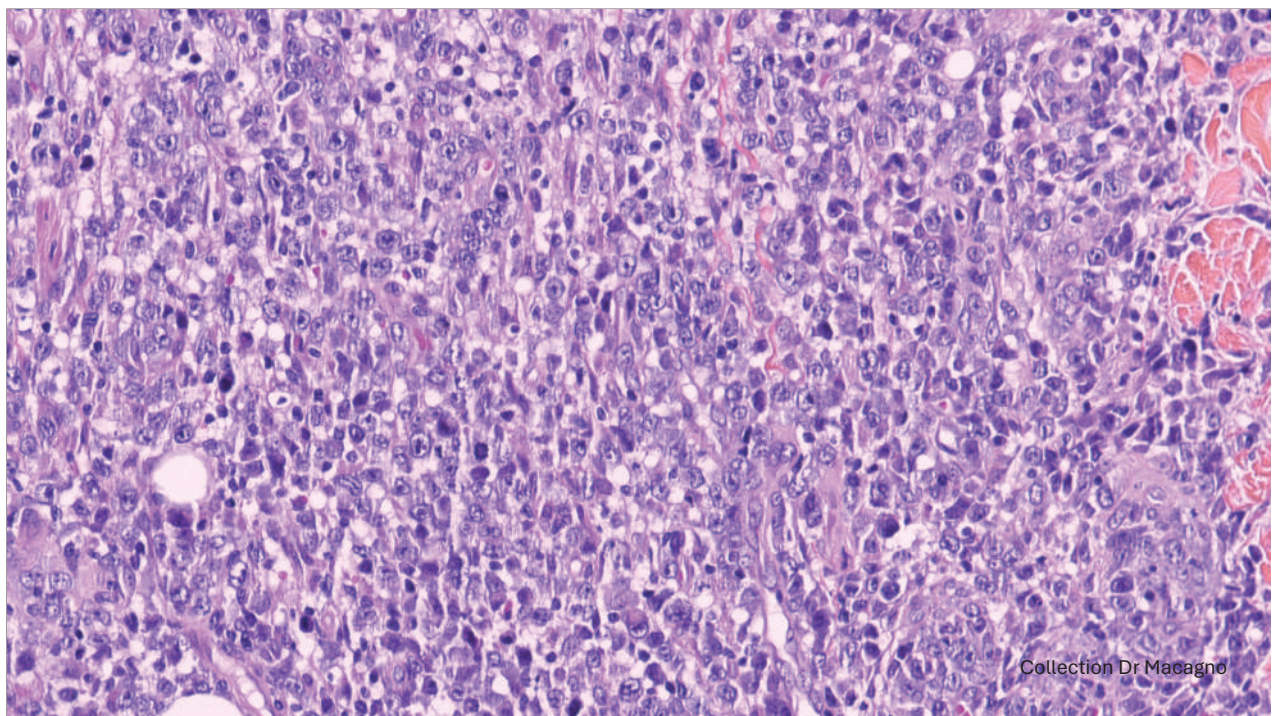


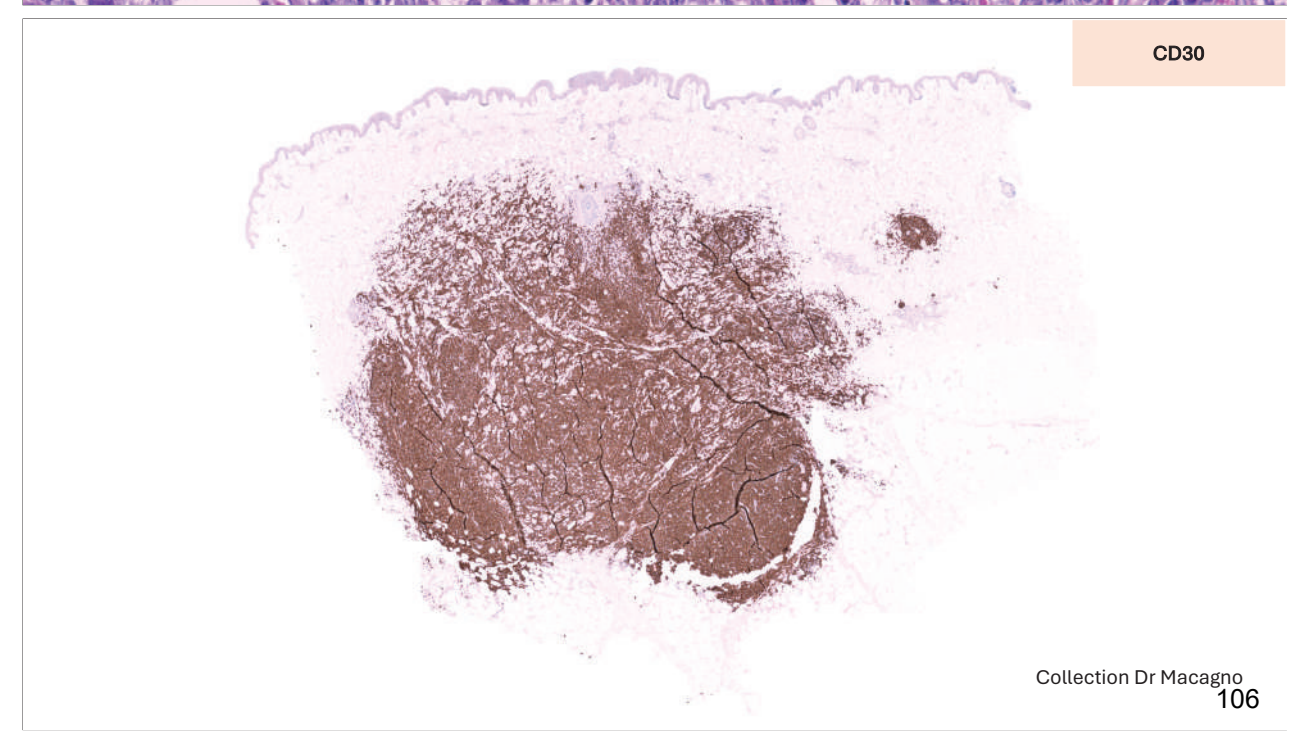














Localisation cutanée de lymphome anaplasique ganglionnaire

Collection Dr Macagno

**LYMPHOME T** 

LYMPHOPROLIFERATION T CD30+: Lymphome T anaplasique à grandes cellules

# **MOLECULAIRE**

- Réarrangement monoclonal du gène TCR gamma dans 90% des cas
- Absence de ALK, absence de translocation t(2;5)
- Anomalie génétique (réarrangement IRF4-DUSP22 sur chromosome 6p25.3 dans 25% des cas)



La positivité de ALK doit faire rechercher un lymphome systémique avec localisation cutanée secondaire

Collection Dr Macagno

#### **DIAGNOSTICS DIFFERENTIELS**

- · Spectre des lymphoproliférations CD30 +
- Papulose lymphomatoide
- Lymphome anaplasique systémique (CD30+ ALK+ dans 80% des cas)



- MF transformé CD30+  $\triangle$ 

- Infiltrat réactionnel dans le cadre d'une dermatose bénigne

#### **LYMPHOME T**

#### LYMPHOPROLIFERATION T CD30+: Lymphome T anaplasique à grandes cellules

# **STADES**

T: atteinte cutanée

T1: lésion cutanée solitaire:

T1a: lésion < 5 cm

T1b: lésion > 5 cm

T2: atteinte cutanée régionale: multiples lésions limitées à 1 ou 2 régions contiguës du corps:

T2a: surface cutanée atteinte < 15 cm

T2b: > 15 cm et < 30 cm

T2c: > 30 cm

T3: atteinte cutanée généralisée

T3a: multiples lésions cutanées touchant deux régions cutanées non contiguës

T3b: multiples lésions touchant plus de trois régions du corps

N: atteinte ganglionnaire:

NO: absence d'adnéopathie clinique ou d'envahissement histologique ganglionnaire

N1 : atteinte ganglionnaire périphérique dans l'aire ganglionnaire (1 adénopathie) de drainage de l'atteinte cutanée

N2: atteinte d'au moins 2 adénopathies ou d'au moins une adénopathie en dehors d'une aire ganglionnaire de drainage

N3: atteinte d'une adénopathie profonde

M0: absence d'atteinte viscérale M1: atteinte viscérale: doit être documentée histologiquement

Par définition un lymphome cutané primitif non épidermotrope est NO, MO au diagnostic.
EORTC: European Organization for Research and Treatment of Cancer; ISCL: International society for cutaneous lymphoma; MF; syndrome de Sézary; SS: syndrome de Sézary.

Prise en charge des lymphomes T cutanés : recommandations du Groupe français d'étude des lymphomes cutanés, M. Beylot-Barry, Annales de dermatologie et de vénéréologie (2010) 137, 611—621

**LYMPHOME T** 

LYMPHOPROLIFERATION T CD30+: Lymphome T anaplasique à grandes cellules

#### **EVOLUTION ET PRONOSTIC**

Bon pronostic avec survie à 10 ans >90%

Critères bon pronostic : <60 ans et régression spontanée des lésions Critères mauvais pronostic : >60 ans, atteinte extra cutanée et lésions extensives des membres

- Atteinte ganglionnaire dans 10% des cas, n'aggravant pas le pronostic
- Régression spontanée dans 20% des cas
- Récidive des lésions fréquente environ 50% (surtout en l'absence de traitement)

# LYMPHOPROLIFERATION T CD30+: Lymphome T anaplasique à grandes cellules

	INDOLENT	AGRESSIF
Lymphome T	MF stade précoce	MF stade avancé
75% des cas	Lymphoprolifération CD30 -Papulose lymphomatoide -Lymphome anaplasique	Syndrome de Sezary  Lymphome Τ γ/δ
,	Lymphoprolifération CD4 à petites et moyennes cellules  Lymphoprolifération CD8 acrale	Lymphome T CD8 cytotoxique  Lymphome T NOS (inclassable)
	Lymphome T sous cutané type panniculite	
Lymphome B	Lymphome B de la zone marginale	Lymphome B à grandes cellules, type jambe
25% des cas	Lymphome B centro folliculaire	Lymphome B intra-vasculaire

**LYMPHOME T** 

LYMPHOPROLIFERATION T CD30+: Lymphome T anaplasique à grandes cellules

#### **BILAN INITIAL**

**Examen clinique** Type de lésion, n

Type de lésion, nombre de tumeurs, surface corporelle, aires ganglionnaires

Biopsie cutanée

Examen histologique et biologie moléculaire

**Biologie** 

Bilan standard avec LDH

Radiologie

Scanner TAP (ou TEP TDM)

Biopsie ganglionnaire

Si ADP suspecte > 1.5cm : biopsie ganglionnaire (histologie et clonalité)

LYMPHOMET

LYMPHOPROLIFERATION T CD30+: Lymphome T anaplasique à grandes cellules

#### **TRAITEMENTS**

# Atteinte unique ou localisée

#### Abstention thérapeutique

Si lesion auto-regressive (20% des cas)

Chirurgie : exerese lésion

Radiothérapie localisée

#### Atteinte cutanée diffuse

Methotrexate (15 à 25mg/sem)

PegInterféron alpha: 90 à 180µg/sem

**Bexarotène :** 150mg/m2/jour puis 300 + Fénofibrate 200 /jour en systématique Surveillance bilan lipidique et thyroidien

Thalidomide

Brentuximab: anticorps anti CD30

1 perfusion/3 semaines

Atteinte ganglionnaire ou extra-cutanée

Polychimiothérapie CHOP **8%** des lymphomes cutanés Rare Age moyen 50 ans, Cas pédiatriques très rare

Diagnostic repose sur clinique + histologie + immunohistochimie + moléculaire

Nodule violacé voire volumineuse tumeur Souvent ulcéré Le plus souvent unique Evolution rapide

Auto-régression des lésions 20% des cas

Lymphoprolifération clonale **LT CD30+** dans le derme (>75% infiltrat)

#### Absence d'expression ALK

Trou phénotypique Réarrangement monoclonal TCR

Bon pronostic Récidive fréquente Atteinte ganglionnaire 10% des cas

- •Forme auto régressive : abstention thérapeutique
- •Forme localisée : chirurgie ou radiothérapie
- •Forme diffuse: traitement systémique (Methotrexate, PegInterféron, rétinoides, brentuximab..)
- •Atteinte extra cutanée : polychimiothérapie

#### **LYMPHOME T**

#### LYMPHOME T ANAPLASIQUE A GRANDES CELLULES

#### **BIBLIOGRAPHIE**

1/ Willemze R, et al. CJ. WHO-EORTC classification for cutaneous lymphomas. Blood. 2005 May 15;105(10):3768-85.

2/ Martires KJ, et al. Characterization of primary cutaneous CD8+/CD30+ lymphoproliferative disorders. Am J Dermatopathol. 2015 Nov;37(11):822-33.

3/ Kartan S, et al. The spectrum of CD30+ T cell lymphoproliferative disorders in the skin. Chin Clin Oncol. 2019 Feb;8(1):3

4/ Di Raimondo C, et al. Primary Cutaneous CD30+ Lymphoproliferative Disorders: a Comprehensive Review. Curr Hematol Malig Rep. 2020 Aug;15(4):333-342.

5/ Skin Lymphoma, L. Cerroni, 5e édition Wiley

6/ Prise en charge des lymphomes T cutanés : recommandations du Groupe français d'étude des lymphomes cutanés, M. Beylot-Barry, Annales de dermatologie et de vénéréologie (2010) 137, 611—621

#### **LYMPHOME T**

#### **SOMMAIRE**

1/ Mycosis fongoide

2/ Lymphoprolifération CD30+

- Papulose lymphomatoide
- Lymphome anaplasique à grandes cellules

#### 3/ Lymphoprolifération CD4+ à petites et moyennes cellules

4/ Lymphome T sous cutané type panniculite

5/ Lymphoprolifération T CD8 acrale

#### LYMPHOPROLIFERATION CD4+ A PETITES ET MOYENNES CELLULES

# **INTRODUCTION**

- Lymphoprolifération de lymphocytes T CD4+ atypiques de petites et moyennes cellules sans argument clinico-histopathologique pour un MF
- Terminologie anglaise: Primary cutaneous CD4+ small- to medium-sized pleomorphic T-cell lymphoproliferative disorder (PCSM-LPD)

**LYMPHOMET** 

# LYMPHOPROLIFERATION CD4+ A PETITES ET MOYENNES CELLULES

# **EPIDEMIOLOGIE**

- 6% des lymphomes cutanés
- Rare
- Terrain:

Peut survenir à tout âge, age moyen 50 ans Sexe ratio équilibré Cas pédiatriques décrits

**LYMPHOME T** 

#### LYMPHOPROLIFERATION CD4+ A PETITES ET MOYENNES CELLULES

#### **CLINIQUE**

**Nodule** violacé ou papule erythémateuse Le plus souvent **unique et asymptomatique** 

Prédominance visage et cou Partie supérieure du tronc

Etat général conservé

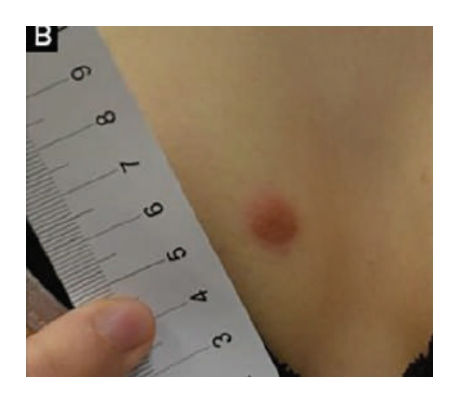
Plus rarement :
Prurit ou douleur
Lésions multifocales
Ulcération



Maurelli M, Primary Cutaneous CD4+ Small/Medium Pleomorphic T-Cell Lymphoproliferative Disorder: A Case Series. J Cutan Med Surg. 2017 Nov/Dec;21(6):502-506. doi: 10.1177/1203475417715209. Epub 2017 Jun 13. PMID: 28605998.

#### LYMPHOPROLIFERATION CD4+ A PETITES ET MOYENNES CELLULES

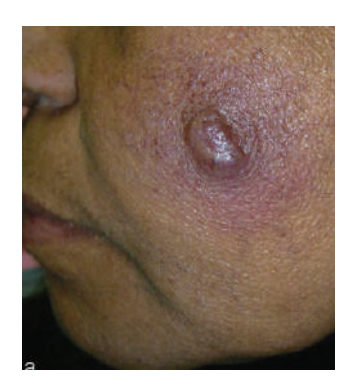
### **CLINIQUE**



Sarac E, Primary cutaneous CD4+ small/medium T-cell lymphoproliferative disorder: a case with multiple tumors. An Bras Dermatol. 2023 Sep-Oct;98(5):720-722. doi: 10.1016/j.abd.2022.05.008. PMID: 37225627



Valentim FO, Case for diagnosis. Primary cutaneous CD4+ small/medium T-cell lymphoproliferative disorder. An Bras Dermatol. 2019 Jan-Feb;94(1):99-101. doi: 10.1590/abd1806-4841.20198513. PMID: 30726474;



Salah E. Primary cutaneous CD4+ small/medium pleomorphic T-cell lymphoproliferative disorder: Where do we stand? A systematic review. J Dtsch Dermatol Ges. 2019 Feb;17(2):123-136. doi: 10.1111/ddg.13691. Epub 2018 Dec 3. PMID: 30506921.

**LYMPHOME T** 

#### LYMPHOPROLIFERATION CD4+ A PETITES ET MOYENNES CELLULES

#### **HISTOPATHOLOGIE**

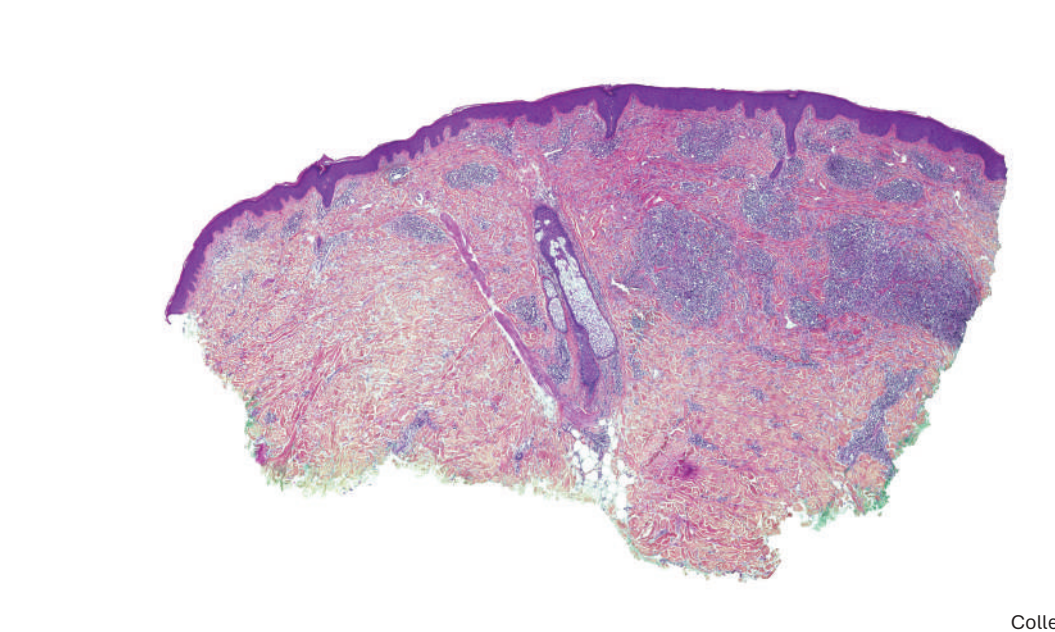
- Infiltrat dermique dense de lymphocytes T de taille petite à moyenne
- · Pléomorphisme cellulaire
- Grandes cellules < 30%
- · Infiltrat réactionnel associé avec presence de lymphocytes B, histiocytes
- · Pas ou peu d'épidermotropisme, presence d'une "grenz zone"

**LYMPHOMET** 

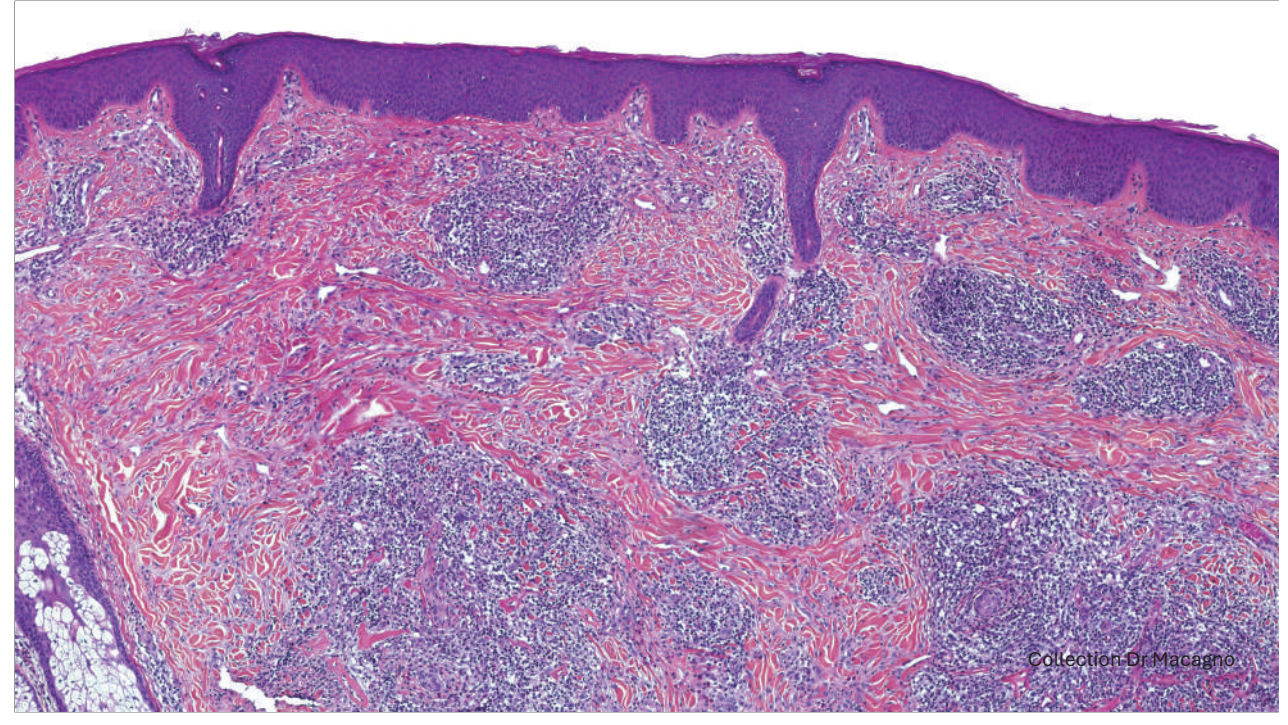
#### LYMPHOPROLIFERATION CD4+ A PETITES ET MOYENNES CELLULES

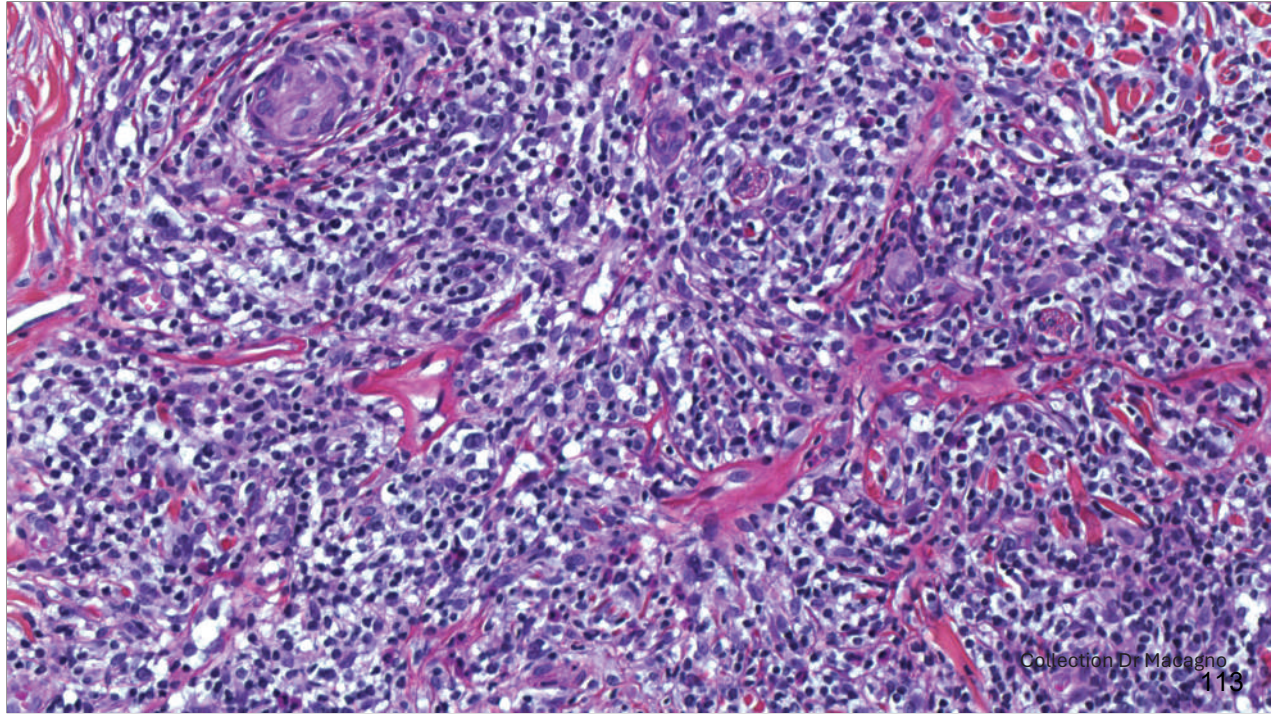
#### **IMMUNOHISTOCHIMIE**

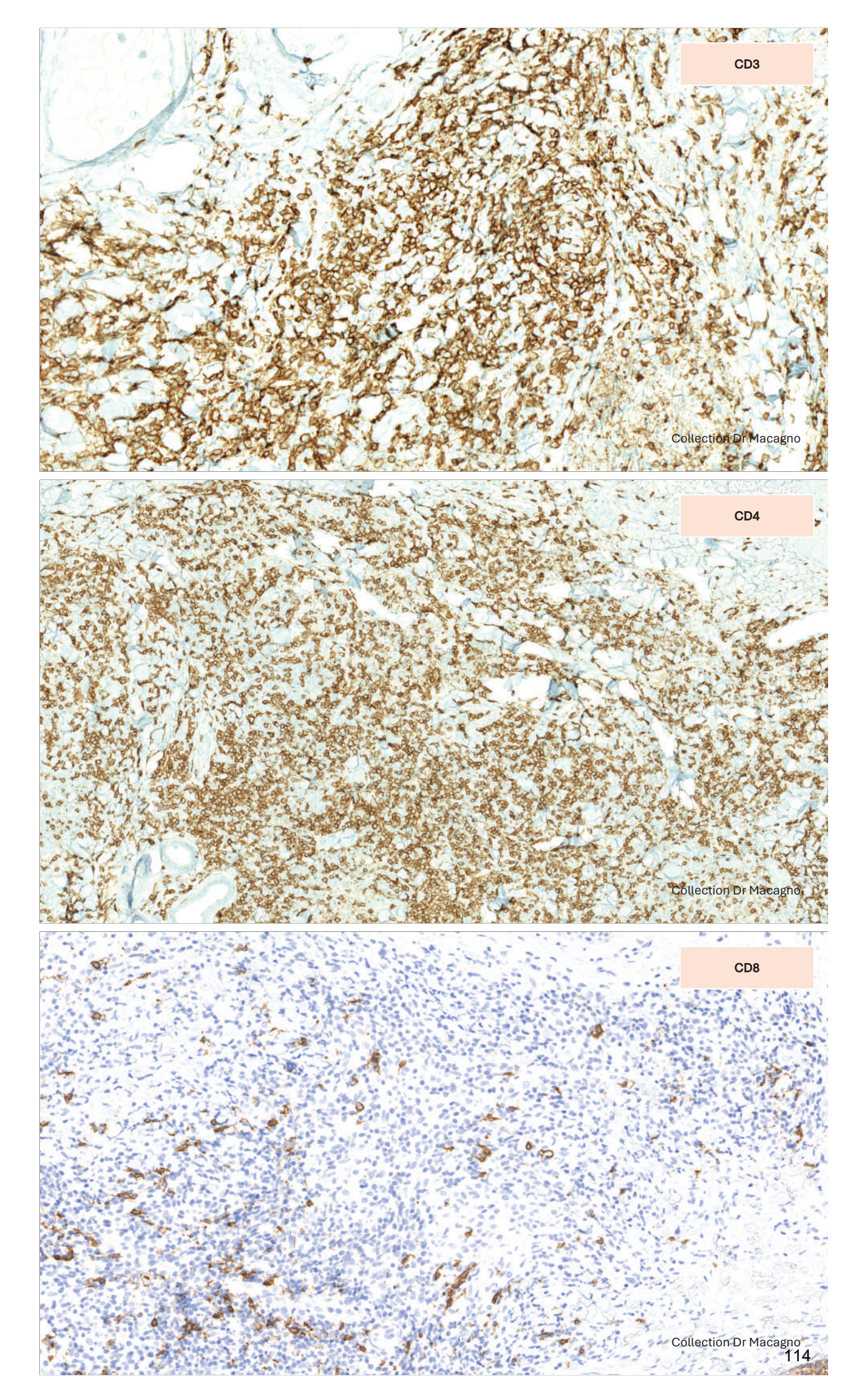
- CD3+, CD4+, CD8-, CD30-
- Trou phénotypique possible sur CD7
- Index de prolifération faible
- · Marqueurs cytotoxiques négatifs, EBER-
- Expression de marqueurs de phenotype T helper: PD1, BCL6, CXCL13, ICOS, CD10 mais CXCR5- et BCL2-
- · Lymphocytes B (CD20+) présents dans 10 à 50% de l'infiltrat

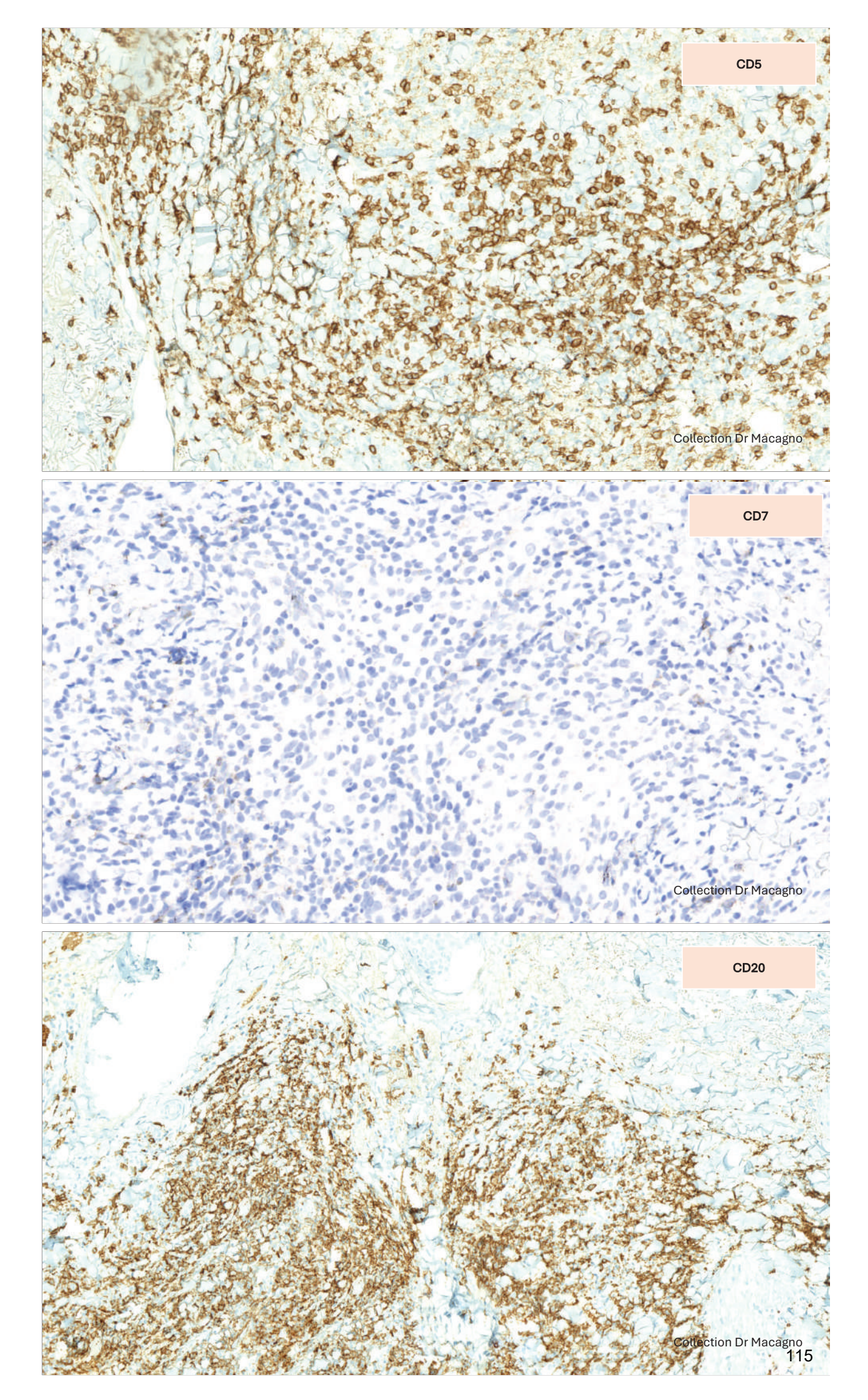


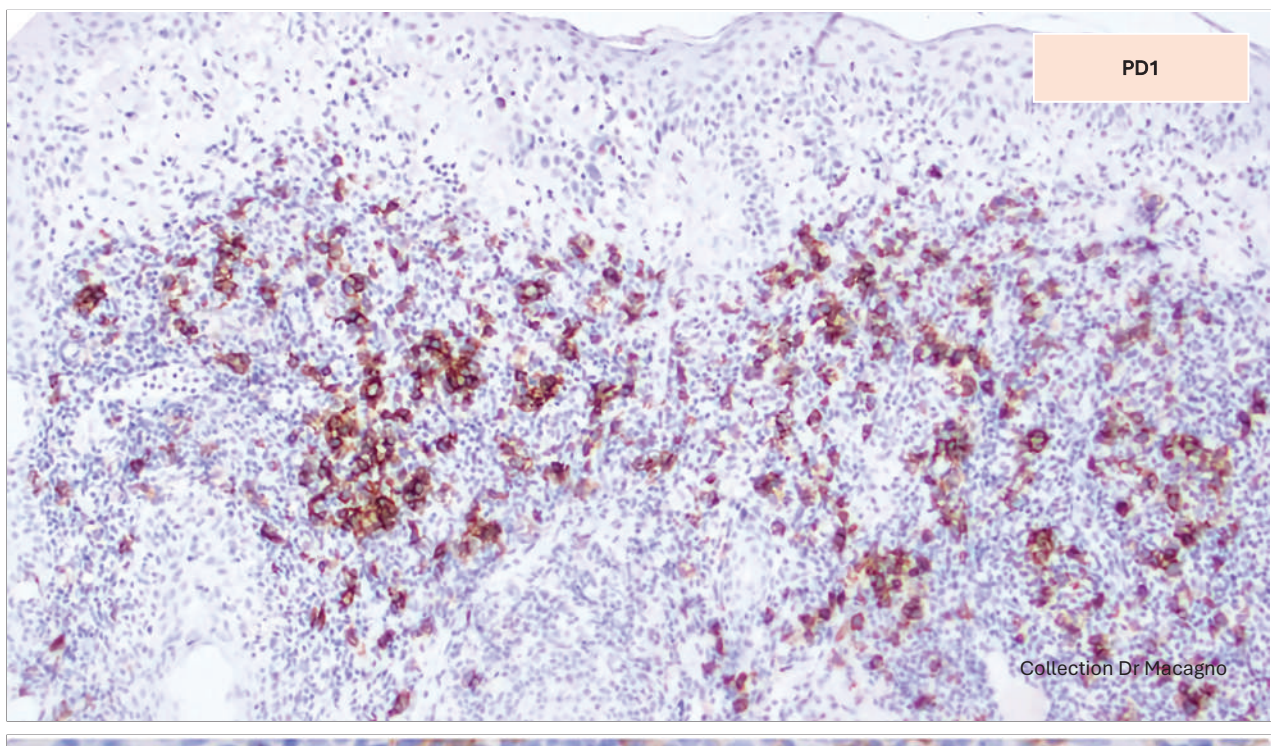
Collection Dr Macagno

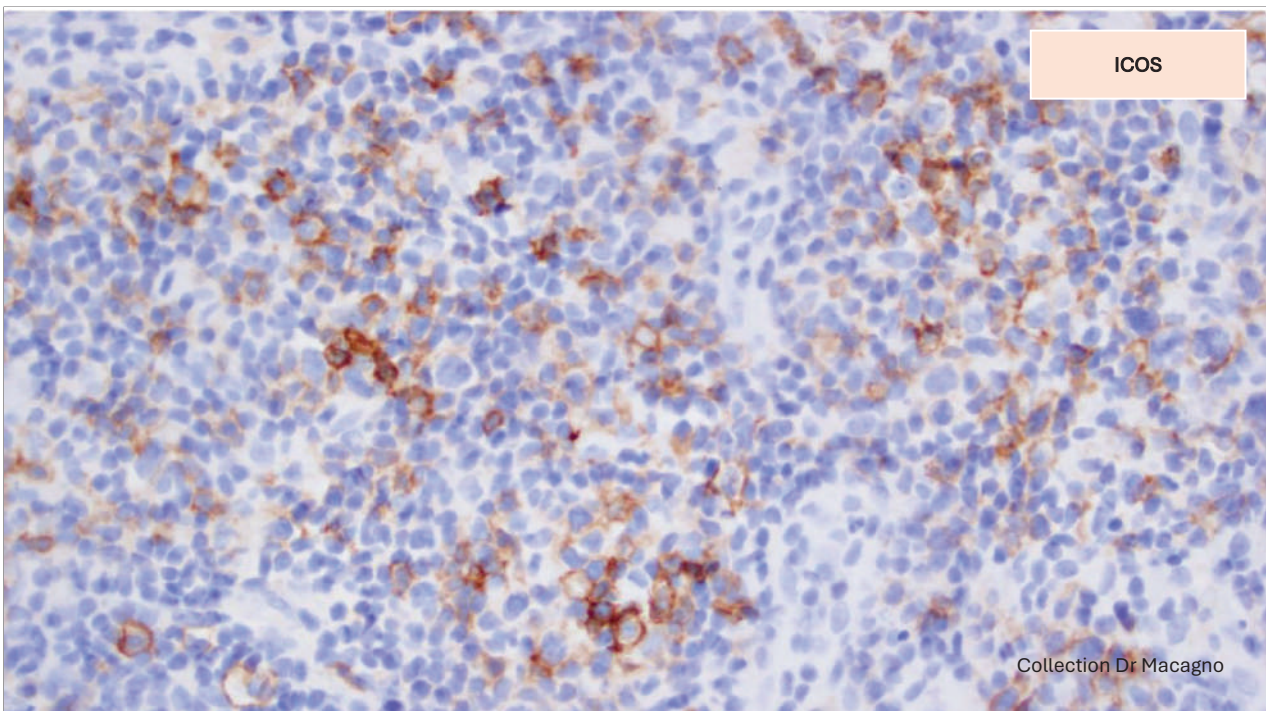












LYMPHOPROLIFERATION CD4+ A PETITES ET MOYENNES CELLULES

# MOLECULAIRE

• Réarrangement monoclonal du gène TCR

#### LYMPHOPROLIFERATION CD4+ A PETITES ET MOYENNES CELLULES

#### **STADES**

T: atteinte cutanée

T1: lésion cutanée solitaire:

T1a: lésion < 5 cm T1b: lésion > 5 cm

T2 : atteinte cutanée régionale : multiples lésions limitées à 1 ou 2 régions contiguës du corps :

T2a: surface cutanée atteinte < 15 cm

T2b: > 15 cm et < 30 cm

T2c: > 30 cm

T3: atteinte cutanée généralisée

T3a: multiples lésions cutanées touchant deux régions cutanées non contiguës

T3b: multiples lésions touchant plus de trois régions du corps

N: atteinte ganglionnaire:

NO: absence d'adnéopathie clinique ou d'envahissement histologique ganglionnaire

N1: atteinte ganglionnaire périphérique dans l'aire ganglionnaire (1 adénopathie) de drainage de l'atteinte cutanée

N2: atteinte d'au moins 2 adénopathies ou d'au moins une adénopathie en dehors d'une aire ganglionnaire de drainage

N3: atteinte d'une adénopathie profonde

M0: absence d'atteinte viscérale

M1: atteinte viscérale: doit être documentée histologiquement

Par définition un lymphome cutané primitif non épidermotrope est NO, MO au diagnostic.
EORTC: European Organization for Research and Treatment of Cancer; ISCL: International society for cutaneous lymphoma; MF; syndrome de Sézary; SS: syndrome de Sézary.

Prise en charge des lymphomes T cutanés : recommandations du Groupe français d'étude des lymphomes cutanés, M. Beylot-Barry, Annales de dermatologie et de vénéréologie (2010) 137, 611—621

**LYMPHOME T** 

# LYMPHOPROLIFERATION CD4+ A PETITES ET MOYENNES CELLULES

#### **EVOLUTION ET PRONOSTIC**

- Bon pronostic
- Survie à 5 ans : >90% pour les lésions uniques, >70% si multifocales
- Possible cas de rémission spontanée après phase de croissance initiale

**LYMPHOME T** 

#### LYMPHOPROLIFERATION CD4+ A PETITES ET MOYENNES CELLULES

#### **DIAGNOSTICS DIFFERENTIELS**

Mycosis fongoide

Lymphoprolifération CD4+ à petites et moyennes cellules	Mycosis fongoide (plaque stage ou tumor stage)
<b>De novo</b> Lésion <b>unique</b> asymptomatique Visage et cou	Evolution <b>macule&gt;plaque&gt;tumeur</b> Lésions <b>multiples</b> avec prurit Zones photo protégées
Petits à moyens lymphocytes atypiques	Petits à moyens lymphocytes atypiques
Pléomorphisme cellulaire	Noyau cérébriforme
Pas d'épidermotropisme (ou focal)	<b>Epidermotropisme</b>
Grenz zone présente	<b>Grenz zone absente</b>
CD4+, CD3+, CD20+, CD30-, CD10+	CD4+ (ou CD8+ parfois), CD3+, CD20-, CD30 +/-, CD10-
Trou phénotypique	Trou phénotypique

# LYMPHOPROLIFERATION CD4+ A PETITES ET MOYENNES CELLULES

#### **DIAGNOSTICS DIFFERENTIELS**

· Lymphomes B

Lymphoprolifération CD4+ à petites et moyennes cellules	Lymphome cutané B (zone marginale ou du manteau)
De novo Lésion unique asymptomatique Visage et cou	De novo Lésion unique asymptomatique Visage et cou
Petits à moyens lymphocytes atypiques du derme superficiel Pléomorphisme cellulaire Pas d'épidermotropisme	Lymphocytes, centrocytes, centroblastes atypiques du derme profond Pas d'épidermotropisme
CD4+, CD3+, CD20+, CD30-, CD10+ Trou phénotypique sur les marqueurs T BCL2- BCL6+	CD4-, CD8-, CD3+/-, CD20+, CD30-, CD10+/- BCL2+ si manteau BCL6+ si zone marginale
Réarrangement monoclonal TCR	Pas de réarrangement monoclonal TCR, mais réarrangement Ig

LYMPHOMET

# LYMPHOPROLIFERATION CD4+ A PETITES ET MOYENNES CELLULES

# **DIAGNOSTICS DIFFERENTIELS**

Infiltrats réactionnels bénins (ex post piqure d'insecte)

Lymphoprolifération CD4+ à petites et moyennes cellules	Infiltrats réactionnels bénins
De novo Lésion unique asymptomatique Visage et cou	Papulo-nodule de novo Unique Toute localisation
Petits à moyens lymphocytes atypiques du derme superficiel Pléomorphisme cellulaire Pas d'épidermotropisme	Petits à moyens lymphocytes atypiques du derme superficiel Pléomorphisme cellulaire Pas d'épidermotropisme
Trou phénotypique possible (CD7-)	Absence de trou phénotypique
Réarrangement monoclonal TCR	Pas de réarrangement monoclonal TCR

LYMPHOMET

# LYMPHOPROLIFERATION CD4+ A PETITES ET MOYENNES CELLULES

## **BILAN INITIAL**

Examen clinique	$\supset$	Type de lésion, nombre de tumeurs, surface corporelle, aires ganglionnaires
Biopsie cutanée	$\supset$	Examen histologique et biologie moléculaire
Biologie	$\supset$	Bilan standard avec LDH
Radiologie	$\supset$	Non systématique Scanner TAP (ou TEP TDM) à discuter
Biopsie ganglionnaire	$\sum$	Si ADP suspecte > 1.5cm : biopsie ganglionnaire (histologie et clonalité)

#### LYMPHOPROLIFERATION CD4+ A PETITES ET MOYENNES CELLULES

#### **TRAITEMENTS**

- Non codifié
- Traitement non agressif > chimiothérapie
- · Chirurgie, radiothérapie, corticoïdes intra lésionnel le plus souvent suffisant
- Si échec ou lésions multifocales : traitement systémique (Methotrexate)

#### **LYMPHOME T**

# LYMPHOPROLIFERATION CD4+ A PETITES ET MOYENNES CELLULES

	INDOLENT	AGRESSIF
Lymphome T	MF stade précoce	MF stade avancé
75% des cas	Lymphoprolifération CD30 -Papulose lymphomatoide	Syndrome de Sezary
	-Lymphome anaplasique	Lymphome T γ/δ
	Lymphoprolifération CD4 à petites et moyennes cellules	Lymphome T CD8 cytotoxique
	Lymphoprolifération CD8 acrale	Lymphome T NOS (inclassable)
	Lymphome T sous cutané type panniculite	
Lymphome B	Lymphome B de la zone marginale	Lymphome B à grandes cellules, type jambe
25% des cas	Lymphome B centro folliculaire	Lymphome B intra-vasculaire

#### **LYMPHOME T**

Lymphoprolifération CD4+ à petites et moyennes cellules

**SYNTHESE** 

**6%** des lymphomes cutanés Rare Age moyen 50 ans, sexe ratio équilibré Cas pédiatriques décrit

Diagnostic repose sur clinique + histologie + immunohistochimie + moléculaire

Nodule violacé ou papule erythémateuse Le plus souvent unique et asymptomatique Prédominance visage et cou, partie supérieure du tronc Etat général conservé

Absence d'argument clinico-biologique pour un MF

Lymphoprolifération de lymphocytes T CD4+ atypiques de petites et moyennes cellules Pleomorphisme cellulaire Phénotype T helper Trou phénotypique sur CD7

**Bon pronostic**, survie à 5 ans >70% Diagnostic différentiel MF, lymphome B, infiltrat réactionnel bénin

Rearrangement monoclonal TCR

Privilégier un traitement peu aggressif Chirurgie, radiothérapie si lésion localisée Traitement systémique (Methotrexate > chimiothérapie) si lésions diffuses

### Lymphoprolifération CD4+ à petites et moyennes cellules

### **BIBLIOGRAPHIE**

- 1/ Willemze R, et al. The 2018 update of the WHO-EORTC classification for primary cutaneous lymphomas. Blood. 2019 Apr 18:133(16):1703-1714.
- 2/ Alberti-Violetti S, et al. Clinicopathological and molecular study of primary cutaneous CD4+ small/medium-sized pleomorphic T-cell lymphoma. J Cutan Pathol. 2016 Dec;43(12):1121-1130.
- 3/ Maurelli M, et al. Primary Cutaneous CD4+ Small/Medium Pleomorphic T-Cell Lymphoproliferative Disorder: A Case Series. J Cutan Med Surg. 2017 Nov/Dec;21(6):502-506.
- 4/ Sarac E, Primary cutaneous CD4+ small/medium T-cell lymphoproliferative disorder: a case with multiple tumors. An Bras Dermatol. 2023 Sep-Oct;98(5):720-722
- 5/ Valentim FO, et al. Case for diagnosis. Primary cutaneous CD4+ small/medium T-cell lymphoproliferative disorder. An Bras Dermatol. 2019 Jan-Feb;94(1):99-101.
- 6/ Salah E. Primary cutaneous CD4+ small/medium pleomorphic T-cell lymphoproliferative disorder: Where do we stand? A systematic review. J Dtsch Dermatol Ges. 2019 Feb;17(2):123-136

**LYMPHOME T** 

### Lymphoprolifération CD4+ à petites et moyennes cellules

### **BIBLIOGRAPHIE**

- 7/ Grogg KL, et al Primary cutaneous CD4-positive small/medium-sized pleomorphic T-cell lymphoma: a clonal T-cell lymphoproliferative disorder with indolent behavior. Mod Pathol. 2008 Jun;21(6):708-15.
- 8/ Davick JJ, et al. Primary Cutaneous Small/Medium CD4+ T-CELL Lymphoproliferative Disorder Occurring in a Patient With Metastatic Melanoma. Am J Dermatopathol. 2018 Jan;40(1):60-63
- 9/ James E, et al. CD4 + primary cutaneous small/medium-sized pleomorphic T-cell lymphoma: a retrospective case series and review of literature. Leuk Lymphoma. 2015 Apr;56(4):951-7.
- 10/ Williams VL, et al. Primary cutaneous small- to medium-sized CD4+ pleomorphic T-cell lymphoma: a retrospective case series and review of the provisional cutaneous lymphoma category. Am J Clin Dermatol. 2011 Dec 1;12(6):389-401.
- 11/ Leeolou MC, et al. Primary cutaneous CD4+ small/medium-sized pleomorphic T-cell lymphoproliferative disorder in a young woman. Dermatol Online J. 2022 Dec 15;28(6)
- 12/ Prise en charge des lymphomes T cutanés : recommandations du Groupe français d'étude des lymphomes cutanés, M. Beylot-Barry, Annales de dermatologie et de vénéréologie (2010) 137, 611—621

**LYMPHOME T** 

### **SOMMAIRE**

- 1/ Mycosis fongoide
- 2/ Lymphoprolifération CD30+
- Papulose lymphomatoide
- Lymphome anaplasique à grandes cellules
- 3/ Lymphoprolifération CD4+ à petites et moyennes cellules

### 4/ Lymphome T sous cutané type panniculite

5/ Lymphoprolifération T CD8 acrale

### LYMPHOME T SOUS CUTANE TYPE PANNICULITE ( $\alpha\beta$ )

### **INTRODUCTION**

- Lymphoprolifération clonale de lymphocytes T cytotoxiques de phénotype alpha/beta avec tropisme pour les adipocytes induisant une panniculite (hypodermite)
- Description récente en 1991 par Gonzalez et al
- Fait partie de la classification OMS depuis 2001
- En anglais : Subcutaneous panniculitis-like T-cell lymphoma (SPTL)

### **LYMPHOME T**

### LYMPHOME T SOUS CUTANE TYPE PANNICULITE ( $\alpha\beta$ )

### **INTRODUCTION**

Initialement (avant 2005):

## Lymphome T sous cutané type panniculite TCR sous type Phénotype alpha/beta TCR 2 Phénotype delta/gamma TCR 1

### **LYMPHOMET**

### LYMPHOME T SOUS CUTANE TYPE PANNICULITE ( $\alpha\beta$ )

### INTRODUCTION

Initialement (avant 2005):



> Aspects cliniques, histopathologiques et immunohistochimiques <u>distincts</u>, pronostic différent

### **INTRODUCTION**

Actuellement:

Lymphome T sous cutané type panniculite

Phénotype alpha/beta

Lymphome T delta/gamma

1

Phénotype delta/gamma

**LYMPHOMET** 

LYMPHOME T SOUS CUTANE TYPE PANNICULITE  $(\alpha\beta)$ 

### **EPIDEMIOLOGIE**

- 1% des lymphomes cutanés
- Très rare
- · Age médian 40 ans
- Sexe ratio 2F/1H
- · Cas pédiatriques décrits

**LYMPHOMET** 

LYMPHOME T SOUS CUTANE TYPE PANNICULITE ( $\alpha\beta$ )

### **PHYSIOPATHOLOGIE**

- Mutation germinale du gène HAVCR2
- > Altération TIM3 (T-cell immunoglobulin Mucin)
- > Mauvais repliement des protéines membranaires
- > Dysfonctionnement du point de contrôle immunitaire
- > Activation immune
- Présente chez 25% patients européens et jusqu'à 85% patients asiatiques
- Patients sans mutation: trigger infectieux? Auto-immun?

### LYMPHOME T SOUS CUTANE TYPE PANNICULITE $(\alpha\beta)$

### **CLINIQUE**

Nodules sous cutané indolores Plaque profonde indurée Souvent pas d'ulceration présente

De 1 à 20 cm

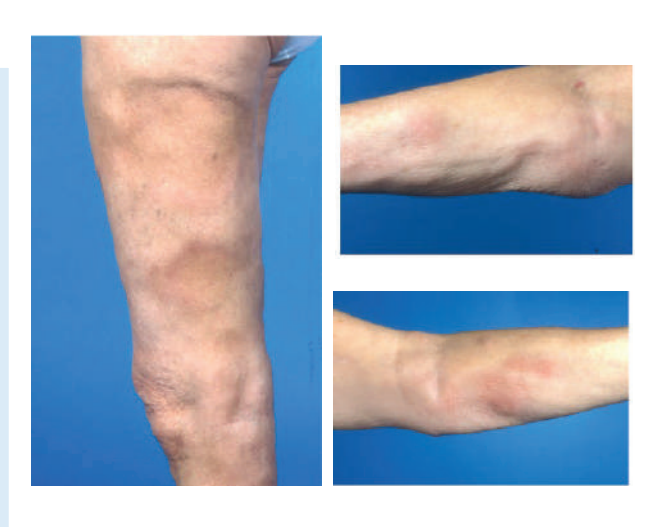
Membres et tronc surtout, parfois visage

Souvent multifocal

Cicatrice atrophique

**Signes généraux** avec fièvre, perte de poids, sueurs nocturnes

Possible adénopathies et hepato-splénomégalie



Willemze R. Cutaneous lymphomas with a panniculitic presentation. Semin Diagn Pathol. 2017 Jan; 34(1):36-43. doi: 10.1053/j.semdp.2016.11.009. Epub 2016 Nov 29. PMID: 27986433.

### **LYMPHOME T**

### LYMPHOME T SOUS CUTANE TYPE PANNICULITE (αβ)

### **CLINIQUE**

Lee DW, Subcutaneous panniculitis-like T-cell lymphoma: a clinical and pathologic study of 14 korean patients. Ann Dermatol. 2011 Aug;23(3):329-37. doi: 10.5021/ad.2011.23.3.329. Epub 2011 Aug 6. PMID: 21909203; PMCID: PMC3162262.







### **LYMPHOME T**

### LYMPHOME T SOUS CUTANE TYPE PANNICULITE ( $\alpha\beta$ )

### **PARTICULARITES CLINIQUES**

### Stade précoce

Tendance à la régression spontanée des lésions avec +/- atrophie séquellaire

Cas sévères de mauvais pronostic Syndrome hémophagocytose/ syndrome d'activation macrophagique 15% des cas

Terrain

Association avec pathologies auto-immunes (lupus, polyarthrite juvénile, Sjogren..)

Diagnostics différentiels

Lymphome delta/gamma et panniculites auto-immunes (<u>lupus panniculite</u>, érythème noueux, dermatomyosite..)

### LYMPHOME T SOUS CUTANE TYPE PANNICULITE ( $\alpha\beta$ )

### **HISTOPATHOLOGIE**

- · Infiltrat nodulaire sous cutané
- · Panniculite lobulaire ou mixte
- Lymphocytes atypiques avec noyaux hyperchromatiques avec encorbellement des adipocytes
- Infiltrat réactionnel dermique, épiderme sain
- Images de nécrose, caryorrhexie, phagocytose fréquentes

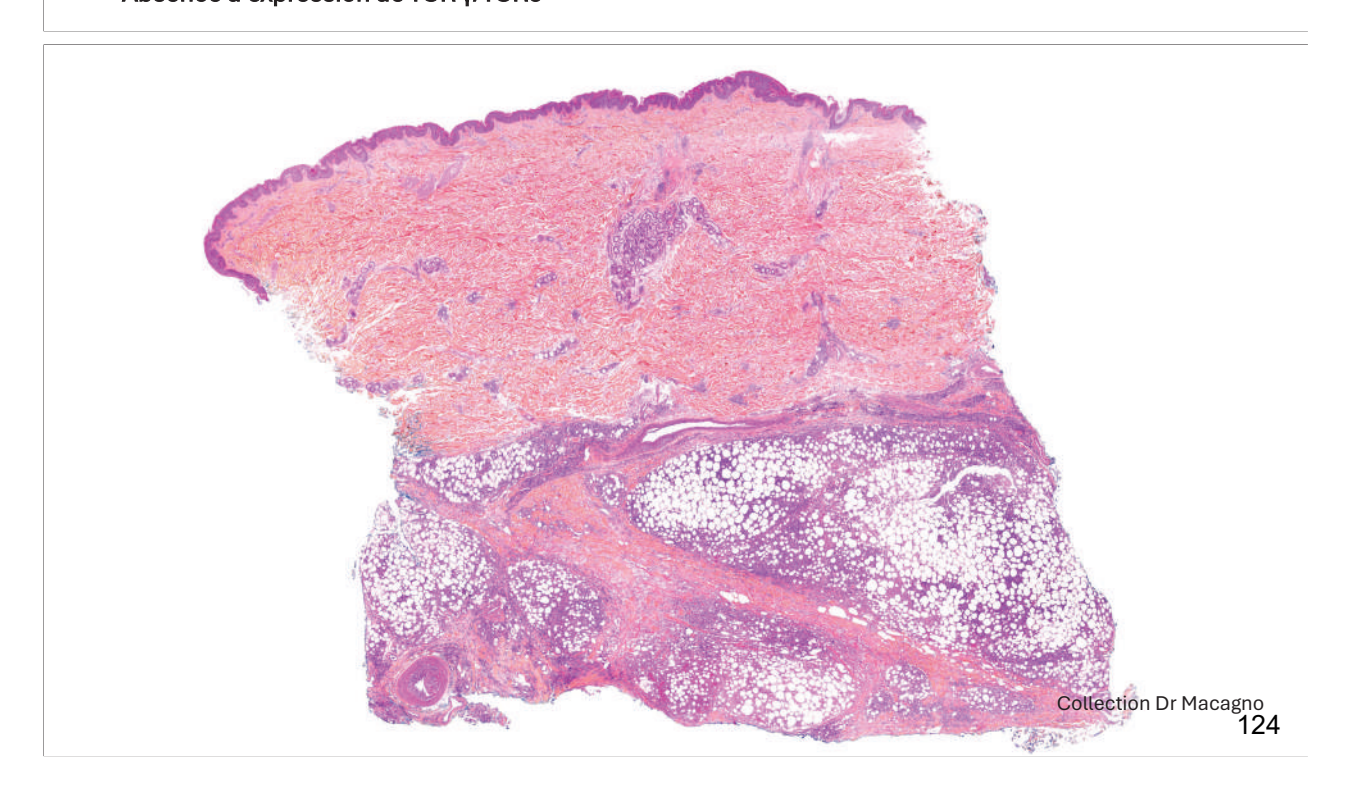
### LYMPHOMET

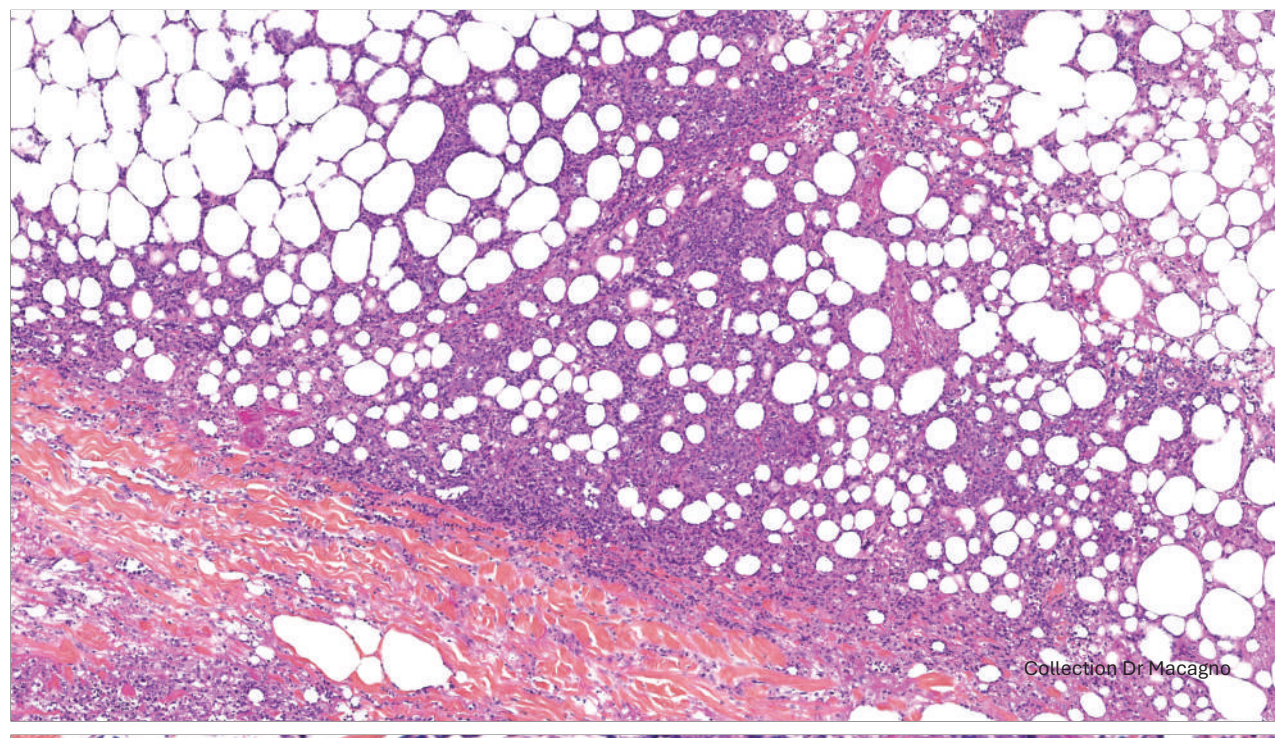
### LYMPHOME T SOUS CUTANE TYPE PANNICULITE $(\alpha\beta)$

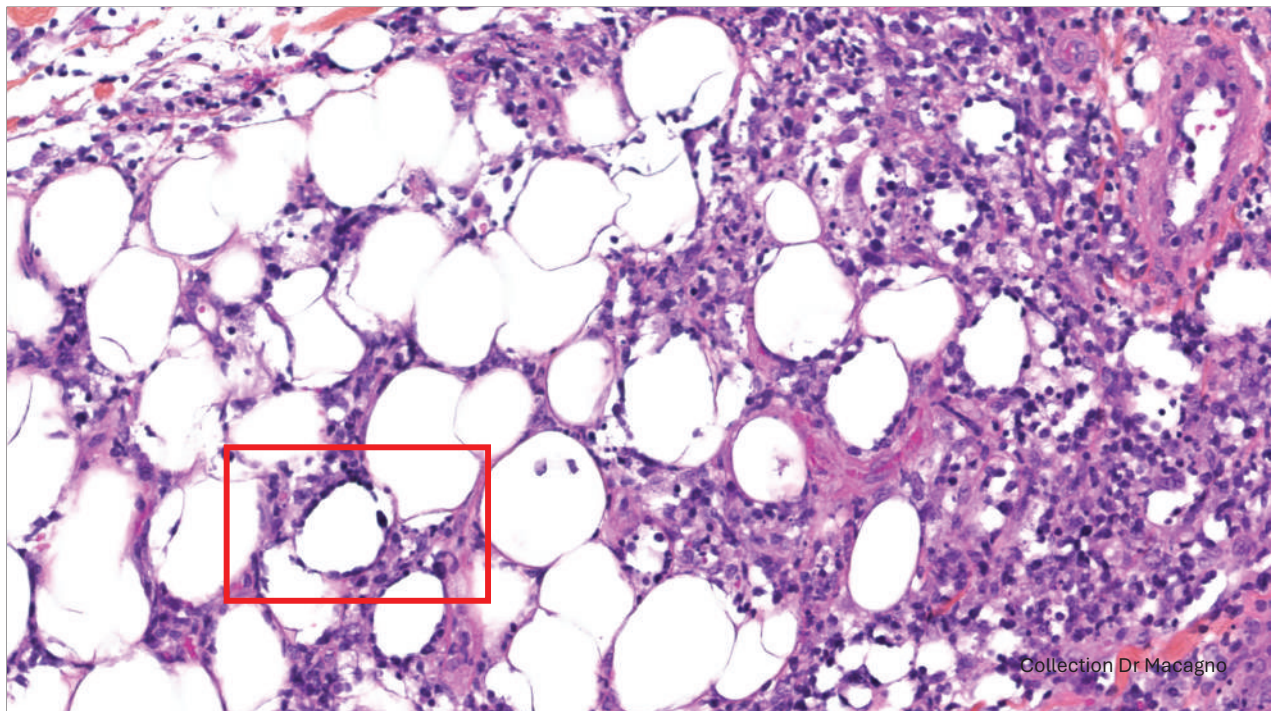
### **IMMUNOHISTOCHIMIE**

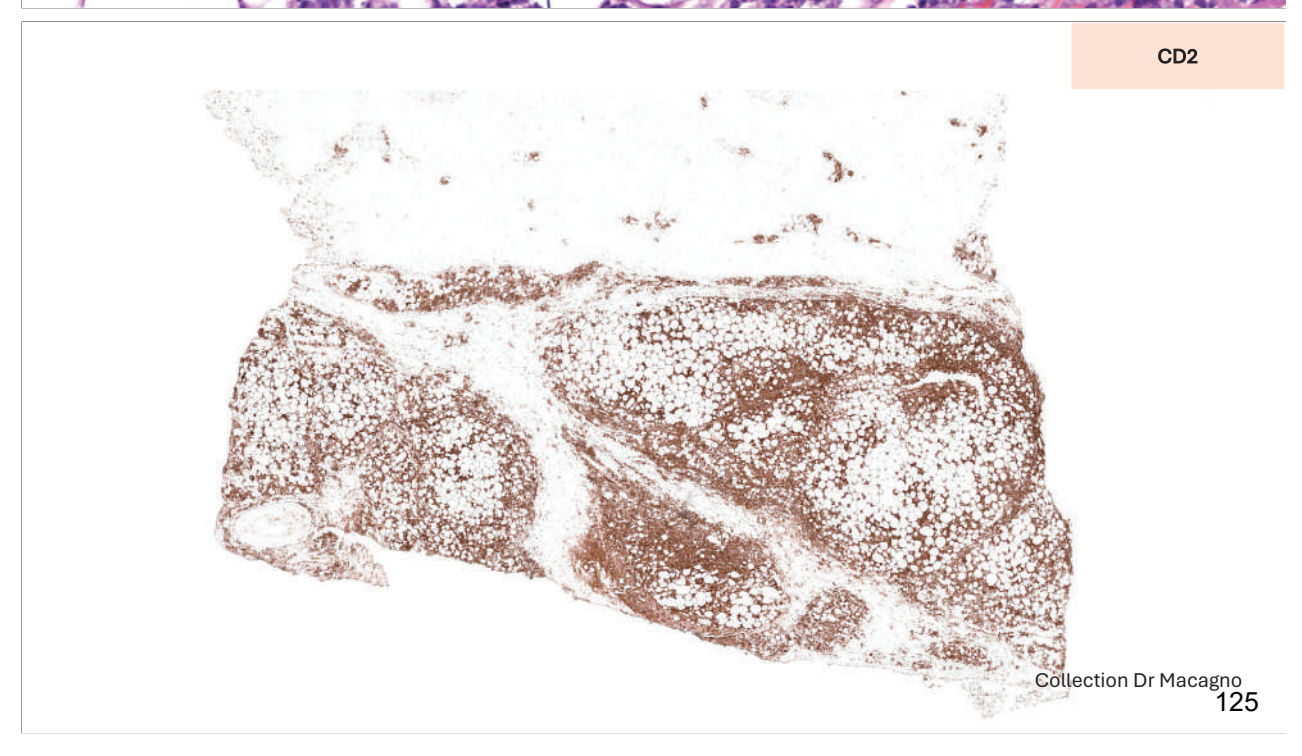
### Classiquement:

- CD4-, CD8+, CD56-, CD20-, CD30-
- BetaF1 positif (anticorps anti TCR beta)
- Expression de proteines cytotoxiques
- EBER -
- Perte d'expression de CD7 (majoritairement), CD5 ou CD2
- Indice de proliferation élevé (KI67)
- Absence d'expression de TCR  $\gamma$ /TCR $\delta$





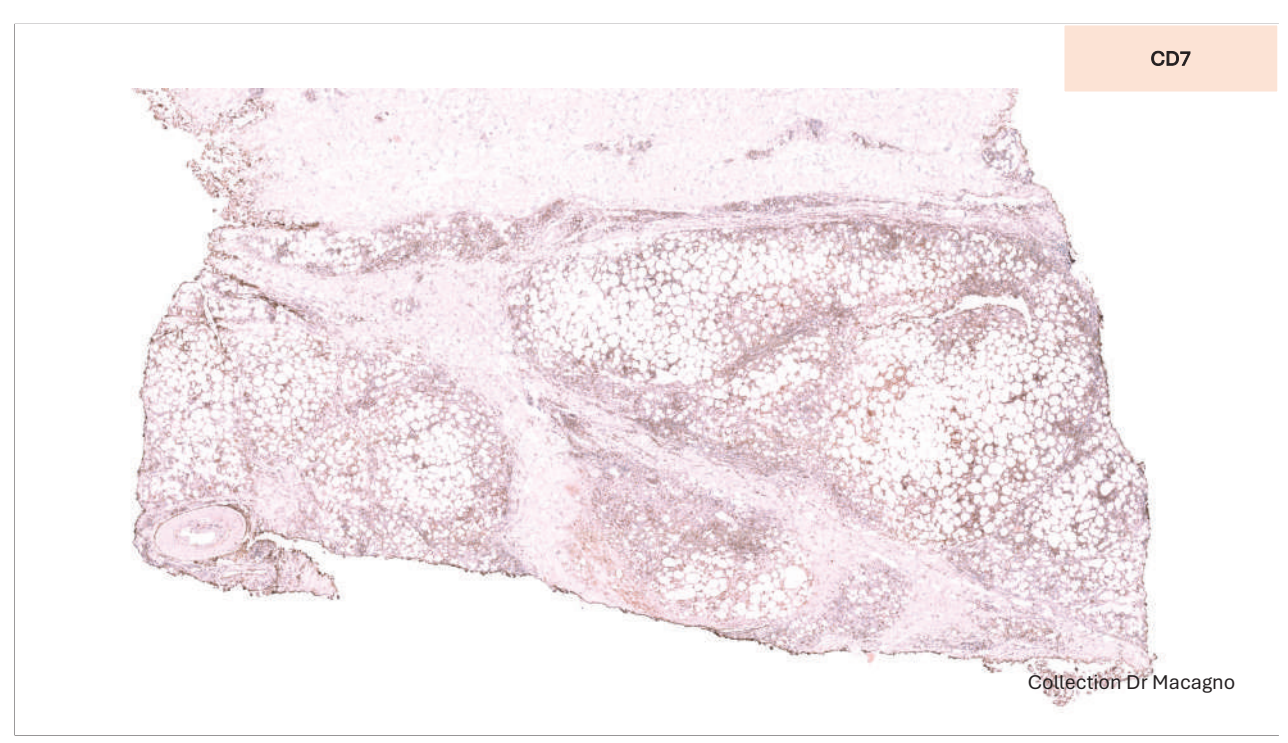


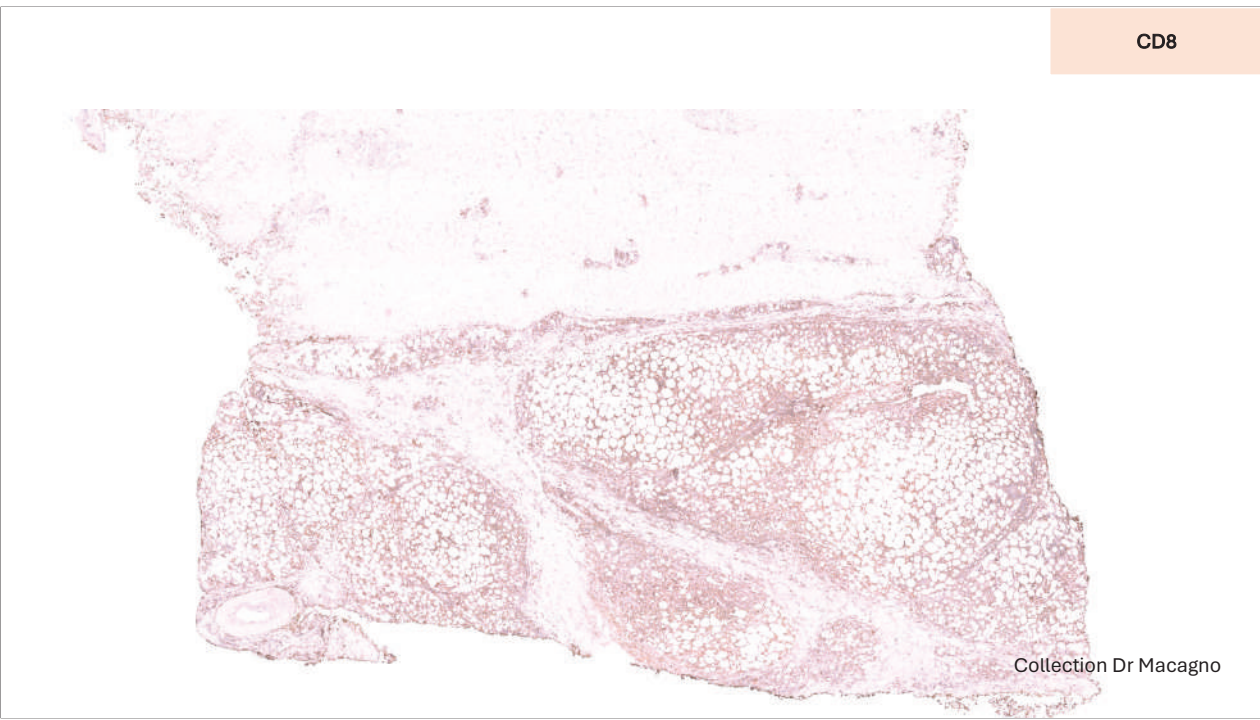




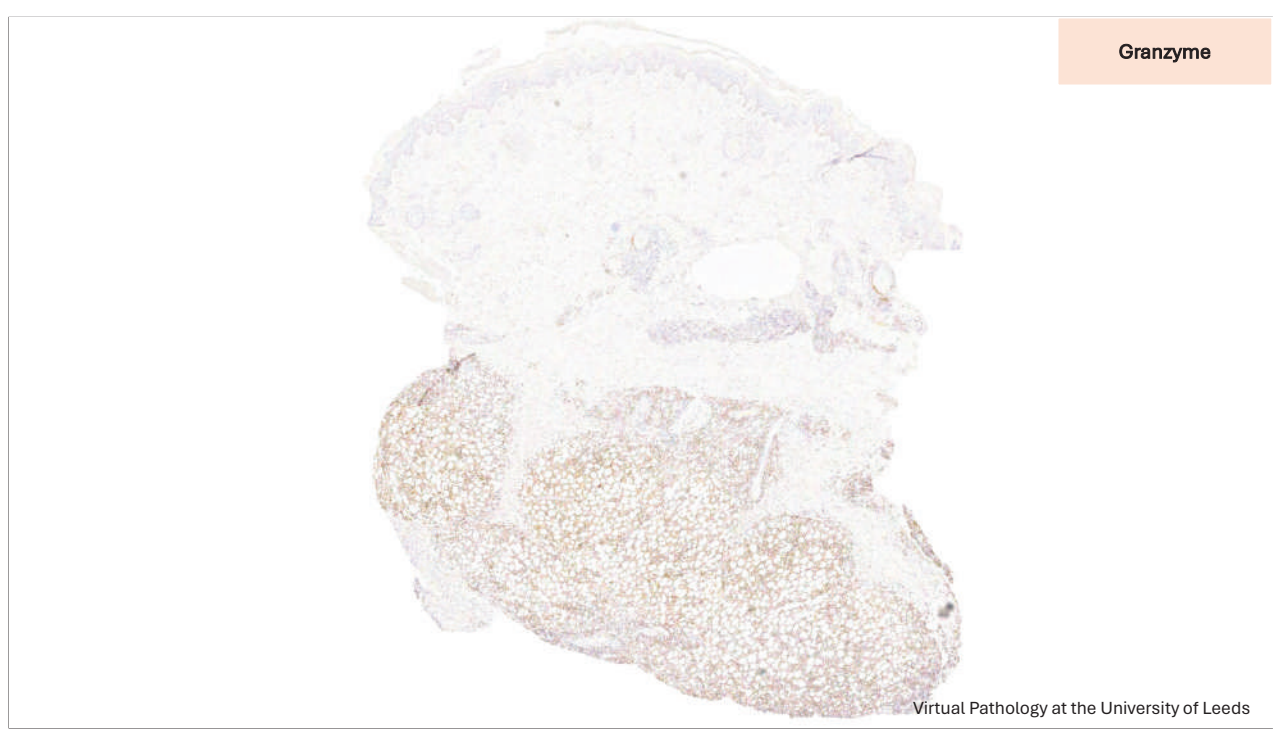














LYMPHOME T SOUS CUTANE TYPE PANNICULITE ( $\alpha\beta$ )

### **MOLECULAIRE**

- Réarrangement monoclonal gène TCR
- EBV-
- Mutation HAVCR2 (25% patients européens et jusqu'à 85% patients asiatiques)

### LYMPHOME T SOUS CUTANE TYPE PANNICULITE $(\alpha\beta)$

### **DIAGNOSTIC DIFFERENTIEL: LYMPHOME GAMMA/DELTA**

Lymphome T sous cutané type panniculite	Lymphome delta/gamma
Nodules sous cutané multifocaux Pas de nécrose, pas d'ulcération Signes généraux Syndrome d'activation macrophagique peu fréquent	Nodules et plaques sous cutanés disséminés Nécrose et/ou ulcérations Signes généraux Syndrome d'activation macrophagique fréquent
Panniculite lobulaire avec lymphocytes atypiques Atteinte sous cutanée	Infiltrat lymphocytaire atypiques sous cutané mais aussi dans le derme et l'épiderme
CD8+, CD56-, CD30- TCR αβ + Trou phénotypique Gene TCR monoclonal Mutation gène HAVCR2	CD3+, CD4-, CD8-, CD56+/- TCR γδ + Trou phénotypique Gene TCR monoclonal

**LYMPHOMET** 

### LYMPHOME T SOUS CUTANE TYPE PANNICULITE ( $\alpha\beta$ )

### **DIAGNOSTIC DIFFERENTIEL: LUPUS PANNICULITE**

Lymphome T sous cutané type panniculite	Lupus panniculite
Terrain adulte âge moyen	Terrain : jeune femme
Nodules sous cutané multifocaux Signes généraux	Nodules sous cutanés avec zones d'atrophie Pas de signes généraux
Panniculite lobulaire avec lymphocytes atypiques (noyaux hyperchromatiques)	Panniculite lobulaire sans atypies cytologiques Présence de mucine et de vascularite
CD8+, CD56-, CD30- Expressions protéines cytotoxiques Trou phénotypique Gene TCR monoclonal Mutation gène HAVCR2	Infiltrat réactionnel CD3+, CD4+, CD8+, CD20+ Cellules dendritiques plasmocytaires CD123+ Pas de trou phénotypique Gene TCR polyclonal

### **LYMPHOME T**

### LYMPHOME T SOUS CUTANE TYPE PANNICULITE $(\alpha\beta)$

### **STADES**

T: atteinte cutanée

T1: lésion cutanée solitaire: T1a: lésion < 5 cm

T1b: lésion > 5 cm

T2 : atteinte cutanée régionale : multiples lésions limitées à 1 ou 2 régions contiguës du corps : T2a : surface cutanée atteinte < 15 cm

T2b: > 15 cm et < 30 cm

T2c: > 30 cm

T3: atteinte cutanée généralisée

T3a: multiples lésions cutanées touchant deux régions cutanées non contiguës

T3b: multiples lésions touchant plus de trois régions du corps

NO: absence d'adnéopathie clinique ou d'envahissement histologique ganglionnaire

N1 : atteinte ganglionnaire périphérique dans l'aire ganglionnaire (1 adénopathie) de drainage de l'atteinte cutanée N2 : atteinte d'au moins 2 adénopathies ou d'au moins une adénopathie en dehors d'une aire ganglionnaire de drainage

N3: atteinte d'une adénopathie profonde

M0: absence d'atteinte viscérale

M1: atteinte viscérale: doit être documentée histologiquement

Par définition un lymphome cutané primitif non épidermotrope est NO, MO au diagnostic.

EORTC: European Organization for Research and Treatment of Cancer; ISCL: International society for cutaneous lymphoma; MF; syndrome de Sézary; SS: syndrome de Sézary.

### LYMPHOME T SOUS CUTANE TYPE PANNICULITE $(\alpha\beta)$

### **EVOLUTION ET PRONOSTIC**

- · Bon pronostic
- Survie à 5 ans >80%
- Possible survenue de **syndrome d'activation macrophagique dans 20% des cas** alourdissant le pronostic (survie 45% à 5 ans)

### **LYMPHOMET**

### LYMPHOME T SOUS CUTANE TYPE PANNICULITE $(\alpha\beta)$

	INDOLENT	AGRESSIF
Lymphome T	MF stade précoce	MF stade avancé
75% des cas	Lymphoprolifération CD30 -Papulose lymphomatoide	Syndrome de Sezary
	-Lymphome anaplasique	Lymphome T γ/δ
	Lymphoprolifération CD4 à petites et moyennes cellules	Lymphome T CD8 cytotoxique
	Lymphoprolifération CD8 acrale	Lymphome T NOS (inclassable)
	Lymphome T sous cutané type panniculite	
Lymphome B	Lymphome B de la zone marginale	Lymphome B à grandes cellules, type jambe
25% des cas	Lymphome B centro folliculaire	Lymphome B intra-vasculaire

### **LYMPHOMET**

### LYMPHOME T SOUS CUTANE TYPE PANNICULITE ( $\alpha\beta$ )

### **TRAITEMENTS**

Formes indolentes



### Immunosuppresseurs:

Méthotrexate

Ciclosporine

Corticothérapie systémique

Formes agressives Formes associées au SAM Forme ne répondant pas aux immunosuppresseurs



### Chimiotérapies :

Polychimiothérapies

Allogreffe de cellules souches

### LYMPHOME T SOUS CUTANE TYPE PANNICULITE (αβ)

**SYNTHESE** 

### **SYNTHESE**

### Lymphome T alpha/beta

Willemze R. Cutaneous lymphomas with a panniculitic presentation. Semin Diagn Pathol. 2017 Jan;34(1):36-43. doi:

10.1053/j.semdp.2016.11.009. Epub 2016 Nov 29. PMID: 27986433.

Distinguishing features between PTCL and PCGD-TCL5.

	SPTCL	PCGD-TCL
Immunophenotype Architecture	TCR-β, CD4—, CD8+, CD56— Subcutaneous	TCR-γ/δ+, CD4-, CD8-, CD56+/- Subcutaneous and/or epidermal/ dermal
Clinical features	Nodules and plaques; rarely ulcera- tion; association with auto-immune disorders (20%), including reported cases of coexistence of SPTLC and	
HPS 5-year survival Treatment	lupus erythematosus Uncommon (15–20%) 80% <sup>a</sup> Systemic steroids and im- munomodulatory agents	Common (50%) 10–20% Systemic chemotherapy

SPTCL: subcutaneous panniculitis-like T-cell lymphoma; PCGD-TCL: primary cutaneous  $\gamma/\delta$  T-cell lymphoma. HPS: hemophagocytic syndrome.

### **LYMPHOME T**

### LYMPHOME T SOUS CUTANE TYPE PANNICULITE (αβ)

**SYNTHESE** 

1% des lymphomes cutanés Très rare Age moyen 40 ans. Sex ratio 2F/1H Cas pédiatriques possible

### Nodules sous cutanés ou plaques indurées indolore

Membres et tronc surtout Cicatrice atrophique Signes généraux

Diagnostics différentiels : lupus panniculite et lymphome gamma delta

Lymphoprolifération clonale **LT cytotoxique alpha/beta** Infiltrat lymphocytaires atypiques **sous cutané** Panniculite lobulaire

**CD4-, CD8+, CD56-, protéines cytotoxiques** Réarrangement monoclonal TCR, mutation HAVCR2

### Lymphome indolent, bon pronostic

Survenue de syndrome d'activation macrophagique dans

20% des cas alourdissant pronostic Survie à 5 ans >80% (45% si SAM)

Association à pathologies auto-immunes

Traitement par immunosuppresseurs Si échec ou forme agressive : polychimiothérapies

### **LYMPHOME T**

### LYMPHOME T SOUS CUTANE TYPE PANNICULITE ( $\alpha\beta$ )

### **BIBLIOGRAPHIE**

1/ Willemze R, et al. EORTC Cutaneous Lymphoma Group. Subcutaneous panniculitis-like T-cell lymphoma: definition, classification, and prognostic factors: an EORTC Cutaneous Lymphoma Group Study of 83 cases. Blood. 2008 Jan 15;111(2):838-45.

2/ Vose J, et al/ International T-Cell Lymphoma Project. International peripheral T-cell and natural killer/T-cell lymphoma study: pathology findings and clinical outcomes. J Clin Oncol. 2008 Sep 1;26(25):4124-30.

3/ Willemze R. Cutaneous lymphomas with a panniculitic presentation. Semin Diagn Pathol. 2017 Jan;34(1):36-43

4/ Lee DW, Subcutaneous panniculitis-like T-cell lymphoma: a clinical and pathologic study of 14 korean patients. Ann Dermatol. 2011 Aug;23(3):329-37.

5/ Koh J, et al. Genetic profiles of subcutaneous panniculitis-like T-cell lymphoma and clinicopathological impact of HAVCR2 mutations. Blood Adv. 2021 Oct 26;5(20):3919-3930.

6/ Swallow MA, et al. Clinical and Histologic Variants of CD8+ Cutaneous T-Cell Lymphomas. Cancers (Basel). 2024 Sep 5;16(17):3087.

<sup>&</sup>lt;sup>a</sup> 5-year survival: 91% in patients with HPS, 46% in patients with HPS.<sup>5</sup>

### LYMPHOME T SOUS CUTANE TYPE PANNICULITE ( $\alpha\beta$ )

### **BIBLIOGRAPHIE**

7/ Sugeeth MT, et al. Subcutaneous panniculitis-like T-cell lymphoma. Proc (Bayl Univ Med Cent). 2017 Jan;30(1):76-77.

8/ Kong YY, et al. Subcutaneous panniculitis-like T-cell lymphoma: a clinicopathologic, immunophenotypic, and molecular study of 22 Asian cases according to WHO-EORTC classification. Am J Surg Pathol. 2008 Oct;32(10):1495-502.

9/ Hoque SR, et al. Subcutaneous panniculitis-like T-cell lymphoma: a clinicopathological, immunophenotypic and molecular analysis of six patients. Br J Dermatol. 2003 Mar;148(3):516-25.

10/ Shen G, et al Subcutaneous Panniculitis-like T Cell Lymphoma Mimicking Early-Onset Nodular Panniculitis. Am J Case Rep. 2016 Jun 25;17:429-33.

11/ Prise en charge des lymphomes T cutanés : recommandations du Groupe français d'étude des lymphomes cutanés, M. Beylot-Barry, Annales de dermatologie et de vénéréologie (2010) 137, 611—621

12/ Alsomali DY, et al. Diagnosis and Treatment of Subcutaneous Panniculitis-like T-cell Lymphoma: A Systematic Literature Review. Hematol Oncol Stem Cell Ther. 2023 Jan 17;16(2):110-116.

**LYMPHOME T** 

### **SOMMAIRE**

- 1/ Mycosis fongoide
- 2/ Lymphoprolifération CD30+
- Papulose lymphomatoide
- Lymphome anaplasique à grandes cellules
- 3/ Lymphoprolifération CD4+ à petites et moyennes cellules
- 4/ Lymphome T sous cutané type panniculite

5/ Lymphoprolifération T CD8 acrale

**LYMPHOME T** 

### LYMPHOPROLIFERATION ACRALE CD8+

### INTRODUCTION

- Lymphoprolifération clonale de LT CD8+ de disposition acrale, d'évolution indolente sans épidermotropisme
- Description récente par Patrella et al en 2007
- Initialement "Primary cutaneous acral CD8+ T cell lymphoproliferative disorder"
- Changement nomenclature en 2018 dans la 4e edition WHO: "primary cutaneous acral CD8-positive T cell lymphoma"

### **EPIDEMIOLOGIE**

- 1% des lymphomes cutanés
- Très rare
- Adulte age moyen 50 ans
- Legère predominance masculine sexe ratio 2/1
- · Pas de cas pédiatrique décrit

### **LYMPHOMET**

### LYMPHOPROLIFERATION ACRALE CD8+

### **CLINIQUE**

### Papule ou nodule rouge/pourpre

Souvent **unique** (parfois lésions multifocales voire bilatarérales)

### Lentement évolutive

Disposition acrale (face et extrémités)

Pas d'ulcération ou de nécrose

Pas de signe extra-cutané ou généraux



Kluk J, Indolent CD8-positive lymphoid proliferation of acral sites: three further cases of a rare entity and an update on a unique patient. J Cutan Pathol. 2016 Feb;43(2):125-36. doi: 10.1111/cup.12633. PMID: 26423705.

### **LYMPHOMET**

### LYMPHOPROLIFERATION ACRALE CD8+

### **CLINIQUE**





### LYMPHOPROLIFERATION ACRALE CD8+

### **CLINIQUE**



Ryan AJ, Primary cutaneous peripheral T-cell lymphoma, unspecified with an indolent clinical course: a distinct peripheral T-cell lymphoma? Clin Exp Dermatol. 2010 Dec;35(8):892-6. doi: 10.1111/j.1365-2230.2010.03849.x. PMID: 20456402.

**LYMPHOMET** 

### LYMPHOPROLIFERATION ACRALE CD8+

### HISTOPATHOLOGIE

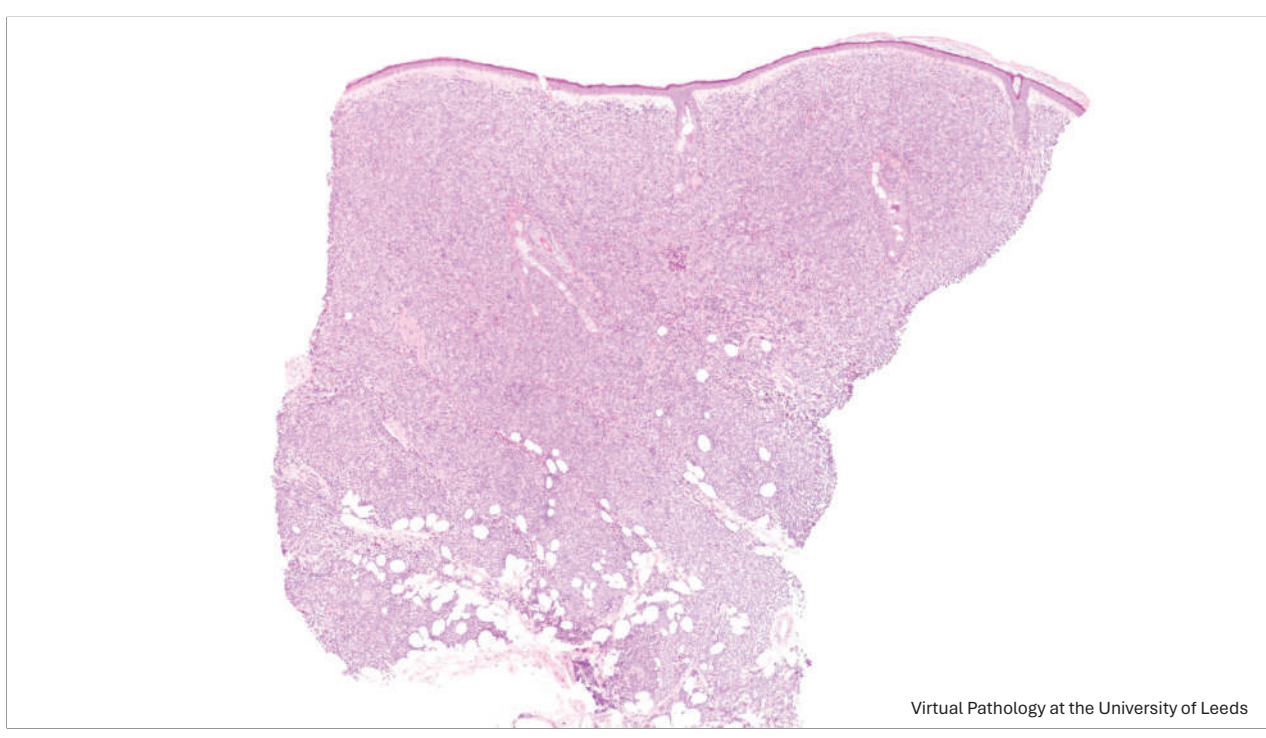
- Infiltrat dermique diffus avec possible atteinte sous cutanée
- Lymphocytes monomorphes de taille intermédiaire avec noyaux irréguliers, chromatine dispersée
- · Absence d'épidermotropisme
- Peu de mitose, pas de nécrose ou d'angioinvasion

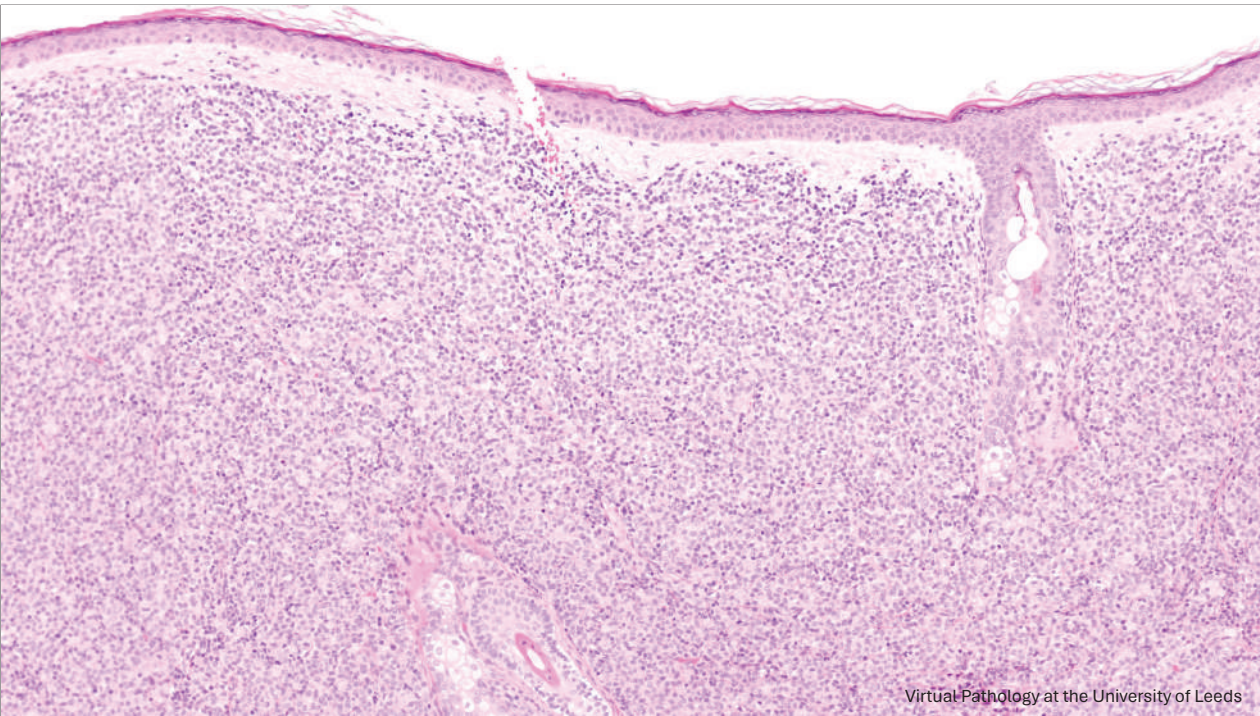
**LYMPHOMET** 

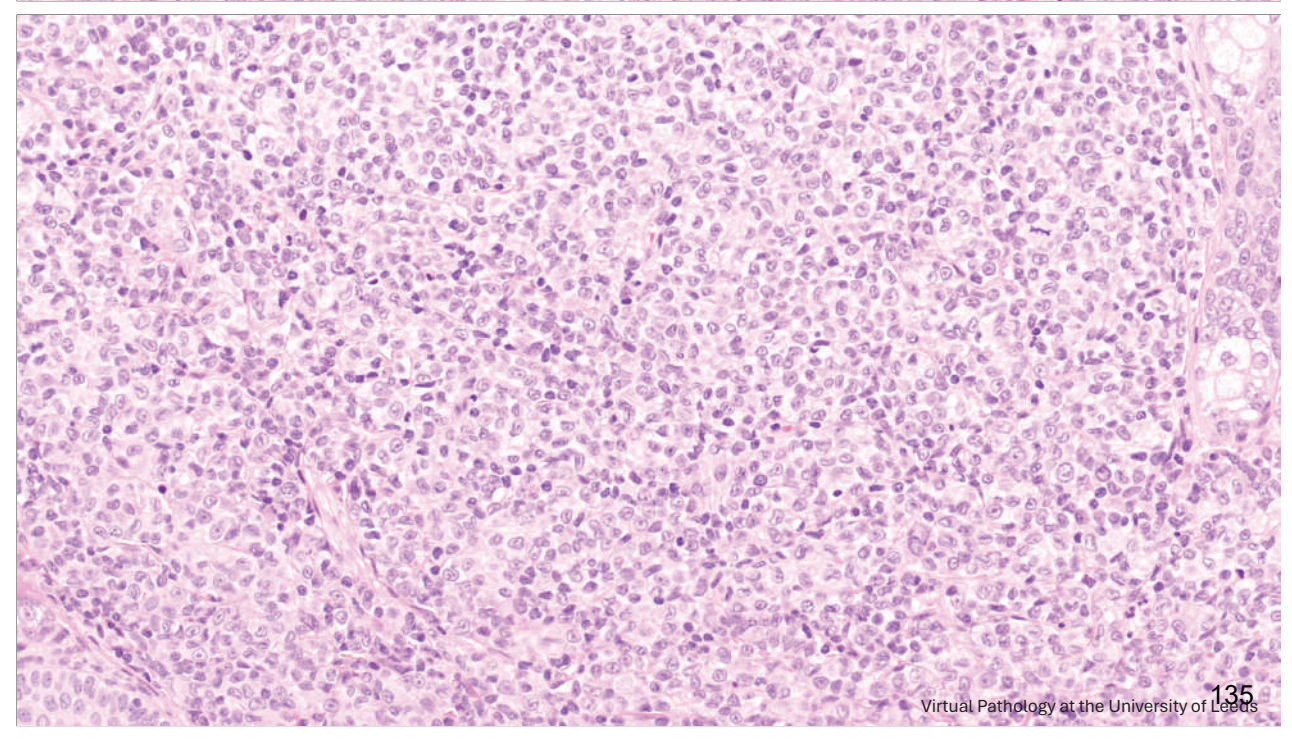
### LYMPHOPROLIFERATION ACRALE CD8+

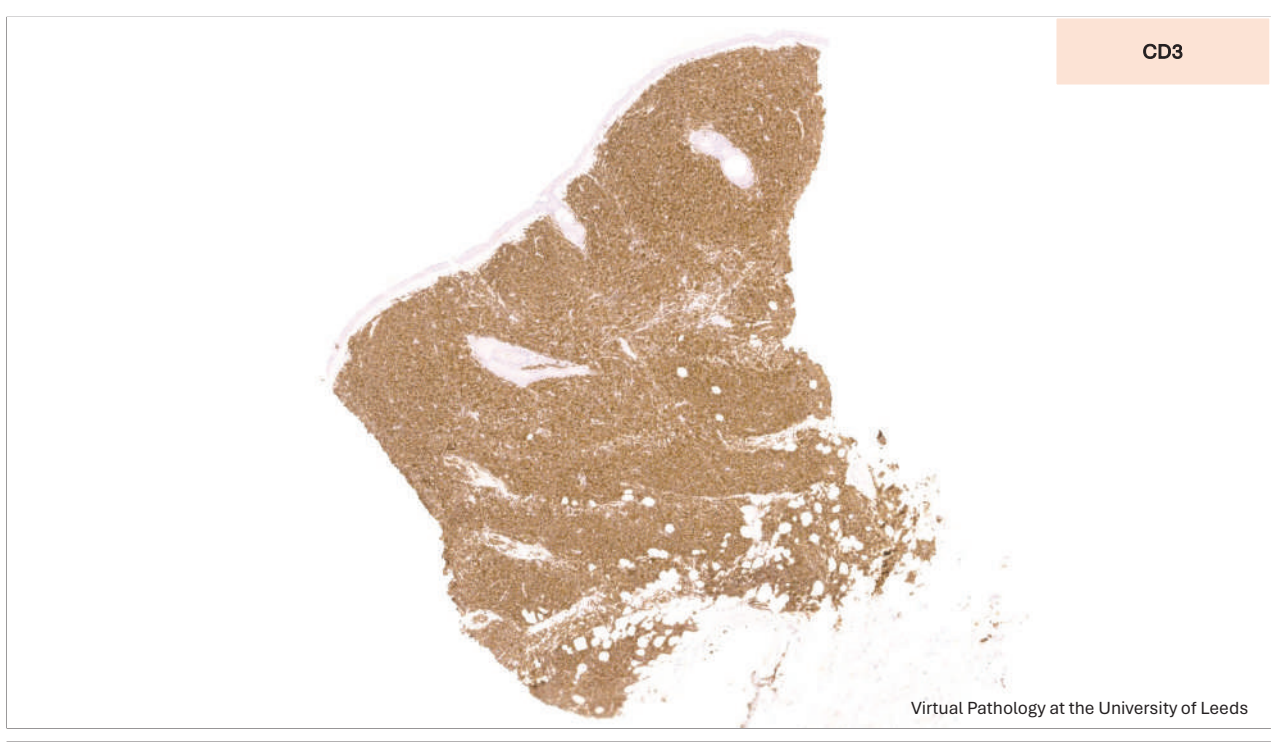
### **IMMUNOHISTOCHIMIE**

- CD8+, CD4-, CD3+
- Trou phénotypique interessant le CD2, CD5 et/ou CD7
- CD68 + en périnucléaire
- Marqueurs cytotoxiques +/- surtout TI1A
- Index de proliferation (Ki67) faible
- CD30-, CD56-, EBV-

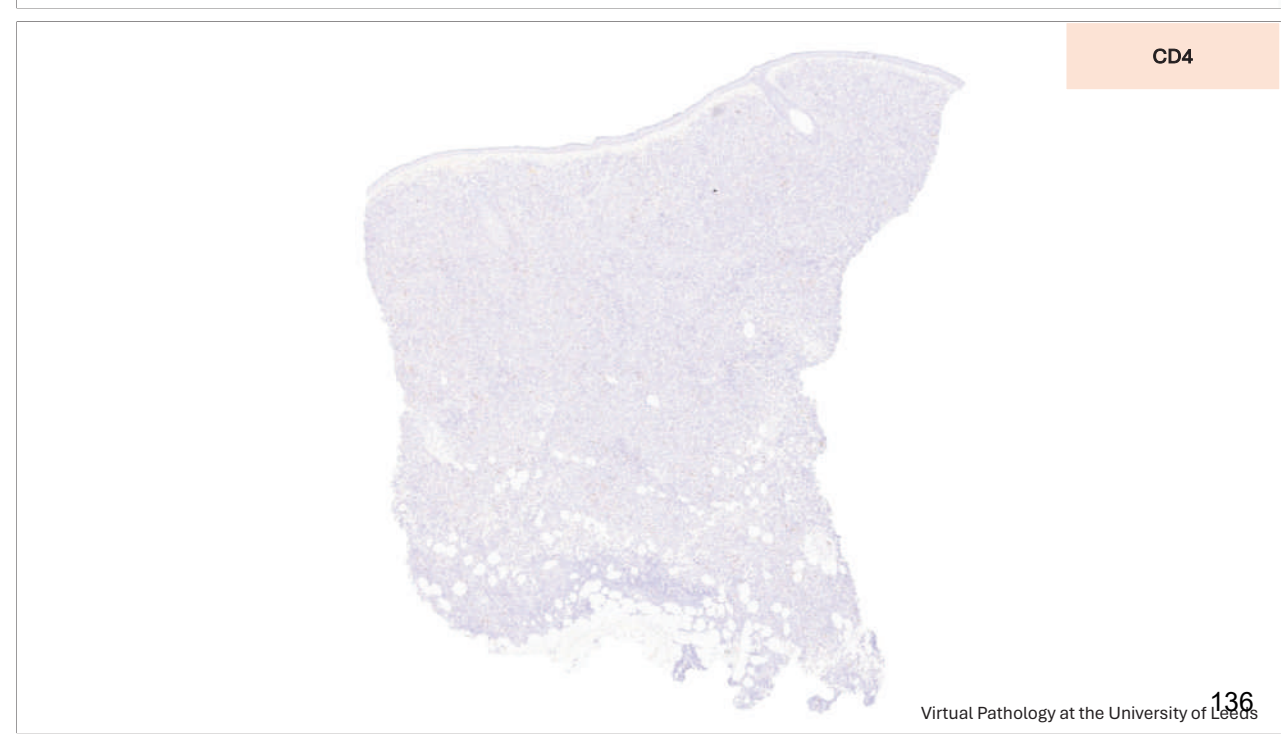


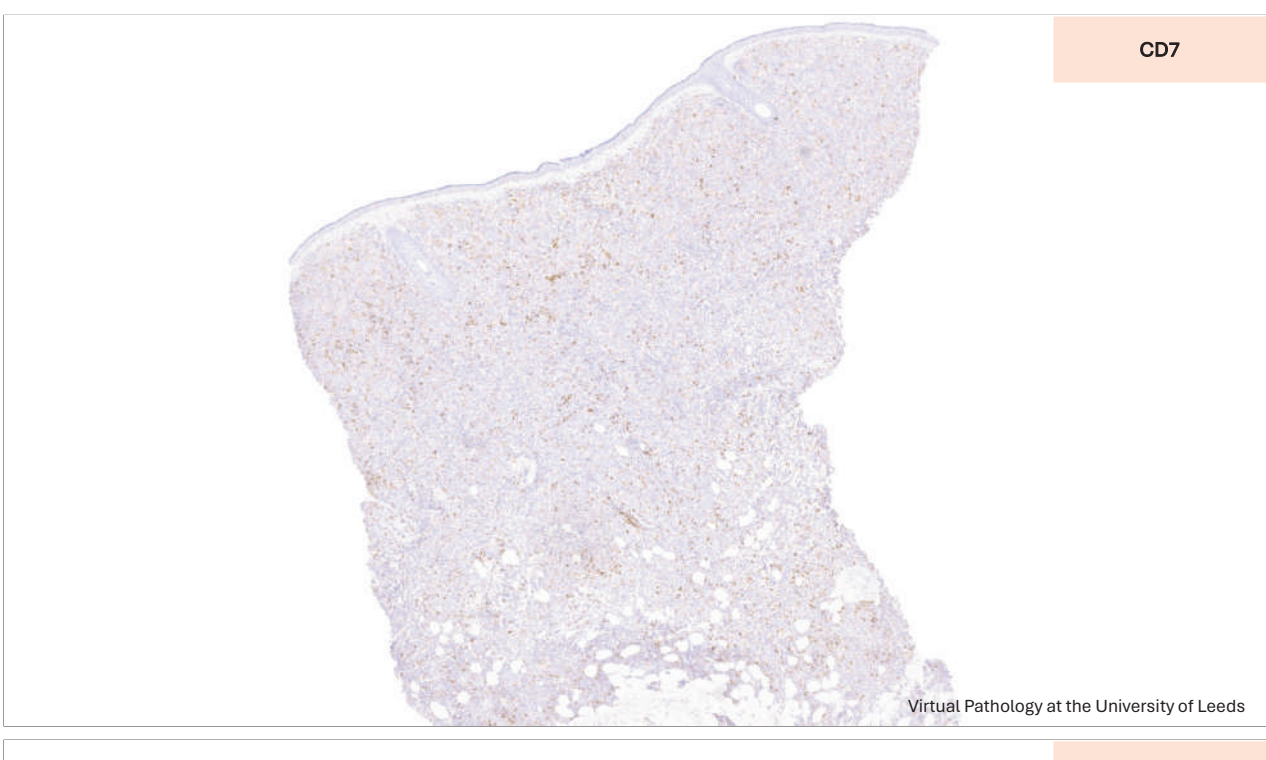


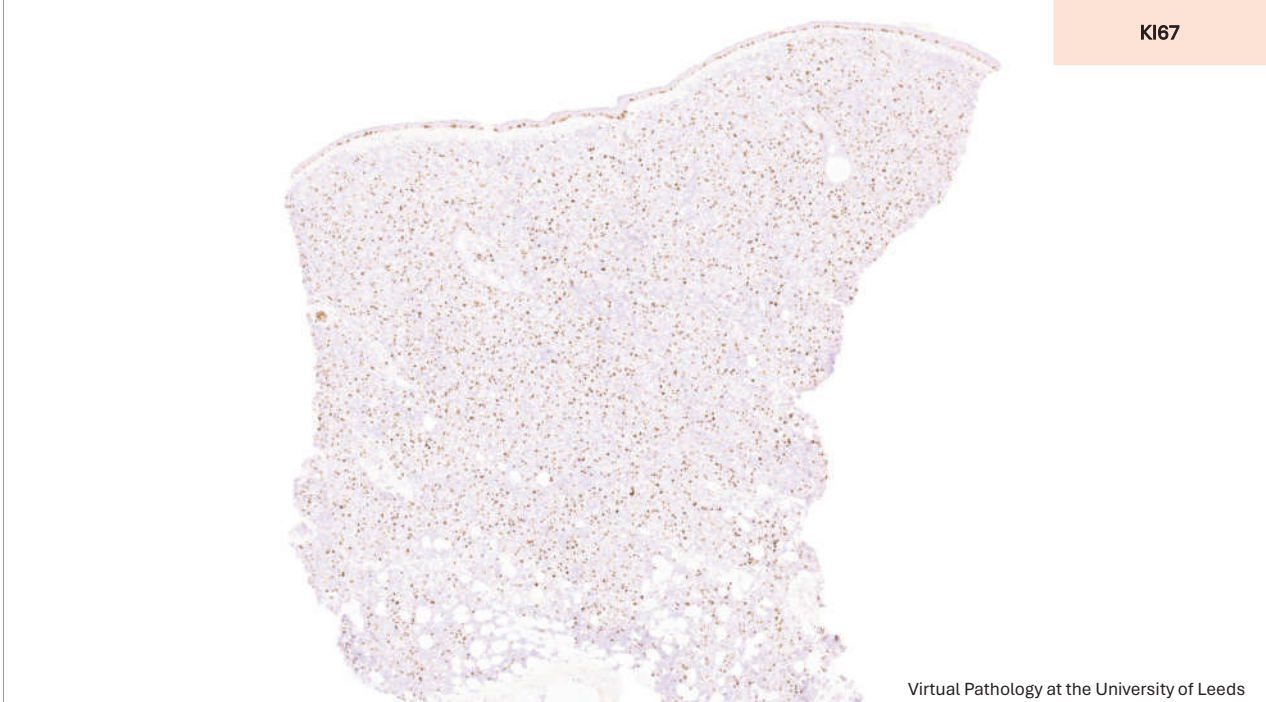












LYMPHOPROLIFERATION ACRALE CD8+

### **MOLECULAIRE**

• Réarrangement monoclonal du TCR

### **DIAGNOSTICS DIFFERENTIELS**

• Principal (à éliminer) = Lymphome agressif epidermotrope cytotoxique TCD8+

Lymphoprolifération acrale CD8+	Lymphome agressif epidermotrope cytotoxique TCD8+
Papule/nodule erythémateux	Papule/nodule ulcérée, nécrotique
Lésion unique	Multifocale, atteinte extra cutanée
Disposition acrale	Lésions généralisées
Evolution lente	Evolution rapide
Pas d'épidermotropisme	Epidermotropisme
CD8+ avec trou phénotypique	CD8+ avec trou phénotypique
Indice prolifération faible, PD1-	Indice prolifération elevé, PD1+
CD68+	CD68-

LYMPHOMET

LYMPHOPROLIFERATION ACRALE CD8+

### **DIAGNOSTICS DIFFERENTIELS**

• Principal (à éliminer) = Lymphome agressif epidermotrope cytotoxique TCD8+

Lymphoprolifération acrale CD8+	Lymphome agressif epidermotrope cytotoxique TCD8+	
Papule/nodule erythémateux	Papule/nodule ulcérée, nécrotique	
Lésion unique	Multifocale, atteinte extra cutanée	
Disposition acrale	Lésions généralisées	
Evolution lente	Evolution rapide	
Pas d'épidermotropisme	Epidermotropisme	
CD8+ avec trou phénotypique	CD8+ avec trou phénotypique	
Indice prolifération faible, PD1-	Indice prolifération elevé, PD1+	
CD68+	CD68-	

**LYMPHOMET** 

LYMPHOPROLIFERATION ACRALE CD8+

### **DIAGNOSTICS DIFFERENTIELS**

Lymphoprolifération acrale CD8+	Mycosis fongoide CD8+	Papulose lymphomatoide type D	
Papule/nodule erythémateux  Lésion unique  Disposition acrale  Evolution lente	3 stades évolutif macule > plaque > nodule Multifocale Zones photo-protégées Evolution lente	Papule/nodule erythémateux  Multifocale, disséminée  Tronc et extrémités  Evolution par poussées avec auto-regression	
Pas d'épidermotropisme	Epidermotropisme	Pas d'épidemotropisme	
CD8+ avec trou phénotypique CD30-	CD8+ avec trou phénotypique CD30-	CD8+ avec trou phénotypique CD30+	

### LYMPHOPROLIFERATION ACRALE CD8+

	INDOLENT	AGRESSIF
Lymphome T	MF stade précoce	MF stade avancé
75% des cas	Lymphoprolifération CD30 -Papulose lymphomatoide	Syndrome de Sezary
	-Lymphome anaplasique	Lymphome T γ/δ
	Lymphoprolifération CD4 à petites et moyennes cellules	Lymphome T CD8 cytotoxique
	Lymphoprolifération CD8 acrale	Lymphome T NOS (inclassable)
	Lymphome T sous cutané type panniculite	
Lymphome B	Lymphome B de la zone marginale	Lymphome B à grandes cellules, type jambe
25% des cas	Lymphome B centro folliculaire	Lymphome B intra-vasculaire

**LYMPHOMET** 

### LYMPHOPROLIFERATION ACRALE CD8+

### **EVOLUTION ET PRONOSTIC**

- · Evolution indolente
- · Pronostic excellent
- Pas d'atteinte extra cutanée
- 20% de rechute
- · Aucun decès rapporté

**LYMPHOME T** 

### LYMPHOPROLIFERATION ACRALE CD8+

### **BILAN INITIAL**

Examen clinique Type de lésion, nombre de tumeurs, surface corporelle, aires ganglionnaires

Biopsie cutanée > Examen histologique et biologie moléculaire

Biologie > Non systématique

Radiologie > Non systématique

Biopsie ganglionnaire Si ADP suspecte > 1.5cm : biopsie ganglionnaire (histologie et clonalité)

### LYMPHOPROLIFERATION ACRALE CD8+

### **TRAITEMENTS**

- · Exerese chirurgicale
- Radiothérapie

### **LYMPHOME T**

### LYMPHOPROLIFERATION ACRALE CD8+

**SYNTHESE** 

1% des lymphomes cutanés Entité récemment décrite Très rare Age moyen 50 ans, Pas de cas pédiatrique décrit

Diagnostic repose sur clinique + histologie + immunohistochimie + moléculaire

Papule ou nodule rouge violacé
Le plus souvent unique
Evolution lente
Disposition acrale
Pas d'atteinte extra cutanée
Pas d'altération de l'état général

Lymphoprolifération clonale de lymphocytes dermique diffuse Absence d'épidermotropisme CD8+, CD68+, CD30-, CD56-Trou phénotypique Réarrangement monoclonal TCR

### **Excellent pronostic**

Récidive 20%

Pas d'atteinte extra cutanée Aucun décès rapporté

Traitement chirurgical Radiothérapie

### **LYMPHOME T**

### LYMPHOPROLIFERATION ACRALE CD8+

### **BIBLIOGRAPHIE**

1/ García-Herrera A, Calonje E. Cutaneous Lymphomas with Cytotoxic Phenotype. Surg Pathol Clin. 2017 Jun;10(2):409-427.

2/ Petrella T, et al. Indolent CD8-positive lymphoid proliferation of the ear: a distinct primary cutaneous T-cell lymphoma? Am J Surg Pathol. 2007 Dec;31(12):1887-92.

3/ Kluk J, Indolent CD8-positive lymphoid proliferation of acral sites: three further cases of a rare entity and an update on a unique patient. J Cutan Pathol. 2016 Feb;43(2):125-36.

4/ Petrogiannis-Haliotis T, et al. Primary Cutaneous Multifocal Indolent CD8+ T-Cell Lymphoma: A Novel Primary Cutaneous CD8+ T-Cell Lymphoma. Biomedicines. 2023 Feb 20;11(2):634.

5/ Ormerod E, Primary cutaneous acral CD8+ T-cell lymphoma of the ear: A case report. J Cutan Pathol. 2019 Oct;46(10):790-793.

6/ Ryan AJ, Primary cutaneous peripheral T-cell lymphoma, unspecified with an indolent clinical course: a distinct peripheral T-cell lymphoma? Clin Exp Dermatol. 2010 Dec;35(8):892-6.

### LYMPHOPROLIFERATION ACRALE CD8+

### **BIBLIOGRAPHIE**

7/ Sahraoui G, et al. The enigmatic ear: Unveiling a rare case of a primary cutaneous CD8+ acral T-cell lymphoproliferative disorder with a literature review. Rare Tumors. 2023 Sep 22;15:20363613231204046.

8/ Wobser M, et al. CD68 expression is a discriminative feature of indolent cutaneous CD8-positive lymphoid proliferation and distinguishes this lymphoma subtype from other CD8-positive cutaneous lymphomas. Br J Dermatol. 2015 Jun;172(6):1573-1580.

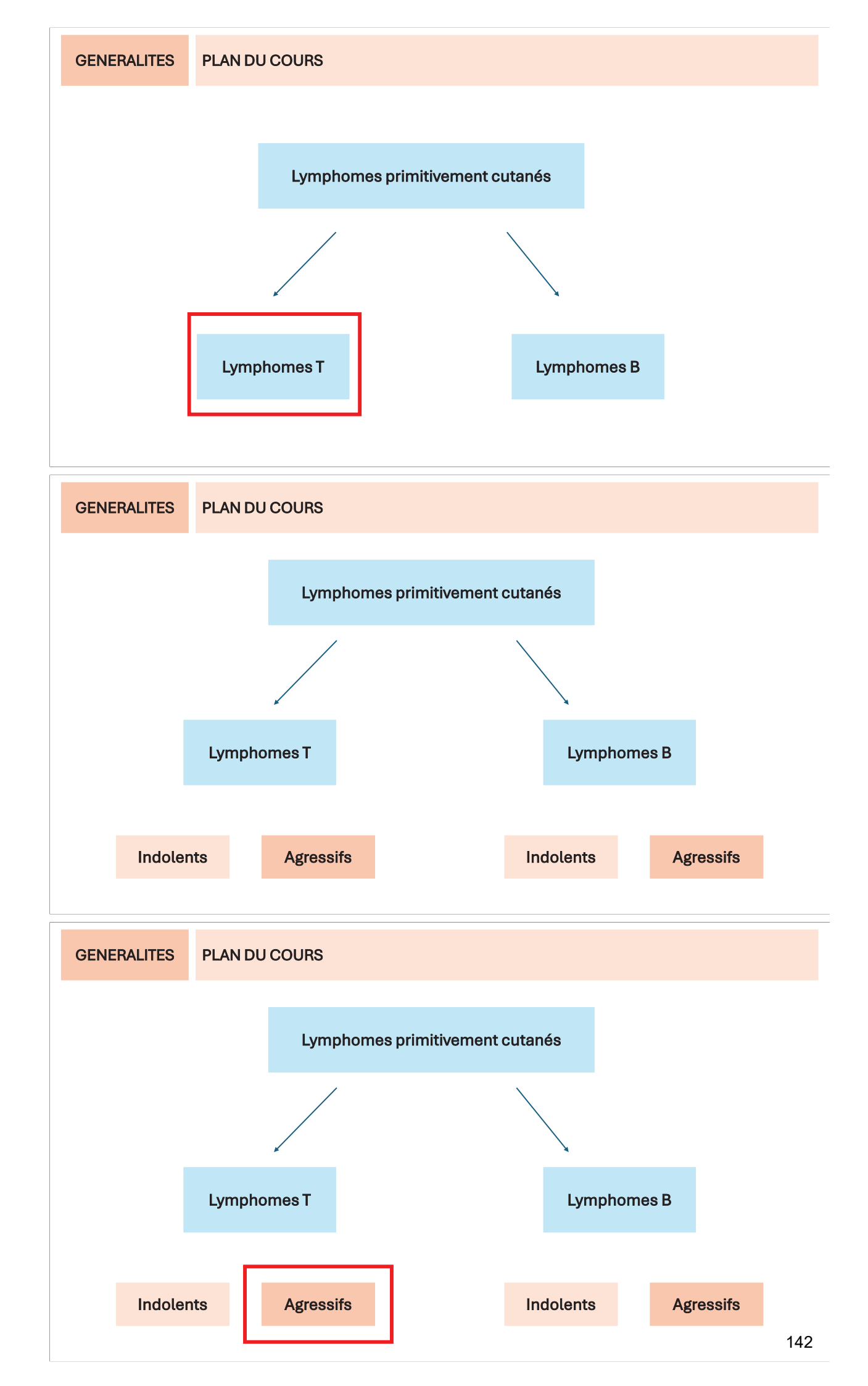
9/ Hathuc VM, et al. Primary Cutaneous Acral CD8+ T-Cell Lymphoma. Arch Pathol Lab Med. 2017 Nov;141(11):1469-1475.

10/ Swallow MA, et al. Clinical and Histologic Variants of CD8+ Cutaneous T-Cell Lymphomas. Cancers (Basel). 2024 Sep 5;16(17):3087. doi: 10.3390/cancers16173087.

11/ Tjahjono LA et al. Primary Cutaneous Acral CD8+ T-Cell Lymphoma-A Single Center Review of 3 Cases and Recent Literature Review. Am J Dermatopathol. 2019 Sep;41(9):644-648.

### Lymphomes cutanés T agressifs

# Lymphomes primitivement cutanés Lymphomes T Lymphomes B



### **SOMMAIRE**

- 1/ Mycosis fongoide
- 2/ Lymphoprolifération CD30+
- Papulose lymphomatoide
- Lymphome anaplasique à grandes cellules
- 3/ Lymphoprolifération CD4+ à petites et moyennes cellules
- 4/ Lymphome T sous cutané type panniculite
- 5/ Lymphoprolifération T CD8 acrale
- 6/ Syndrome de Sezary
- 7/ Lymphome T CD8+ épidermotrope agressif cytotoxique
- 8/ Lymphome T gamma/delta
- 9/ Lymphome NOS

### **LYMPHOMET**

### **SOMMAIRE**

- 1/ Mycosis fongoide
- 2/ Lymphoprolifération CD30-
- Papulose lymphomatoide
- Lymphome anaplasique à grandes cellules
- 3/ Lymphoprolifération CD4+ à petites et moyennes cellules
- 4/ Lymphome T sous cutané type panniculite
- 5/ Lymphoprolifération T CD8 acrale
- 6/ Syndrome de Sezary
- 7/ Lymphome T CD8+ épidermotrope agressif cytotoxique
- 8/ Lymphome T gamma/delta
- 9/ Lymphome NOS



**AGRESSIFS** 

### **LYMPHOMET**

### **SOMMAIRE**

### 1/ Syndrome de Sezary

- 2/ Lymphome T CD8+ épidermotrope agressif cytotoxique
- 3/ Lymphome T gamma/delta
- 4/ Lymphome NOS

### SYNDROME DE SEZARY (SS)

### **INTRODUCTION**

- Association d'une erythrodermie, d'adénopathies généralisées et de lymphocytes atypiques clonaux (cellules de Sezary) dans la peau, les ganglions et le sang périphérique
- Forme leucémique de lymphome T
- Prolifération de lymphocytes T (LT) périphériques auxillaires clonaux dans le derme avec **épidermotropisme**
- Premiere description en 1938 par Albert Sézary et Yves Bouvrain

**LYMPHOMET** 

### SYNDROME DE SEZARY (SS)

### INTRODUCTION

Syndrome de Sezary et mycosis fongoide : une même entité?

• Historiquement:

Nombreuses similitudes Partagent la même classification TNM Syndrome de Sezary = forme leucémique de MF?

• Actuellement:

Etudes phénotypiques en faveur de deux entités distinctes

MF: CCR4+ CLA+ (skin homing), CCR7- L-selectin- = resident memory T cells SS: CCR4+ CLA+ CCR7+ L-selectin+ (lymph node homing) = central memory T cells

**LYMPHOMET** 

### SYNDROME DE SEZARY (SS)

### **EPIDEMIOLOGIE**

- · 2% des lymphomes cutanés
- Très rare

Prévalence : 0,1 cas pour 1 000 000 habitants en Europe Incidence en augmentation

Terrain:

Exclusivement chez les adultes

Age moyen 60 ans environ

### **PHYSIOPATHOLOGIE**

Table 3 Series of genomic analyses that recently provided extensive insight into frequent or recurrent somatic mutations in SS patients

Gene	Outcome	Gene function	Implication of finding	Patient population	Mutation frequency	Reference
TP53	Loss-of-function Deletion	Maintains genomic stability	Cells less susceptible to apoptosis following DNA damage	N=68	30 % 72 %	Wang [64••]
CCR4	Gain-of-function Amplification	T cell migration into skin	Increased ability to infiltrate skin	N = 68	7 %	Wang [64••]
PLCGI	Increased expression	Mediator of TCR signaling	May play a role in transformation of MF to SS; T cell activation	N = 68 $N = 80$	21 % 9.1 %	Wang [64••] Kiel [9••]
CARD11	Amplification	Adaptor for TCR- mediated activation of NFkB signaling			15 % 6 %	Wang[64••] Kiel [9••]
AIRD1A	Loss-of-function Deletion	Epigenetic tumor suppressor	suppressor Ability to pass through cell cycle checkpoints		8 % 40.3 %	Wang [64••] Kiel [9••]
CDKN2A	Deletion	Tumor suppressor	Ability to pass through cell cycle checkpoints	N = 68	58 %	Wang [64••]
PTEN	Deletion	Inhibitor of PI3K signaling	Activated AKT signaling in resident skin SS cells	N = 44	36 %	Cristofoletti [59•]
ZEBI	Loss-of-function Deletion	Tumor suppressor	Alters recruitment of HDACs	N = 80	45.2 %	Kiel [9••]
JAK1/3	Gain-of-function	Cytokine signal adaptor	Constitutive signaling	N = 80	3 %	Kiel [9••]
STAT3/5B	Gain-of-function	Ligand-dependent transcription factor	Constitutive signaling	N = 80	3 %	Kiel [9••]
TNFR2	Gain-of-function	TNF receptor	Enhanced NFkB signaling	$N = 11^{a}$	5 %	Ungewickell [67+1]
PDCD1	Deletion	PD-1	Loss of inhibition of T cell activation; poorer prognosis	N = 68	36 %	Wang [64••]

<sup>&</sup>lt;sup>a</sup> Sample cohort included mycosis fungoides and Sézary syndrome patients

Kohnken R, Fabbro S, Hastings J, Porcu P, Mishra A. Sézary Syndrome: Clinical and Biological Aspects. Curr Hematol Malig Rep. 2016 Dec;11(6):468-479. doi: 10.1007/s11899-016-0351-0. PMID: 27704468.

### **LYMPHOMET**

### SYNDROME DE SEZARY (SS)

### **DIAGNOSTIC**

- Association de critères cliniques, biologiques, histopathologiques, moléculaires et immunohistochimiques
- Critères de la société internationale des lymphomes cutanés (ISCL) de 2002 :

Au moins 1000 cellules de Sezary par millimètre cube de sang; Rapport lymphocytaire T CD4/CD8 ≥10 et/ou perte d'expression aberrante des marqueurs T Réarrangement clonal du TCR (clone identique peau et sang) Présence d'anomalie chromosomiques du clone tumoral

> Réactualisation des critères à venir (avec marqueurs immunohistochimiques)

### **LYMPHOME T**

### SYNDROME DE SEZARY (SS)

### **CLINIQUE**

Erythrodermie Prurit très intense

Ectropion Alopécie Hyperkératose palmo-plantaire "Aspect linge mouillé" Faciès léonien Dystrophie unguéale

Oedeme Lichénification

Poly-adénopathies Altération de l'état général

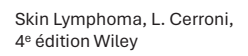




Leonine facies as a sign of leukaemia cutis BMJ 2018; 360 doi: https://doi.org/10.1136/bmj.j5605

### **CLINIQUE**









**LYMPHOMET** 

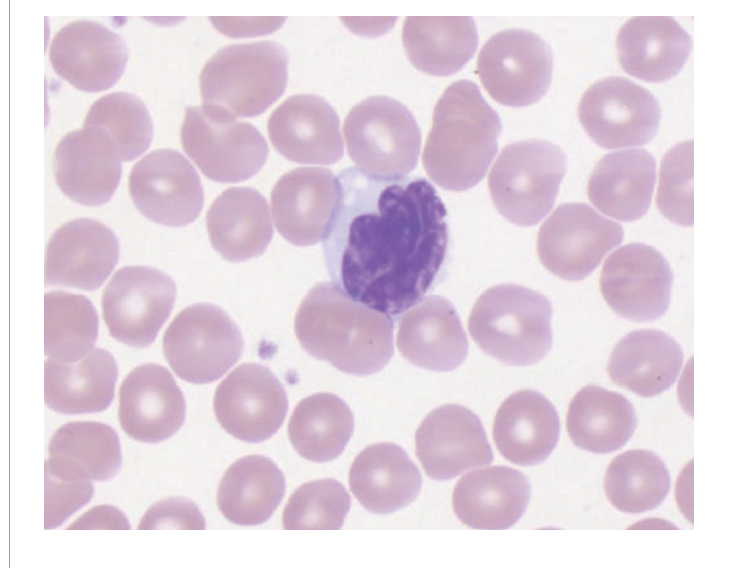
### SYNDROME DE SEZARY (SS)

### **HISTOPATHOLOGIE**

- Infiltrat monomorphe de lymphocytes atypiques
- Présence de **cellules de Sezary** (grande cellule avec noyau cérébriforme)
- Infiltrat en bande sous-épidermique et périvasculaire
- Epidermotropisme (peut être absent)

**LYMPHOMET** 

### SYNDROME DE SEZARY (SS)



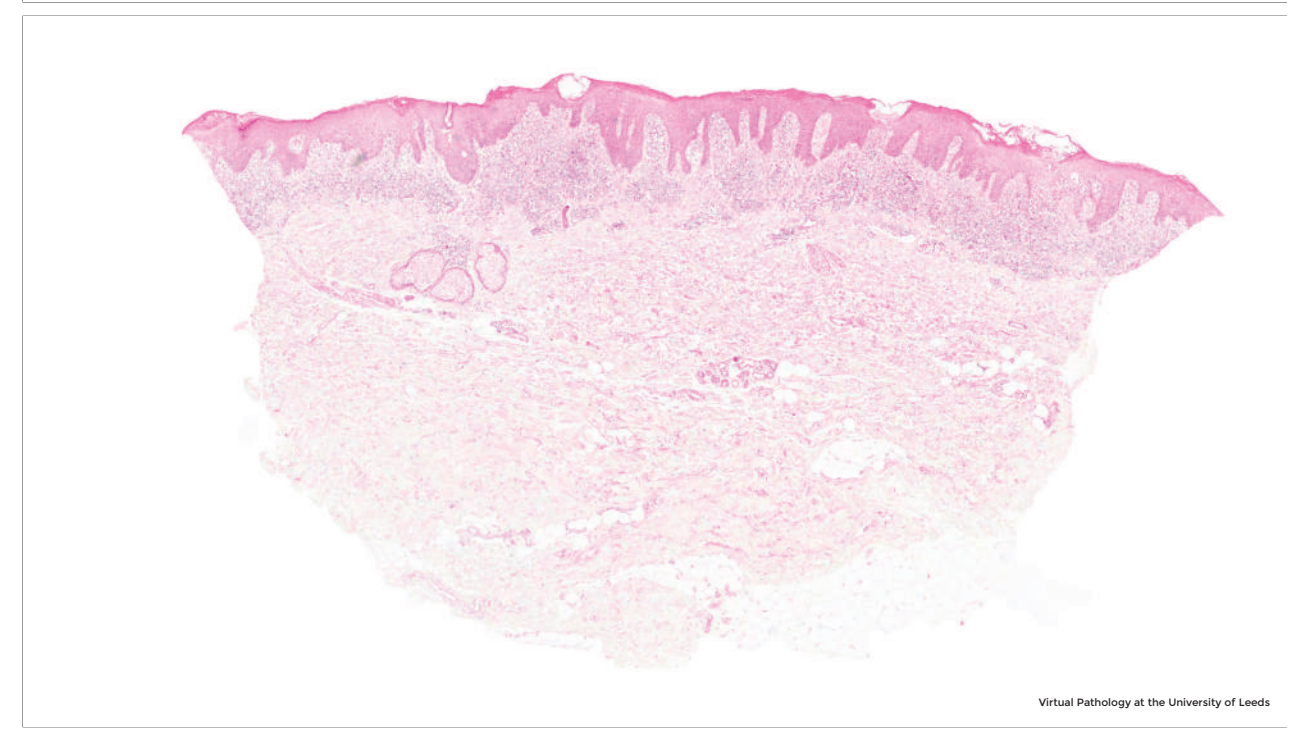
Cellule de Sezary

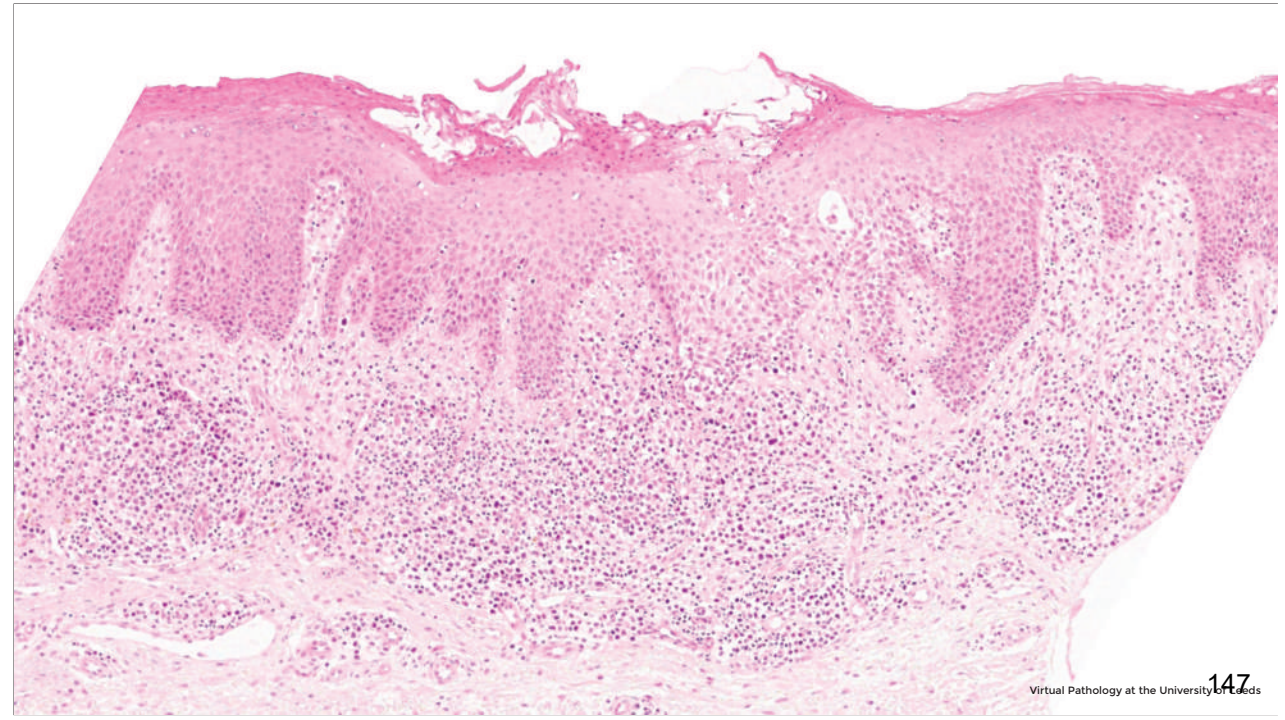


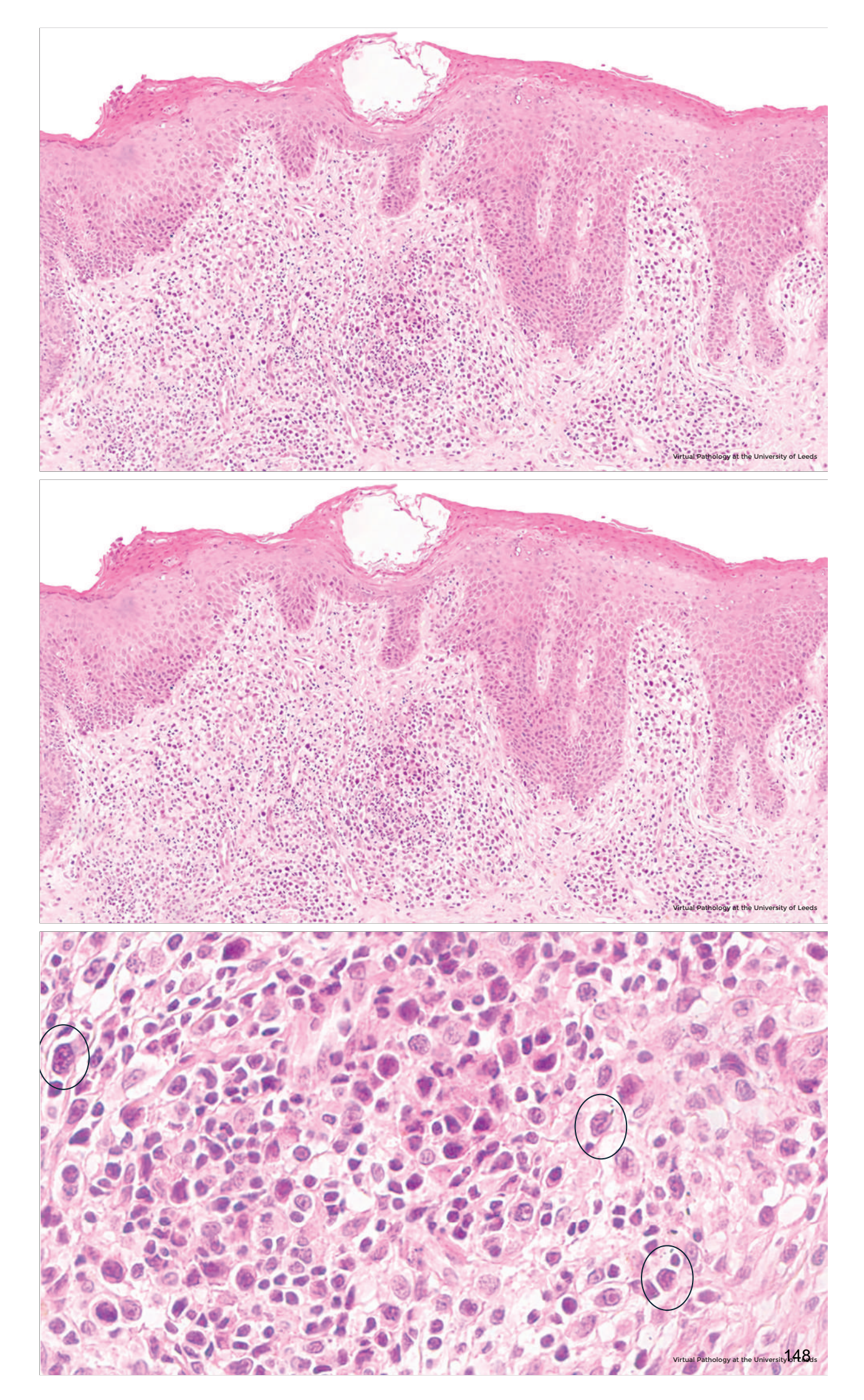
### **IMMMUNOHISTOCHIMIE**

### Classiquement:

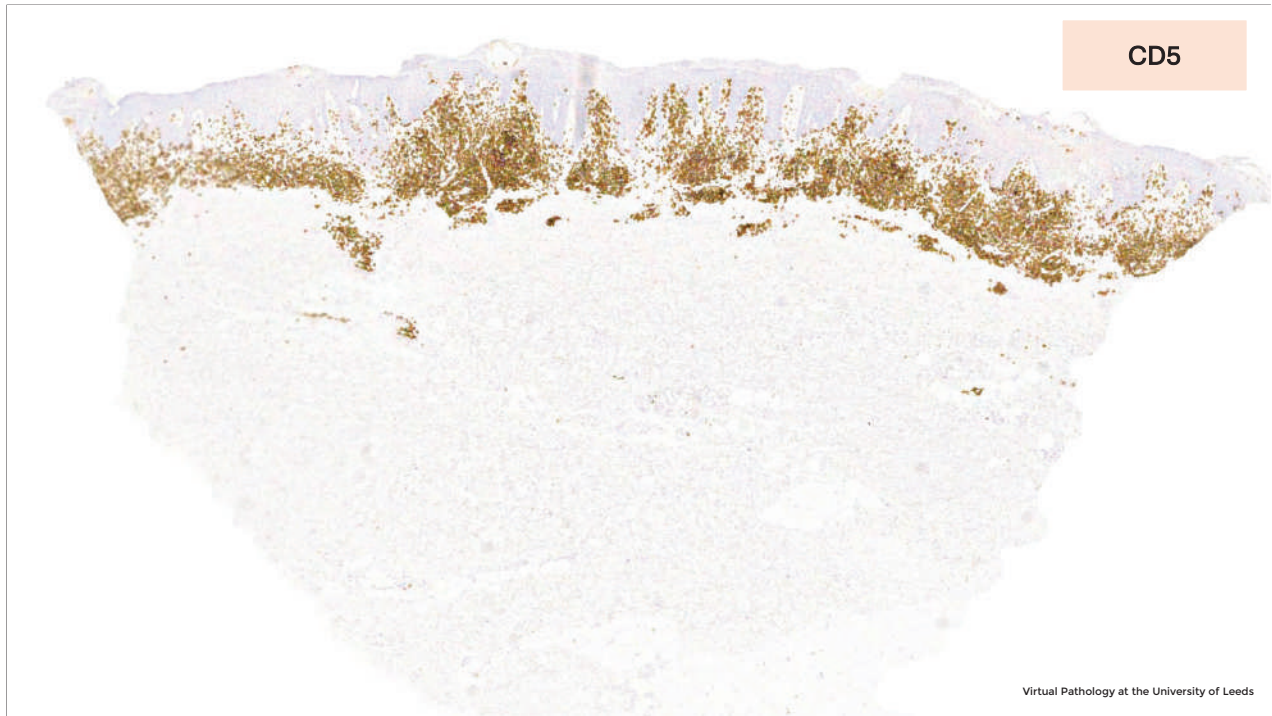
- CD3+, CD4+, CD8-
- Perte d'expression de CD7 ou CD26 (CD7- ou CD26-)
- CD45RO + et CD45RA-
- Phénotype TFH: PD1/CD279+, ICOS, CXCL13
- KIR3DL2/CD158k+
- TCRα/β+, CD25+
- Expression à des taux élevés des récepteurs de domiciliation cutanée CCR4, CCR10, CLA et CCR6

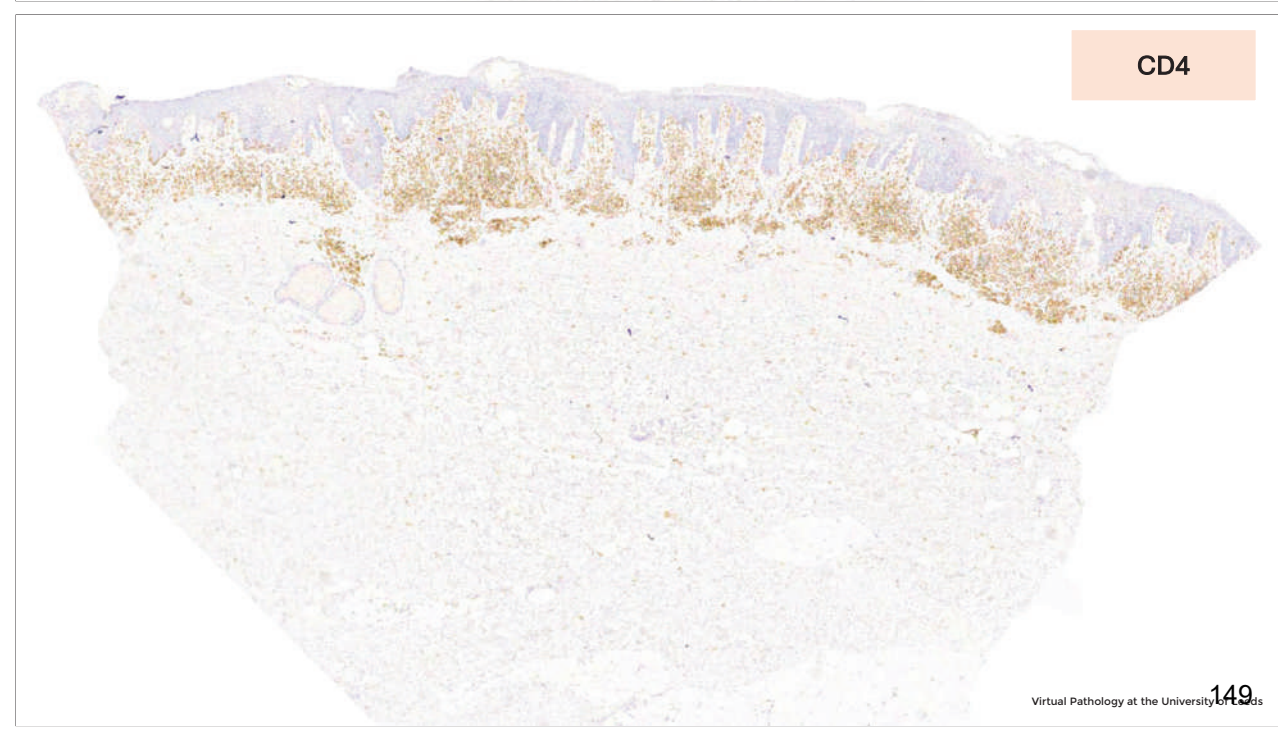


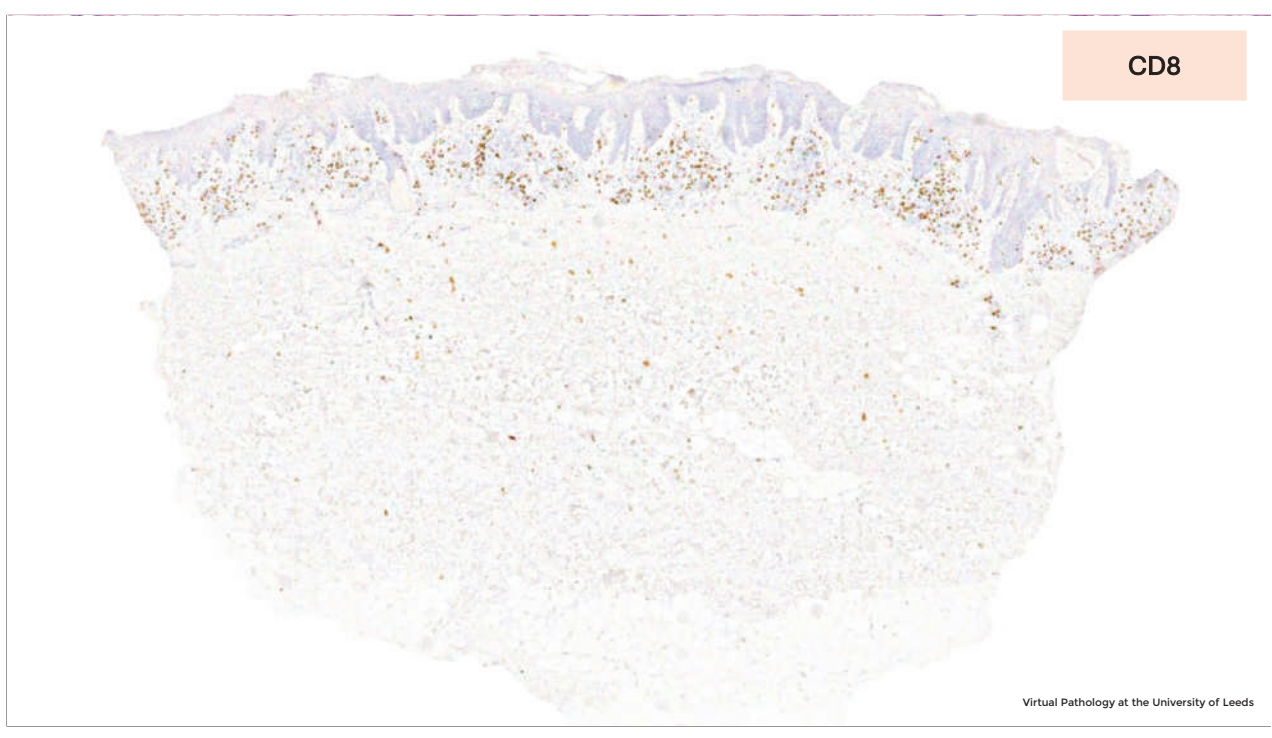














SYNDROME DE SEZARY (SS)

### **ASPECTS MOLECULAIRES**

• Réarrangement monoclonal du gène TCR

### IMMUNOPHENOTYPAGE LYMPHOCYTAIRE SANGUIN

- · Indispensable
- Rapport CD4/CD8 > 10
- Perte d'expression d'antigène pan-T (surtout CD7 ou CD26)
- Expression de KIR3DL2/CD158k

KIR3DL2/CD158k+



Marqueur sanguin le plus sensible et spécifique

**LYMPHOMET** 

SYNDROME DE SEZARY (SS)

### IMMUNOPHENOTYPAGE LYMPHOCYTAIRE SANGUIN

- Indispensable
- Rapport CD4/CD8 > 10
- Perte d'expression d'antigène pan-T (surtout CD7 ou CD26)
- Expression de KIR3DL2/CD158k

KIR3DL2/CD158k+



Marqueur sanguin le plus sensible et spécifique

### **LYMPHOME T**

### SYNDROME DE SEZARY (SS)

### Classification TNM

Compte des cellules de Sezary sanguine

B0 < 250/μL

B1 > 250/ $\mu$ L et <1000 / $\mu$ L = pré Sezary

B2 > 1000/μL *= Sezary* 

TNMB stages	
Skin	
T <sub>1</sub>	Limited patches," papules, and/or plaques† covering < 10% of the skin surface. May further stratify into T <sub>tit</sub> (patch only) vs T <sub>tit</sub> (plaque ± patch)
T <sub>2</sub>	Patches, papules or plaques covering ≥ 10% of the skin surface. May further stratify into T <sub>2x</sub> (patch only) vs T <sub>2b</sub> (plaque ± patch).
T <sub>3</sub>	One or more tumors‡ (≃ 1-cm diameter)
T <sub>4</sub>	Confluence of erythema covering ≥ 80% body surface area
Node	
N <sub>0</sub>	No clinically abnormal peripheral lymph nodes§; biopsy not required
N <sub>4</sub>	Clinically abnormal peripheral lymph nodes; histopathology Dutch grade 1 or NCI LN <sub>b,2</sub>
N <sub>18</sub>	Clone negative#
N <sub>1b</sub>	Clone positive#
N <sub>2</sub>	Clinically abnormal peripheral lymph nodes; histopathology Dutch grade 2 or NCI LN <sub>5</sub>
N <sub>Pa</sub>	Clone negative#
Nab	Clone positive#
N <sub>3</sub>	Clinically abnormal peripheral lymph nodes; histopathology Dutch grades 3-4 or NCI LN <sub>4</sub> ; clone positive or negative
N <sub>s</sub>	Clinically abnormal peripheral lymph nodes; no histologic confirmation
Visceral	
Mo	No visceral organ involvement:
M <sub>1</sub>	Visceral involvement (must have pathology confirmation and organ involved should be specified)
Blood	
B0	Absence of significant blood involvement: ≤ 5% of peripheral blood lymphocytes are atypical (Sézary) cells∥
Box	Clone negative#
Bob	Clone positive#
B1	Low blood furnor burden: > 5% of peripheral blood lymphocytes are atypical (Sézary) cells but does not meet the criteria of B <sub>2</sub>
Bta	Clone negative#
B <sub>1b</sub>	Clone positive#
82	High blood tumor burden: ≥ 1000/µL Sézary cells/ with positive clone#

Olsen E, Vonderheid E, Pimpinelli N, Willemze R, Kim Y, Knobler R, Zackheim H, Duvic M, Estrach T, Lamberg S, Wood G, Dummer R, Ranki A, Burg G, Heald P, Pittelkow M, Bernengo MG, Sterry W, Laroche L, Trautinger F, Whittaker S; ISCL/EORTC. Revisions to the staging and classification of mycosis fungoides and Sezary syndrome: a proposal of the International Society for Cutaneous Lymphomas (ISCL) and the cutaneous lymphoma task force of the European Organization of Research and Treatment of Cancer (EORTC). Blood. 2007 Sep 15;110(6):1713-22. doi: 10.1182/blood-2007-03-055749. Epub 2007 May 31. Erratum in: Blood. 2008 May 1;1116640.

PMID: 17540844.

### **DIAGNOSTIC DIFFERENTIELS**

- Autres étiologies d'erythrodermie chez l'adulte :
  - · Dermatoses inflammatoires:
  - Psoriasis
  - Eczema
  - Lichen plan

- Toxidermie
- DRESS syndrome
  - · Dermatoses infectieuses :
  - VIH
  - Gale
- · Idiopathique (pas de cause retrouvée)

**LYMPHOMET** 

### SYNDROME DE SEZARY (SS)

### **DIAGNOSTIC DIFFERENTIELS**

- Autres lymphomes T primitivement cutané notamment mycosis fongoïde érythrodermique
- Pré Sezary
- · Lymphome systémique avec manifestations cutanées

**LYMPHOMET** 

### SYNDROME DE SEZARY (SS)

### **EVOLUTION ET PRONOSTIC**

- · Mauvais pronostic
- Médiane de survie entre 2 et 4 ans
- Survie à 5 ans : 30% environ
- Nombreux décès secondaire aux complications de l'erythrodermie ou des traitements

### SYNDROME DE SEZARY (SS)

	INDOLENT		AGRESSIF	
Lymphome T	MF stade précoce		MF stade avancé	
75% des cas	Lymphoprolifération CD30 -Papulose lymphomatoide -Lymphome anaplasique  Lymphoprolifération CD4 à petites et moyennes cellules  Lymphoprolifération CD8 acrale		Syndrome de Sezary	
			Lymphome T γ/δ	
			Lymphome T CD8 cytotoxique	
			Lymphome T NOS (inclassable	e)
	Lymphome T sous cutané type panniculite	•		
Lymphome B	Lymphome B de la zone marginale		Lymphome B à grandes cellule type jambe	es,
25% des cas	Lymphome B centro folliculair	е	Lymphome B intra-vasculaire	

**LYMPHOME T** 

### SYNDROME DE SEZARY (SS)

### **BILAN INITIAL**

Examen clinique	$\supset$	Type de lésion, nombre de tumeurs, surface corporelle, aires ganglionnaires
Biopsie cutanée	$\supset$	Examen histologique et biologie moléculaire
Biologie	$\supset$	Bilan standard avec LDH, recherche de cellules de Sezary circulantes, immunophénotypage lymphocytaire avec KIR3DL2
Radiologie	$\supset$	Scanner TAP (ou TEP TDM)
Biopsie ganglionnaire	$\gg$	Si ADP suspecte > 1.5cm : biopsie ganglionnaire (histologie et clonalité)

LYMPHOMET

### SYNDROME DE SEZARY (SS)

### **TRAITEMENTS**

### • En première intention :

Photochimiothérapie associée au Methotrexate Dermocorticoides de classe très forte en association

### • En deuxième intention:

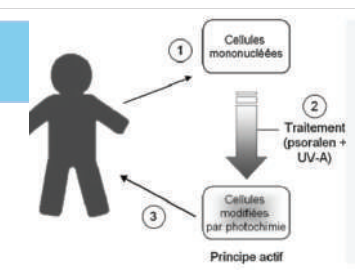
Mogamulizumab ou essais cliniques

### • En troisième intention:

Chimiothérapie

Allogreffe de cellules souches hématopoiétiques

Traitement systémique obligatoire



### **TRAITEMENTS**

### Focus photochimiothérapie extracorporelle (PCE)

- Irradiation ex vivo des cellules mononuclées par des rayons ultraviolets A (UVA) en présence d'une molécule photoactivable (8-methoxypsoralène (8-MOP).
- En centre spécialisé, nécessite un bon capital veineux
- Rythme: une séance toutes les 2 semaines pendant 3 mois puis espacer les séances
- Traitement de première intention en cas d'atteinte érythrodermique
- Réponse dans environ 60%

**LYMPHOME T** 

SYNDROME DE SEZARY (SS)

### **SUIVI**

- · Clinique tous les mois à 3 mois
- Biologique avec cytométrie de flux tous les mois à 3 mois
   Objectif: stade B0 = cellules de Sezay sanguine < 250/µL</li>
- Scannographique si atteinte ganglionnaire initialement présente tous les 3 mois

**LYMPHOMET** 

SYNDROME DE SEZARY (SS)

**SYNTHESE** 

2% des lymphomes cutanés Très rare Exclusivement chez adultes Age moyen 60 ans

Association de critères cliniques, biologiques, histopathologiques, moléculaires et immunohistochimiques

**Erythrodermie + adénopathies** généralisées + lymphocytes atypiques clonaux peau, ganglion et **sang** 

Forme leucémique de lymphome cutané

LT matures auxiliaires (CD4) avec atypies cellulaires, cellules de Sezary CD7- ou CD26-, KIR3DL2/CD158k+ Epidermotropisme Réarrangement monoclonal TCR

### Mauvais pronostic

Survie à 5 ans < 30% Bilan biologique et radiologique

Traitement systémique nécessaire 1/ Photochimiothérapie extra-corporelle associée au Methotrexate 2/ Mogamulizumab 3/ Chimiothérapie et allogreffe

### SYNDROME DE SEZARY (SS)

### **BIBLIOGRAPHIE**

- 1/ Willemze R, et al. The 2018 update of the WHO-EORTC classification for primary cutaneous lymphomas. Blood. 2019 Apr 18:133(16):1703-1714.
- 2/ Kohnken R, et al. Sézary Syndrome: Clinical and Biological Aspects. Curr Hematol Malig Rep. 2016 Dec;11(6):468-479.
- 3/ Larocca C, Kupper T. Mycosis Fungoides and Sézary Syndrome: An Update. Hematol Oncol Clin North Am. 2019 Feb;33(1):103-120.
- 4/ Cristofoletti C,et al. Sézary Syndrome, recent biomarkers and new drugs. Chin Clin Oncol. 2019 Feb;8(1):2
- 5/ A. Caudrona et al. Actualités sur le syndrome de Sezary 2011 Elsevier Masson, doi:10.1016/j.annder.2011.09.188
- 6/ Miyashiro D, Sanches JA. Mycosis fungoides and Sézary syndrome: clinical presentation, diagnosis, staging, and therapeutic management. Front Oncol. 2023 Apr 14;13:1141108
- 7/ SAURAT 6e edition; 2017

**LYMPHOME T** 

### SYNDROME DE SEZARY (SS)

### **BIBLIOGRAPHIE**

- 8/ Leonine facies as a sign of leukaemia cutis, BMJ 2018; 360 doi: https://doi.org/10.1136/bmj.j5605
- 9/ Skin Lymphoma, L. Cerroni, 5e édition Wiley
- 10/ Olsen E, et al. Revisions to the staging and classification of mycosis fungoides and Sezary syndrome: a proposal of the International Society for Cutaneous Lymphomas (ISCL) and the cutaneous lymphoma task force of the European Organization of Research and Treatment of Cancer (EORTC). Blood. 2007 Sep 15;110(6):1713-22.
- 11/ Van der Weyden C, et al. Rare T-Cell Subtypes. Cancer Treat Res. 2019;176:195-224
- 12/ Latzka J, et al. EORTC consensus recommendations for the treatment of mycosis fungoides/Sézary syndrome Update 2023. Eur J Cancer. 2023 Dec;195:113343.

**LYMPHOME T** 

### **SOMMAIRE**

1/ Syndrome de Sezary

### 2/ Lymphome T CD8+ épidermotrope agressif cytotoxique

3/ Lymphome T gamma/delta

4/ Lymphome NOS

#### **INTRODUCTION**

- Lymphoprolifération de LT matures CD8+ avec épidermotropisme, d'évolutivité rapide avec clinique agressive
- Terminologie anglaise « aggressive epidermotropic cutaneous CD8+ lymphoma »

**LYMPHOMET** 

LYMPHOME T CUTANE CD8+ EPIDERMOTROPE AGRESSIF CYTOTOXIQUE

#### **INTRODUCTION**

- Entité récemment individualisée
- Historiquement « Ketron-Goodman disease » = lymphome pagétoide disséminé
- Mise en évidence du phénotype CD8+ par Agnarsson et al en 1990
- Dénomination « CD8 positive aggressive epidermotropic T-cell lymphoma » par Berti et al en 1999
- Classification lymphome primitivement cutané OMS 2018

**LYMPHOMET** 

LYMPHOME T CUTANE CD8+ EPIDERMOTROPE AGRESSIF CYTOTOXIQUE

### **EPIDEMIOLOGIE**

- 1% des lymphomes cutanés
- Possible à tout âge mais plutôt chez les adultes
- · Sexe ratio équilibré

#### LYMPHOME T CUTANE CD8+ EPIDERMOTROPE AGRESSIF CYTOTOXIQUE

# CLINIQUE Forme classique

Papules, nodules ou tumeurs Caractere éruptif (**rapidité d'évolution**) **Ucération** et/ou **nécrose** 

Pas de distribution spécifique **Lésions souvent disséminées** Atteinte muqueuse fréquente

Signes généraux avec alteration de l'état général





Robson A, Aggressive epidermotropic cutaneous CD8+ lymphoma: a cutaneous lymphoma with distinct clinical and pathological features. Report of an EORTC Cutaneous Lymphoma Task Force Workshop. Histopathology. 2015 Oct;67(4):425-41. doi: 10.1111/his.12371. Epub 2015 Feb 24. PMID: 24438036.

#### **LYMPHOMET**

#### LYMPHOME T CUTANE CD8+ EPIDERMOTROPE AGRESSIF CYTOTOXIQUE





Marzano AV, Fatal CD8+ epidermotropic cytotoxic primary cutaneous T-cell lymphoma with multiorgan involvement. Dermatology. 2005;211(3):281-5. doi: 10.1159/000087025. PMID: 16205076.

#### **LYMPHOME T**

# LYMPHOME T CUTANE CD8+ EPIDERMOTROPE AGRESSIF CYTOTOXIQUE



Gormley RH, Hess SD, Anand D, Junkins-Hopkins J, Rook AH, Kim EJ. Primary cutaneous aggressive epidermotropic CD8+ T-cell lymphoma. J Am Acad Dermatol. 2010 Feb;62(2):300-7. doi: 10.1016/j.jaad.2009.02.035. Epub 2009 Nov 26. PMID: 19944484.

#### LYMPHOME T CUTANE CD8+ EPIDERMOTROPE AGRESSIF CYTOTOXIQUE

# CLINIQUE Forme peu fréquente

Plaques hyperkératosiques Diffuses

"Ketron Goodman disease"



Carlesimo M, Tammaro A, Cox C, Mari E, Fidanza L, Narcisi A, Cacchi C, Camplone G. A Case of Ketron-Goodman Disease. Case Rep Dermatol. 2009 Sep 12;1(1):39-43. doi: 10.1159/000236057. PMID: 20652112; PMCID: PMC2895208.

**LYMPHOME T** 

LYMPHOME T CUTANE CD8+ EPIDERMOTROPE AGRESSIF CYTOTOXIQUE

#### **HISTOPATHOLOGIE**

- Epidermotropisme
- Infiltrat lymphocytaire atypique (souvent jusqu'au tissu sous cutané)
- Inconstant:

Altération épidermique avec nécrose kératinocytaire, acanthose ou atrophie épidermique Angioinvasion Destruction des annexes Ulcération

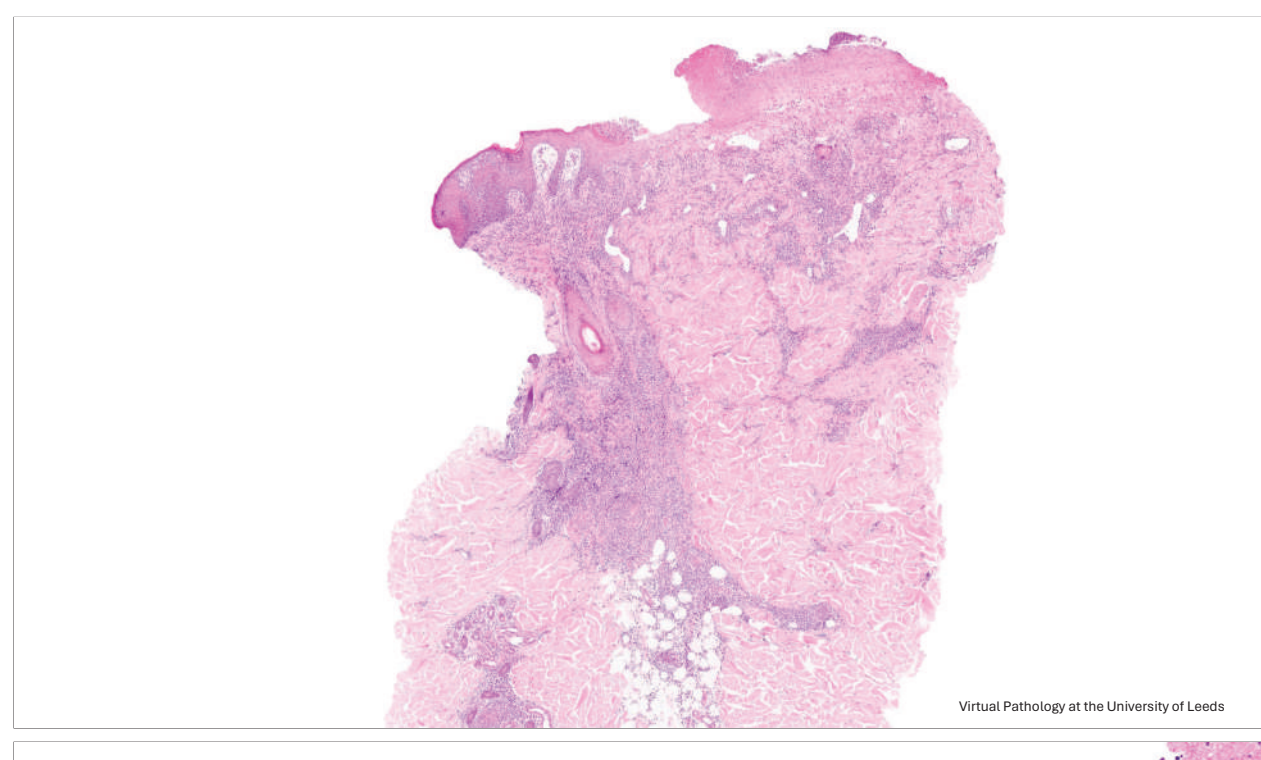
**LYMPHOMET** 

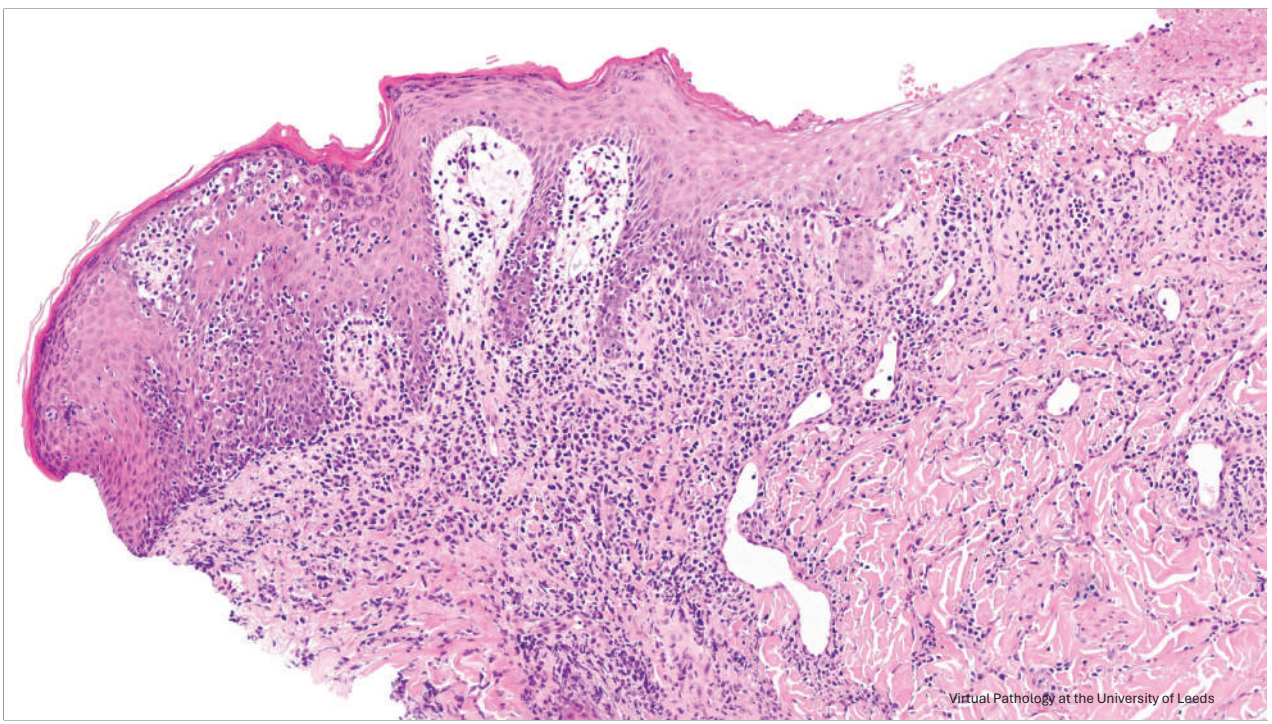
LYMPHOME T CUTANE CD8+ EPIDERMOTROPE AGRESSIF CYTOTOXIQUE

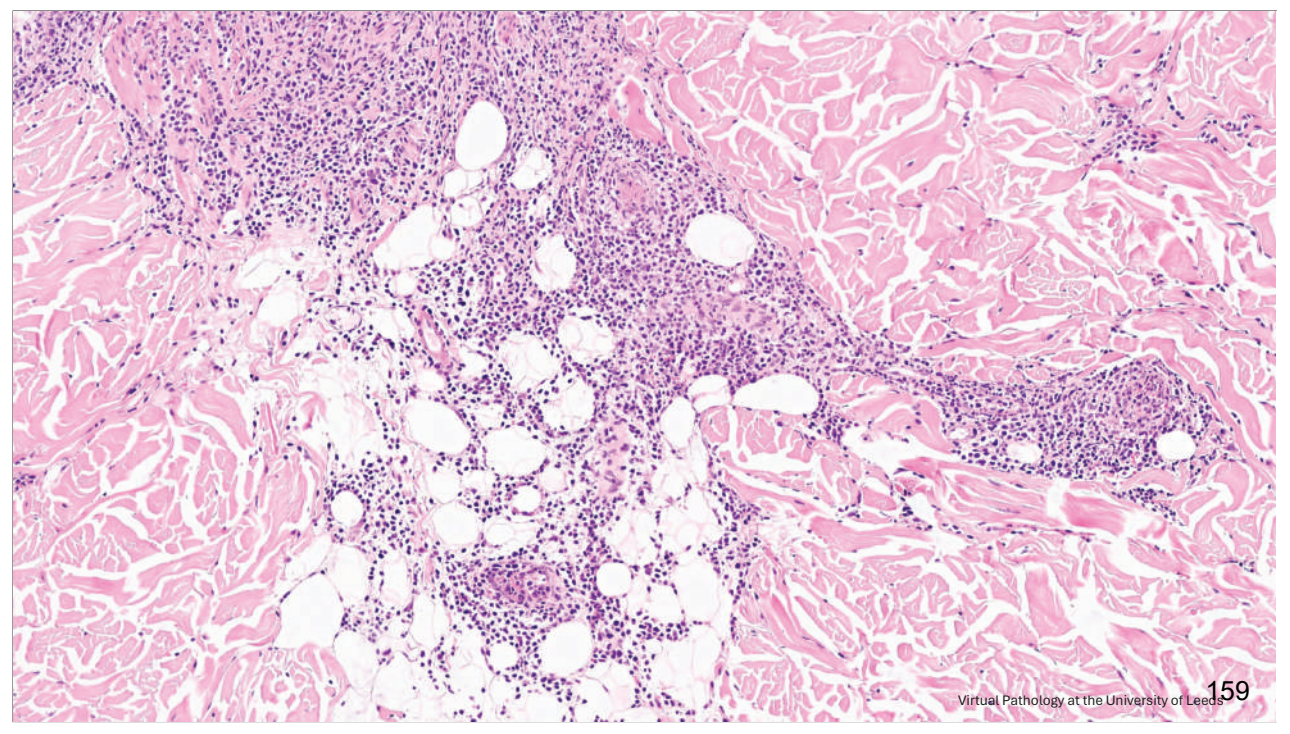
#### **IMMUNOHISTOCHIMIE**

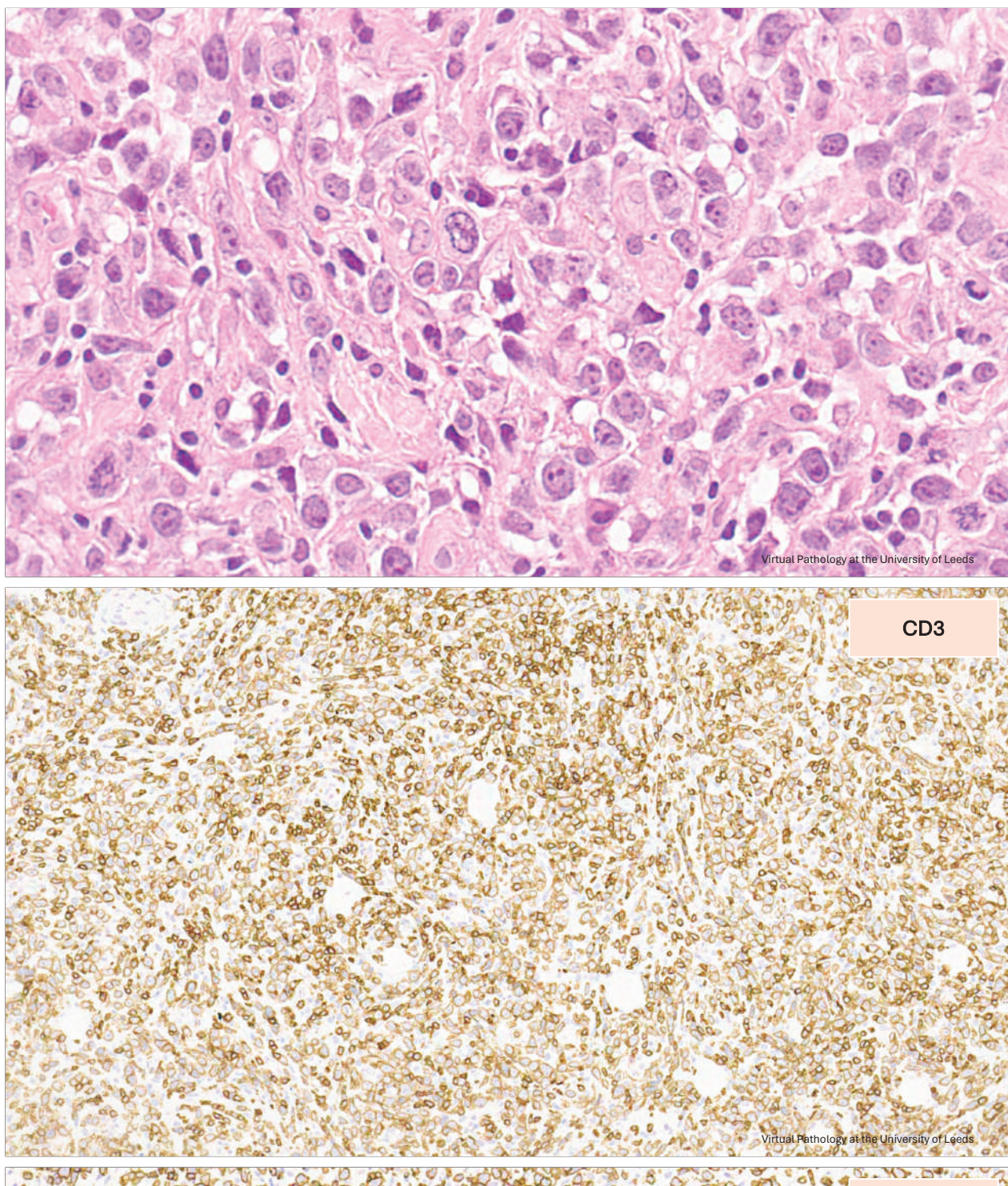
#### Classiquement:

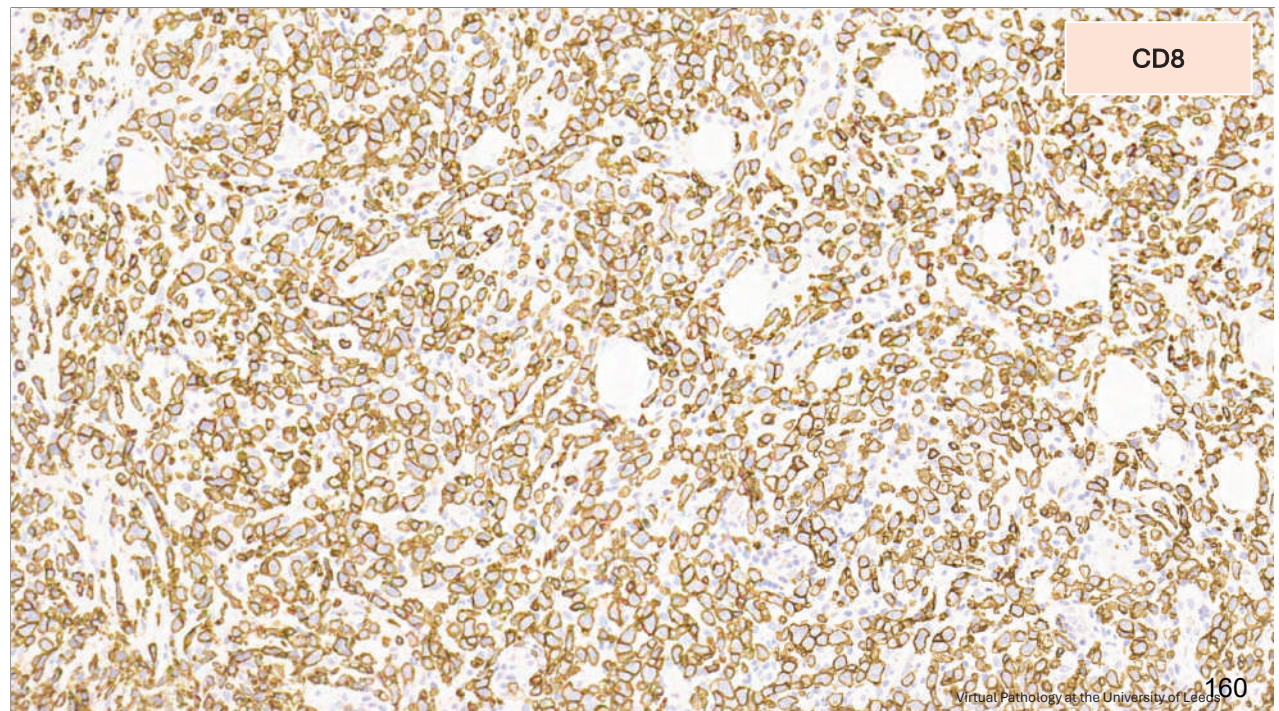
- CD3+, CD4-, CD8+
- CD45RA+, bF-1+, CD30-, CD45RO-
- Expression de protéines cytotoxiques (perforine, granzymeB, TIA1)
- Possible trou phénotypique (perte du CD2, CD5, CD7, CD15)
- CD56 +/- mais EBER-
- Indice de prolifération elevé (Ki67)

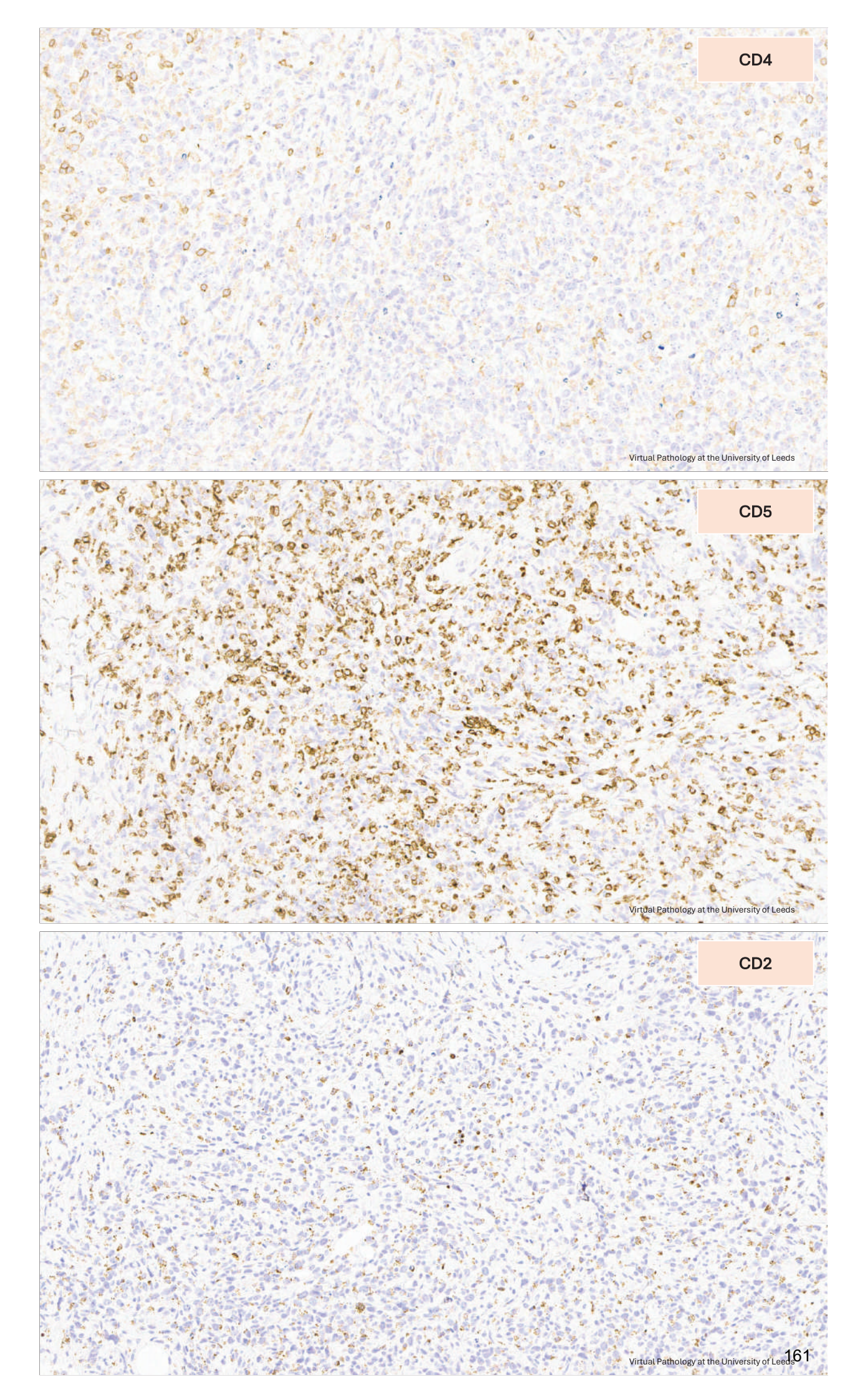


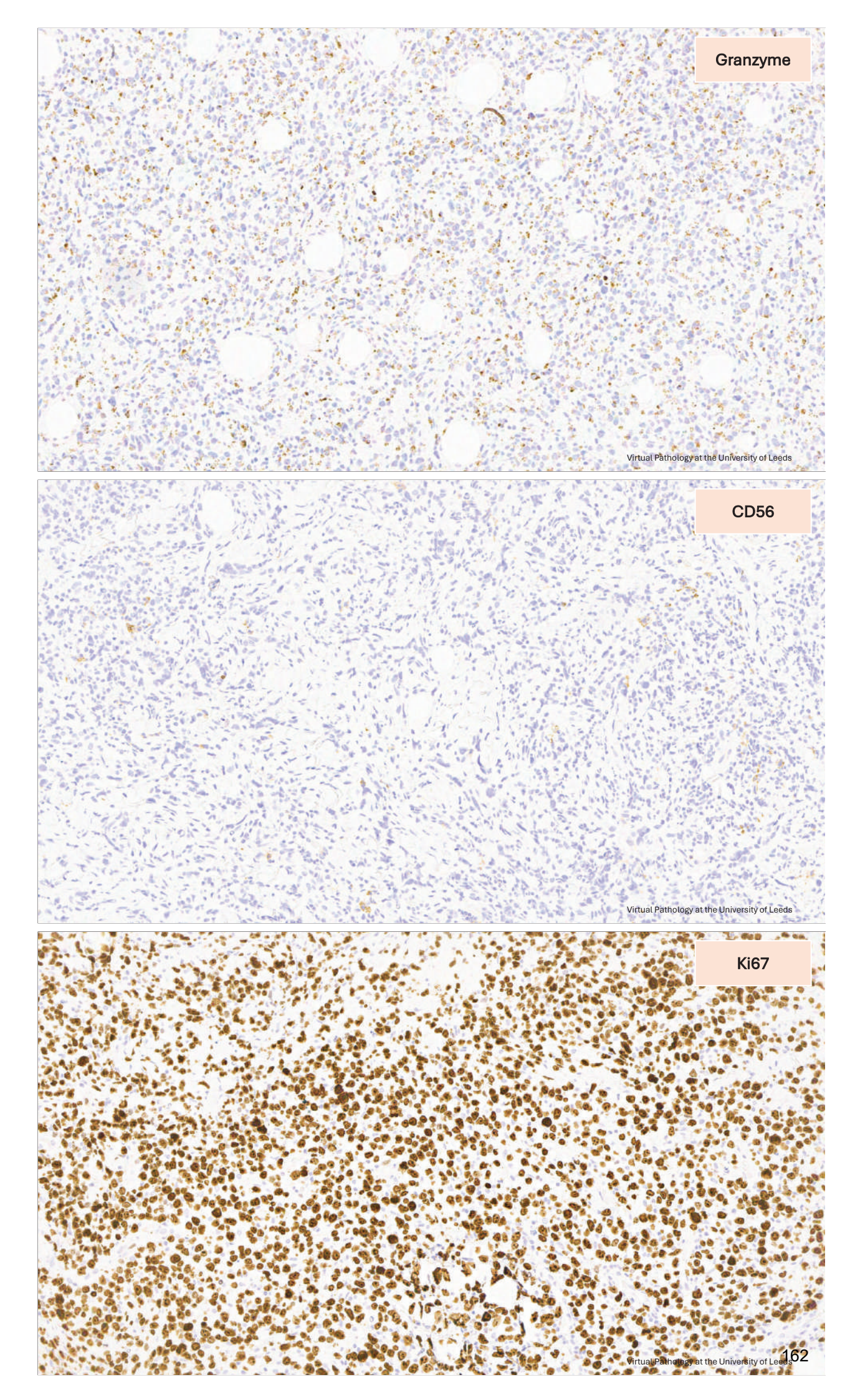












# LYMPHOME T CUTANE CD8+ EPIDERMOTROPE AGRESSIF CYTOTOXIQUE

#### **MOLECULAIRE**

- · Réarrangement monoclonal du TCR
- Fusions gene JAK2
- · Mutations activatrices de la voie JAK/STAT

**LYMPHOMET** 

LYMPHOME T CUTANE CD8+ EPIDERMOTROPE AGRESSIF CYTOTOXIQUE

#### **MOLECULAIRE**

- · Réarrangement monoclonal du TCR
- Fusions gene JAK2
- · Mutations activatrices de la voie JAK/STAT

**LYMPHOMET** 

LYMPHOME T CUTANE CD8+ EPIDERMOTROPE AGRESSIF CYTOTOXIQUE

#### **DIAGNOSTIC DIFFERENTIEL**

Lymphome T NK extra ganglionnaire nasal

Homme jeune

Tableau d'obstruction nasale unilatérale, rhinorrée purulente, épistaxis récidivante et sinusite chronique

Lésions ulcéro nécrotiques des cavités nasosinusiennes et de la zone médio-faciale CD2+ CD56+ EBER+ (association EBV) Marqueurs cytotoxiques+ CD4- CD8-

# LYMPHOME T CUTANE CD8+ EPIDERMOTROPE AGRESSIF CYTOTOXIQUE

Table II. Differences between mycosis fungoides and primary cutaneous aggressive epidermotropic CD8<sup>+</sup>

#### **DIAGNOSTIC DIFFERENTIEL**

#### Mycosis fongoide CD8+

Nofal A, Abdel-Mawla MY, Assaf M, Salah E. Primary cutaneous aggressive epidermotropic CD8+T-cell lymphoma: proposed diagnostic criteria and therapeutic evaluation. J Am Acad Dermatol. 2012 Oct;67(4):748-59. doi: 10.1016/j.jaad.2011.07.043. Epub 2012 Jan 9. PMID: 22226429.

1-cen lymphoma		
	Mycosis fungoides	Primary cutaneous aggressive epidermotropi CD8 <sup>+</sup> T-cell lymphoma
History	Long, usually years	Short, weeks to months
Clinical features		·
Symptom	Itching is common	Pain is common
Precursor lesions	Usually patches at first	Plaques and tumors from start
Central ulceration	Uncommon	Very common
Extent	Localized or generalized	Generalized
Mucosal involvement	Very rare	Common
General condition	Usually good	Usually bad
Histopathology		
Epidermotropism	Early, less pronounced	All stages, marked
Keratinocyte necrosis	Rare	More common
Depth	Less deep	More deep to subcutaneous fat
Adnexal structures	In syringotropic and folliculotropic variants	Usually involved
Angiocentricity and angioinvasion	Very rare	Relatively common
Immunophenotype	·	-
CD4	+	_
CD8	Rarely positive	Always positive
Course	Indolent, even in CD8 <sup>+</sup> cases	Aggressive
Metastatic spread		
Incidence	Rare and late	Common and early
Nodal	Common	Lymph nodes are usually spared
Extranodal	Lung, spleen, and liver	Lung, testis, and CNS
Therapy	- 1	
Conventional therapy for CD4+ CTCL	Usually effective	Not effective, some may worsen
Systemic chemotherapy	Rarely needed	Almost always needed
Prognosis	Good	Poor

#### **LYMPHOME T**

#### LYMPHOME T CUTANE CD8+ EPIDERMOTROPE AGRESSIF CYTOTOXIQUE

#### **BILAN INITIAL**

Examen clinique

Type de lésion, nombre de tumeurs, surface corporelle, aires ganglionnaires

Biopsie cutanée

Examen histologique et biologie moléculaire

**Biologie** 

Bilan standard avec LDH, immunophénotypage lymphocytaire, clonalité sanguine, beta2microglobulinémie

Radiologie

Scanner TAP (ou TEP TDM) avec IRM cérébrale

Biopsie ganglionnaire

Si ADP suspecte > 1.5cm : biopsie ganglionnaire (histologie et clonalité)

#### **LYMPHOME T**

#### LYMPHOME T CUTANE CD8+ EPIDERMOTROPE AGRESSIF CYTOTOXIQUE

### **STADES**

T: atteinte cutanée

T1: lésion cutanée solitaire:

T1a: lésion < 5 cm T1b: lésion > 5 cm

T2: atteinte cutanée régionale: multiples lésions limitées à 1 ou 2 régions contiguës du corps:

T2a: surface cutanée atteinte < 15 cm

T2b: > 15 cm et < 30 cm

T2c: > 30 cm

T3: atteinte cutanée généralisée

T3a : multiples lésions cutanées touchant deux régions cutanées non contiguës

T3b: multiples lésions touchant plus de trois régions du corps

N: atteinte ganglionnaire

NO: absence d'adnéopathie clinique ou d'envahissement histologique ganglionnaire

N1: atteinte ganglionnaire périphérique dans l'aire ganglionnaire (1 adénopathie) de drainage de l'atteinte cutanée

N2: atteinte d'au moins 2 adénopathies ou d'au moins une adénopathie en dehors d'une aire ganglionnaire de drainage

N3: atteinte d'une adénopathie profonde

M0: absence d'atteinte viscérale

M1 : atteinte viscérale : doit être documentée histologiquement

Par définition un lymphome cutané primitif non épidermotrope est NO, MO au diagnostic.

EORTC: European Organization for Research and Treatment of Cancer; ISCL: International society for cutaneous lymphoma; MF: syndrome de Sézary; SS: syndrome de Sézary.

# LYMPHOME T CUTANE CD8+ EPIDERMOTROPE AGRESSIF CYTOTOXIQUE

# **EVOLUTION ET PRONOSTIC**

- · Pronostic médiocre
- Survie à 5 ans < 20%
- · Atteinte ganglionnaire et métastatique fréquente
- Phénotype CD2/CD71 serait associé à une forme plus agressive
- Phénotype CD21/CD7 à une forme moins agressive
- · Résistance aux traitements

#### **LYMPHOME T**

# LYMPHOME T CUTANE CD8+ EPIDERMOTROPE AGRESSIF CYTOTOXIQUE

	INDOLENT	AGRESSIF
Lymphome T	MF stade précoce	MF stade avancé
75% des cas	Lymphoprolifération CD30 -Papulose lymphomatoide	Syndrome de Sezary
	-Lymphome anaplasique	Lymphome T γ/δ
	Lymphoprolifération CD4 à petites et moyennes cellules	Lymphome T CD8 cytotoxique
		Lymphome T NOS (inclassable)
	Lymphoprolifération CD8 acrale	
	Lymphome T sous cutané type panniculite	
Lymphome B	Lymphome B de la zone marginale	Lymphome B à grandes cellules, type jambe
25% des cas	marginato	typo jambo
	Lymphome B centro folliculaire	Lymphome B intra-vasculaire

#### **LYMPHOMET**

# LYMPHOME T CUTANE EPIDERMOTROPE CD8+ AGRESSIF CYTOTOXIQUE

#### **TRAITEMENTS**

- · Non codifié
- Urgent
- Prise en charge conjointe avec hématologues
- Polychimiothérapie

#### LYMPHOME T CUTANE EPIDERMOTROPE CD8+ CYTOTOXIQUE

**SYNTHESE** 

**1%** des lymphomes cutanés Très rare

Diagnostic repose sur clinique + histologie + immunohistochimie + moléculaire

Papules, nodules ou tumeurs
Caractere éruptif (rapidité d'évolution)
Caractère disséminé
Ucération et/ou nécrose
Atteinte muqueuse fréquente
Signes généraux

Possible forme papules hyperkératosiques diffuses (anciennement "Ketron Goodman disease")

Lymphoprolifération clonale LT CD8+ atypiques avec épidermotropisme

Trou phénotypique possible Réarrangement monoclonal TCR

Diagnostics différentiels:

**MF CD8+** épidermotropisme commun mais clinique distincte

Lymphome T NK nasal

Pronostic médiocre Atteinte ganglionnaire et métastases fréquente

Traitement non codifié, polychimiothérapie Résistance aux thérapeutiques

#### **LYMPHOME T**

#### LYMPHOME T CUTANE EPIDERMOTROPE CD8+ CYTOTOXIQUE

#### **BIBLIOGRAPHIE**

1/ Guitart J et al. Primary cutaneous aggressive epidermotropic cytotoxic T-cell lymphomas: reappraisal of a provisional entity in the 2016 WHO classification of cutaneous lymphomas. Mod Pathol. 2017 May;30(5):761-772.

2/ Berti E, et al. Primary cutaneous CD8-positive epidermotropic cytotoxic T cell lymphomas. A distinct clinicopathological entity with an aggressive clinical behavior. Am J Pathol. 1999 Aug;155(2):483-92.

3/ Agnarsson BA, et al. Cutaneous T cell lymphoma with suppressor/cytotoxic (CD8) phenotype: identification of rapidly progressive and chronic subtypes. J Am Acad Dermatol. 1990 Apr;22(4):569-77.

4/ García-Herrera A, Calonje E. Cutaneous Lymphomas with Cytotoxic Phenotype. Surg Pathol Clin. 2017 Jun;10(2):409-427.

5/ Swallow MA et al Clinical and Histologic Variants of CD8+ Cutaneous T-Cell Lymphomas. Cancers (Basel). 2024 Sep 5;16(17):3087.

#### **LYMPHOME T**

#### LYMPHOME T CUTANE EPIDERMOTROPE CD8+ CYTOTOXIQUE

### **BIBLIOGRAPHIE**

6/ Kato K, et al. Molecular genetic and cytogenetic analysis of a primary cutaneous CD8-positive aggressive epidermotropic cytotoxic T-cell lymphoma. Int J Hematol. 2016 Feb;103(2):196-201

7/ Robson A, Aggressive epidermotropic cutaneous CD8+ lymphoma: a cutaneous lymphoma with distinct clinical and pathological features. Report of an EORTC Cutaneous Lymphoma Task Force Workshop. Histopathology. 2015 Oct;67(4):425-41

8/ Marzano AV, Fatal CD8+ epidermotropic cytotoxic primary cutaneous T-cell lymphoma with multiorgan involvement. Dermatology. 2005;211(3):281-5

9/ Gormley RH, et al. Primary cutaneous aggressive epidermotropic CD8+ T-cell lymphoma. J Am Acad Dermatol. 2010 Feb;62(2):300-7.

10/ Carlesimo M, et al. A Case of Ketron-Goodman Disease. Case Rep Dermatol. 2009 Sep 12;1(1):39-43.

#### LYMPHOME T CUTANE EPIDERMOTROPE CD8+ CYTOTOXIQUE

#### **BIBLIOGRAPHIE**

11/ Nofal A, et al. Primary cutaneous aggressive epidermotropic CD8+ T-cell lymphoma: proposed diagnostic criteria and therapeutic evaluation. J Am Acad Dermatol. 2012 Oct;67(4):748-59.

12/ Al Aoun SM, et al. Durable remission of a patient with primary cutaneous CD8+ aggressive epidermotropic cytotoxic T-cell lymphoma. Hematol Oncol Stem Cell Ther. 2021 Mar;14(1):71-75

13/ Prise en charge des lymphomes T cutanés : recommandations du Groupe francais d'étude des lymphomes cutanés, M. Beylot-Barry, Annales de dermatologie et de vénéréologie (2010) 137, 611—621

14/ Cyrenne BM, et al. Primary cutaneous aggressive epidermotropic cytotoxic CD8+ T-cell lymphoma: long-term remission after brentuximab vedotin. Int J Dermatol. 2017 Dec;56(12):1448-1450

15/ Bouayad N, et al. Lymphome T/NK nasal: à propos de deux cas rares [Nasal NK/T-cell lymphoma: about two rare cases]. Pan Afr Med J. 2018 Jun 19;30:141. French. doi: 10.11604/pamj.2018.30.141.7721. PMID: 30374387; PMCID: PMC6201606.

**LYMPHOMET** 

**SOMMAIRE** 

1/ Syndrome de Sezary

2/ Lymphome T CD8+ épidermotrope agressif cytotoxique

3/ Lymphome T gamma/delta

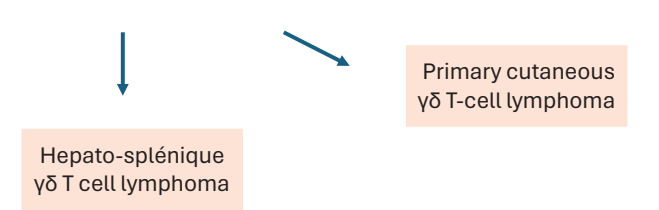
4/ Lymphome NOS

**LYMPHOME T** 

LYMPHOME T GAMMA/DELTA (γδ)

#### **INTRODUCTION**

- Lymphoprolifération clonale dans la peau et le tissu sous cutané de lymphocytes T cytotoxiques matures activés avec TCR de phénotype delta/gamma
- · Classification OMS 2016



#### **EPIDEMIOLOGIE**

- 1% des lymphomes cutanés
- · Très rare
- · Age médian 60 ans
- · Sexe ratio équilibré
- · Peu de cas pédiatriques

#### **LYMPHOMET**

#### LYMPHOME T GAMMA/DELTA (γδ)

#### **PHYSIOPATHOLOGIE**

Tripodo C, Iannitto E, Florena AM, Pucillo CE, Piccaluga PP, Franco V, Pileri SA. Gamma-delta T-cell lymphomas. Nat Rev Clin Oncol. 2009 Dec;6(12):707-17. doi: 10.1038/nrclinonc.2009.169. Epub 2009 Nov 10. PMID: 19901919.

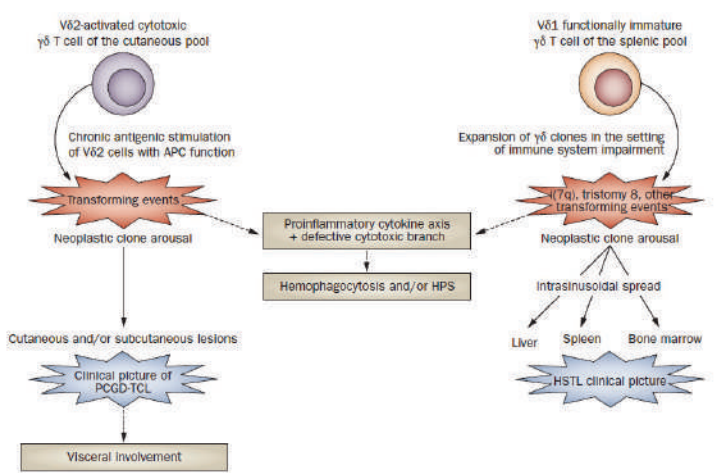


Figure 2 | A schematic overview of the presumptive pathogenesis of HSTL and PCGD-TCL, the two main  $\gamma\delta$  T-cell lymphoma entities,  $\gamma\delta$  T-cell homeostasis may be perturbed by different triggers that include chronic antigenic stimulation and immune system impairment. In genetically prone individuals, the accumulation of mostly unrecognized transforming events could lead to neoplastic clone arousal and overt development of the clinical picture. Abbreviations: APC, antigen-presenting cell; HPS, hemophagocytic syndrome; HSTL, hepatospienic T-cell lymphoma; PCGD-TCL, primary cutaneous  $\gamma\delta$  T-cell lymphoma; V, variable.

#### **LYMPHOME T**

# LYMPHOME T GAMMA/DELTA (γδ)

#### **CLINIQUE**

#### Plaques profondes indurées ou tumeurs

Lésions souvent généralisées Souvent **ulcérées voire nécrotiques Evolution rapide** 

Le plus souvent en regard des extrémités Atteinte muqueuse fréquente Lipoatrophie séquellaire

Signes généraux avec fièvre, perte de poids, sueurs nocturnes

Possible atteinte extra cutanée



Alberti-Violetti S, Primary Cutaneous Gamma-Delta T Cell Lymphomas: A Case Series and Overview of the Literature. Dermatopathology (Basel). 2021 Nov 17;8(4):515-524. doi: 10.3390/dermatopathology8040054. PMID: 34842638; PMCID: PMC8628721.

# LYMPHOME T GAMMA/DELTA (γδ)

# **CLINIQUE**







Skin Lymphoma, L. Cerroni, 5e édition Wiley

# **LYMPHOME T**

# LYMPHOME T GAMMA/DELTA (γδ)

# **CLINIQUE**





Toro JR, Gamma-delta T-cell phenotype is associated with significantly decreased survival in cutaneous T-cell lymphoma. Blood. 2003 May 1;101(9):3407-12. doi: 10.1182/blood-2002-05-1597. Epub 2003 Jan 9. PMID: 12522013.

**LYMPHOME T** 

# LYMPHOME T GAMMA/DELTA (γδ)

# HISTOPATHOLOGIE

- Infiltrat de lymphocytes atypiques de moyenne à grande taille avec noyau irrégulier, chromatine dense et cytoplasme éosinophile dans le tissu sous cutané mais aussi le derme et l'épiderme
- 3 patterns : sous cutané, dermique et épidermique
- Angiodestruction, nécrose, phagocytose

# LYMPHOME T GAMMA/DELTA (γδ)

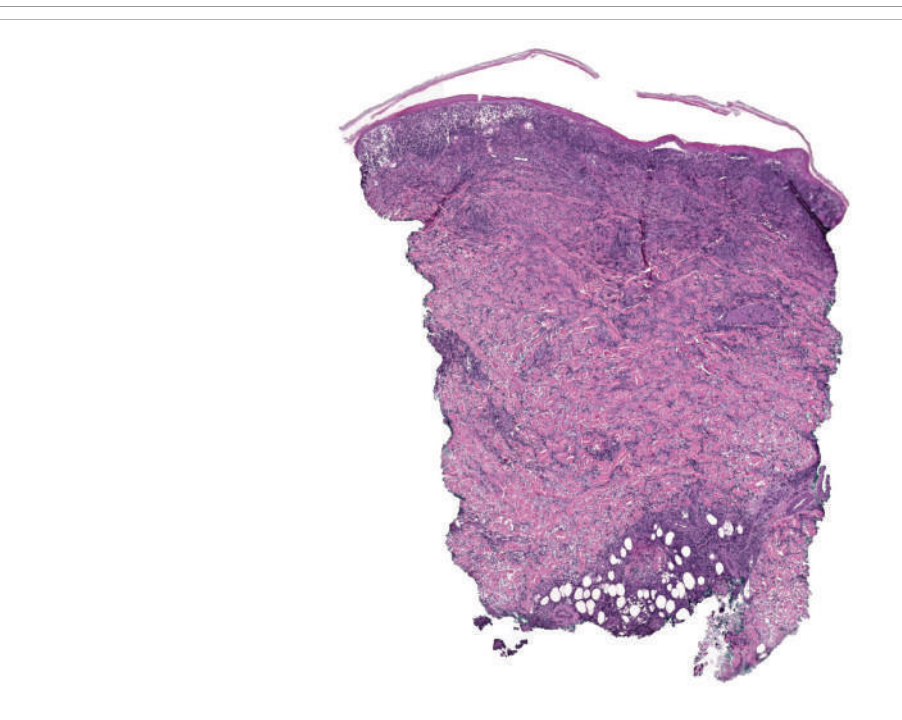
# **IMMUNOHISTOCHIMIE**

#### Classiquement:

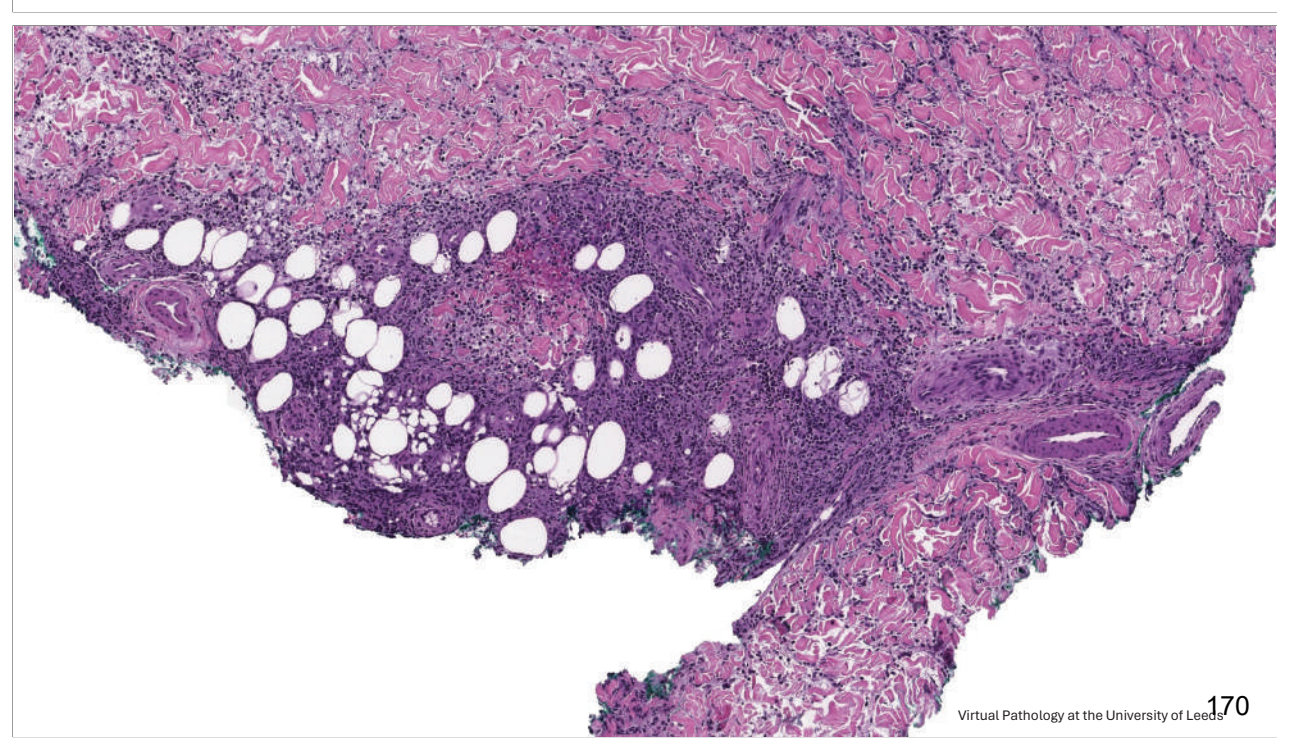
- CD4-, CD8-, CD56+, CD30-, CD20-, EBER-
- TCR gamma/delta +
- TCR alpha/beta -, Beta F1 -
- Expression de proteines cytotoxiques
- Perte d'expression de CD5 (majoritairement), avec CD7+ et CD2+
- Indice de proliferation élevé
- Angiotropisme

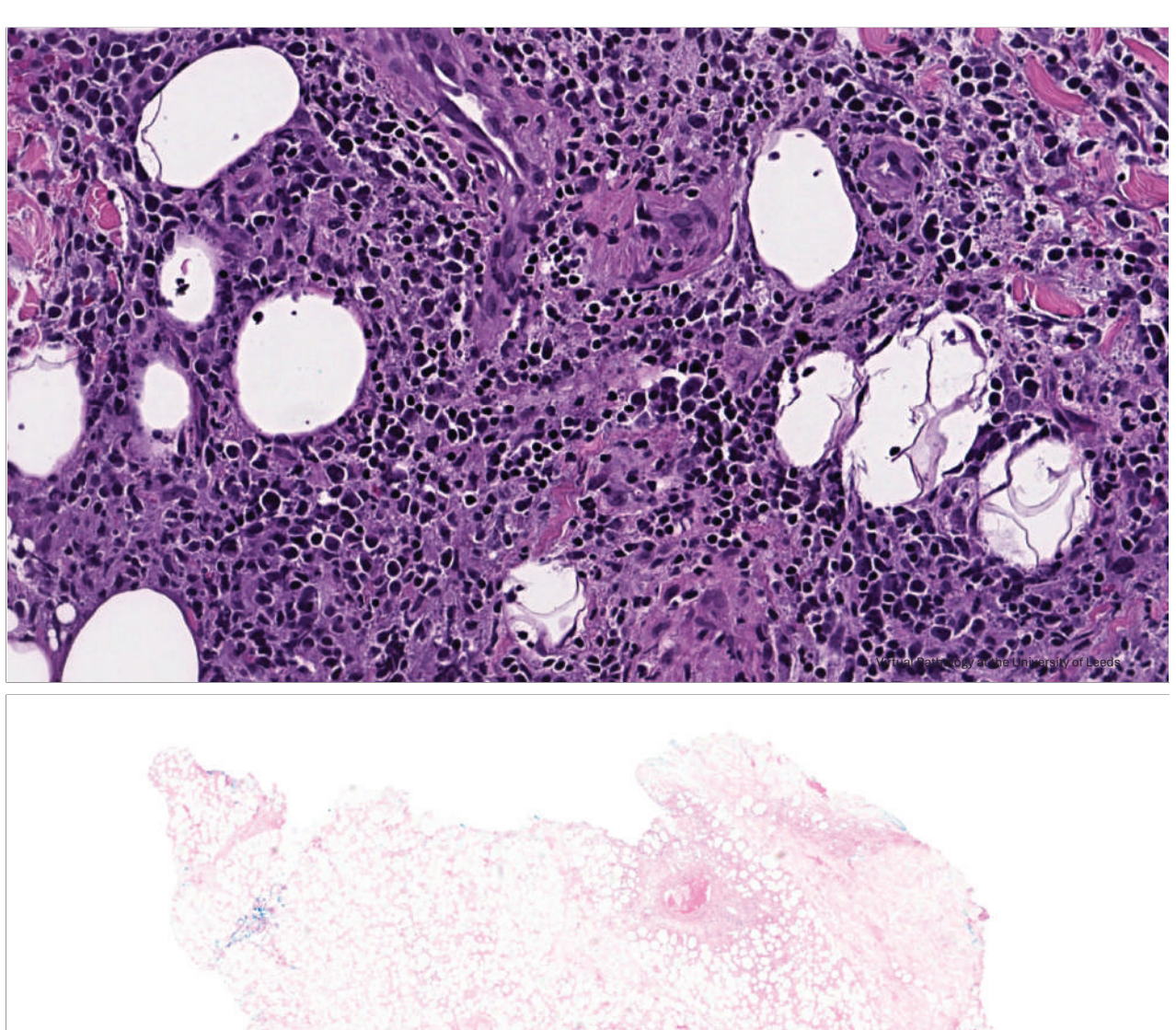
#### Plus rarement:

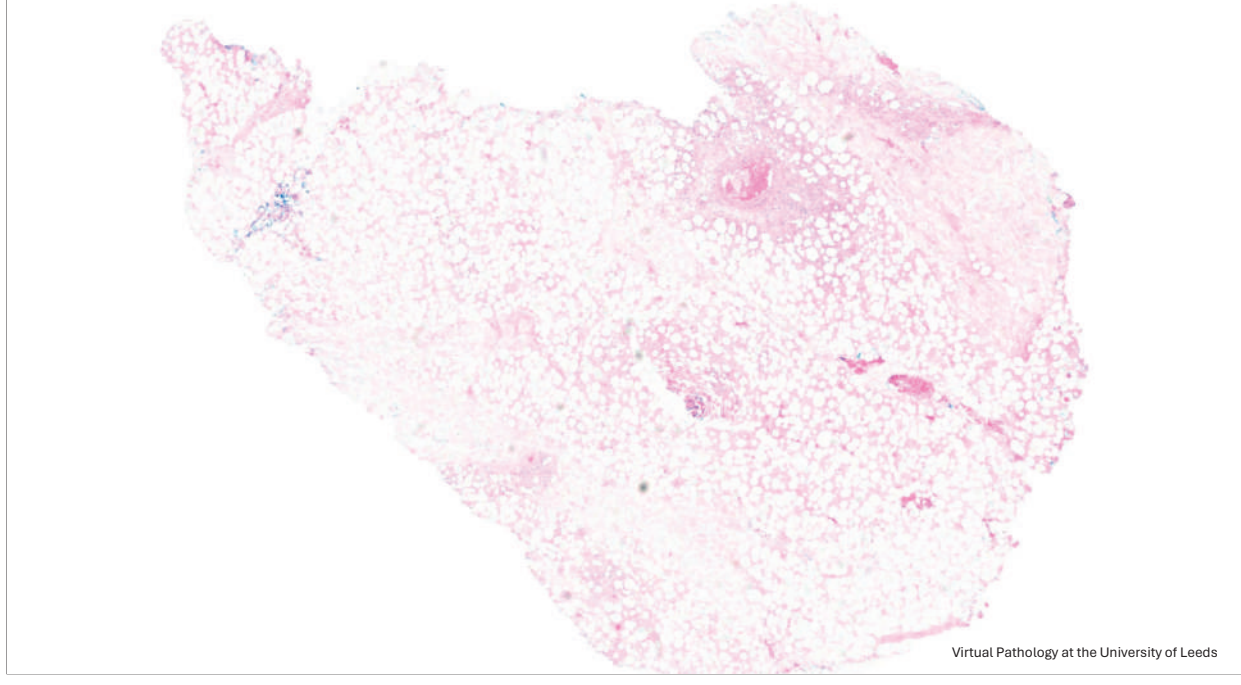
- CD4-,CD8+
- CD56-
- CD30+

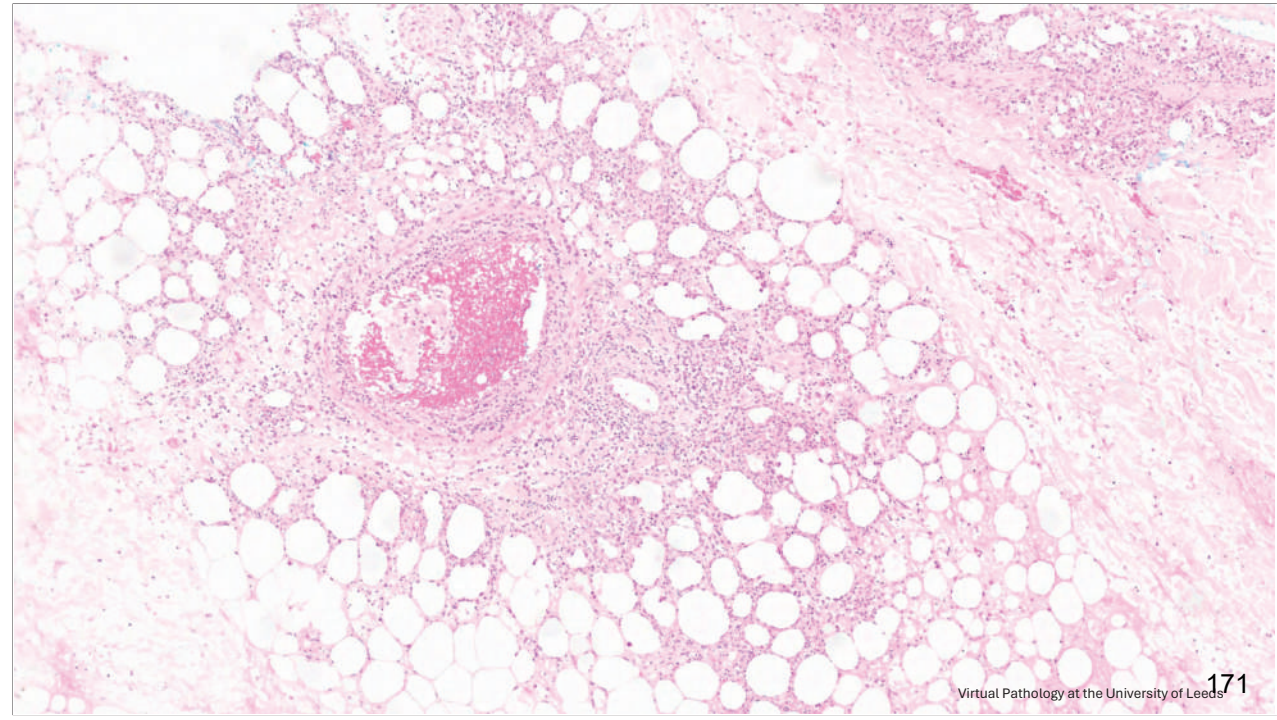


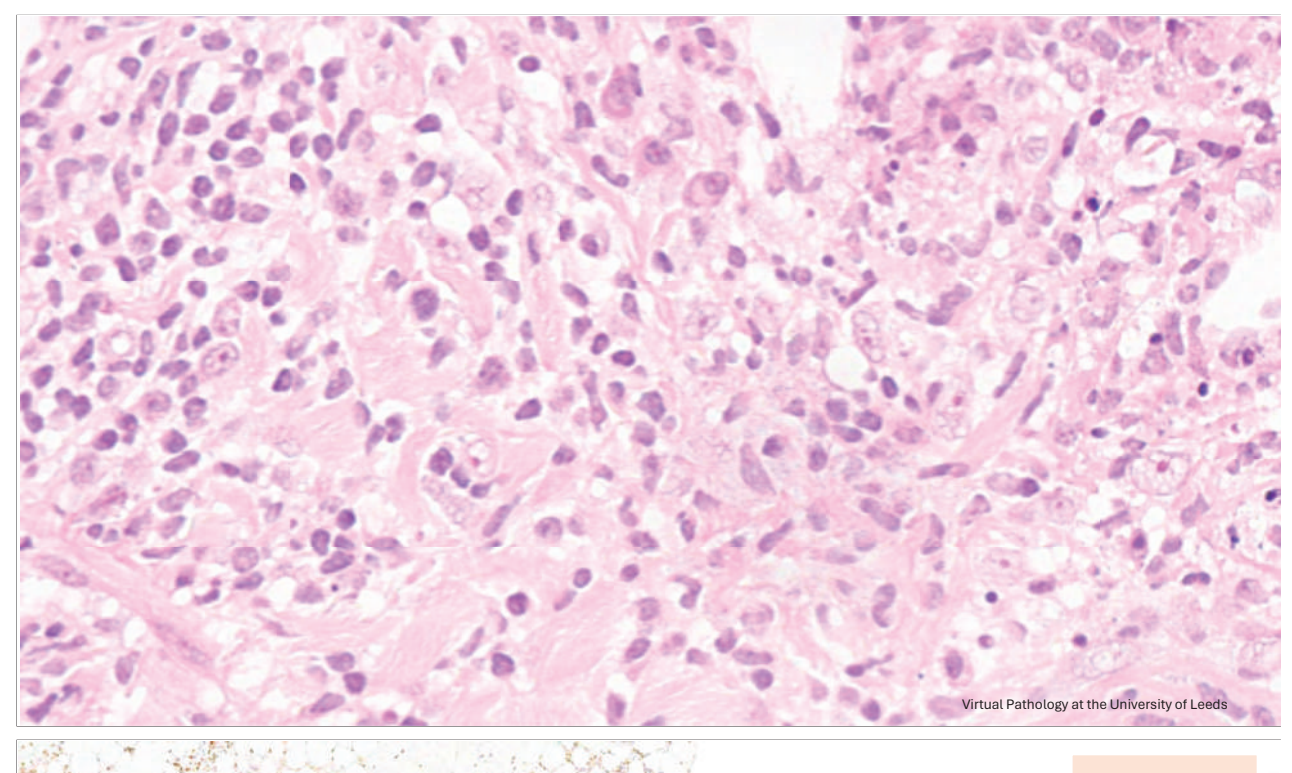
Virtual Pathology at the University of Leed

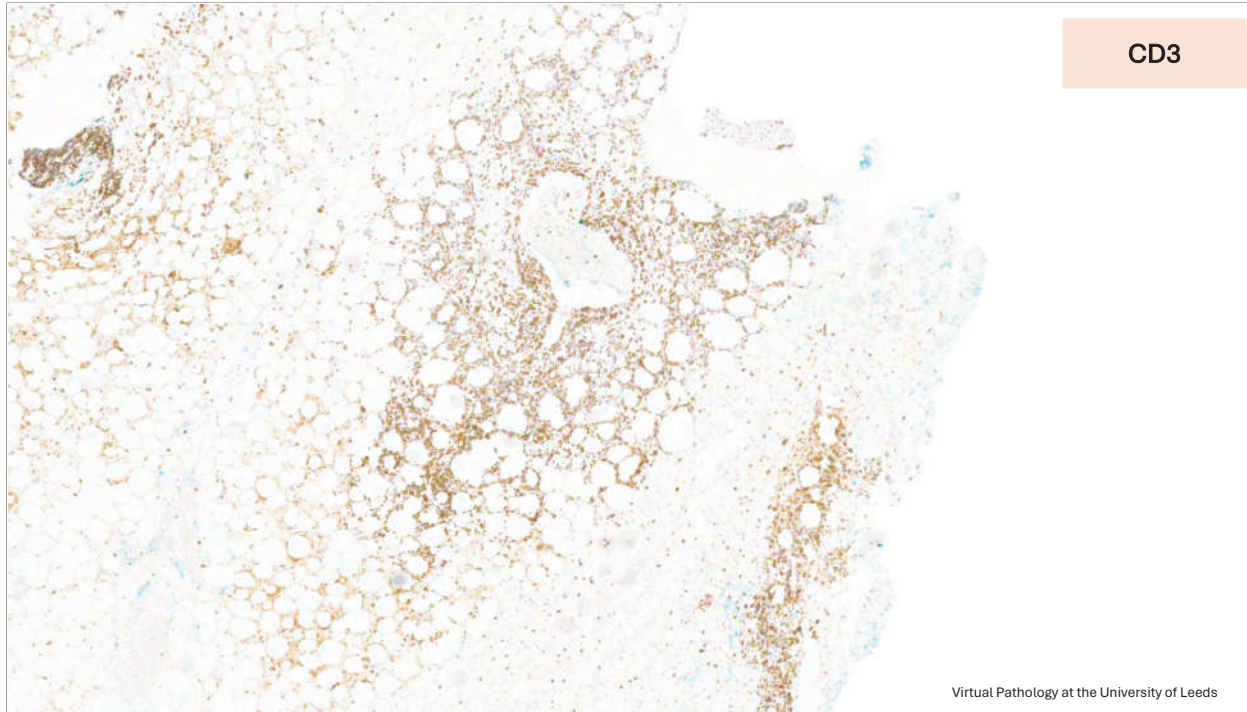


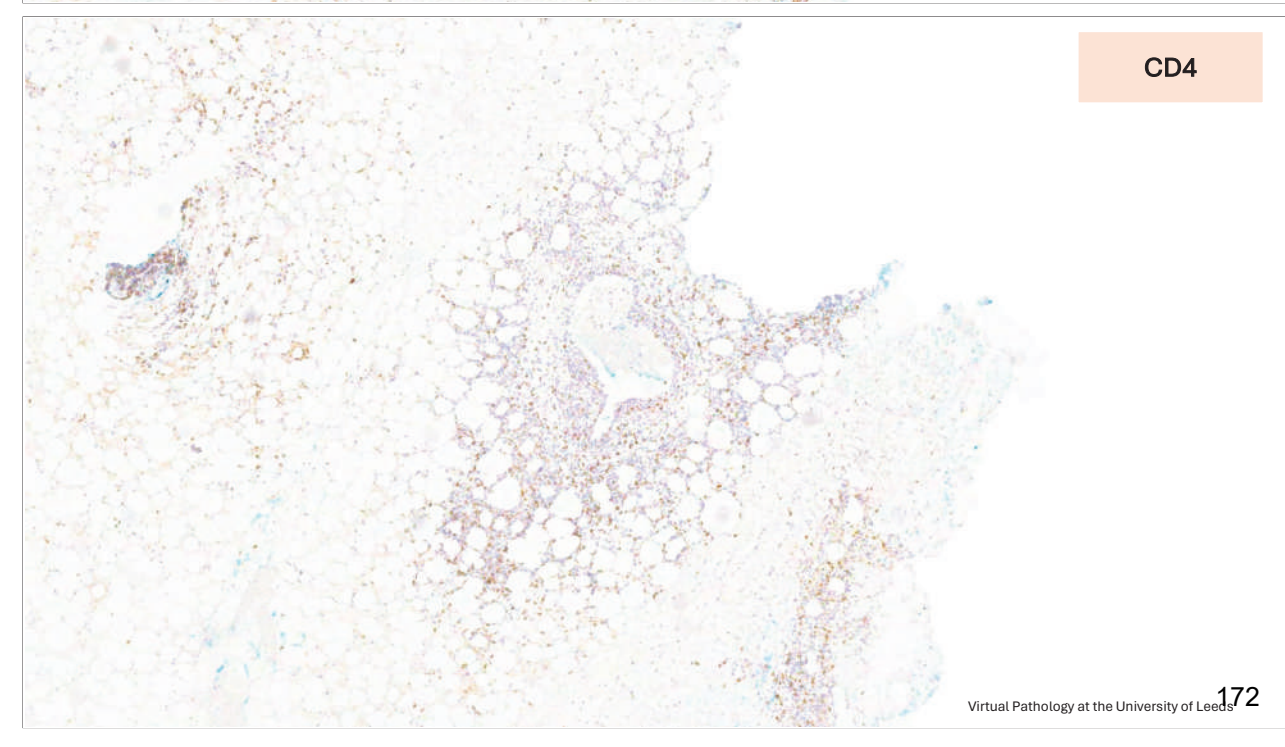




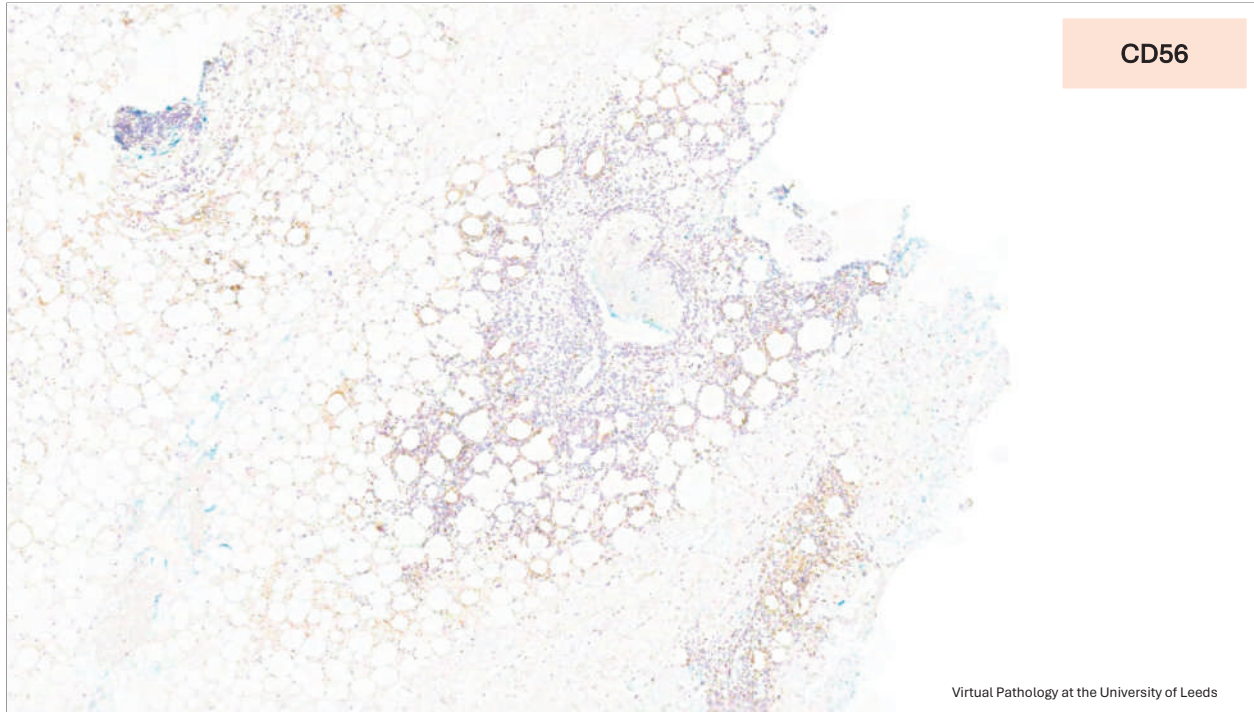


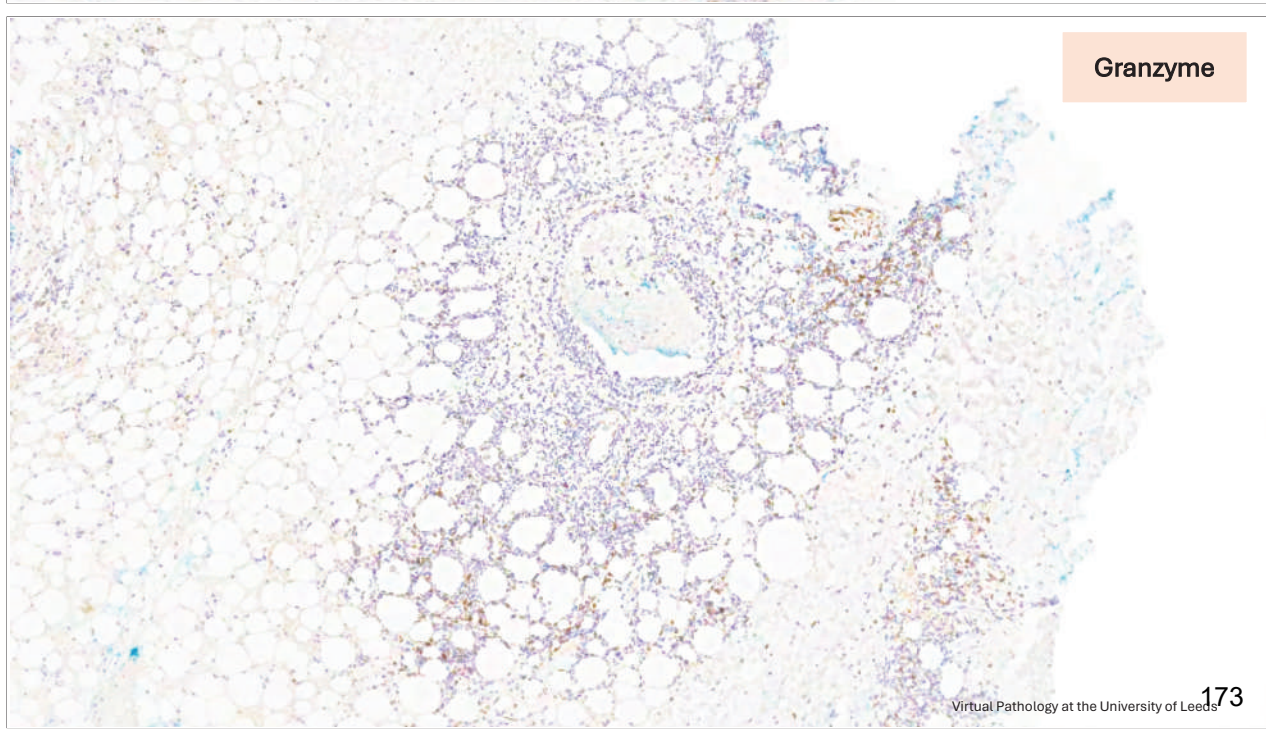












# LYMPHOME T GAMMA/DELTA (γδ)

#### **MOLECULAIRE**

- Réarrangement clonal du TCR
- Anomalies génétiques (amplification ou délétion) chromosome 1, 15, 7, 9 et 18
- Mutation d'oncogène

**LYMPHOMET** 

#### LYMPHOME T GAMMA/DELTA (γδ)

#### **EVOLUTION ET PRONOSTIC**

- · Pronostic médiocre
- Survie à 5 ans < 20%</li>
- Survenue de syndrome d'activation macrophagique fréquent (50% des cas)
- · Résistance aux traitements

#### **LYMPHOME T**

# LYMPHOME T GAMMA/DELTA (γδ)

#### **STADES**

T: atteinte cutanée

T1: lésion cutanée solitaire: T1a: lésion < 5 cm

T1b: lésion > 5 cm

T2 : atteinte cutanée régionale : multiples lésions limitées à 1 ou 2 régions contiguës du corps :

T2a: surface cutanée atteinte < 15 cm

T2b: > 15 cm et < 30 cm

T2c: > 30 cm

T3: atteinte cutanée généralisée

T3a: multiples lésions cutanées touchant deux régions cutanées non contiguës

T3b: multiples lésions touchant plus de trois régions du corps

N: atteinte ganglionnaire:

NO: absence d'adnéopathie clinique ou d'envahissement histologique ganglionnaire

N1 : atteinte ganglionnaire périphérique dans l'aire ganglionnaire (1 adénopathie) de drainage de l'atteinte cutanée N2 : atteinte d'au moins 2 adénopathies ou d'au moins une adénopathie en dehors d'une aire ganglionnaire de drainage

N3: atteinte d'une adénopathie profonde

M0: absence d'atteinte viscérale

M1: atteinte viscérale: doit être documentée histologiquement

Par définition un lymphome cutané primitif non épidermotrope est NO, MO au diagnostic.

EORTC: European Organization for Research and Treatment of Cancer; ISCL: International society for cutaneous lymphoma; MF; syndrome de Sézary; SS: syndrome de Sézary.

# LYMPHOME T GAMMA/DELTA ( $\gamma\delta$ )

	INDOLENT	AGRESSIF
Lymphome T	MF stade précoce	MF stade avancé
75% des cas	Lymphoprolifération CD30	Syndrome de Sezary
	-Papulose lymphomatoide -Lymphome anaplasique	Lymphome T γ/δ
	Lymphomo anaptaciquo	Lymphomo i que
	Lymphoprolifération CD4 à petites et moyennes cellules	Lymphome T CD8 cytotoxique
	petites et moyennes cettates	Lymphome T NOS (inclassable)
	Lymphoprolifération CD8 acrale	
	Lymphome T sous cutané type panniculite	
Lymphomo P	'	Lymphomo P à grandos collulos
Lymphome B	Lymphome B de la zone marginale	Lymphome B à grandes cellules, type jambe
25% des cas		
	Lymphome B centro folliculaire	Lymphome B intra-vasculaire

LYMPHOMET

# LYMPHOME T GAMMA/DELTA (γδ)

#### **BILAN INITIAL**

**LYMPHOMET** 

# LYMPHOME T GAMMA/DELTA (γδ)

# **TRAITEMENTS**

- Polychimiothérapies type CHOP
- Allogreffe de cellules souches hémaopoiétiques
- · Souvent inefficaces

# LYMPHOME T GAMMA/DELTA (γδ)

**SYNTHESE** 

#### **DIAGNOSTICS DIFFENTIELS**

Distinguishing features between PTCL and PCGD-TCL5.

SPTCL	PCGD-TCL
TCR-β, CD4-, CD8+, CD56-	TCR- $\gamma/\delta+$ , CD4-, CD8-, CD56+/- Subcutaneous
Subcutaneous	and/or epidermal/ dermal
Nodules and plaques; rarely ulcera-	Nodules and plaques
disorders (20%), including reported cases of coexistence of SPTLC and	Ulceration common
lupus erythematosus Uncommon (15–20%)	Common (50%)
80% <sup>a</sup>	10–20%
Systemic steroids and im-	Systemic chemotherapy
	TCR-β, CD4-, CD8+, CD56- Subcutaneous  Nodules and plaques; rarely ulceration; association with auto-immune disorders (20%), including reported cases of coexistence of SPTLC and lupus erythematosus Uncommon (15–20%) 80%

# Lymphome T panniculite

Willemze R. Cutaneous lymphomas with a panniculitic presentation. Semin Diagn Pathol. 2017 Jan;34(1):36-43. doi:

10.1053/j.semdp.2016.11.009. Epub 2016 Nov 29. PMID: 27986433.

SPTCL: subcutaneous panniculitis-like T-cell lymphoma; PCGD-TCL: primary cutaneous  $\gamma/\delta$  T-cell lymphoma.

HPS: hemophagocytic syndrome.

**LYMPHOME T** 

#### LYMPHOME T GAMMA/DELTA (γδ)

**SYNTHESE** 

#### **DIAGNOSTICS DIFFENTIELS**

Dans une moindre mesure:

Etiologies de panniculite avec altération de l'état général :

Causes infectieuses ou auto-immunes

#### **LYMPHOMET**

# LYMPHOME T GAMMA/DELTA (γδ)

**SYNTHESE** 

1% des lymphomes cutanés Très rare Age moyen 60 ans Sexe ratio équilibré Cas pédiatriques rares

Nodules ou plaques ulcérées nécrotiques

Atteinte diffuse, **évolution rapide**Atteinte extra cutanée fréquente
Signes généraux avec AEG importante

Lymphoprolifération clonale LT cytotoxique  $\gamma\delta$  Infiltrat lymphocytaires atypiques sous cutané mais aussi dermique et épidermique

**CD4-, CD8-, CD56+, protéines cytotoxiques** Réarrangement monoclonal TCR

**Lymphome agressif,** pronostic médiocre **Syndrome d'activation macrophagique** dans 50% des cas Survie à 5 ans < 20%

Polychimiothérapie Résistance thérapeutique importante

<sup>&</sup>lt;sup>a</sup> 5-year survival: 91% in patients with HPS, 46% in patients with HPS.<sup>5</sup>

#### LYMPHOME T GAMMA/DELTA (γδ)

#### **BIBLIOGRAPHIE**

- 1/ De Leval L, Gaulard P, Dogan A. A practical approach to the modern diagnosis and classification of T- and NK-cell lymphomas. Blood. 2024 Oct 31;144(18):1855-1872.
- 2/ Tripodo C, et al. Gamma-delta T-cell lymphomas. Nat Rev Clin Oncol. 2009 Dec;6(12):707-17.
- 3/ Foppoli M, Ferreri AJ. Gamma-delta t-cell lymphomas. Eur J Haematol. 2015 Mar;94(3):206-18.
- 4/ Alberti-Violetti S, Primary Cutaneous Gamma-Delta T Cell Lymphomas: A Case Series and Overview of the Literature. Dermatopathology (Basel). 2021 Nov 17;8(4):515-524.
- 5/ Koch R, et al. Cutaneous gamma/delta T-cell lymphoma. J Dtsch Dermatol Ges. 2009 Dec;7(12):1065-7.
- 6/ Kerbout M, Mekouar F, Bahadi N, El Omri N, Assoufi N, El Qatni M, Mikdame M, Ghafir D. A rare pediatric case of cutaneous gamma/delta T-cell lymphoma. Ann Biol Clin (Paris). 2014 Jul-Aug;72(4):483-5.

**LYMPHOMET** 

#### LYMPHOME T GAMMA/DELTA (γδ)

#### **BIBLIOGRAPHIE**

- 7/ Muhsen IN, et al. Diagnostic and Prognostic Characteristics of Primary Cutaneous Gamma Delta T-cell Lymphomas. Clin Hematol Int. 2022 Jun 22;4(1-2):1-10.
- 8/ Skin Lymphoma, L. Cerroni, 5e édition Wiley
- 9/ Toro JR, Gamma-delta T-cell phenotype is associated with significantly decreased survival in cutaneous T-cell lymphoma. Blood. 2003 May 1;101(9):3407-12
- 10/ Prise en charge des lymphomes T cutanés : recommandations du Groupe français d'étude des lymphomes cutanés, M. Beylot-Barry, Annales de dermatologie et de vénéréologie (2010) 137, 611—621
- 11/ Willemze R. Cutaneous lymphomas with a panniculitic presentation. Semin Diagn Pathol. 2017 Jan;34(1):36-43.
- 12/ García-Herrera A, Calonje E. Cutaneous Lymphomas with Cytotoxic Phenotype. Surg Pathol Clin. 2017 Jun;10(2):409-427.

**LYMPHOME T** 

#### **SOMMAIRE**

1/ Syndrome de Sezary

2/ Lymphome T CD8+ épidermotrope agressif cytotoxique

3/ Lymphome T gamma/delta

4/ Lymphome NOS

# LYMPHOME T NOS (NOT OTHERWISE SPECIFIED)

<ul> <li>Sous type de lymphome cutané T sans critère permettant de l'intégrer dans une entité spécifique</li> </ul>			
Représente 2% des lymphomes cutanés			
Diagnostic d'exclusion			
Groupe hétérogène, présentations cliniques et histologiques variées			
Pronostic sévère avec présentation agressive, résistance thérapeutique et rechute			
Traitement par polychimiothérapie			

# Lymphomes T classiquement CD4+:

- · Mycosis fongoide
- · Syndrome de Sezary
- Lymphoprolifération CD30 + : lymphome anaplasique à grandes cellules et papulose lymphomatoide (sauf type D)
- CD4+ lymphoprolifération à petites et moyennes cellules

FICHE SYNTHESE

#### **LYMPHOME T**

# Lymphomes T classiquement CD8+:

- Lymphome T CD8+ épidermotrope agressif cytotoxique
- Lymphome T sous cutané type panniculite (alpha/beta)
- Lymphome T delta/ gamma
- Lymphoprolifération CD8+ acrale
- Papulose lymphomatoide (type D)

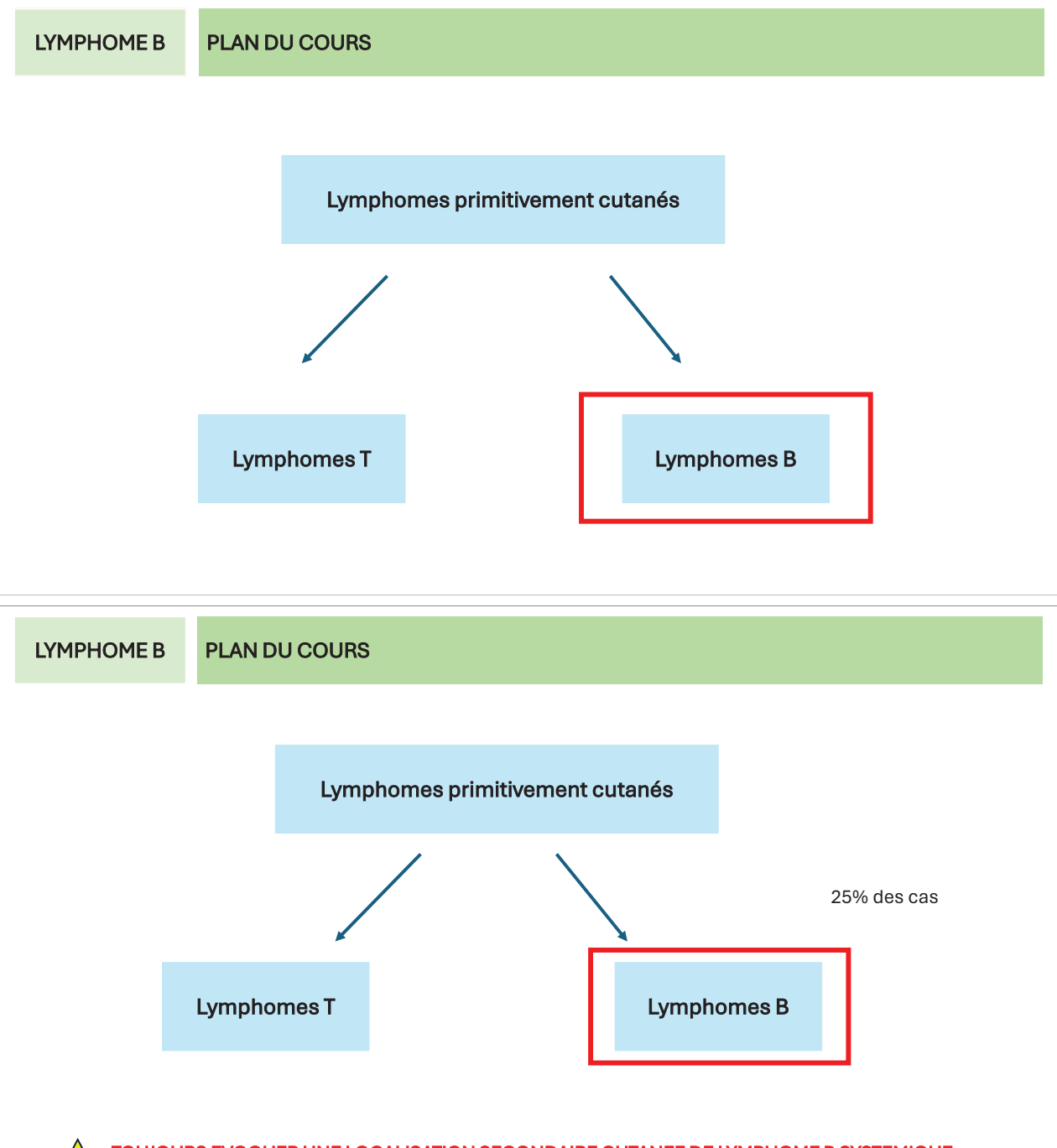
FICHE SYNTHESE

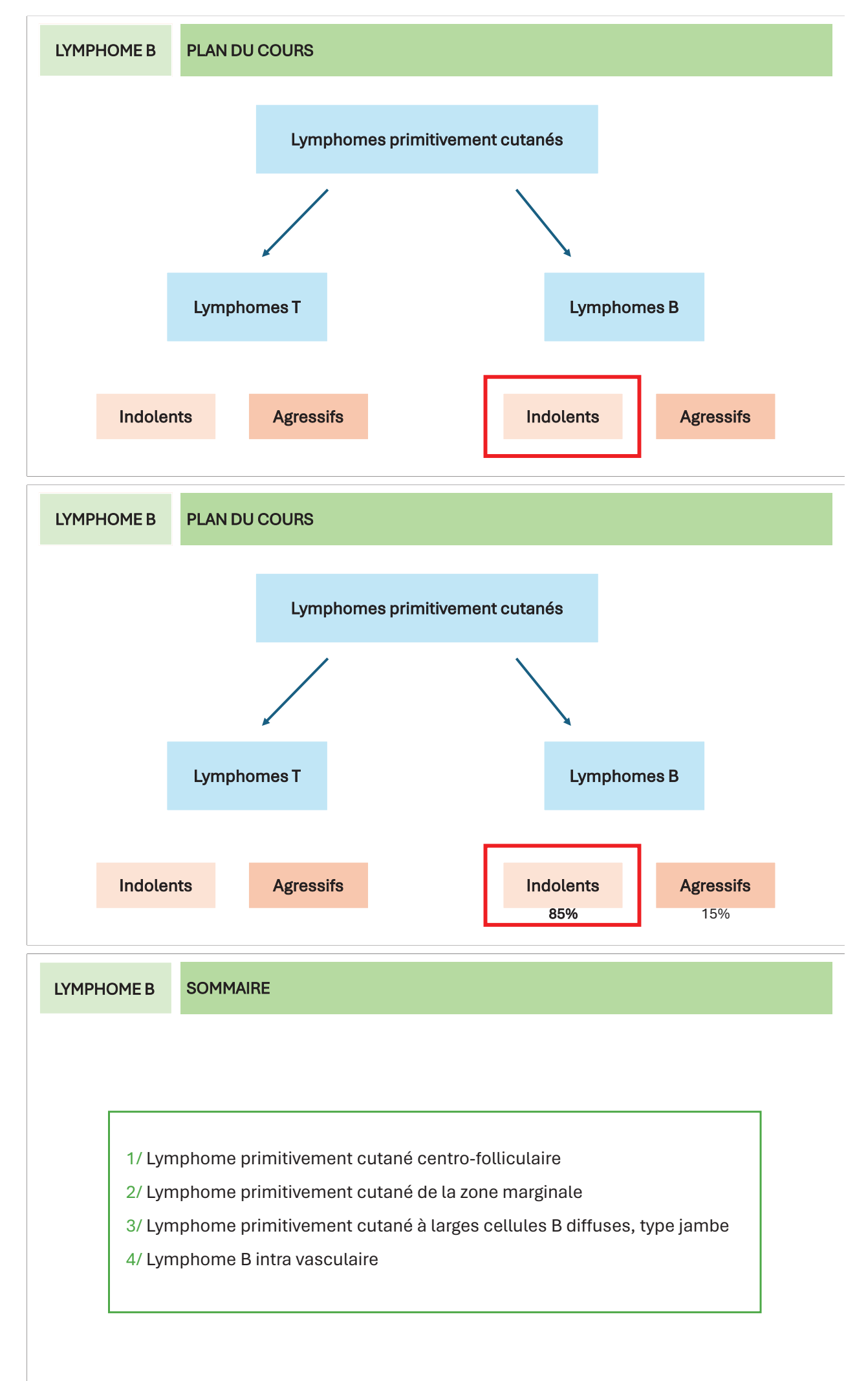
#### **LYMPHOME T**

#### Lymphomes T avec épidermotropisme

- Mycosis fongoide
- Syndrome de Sezary
- Lymphome T CD8+ épidermotrope agressif cytotoxique
- Papulose lymphomatoide (type B)

# Lymphomes cutanés B indolents





#### **SOMMAIRE**

1/ Lymphome primitivement cutané centro-folliculaire



2/ Lymphome primitivement cutané de la zone marginale

3/ Lymphome primitivement cutané à larges cellules B diffuses, type jambe

4/ Lymphome B intra vasculaire

**INDOLENTS** 

LYMPHOME B

**SOMMAIRE** 

# 1/ Lymphome primitivement cutané centro-folliculaire

2/ Lymphome primitivement cutané de la zone marginale

3/ Lymphome primitivement cutané à larges cellules B diffuses, type jambe

4/ Lymphome B intra vasculaire

LYMPHOME B

LYMPHOME B CENTRO FOLLICULAIRE (PCFCL)

#### INTRODUCTION

- Lymphome non Hodgkinien
- Lymphoprolifération indolente de lymphocytes B centro-folliculaires clonaux matures dans la peau
- Terminologie anglaise : Primary cutaneous follicle center lymphoma (PCFCL)

# LYMPHOME B CENTRO FOLLICULAIRE (PCFCL)

#### **EPIDEMIOLOGIE**

- Représente 12% des lymphomes cutanés et 60% des lymphomes B cutanés
- Le plus fréquent des lymphomes B cutanés
- Age médian 50 ans
- Plus fréquent chez les hommes sexe ratio 2/1

# LYMPHOME B

# LYMPHOME B CENTRO FOLLICULAIRE (PCFCL)

#### **PHYSIOPATHOLOGIE**

- Etiologie inconnue
- Lien avec infection avec Borrelia Burgdorferi débattu
- Pas de mutation génétique connue

#### LYMPHOME B

# LYMPHOME B CENTRO FOLLICULAIRE (PCFCL)

#### **DIAGNOSTIC**

- Association de critères cliniques, histopathologies, immunologiques et moléculaires
- Absence d'atteinte systémique
- Absence d'argument pour un autre lymphome cutané

# LYMPHOME B CENTRO FOLLICULAIRE (PCFCL)

# **CLINIQUE**

- Plaques, nodules ou tumeurs
- Rouges, violacées
- Asymptomatique, rarement ulcérée
- Le plus souvent unique ou groupées, multifocale dans 15%
- Visage, cou et tronc principalement



Collection Dr Amatore

# LYMPHOME B

# LYMPHOME B CENTRO FOLLICULAIRE (PCFCL)

# **CLINIQUE**



Skin Lymphoma, L. Cerroni, 4º édition Wiley



# LYMPHOME B

# LYMPHOME B CENTRO FOLLICULAIRE (PCFCL)

# **CLINIQUE**





# LYMPHOME B CENTRO FOLLICULAIRE (PCFCL)

#### **HISTOPATHOLOGIE**

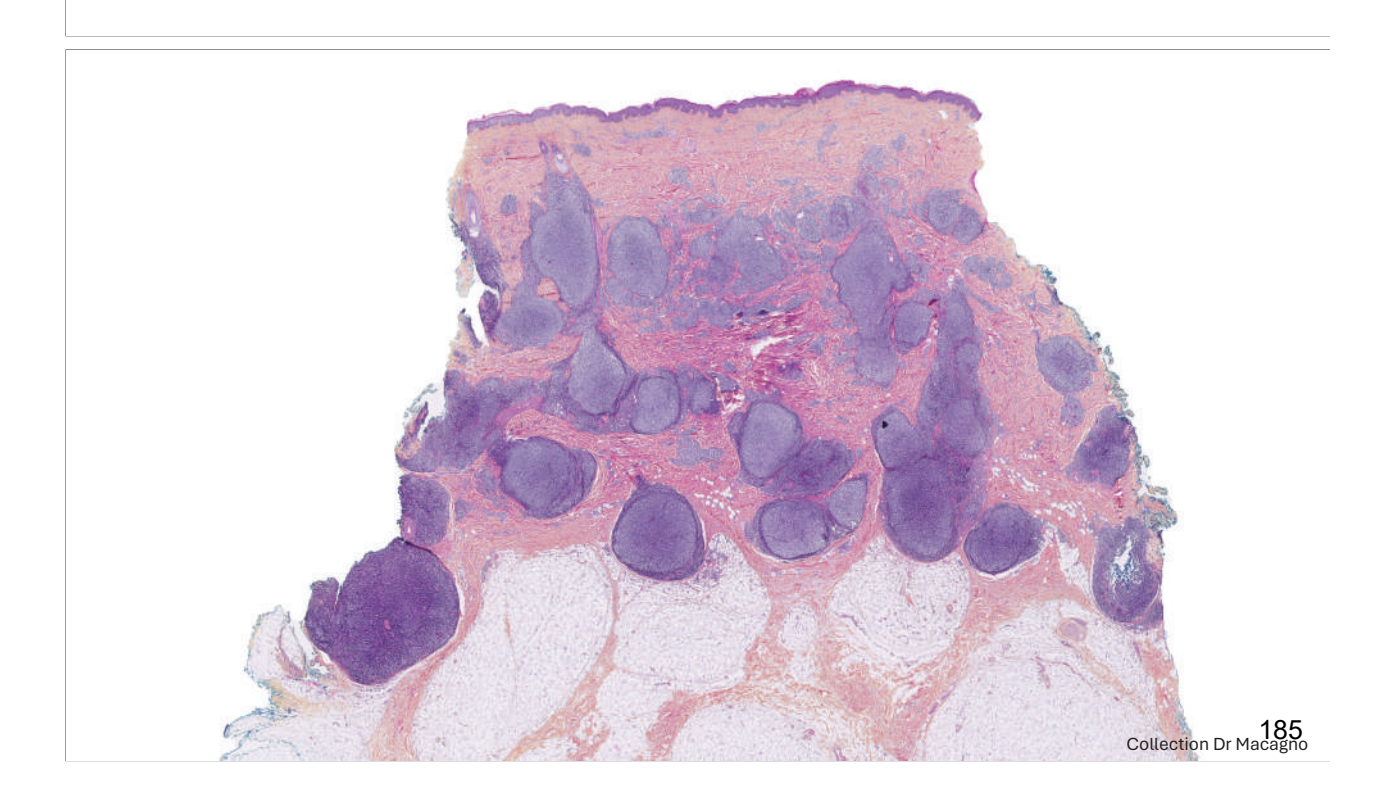
- Infiltrat dermique avec atteinte péri-vasculaire et péri-annexielle
- 3 patterns : folliculaire, folliculaire et diffus ou diffus (sans incidence sur le pronostic)
- Infiltrat de lymphocytes atypiques polymorphes (centrocytes, centroblastes)
- · Présence de LT associés
- Perte de la structure normale du ganglion avec perte de la polarité des follicules lymphoides et absence de macrophage a corps tingibles

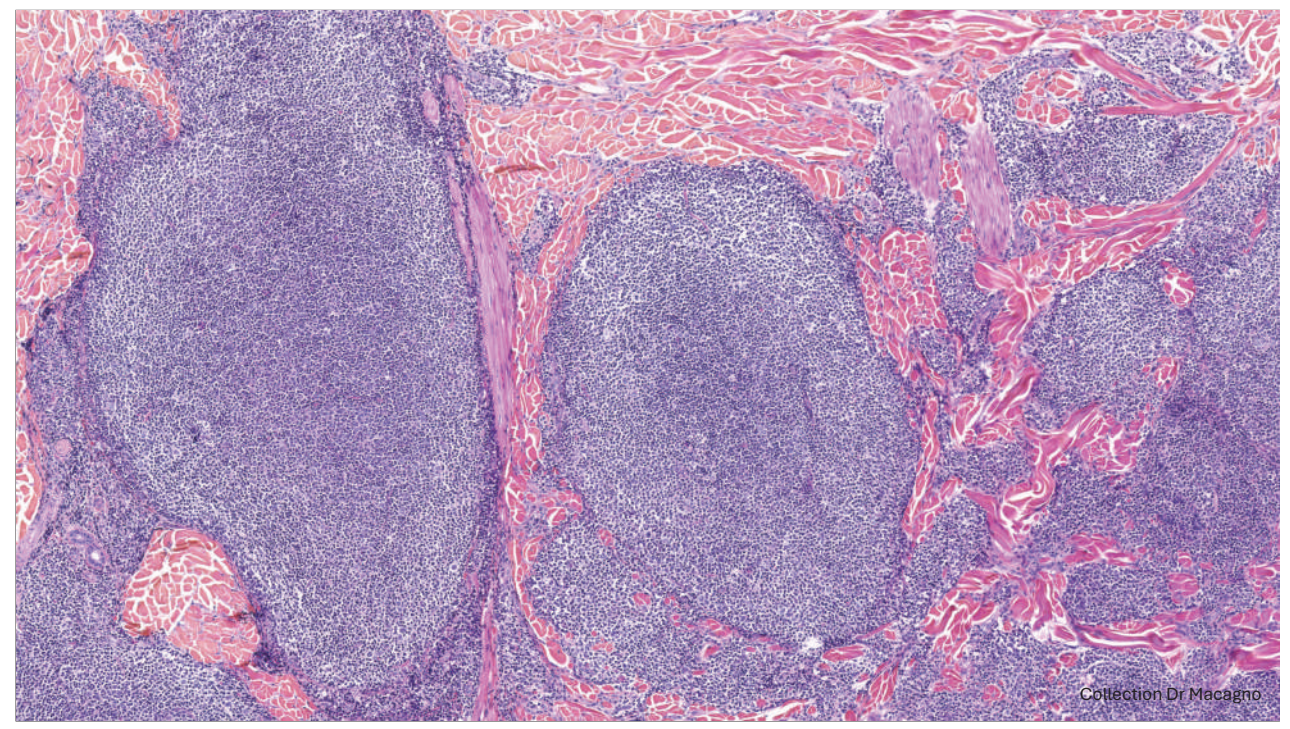
#### LYMPHOME B

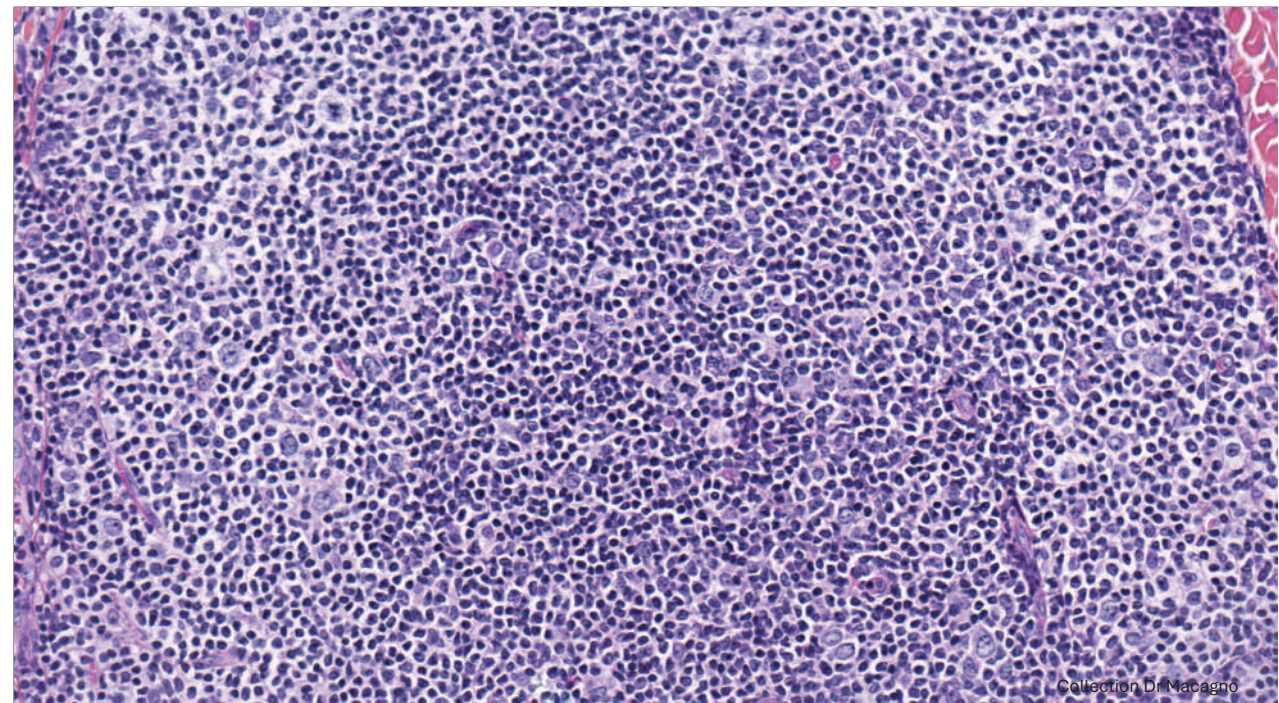
# LYMPHOME B CENTRO FOLLICULAIRE (PCFCL)

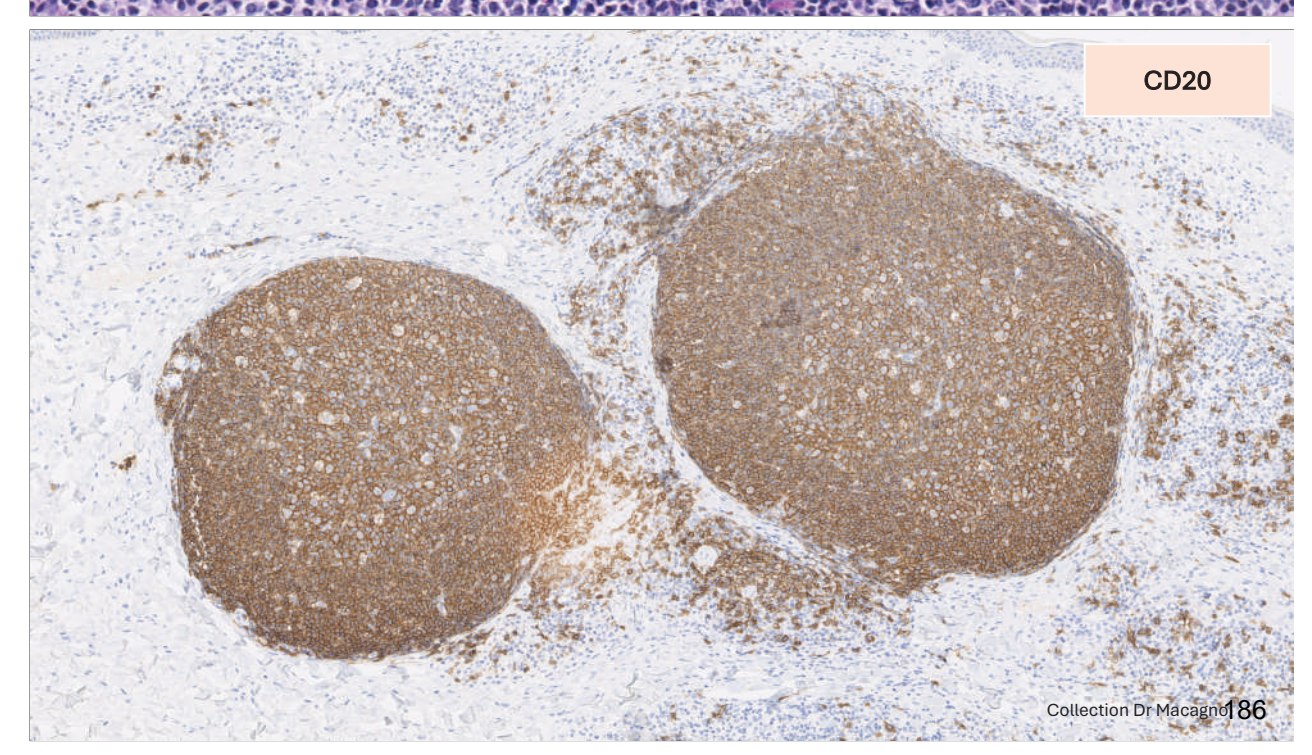
#### **IMMUNOHISTOCHIMIE**

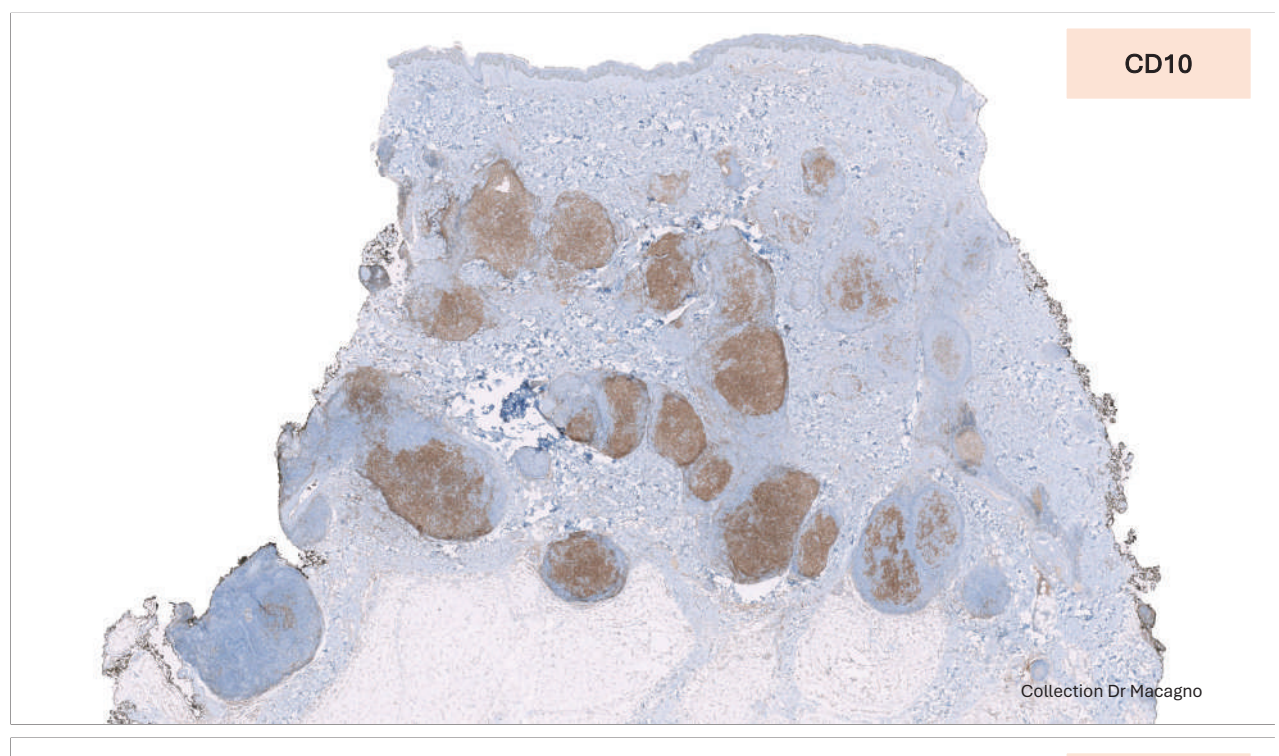
- CD19+, CD20+, CD79a+, PAX5+
- BCL6+
- MUM1-
- BCL2 +/- et CD10+/- (si fortement positif = plutôt evocateur de localisation secondaire)
- CD5-
- KI67 < 50%
- PCR Borréliose négative et absence de Tréponème

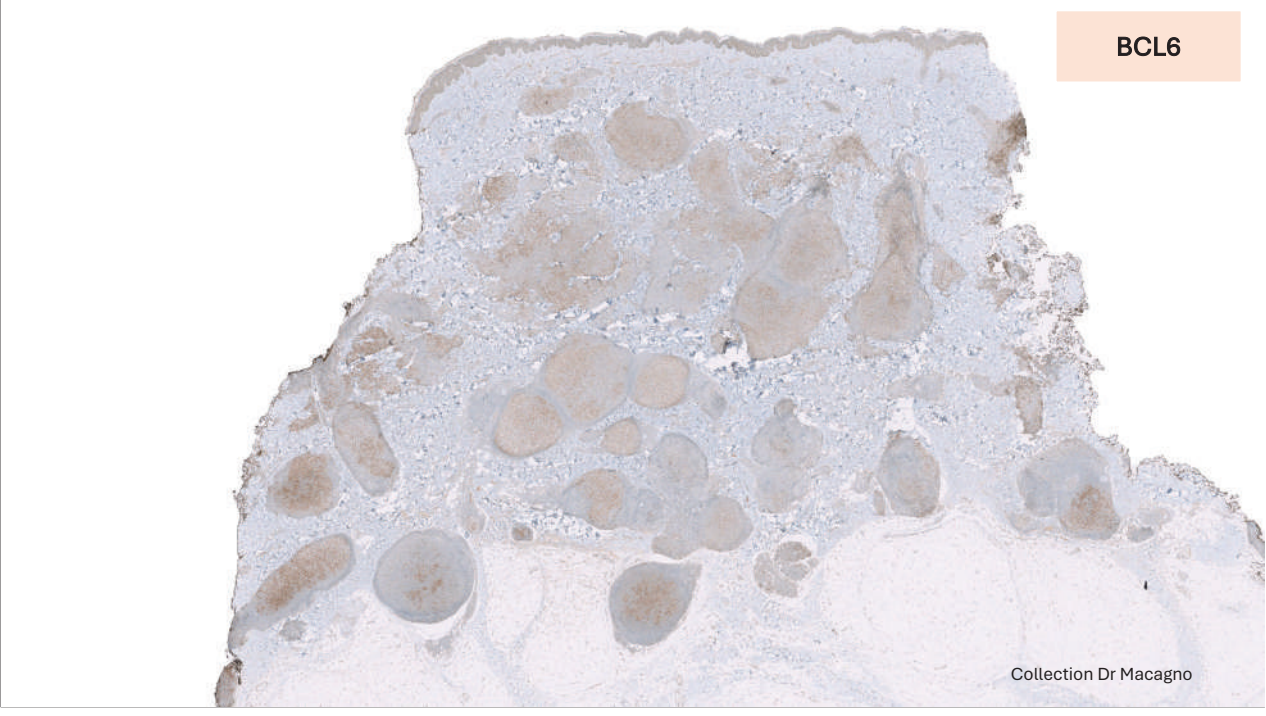


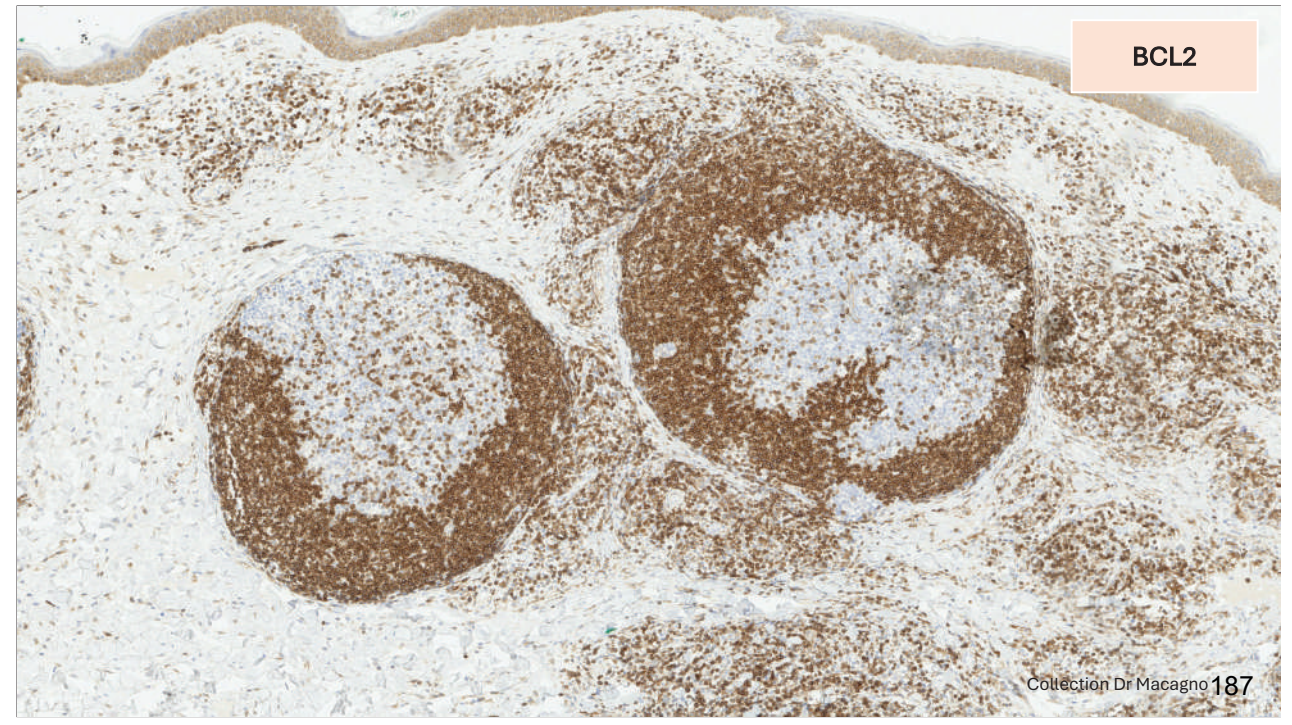


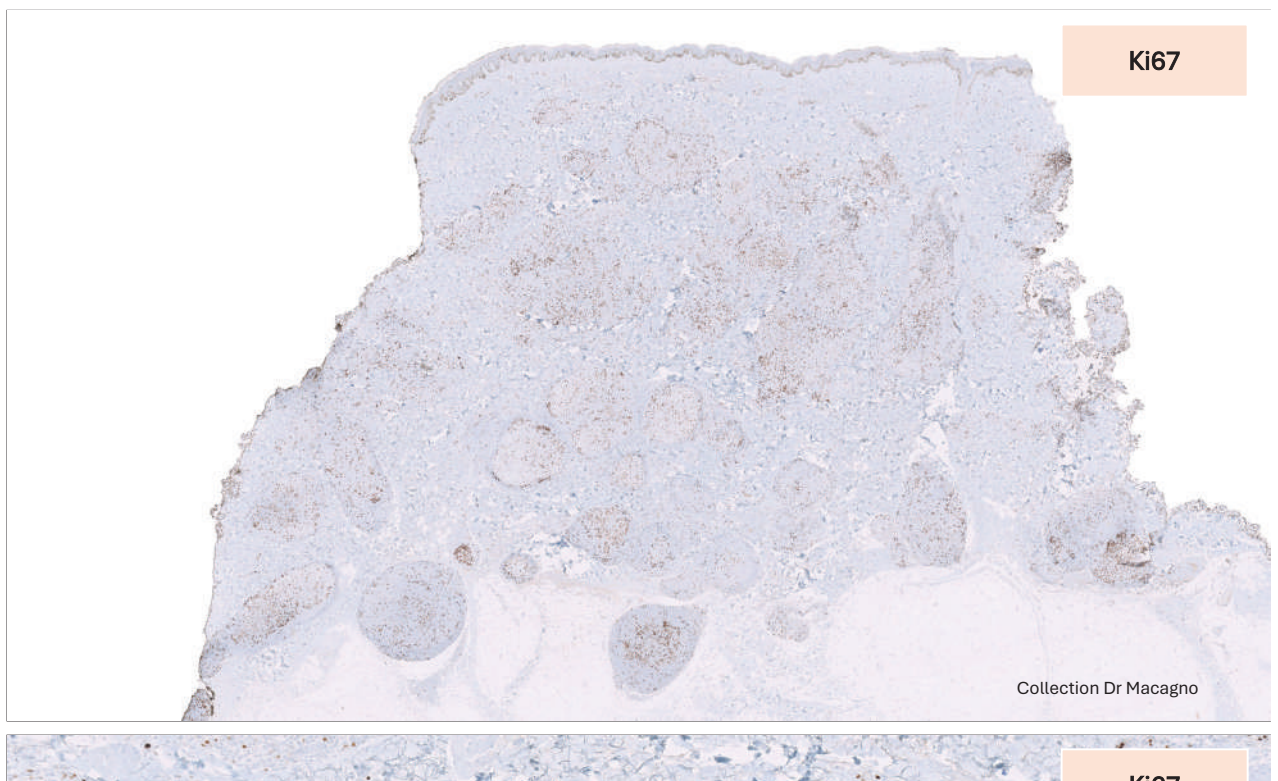


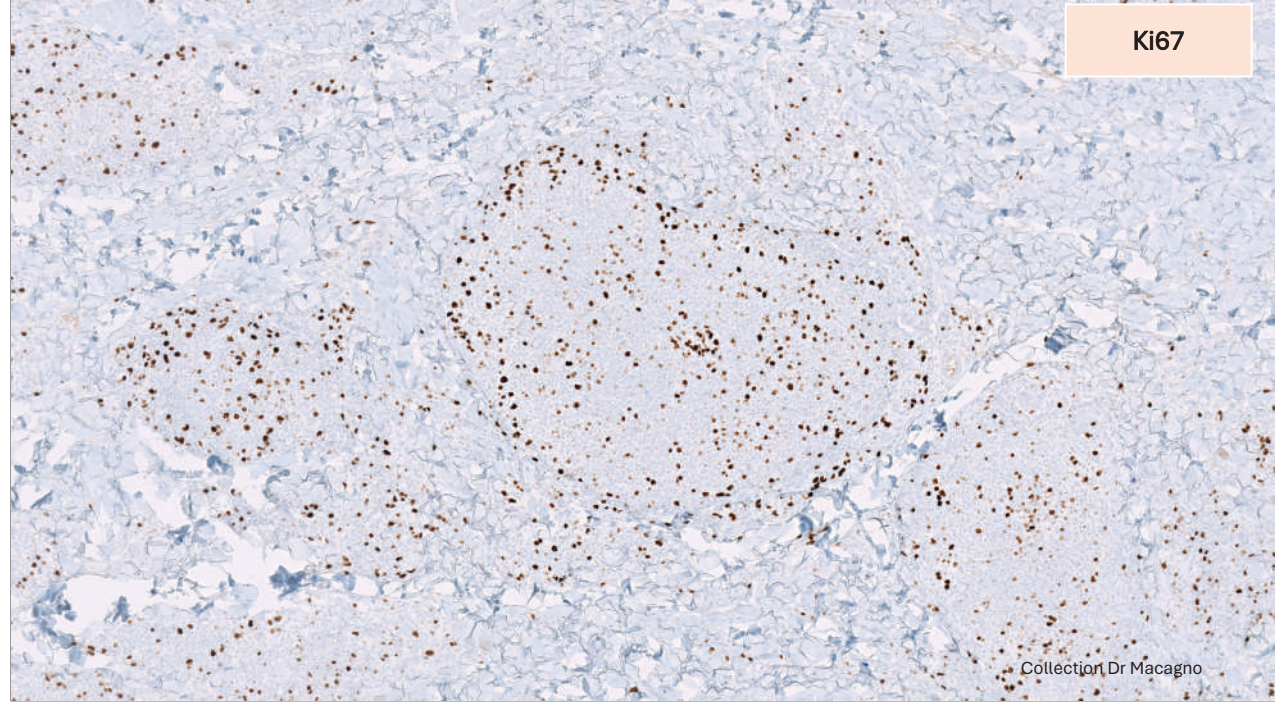












LYMPHOME B CENTRO FOLLICULAIRE (PCFCL)

# MOLECULAIRE

• Monoclonalité du BCR (chaine kappa ou lambda)

#### LYMPHOME B CENTRO FOLLICULAIRE (PCFCL)

#### **BILAN INITIAL**

Examen clinique

Type de lésion, nombre de tumeurs, surface corporelle, aires ganglionnaires

Biopsie cutanée

Biopsie incisionnelle  $\sum$ Examen histologique et biologie moléculaire

**Biologie** 

Bilan standard avec LDH, beta2microglobulinémie, éléctrophorèse des protéines sériques; dosage pondéral des immunoglobulines, clonalité sanguine Sérologie borréliose

Radiologie

Scanner cervioTAP et TEP-TDM, IRM cérébrale

**Autres biopsies** 

Si ADP suspecte > 1.5cm : biopsie ganglionnaire (histologie et clonalité)  $\gg$ Biopsie ostéo-médullaire (non systématique)

#### LYMPHOME B

#### LYMPHOME B CENTRO FOLLICULAIRE (PCFCL)

#### **STADES**

T : atteinte cutanée

T1: lésion cutanée solitaire:

T1a: lésion < 5 cm T1b: lésion > 5 cm

T2 : atteinte cutanée régionale : multiples lésions limitées à 1 ou 2 régions contiguës du corps :

T2a: surface cutanée atteinte < 15 cm

T2b: > 15 cm et < 30 cm

T2c: > 30 cm

T3: atteinte cutanée généralisée

T3a: multiples lésions cutanées touchant deux régions cutanées non contiguës

T3b: multiples lésions touchant plus de trois régions du corps

N: atteinte ganglionnaire:

NO: absence d'adnéopathie clinique ou d'envahissement histologique ganglionnaire

N1: atteinte ganglionnaire périphérique dans l'aire ganglionnaire (1 adénopathie) de drainage de l'atteinte cutanée

N2: atteinte d'au moins 2 adénopathies ou d'au moins une adénopathie en dehors d'une aire ganglionnaire de drainage

N3: atteinte d'une adénopathie profonde

M0: absence d'atteinte viscérale

M1: atteinte viscérale: doit être documentée histologiquement

Par définition un lymphome cutané primitif non épidermotrope est NO, MO au diagnostic. EORTC: European Organization for Research and Treatment of Cancer; ISCL: International society for cutaneous lymphoma; MF:

syndrome de Sézary; SS: syndrome de Sézary.

Prise en charge des lymphomes T cutanés : recommandations du Groupe français d'étude des lymphomes cutanés, M. Beylot-Barry, Annales de dermatologie et de vénéréologie (2010) 137, 611—621

#### LYMPHOME B

#### LYMPHOME B CENTRO FOLLICULAIRE (PCFCL)

#### **EVOLUTION ET PRONOSTIC**

- Pronostic excellent avec survie à 5 ans > 95%
- · Cas de régression spontanée possible
- 10% de dissémination extra cutanée
- Récidive fréquente 30% des cas
- Pas de transformation en lymphome de haut grade sinon évoquer une localisation secondaire de lymphome centro-folliculaire systémique

# LYMPHOME B CENTRO FOLLICULAIRE (PCFCL)

# **EVOLUTION et PRONOSTIC**

	INDOLENT	AGRESSIF
Lymphome B	Lymphome B de la zone marginale	Lymphome B à grandes cellules, type jambe
25% des cas	Lymphome B centro-folliculaire	Lymphome B intra-vasculaire

LYMPHOME B

# LYMPHOME B CENTRO FOLLICULAIRE (PCFCL)

# **DIAGNOSTICS DIFFERENTIELS**

- Autres lymphomes B
- Hyperplasie lymphocytaires bénignes (pseudo-lymphomes)
- Lymphome centro-folliculaire ganglionnaire (=systémique)

LYMPHOME B

# LYMPHOME B CENTRO FOLLICULAIRE (PCFCL)

#### **TRAITEMENTS**

- Exérèse chirurgicale
- Radiothérapie
- Injection intra lésionnelle de corticoïdes
- Rituximab associé à polychimiothérapie à discuter si forme disséminée ou récidivante

# LYMPHOME B CENTRO FOLLICULAIRE (PCFCL)

#### **SUIVI**

- Clinique et biologique tous les 6 mois
- · Imagerie sur point d'appel

#### LYMPHOME B

# LYMPHOME B CENTRO FOLLICULAIRE (PCFCL)

**SYNTHESE** 

12% des lymphomes cutanés 60% des lymphomes B Le plus fréquent des lymphomes B Age moyen 50 ans Légère prédominance masculine

Diagnostic repose sur clinique + histologie + immunohistochimie + moléculaire

Plaques, papules, nodule ou masse rouge/violacée asymptomatique Le plus souvent unique ou groupées, multifocales dans 15% Ulcération secondairement Visage, cou et tronc

Infiltrat dermique de lymphocytes B atypiques avec atteinte péri-vasculaire et péri-annexiel

#### Architecture folliculaire

Positivité marqueurs B (CD19, CD20, CD79a) Positivité **BCL6** Monoclonalité BCR

Pronostic **excellent** avec survie à 5 ans > 95% Cas de régression spontanée possible 10% de dissémination extra cutanée Récidive fréquente 30% des cas **TOUJOURS ELIMINER LYMPHOME SYSTEMIQUE** 

Bilan initial biologique et radiographique Traitement **chirurgical** ou radiothérapie Discuter Rituximab et polychimiothérapie si disséminé

#### LYMPHOME B

#### **SOMMAIRE**

1/ Lymphome primitivement cutané centro-folliculaire

#### 2/ Lymphome primitivement cutané de la zone marginale

3/ Lymphome primitivement cutané à larges cellules B diffuses, type jambe

4/ Lymphome B intra vasculaire

## LYMPHOME B DE LA ZONE MARGINALE (PCMZL)

## **INTRODUCTION**

- Lymphome non Hodgkinien
- Lymphoprolifération indolente de lymphocytes B clonaux matures dans la peau
- Terminologie anglaise "Primary Cutaneous Marginal Zone B-Cell Lymphoma" (PCMZL)
- Deuxieme localisation de lymphome MALT (après tube digestif)

LYMPHOME B

## LYMPHOME B DE LA ZONE MARGINALE (PCMZL)

## **EPIDEMIOLOGIE**

- Représente 9% des lymphomes cutanés et 25% des lymphomes B cutanés
- · Age médian 50 ans
- Plus fréquent chez les hommes sexe ratio 2/1
- · Cas pédiatriques

LYMPHOME B

## LYMPHOME B DE LA ZONE MARGINALE (PCMZL)

## **PHYSIOPATHOLOGIE**

- Etiologie inconnue
- Lien avec infection avec Borrelia Burgdorferi débattu

## LYMPHOME B DE LA ZONE MARGINALE (PCMZL)

#### **CLASSIFICATION**

## Lymphomes B de la zone marginale



Changement de classe de chaine lourde (IgG > IgA et IgE)

IgM et IgD

Le plus fréquent

## LYMPHOME B

## LYMPHOME B DE LA ZONE MARGINALE (PCMZL)

#### **DIAGNOSTIC**

- · Association de critères cliniques, histopathologies, immunologiques et moléculaires
- Absence d'atteinte systémique
- Absence d'argument pour un autre lymphome cutané

## LYMPHOME B

## LYMPHOME B DE LA ZONE MARGINALE (PCMZL)

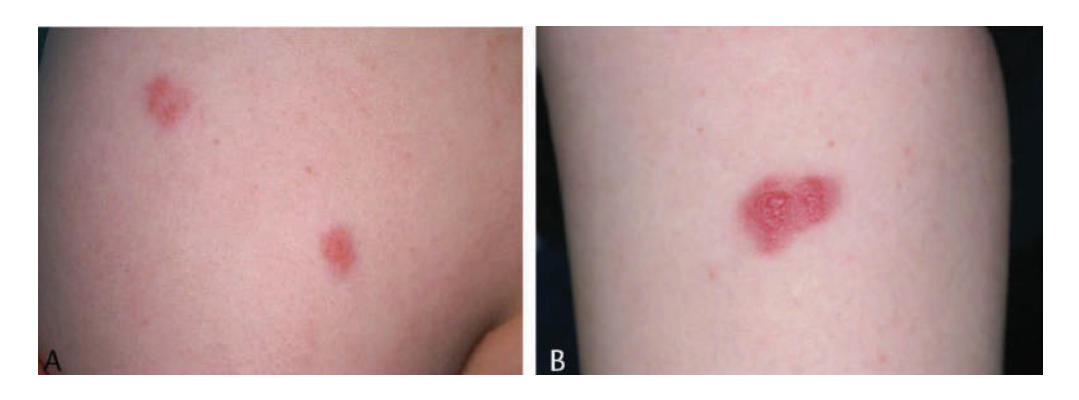
#### **CLINIQUE**

- Plaques, nodules ou tumeurs
- Rouges, violacées
- Erythème péri lésionnel
- Asymptomatique
- Le plus souvent unique ou groupées, disséminées dans 20%
- Tronc 50%, membres supérieurs 15%, visage et vertex 10%
- Lésions peuvent croitre puis décroitre, regression spontannée avec récidive



## LYMPHOME B DE LA ZONE MARGINALE (PCMZL)

## **CLINIQUE**



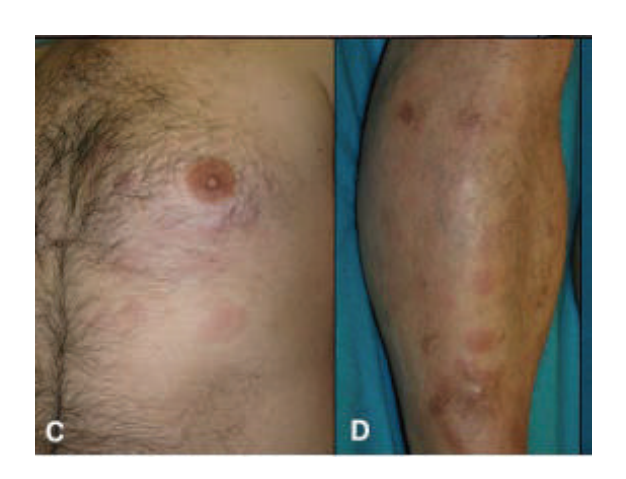
Kempf W, Primary cutaneous marginal zone lymphoma in children: a report of 3 cases and review of the literature. Am J Dermatopathol. 2014 Aug; 36(8):661-6. doi: 10.1097/DAD.000000000000000. PMID: 24698939.

## LYMPHOME B

## LYMPHOME B DE LA ZONE MARGINALE (PCMZL)

## **CLINIQUE**





Servitje O, Primary cutaneous marginal zone B-cell lymphoma: response to treatment and disease-free survival in a series of 137 patients. J Am Acad Dermatol. 2013 Sep;69(3):357-65. doi: 10.1016/j.jaad.2013.04.047. Epub 2013 Jun 21. PMID: 23796549.

## LYMPHOME B

## LYMPHOME B DE LA ZONE MARGINALE (PCMZL)

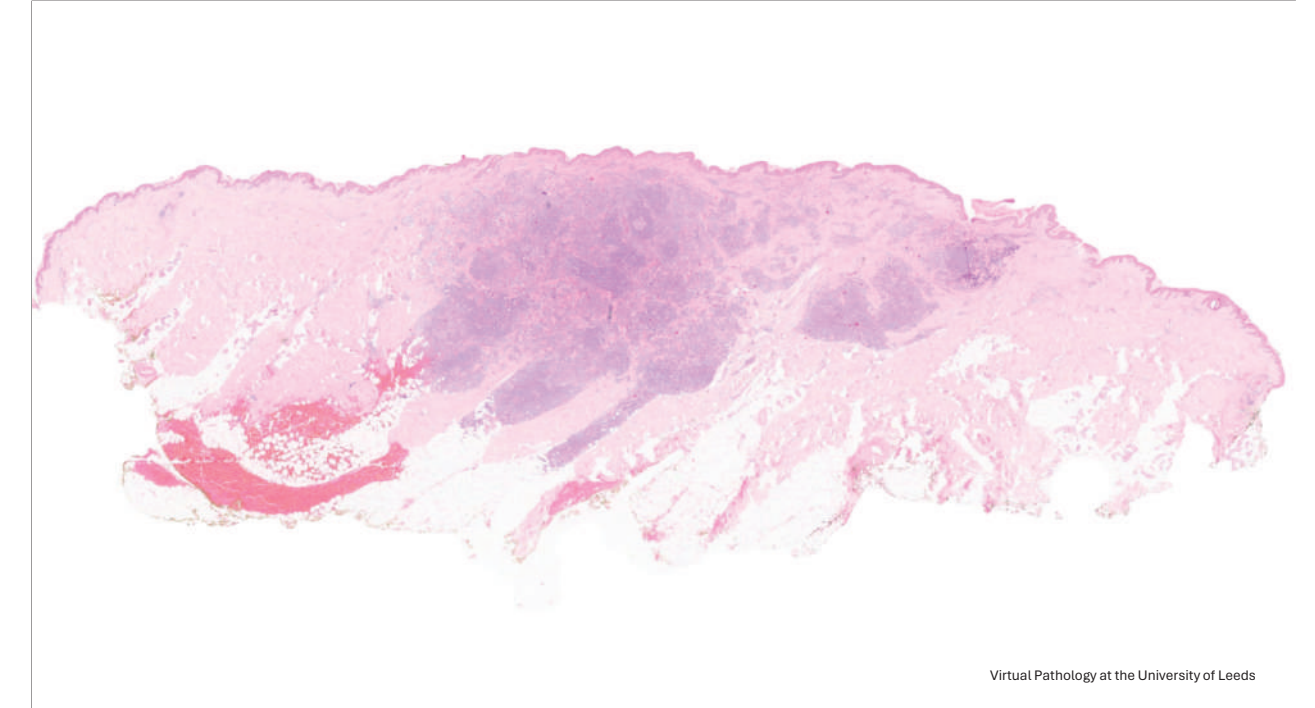
## HISTOPATHOLOGIE

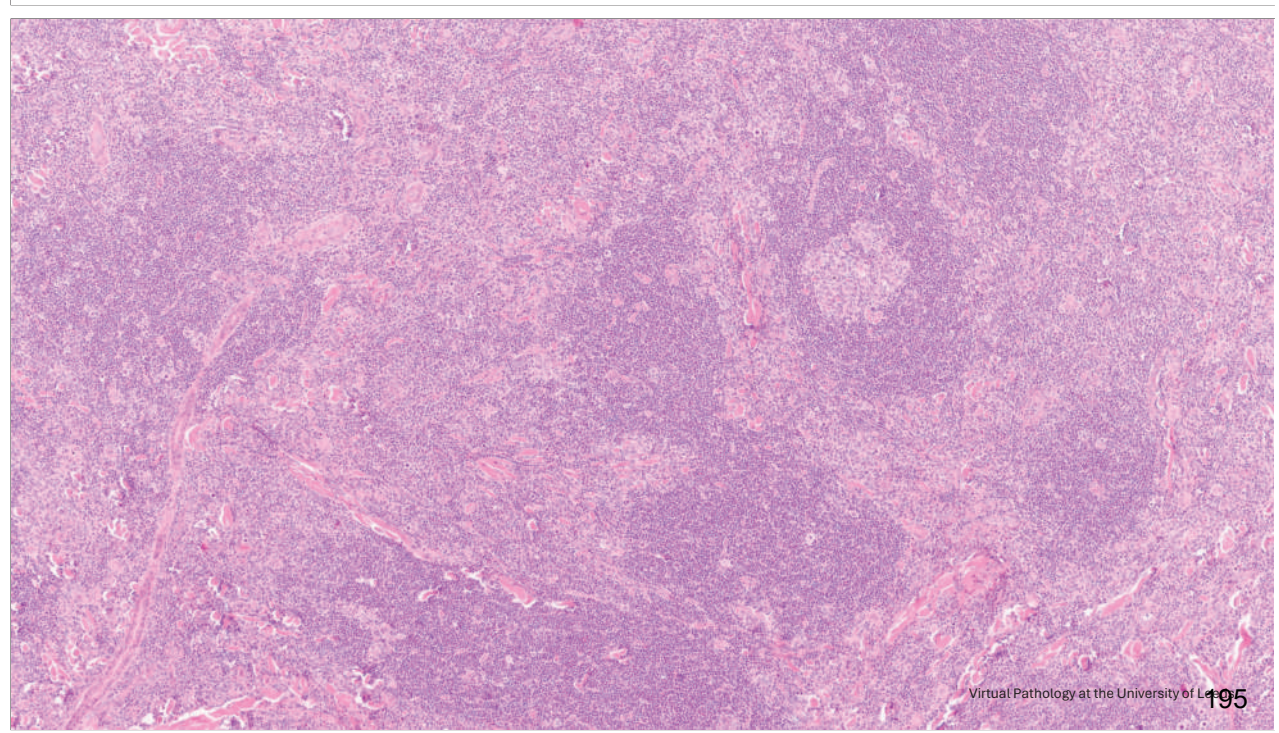
- Infiltrat lymphocytaire B dans le derme parfois nodulaire
- Diffusion vers l'hypoderme et respect de l'épiderme (grenz zone)
- Petits lymphocytes
- Parfois différenciation en plasmocytes
- Présence associée de nombreux LT (infiltrat hétérogène), regroupement de plasmocytes dans le derme superficiel, recrutement de cellules plasmocytoides dendritiques

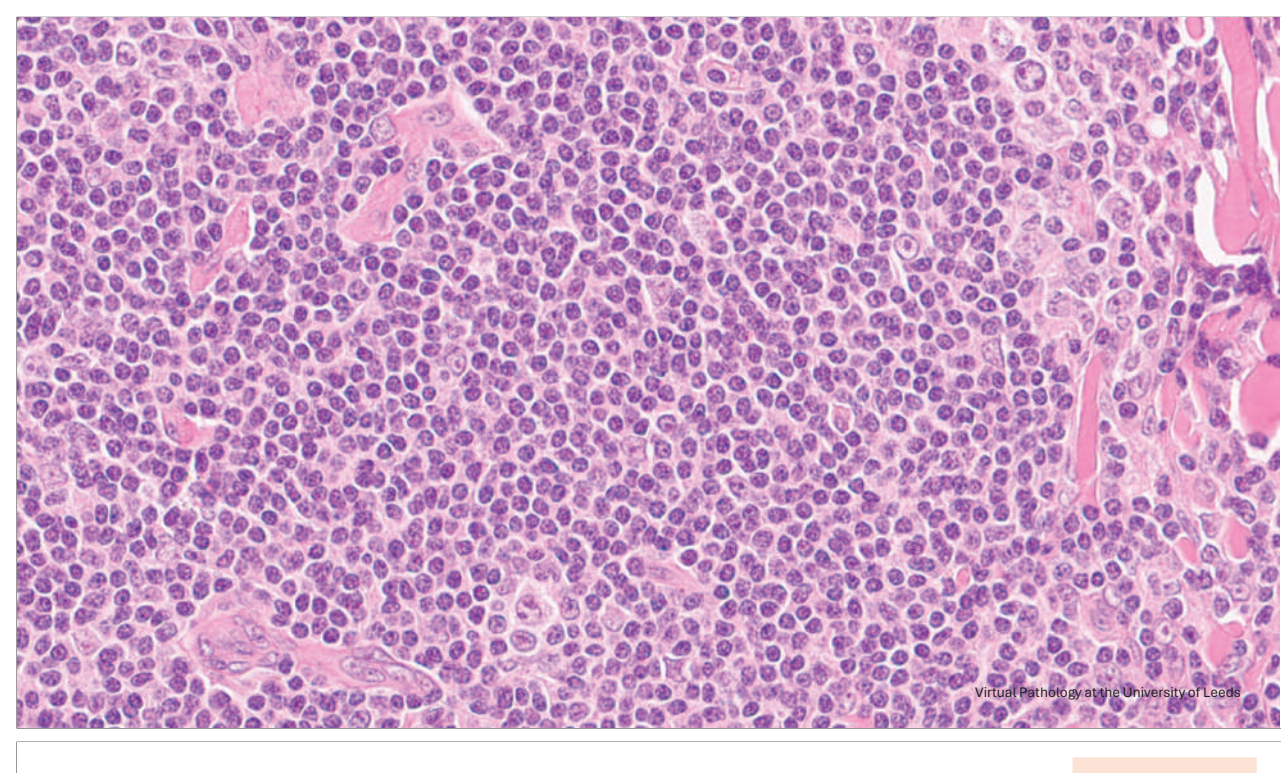
## LYMPHOME B DE LA ZONE MARGINALE (PCMZL)

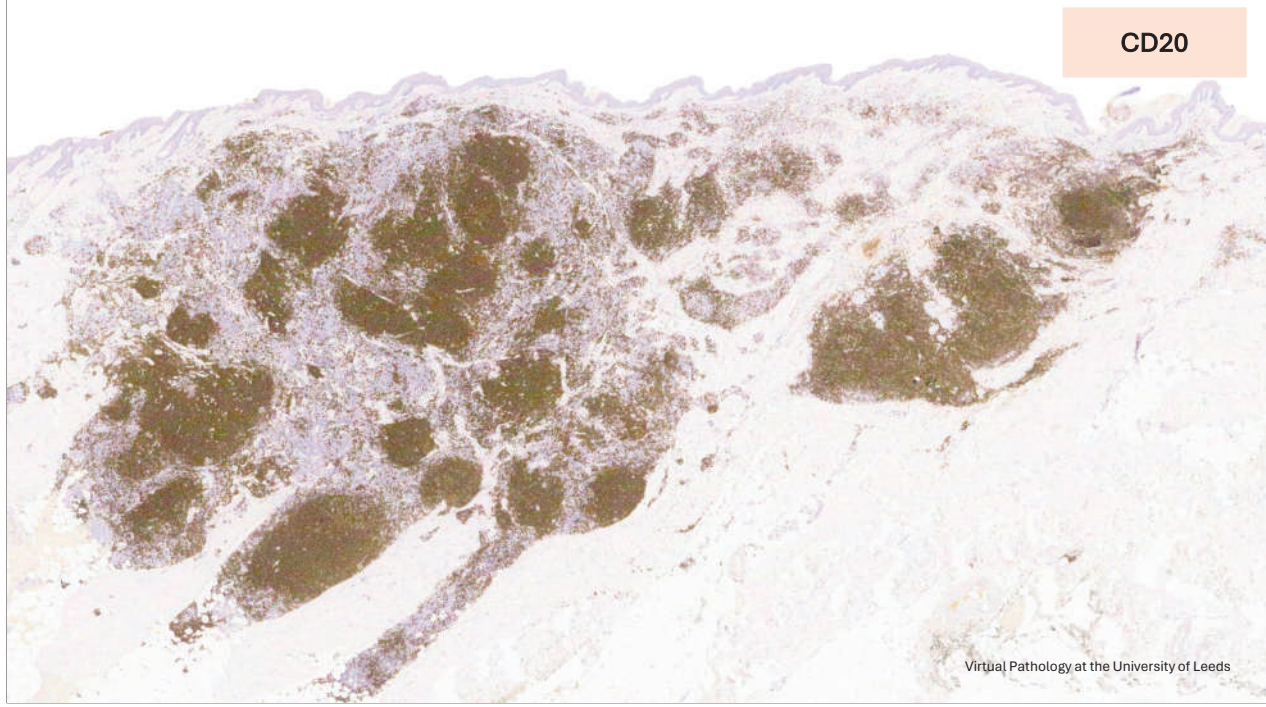
## **IMMUNOHISTOCHIMIE**

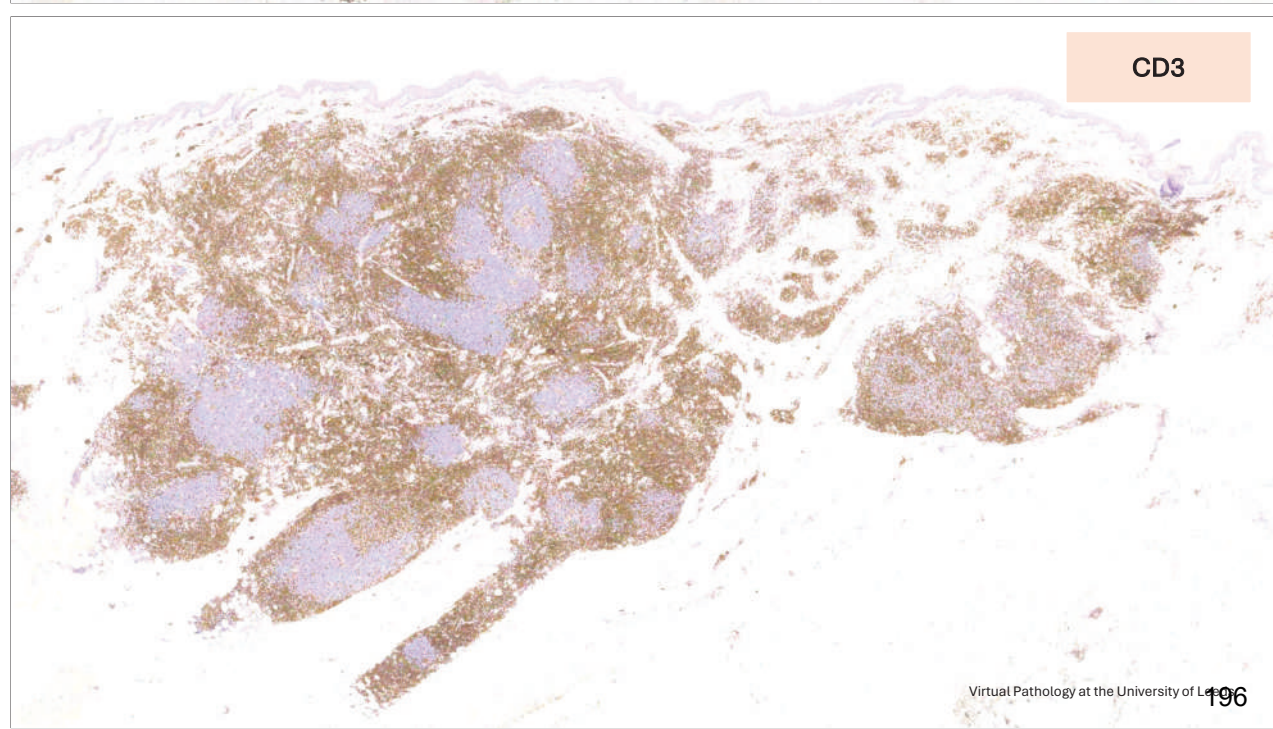
- CD19+, CD20+, CD79a+
- BCL2+
- CD5-, CD10-, **BCL6-**, cycline D1/SOX-11 -
- MUM1+/- et CD123 +/-
- Index de prolifération Ki67 faible
- Anomalie du rapport kappa/Lambda = monotypie plasmocytaire
- PCR borréliose négative

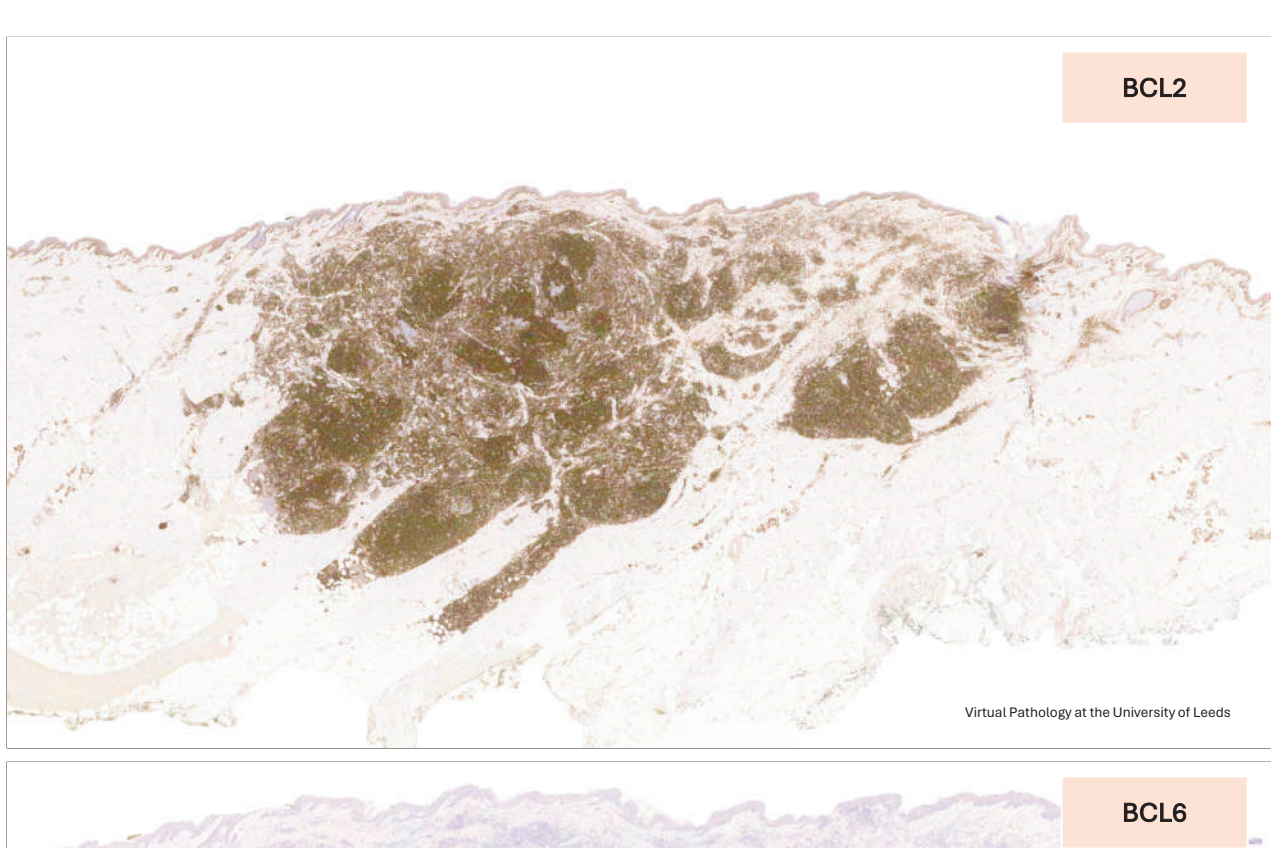


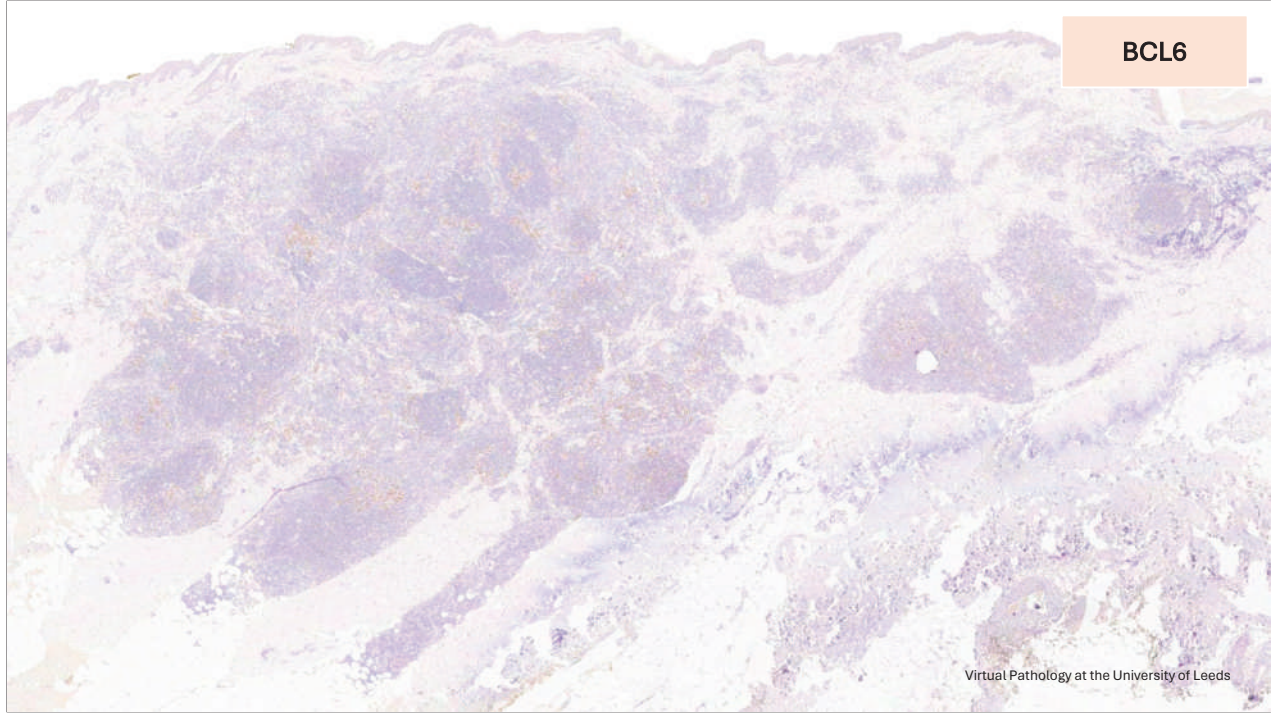


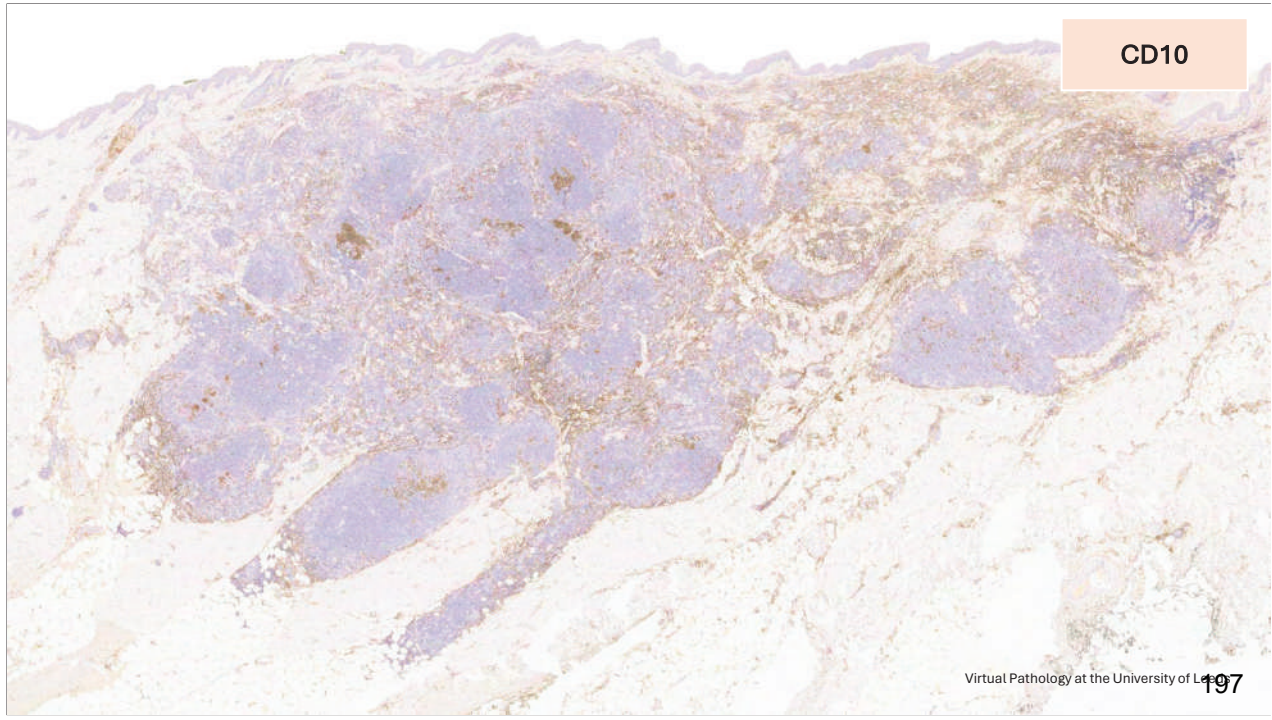


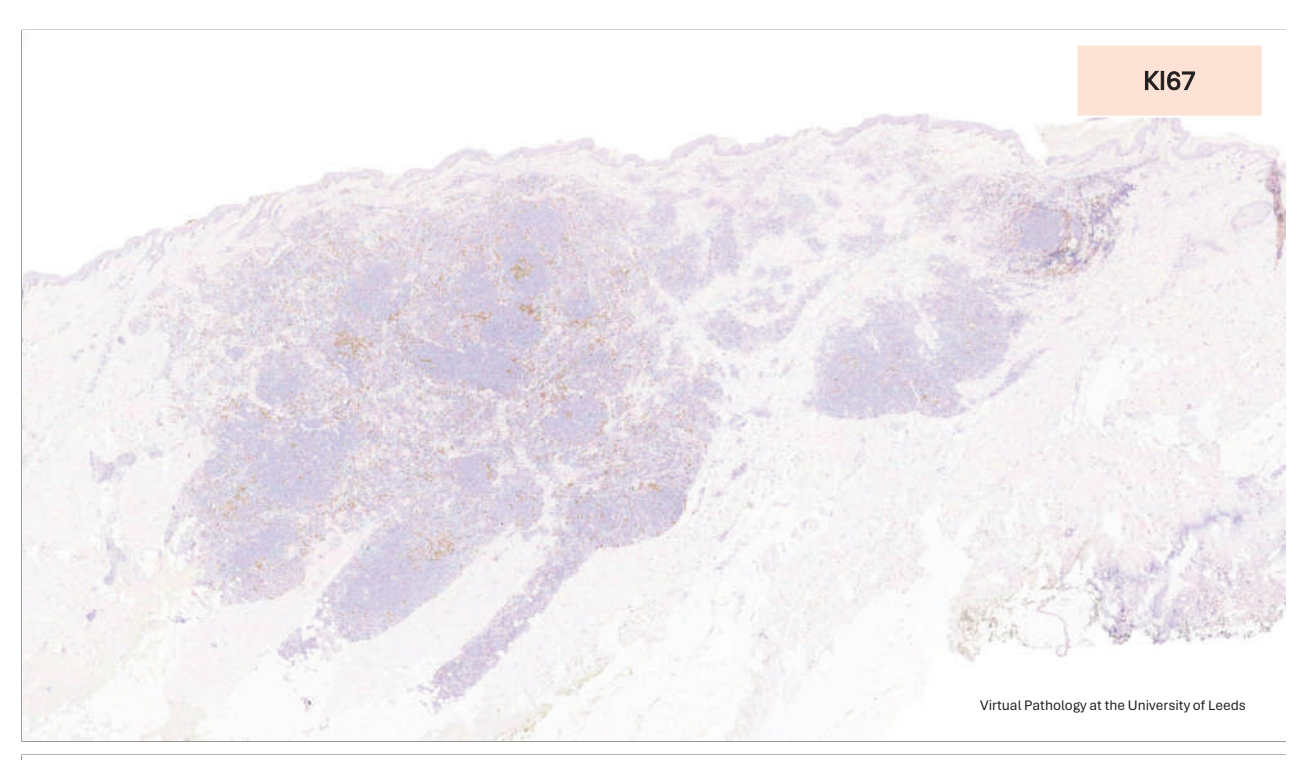


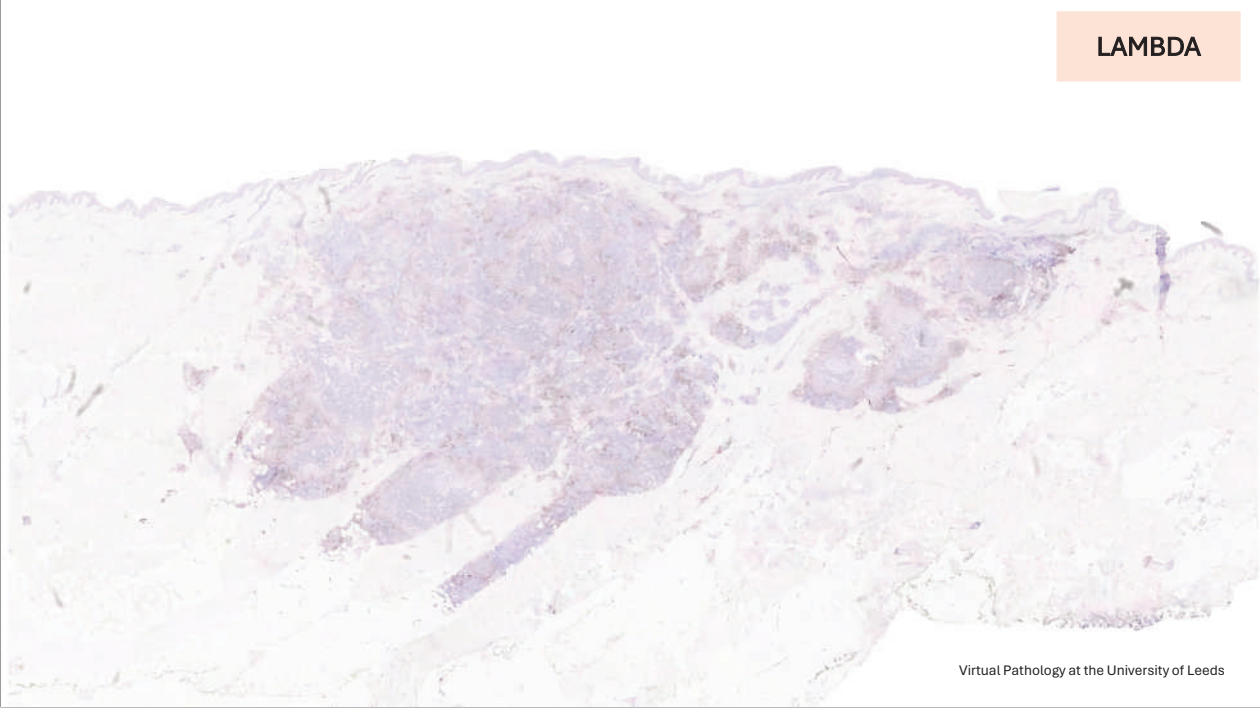


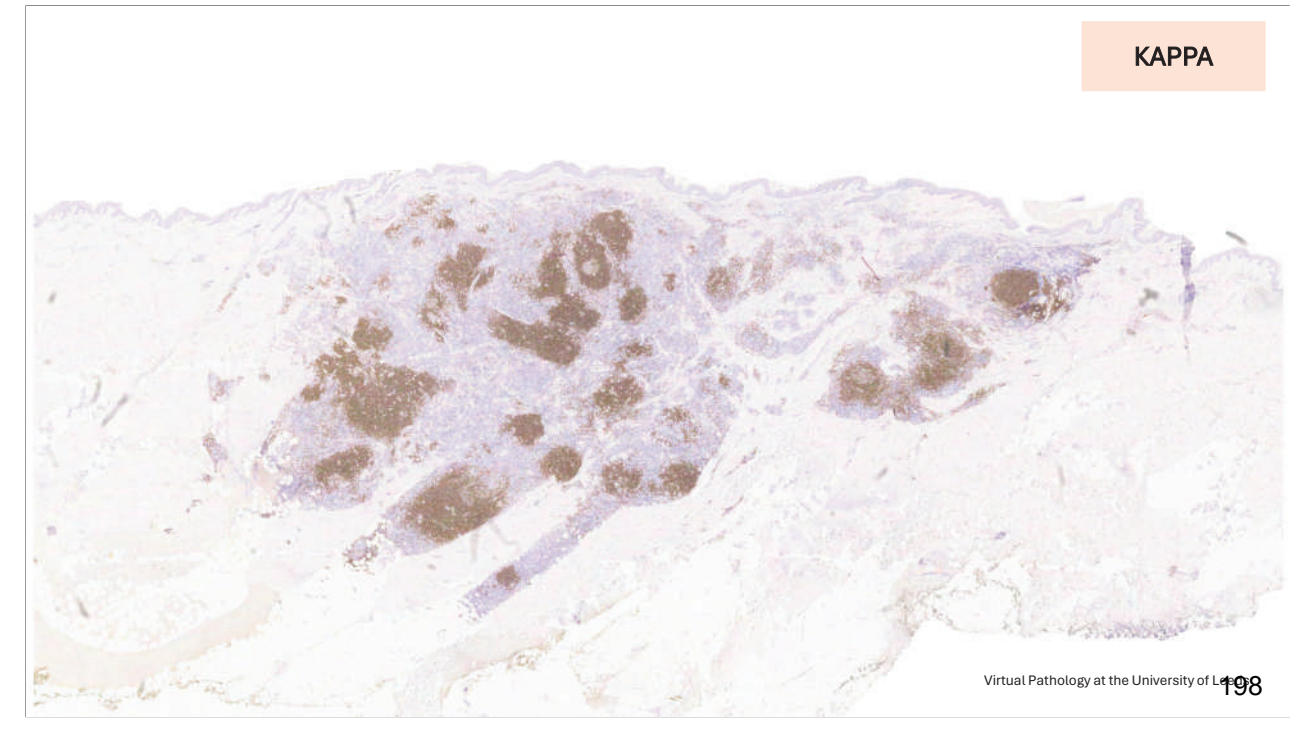


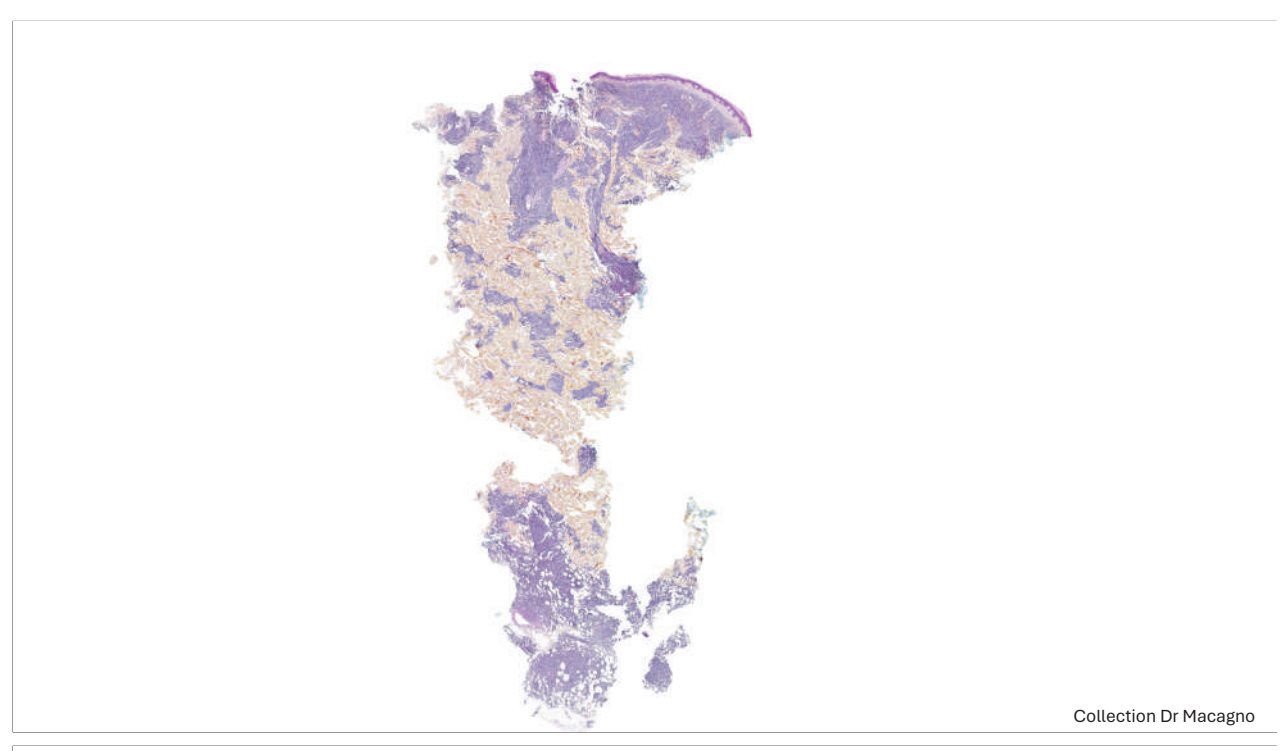


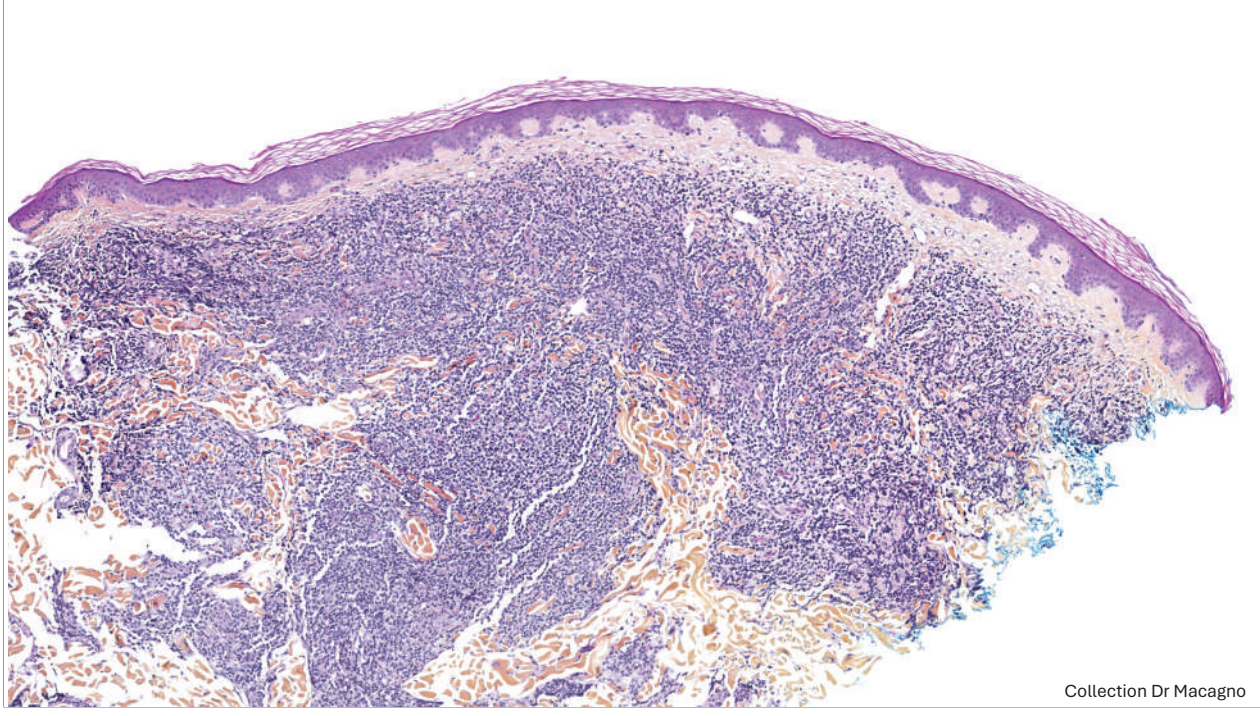


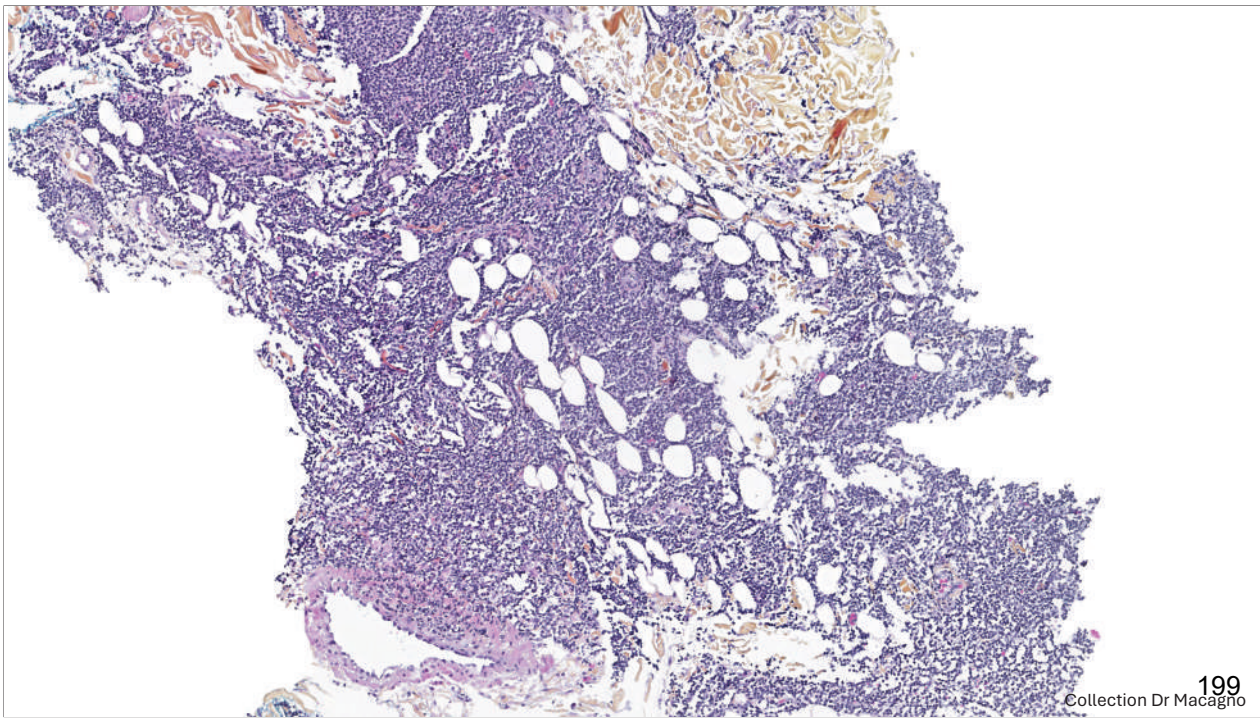


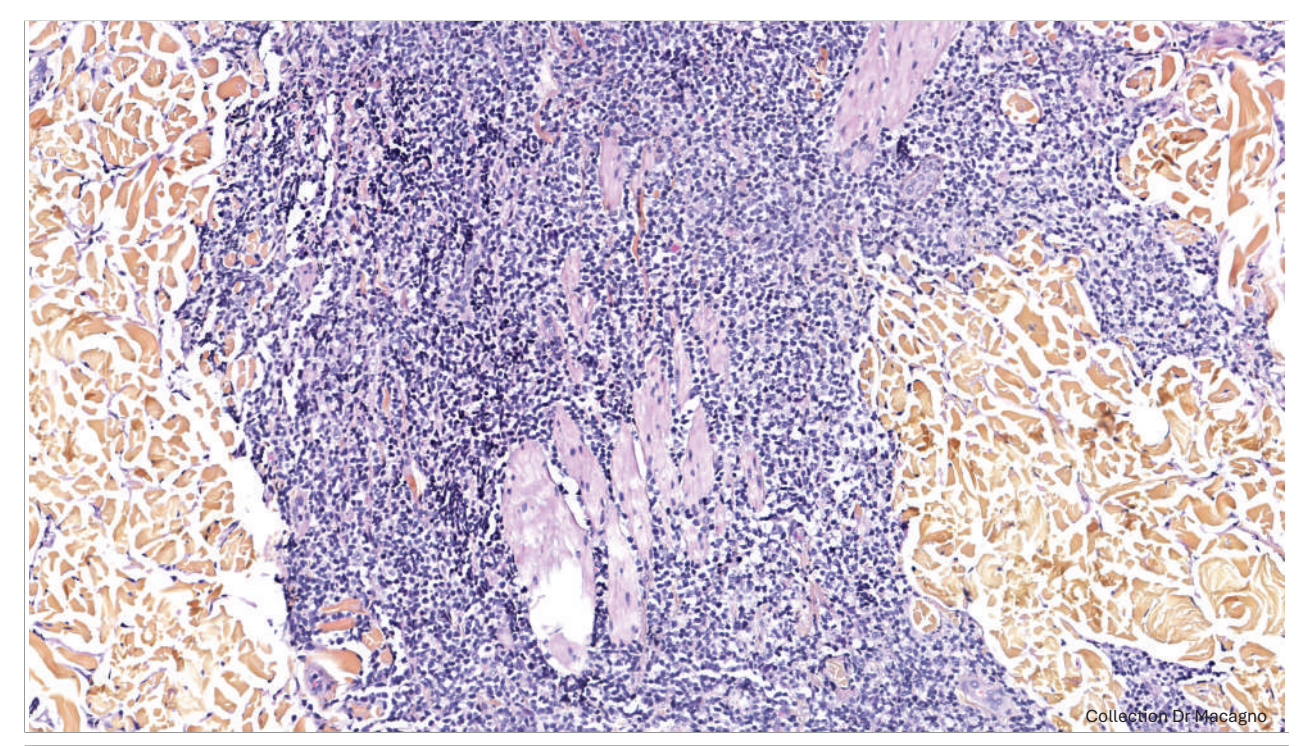






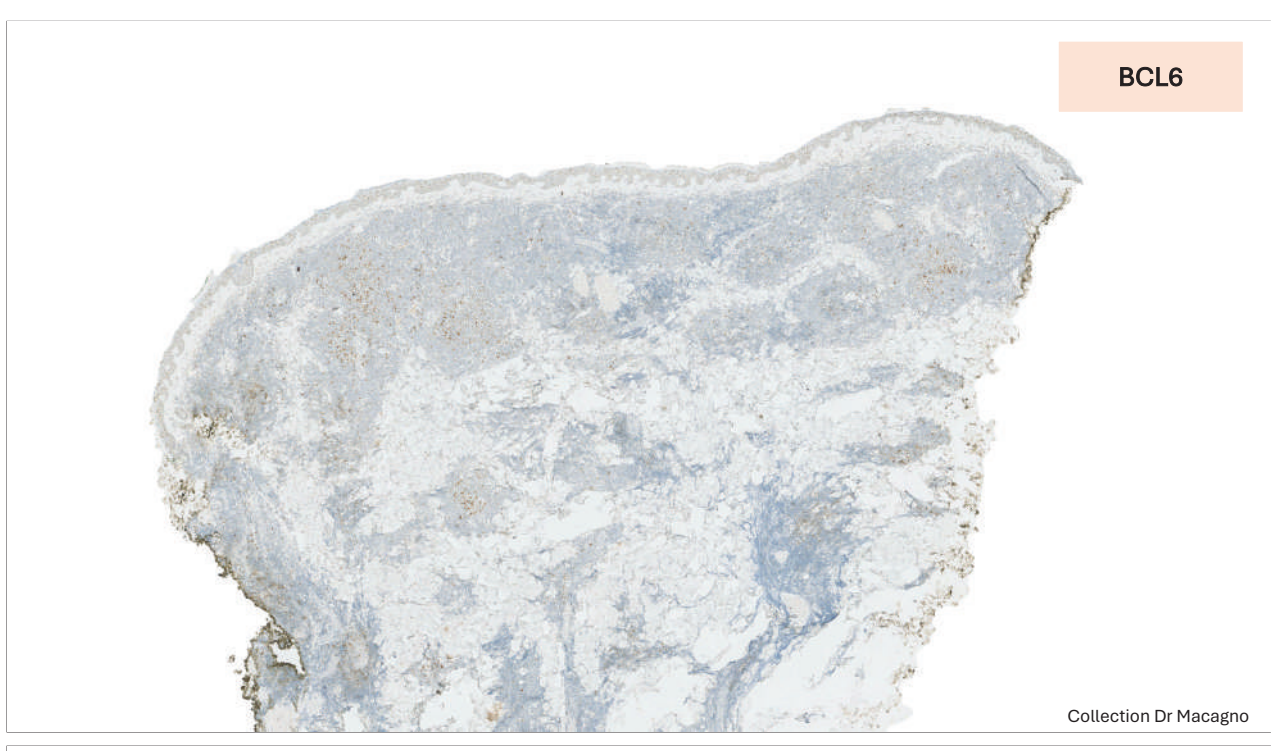


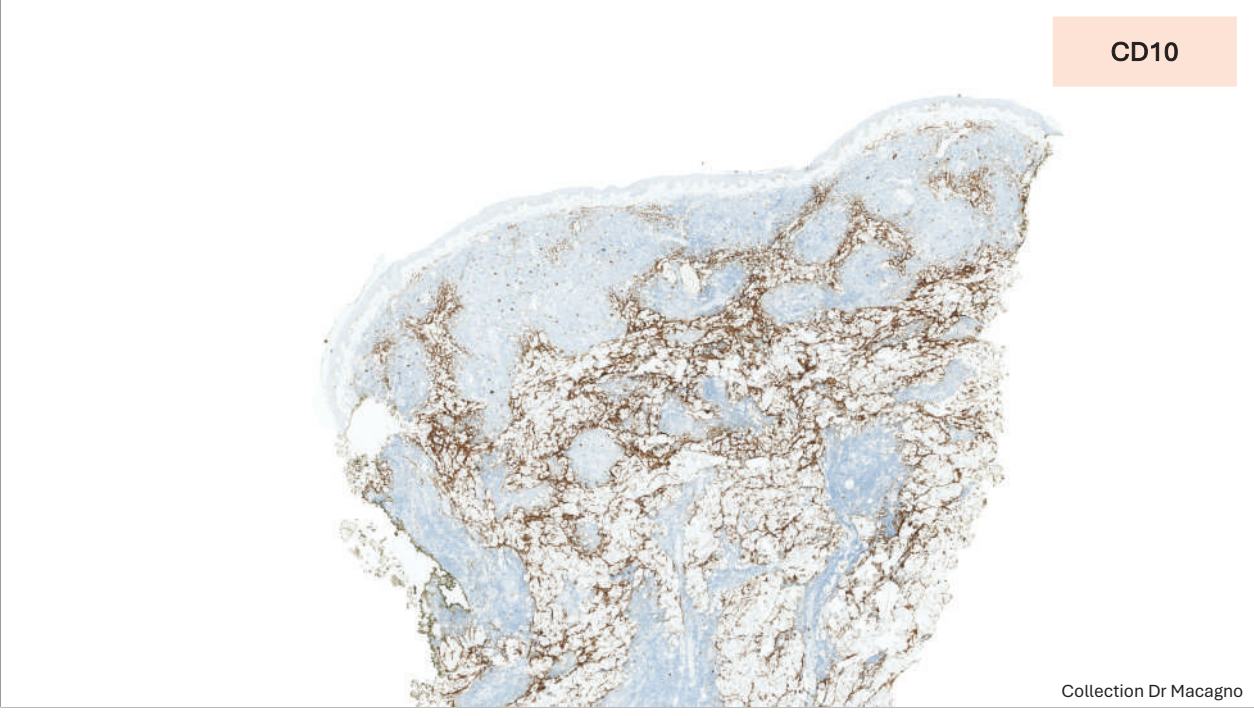




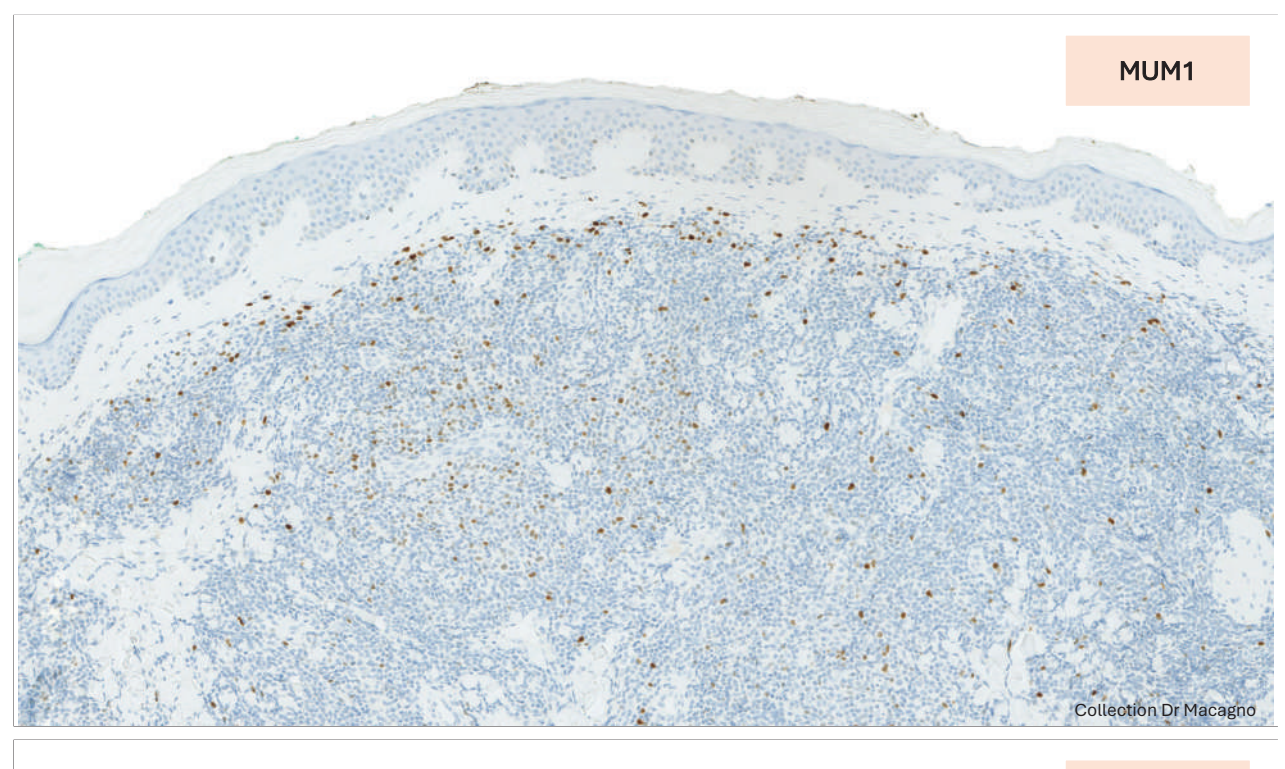


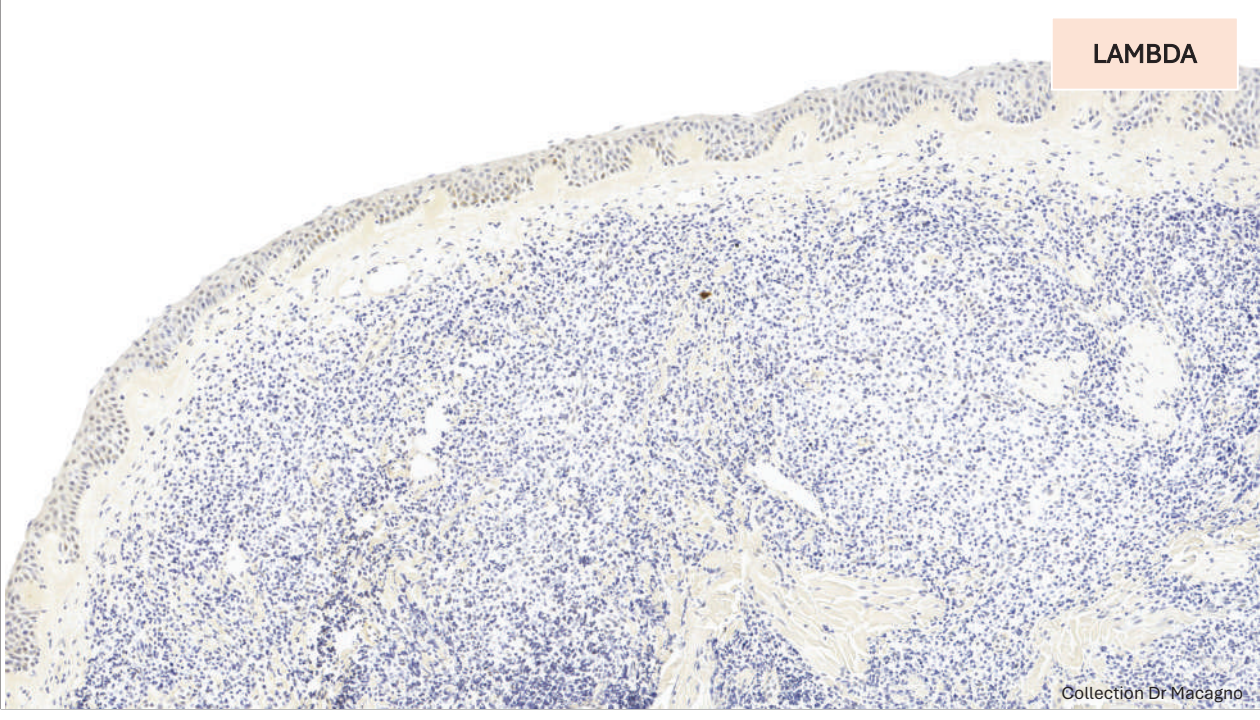


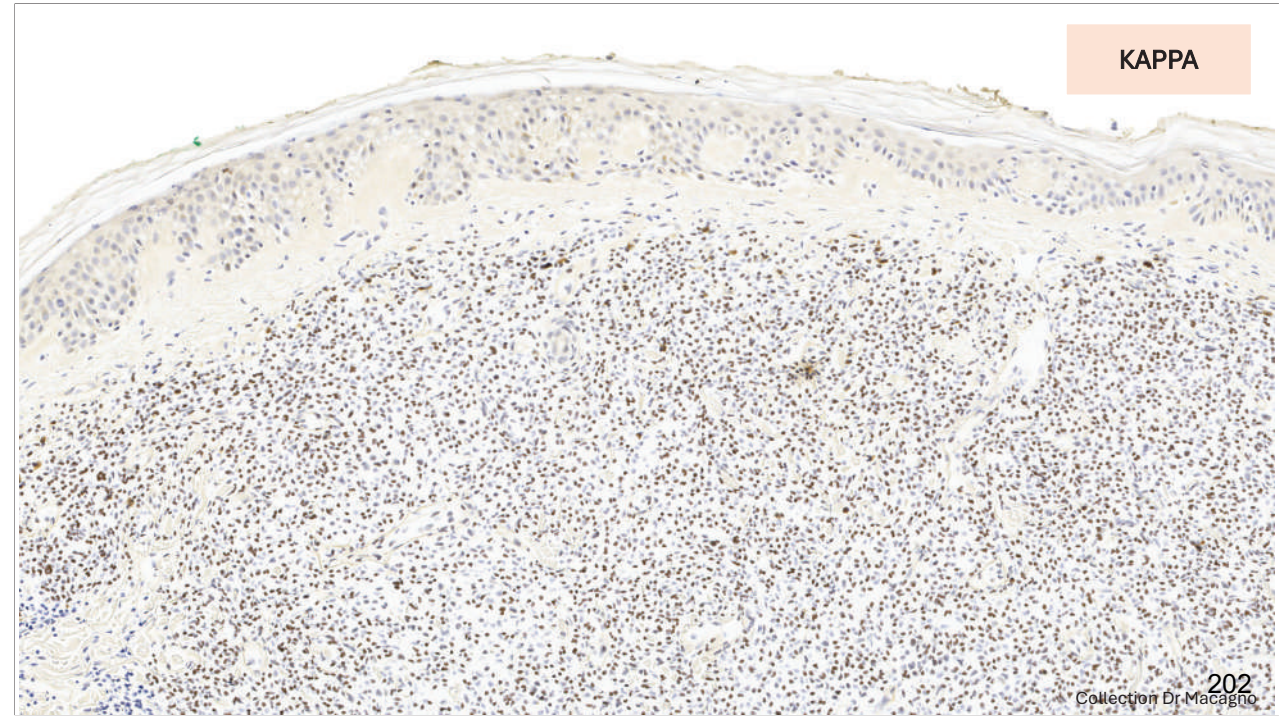












## LYMPHOME B DE LA ZONE MARGINALE (PCMZL)

#### **MOLECULAIRE**

- Monoclonalité du BCR (chaine kappa ou lambda)
- Translocation t(14;18) rare (contrairement aux autres lymphomes MALT)

## LYMPHOME B

## LYMPHOME B DE LA ZONE MARGINALE (PCMZL)

#### **BILAN INITIAL**

Examen clinique

Type de lésion, nombre de tumeurs, surface corporelle, aires ganglionnaires

Biopsie cutanée

Biopsie incisionnelle Examen histologique et biologie moléculaire

**Biologie** 

 $\sum$ Bilan standard avec LDH, beta2microglobulinémie, éléctrophorèse des protéines sériques; dosage pondéral des immunoglobulines, clonalité sanguine Sérologie borréliose

Radiologie

Scanner cervico-TAP et TEP-TDM, IRM cérébrale

**Autres biopsies** 

Si ADP suspecte > 1.5cm : biopsie ganglionnaire (histologie et clonalité) Biopsie ostéo-médullaire (non systématique)

#### LYMPHOME B

## LYMPHOME B DE LA ZONE MARGINALE (PCMZL)

## **STADES**

T: atteinte cutanée

1 : lésion cutanée solitaire :

T1a: lésion < 5 cm T1b: lésion > 5 cm

T2 : atteinte cutanée régionale : multiples lésions limitées à 1 ou 2 régions contiguës du corps :

T2a: surface cutanée atteinte < 15 cm

T2b: > 15 cm et < 30 cm

T2c: > 30 cm

T3: atteinte cutanée généralisée

T3a: multiples lésions cutanées touchant deux régions cutanées non contiguës

T3b: multiples lésions touchant plus de trois régions du corps

N: atteinte ganglionnaire:

NO: absence d'adnéopathie clinique ou d'envahissement histologique ganglionnaire

N1: atteinte ganglionnaire périphérique dans l'aire ganglionnaire (1 adénopathie) de drainage de l'atteinte cutanée

N2 : atteinte d'au moins 2 adénopathies ou d'au moins une adénopathie en dehors d'une aire ganglionnaire de drainage

N3: atteinte d'une adénopathie profonde

MO: absence d'atteinte viscérale

M1: atteinte viscérale: doit être documentée histologiquement

Par définition un lymphome cutané primitif non épidermotrope est NO, MO au diagnostic.
EORTC: European Organization for Research and Treatment of Cancer; ISCL: International society for cutaneous lymphoma; MF:

syndrome de Sézary; SS: syndrome de Sézary.

## LYMPHOME B DE LA ZONE MARGINALE (PCMZL)

#### **EVOLUTION et PRONOSTIC**

- Excellent pronostic
- Survie à 5 ans > 95%
- · Bonne réponse aux traitements
- Rechutes fréquentes environ 50% des cas (lesions multifocales > unique)
- Dissemination extra cutanée rare (ganglionnaire ou ostéomédullaire)
- Cas de transformation en lymphome à cellules larges décrits (rare)

LYMPHOME B

## LYMPHOME B DE LA ZONE MARGINALE (PCMZL)

## **EVOLUTION et PRONOSTIC**

Transformation blastique



> 30% de cellules larges dans l'infiltrat

- Rapporté dans les lymphomes MALT digestifs ou spléniques
- Peu de cas décrits pour les MALT cutanés
- Cas de novo ou sur terrain de lymphoma B cutané de la zone marginale connu
- Alourdissement du pronostic avec traitement par Rituximab +/- polychimiothérapies

LYMPHOME B

LYMPHOME B DE LA ZONE MARGINALE (PCMZL)

#### **EVOLUTION et PRONOSTIC**

	INDOLENT	AGRESSIF
Lymphome B	Lymphome B de la zone marginale	Lymphome B à grandes cellules, type jambe
25% des cas	Lymphome B centro-folliculaire	Lymphome B intra-vasculaire

## LYMPHOME B DE LA ZONE MARGINALE (PCMZL)

## **DIAGNOSTICS DIFFERENTIELS**

- Autres lymphomes B
- Hyperplasie lymphocytaires bénignes (pseudo-lymphomes)

## LYMPHOME B

## LYMPHOME B DE LA ZONE MARGINALE (PCMZL)

## **TRAITEMENTS**

- Exérèse chirurgicale
- Radiothérapie
- Injection intra lésionnelle de corticoïdes
- Certains cas décrits de guérison après antibiothérapie dirigée contre Borelia Burgdorferi en cas de co-infection
- Rituximab à discuter si forme disséminée

## LYMPHOME B

## LYMPHOME B DE LA ZONE MARGINALE (PCMZL)

## SUIVI

- Clinique et biologique tous les 6 mois
- Imagerie sur point d'appel

## LYMPHOME B DE LA ZONE MARGINALE (PCMZL)

**SYNTHESE** 

9% des lymphomes cutanés 25% des lymphomes B 2º localisation de lymphome MALT Age moyen 50 ans Légère prédominance masculine

Diagnostic repose sur clinique + histologie + immunohistochimie + moléculaire

Plaques, papules, nodule ou masse rouge/violacée asymptomatique Le plus souvent unique ou groupées, multifocales dans 15% Ulcération secondairement Tronc, membres supérieurs et visage Infiltrat dermique de petits lymphocytes B avec diffuser vers l'hypoderme et respect de l'épiderme Positivité marqueurs B (CD19, CD20, CD79a) BCL2+, BCL6-

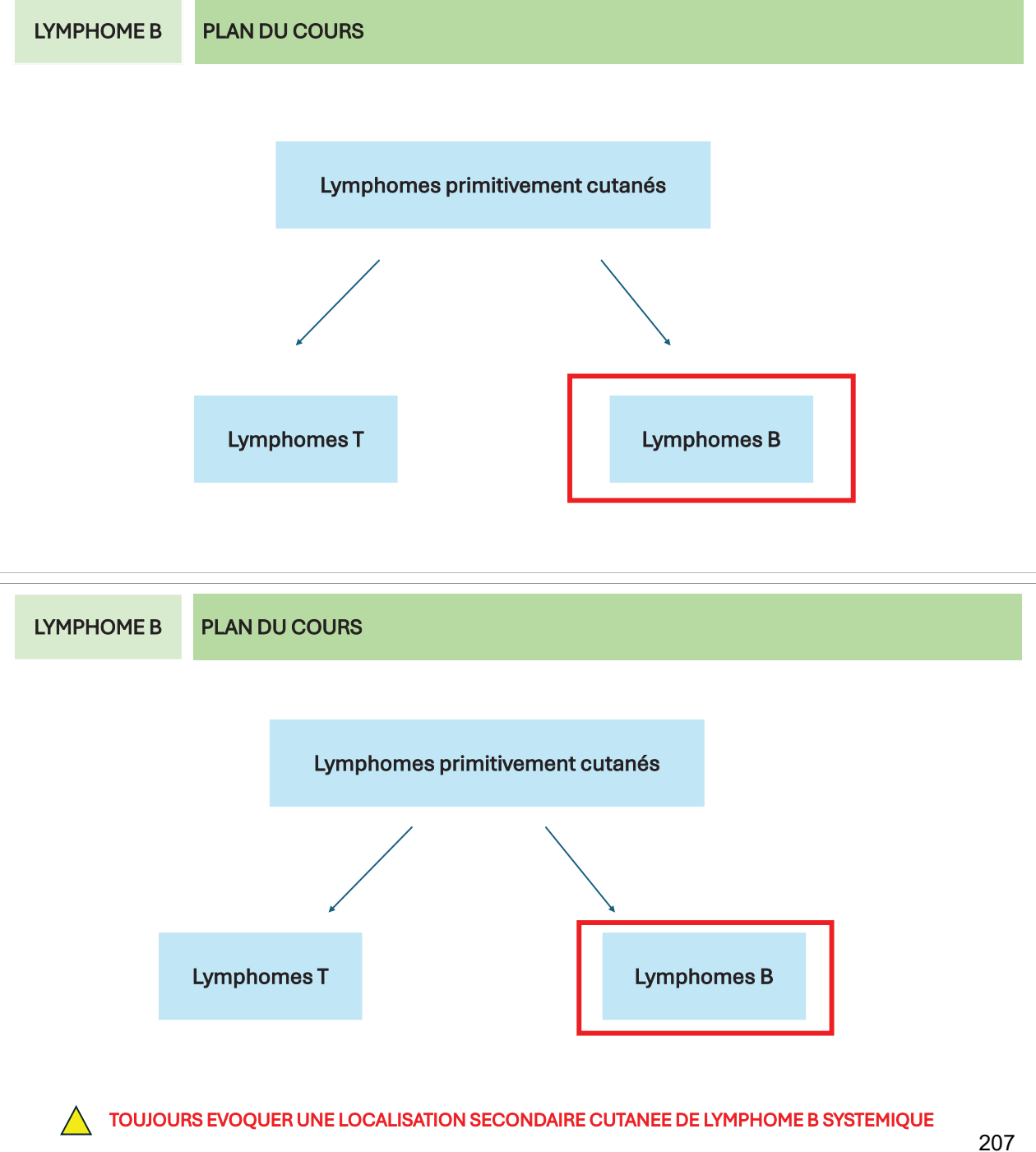
Monotypie plasmocytaire
Monoclonalité BCR

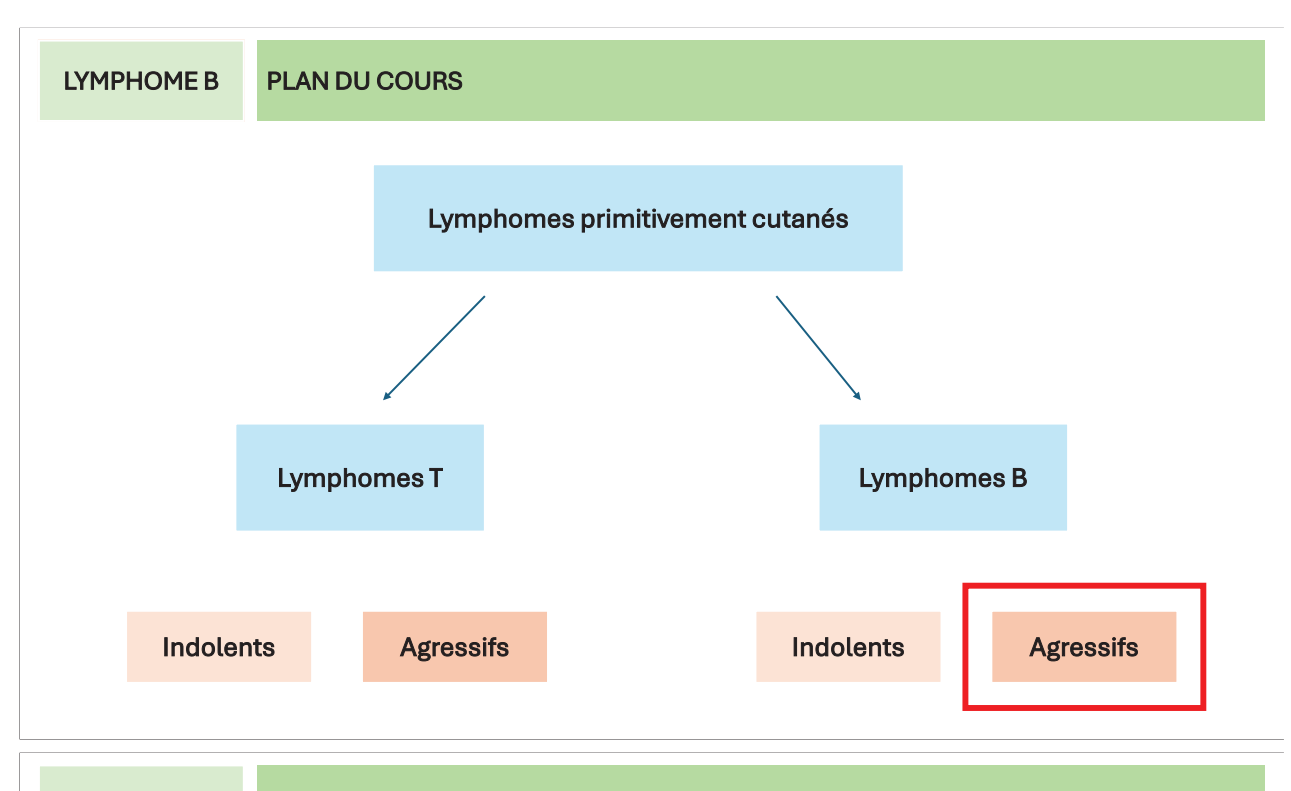
Pronostic **excellent** avec survie à 5 ans > 95% Cas de régression spontanée possible Dissémination extra cutanée rare Récidive fréquente 50% des cas Possible transformation blastique (très rare)

Bilan initial biologique et radiographique Traitement chirurgical ou radiothérapie Discuter Rituximab et polychimiothérapie si disséminé

206

# Lymphomes cutanés B agressifs





**SOMMAIRE** 

- 1/ Lymphome primitivement cutané de la zone marginale
- 2/ Lymphome primitivement cutané centro-folliculaire
- 3/ Lymphome primitivement cutané à larges cellules B diffuses, type jambe
- 4/ Lymphome B intra vasculaire

LYMPHOME B

**SOMMAIRE** 

- 1/ Lymphome primitivement cutané de la zone marginale
- 2/ Lymphome primitivement cutané centro-folliculaire
- 3/ Lymphome primitivement cutané à larges cellules B diffuses, type jambe
- 4/ Lymphome B intra vasculaire



**AGRESSIFS** 

## LYMPHOME B A CELLULES LARGES DIFFUSES, TYPE JAMBE

- 1/ Lymphome primitivement cutané de la zone marginale
- 2/ Lymphome primitivement cutané centro-folliculaire
- 3/ Lymphome primitivement cutané à larges cellules B diffuses, type jambe
- 4/ Lymphome B intra vasculaire

## LYMPHOME B

## LYMPHOME B A CELLULES LARGES DIFFUSES, TYPE JAMBE

#### **INTRODUCTION**

- Première description 1996, par Vermeer et al
- Entité reconnue par l'OMS depuis 2005
- Terminologie anglaise «primary cutaneous diffuse large B-cell Lymphoma » (PCDLBCL)

## LYMPHOME B

## LYMPHOME B A CELLULES LARGES DIFFUSES, TYPE JAMBE

#### **EPIDEMIOLOGIE**

- Très rare
- Représente 4% des lymphomes cutanés
- Age moyen 70 ans
- Plus fréquent chez les femmes

## LYMPHOME B A CELLULES LARGES DIFFUSES, TYPE JAMBE

## **CLINIQUE**

- Nodules ou masses rouges/violacés
- Unique ou multiple
- Evolution rapide
- · Ulcération secondairement
- Principalement sur les membres inférieurs (possible aussi supérieurs)



Collection Dr Amatore

## LYMPHOME B

## LYMPHOME B A CELLULES LARGES DIFFUSES, TYPE JAMBE







L. Cerroni, Skin Lymphoma, 4e edition, Wiley

## LYMPHOME B

## LYMPHOME B A CELLULES LARGES DIFFUSES, TYPE JAMBE



Willemze R, WHO-EORTC classification for cutaneous lymphomas. Blood. 2005 May 15;105(10):3768-85. doi: 10.1182/blood-2004-09-3502. Epub 2005 Feb 3. PMID: 15692063.



Li F, Wang L. Spontaneous regression of primary cutaneous diffuse large B-cell lymphoma, leg type after biopsy. Indian J Dermatol Venereol Legal 2023;89:110-113.

## **CLINIQUE**



Fujita N, Primary Cutaneous Diffuse Large B-cell Lymphoma, Leg Type. Intern Med. 2020 Jul 15;59(14):1785. doi: 10.2169/internalmedicine.4497-20. Epub 2020 Apr 2. PMID: 32238727; PMCID: PMC7434555.

LYMPHOME B

LYMPHOME B A CELLULES LARGES DIFFUSES, TYPE JAMBE

#### **HISTOPATHOLOGIE**

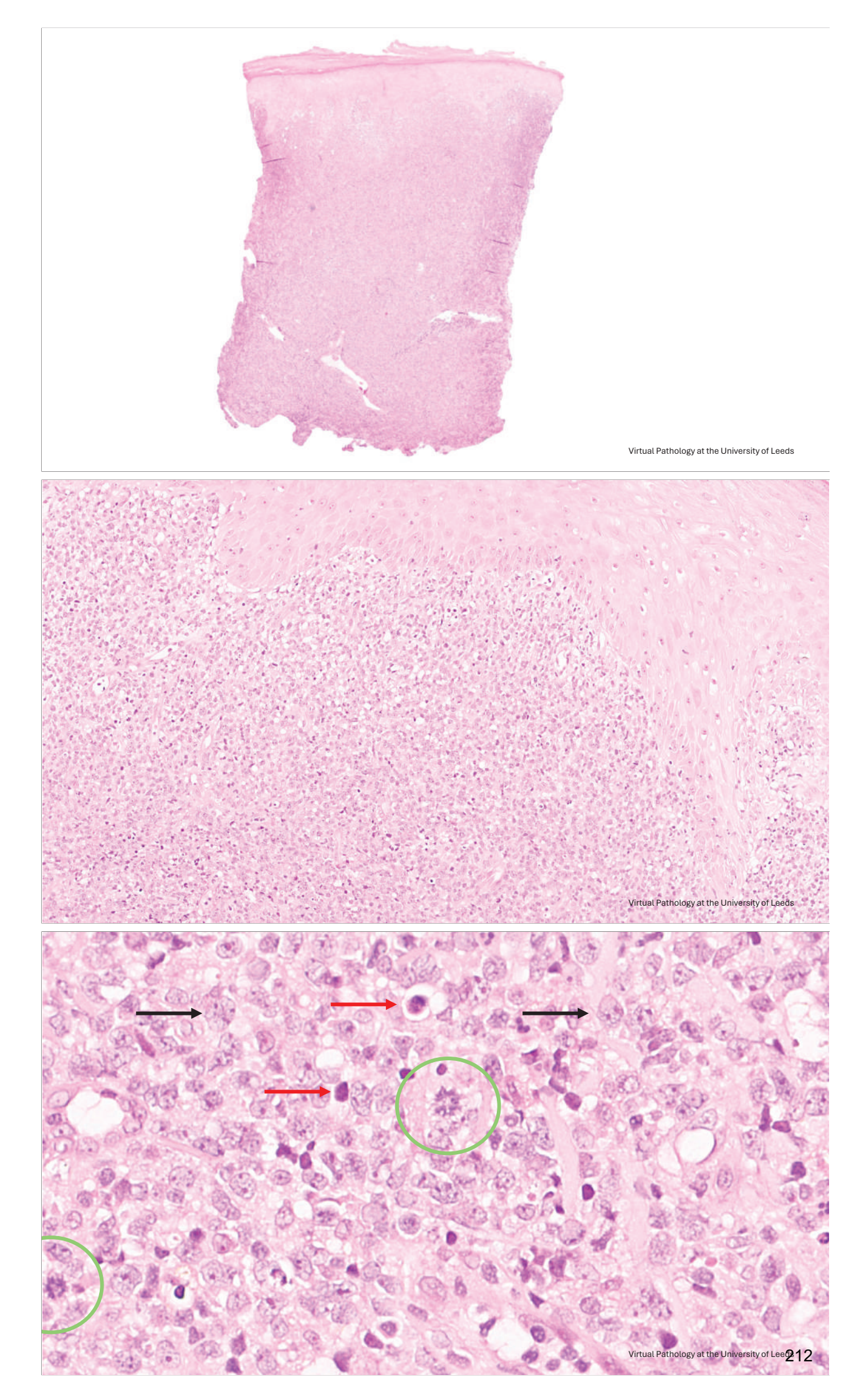
- Infiltrat dermique diffus ou nodulaire de lymphocytes B de grande taille (centroblastes et immunoblastes)
- Index mitotique élevé
- Infiltrat de LT péritumoral

LYMPHOME B

LYMPHOME B A CELLULES LARGES DIFFUSES, TYPE JAMBE

## **IMMUNOHISTOCHIMIE**

- CD20+, PAX5+ et CD79a+
- Souvent positivité de Bcl-6 (45%-75%) ou Bcl-2 (90%), MUM1
- Ki67 elevé
- Négativité du CD3, CD5 et CD30
- EBER-







Virtual Pathology at the University of Leeds



CD3

Virtual Pathology at the University of Leeds



BCL2



Virtual Pathology at the University of Leeds

## LYMPHOME B

## LYMPHOME B A CELLULES LARGES DIFFUSES, TYPE JAMBE

## **MOLECULAIRE**

- Rearrangement monoclonal de la chaine lourde d'immunoglobuline
- Mutation activatrice de MYD88 (70% des cas)

## LYMPHOME B

## LYMPHOME B A CELLULES LARGES DIFFUSES, TYPE JAMBE

#### **BILAN INITIAL**

Examen clinique

Type de lésion, nombre de tumeurs, surface corporelle, aires ganglionnaires

Biopsie cutanée

Biopsie incisionnelle
Examen histologique et biologie moléculaire

Biologie

Bilan standard avec LDH, beta2microglobulinémie, éléctrophorese des protéines sériques; dosage pondéral des immunoglobulines, clonalité B sanguine

Radiologie

Scanner cervio-TAP et TEP- TDM, IRM cérébrale

Autres biopsies

Si ADP suspecte > 1.5cm : biopsie ganglionnaire (histologie et clonalité) Biopsie ostéo-médullaire (à discuter)

#### LYMPHOME B A CELLULES LARGES DIFFUSES, TYPE JAMBE

#### **STADES**

T : atteinte cutanée

T1: lésion cutanée solitaire:

T1a: lésion < 5 cm

T1b: lésion > 5 cm

T2 : atteinte cutanée régionale : multiples lésions limitées à 1 ou 2 régions contiguës du corps : T2a : surface cutanée atteinte < 15 cm

T2b: > 15 cm et < 30 cm

T2c: > 30 cm

T3: atteinte cutanée généralisée

T3a: multiples lésions cutanées touchant deux régions cutanées non contiguës

T3b: multiples lésions touchant plus de trois régions du corps

N: atteinte ganglionnaire:

NO: absence d'adnéopathie clinique ou d'envahissement histologique ganglionnaire

N1: atteinte ganglionnaire périphérique dans l'aire ganglionnaire (1 adénopathie) de drainage de l'atteinte cutanée

N2: atteinte d'au moins 2 adénopathies ou d'au moins une adénopathie en dehors d'une aire ganglionnaire de drainage

N3: atteinte d'une adénopathie profonde

M0: absence d'atteinte viscérale

M1: atteinte viscérale: doit être documentée histologiquement

Par définition un lymphome cutané primitif non épidermotrope est NO, MO au diagnostic. EORTC: European Organization for Research and Treatment of Cancer; ISCL: International society for cutaneous lymphoma; MF: syndrome de Sézary; SS: syndrome de Sézary.

Prise en charge des lymphomes T cutanés : recommandations du Groupe français d'étude des lymphomes cutanés, M. Beylot-Barry, Annales de dermatologie et de vénéréologie (2010) 137, 611—621

#### LYMPHOME B

#### LYMPHOME B A CELLULES LARGES DIFFUSES, TYPE JAMBE

#### **EVOLUTION et PRONOSTIC**

- · Lymphome agressif avec mortalité elevée
- Survie à 5 ans < 50%</li>
- · Rechute fréquente environ 70%
- · Dissémination extra cutanée fréquente
- · Rares cas de régression spontanée décrits

## LYMPHOME B

## LYMPHOME B A CELLULES LARGES DIFFUSES, TYPE JAMBE

#### **EVOLUTION et PRONOSTIC**

	INDOLENT	AGRESSIF
Lymphome B	Lymphome B de la zone marginale	Lymphome B à grandes cellules, type jambe
25% des cas		
	Lymphome B centro-folliculaire	Lymphome B intra-vasculaire

## LYMPHOME B A CELLULES LARGES DIFFUSES, TYPE JAMBE

#### **TRAITEMENTS**

• Polychimiothérapie (R-CHOP)

#### LYMPHOME B

#### LYMPHOME B A CELLULES LARGES DIFFUSES, TYPE JAMBE

SYNTHESE

**4%** des lymphomes cutanés Très rare Age moyen 70 ans Légère prédominance femme

Diagnostic repose sur clinique + histologie + immunohistochimie + moléculaire

## IMPERATIF D'ELIMINER UN LYMPHOME SYSTEMIQUE

Nodules ou masse rouge/violacée Unique ou multiple

#### **Evolution rapide**

Ulcération secondairement Principalement sur les membres inférieurs Infiltrat dermique diffus de lymphocytes B de grande taille Index mitotique élevé

Positivité marqueura B (CD10, CD20, CD70a)

Positivité marqueurs B (CD19, CD20, CD79a) Positivité BCL2 ou BCL6, Ki67 élevé Monoclonalité BCR, mutation MYD88

## Pronostic médiocre

Maladie agresive avec survie à 5 ans <50% Récidive et atteinte extra cutanée fréquente

Bilan initial biologique et radiographique Traitement repose sur la polychimiothérapie

#### LYMPHOME B

## LYMPHOME B A CELLULES LARGES DIFFUSES, TYPE JAMBE

#### **BIBLIOGRAPHIE**

1/ L. Cerroni, Skin Lymphoma, 4e edition, Wiley

2/ Willemze R, WHO-EORTC classification for cutaneous lymphomas. Blood. 2005 May 15;105(10):3768-85.

3/ Li F, Wang L. Spontaneous regression of primary cutaneous diffuse large B-cell lymphoma, leg type after biopsy. Indian J Dermatol Venereol Leprol 2023;89:110-113.

4/ Fujita N, Ono Y, Sano A, Tanaka Y. Primary Cutaneous Diffuse Large B-cell Lymphoma, Leg Type. Intern Med. 2020 Jul 15;59(14):1785

5/ D'Arena G, et al. Leg Type Primary Cutaneous Diffuse Large B-Cell Lymphoma. Indian J Hematol Blood Transfus. 2019 Apr;35(2):378-379.

6/ Thomas V, Dobson R, Mennel R. Primary cutaneous large B-cell lymphoma, leg type. Proc (Bayl Univ Med Cent). 2011 Oct;24(4):350-3.

## LYMPHOME B A CELLULES LARGES DIFFUSES, TYPE JAMBE

#### **BIBLIOGRAPHIE**

7/ Hristov AC. Primary cutaneous diffuse large B-cell lymphoma, leg type: diagnostic considerations. Arch Pathol Lab Med. 2012 Aug;136(8):876-81.

8/ Al-Obaidi A, Parker NA, Choucair K, Lalich D, Truong P. Primary Cutaneous Diffuse Large B-Cell Lymphoma, Leg Type: A Case Report. Cureus. 2020 Jun 16;12(6):e8651.

9/ Sun L, et al. A Case of CD5-Positive Primary Cutaneous Diffuse Large B-Cell Lymphoma, Leg Type Secondary to Chronic Lymphedema. Am J Dermatopathol. 2022 Mar 1;44(3):179-182.

10/ Datta D et al. F-18 FDG PET/CT in staging and response assessment of primary cutaneous diffuse large B-cell lymphoma (leg type). Eur J Hybrid Imaging. 2023 Aug 22;7(1):15

11/ Winkler M, et al. Spontaneous regression of primary cutaneous diffuse large B-cell lymphoma, leg type: A case series and review of the literature. J Dermatol. 2024 Sep;51(9):1233-1239

LYMPHOME B

**SOMMAIRE** 

1/ Lymphome primitivement cutané de la zone marginale

2/ Lymphome primitivement cutané centro-folliculaire

3/ Lymphome primitivement cutané à larges cellules B diffuses, type jambe

4/ Lymphome B intra vasculaire

LYMPHOME B

LYMPHOME B INTRA VASCULAIRE

## INTRODUCTION

- Lymphoprolifération de lymphocytes B tumoraux dans la lumière des vaisseaux de petits calibres
- · N'est pas à proprement parlé un lymphome primitivement cutané
- Inclus dans classification OMS car le plus souvent diagnostiqué sur biopsie cutanée
- Terminologie anglaise : intravacular large B cell lymphoma (IVLBCL)

## LYMPHOME B INTRA VASCULAIRE

## **INTRODUCTION**

- Première description en 1959 par Pfleger et Tappeiner : Origine endothéliale ? Dénomination "angioendotheliomatosis proliferans systemisata"
- En 1986, Sheibani et al prouvent l'origine lymphoide des cellules Dénomitation devient "angiotropic (intravascular) large-cell lymphoma"

## LYMPHOME B

## LYMPHOME B INTRA VASCULAIRE

## **EPIDEMIOLOGIE**

- Très rare
- Représente 1% des lymphomes cutanés
- · Age moyen 70 ans
- · Sexe ratio équilibré

## LYMPHOME B

## LYMPHOME B INTRA VASCULAIRE

## **DIAGNOSTIC**

- Difficile, retard diagnostique important
- · Présentation clinique très hétérogène
- Examens paracliniques souvent non concluants, à répéter
- · Souvent réalisé en post mortem
- Diagnostic le plus souvent réalisé sur biopsie cutanée > biopsie ostéo-médullaire

## LYMPHOME B INTRA VASCULAIRE

## **CLINIQUE**

- Manifestations cliniques variées dépendantes de la distribution des vaisseaux atteints (phénomène occlusif)
- Atteintes cutanées, neurologiques et hématologiques les plus fréquentes
- Autres manifestations possibles
  - > Important polymorphisme clinique

## LYMPHOME B

## LYMPHOME B INTRA VASCULAIRE

## **CLINIQUE**

#### Lymphome B intravasculaire



## Phénotype asiatique

Atteinte hématologique Syndrome d'activation macrophagique et hémophagocytose

## Phénotype occidental

 $\sum$  Atteinte cutanée et neurologique

## LYMPHOME B

#### LYMPHOME B INTRA VASCULAIRE

## **CLINIQUE**

Atteinte cutanée

- Eruption maculo-papuleuse
- Nodules ou plaques violacées
- Purpura, télangiectasies
- · Peau d'orange
- Panniculite
- · Douleur et ulcérations



## LYMPHOME B INTRA VASCULAIRE

Atteinte cutanée

## **CLINIQUE**





L. Cerroni, Skin Lymphoma, 4<sup>e</sup> edition, Wiley

LYMPHOME B

## LYMPHOME B INTRA VASCULAIRE

**CLINIQUE** 

Atteinte cutanée

- · Eruption maculo-papuleuse
- Nodules ou plaques violacées
- Purpura
- Peau d'orange
- Panniculite
- Douleur et ulcérations

- · Parfois seule manifestation clinique
- F>H
- Souvent plus jeune (60 ans)
- Meilleur pronostic

LYMPHOME B

## LYMPHOME B INTRA VASCULAIRE

## **CLINIQUE**

Signes généraux = Signes B

Fièvre, asthénie, sueurs nocturnes, perte de poids, altération de l'état général

Atteinte neurologique centrale

Très variable : déficit moteur ou sensitif, troubles de l'équilibre, de la mémoire, trouble du langage, vertiges

Atteinte hématologique

Anémie, thrombopénie, hépato-splénomégalie, adénopathies, élévation des LDH, élévation de beta2microglobuliénmie, syndrome d'activation macrophagique, syndrome d'hémophagocytose

## LYMPHOME B INTRA VASCULAIRE

## **HISTOPATHOLOGIE**

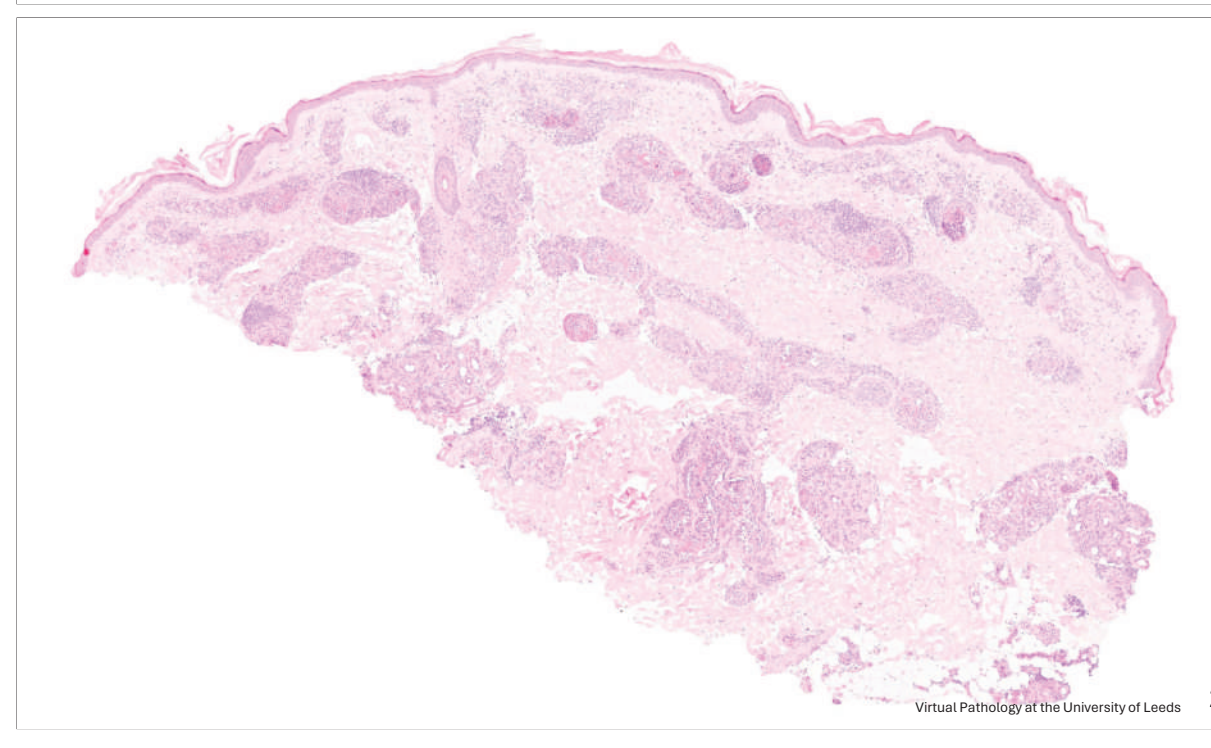
- · Présence de lymphocytes atypiques dans la lumière vasculaire
- Gros lymphocytes avec noyau vésiculaire
- Images de mitoses
- Intérêt de demander des recoupes (atteinte pouvant être très focale)
- Nécessité de visualiser hypoderme (vaisseaux les plus souvent atteints)

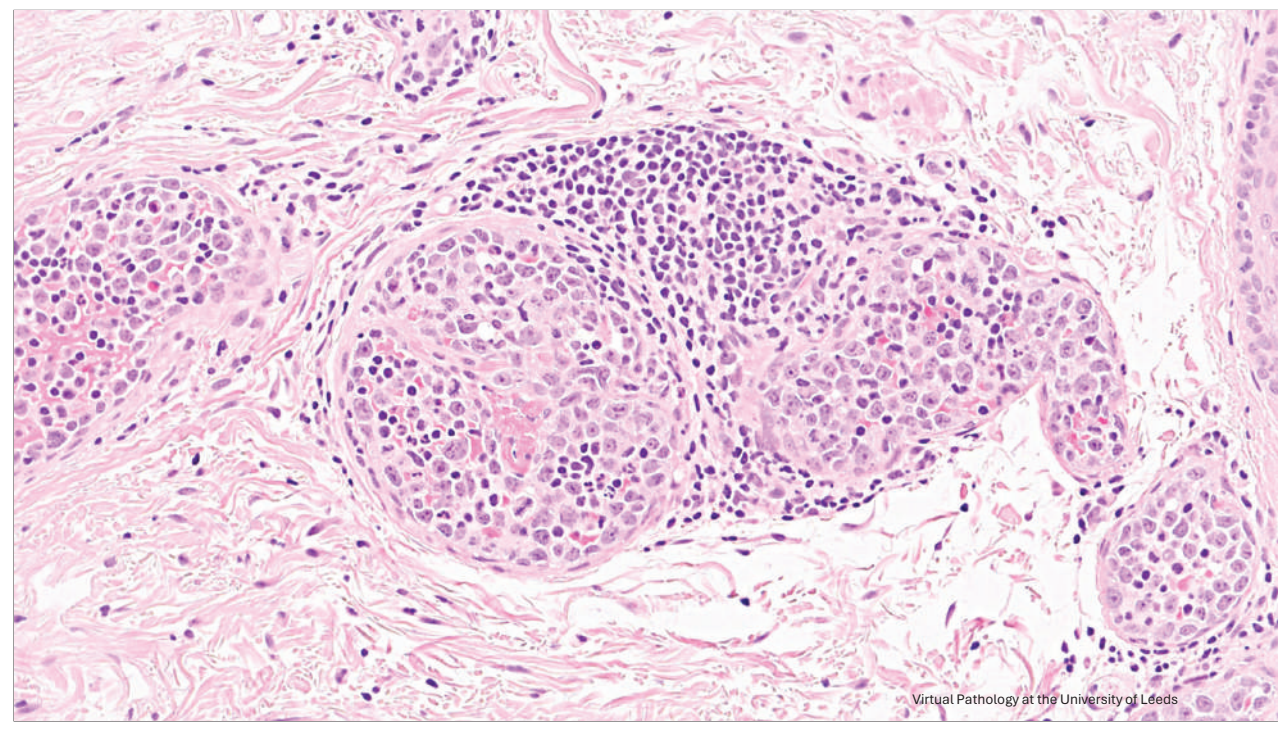
## LYMPHOME B

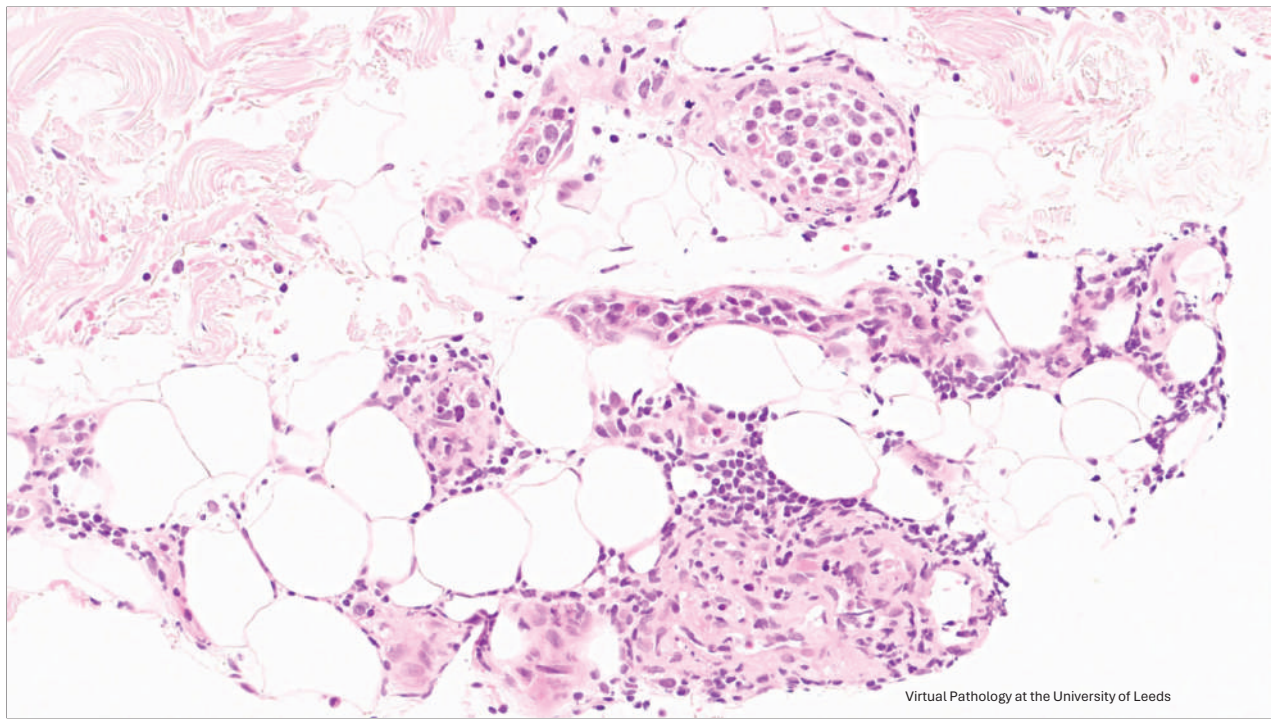
## LYMPHOME B INTRA VASCULAIRE

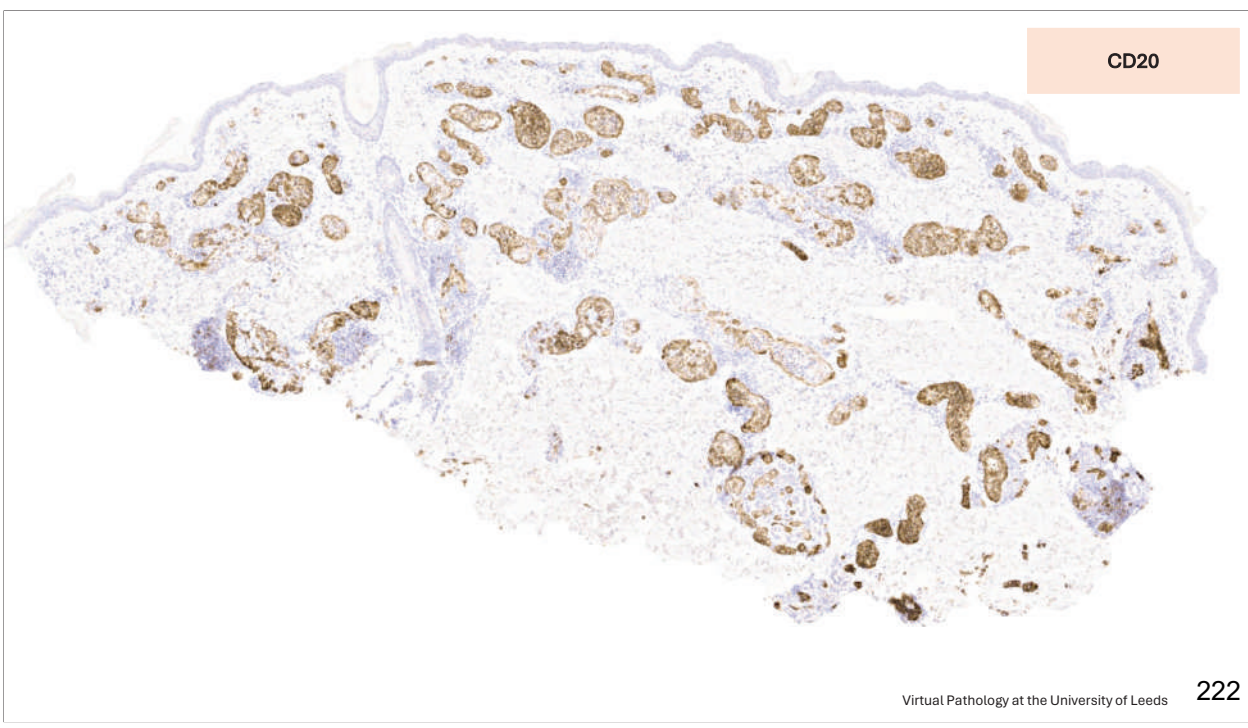
## **IMMUNOHISTOCHIMIE**

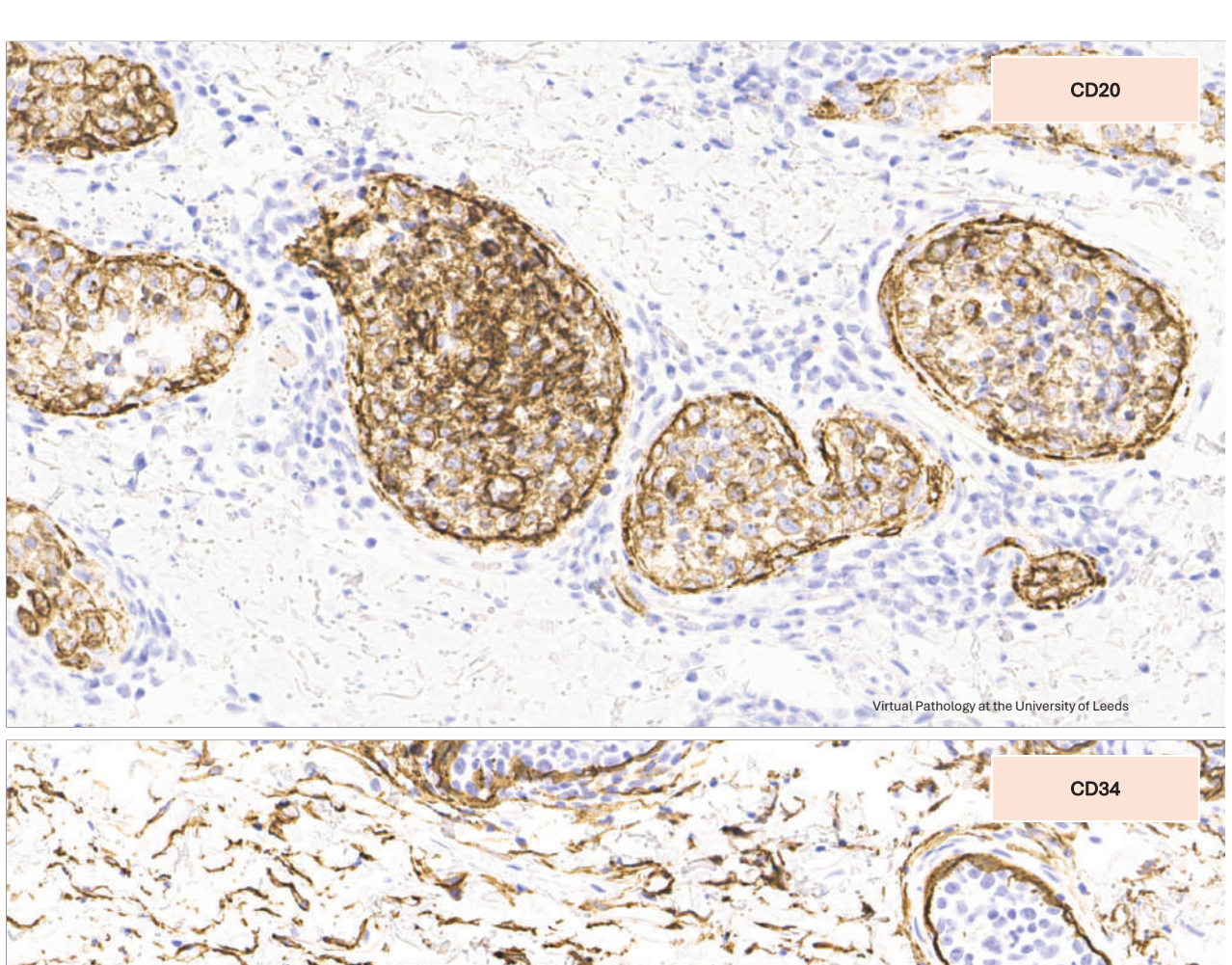
- CD19+, CD20+, CD79a+, PAX5+
- KI67 elevé
- BCL2 et MUM1 positifs
- BCL6 variable (20 à 70% des cas)
- CD5+ (40% des cas), CD10- (90% des cas), CD30 +/-
- EBER- et HHV8-

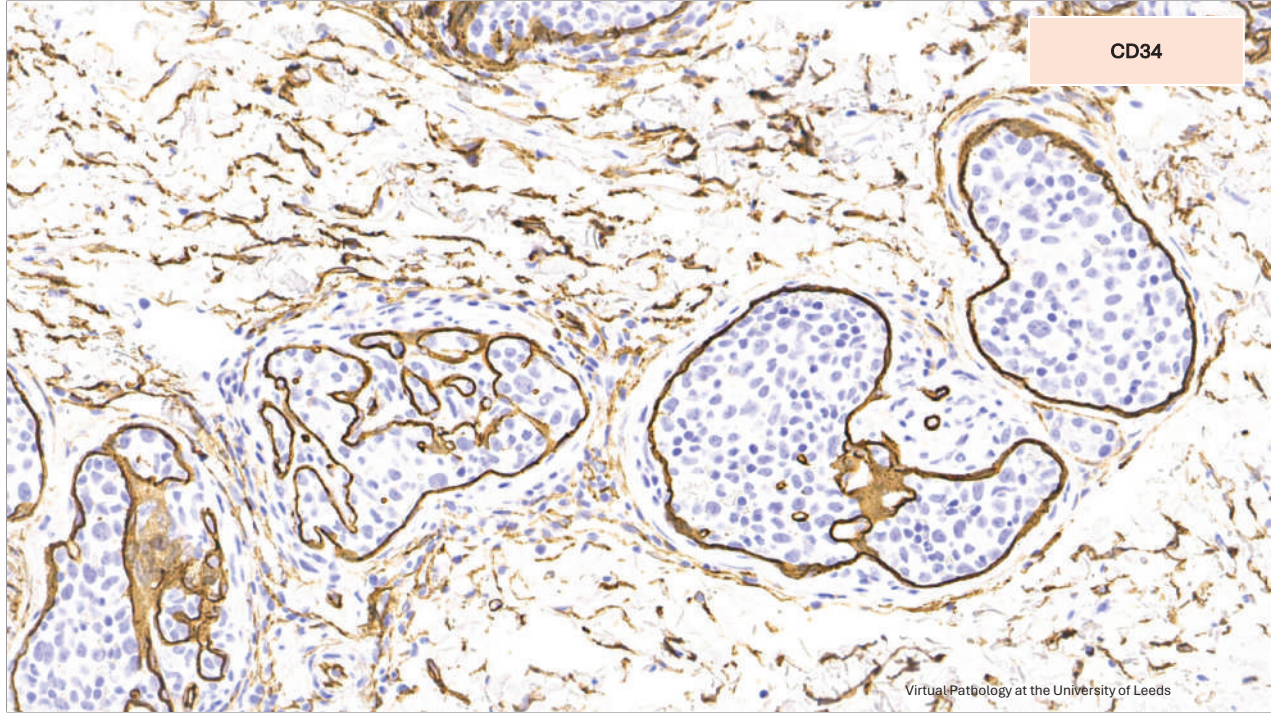


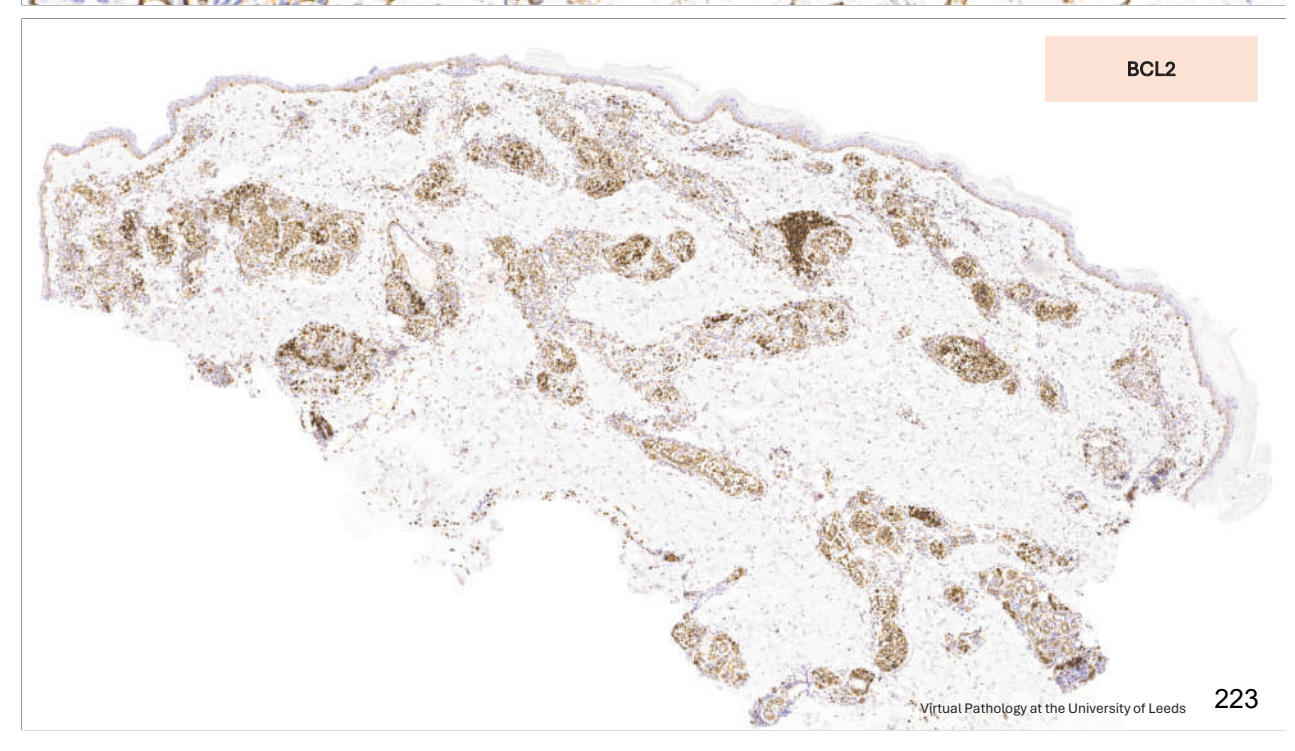


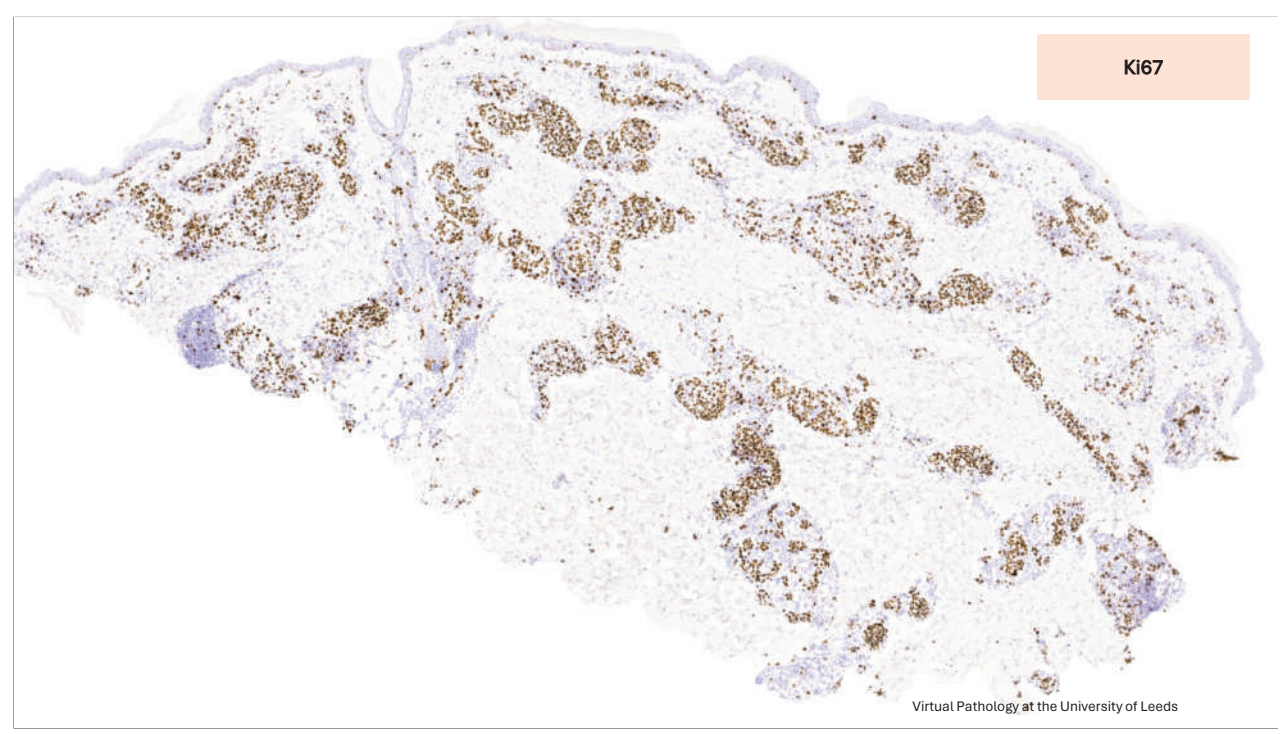




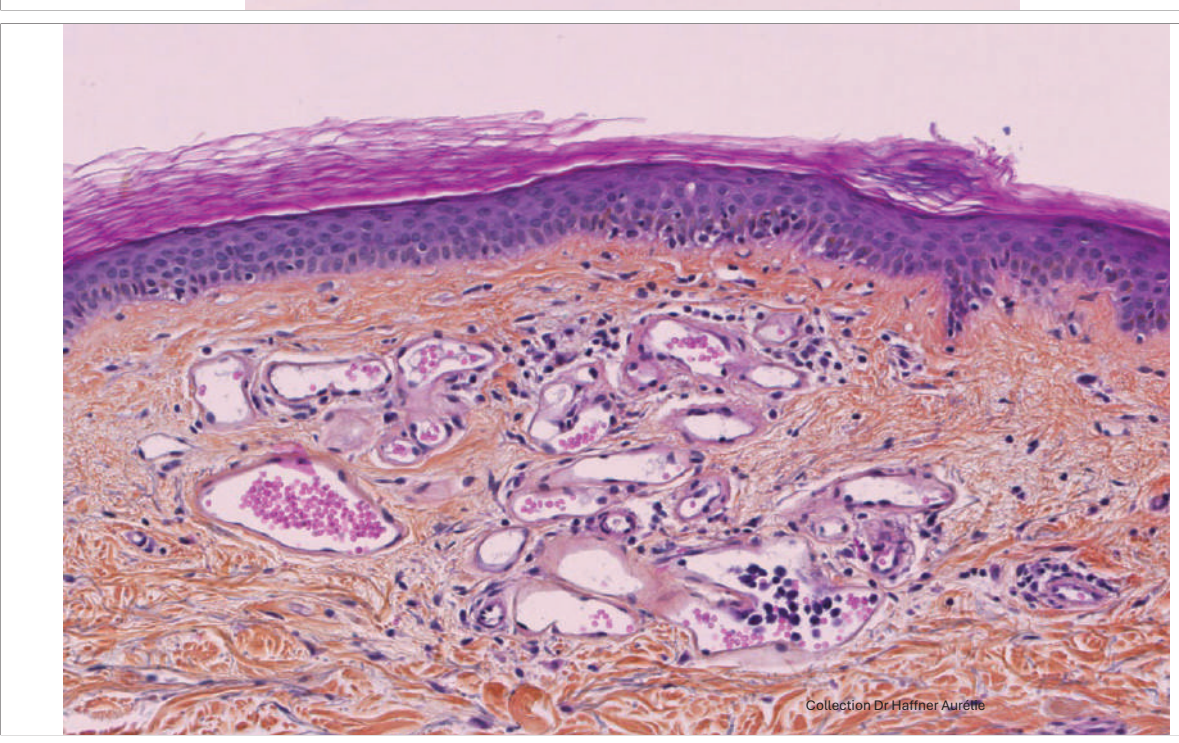


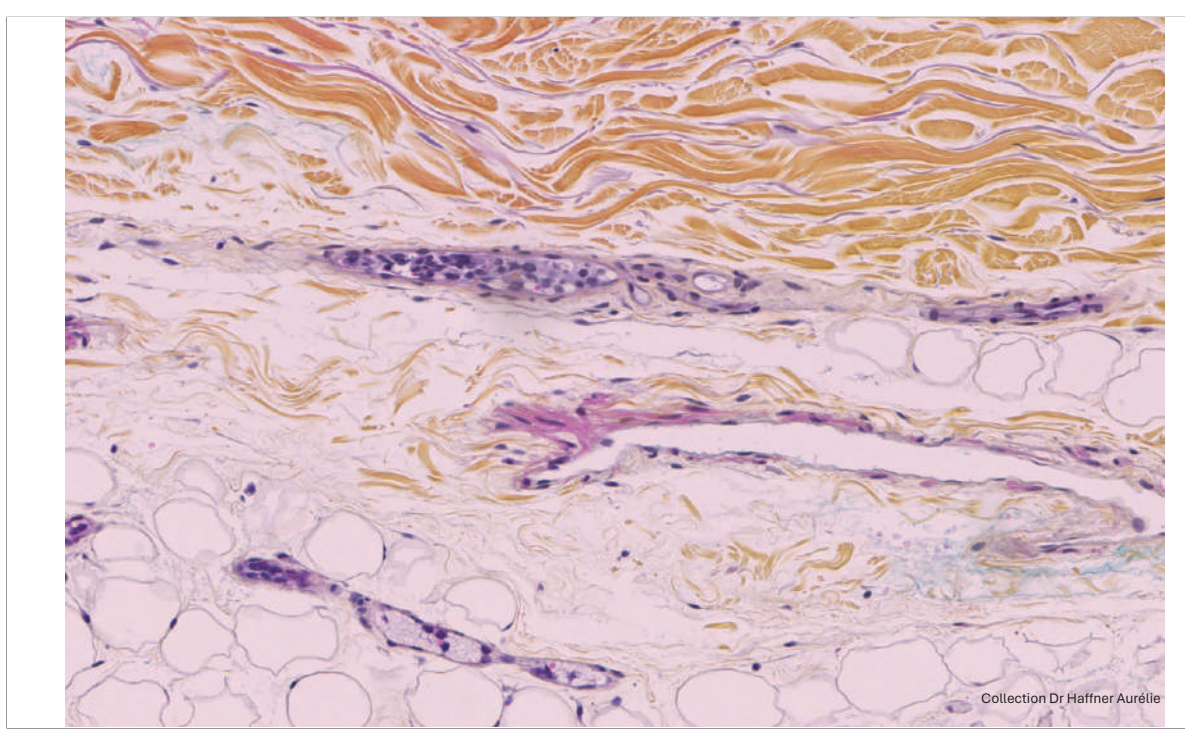


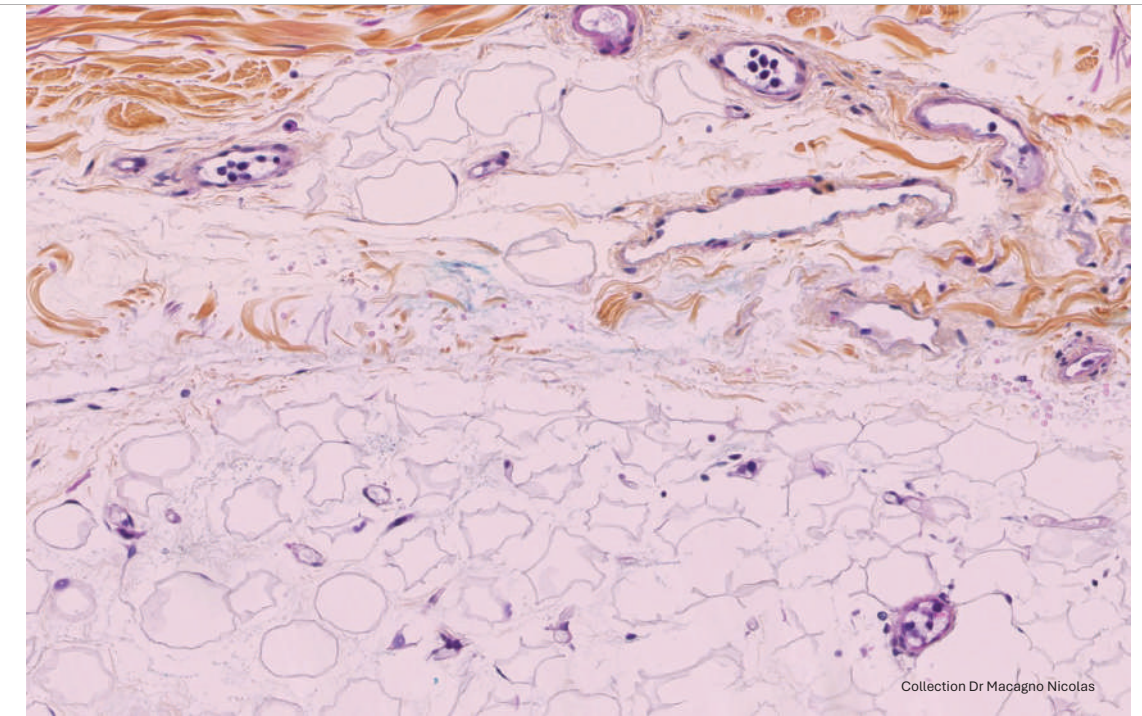












LYMPHOME B INTRA VASCULAIRE

## **MOLECULAIRE**

- Monoclonalité du BCR
- Plusieurs mutations génétiques retrouvées : MYD88 50% des cas et CD79b 80% des cas

#### LYMPHOME B INTRA VASCULAIRE

#### **BILAN INITIAL**

Examen clinique

 $\geq$ Type de lésion, nombre de tumeurs, surface corporelle, aires ganglionnaires

Biopsie cutanée

Biopsie incisionnelle: examen histologique et biologie moléculaire sur plusieurs sites atteints, voire en peau saine si pas de lésions cliniques (cuisse) Nécessiter d'avoir de l'hypoderme Répéter les prélèvements

**Biologie** 

 $\sum$ Bilan standard avec LDH, beta2microglobulinémie, éléctrophorese de protéines sériques, dosage pondéral des immunoglobulines, clonalité B sanguine

Radiologie

Scanner cervico-TAP et TEP-TDM, IRM cérébrale

**Autres biopsies** 

Si ADP suspecte > 1.5cm : biopsie ganglionnaire (histologie et clonalité)  $\gg$ Biopsie ostéo-médullaire (à discuter)

#### LYMPHOME B

#### LYMPHOME B INTRA VASCULAIRE

#### **STADES**

T: atteinte cutanée

T1: lésion cutanée solitaire:

T1a: lésion < 5 cm T1b: lésion > 5 cm

T2: atteinte cutanée régionale: multiples lésions limitées à 1 ou 2 régions contiguës du corps:

T2a: surface cutanée atteinte < 15 cm

T2b: > 15 cm et < 30 cm

T2c: > 30 cm

T3: atteinte cutanée généralisée

T3a: multiples lésions cutanées touchant deux régions cutanées non contiguës

T3b: multiples lésions touchant plus de trois régions du corps

N: atteinte ganglionnaire:

NO: absence d'adnéopathie clinique ou d'envahissement histologique ganglionnaire

N1: atteinte ganglionnaire périphérique dans l'aire ganglionnaire (1 adénopathie) de drainage de l'atteinte cutanée

N2: atteinte d'au moins 2 adénopathies ou d'au moins une adénopathie en dehors d'une aire ganglionnaire de drainage

N3: atteinte d'une adénopathie profonde

M0: absence d'atteinte viscérale

M1: atteinte viscérale: doit être documentée histologiquement

Par définition un lymphome cutané primitif non épidermotrope est NO, MO au diagnostic. EORTC: European Organization for Research and Treatment of Cancer; ISCL: International society for cutaneous lymphoma; MF: syndrome de Sézary; SS: syndrome de Sézary.

Prise en charge des lymphomes T cutanés : recommandations du Groupe francais d'étude des lymphomes cutanés, M. Beylot-Barry, Annales de dermatologie et de vénéréologie (2010) 137, 611—621

## LYMPHOME B

#### LYMPHOME B INTRA VASCULAIRE

#### **EVOLUTION et PRONOSTIC**

- Médiocre
- Survie à 5 ans < 30%
- Résistance aux thérapeutiques fréquente
- Meilleur pronostic si atteinte uniquement cutanée

## LYMPHOME B INTRA VASCULAIRE

## **EVOLUTION et PRONOSTIC**

	INDOLENT	AGRESSIF
Lymphome B	Lymphome B de la zone marginale	Lymphome B à grandes cellules, type jambe
25% des cas	Lymphome B centro-folliculaire	Lymphome B intra-vasculaire

LYMPHOME B

## LYMPHOME B INTRA VASCULAIRE

## **DIAGNOSTICS DIFFERENTIELS**

- Nombreux
- Infectieux, auto-immuns, inflammatoires, tumoraux...

LYMPHOME B

## LYMPHOME B INTRA VASCULAIRE

## **TRAITEMENTS**

- Polychimiothérapie CHOP associée au Rituximab
- Allogreffe de cellules souches

#### LYMPHOME B

#### LYMPHOME B INTRA VASCULAIRE

**SYNTHESE** 

1% des lymphomes cutanés Très rare Age moyen 70 ans Sexe ratio équilibré

Diagnostic repose sur clinique + histologie + immunohistochimie + moléculaire

Polymorphisme clinique important

(dépend des vaisseaux atteints) atteintes dermatologiques et neurologiques fréquentes

Examens paracliniques souvent non concluants, à répéter : rôle central de la **biopsie cutanée** 

Lymphoprolifération de lymphocytes B tumoraux dans la lumière des vaisseaux de petits calibres

Positivité marqueurs B KI67 elevé, BCL2 and MUM1 positifs Atteinte focale avec recoupes nécessaire Visualisation hypoderme indispensable

Monoclonalité BCR, mutation MYD88 ou CD79b

Pronostic médiocre, lymphome très agressif Lymphome agressif, survie à 5 ans < 30%

Bilan initial biologique et radiographique Traitement repose sur la polychimiothérapie

#### LYMPHOME B

#### LYMPHOME B INTRA VASCULAIRE

#### **BIBLIOGRAPHIE**

1/ S. Vercambre-Darras et al. Intravascular lymphoma revealed by generalized arborescent telangiectasia and repeated venous thrombosis, Annales de Dermatologie et de Vénéréologie Volume 135, Issue 5, May 2008, Pages 397-401

2/ L. Cerroni, Skin Lymphoma, 4e edition, Wiley

3/ Shimada K, and al. Presentation and management of intravascular large B-cell lymphoma. Lancet Oncol. 2009 Sep;10(9):895-902.

4/ Zuckerman D, and al. Intravascular lymphoma: the oncologist's "great imitator". Oncologist. 2006 May;11(5):496-502.

5/ Ferreri AJ, et al and International Extranodal Lymphoma Study Group (IELSG). Intravascular lymphoma: clinical presentation, natural history, management and prognostic factors in a series of 38 cases, with special emphasis on the 'cutaneous variant'. Br J Haematol. 2004 Oct;127(2):173-83.

#### LYMPHOME B

#### LYMPHOME B INTRA VASCULAIRE

#### **BIBLIOGRAPHIE**

6/ Ponzoni M, et al. Intravascular large B-cell lymphoma: a chameleon with multiple faces and many masks. Blood. 2018 Oct 11;132(15):1561-1567.

7/ Barker JL, et al. Intravascular large B-cell lymphoma: representative cases and approach to diagnosis. BMJ Case Rep. 2021 Nov 2;14(11):e244069.

8/ Rajyaguru DJ, et al. Intravascular large B-cell lymphoma in the United States (US): a population-based study using Surveillance, Epidemiology, and End Results program and National Cancer Database. Leuk Lymphoma. 2017 Sep;58(9):1-9.

9/ Erös N, et al. Intravascular B-cell lymphoma. J Am Acad Dermatol. 2002 Nov;47(5 Suppl):S260-2.

10/ Davis JW, et al. Intravascular Large B-Cell Lymphoma. Arch Pathol Lab Med. 2022 Sep 1;146(9):1160-1167.

11/ Maiese A et al. Post-mortem diagnosis of intravascular large B-cell lymphoma. J Int Med Res. 2020 Jun;48(6):300060520924262.

#### LYMPHOME B

#### LYMPHOME B INTRA VASCULAIRE

#### **BIBLIOGRAPHIE**

- 12/ Nakamura S, et al. Intravascular large B-cell lymphoma: the heterogeneous clinical manifestations of its classical and hemophagocytosis-related forms. Haematologica. 2007 Apr;92(4):434-6.
- 13/ Enzan N, et al. Optimizing random skin biopsies: a review of techniques and indications for intravascular large B-cell lymphoma. Int J Hematol. 2024 Jun;119(6):619-625.
- 14/ MacGillivary ML, Purdy KS. Recommendations for an Approach to Random Skin Biopsy in the Diagnosis of Intravascular B-Cell Lymphoma. J Cutan Med Surg. 2023 Jan-Feb;27(1):44-50.
- 15/ Orwat DE, Batalis NI. Intravascular large B-cell lymphoma. Arch Pathol Lab Med. 2012 Mar;136(3):333-8.
- 16/ Patel SS, et al. Early diagnosis of intravascular large B-cell lymphoma: clues from routine blood smear morphologic findings. Lab Med. 2014 Summer;45(3):248-52; quiz e93.

LYMPHOME B

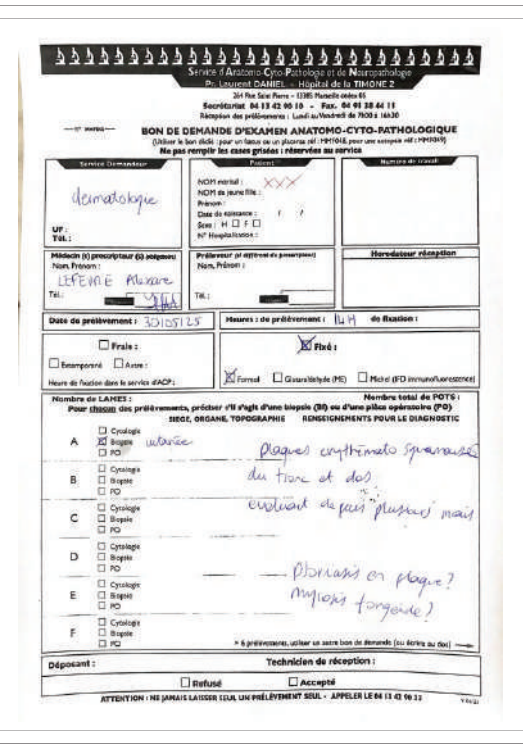
#### LYMPHOME B INTRA VASCULAIRE

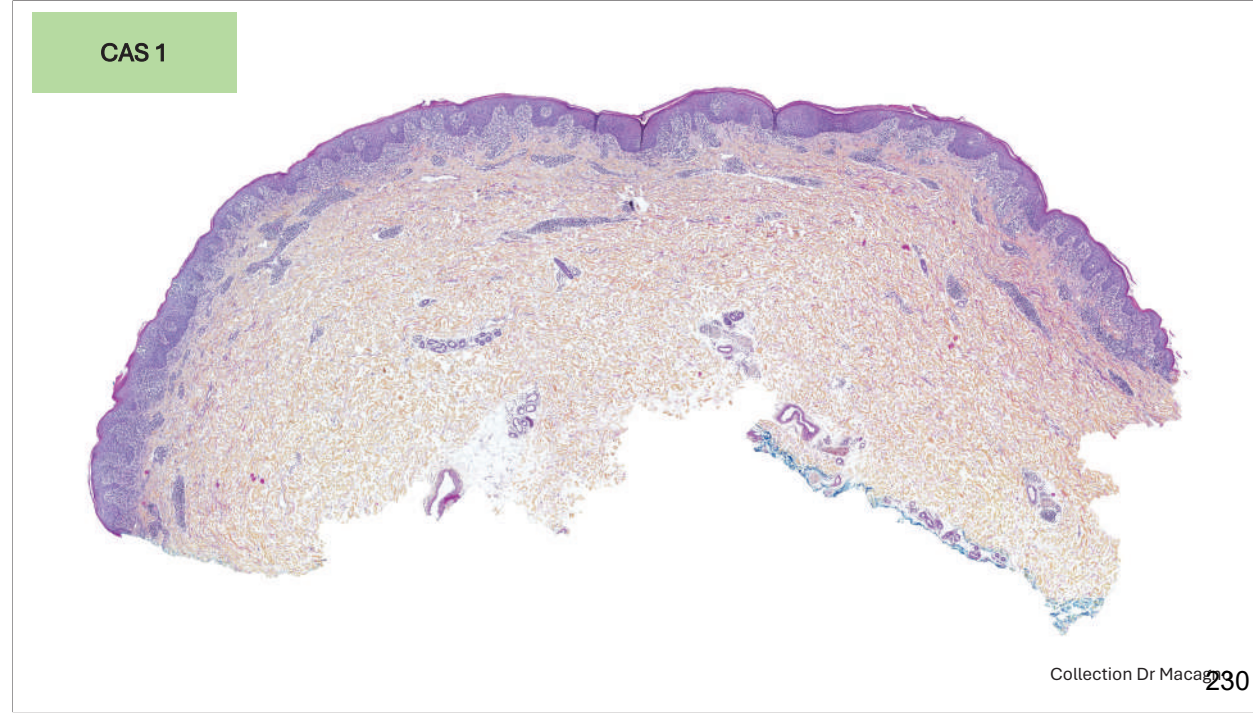
#### **BIBLIOGRAPHIE**

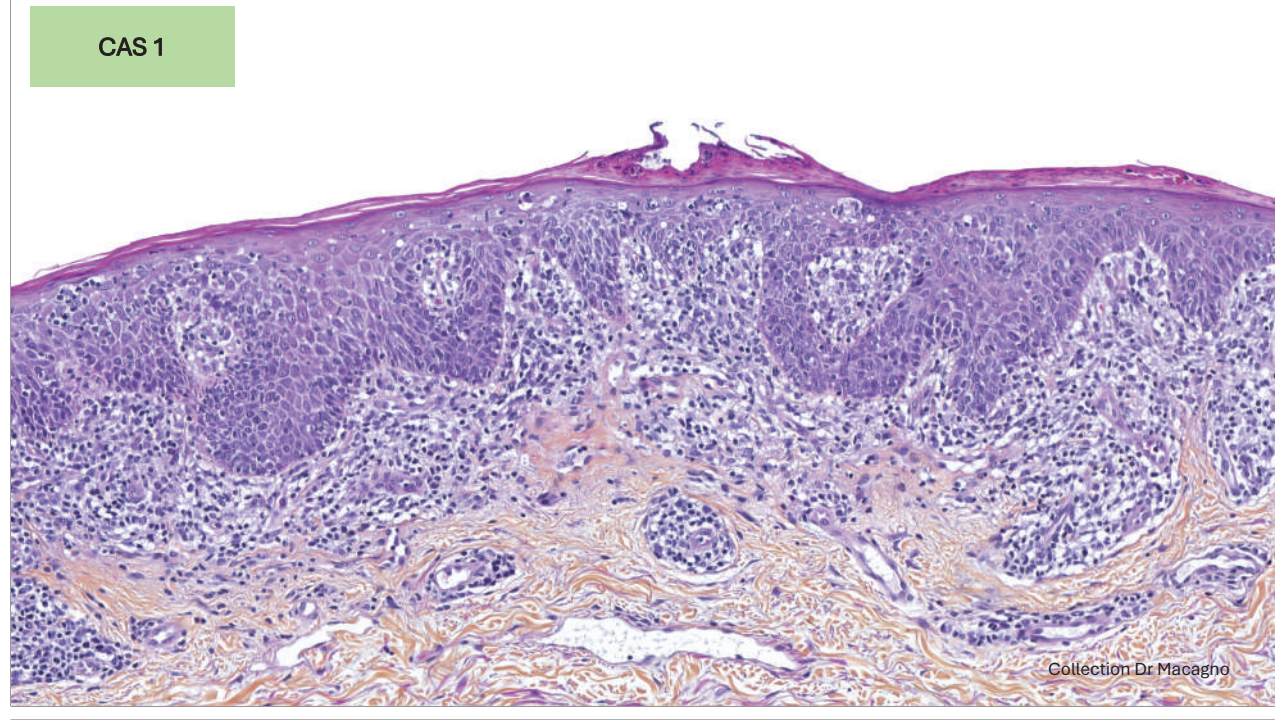
- 17/ Sugimoto KJ, et al. Intravascular large B-cell lymphoma. Am J Hematol. 2004 Jul;76(3):291-2.
- 18/ Ong YC, et al. Intravascular Large B-cell lymphoma: A case series and review of literatures. Biomed J. 2021 Aug;44(4):479-488.
- 19/ Prise en charge des lymphomes T cutanés : recommandations du Groupe français d'étude des lymphomes cutanés, M. Beylot-Barry, Annales de dermatologie et de vénéréologie (2010) 137, 611—621

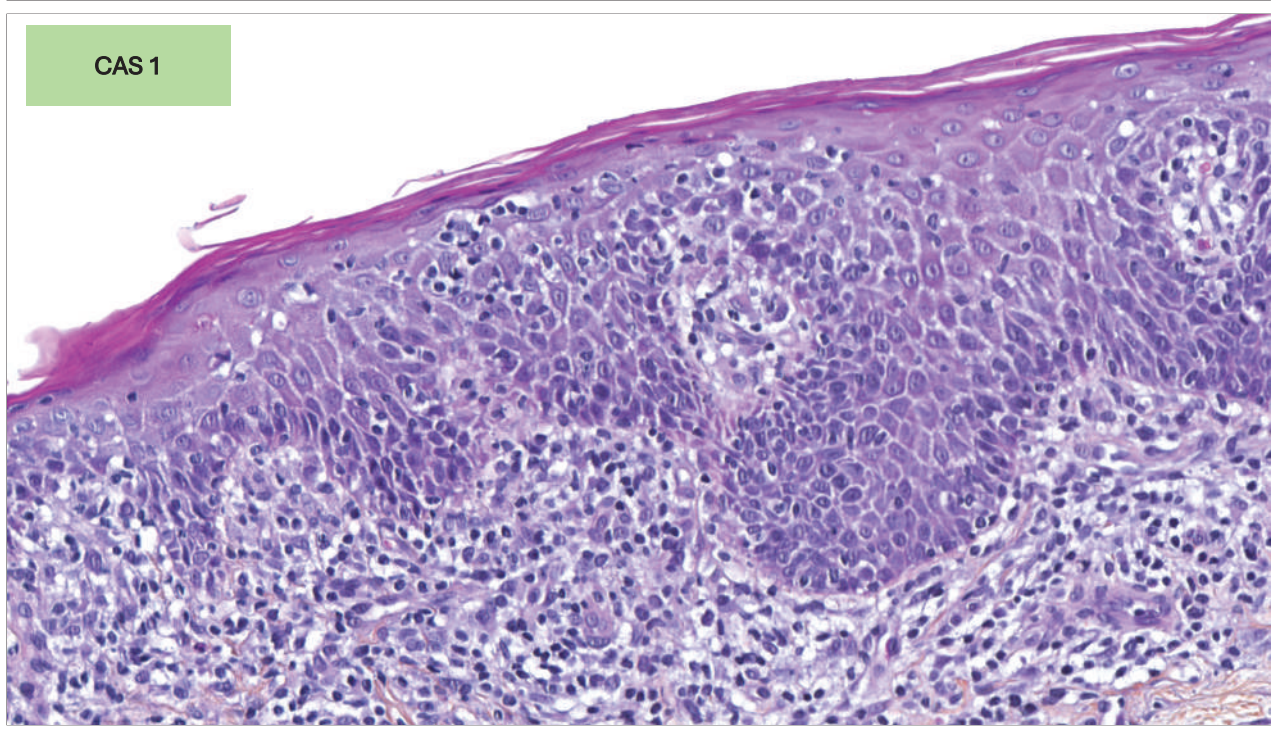
## Lymphomes cutanés : Cas cliniques

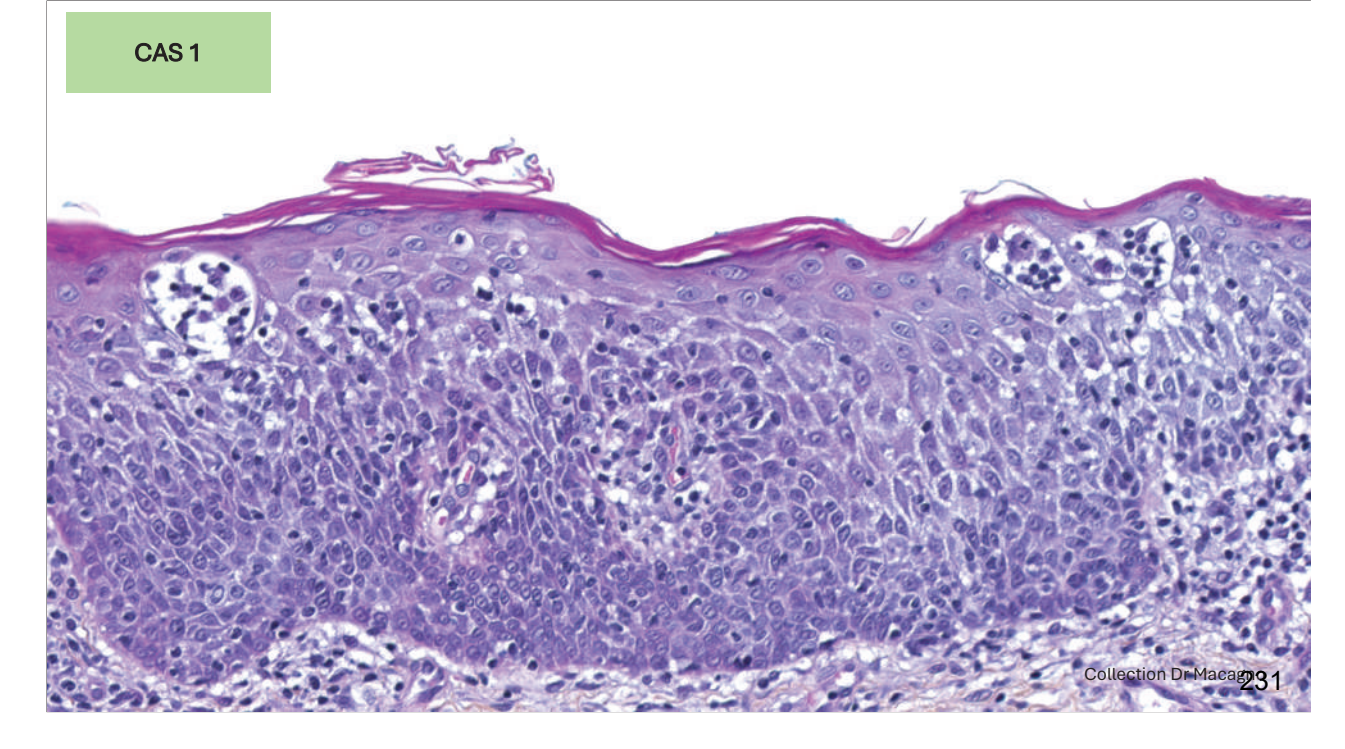
CAS 1











#### Infiltrat de lymphocytes atypiques avec épidermotropisme



Suspicion histopathologique de mycosis fongoide Complément d'exploration avec immunohistochimies Corrélation anatomo-clinique

#### CAS<sub>1</sub>

#### Corrélation anatomo-clinique

Patient de 65 ans

Antécédents:

HTA

Hypertrophie prostatique

Traitements:

Urorec, Périndopril, Aldactone, Eupressyl

Mode de vie:

Tabagisme sevré 30PA, consommation d'alcool occasionnelle Retraité, ancien informaticien Histoire de la maladie :

Depuis 2010:

Diagnostic d'eczema des membres inférieurs, repondant aux dermocorticoides

Depuis 2020:

Aggravation de l'éruption avec extension des lésions et formation de plaques prurigineues

Réalisation d'une biopsie cutanée en 2022

#### CAS<sub>1</sub>





#### CAS 1

Plaques érythémateuses Fixes Prurigineuses Légèrement infiltrées Diffuses

Pas de tumeur

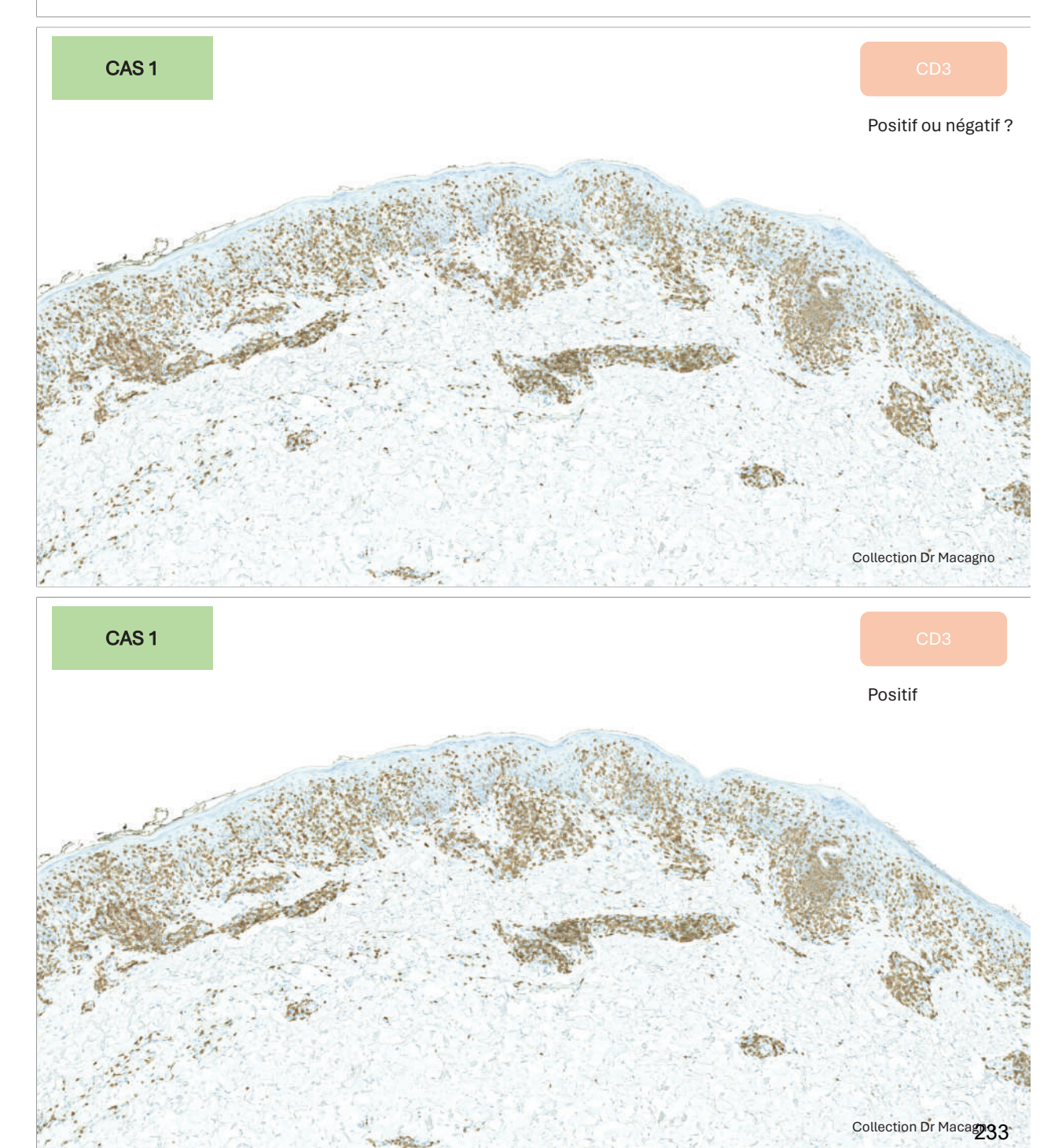
Pas d'adénopathie

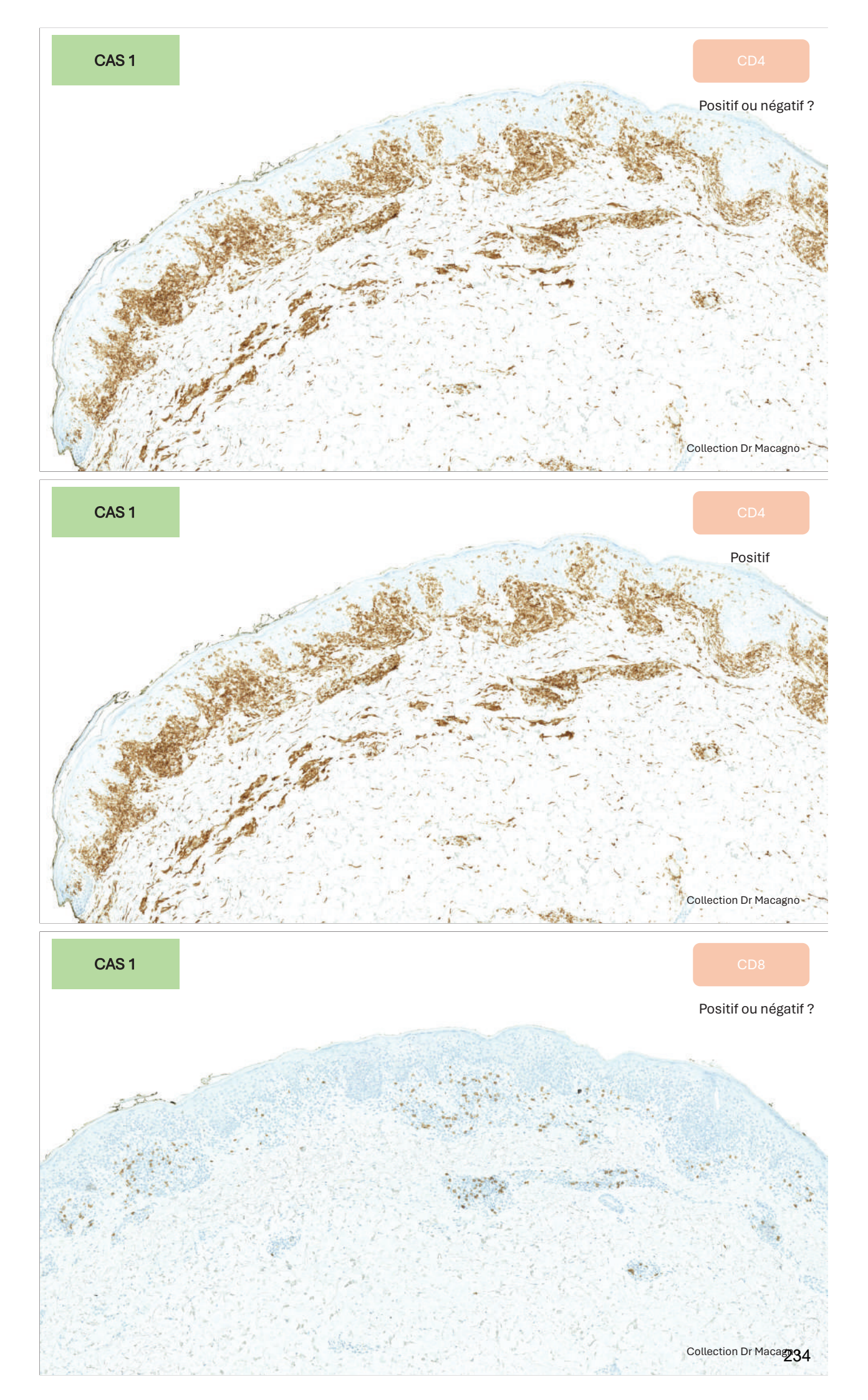


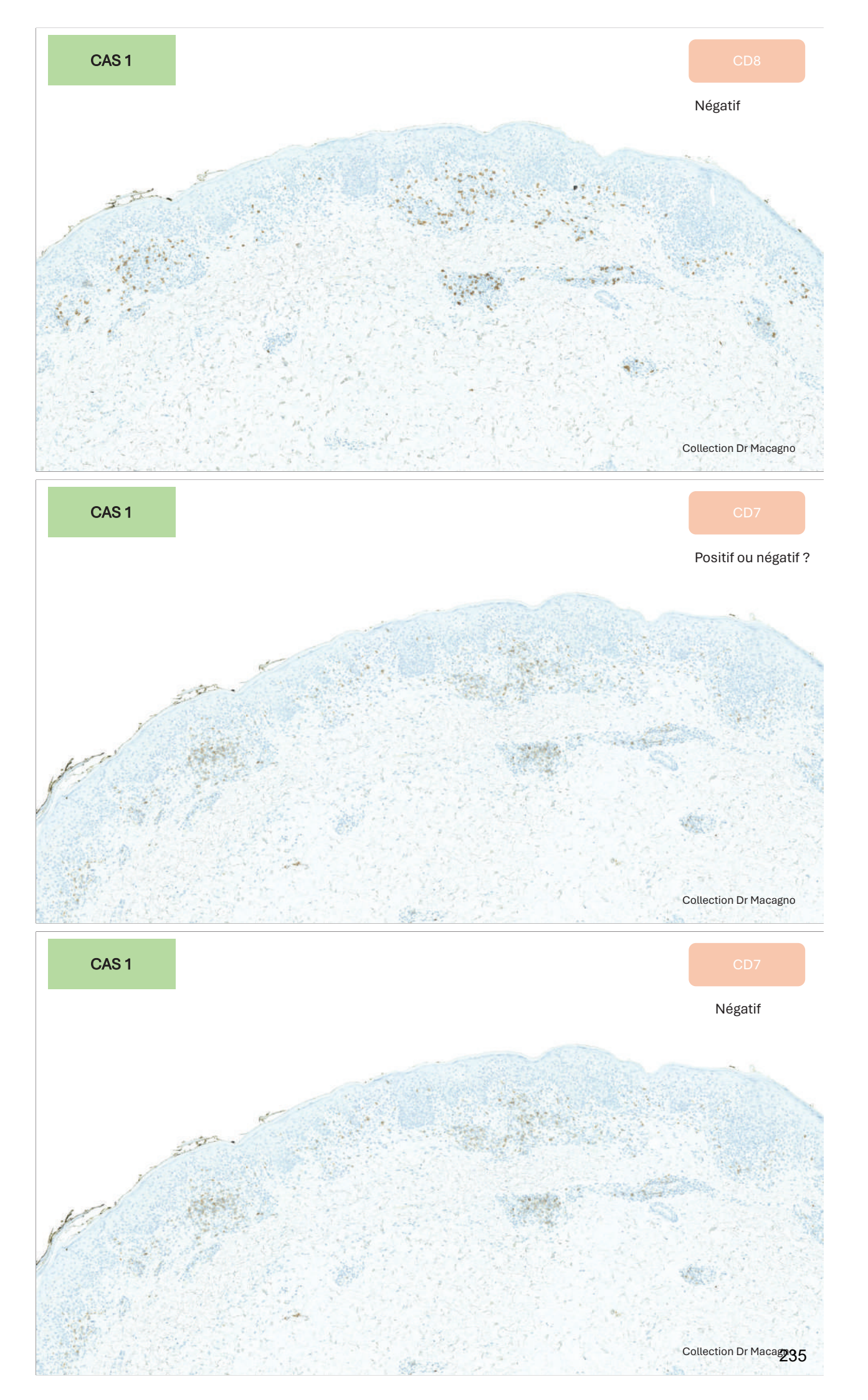
Evocateur de mycosis fongoide en plaques

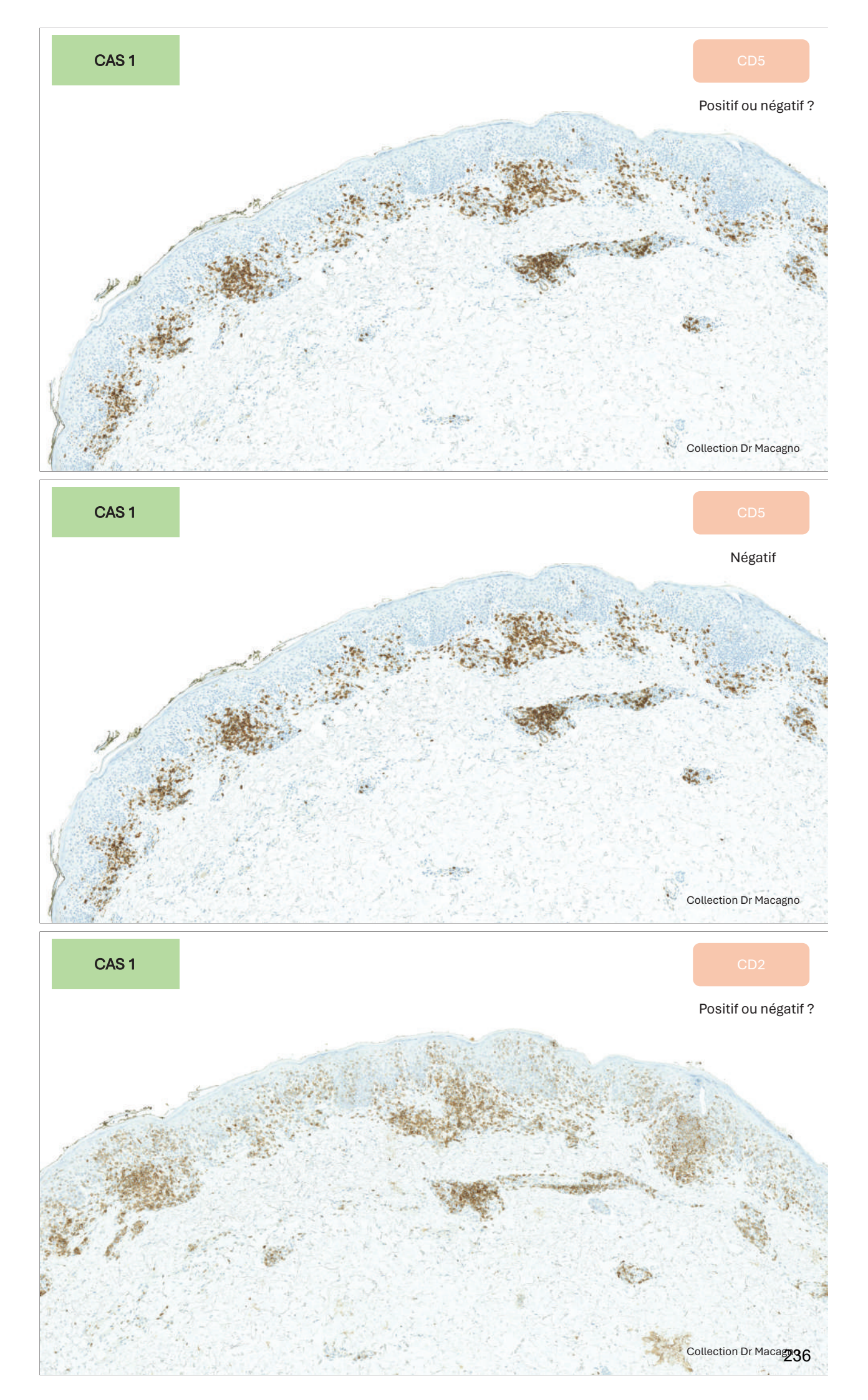














#### CAS<sub>1</sub>

Infiltrat lymphocytaire dermique superficiel Atypies lymphocytaires Epidermotropisme Micros abcès de Pautrier

CD3+ = infiltrat T CD4+ CD8 - = infiltrat T CD4+

CD2 + CD5-

CD7-

> Infiltrat lymphocytaire T avec trou phénotypique sur CD5 et CD7

#### CAS 1

Quel examen demandez-vous pour étayer votre diagnostic?

Clinique Histologie Immunohistochimie Moléculaire



Clonalité T sur peau



Clone T sur deux biopsies distinctes



Clonalité T / tissus				
Renseignements				
Date de réception	Г	T	06/09/2022	
Numéro de tube	Г		45	
Numéro de Liste	Г		36	
Nature prélèvement			Le test moléculaire ne peut à lui seul permettre d'affirmer ou d'él ()	
Localisation	I		PEAU- TUBE B	
Indication Prescript			LYMPHOME T	
Diagnostic / Suivi	Г	$\neg$	Suivi	
Résultats CLO T		П		
Albumine (contrôle)			Validé	
Conclusion CLO T			Présence d'un pic monoclonal. Taille du pic : 230 pb (en PCR gamma A ()	
			Présence d'une population lymphocytaire T monoclonale.	
Commentaire			Le test moléculaire ne peut à lui seul permettre d'affirmer ou d'él.()	

#### Diagnostic de mycosis fongoïde

sur faisceau d'arguments cliniques, histopathologiques, immunohistochimiques et moléculaires

CAS<sub>1</sub>

Quel est le stade de votre patient?

#### CAS 1

Quel est le stade de votre patient?

**T2** car >10% de la surface corporelle avec plaque sans tumeur

N0 car pas d'adénopathie

**M0** car pas d'argument pour atteinte viscérale

#### Stade IB

> Pas de bilan d'extension systématique selon les recommandations

T1	Macules, plaques ou papules < 10% de la surface corporelle	1A: Uniquement macule 1B: Plaque/papule		
T2	Patches, plaques, ou papules ≥10% de la surface corporelle	2A: Uniquement macule 2B: Plaque/papule		
ТЗ	Au moins une lesion tumorale ≥1 cm de diametre			
T4	Confluence de l'erythème avec atteinte > 80% de la surface corporelle totale			

Table 7. ISCL/EORTC revision to the staging of mycosis fungoides and Sézary syndrome

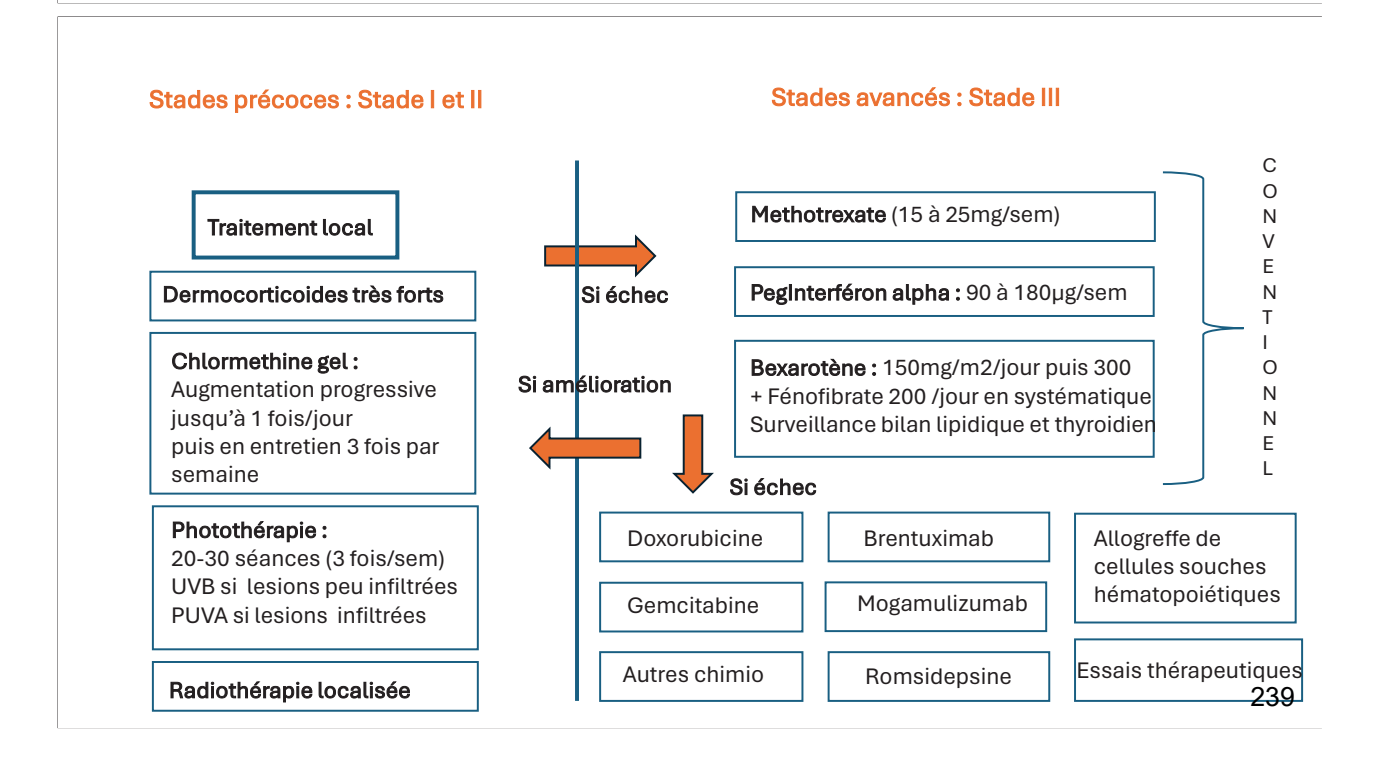
and Sezary Syndrome							
	Т	N	M	В			
IA	1	0	0	0,1			
IB	2	0	0	0,1			
II	1,2	1,2	0	0,1			
IIB	3	0-2	0	0,1			
Ш	4	0-2	0	0,1			
IIIA	4	0-2	0	0			
IIIB	4	0-2	0	1			
IVA <sub>1</sub>	1-4	0-2	0	2			
IVA <sub>2</sub>	1-4	3	0	0-2			
IVB	1-4	0-3	1	0-2			

- A. Traitement topique
- B. Traitement systémique

CAS<sub>1</sub>

Quel traitement initiez-vous?

- A. Traitement topique
- B. Traitement systémique



Patiente de 60 ans

Antécédents:

Hypothyroïdie sur Hashimoto Pas d'antécédent dermatologique

Traitements habituels:

Levothyrox

Mode de vie:

Vit en France, sans emploi Pas de consommation de toxique Pas de notion de voyage

Histoire de la maladie :

Présente depuis 3 mois une xérose cutanée diffuse associée à un prurit intense

Apparition secondaire de lésions papuleuses sur l'ensemble du tégument

Pas d'altération de l'état général Pas d'adénopathie

Essai d'un traitement d'épreuve par dermocorticoides par le médecin généraliste avec amélioration partielle des lésions et du prurit

Vous recevez la patiente en consultation de dermatologie





















Plaques erythémato-squameuses diffuses Prurigineuses Fixes Depuis 3 mois

#### CAS 2

- A. Vous continuez les dermocorticoïdes devant l'hypothese d'un eczéma et revoyez la patiente dans 1 mois
- B. Vous poursuivez les investigations à la recherche de diagnostics différentiels

#### CAS 2

- A. Vous continuez les dermocorticoïdes devant l'hypothese d'un eczéma et revoyez la patiente dans 1 mois
- B. Vous poursuivez les investigations à la recherche de diagnostics différentiels

CAS 2

Quelles sont vos hypothèses diagnostiques?

- A. Eczema
- B. Psoriasis eczématisé
- C. Parapsoriasis
- D. Mycosis fongoide
- E. Lichen plan

CAS 2

Quelles sont vos hypothèses diagnostiques?

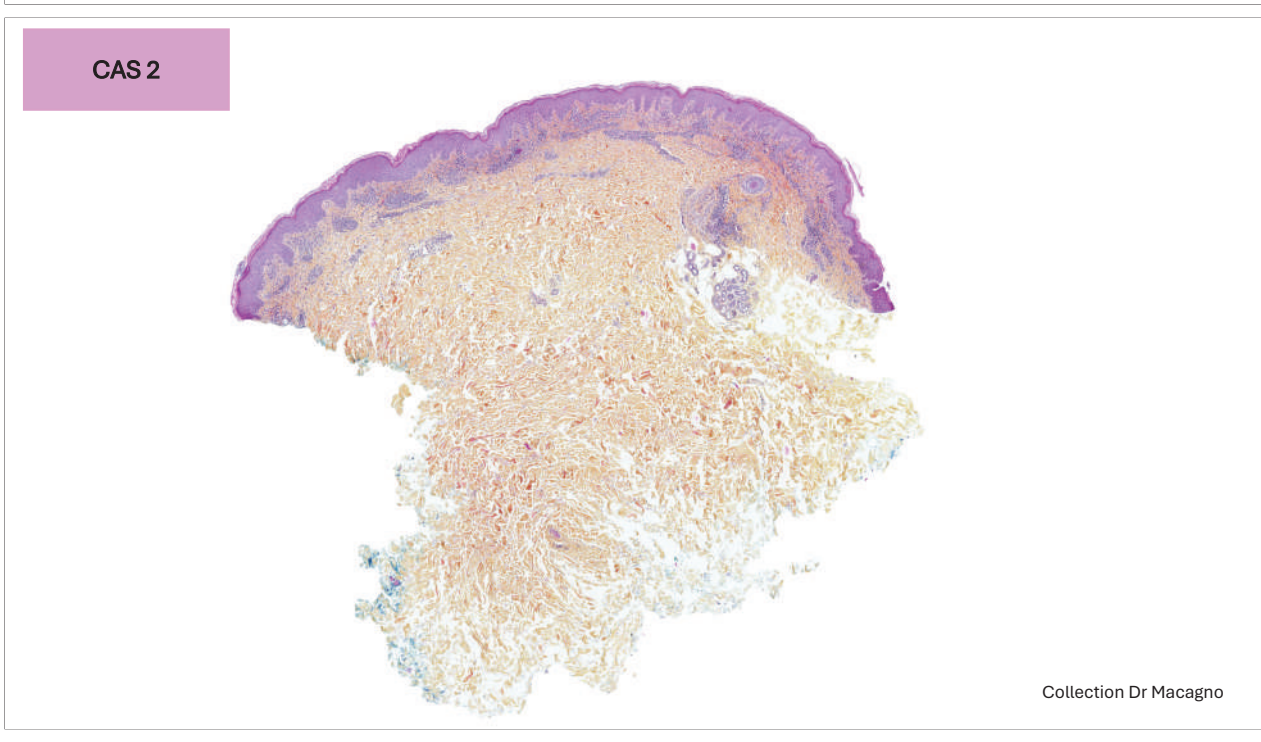
- A. Eczema
- B. Psoriasis eczématisé
- C. Parapsoriasis
- D. Mycosis fongoide
- E. Lichen plan

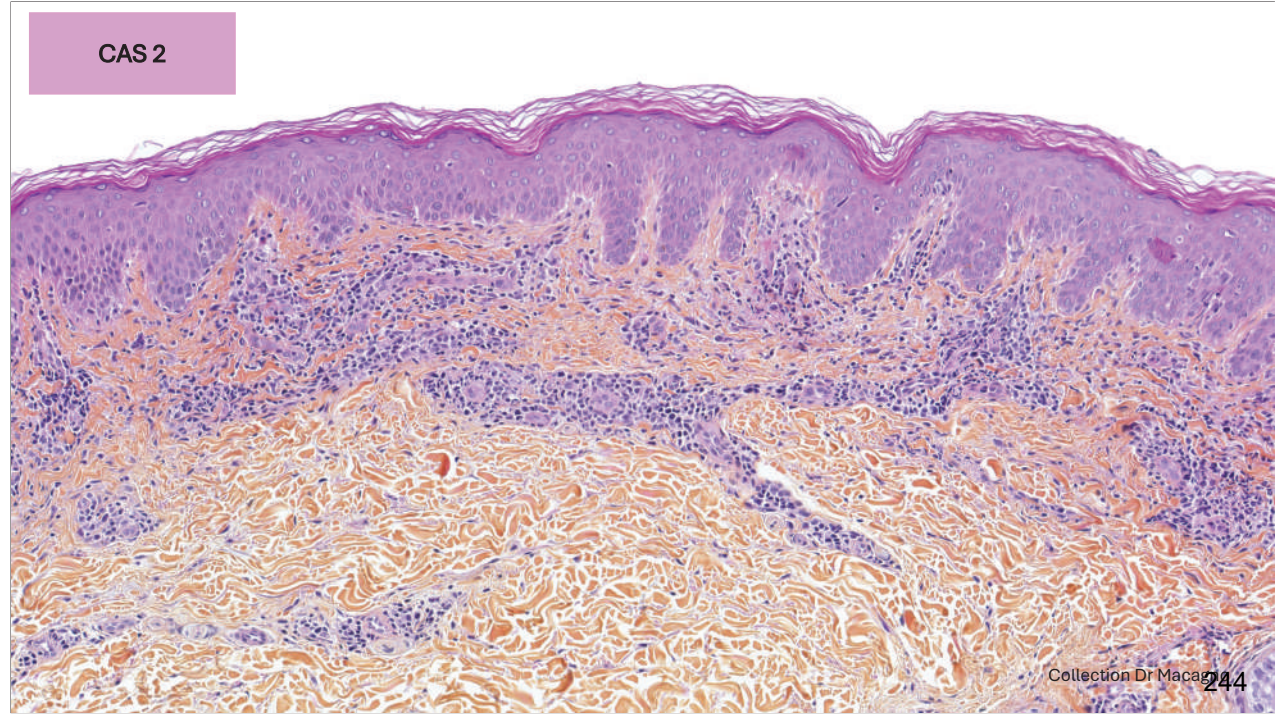
CAS 2

Quels examens vous semblent pertinents?

- A. Bilan sanguin avec TSH, AAN, IgE totales
- B. Biopsie cutanée (histologie, immunofluorescence directe et clonalité T)
- C. Immunophénotypage sanguin
- D. Sérologies VIH VHB VHC syphilis
- E. Anticorps anti-membrane basale épidermique (BP 180 et 230)

- A. Bilan sanguin avec TSH, AAN, IgE totales
- B. Biopsie cutanée (histologie, immunofluorescence directe et clonalité T)
- C. Immunophénotypage sanguin
- D. Sérologies VIH VHB VHC syphilis
- E. Anticorps anti-membrane basale épidermique (BP 180 et 230)





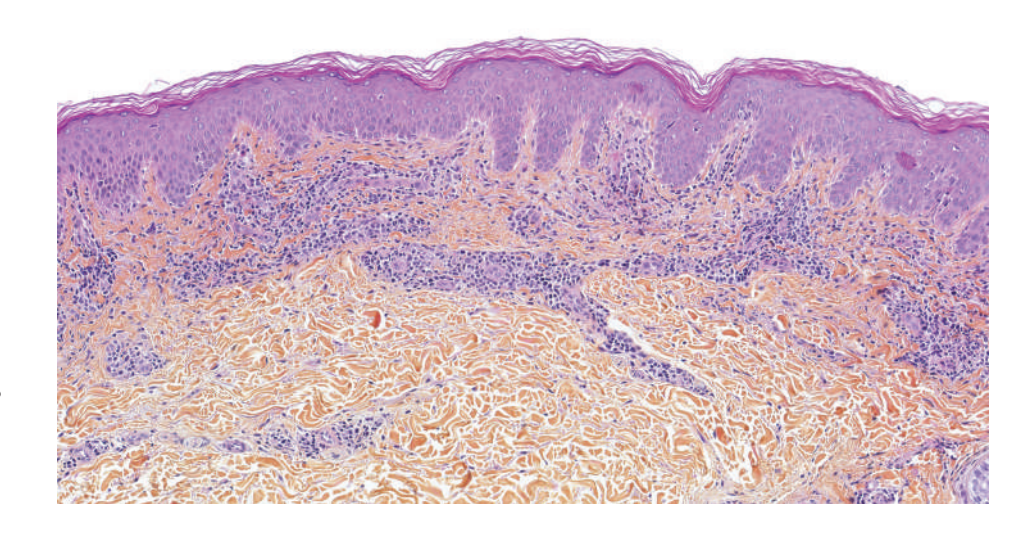
#### CAS 2

Eczéma?

Psoriasis?

Parapsoriasis?

Mycosis fongoide?



Collection Dr Macagno

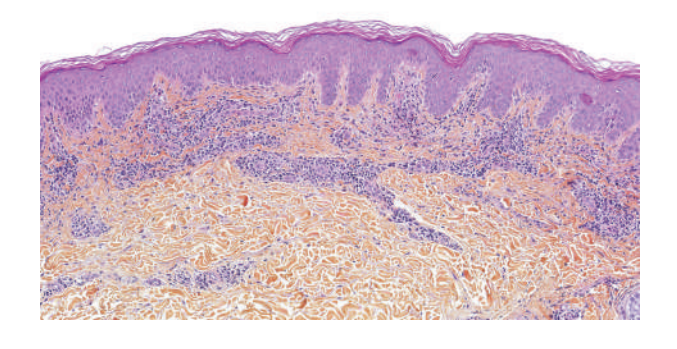
#### CAS 2

Eczéma ?: pas de spongiose, pas de PNE, pas d'hypergranuleuse

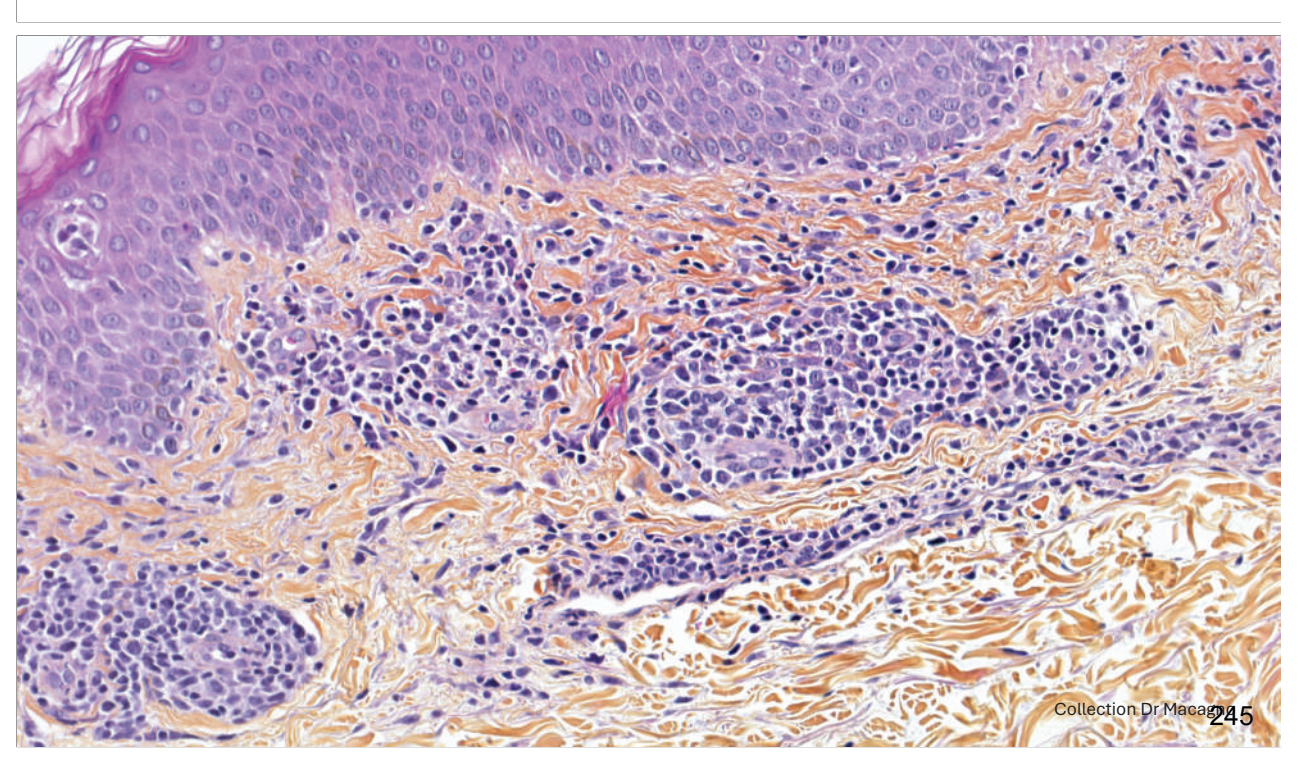
<del>Psoriasis?</del>: pas de parakératose, pas d'ascension des papilles dermiques, couche granuleuse présente

Parapsoriasis?: n'est pas un diagnostic histologique (clinique de MF mais histologie normale)

Mycosis fongoide?



Collection Dr Macagno

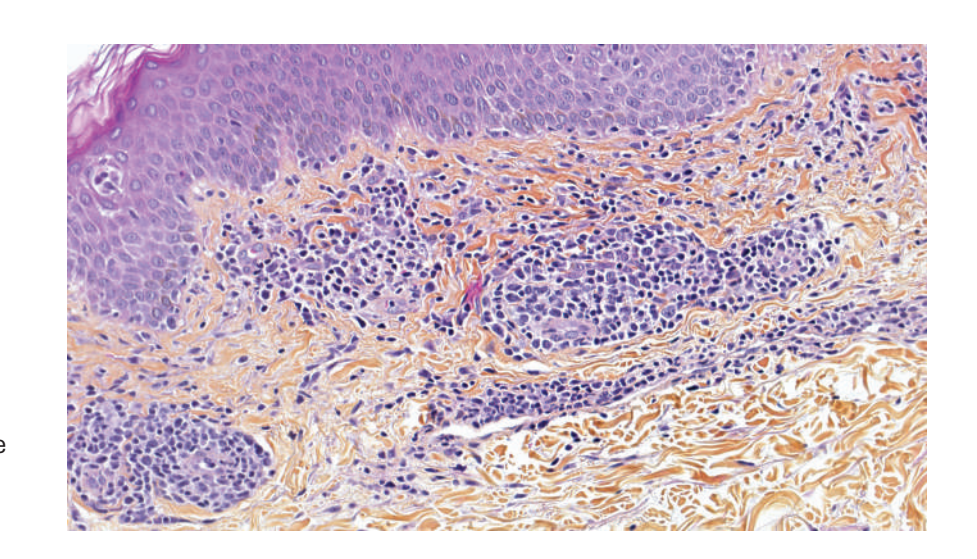


Infiltrat lymphocytaire dermique superficiel et périvasculaire

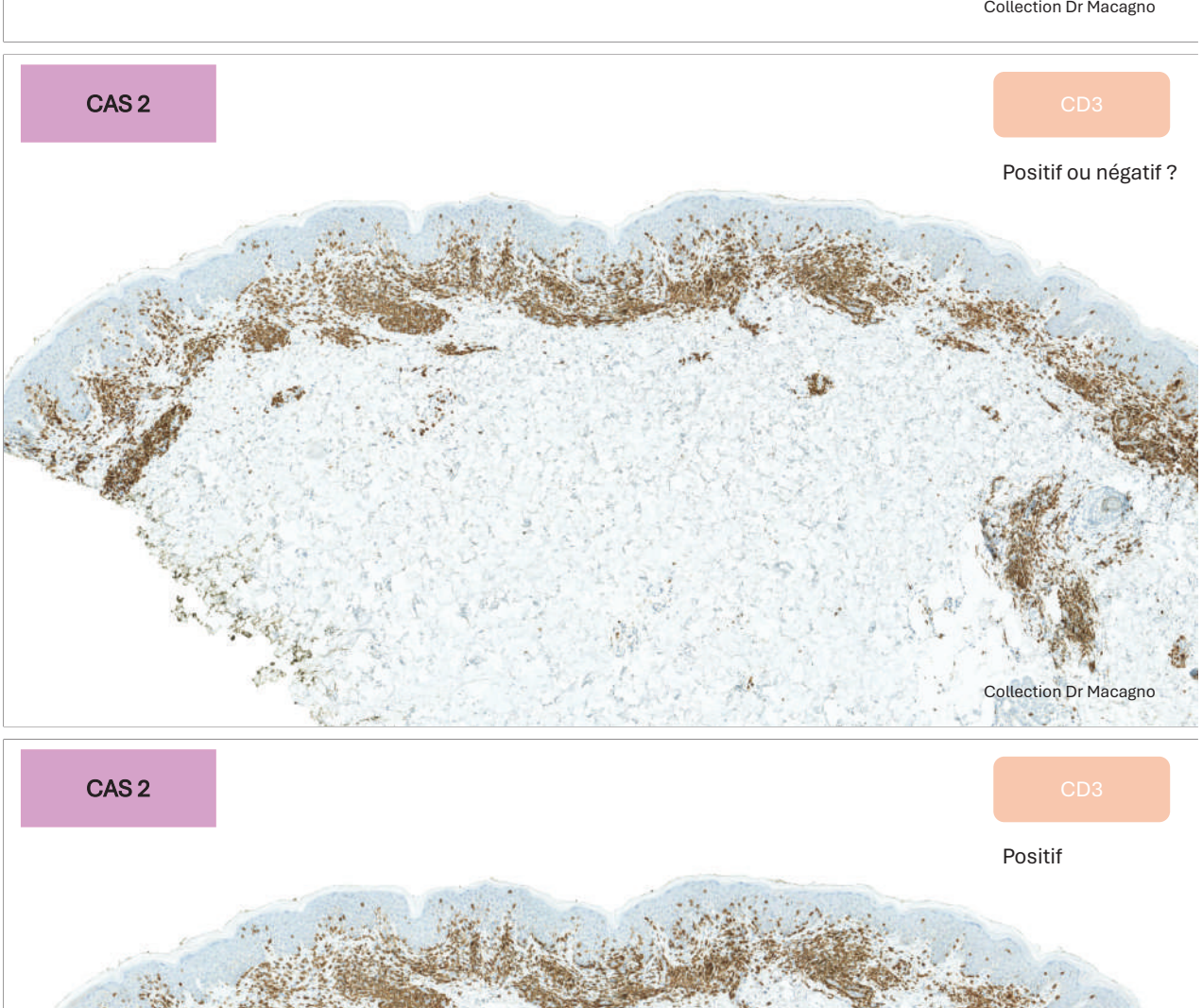
Atypies cytologiques: Moyennes à grandes cellules, noyaux hyperchromatiques, circonvolutés

Leger epidermotropisme

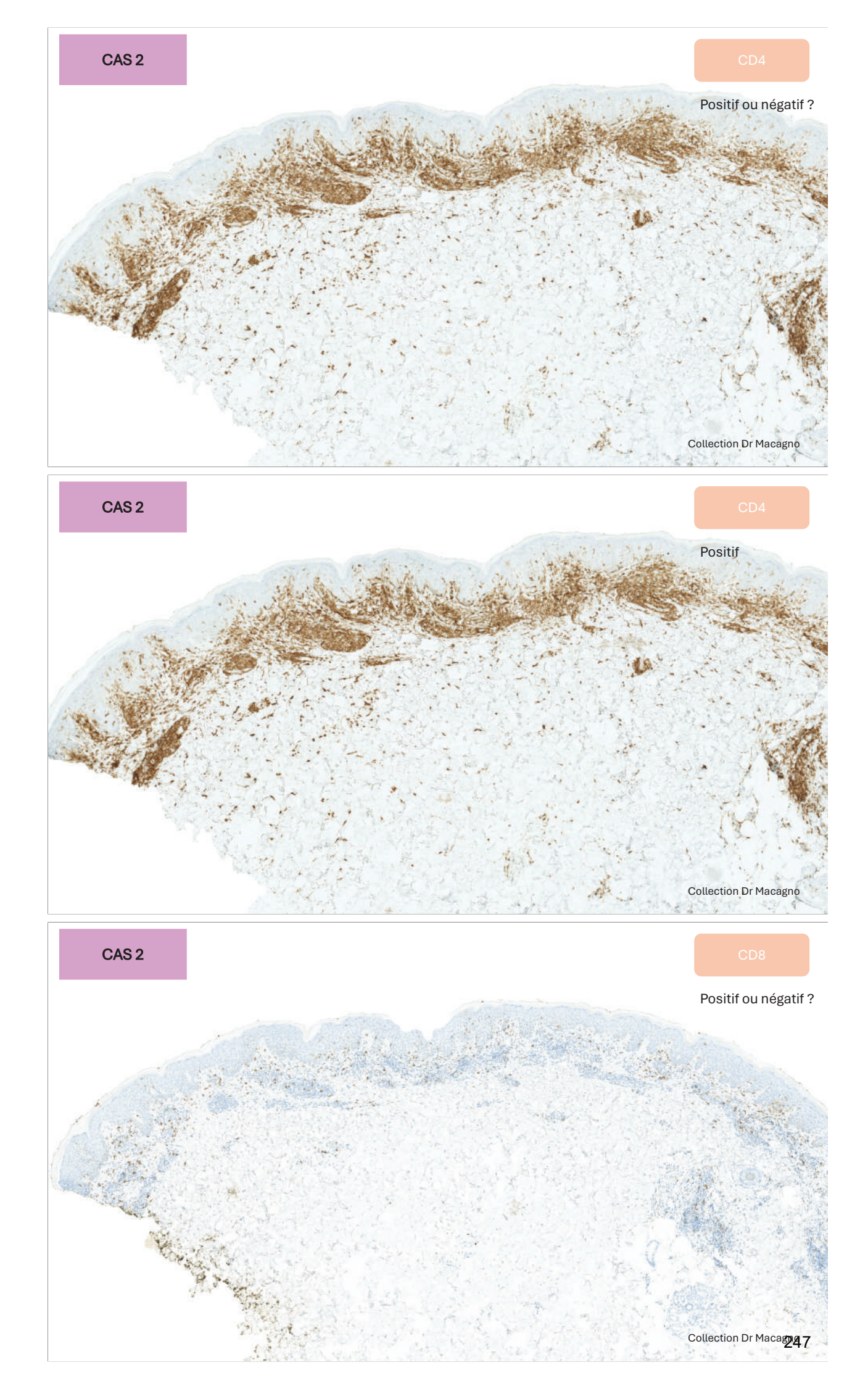
> Evocateur de lymphome



Collection Dr Macagno



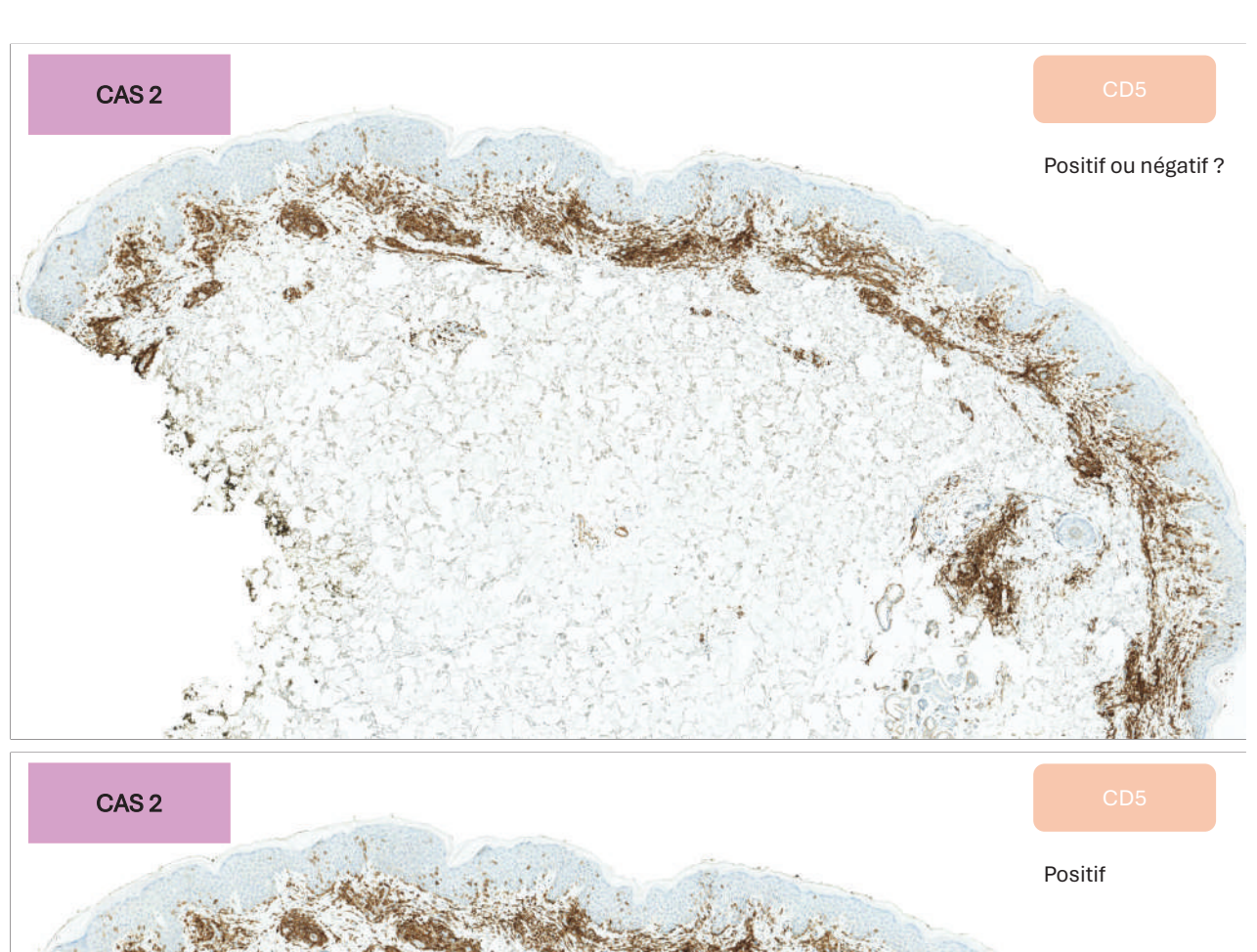


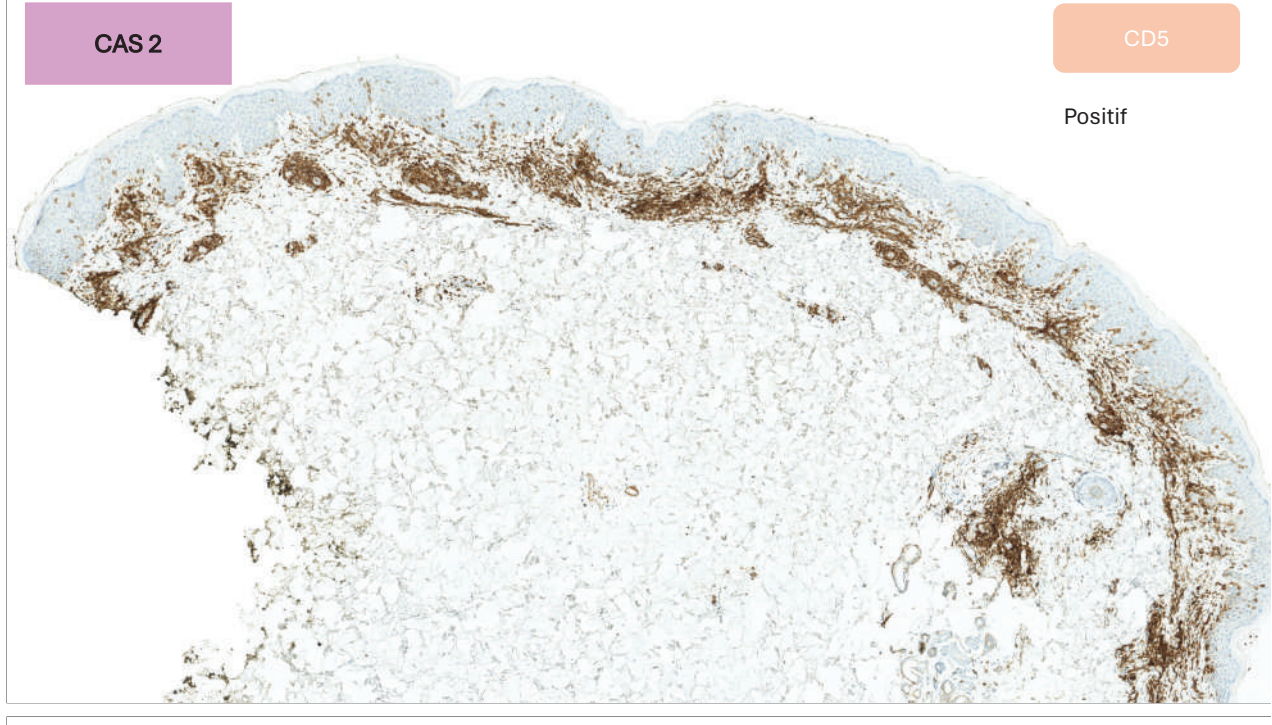




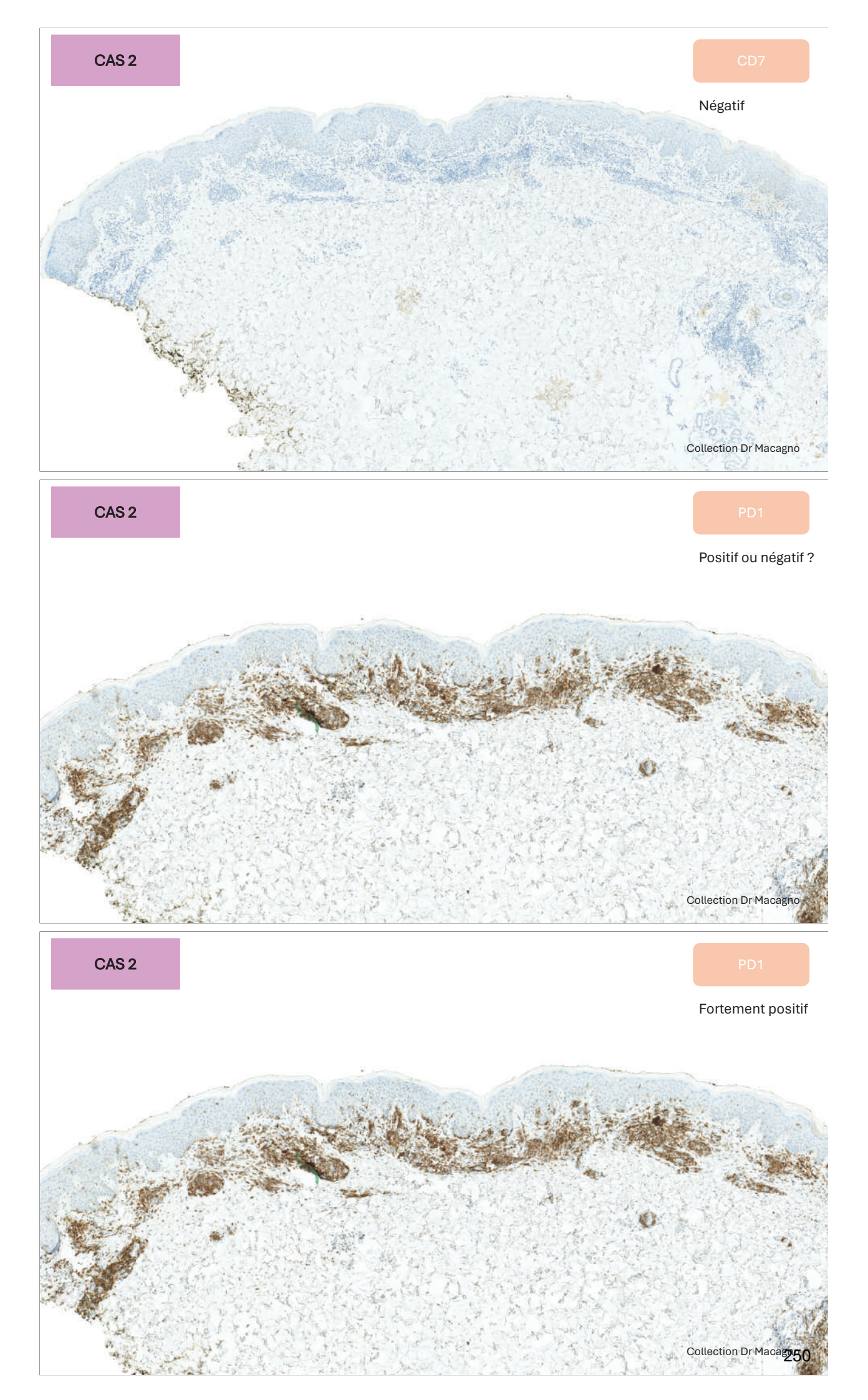






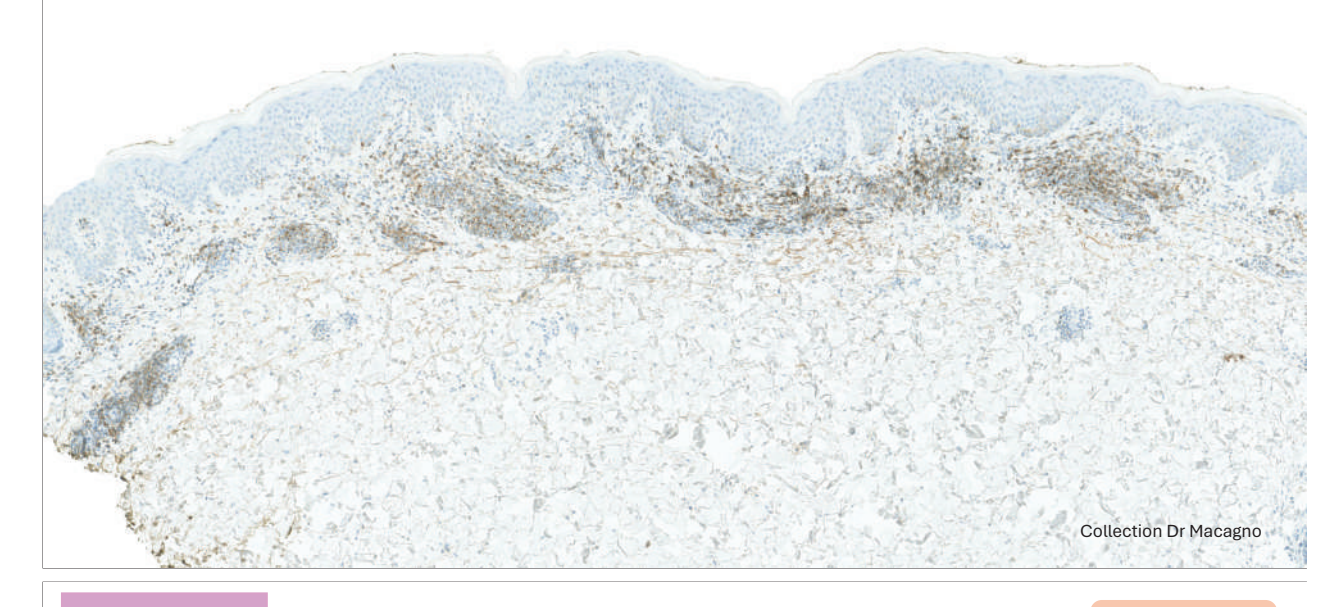






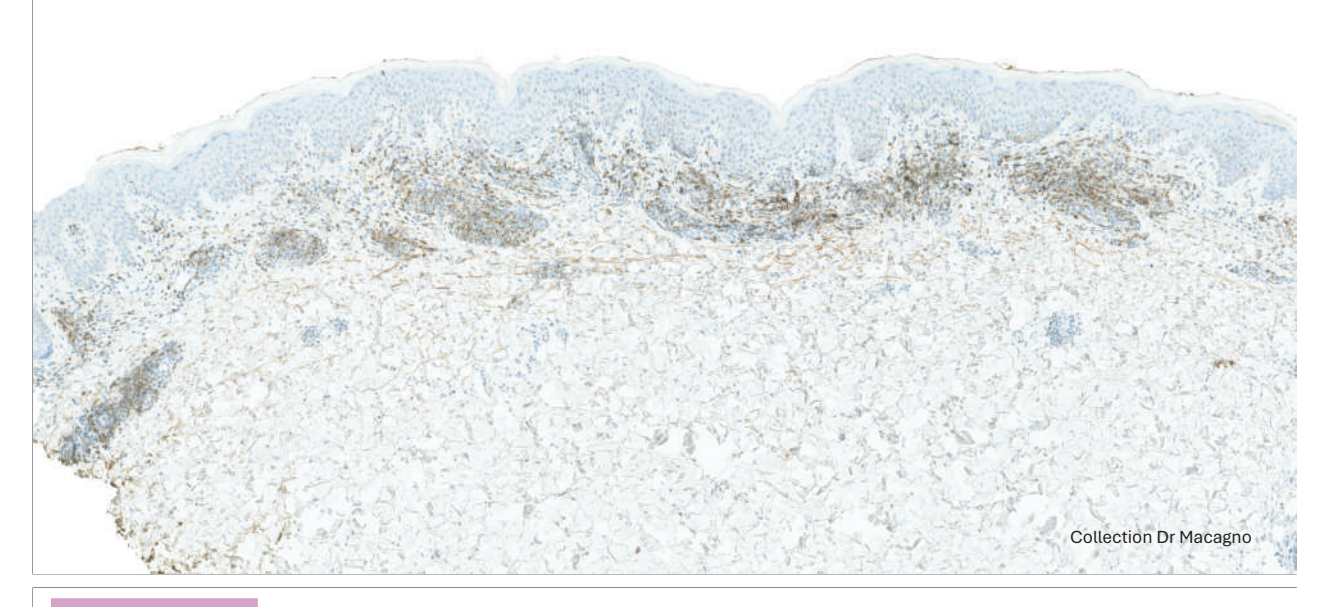
CAS<sub>2</sub>

Positif ou négatif?



CAS<sub>2</sub>

Positif plus faiblement



CAS<sub>2</sub>

Biopsie cutanée

#### **BIOPSIE CUTANEE: CUISSE GAUCHE**

Renseignement : lésions érythémateuses en plaques infiltrées diffuses prurigineuses. Hypothèse(s) : Mycosis fongoide ? Psoriasis ? Toxidermie ?

Biopsie - Acheminement : Formol Inclusion : I bloc(s) — représentatif(s) : A I

Description : infiltrat lymphoïde dermique superficiel, en bande discontinue sous épidermique, avec tropisme périvasculaire, monotone, contours nucléaires circonvolutés, hyperchromatiques. Le degré d'épidermotropisme est faible, avec peu de signes inflammatoires associés.

Immunomarquages: CXCL13(+) PD1(+) CD3(+) CD5(+) CD2(+) CD7(-) CD8(-/+) CD4(+) CD20(-) CD30(-/+) - ratio CD4/CD8 très augmenté - trou phénotypique sur CD7 (peu contributif) - surexpression membranaire diffuse & intense de PD1 - expression diffuse de CXCL13

- expression discrète et focale de CD30 sur des éléments éparses de petite taille.

Commentaires : diagnostic à préciser sur la présence concordante de suffisamment de critères majeurs, tant cliniques que biologiques et l'expression du KIRDL2.

#### CONCLUSION

Biopsie cuisse gauche : histologie compatible avec Sézary, à confirmer par les critères majeurs cliniques et biologiques

Biologie

Immunophénotypage sanguin

NFS anormale avec hyperlymphocytose 29 G/L

Frottis sanguin:

57% de cellules avec noyau irrégulier, d'allure cérébriforme

Ionogramme, créatinine et bilan rénal, LDH normaux

IgE totales normale, EPS normale, DPIG normal AAN négatifs

Anticorps anti-membrane basale épidermique négatifs, ELISA BP180 et 230 négatifs

Sérologies VIH VHB VHC syphilis négatives

Immunophénotypage sanguin:

LTCD4+ à 94% dont le phénotype CD3+ faible, CD4+, CD8-, CD2+, CD7-, CD26-, CD158+ > évoquer un syndrome de Sezary en première intention

Scanner TAP

Conclusion: **Adénomégalies** inguinales bilatérales, ganglions axillaires juxtacentimétriques

CAS<sub>2</sub>

#### Diagnostic de syndrome de Sezary sur faisceau d'arguments :

<u>Cliniques</u>: Plaques erythémateuses diffuses prurigineuses avec intervalle de peau saine

<u>Biologiques</u>: Hyperlymphocytose avec cellules de Sezary au frottis, immunophénotypage compatible (CD3+ faible, CD4+, CD8-, CD2+, CD7-, CD26-, CD158+), pic monoclonal sanguin

 $\underline{\text{Histologiques}}: \acute{\text{epidermotropisme}}, trou \text{ ph\'enotypique sur CD7}, ratio \text{ CD4/CD8} \\ \text{tr\`es augment\'e, pic monoclonal cutan\'e}$ 

Radiologiques: Adénopathies multiples

CAS<sub>2</sub>

Quels traitements initiés-vous?

- A. Dermocorticoides d'activité forte à très forte
- B. Photochimiothérapie seule
- C. Photochimiothérapie associée au Méthotrexate
- D. Mogamulizumab
- E. Polychimiothérapie

- A. Dermocorticoides d'activité forte à très forte
- B. Photochimiothérapie seule
- C. Photochimiothérapie associée au Méthotrexate



En première intention

- D. Mogamulizumab
- E. Polychimiothérapie

CAS<sub>2</sub>

#### **Evolution**

Apres 3 mois de Methotrexate à 17,5 mg/semaine et 11 séances de photochimiothérapie extra-corporelle :

- Amélioration clinique très insuffisante (persistance plaques et prurit)
- Cytolyse hépatique < 3 N
- Amélioration biologique insuffisante : 88% de LT tumoraux versus 94% initialement



RCP: deuxième ligne thérapeutique par MOGAMULIZUMAB

CAS<sub>2</sub>

#### Evolution après 15 cures de Mogamulizumab





Patient de 22 ans

#### Antécédents:

Hépatite B guérie

Tuberculose pulmonaire traitée en 2010

#### Traitement:

Aucun

#### Mode de vie:

Originaire de Guinée, en France depuis 2022 Pas de consommation de toxique

#### Histoire de la maladie :

Depuis 2020:

Présence d'un oedeme péri orbitaire bilatéral, intermittent, sans prise en charge médicale

Depuis 2022:

Oedeme péri orbitaire devenu **permanent** amenant le patient à consulter en aout 2024

Notion également d'asthénie et toux sèche

> Hospitalisation pour suite de la prise en charge

Quelles sont vos hypothèses diagnostiques?

#### CAS 3

Patient de 22 ans

#### Antécédents:

Hépatite B guérie

Tuberculose pulmonaire traitée en 2010

#### Traitement:

Aucun

#### Mode de vie:

Originaire de Guinée, en France depuis 2022 Pas de consommation de toxique

#### Histoire de la maladie :

Depuis 2020:

Présence d'un oedeme péri orbitaire bilatéral, intermittent, sans prise en charge médicale

Depuis 2022:

Oedeme péri orbitaire devenu permanent amenant le patient à consulter en aout 2024

Notion également d'asthénie et toux sèche

> Hospitalisation pour suite de la prise en charge

Hypothèses diagnostiques: tuberculose? sarcoidose? maladie à IgG4? dermatomyosite? Lymphome?

#### CAS<sub>3</sub>

Biologie

NFS normale

Ionogramme, créatinine et bilan rénal sans anomalie

CRP normale

Bilan phosphocalcique non perturbé

TSH normale

LDH normaux

#### AAN + 1/160 sans spécificité

Pas de consommation du complément ECA élevée (110)

EPS et DPIG normaux

DOT myosite négatif Pas d'AC thyroidien

Pas de protéinurie

Typage lymphocytaire sans anomalie

Bilan infectieux

Quantiféron positif Sérologie Leishmaniose et Whipple négatives

Sérologies VIH, VHC négatives Hépatite B guérie Sérologie syphilis négative

BK crachats négatifs PL normale (absence de BAAR) Aspiration bronchqiue normale **Imageries** 

Syndrome interstitiel lobaire supérieur droit avec micronodules calcifiées, pas d'adénopathie. Pas d'anomalie abdomino-pelvienne

Angioscanner des TSAO: normal

#### IRM cérébrale et médullaire :

Aspect asymétrique du contenu orbitaire, réhaussement des fascias musculaire sans masse tumorale identifiable

#### TEP TDM:

Hypermétabolisme rétro-orbitaire prédominant à droite

#### Biopsies cutanées

#### Biopsies cutanées des deux paupieres supérieures

#### Granulomes épithélioides

Présence de **nécrose** fibrinoide Inflammation du muscule orbitaire adjacent

PCR fongiques, mycobactéries, histoplasmose négatives

- Orbitopathie granulomateuse d'étiologie indeterminée
- Suspicion de tuberculose ou de sarcoidose
- 1/ Traitement anti tuberculeux d'épreuve, correctement conduit, sans amélioration
- 2/ Réponse à la corticothérapie systémique mais avec corticodépendance

CAS<sub>3</sub>

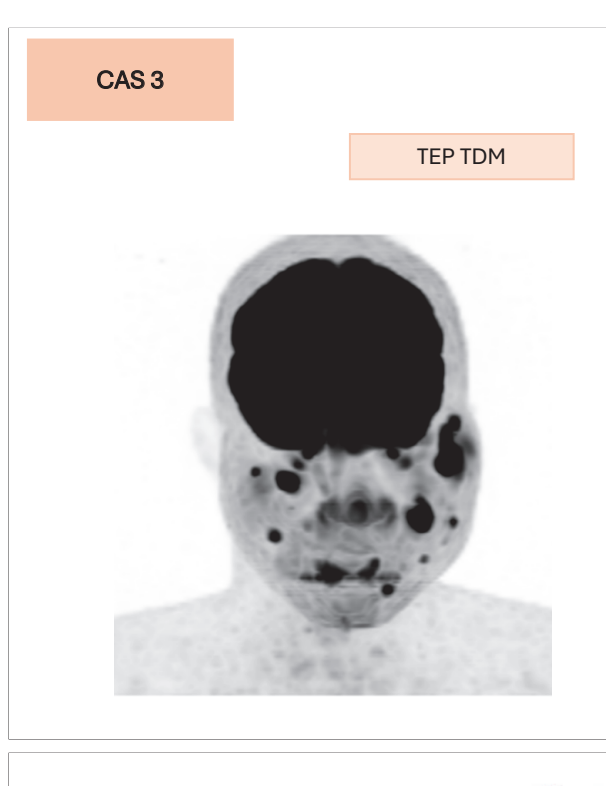
#### Evolution, octobre 2024

Apparition d'une fièvre avec sueurs nocturnes Œdème facial gauche unilatéral Nouures des deux membres

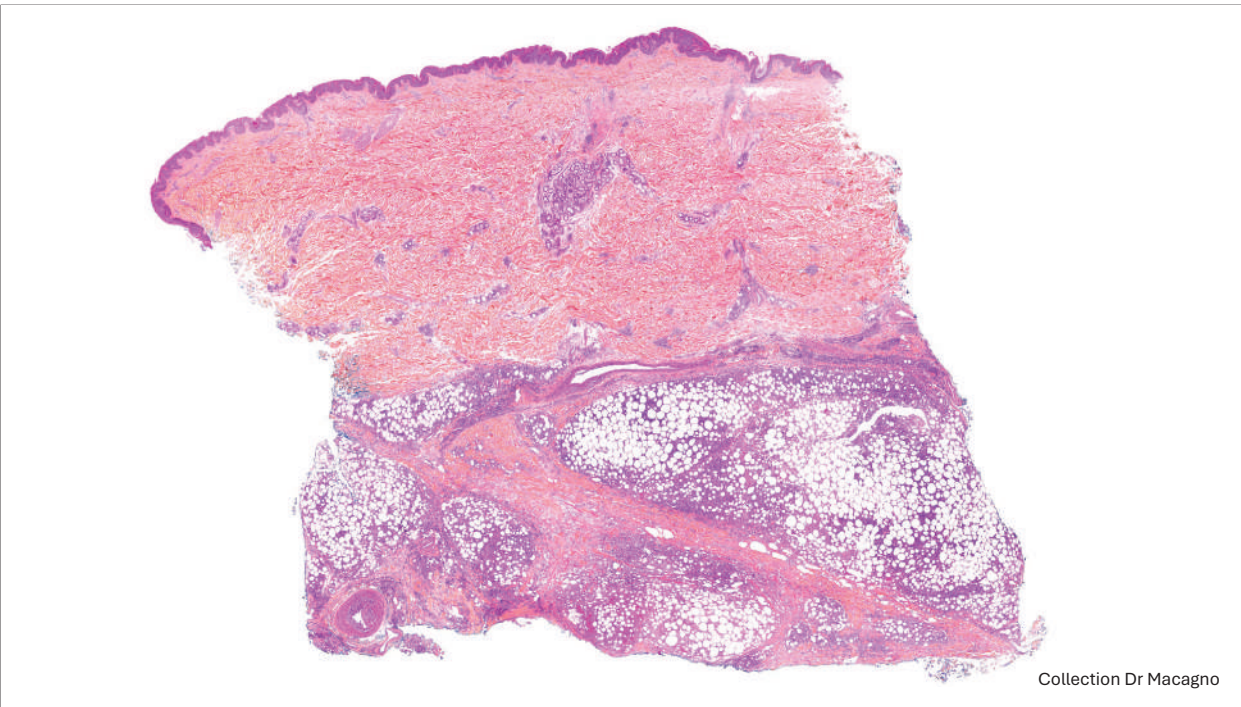
Bilan biologique : LDH augmentés 610 Beta2microglobulinémie augmentée 7.9 Nouvelle hospitalisation : Biopsie cutanée cuisse gauche TEP TDM

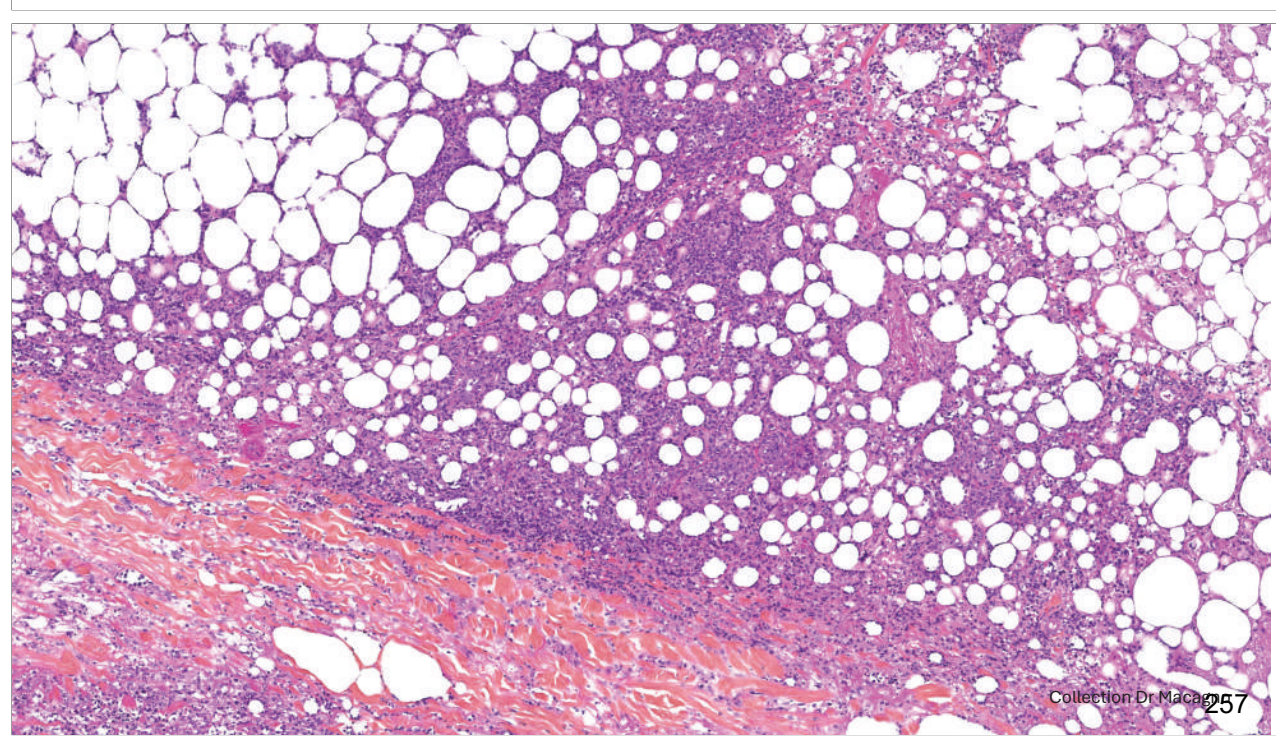
CAS<sub>3</sub>

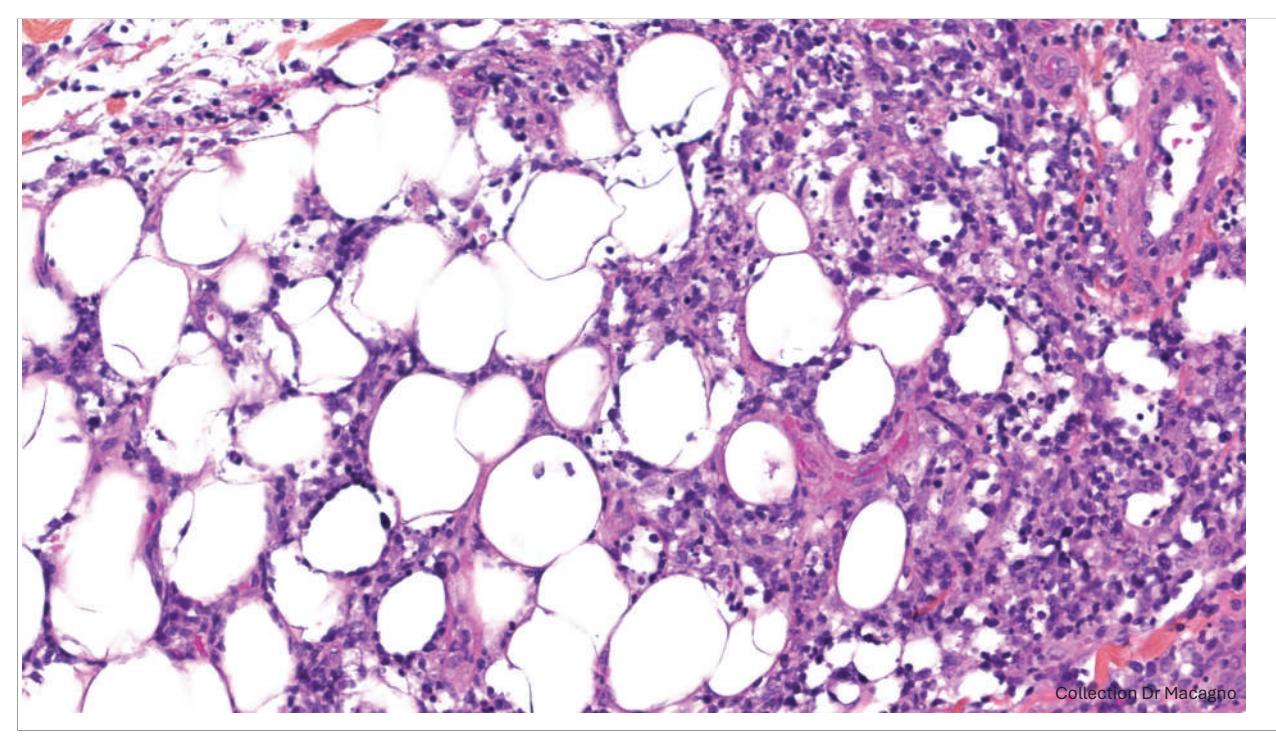


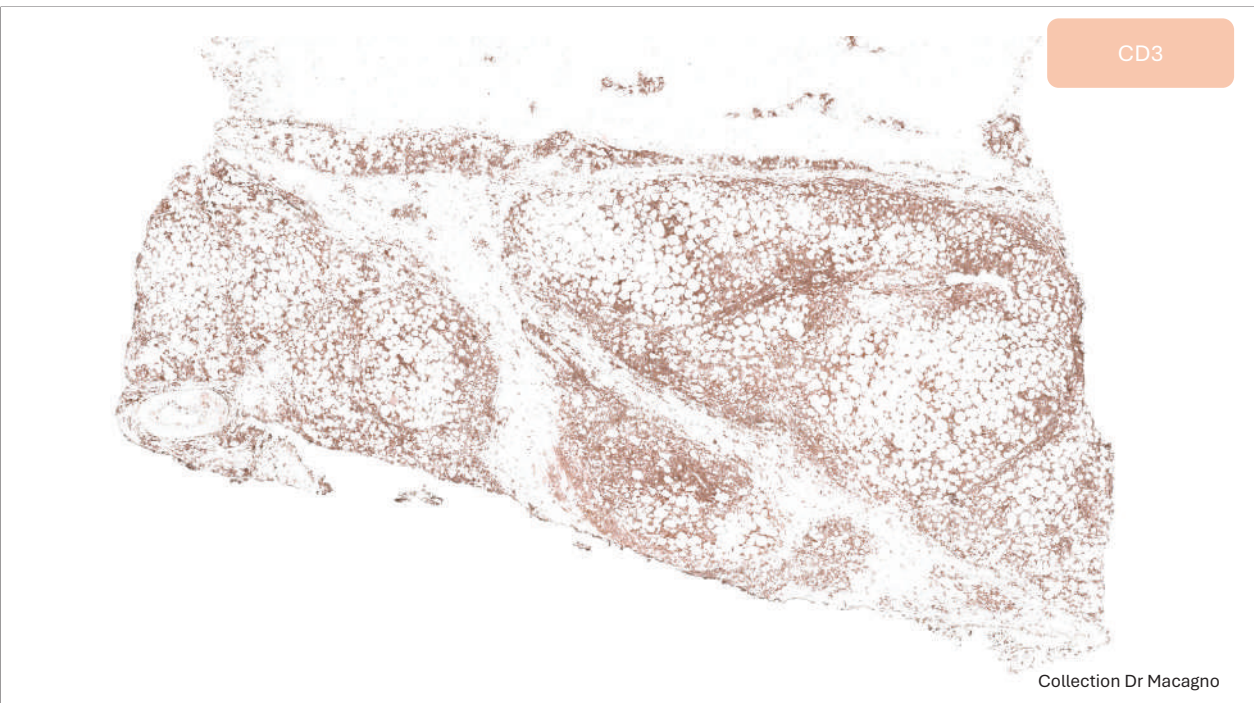




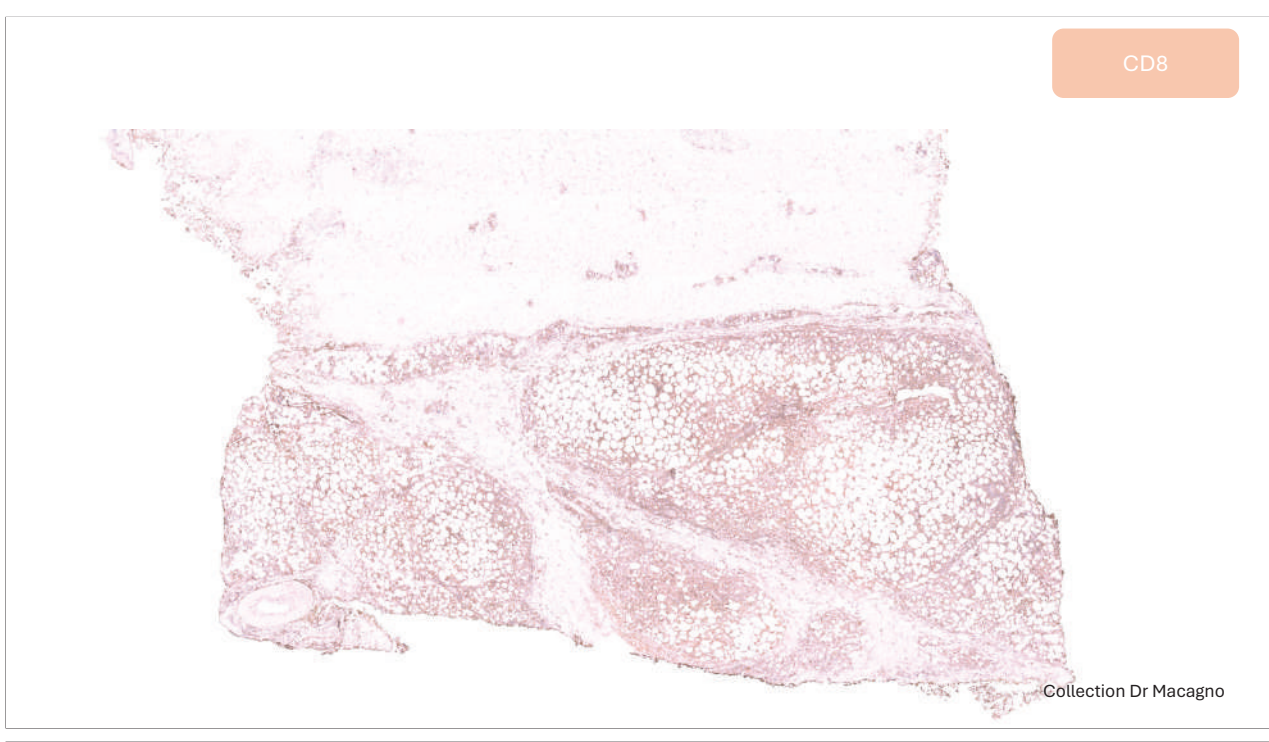


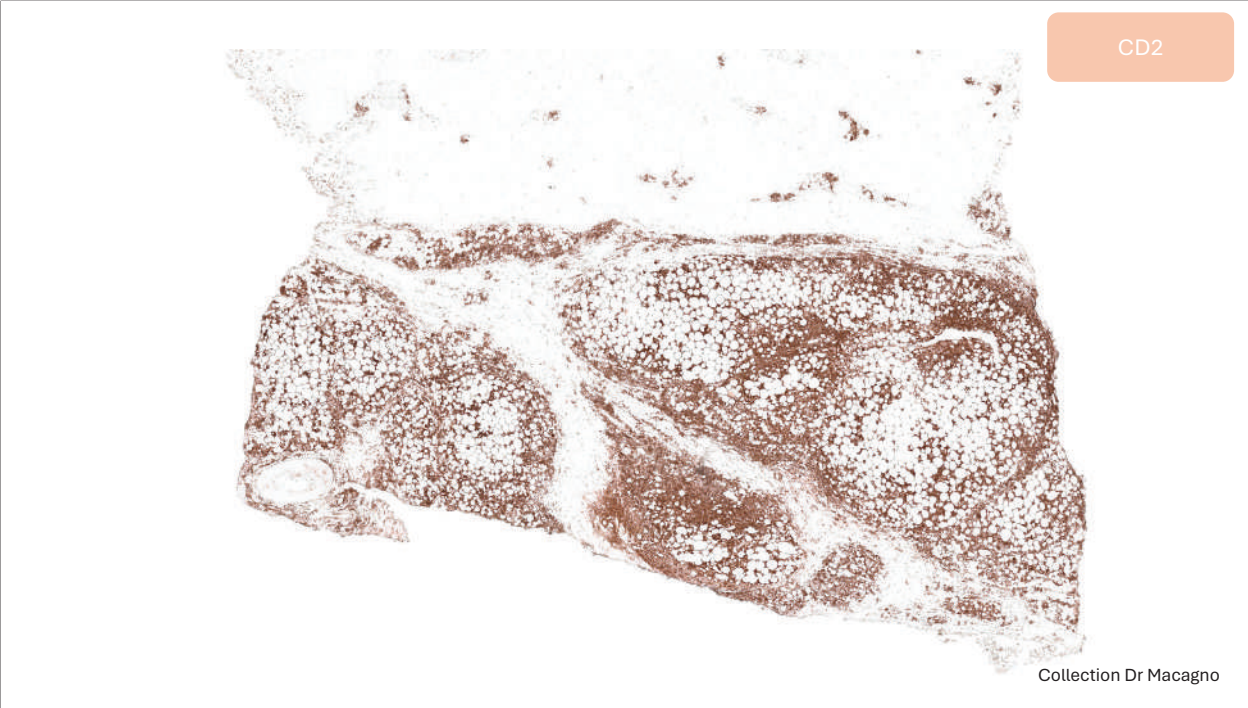














#### A. BIOPSIE CUTANEE: CUISSE

Renseignement : suspicion de lymphome T sous cutané type panniculite ou infection mycobactérie ou sarcoïdose ou histiocytose ou panniculite histiocytaire

Biopsie - Acheminement : Formol Inclusion: I bloc(s) - représentatif(s): A I

Description: biopsie, lymphoprolifération touchant uniquement l'hypoderme avec une prédominance lobulaire, constituée de lymphocytes atypiques, aux noyaux irréguliers et hyperchromatiques. Il existe plusieurs images de lymphocytes atypiques en couronne périadipocytaire, de nombreux débris caryorrhexiques, une nécrose

adipocytaire avec macrophages résorbtifs. Il n'y a pas d'atteinte du derme et de l'épiderme.

Il n'y a pas de granulome. Immunohistochimies:

CD2(+) CD3(+) CD5(-) CD4(-) CD8(+) CD7(-) CD56(-) CD20(-) PD CD30[0%] Kl67[60%] HIS EBER(-)

Clonalité tissulaire : population T monoclonale

CAS<sub>3</sub>

Clonalité peau

Clonalité T / tissus					
Renseignements					
Date de réception		21/10/2024			
Numéro de tube		26			
Numéro de Liste		43			
Nature prélèvement		Tissu			
Localisation		PEAU			
Indication Prescript		SUSPICION LYMPHOME T			
Diagnostic / Suivi		Diagnostic			
Résultats CLO T					
Albumine (contrôle)		Validé			
Conclusion CLO T		Présence d'une population lymphocytaire T monoclonale.			
Pic		Présence de 3 pics monoclonaux.  Taille du pic 1 : 176 pb (en PCR GA ()			
Commentaire		Le test moléculaire ne peut à lui seul permettre d'affirmer ou d'él ()			
Clonalité B / tissus					
Renseignements					
Date de réception		21/10/2024			
Numéro de tube		26			
Numéro de Liste		43			
Nature prélèvement		Tissu			
Localisation		PEAU			
Indication Prescript		SUSPICION LYMPHOME T			
Diagnostic / Suivi		Diagnostic			
Résultats CLO B					
Albumine (contrôle)		Validé			
Conclusion CLO B		Présence d'une population lymphocytaire B polyclonale.			
Commentaire		Le test moléculaire ne peut à lui seul permettre d'affirmer ou d'él ()			

CAS<sub>3</sub>

#### Diagnostic de lymphome T cutané de type panniculite

Introduction d'un traitement systémique par corticothérapie associée au methotrexate

Amélioration de l'état général et dermatologique permettant une diminution progressive de la corticothérapie et poursuite du traitement de fond par Methotrexate

### 7.2 Annexe II: Fiches synthèses

# LYMPHOME T

#### **MYCOSIS FONGOIDE (MF)**

**SYNTHESE** 

#### **SYNTHESE**

Le plus fréquent des lymphomes cutanés (50% des cas)

Rare

Age moyen 50 ans, possible à tout âge Cas pédiatriques (souvent hypopigmenté)

Forme classique : Macule > plaque > tumeur Lésions fixes

En zones non photo exposées Nombreux variants cliniques

OMS : folliculotrope, pagétoide, chalaziodermique

MF transformé si >25% de grandes cellules

**Epidermotropisme** sans spongiose **Atypies lymphocytaires** 

Trou phénotypique

Réarrangement monoclonal TCR

#### **Evolution imprévisible**

Stades précoces de bon pronostic (75%) Pronostic plus réservé pour stade tumoral et MF transformé

Traitement selon le stade et balance bénéfice risque Possibilité de non traiter Privilégier un traitement topique si suffisant, réévaluation fréquente

1

#### LYMPHOME T

#### PAPULOSE LYMPHOMATOIDE

**SYNTHESE** 

**12**% des lymphomes cutanés 2° lymphome le plus fréquent Bare

Age moyen 50 ans, possible à tout âge Cas pédiatriques

Diagnostic repose sur clinique + histologie + immunohistochimie + moléculaire

Papules/nodules **disséminées**Parfois nécrotiques
Coexistence lésions d'âge différent **Auto-régression** dans 100% des cas

Aucun examen biologique ou radiologique systématique

Lymphoprolifération LT CD30+ dans le derme

6 sous types histologiques sans incidence sur pronostic et sans corrélation anatomo-clinique (sauf type E)

Type A dans 75% des cas

Réarrangement monoclonal TCR

Evolution chronique

Très bon pronostic

Association à autre lymphome (20%)

Surveillance clinique

- •Asymptomatique : abstention thérapeutique
- •Symptomatique et pauci-lésionnel : traitement local
- •Symptomatique et lésions disséminées : traitement systémique

Traiter ne réduit pas le risque de récidive ou de second lymphome

2

#### **LYMPHOME T**

#### LYMPHOME T ANAPLASIQUE A GRANDES CELLULES

SYNTHESE

8% des lymphomes cutanés Rare Age moyen 50 ans, Cas pédiatriques très rare

Diagnostic repose sur clinique + histologie + immunohistochimie + moléculaire

Nodule violacé voire volumineuse tumeur Souvent ulcéré Le plus souvent unique Evolution rapide

Auto-régression des lésions 20% des cas

Lymphoprolifération clonale **LT CD30+** dans le derme (>75% infiltrat)

Absence d'expression ALK

Trou phénotypique Réarrangement monoclonal TCR

Bon pronostic, indolent Récidive fréquente Atteinte ganglionnaire 10% des cas

- •Forme auto régressive : abstention thérapeutique
- •Forme localisée : chirurgie ou radiothérapie
- •Forme diffuse: traitement systémique (Methotrexate, PegInterféron, rétinoides, brentuximab..)
- •Atteinte extra cutanée : polychimiothérapie

3

#### LYMPHOME T

#### Lymphoprolifération CD4+ à petites et moyennes cellules

**SYNTHESE** 

**6%** des lymphomes cutanés Rare Age moyen 50 ans, sexe ratio é

Age moyen 50 ans, sexe ratio équilibré Cas pédiatriques décrit

Diagnostic repose sur clinique + histologie + immunohistochimie + moléculaire

Nodule violacé ou papule erythémateuse Le plus souvent unique et asymptomatique Prédominance visage et cou, partie supérieure du tronc Etat général conservé

Absence d'argument clinico-biologique pour un MF

Lymphoprolifération de lymphocytes T CD4+ atypiques de petites et moyennes cellules
Pleomorphisme cellulaire
Phénotype T helper
Trou phénotypique sur CD7

**Bon pronostic**, survie à 5 ans >70% Diagnostic différentiel MF, lymphome B, infiltrat réactionnel bénin

Rearrangement monoclonal TCR

Privilégier un traitement peu aggressif Chirurgie, radiothérapie si lésion localisée Traitement systémique (Methotrexate > chimiothérapie) si lésions diffuses

#### LYMPHOME T

#### LYMPHOME T SOUS CUTANE TYPE PANNICULITE $(\alpha\beta)$

**SYNTHESE** 

1% des lymphomes cutanés Très rare Age moyen 40 ans. Sex ratio 2F/1H Cas pédiatriques possible

Nodules sous cutanés ou plaques indurées indolore

Membres et tronc surtout Cicatrice atrophique **Signes généraux** 

Diagnostics différentiels : lupus panniculite et lymphome gamma delta

Lymphoprolifération clonale **LT cytotoxique alpha/beta** Infiltrat lymphocytaires atypiques **sous cutané** Panniculite lobulaire

CD4-, CD8+, CD56-, protéines cytotoxiques Réarrangement monoclonal TCR, mutation HAVCR2

Lymphome indolent, bon pronostic Survenue de syndrome d'activation macrophagique dans 20% des cas alourdissant pronostic

Survie à 5 ans >80% (45% si SAM) **Association à pathologies auto-immunes** 

Traitement par immunosuppresseurs Si échec ou forme agressive : polychimiothérapies

5

#### LYMPHOME T

#### LYMPHOPROLIFERATION ACRALE CD8+

**SYNTHESE** 

1% des lymphomes cutanés Entité récemment décrite Très rare Age moyen 50 ans, Pas de cas pédiatrique décrit

Diagnostic repose sur clinique + histologie + immunohistochimie + moléculaire

Papule ou nodule rouge violacé
Le plus souvent unique
Evolution lente
Disposition acrale
Pas d'atteinte extra cutanée

Pas d'altération de l'état général

Absence d'épidermotropisme
CD8+, CD68+, CD30-, CD56Trou phénotypique
Réarrangement monoclonal TCR

Lymphoprolifération clonale de lymphocytes

Excellent pronostic
Récidive 20%
Pas d'atteinte extra cutanée
Aucun décès rapporté

dermique diffuse

Traitement chirurgical Radiothérapie

#### **LYMPHOME T**

#### SYNDROME DE SEZARY (SS)

**SYNTHESE** 

2% des lymphomes cutanés Très rare Exclusivement chez adultes Age moyen 60 ans

Association de critères cliniques, biologiques, histopathologiques, moléculaires et immunohistochimiques

**Erythrodermie + adénopathies** généralisées + lymphocytes atypiques clonaux peau, ganglion et **sang** 

Forme leucémique de lymphome cutané

LT matures auxiliaires (CD4) avec atypies cellulaires, **cellules de Sezary CD7- ou CD26-, KIR3DL2/CD158k + Epidermotropisme** Réarrangement monoclonal TCR

#### Mauvais pronostic

Survie à 5 ans < 30% Bilan biologique et radiologique

Traitement systémique nécessaire
1/ Photochimiothérapie extra-corporelle
associée au Methotrexate
2/ Mogamulizumab
3/ Chimiothérapie et allogreffe

7

#### LYMPHOME T

#### LYMPHOME T CUTANE EPIDERMOTROPE CD8+ CYTOTOXIQUE

**SYNTHESE** 

**1**% des lymphomes cutanés Très rare

Diagnostic repose sur clinique + histologie + immunohistochimie + moléculaire

Papules, nodules ou tumeurs Caractere éruptif (**rapidité d'évolution**) Caractère disséminé

**Ucération** et/ou **nécrose** Atteinte muqueuse fréquente Signes généraux

Possible forme papules hyperkératosiques diffuses (anciennement "Ketron Goodman disease")

Lymphoprolifération clonale LT CD8+ atypiques avec épidermotropisme

Trou phénotypique possible Réarrangement monoclonal TCR

#### Diagnostics différentiels:

**MF CD8+** épidermotropisme commun mais clinique distincte

Lymphome T NK nasal

Pronostic médiocre Atteinte ganglionnaire et métastases fréquente

Traitement non codifié, polychimiothérapie Résistance aux thérapeutiques

#### **LYMPHOME T**

#### LYMPHOME T GAMMA/DELTA (γδ)

**SYNTHESE** 

1% des lymphomes cutanés Très rare Age moyen 60 ans Sexe ratio équilibré Cas pédiatriques rares Lymphoprolifération clonale **LT cytotoxique γδ**Infiltrat lymphocytaires atypiques sous cutané mais aussi dermique et épidermique **CD4-, CD8-, CD56+, protéines cytotoxiques** 

Nodules ou plaques ulcérées nécrotiques

Atteinte diffuse, évolution rapide Atteinte extra cutanée fréquente Signes généraux avec AEG importante **Lymphome agressif,** pronostic médiocre **Syndrome d'activation macrophagique** dans 50% des cas Survie à 5 ans < 20%

Polychimiothérapie Résistance thérapeutique importante

Réarrangement monoclonal TCR

9

#### LYMPHOME B

### LYMPHOME B CENTRO FOLLICULAIRE (PCFCL)

**SYNTHESE** 

12% des lymphomes cutanés 60% des lymphomes B Le plus fréquent des lymphom

**Le plus fréquent des lymphomes B** Age moyen 50 ans

Légère prédominance masculine

Diagnostic repose sur clinique + histologie + immunohistochimie + moléculaire

Plaques, papules, nodule ou masse rouge/violacée asymptomatique Le plus souvent unique ou groupées, multifocales dans 15% Ulcération secondairement Visage, cou et tronc

Infiltrat dermique de lymphocytes B atypiques avec atteinte péri-vasculaire et péri-annexiel

Architecture folliculaire

Positivité marqueurs B (CD19, CD20, CD79a) Positivité **BCL6** 

Monoclonalité BCR

Pronostic **excellent** avec survie à 5 ans > 95% Cas de régression spontanée possible 10% de dissémination extra cutanée Récidive fréquente 30% des cas

TOUJOURS ELIMINER LYMPHOME SYSTEMIQUE

Bilan initial biologique et radiographique Traitement **chirurgical** ou radiothérapie Discuter Rituximab et polychimiothérapie si disséminé

#### LYMPHOME B

#### LYMPHOME B DE LA ZONE MARGINALE (PCMZL)

SYNTHESE

9% des lymphomes cutanés 25% des lymphomes B 2e localisation de lymphome MALT Age moyen 50 ans Légère prédominance masculine

Diagnostic repose sur clinique + histologie + immunohistochimie + moléculaire

Plaques, papules, nodule ou masse rouge/violacée asymptomatique Le plus souvent unique ou groupées, multifocales dans 15% Ulcération secondairement Tronc, membres supérieurs et visage Infiltrat dermique de petits lymphocytes B avec diffuser vers l'hypoderme et respect de l'épiderme Positivité marqueurs B (CD19, CD20, CD79a)

BCL2+, BCL6-

Monotypie plasmocytaire Monoclonalité BCR

ABSENCE DE TRANSLOCATION t(14;18)

Pronostic excellent avec survie à 5 ans > 95% Cas de régression spontanée possible Dissémination extra cutanée rare Récidive fréquente 50% des cas

Possible transformation blastique (très rare)

Bilan initial biologique et radiographique Traitement chirurgical ou radiothérapie Discuter Rituximab et polychimiothérapie si disséminé

11

#### LYMPHOME B

### LYMPHOME B A CELLULES LARGES DIFFUSES, TYPE JAMBE

SYNTHESE

4% des lymphomes cutanés Très rare Age moyen 70 ans Légère prédominance femme

Diagnostic repose sur clinique + histologie + immunohistochimie + moléculaire

#### IMPERATIF D'ELIMINER UN LYMPHOME SYSTEMIQUE

Nodules ou masse rouge/violacée Unique ou multiple

**Evolution rapide** 

Ulcération secondairement Principalement sur les membres inférieurs

Infiltrat dermique diffus de lymphocytes B de grande taille

Index mitotique élevé Positivité marqueurs B (CD19, CD20, CD79a) Positivité BCL2 ou BCL6, Ki67 élevé Monoclonalité BCR, mutation MYD88

Pronostic médiocre

Maladie agresive avec survie à 5 ans <50% Récidive et atteinte extra cutanée fréquente

Bilan initial biologique et radiographique Traitement repose sur la polychimiothérapie

#### LYMPHOME B

#### LYMPHOME B INTRA VASCULAIRE

**SYNTHESE** 

1% des lymphomes cutanés Très rare Age moyen 70 ans Sexe ratio équilibré

Diagnostic repose sur clinique + histologie + immunohistochimie + moléculaire

#### Polymorphisme clinique important

(dépend des vaisseaux atteints) atteintes dermatologiques et neurologiques fréquentes

Examens paracliniques souvent non concluants, à répéter : rôle central de la **biopsie cutanée** 

Lymphoprolifération de lymphocytes B tumoraux dans la lumière des vaisseaux de petits calibres

Positivité marqueurs B KI67 elevé, BCL2 and MUM1 positifs Atteinte focale avec recoupes nécessaire Visualisation hypoderme indispensable

Monoclonalité BCR, mutation MYD88 ou CD79b

**Pronostic médiocre, lymphome très agressif** Lymphome agressif, survie à 5 ans < 30%

Bilan initial biologique et radiographique Traitement repose sur la polychimiothérapie

13

#### FICHE SYNTHESE

#### LYMPHOME T

#### Lymphomes T classiquement CD4+:

- · Mycosis fongoide
- Syndrome de Sezary
- Lymphoprolifération CD30 + : lymphome anaplasique à grandes cellules et papulose lymphomatoide (sauf type D)
- CD4+ lymphoprolifération à petites et moyennes cellules

### FICHE SYNTHESE

#### LYMPHOME T

## Lymphomes T classiquement CD8+:

- Lymphome T CD8+ épidermotrope agressif cytotoxique
- Lymphome T sous cutané type panniculite (alpha/beta)
- Lymphome T delta/ gamma
- Lymphoprolifération CD8+ acrale
- Papulose lymphomatoide (type D)

15

#### FICHE SYNTHESE

#### LYMPHOME T

## Lymphomes T avec épidermotropisme

- Mycosis fongoide
- Syndrome de Sezary
- Lymphome T CD8+ épidermotrope agressif cytotoxique
- Papulose lymphomatoide (type B)

#### 7.3 Annexe III: Questionnaire d'évaluation (pré et post test)

#### 1/ A propos des lymphomes primitivement cutanés :

- A. Ils se caractérisent par une prolifération de lymphocytes monoclonaux immatures dans la peau sans atteinte systémique au moment du diagnostic.
- B. Contrairement aux lymphomes systémiques, la majorité des lymphomes primitivement cutanés sont de phénotype T.
- C. Ils représentent la première localisation de lymphomes extra-ganglionnaires.
- D. Les lymphomes primitivement cutanés de phénotype B sont de plus mauvais pronostic que ceux de phénotype T.
- E. Le mycosis fongoide et le syndrome de Sezary sont les deux lymphomes primitivement cutanés de phénotype T les plus fréquents.

#### Correction:

- A. Faux: Les lymphocytes sont matures dans les lymphomes.
- B. Vrai.
- C. Faux : Deuxième localisation après les localisations digestives.
- D. Faux : Il existe des lymphomes B indolents et des lymphomes T agressifs, le pronostic n'est pas lié au phénotype à proprement parlé
- E. Faux : Le mycosis fongoide est le plus fréquent mais le Sezary est très rare. Le second lymphome T le plus fréquent est la papulose lymphomatoide.

#### 2/ Concernant la clonalité T:

- A. La recherche de clonalité peut se faire sur la peau et dans le sang.
- B. La technique consiste à extraire et amplifier par PCR l'ADN du noyau des lymphocytes T.
- C. Un pic monoclonal cutané peut se voir dans un eczéma.
- D. Le diagnostic de lymphome cutané peut être établi en l'absence de pic monoclonal.
- E. La mise en évidence d'un clone sanguin différent du clone cutané n'a pas de valeur diagnostique.

#### **Correction:**

- A. Vrai
- B. Il s'agit de l'ADN des molécules de surface.
- C. Vrai
- D. Vrai
- E. Vrai

#### 3/ Concernant le pronostic de ces lymphomes primitivement cutanés :

A. Le syndrome de Sezary est un lymphome agressif.

- B. Le lymphome anaplasique est un lymphome agressif.
- C. Le lymphome T de type panniculite est un lymphome agressif.
- D. Le lymphome T CD8+ acral est un lymphome agressif.
- E. Le lymphome centro-folliculaire est un lymphome agressif.

#### **Correction:**

- A. Vrai
- B. Faux
- C. Faux
- D. Faux
- E. Faux

#### 4/ Concernant le mycosis fongoide :

- A. Il représente environ 80% des lymphomes cutanés.
- B. Le diagnostic repose sur l'association de critères cliniques, histopathologiques, immunopathologiques et moléculaires.
- C. Trois sous types sont reconnus par l'OMS : folliculotrope, erythrodermique et chalaziodermique.
- D. Les lésions sont classiquement des macules ou plaques érythémateuses en zones photoprotégées mais peuvent également être hypo ou hyperpigmentées.
- E. Le mycosis fongoïde transformé est défini par la présence de nodules tumoraux et témoigne d'une évolution péjorative de la maladie.

#### Correction:

- A. 50% soit la moitié des lymphomes cutanés.b
- B. Vrai
- C. Les trois sous types reconnus par l'OMS sont : folliculotrope, pagétoide et chalaziodermique.
- D. Vrai avec lésions hypopigmentées fréquentes chez les enfants et adolescents.
- E. Le mycosis fongoide transformé a une définition histologique, correspondant à >25% de grandes cellules dans l'infiltrat tumoral. La transformation survient généralement au stade tumoral.

#### 5/ Concernant le mycosis fongoide :

- A. Un bilan d'extension par imagerie est nécessaire au diagnostic pour tout patient.
- B. L'atteinte extra-cutanée est rare mais de mauvais pronostic.
- C. Environ 50% des patients développeront une forme avancée de la maladie.
- D. Un traitement adapté permet de diminuer le risque d'évolution vers une forme avancée de la maladie.

E. Il est possible d'envisager un arrêt de traitement systémique et de poursuivre un traitement topique seul chez un patient présentant une forme avancée de la maladie en réponse prolongée.

#### **Correction:**

- A. Le bilan par imagerie n'est pas recommandé pour tous les patients (pas d'imagerie pour les stades I et II
- B. Vrai
- C. Non, 75% des patients resteront avec une forme indolente.
- D. L'évolution de la maladie est imprévisible. Traiter tôt ne diminue pas le risque évolutif de la maladie
- E. Vrai

#### 6/ Concernant l'histologie du mycosis fongoide :

- A. L'infiltrat lymphocytaire présente des atypies (grosse cellule, noyau irrégulier, hyperchromatique...).
- B. Présence d'un épidermotropisme sans spongiose.
- C. Possible présence de micro-abcès de Sabouraud.
- D. Le sous type chalaziodermique se caractérise par un infiltrat granulomateux de lymphocytes T et une perte des fibres de collagène.
- E. Le mycosis fongoide transformé se caractérise par une proportion de grosses cellules représentant >75% de l'infiltrat, et peut être CD30+ ou CD30-.

#### **Correction:**

- A. Vrai
- B. Vrai
- C. Présence possible de micro-abcès de Pautrier. Les micro-abcès de Sabouraud se retrouvent dans le psoriasis.
- D. Perte des fibres élastiques
- E. >25% de grandes cellules
- 7/ Laquelle de ces photos correspond à la forme classique d'un lymphome T anaplasique à grandes cellules ?

Α.



В.



C.



D.



E.



## Correction:

- A. Lymphome de la zone marginale
- B. Papulose lymphomatoide
- C. Lymphome intra-vasculaire
- D. Correct : lésion ulcérée le plus souvent unique
- E. Lymphome T CD4+ cytotoxique épidermotrope

#### 8/ Concernant la papulose lymphomatoide :

- A. C'est une lymphoprolifération dermique de lymphocytes T CD30+.
- B. La régression spontanée des lésions est systématique.
- C. L'expression du CD30 par les lymphocytes T est un marqueur de malignité.
- D. Il existe six sous types histologiques distincts mais sans incidence sur le pronostic.
- E. Il existe un risque de second lymphome associé justifiant un bilan biologique et radiologique pour chaque patient au diagnostic.

#### Correction:

- A. Vrai
- B. Vrai, C'est une caractéristique importante pour le diagnostic de ce lymphome.
- C. Le CD30 est un marqueur d'activation lymphocytaire.
- D. Vrai
- E. Il existe bien un risque de second lymphome associé mais la surveillance est clinique, le bilan est réalisé sur point d'appel uniquement.

#### 9/ Concernant le syndrome de Sezary :

- A. Actuellement, le syndrome de Sezary et le mycosis fongoide sont considérés comme une même entité ; le syndrome de Sezary étant une forme leucémique de mycosis fongoide.
- B. Il représente environ 10% des lymphomes primitivement cutané.
- C. Il se retrouve majoritairement chez les adultes de plus de 50 ans mais des cas pédiatriques sont décrits.
- D. Il se caractérise par l'association d'une erythrodermie, d'adénopathies généralisées et de lymphocytes atypiques clonaux dans la peau, les ganglions et le sang périphérique.
- E. Les patients peuvent présenter un ectropion, une alopécie et une hyperkératose palmoplantaire.

#### **Correction:**

- A. Historiquement oui mais actuellement les études penchent plutôt pour deux entités distinctes.
- B. 2%
- C. Il n'y a pas de cas pédiatrique dans le Sezary.
- D. Vrai
- E. Vrai

#### 10/ Concernant le syndrome de Sezary:

A. L'immunophénotypage lymphocytaire sanguin est indispensable et doit mentionner la recherche du KIR3DL2.

- B. PD1 est surexprimé par les cellules de Sezary.
- C. Le traitement de première intention peut reposer sur un traitement local seul par dermocorticoides.
- D. La photochimiothérapie extracorporelle consiste en une irradiation in vivo des cellules mononuclées par des rayons ultraviolets A en présence d'une molécule photoactivable et a lieu dans des cabines UV spécifiques.
- E. Le mogamulizumab est un anticorps anti CCR4 et dispose de l'AMM en première ligne de traitement systémique.

#### **Correction:**

- A. Vrai
- B. Vrai
- C. Non le traitement local est insuffisant, un traitement systémique est à instauré en première intention
- D. L'irradiation des lymphocytes est réalisée ex-vivo, la technique nécessite un bon abord veineux et se réalise en centre spécialisé.
- E. Il dispose de l'AMM mais en seconde intention.

## 11/ Parmi les lymphomes T primitivement cutanés suivant, lesquels sont classiquement CD8+?

- A. Le mycosis fongoide
- B. Le syndrome de Sezary
- C. La lymphome T anaplasique à grande cellules
- D. Le lymphome T delta/gamma
- E. Le lymphome T type panniculite

#### Correction:

Bonnes réponses : D et E.

Les autres propositions sont CD4+.

## 12/ Parmi les lymphomes T primitivement cutanés suivant, quelles sont les réponses vraies ?

A.La lymphoprolifération acrale CD8+ est une nouvelle entité indolente, le diagnostic différentiel principal à éliminer étant le lymphome agressif epidermotrope cytotoxique TCD8+.

- B. La lymphoprolifération acrale CD8+ se présente par des lésions papulo-nodulaires multiples des extrémités avec épidermotropisme.
- C. Le lymphome T type panniculite est un lymphome agressif très souvent associé à un syndrome d'activation macrophagique.
- D. Les marquages immunohistochimiques EBER et CD56 sont souvent positif dans le lymphome T type panniculite.

E. Le lupus profond ou lupus panniculite est un diagnostic différentiel du lymphome T type panniculite.

#### **Correction:**

- A. Vrai
- B. La lymphoprolifération acrale CD8+ se présente le plus souvent par une lésion unique nodulaire des extrémités sans épidermotropisme. Des lésions multiples et un épidermotropisme doivent faire évoquer son diagnostic.
- C. Le lymphome T panniculite est un lymphome indolent, il y a <25% de syndrome d'activation macrophagique mais celui ci alourdi le pronostic.
- D. Toujours négatifs pour cette entité.
- E. Vrai

#### 13/ Concernant les lymphomes primitivement cutanés de phénotype B:

- A. Ce sont des lymphomes non Hodgkinien.
- B. Le lymphome de la zone marginale est le plus fréquent.
- C. La majorité des lymphomes B primitivement cutanés sont agressif.
- D. Le lymphome B à grandes cellules diffuses est principalement localisé sur les membres inférieurs et est de mauvais pronostic.
- E. Le lymphome de la zone marginale cutané est la deuxième localisation de lymphome MALT (après le tube digestif) et exprime fréquemment la translocation t(14:18).

#### **Correction:**

- A. Vrai
- B. C'est le lymphome centro-folliculaire (représente 60% des lymphomes B cutanés contre 25% pour la zone marginale).
- C. C'est faux, les lymphomes cutanés B indolents sont largement majoritaire (60% de lymphome centro folliculaire et 25% pour les lymphomes de la zone marginale)
- D. Vrai
- E. La translocation est très rare dans la peau et évoque plutôt une forme systémique de lymphome.

#### 14/ Concernant les lymphomes primitivement cutanés de phénotype B :

- A. Une sérologie borréliose est recommandée dans le bilan initial à la recherche de diagnostic différentiel.
- B. Un bilan biologique et radiologique est systématiquement réalisé afin d'éliminer un lymphome systémique.
- C. Devant une suspicion de lymphome intravasculaire, les biopsies en peau saine sont inutiles.
- D. La distinction histologique avec un infiltrat bénin est souvent difficile.
- E. La dissémination extra cutanée est fréquente, même pour les formes indolentes.

#### **Correction:**

- A. Vrai
- B. Vrai
- C. A réaliser même en peau saine, biopsie profonde avec de l'hypoderme, cuisse à privilegier.
- D. Vrai
- E. Non les formes indolentes ont très rarement d'atteinte extra cutanée.

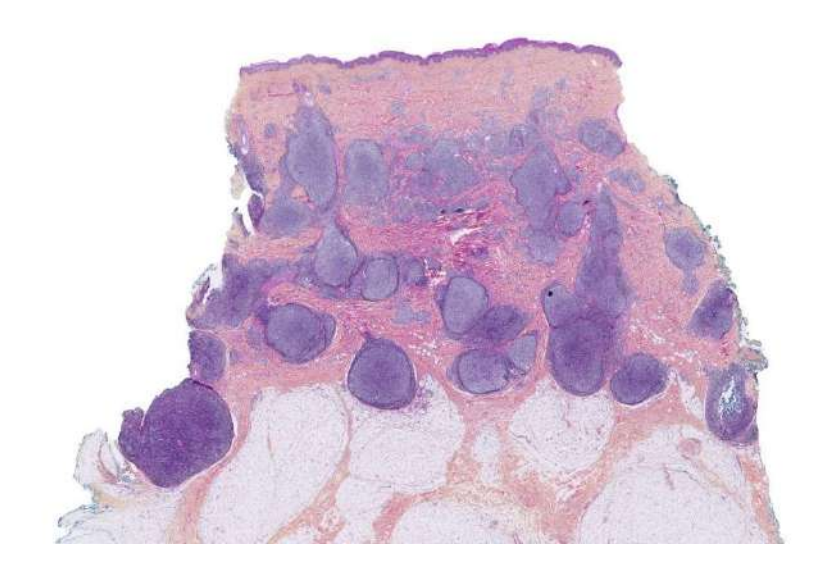
### 15/ Concernant les marqueurs immunohistochimiques suivant :

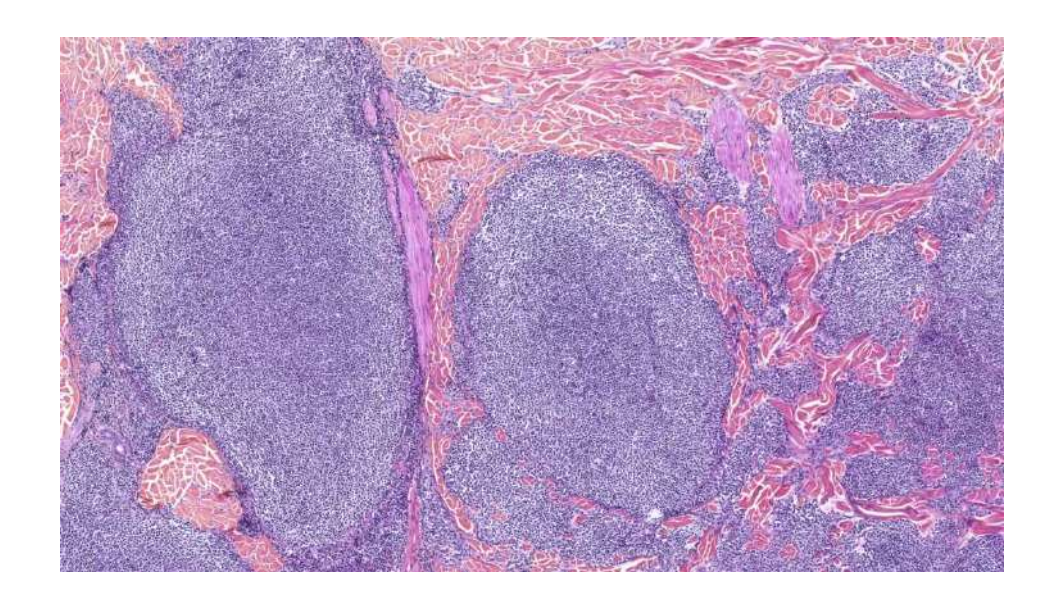
- A. CD79a et PAX 5 sont des marqueurs de lymphocytes B.
- B. CD30 est un marqueur de lymphocytes activés.
- C. La présence d'un trou phénotypique est un argument qui conforte le diagnostic de lymphome T.
- D. La négativité de ALK dans les lymphomes cutanés anaplasiques doit faire rechercher un lymphome systémique.
- E. Le syndrome de Sezary présente un phénotype TFH (T-follicular helper).

#### Correction:

- A. Vrai
- B. Vrai
- C. Vrai
- D. Faux, c'est la positivité de ALK qui doit faire recherche une atteinte systémique.
- E. Vrai
- 16. DOSSIER : Vous recevez l'exérèse cutanée d'une lésion unique chez un patient de 55 ans où le diagnostic de lymphome cutané est évoqué par le clinicien.

  Devant cet aspect histologique, quel profil immunohistochimique attendez-vous ?





A. CD3+

B. CD20+

C. PD1+

D. BCL6+

E. KI67 90%

## **Correction:**

A. Faux : négatif car c'est un lymphome B et non T

B. Vrai : c'est un lymphome B

C. Faux

D. Vrai

E. Faux : Ki67 faible car c'est un lymphome indolent

## 17/ DOSSIER : Quel diagnostic évoquez-vous devant le marquage immunohistochimique suivant :

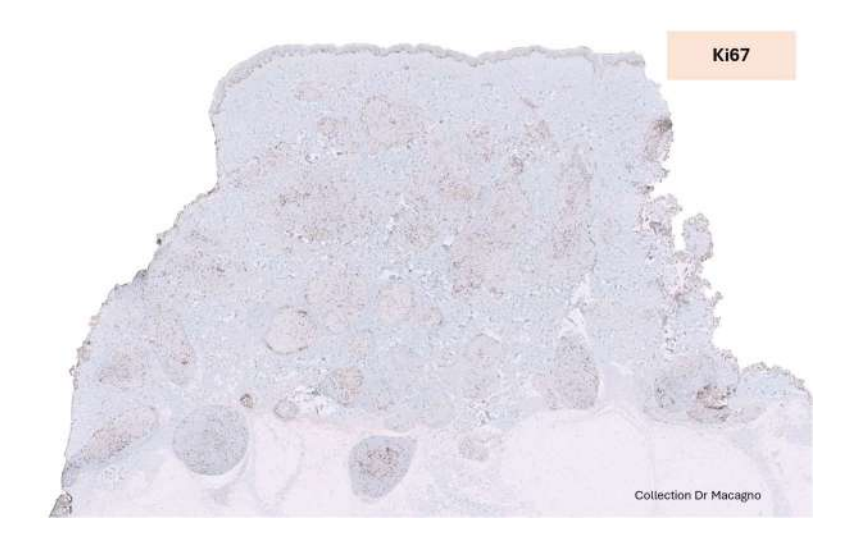
CD20



## BCL2



## KI67



- A. Un lymphome B indolent
- B. Un lymphome B agressif
- C. Un lymphome T indolent
- D. Un lymphome T agressif
- E. Une localisation secondaire de lymphome systémique

## <u>Correction</u>:

Bonne réponse A

## 18. / DOSSIER: Quel diagnostic évoquez-vous?

- A. Un lymphome centro-folliculaire
- B. Un lymphome de la zone marginale
- C. Un lymphome du manteau
- D. Un lymphome B diffus à grandes cellules
- E. Un lymphome intravasculaire

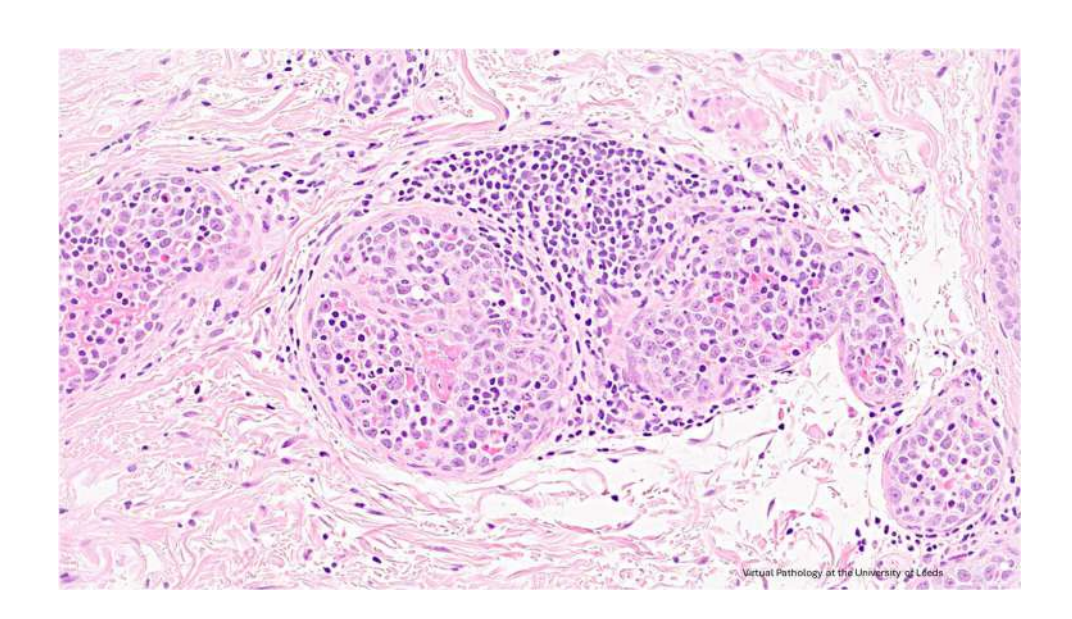
#### **Correction:**

Bonne réponse A

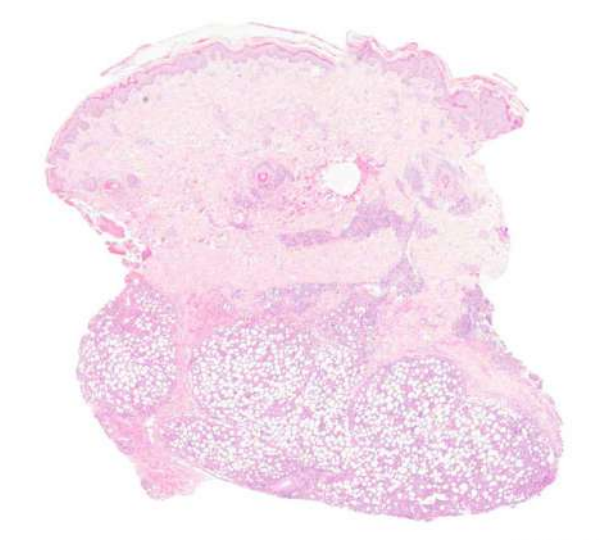
## 19/ Reliez ces lymphomes primitivement cutanés avec leur histologie correspondante :

Mycosis fongoide Syndrome de Sezary Lymphome T type panniculite Lymphome B à grandes cellules type jambe Lymphome B intravasculaire

Α.

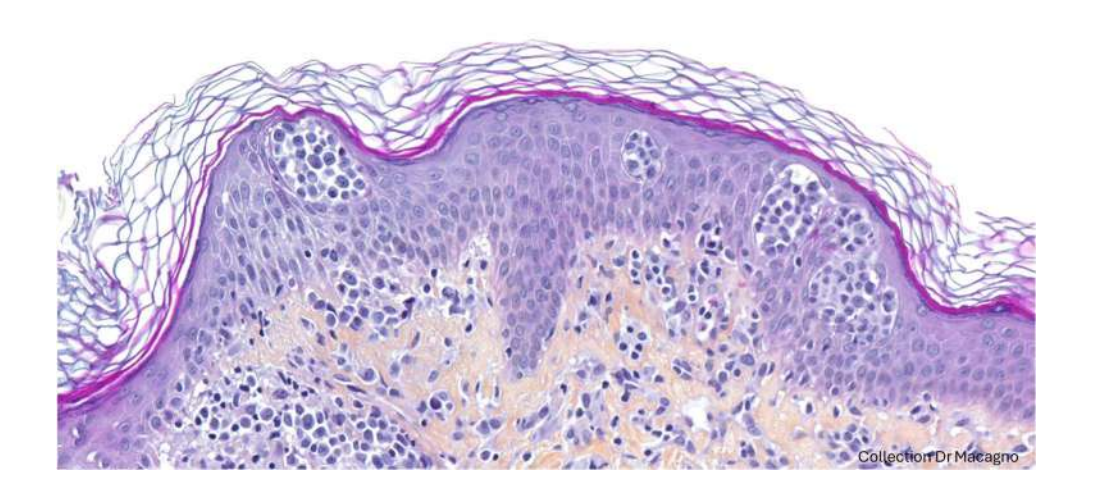


B.

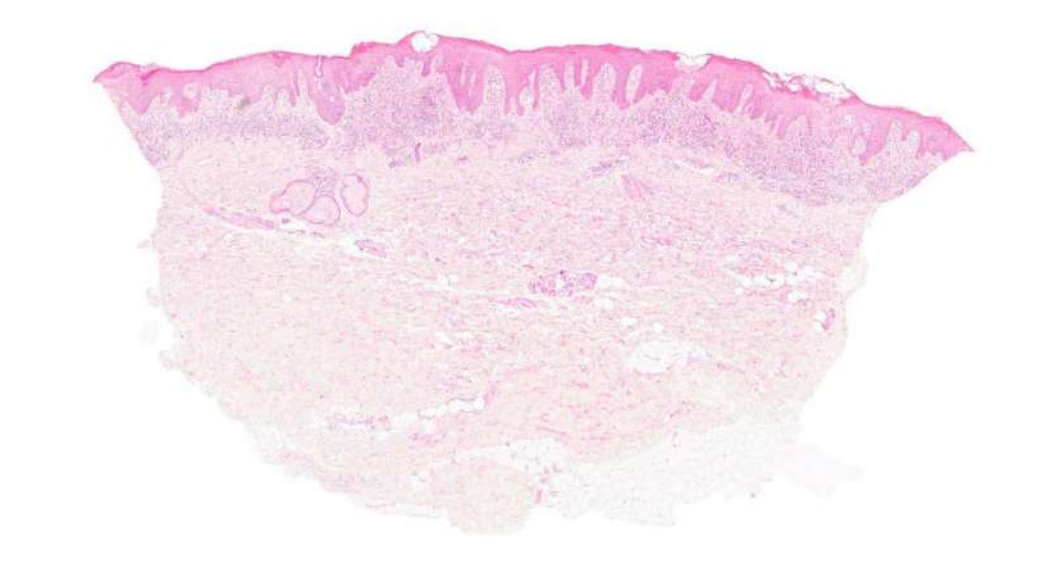


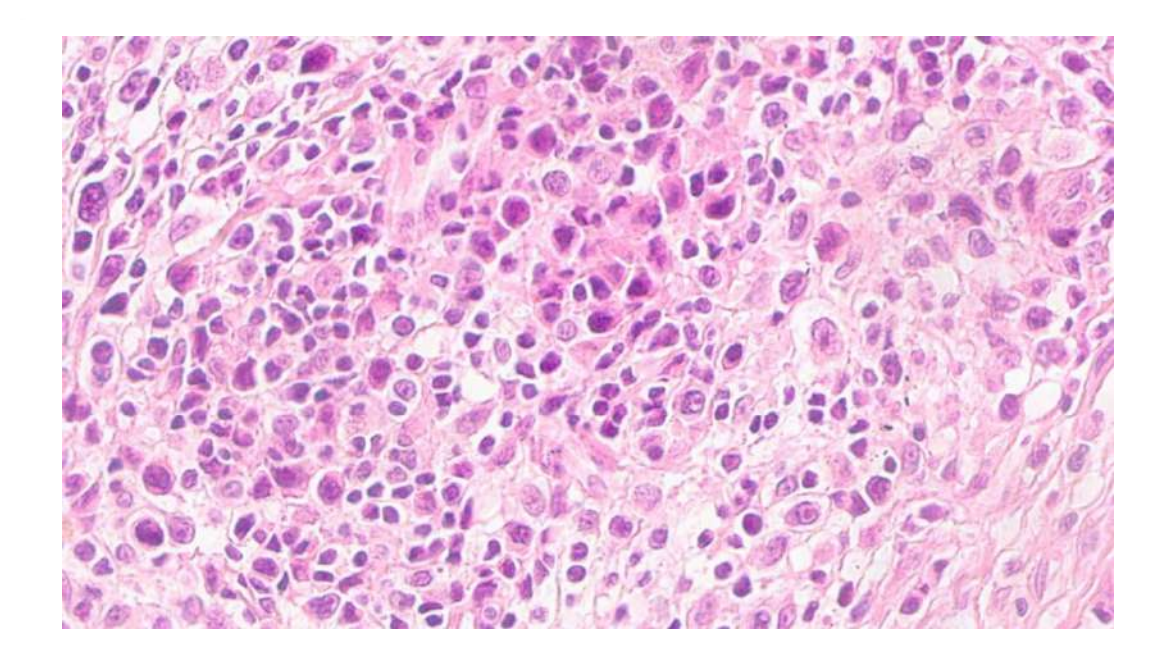
Virtual Pathology at the University of Leeds

C.



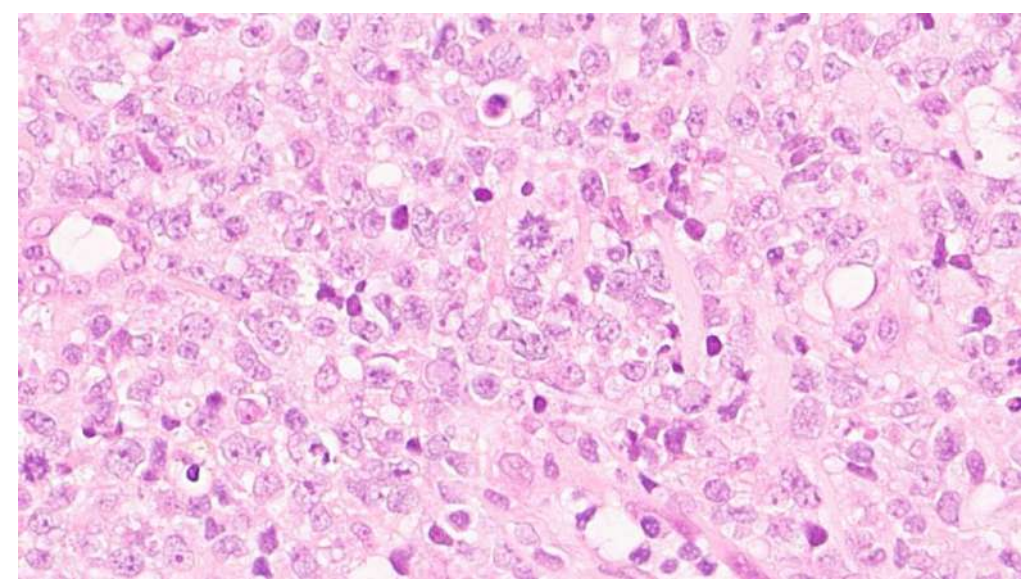
D.





<u>E.</u>





## Correction:

A: lymphome intravasculaire

B: lymphome panniculite

C: Mycosis fongoide

D : Syndrome de Sezary

E: lymphome diffus à grande cellules type jambe

## 20. Reliez ces lymphomes primitivement cutanés avec leur photographie clinique correspondante :

Mycosis fongoide Lymphome T cutané épidermotrope cytotoxique CD8+ Papulose lymphomatoide Lymphome B de la zone marginale

## Lymphome B à grandes cellules type jambe

A.



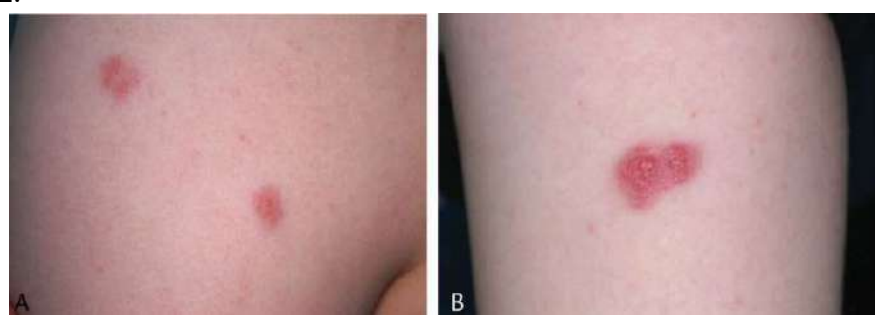


В.





E.



## Correction:

- A Papulose lymphomatoide
- B Lymphome grandes cellules diffuse type jambe
- C Mycosis fongoide sous type folliculotrope
- D Lymphome T cutané épidermotrope cytotoxique CD8+
- E Lymphome de la zone marginale

#### 7.4 Annexe IV: Questionnaire de satisfaction

### Question 1 : Quelle est votre spécialité?

A/ Dermatologie

B/ Anatomie et cytologie pathologiques

### Question 2: En quel semestre êtes-vous?

A/ 1er ou 2eme

B/3eme ou 4eme

C/5eme ou 6eme

D/ 7eme ou 8eme

E/9eme ou plus

## Question 3 : Combien de temps a été nécessaire pour réaliser cet e-learning?

A/ Moins de 1h

B/ 1 à 2h

C/2 à 3h

D/3à4h

E/ Plus de 4h

# Question 4 : Comment évalueriez-vous votre niveau de maîtrise et de confiance théorique concernant les lymphomes cutanés <u>avant</u> de réaliser cet E- learning?

A/ Mauvais

B/ Médiocre

C/ Moyen

D/Bon

E/Très bon

# Question 5 : Suite à ce e-learning, pensez-vous avoir progressé concernant les lymphomes primitivement cutanés ?

A/ Non pas du tout

B/ Oui un peu

C/ Oui beaucoup

# Question 6 : Comment évalueriez-vous votre niveau de maîtrise et de confiance théorique concernant les lymphomes cutanés <u>après</u> de réaliser ce E- learning ?

A/ Mauvais

B/ Médiocre

C/ Moyen

D/Bon

E/Très bon

## Question 7: Pensez-vous reconsulter cet e learning ultérieurement?

A/ Oui

B/ Non

## Question 8 : Comment évaluez-vous la difficulté des QCM?

A/ Facile

B/ Adaptée

C/ Difficile

## Question 9 : Dans quel(s) lieu(x) avez-vous réalisé cet e-learning?

A/ A votre domicile

B/ Sur votre lieu de travail

C/ Sur votre lieu de vacances

D/ Dans les moyens de transport

E/ Dans un autre lieu

## Question 10 : Quels principaux avantages retenez-vous quant à l'utilisation d'un elearning ?

A/ L'auto-évaluation par les QCM permettant de mettre en évidence les éventuelles lacunes persistantes

B/La flexibilité d'utilisation permettant l'adaptation du rythme de travail

C/ La possibilité de le reconsulter à posteriori à tout moment

D/ L'économie de temps au vu de l'absence de déplacement

E/ Aucun

#### Question 11 : Quels ont été les freins à la réalisation de cet e-learning?

A/ Absence de cadre strict avec difficulté de trouver du temps libre pour travailler

B/ Manque de motivation, difficulté de concentration

C/ Moins bonne mémorisation qu'un cours en présentiel

D/ Problème technique de connexion internet E/ Aucun obstacle

## Question 12: Auriez-vous préféré un cours magistral?

A/ Oui

B/ Non

## Question 13 : Concernant le diaporama sonorisé :

A/ J'ai seulement regardé les diapositives (sans le son) B/ J'ai regardé les diapositives avec le son

Question 14 : Concernant le diaporama sonorisé : Cela vous a-t-il aidé à la

mémorisation ou compréhension?

A/ Oui

B/ Non

Question 15 : Avez-vous des remarques concernant cet e-learning ? Avez-vous des propositions d'amélioration de ce format ?

## **SERMENT D'HIPPOCRATE**

Au moment d'être admise à exercer la médecine, je promets et je jure d'être fidèle aux lois de l'honneur et de la probité.

Mon premier souci sera de rétablir, de préserver ou de promouvoir la santé dans tous ses éléments, physiques et mentaux, individuels et sociaux.

Je respecterai toutes les personnes, leur autonomie et leur volonté, sans aucune discrimination selon leur état ou leurs convictions. J'interviendrai pour les protéger si elles sont affaiblies, vulnérables ou menacées dans leur intégrité ou leur dignité. Même sous la contrainte, je ne ferai pas usage de mes connaissances contre les lois de l'humanité.

J'informerai les patients des décisions envisagées, de leurs raisons et de leurs conséquences.

Je ne tromperai jamais leur confiance et n'exploiterai pas le pouvoir hérité des circonstances pour forcer les consciences.

Je donnerai mes soins à l'indigent et à quiconque me les demandera. Je ne me laisserai pas influencer par la soif du gain ou la recherche de la gloire.

Admise dans l'intimité des personnes, je tairai les secrets qui me seront confiés. Reçue à l'intérieur des maisons, je respecterai les secrets des foyers et ma conduite ne servira pas à corrompre les moeurs.

Je ferai tout pour soulager les souffrances. Je ne prolongerai pas abusivement les agonies. Je ne provoquerai jamais la mort délibérément.

Je préserverai l'indépendance nécessaire à l'accomplissement de ma mission. Je n'entreprendrai rien qui dépasse mes compétences. Je les entretiendrai et les perfectionnerai pour assurer au mieux les services qui me seront demandés.

J'apporterai mon aide à mes confrères ainsi qu'à leurs familles dans l'adversité.

Que les hommes et mes confrères m'accordent leur estime si je suis fidèle à mes promesses ; que je sois déshonorée et méprisée si j'y manque.



## **RÉSUMÉ**

### **Introduction:**

Les formations par e-learning sont en plein essor ces dernières années, notamment dans le domaine médical. La dermatologie, spécialité à forte composante visuelle, se prête particulièrement bien à ce format d'enseignement. L'objectif de ce travail était d'élaborer un e-learning sur les lymphomes primitivement cutanés destiné aux internes inscrits en Diplôme d'Études Spécialisées (DES) de Dermatologie et Vénérologie ainsi qu'en DES d'Anatomie et Cytologie Pathologiques à l'université d'Aix-Marseille.

#### **Matériel et Méthodes:**

Nous proposons un e-learning entièrement sonorisé divisé en sept modules de cours avec des fiches synthèses. Les étudiants ont bénéficié de trente jours pour réaliser ce cours mais celui-ci demeure consultable sur la plateforme pédagogique AMeTICE de l'Environnement Numérique de Travail de l'Université Aix-Marseille. Un pré et post test sous forme de QCM nous a permis d'évaluer la progression des étudiants. Enfin, un questionnaire de satisfaction était disponible nous permettant d'apprécier le ressenti des internes sur ce format d'apprentissage.

#### Résultats :

22 des 23 étudiants concernés ont terminé cette formation. L'ensemble des participants a amélioré ses résultats, avec une progression moyenne de 9,5 points entre le pré-test et le post-test (+ 9,19 points pour les internes de dermatologie et + 10,24 points pour les internes pathologistes). Tous les internes indiquent avoir progressé dans le domaine des lymphomes cutanés et envisagent de reconsulter le cours ultérieurement. 95 % d'entre eux ont exprimé une préférence pour ce format e-learning par rapport aux cours magistraux.

#### **Conclusion:**

Notre e-learning entièrement sonorisé offre aux internes une opportunité d'approfondir leurs connaissances sur les lymphomes primitivement cutanés, grâce à une méthode d'enseignement moderne et adaptée aux exigences actuelles de la formation médicale.

**Mots-clés :** e-learning, lymphomes cutanés, internes, étudiants, médecine.